

آشنایی با
فیزیک بهداشت
از دیدگاه پرتوشناسی

هرمان سمبر

ترجمه محمد ابراهیم ابوکاظمی، هوشنگ شهری، علیرضا بینش

نشریه ششم

گران سپهر

شناختی دینی اسلامی

دکتر شفیع

پرتوزایی

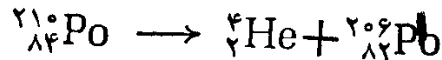
پرتوزایی و ساز و کارتبدیل

پرتوزایی (رادیواکتیویته) را می‌توان به صورت تبدیل هسته‌ای خود به خودی که منجر به تشکیل عناصر جدید می‌شود، تعریف کرد. این تبدیلها از طریق چندساز و کارگونا گون صورت می‌گیرند که برخی از آنها عبارت اند از: گسیل ذره آلفا، گسیل ذرات بتا و پوزیترون، و گیراندازی الکترون مداری. هر یک از این واکنشها ممکن است همراه با گسیل تابش گاما باشد یا نباشد. پرتوزایی و خواص پرتوزایی نوکلیدها تنها از طریق بررسیهای هسته‌ای قابل تعیین است، و به حالت‌های فیزیکی و شیمیایی ایزوتوب پرتوزا بستگی ندارد. بنابراین، خواص ایزوتوبهای پرتوزا را به هیچ وجه نمی‌توان تغییر داد، و هر نوکلید پرتوزا خواص انحصاری مخصوص به خود دارد. تبدیل هسته‌ای پرتوزا دقیقاً بهدو عامل وابسته است: (۱) نوع خاص ناپایداری هسته، یعنی اینکه نسبت نوترон به پروتون در نوکلید مورد بررسی یا خیلی بالاست یا خیلی پایین؛ (۲) ارتباط جرم - انرژی بین مادر - هسته (هسته مادر)، دختر - هسته (هسته دختر)، و ذره گسیل شده.

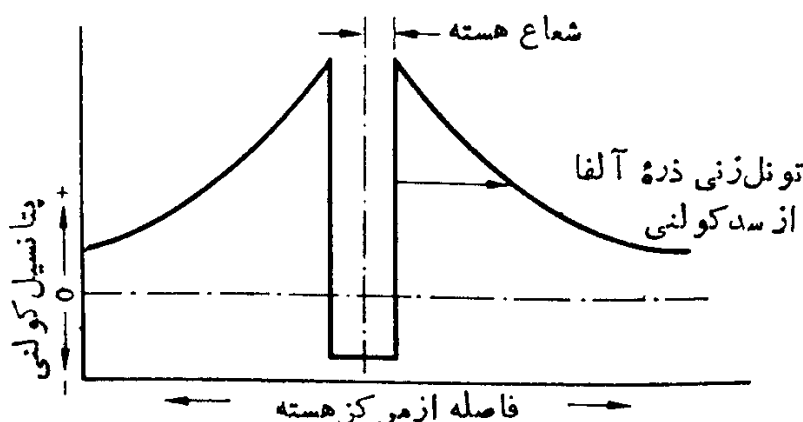
گسیل ذره آلفا

هنگامی که نسبت نوترون به پروتون در یک ایزوتوب پرتوزا خیلی پایین باشد، از هسته آن ایزوتوب یک هسته پرانرژی هلیم به نام ذره آلفا گسیل می‌شود. این ذره، ذره‌ای سنگین با بار

الکتریکی مشبّت است و از دو پروتون و دو نوترون تشکیل شده است. از آنجا که در این تبدیل هسته‌ای اعداد اتمی و اعداد جرمی پایسته می‌مانند، درنتیجه گسیل آلفا، دختر-هسته‌ای تولید خواهد شد که عدد اتمی اش به اندازه ۲ واحد و عدد جرمی اش به اندازه ۴ واحد کمتر از اعداد مربوط به مادر-هسته است. برای نمونه، واکنش گسیل آلفا در ^{210}Po به صورت زیر است



در این نمونه، نسبت نوترون به پروتون در ^{210}Po ۱۲۶ به ۸۴ یا ۱۵۱ به ۱ است. پس از واپاشی هسته از طریق گسیل ذره آلفا، دختر-هسته پایدار ^{206}Pb تشکیل می‌شود که نسبت نوترون به پروتون در آن به صورت ۱۵۱ به ۱ است. تمام هسته‌هایی که به طور طبیعی ذره آلفا گسیل می‌کنند، عناصری با عدد اتمی بزرگتر از ۸۲ هستند مگر مورد استثنای ^{47}Sm . توجیه این امر دووجه دارد: نخست اینکه در هسته‌های سنگین، نیروی دافعه الکتروستاتیکی خیلی سریعتر از نیروی جاذبه هسته‌ای افزایش می‌یابد، و بدین ترتیب ممکن است بزرگی نیروی الکتروستاتیکی به حد نیروی هسته‌ای برسد و یا حتی از آن هم بیشتر شود. دیگر اینکه ذره گسیل شونده باید انرژی کافی داشته باشد تا بر سد پتانسیل بلندی که به علت حضور نوکلئونهای باردار مثبت در مقابل سطح هسته تشکیل می‌شود، غلبه کنند. این سد پتانسیل را به طور ترسیمی با منحنی شکل ۱۰.۴ نشان داده‌ایم. درون هسته‌را، به علت پتانسیل منفی اش، می‌توان به صورت چاه پتانسیلی در نظر گرفت که عمق آن برای ذره آلفا در هسته‌ای با عدد اتمی بالا، به حدود 25 MeV می‌رسد. بنابر نظریه مکانیک کوانتومی، ذره آلفا می‌تسواند از طریق تونل زنی در سد پتانسیل از چاه پتانسیل بگریزد. برای اینکه از هسته‌های با عدد اتمی بالا به طور طبیعی ذره آلفا گسیل شود، مطابق محاسبات نظری لازم است که انرژی جنبشی ذره آلفا بیشتر از 38 MeV باشد. کمترین انرژی ذره آلفای حاصل از عناصر با عدد اتمی بالا که در آزمایش به دست آمده برای برآ با 393 MeV است که شرط بالا را تأیید می‌کند. این ذره آلفا (با انرژی 393 MeV)



شکل ۱۰.۴ پتانسیل درون هسته و تغییرات پتانسیل در نزدیکیهای هسته.

از ^{222}Th گسیل می‌شود. (انرژی ذره آلفایی که از ساماریم ۱۴۷ گسیل می‌شود، فقط برابر ۲۱۸ MeV است. ولی اگر عدد اتمی کم ساماریم یعنی ۲۶ را در محاسبات نظری منظور کنیم، این انرژی کم هم قابل قبول خواهد بود.) طبعاً این سؤال مطرح می‌شود که منشأ این انرژی جنبشی کجاست؟ این انرژی در نتیجه کاهش جرم ناشی از تشکیل ذره آلفا حاصل می‌شود. به طور کلی برای اینکه گسیل ذره آلفا تحقق یابد، لازم است که معادله پایستگی زیر برقرار شود

$$M_p = M_d + M_\alpha + 2M_e + Q \quad (1.4)$$

که در آن M_p , M_d , M_α , و M_e به ترتیب عبارت‌اند از جرم مادر-هسته، جرم دختر-هسته، جرم ذره آلفای گسیل شده، و جرم الکترونهايی که ضمن تبدیل به دختر هسته با عدد اتمی پاییشور ناپدید می‌شوند (دو الکترون). همچنین Q مقدار کل انرژی آزاد شده در این تبدیل پرتوزاست. برای نمونه، در مورد واپاشی ^{210}Po ، بنا بر معادله (۱.۴) داریم

$$\begin{aligned} Q &= M_{\text{Po}} - M_{\text{Pb}} - M_\alpha - 2M_e \\ &= 210.54850 - 206.053883 - 4.00277 - 2 \times 0.00055 \\ &= 0.00058 \text{ amu} \end{aligned}$$

که مقدار آن بر حسب انرژی برابر است با

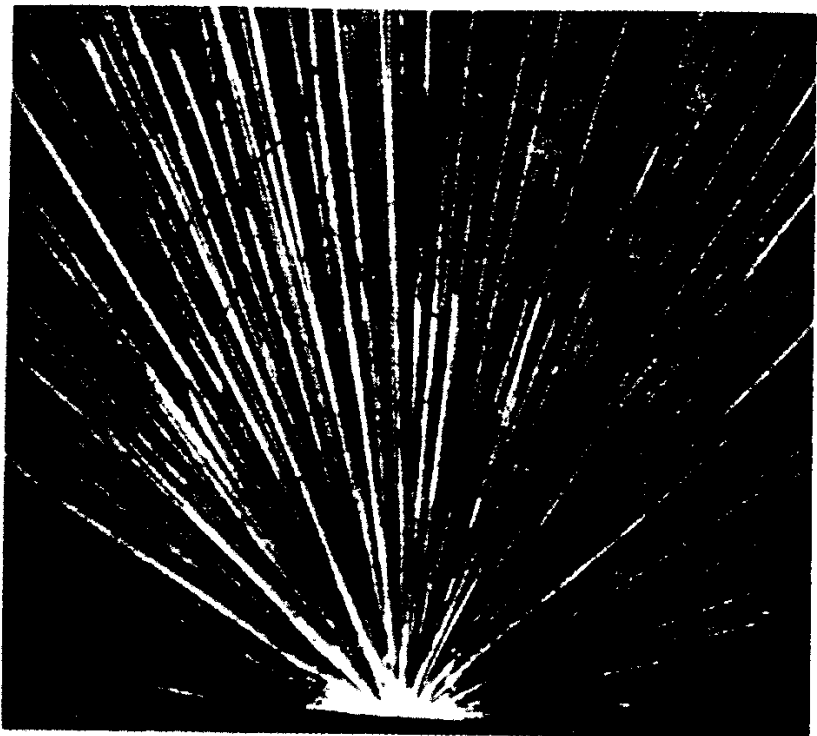
$$Q = 0.00058 \text{ amu} \times 931 \frac{\text{MeV}}{\text{amu}} = 5.4 \text{ MeV}$$

این مقدار Q معرف کل انرژی آزاد شده در تبدیل هسته‌ای ^{210}Po است. چون در این تبدیل هیچگونه پرتوگاما‌ای گسیل نمی‌شود، تمام این انرژی آزاد شده به صورت انرژی جنبشی در می‌آید و بین ذره آلفا و دختر-هسته که بعداً از گسیل آلفا پس‌زده می‌شود تقسیم می‌شود. تقسیم دقیق انرژی بین آلفا و هسته پس‌زن، به جرم دختر-هسته بستگی دارد که با استفاده از قوانین پایستگی انرژی و تکانه می‌توان سهم هر یک را تعیین کرد. اگر جرم هسته پس‌زن و ذره آلفا را به ترتیب M و m بگیریم و چنانچه سرعت‌های این دو را هم به ترتیب با V و v نشان دهیم، در این صورت داریم

$$Q = \frac{1}{2} MV^2 + \frac{1}{2} mv^2 \quad (2.4)$$

همچنین، بنا بر قانون پایستگی تکانه، داریم

$$MV = mv \quad (3.4)$$



شکل ۲.۴ ردهای حاصل از ذرات آلفا در آتاق ابر ویلسون. ذرات گسیل شده انرژیهای ۵۰۵ MeV (از ^{212}Bi) و ۸۷۸ MeV (از ^{212}Po) دارند.

با

$$V = \frac{mv}{M}$$

هنگامی که مقدار V ای حاصل از معادله (۲.۴) را در معادله (۳.۴) قرار دهیم، خواهیم داشت

$$Q = \frac{1}{2} M \frac{m^2 v^2}{M^2} + \frac{1}{2} m v^2 \quad (4.4)$$

چنانچه انرژی جنبشی ذره آلفا، $m v^2 / 2$ را با E نمایش دهیم، معادله (۴.۴) را می‌توانیم به صورت زیر بازنویسی کنیم

$$Q = E \left(\frac{m}{M} + 1 \right)$$

با

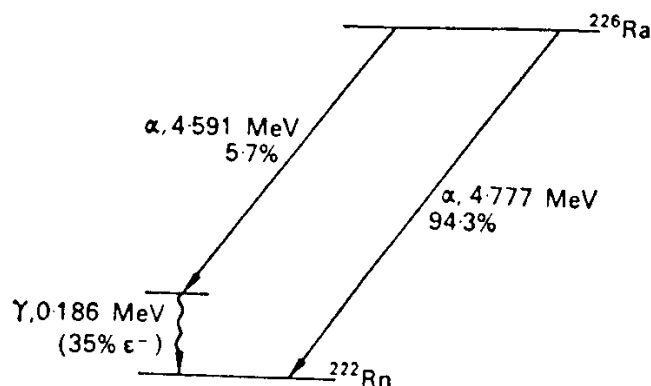
$$E = \frac{Q}{1 + m/M} \quad (5.4)$$

بنابراین معادله، انرژی جنبشی ذره آلفای حاصل از واپاشی P_0^{210} عبارت است از

$$E = \frac{554}{(1 + 4/206)} = 553 \text{ MeV}$$

بدین ترتیب، انرژی جنبشی هسته پس زن برابر می شود با 1 MeV .
 ذرات آلفا اصولاً تک انرژی‌اند. اما، طیف نگاشتهای ذرات آلفا گروههایی با انرژی‌های گسسته را نشان می‌دهند که انرژی آنها اندکی با هم متفاوت است. این اختلافات کوچک را به اختلاف انرژی ترازهای دختر-هسته نسبت می‌دهند. این بدان معنی است که در گسیل ذرات آلفا از یک نوع ایزوتوپ، هسته‌ای که ذره آلفای با انرژی کم گسیل می‌کند در حالت برانگیخته و هسته‌ای که ذره آلفای پرانرژی گسیل می‌کند معمولاً در حالت «پایه» بر جای می‌ماند. هسته‌ای که در حالت برانگیخته بر جای می‌ماند، انرژی برانگیختگی اش را از طریق گسیل پرتو گاما از دست می‌دهد. با این پادآور شدن که معمولاً اکثر ذرات آلفا با انرژی بیشینه گسیل می‌شوند. بدین ترتیب، فقط تعداد اندکی از هسته‌ها در حالت برانگیخته بر جای می‌مانند، و از این رو تنها بخش کوچکی از پرتوزایی گسیل ذرات آلفا با تابش گاما همراه است. رادیم را می‌توان به عنوان یک گسیلنده آلفا که طیف مرکبی دارد، نام برد.
 در اکثریت قابل ملاحظه‌ای از تبدیلهای Ra^{226} ، یعنی در 3% از موارد، انرژی جنبشی ذرات آلفای گسیل شده برابر 777 MeV است. انرژی جنبشی فقط 5% بقیه ذرات آلفا برابر 591 MeV است. در این موارد که ذره آلفا با انرژی کمتر گسیل می‌شود، دختر-هسته در حالت برانگیخته بر جای می‌ماند و سپس با گسیل یک فوتون گاما که انرژی اش برابر با اختلاف انرژی دو ذره آلفاست ($186 \text{ MeV} = 777 - 591$)، انرژی برانگیختگی خود را از دست می‌دهد. (در حدود 35% از این فوتونهای پرتو گاما در تبدیل داخلی شرکت می‌کنند. بخش تبدیل داخلی در همین فصل را ببینید.) در میان طیفهای مرکب آلفا، طیف Ra^{226} کمترین پیچیدگی را دارد. بیشتر گسیلندهای آلفا، چندگروه ذره آلفا و در نتیجه چند دسته پرتو گاما دارند. امامه طیفهای آلفا، ارتباط سازگار و یکسانی را بین ترازهای انرژی مختلف هسته نشان می‌دهند.

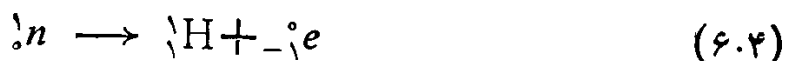
توانایی نفوذ ذرات آلفا در ماده فوق العاده محدود است. ضخامت لایه خارجی و مرده پوست بدن انسان، برای جذب تمام ذرات آلفای حاصل از مواد پرتوزا کافی است. از این رو تابش‌های آلفایی که منبع شان در خارج از بدن قرارداشته باشد، خطر تابشی ندارند. اما وقتی که ایزوتوپهای گسیلنده ذرات آلفا در نواحی داخلی بدن قرار می‌گیرند، دیگر لایه خارجی مرده پوست وجود ندارد که به عنوان حفاظ عمل کند، و اتلاف انرژی تابش آلفا در همان بافت‌های زنده صورت می‌گیرد. به این دلیل، وهمچنین به دلایل دیگری که در فصل ۷ مورد بحث قرار خواهد گرفت، تابش آلفایی که از ایزوتوپهای پرتوزایی داخل بدن اعضای داخلی را تحت پرتوی قرار می‌دهد شدیداً خطرناک به شمار می‌رود.



شکل ۳۰.۴ طرح واپاشی (تبدیل) رادیم ۲۲۶.

گسیل بتا

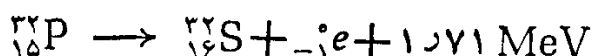
ذره بتا یک الکترون معمولی است که از هسته یک اتم زاپایدار بناز اگسیل می‌شود. این ذره یک واحد بار الکتریکی منفی ($-e \times 10^{-19}$ C) و جرم بسیار کوچکی (۵۵۵ amu) دارد. چون ملاحظات نظری ناقص وجود مستقل الکترون در هسته است، فرض می‌شود که ذره بتا در لحظه گسیل شدنش از طریق تبدیل یک نوترون به یک پروتون، مطابق معادله زیر، تولید می‌شود



این تبدیل نشان می‌دهد که واپاشی بتا در ایزوتوبهای رخ می‌دهد که فزوئی نوترون دارند. گسیل بتا، از لحاظ انرژی، هنگامی ممکن می‌شود که جرم هسته مادر بزرگتر از حاصل جمع جرم‌های هسته دختر و ذره بتا باشد

$$M_p = M_d + M_e + Q \quad (7.4)$$

البته این شرط همانند شرط متناظر با گسیلندهای آلفاست. چون در واپاشی بتا یک بار منفی ازدست می‌رود، و از آنجاکه جرم ذره بتا خیلی کوچکتر از ۱ amu است، عدداتمی دختر-هسته به اندازه یک واحد بزرگتر از مادر-هسته خواهد شد و عدد جرمی ثابت خواهد ماند. برای مثال، فسفر پرتوزا مطابق معادله زیر واپاشیده و به گوگرد پایدار تبدیل می‌شود



انرژی تبدیل در این مورد، 1.71 MeV ، همان انرژی معادل اختلاف جرم میان هسته $^{32}_P$ و مجموعه هسته $^{32}_S$ و ذره بتاست که به صورت انرژی جنبشی ذره بتا درمی‌آید. اگر برای تکمیل معادله جرم-انرژی از جرم اتمهای خنثی استفاده شود، در این صورت نباید جرم الکترون را در سمت راست معادله (۷.۴) در نظر گرفت. زیرا در این حالت

جرم این الکترون $-5\text{-}m$ به طور ضمنی در ساختار برونهسته‌ای ^{32}S منظور شده است. اختلاف جرم عبارت است از

$$31.98403 = 31.98224 + Q$$

$$Q = 0.00179 \text{ amu}$$

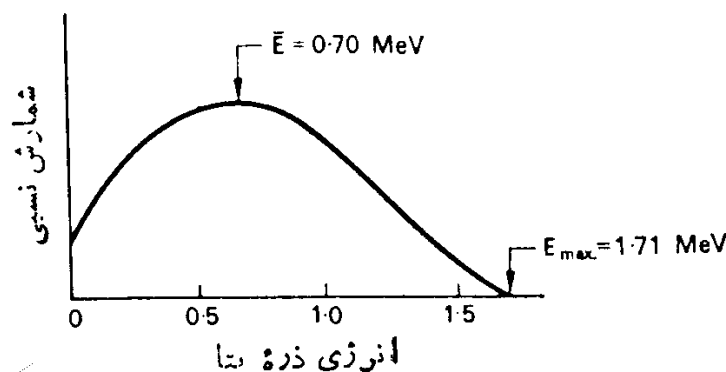
که انرژی معادل آن چنین می‌شود

$$0.00179 \text{ amu} \times 931 \frac{\text{MeV}}{\text{amu}} = 1.71 \text{ MeV}$$

با توجه به معادله (۴.۵) معلوم می‌شود که در مورد گسیل بتا، بخش فوق العاده کوچکی از انرژی واکنش صرف پس زنی هسته می‌شود. زیرا در این حالت، m/M که در آن m جرم ذره بتا و M جرم هسته دختر است، بسیار کوچک می‌شود. در مورد مثال بالا، داریم

$$\frac{m}{M} = \frac{0.00055}{32} = 0.000017$$

و مقدار Q در حدود ۱۷۰۰۰۰۱۷ می‌باشد. برای انرژی جنبشی ذره بتا خواهد بود. براساس تحلیل بالا می‌توان انتظار داشت که تابش بتا هم، مانند ذرات آلفا، تک انرژی باشد. اما آزمایش این انتظار را تأیید نمی‌کند. در مقابل، آزمایش توزیع انرژی پیوسته‌ای از ذرات بتای گسیل شده را نشان می‌دهد که گستره آن از صفر تا مقدار انتظاری فظری ادامه دارد. (مقدار انتظاری از بررسی معادله جرم-انرژی در هر مورد خاص محاسبه می‌شود.) برای نمونه در مورد ^{32}P ، هرچند که انرژی بیشینه ذره بتا ۱.۷۱ MeV است، ولی همان‌طور که در شکل ۴.۰۴ دیده می‌شود، انرژی جنبشی اکثریت ذرات بتا خیلی از این مقدار کمتر است. انرژی متوسط یک ذره بتا در واپاشی ^{32}P برای $\bar{E} = 0.70 \text{ MeV}$ یعنی در حدود ۴۱٪ انرژی بیشینه قابل انتظار است. به طور کلی، برای بسیاری از ایزوتوپهای بتا، انرژی متوسط تابش بتا در حدود ۳۵ تا ۴۰ درصد انرژی بیشینه است.

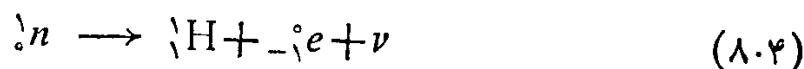


شکل ۴.۰۴ طیف پرتو بتای فسفر ۳۲.

هنگامی که انرژی یک گسیلنده بتا را مشخص می‌کند، مقصود انرژی بیشینه است مگر اینکه چیز دیگری گفته شود.

این واقعیت که تابش بتا با توزیع پیوسته‌ای از انرژی که بیشینه‌ای مشخص دارد گسیل می‌شود، ظاهرآ ناقض قانون ثابت شده پایستگی جرم-انرژی است. برای جلوگیری از نقض قانون پایستگی، چنین فرض شد که گسیل ذره بتا با ذره دیگری به نام نوترینو همراه است که انرژی اش برابر است با اختلاف بین انرژی جنبشی ذره بتا و انرژی بیشینه توزیع طیف. بنا بر فرض، نوترینو بار الکتریکی ندارد و جرمش بینهایت کوچک است. به خاطر همین دو ویژگی است که آشکارسازی نوترینو بسیار بسیار دشوار است. اعتبار فرضیه نوترینو اخیراً به کمک آزمایش تأیید شده است. در این صورت، معادله (۵.۴)

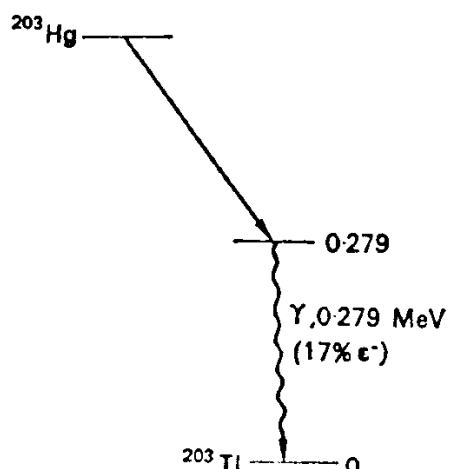
باشد چنین اصلاح شود



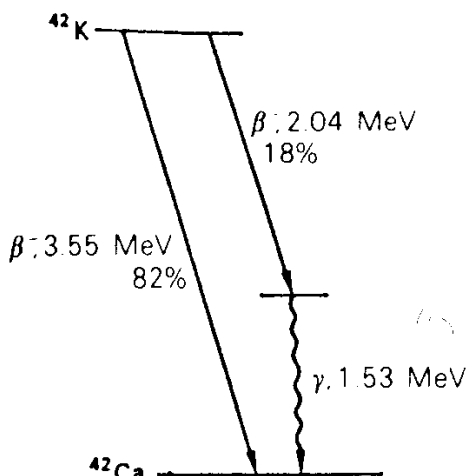
که در آن لا معرف نوترینو است.

فسفر ۳۲ نظیر چند گسیلنده دیگر بتا از جمله ^{14}C ، ^{90}Sr ، ^{90}Y ، هیچ پرتو گاما یی گسیل نمی‌کند. این ایزوتوبها به گسیلنده‌های خالص بتا معروف‌اند. در مقابل این دسته از گسیلنده‌ها، گسیلنده‌های بتا-گاما قرار دارند. در این نوع واپاشی، بلاfaciale پس از ذره بتا، یک پرتو گاما گسیل می‌شود. در اینجا، گسیل پرتو گاما را می‌توان درست همانند واپاشی آلفا زا توپیخ داد. پس از گسیل ذره بتا، دختر-هسته‌ای که در حالتی برانگیخته بر جای می‌ماند، با گسیل پرتو گاما انرژی برانگیختگی خود را آزاد می‌کند. به عنوان یک نمونه می‌توانیم از جیوه ۲۰۳ نام ببریم. همان‌طور که در طرح تبدیل شکل ۵.۴ دیده می‌شود، این هسته یک ذره بتای 21 MeV و یک فوتون گامای 279 MeV از خود گسیل می‌کند.

در هر دو مثال بالا (^{203}P و ^{203}Hg)، گسیلنده‌ها طیفها یی ساده دارند، یعنی در هر طیف تنها یک گروه بتا وجود دارد. ایزوتوبها یی که طیف‌شان بیش از یک گروه متمايز پرتو بتا



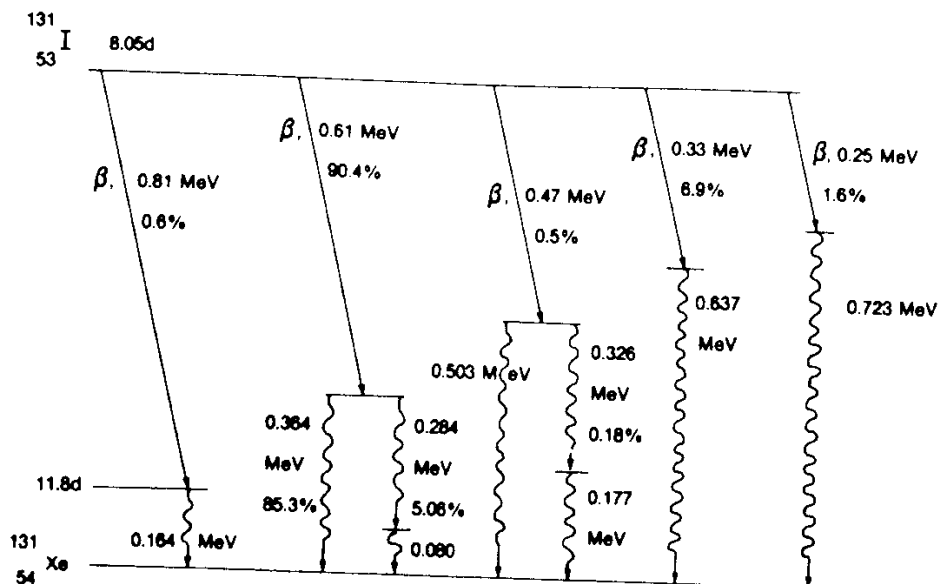
شکل ۵.۴ طرح واپاشی (تبدیل) ^{203}Hg .



شکل ۶.۴ طرح واپاشی (تبدیل) پتاسیم ۴۲.

دارد، گسیلندهای مرکب بتا نامیده می‌شوند. برای مثال، پتاسیم ۴۲ در حدود ۸۲٪ از موارد تبدیل، با گسیل یک ذره بتا که متعلق به گروهی با بیشینه انرژی 355 MeV و اپاشیده می‌شود. این هسته در ۱۸٪ بقیه موارد، با گسیل یک ذره بتا با انرژی 204 MeV و اپاشیده می‌شود (شکل ۶.۴). اما در این مورد Ca^{42} که در حالت برانگیخته است، بلا فاصله یک فوتون پرتوگاما با انرژی 153 MeV از خود گسیل می‌کند. I^{131} یکی از ایزوتوپهای پرمصرف است که طیف بتا-گامای آن از K^{42} هم پیچیده‌تر است. این ایزوتوپ با گسیل یک ذره بتا و اپاشیده می‌شود و به صورت ^{131}Xe پایدار در می‌آید. اما در ۸۵٪ از موارد تبدیل، ذره بتا متعلق به گروهی است که انرژی بیشینه در آن برابر 64 MeV است، و با قیمانده ذرات بتا عضو گروهی هستند که بیشینه انرژی اش برابر 315 MeV است. در هردوی این حالتها، دختر-هسته زنون در حالت برانگیخته تشکیل می‌شود که از طریق گسیل تابش گاما انرژی برانگیختگی خود را ازدست می‌دهد. انرژی فوتون گامایی که در پی گسیل ذره بتای گروه کم انرژی از دختر-هسته گسیل می‌شود، برابر 38 MeV است. دختر-هسته‌ای که پس از گسیل ذره بتای 64 MeV تشکیل می‌شود (هسته در تراز انرژی پایینتر)، انرژی برانگیختگی اش را از طریق دو گذار رقیب پرتو گاما آزاد می‌کند. در حدود ۹۳٪ از این هسته‌ها (متناظر با حدود ۷۹٪ از موارد تبدیل I^{131}) پرتوهای گامای با انرژی 364 MeV و بقیه هسته‌های برانگیخته دوفوتون گامای پیاپی با انرژیهای 284 MeV و 580 MeV گسیل می‌کنند. طرح واپاشی I^{131} را در شکل ۶.۴ نشان داده‌ایم.

تابش بتا که بسته به مقدار انرژی اش می‌تواند تا اعماق گوناگون در بافتها نفوذ کند، یک نوع خطر تابشی خارجی به شمار می‌آید. البته میزان دقیق خطر، به ایزوتوپ گسیلنده بتا بستگی دارد، و در هر مورد باید جداگانه ارزیابی شود. اما به طور کلی، پرتوهای بتای با انرژی کمتر از 200 keV که قابلیت نفوذ بسیار محدودی دارند، خطر تابشی خارجی محسوب نمی‌شوند (پرتوهای بتای ناشی از تریتیم، S^{32} ، و C^{14} از این نوع‌اند). اما باید خاطر نشان کرد که در پی توقف ذرات بتا در مواد حفاظت، پرتوهای X بسیار ناگذی

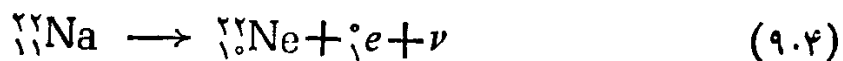


شکل ۷۰۴ طرح واپاشی (تبدیل) ید ۱۳۱.

به نام قابش قربزی (بر مشترالونگ) تولید می‌شوند. در فصل ۵، باتفاقیل بیشتری از این برهم‌کنش سخن خواهیم گفت. تابش بتا می‌تواند از طریق تولید قابش قربزی به یک خطر تابش خارجی تبدیل شود، مگر آنکه حفاظت‌گذاری با طراحی مناسب اجرا شده باشد و مراقبتهای مقتضی در آن معمول شود. هرایزوتوپ گسیلینده بتارا، هنگامی که بیشتر از مقدار مجاز وارد بدن شود، البته باید بالقوه خطرناک تلقی کرد.

گسیل پوزیترون

در مواردی که نسبت نوترون به پروتون خیلی پایین و گسیل آلفا هم به لحاظ انرژی غیرممکن باشد، احتمال دارد که هسته تحت شرایط خاصی با گسیل پوزیترون به پایداری برسد. پوزیترون یک ذره بتاست که بار الکتریکی مثبت دارد. این ذره از جهات دیگر همانند ذره بتای منفی یا الکترون معمولی است. جرم پوزیترون برابر 5.48×10^{-27} amu برابر $C = 1.6 \times 10^{-19}$ است. چون هسته هنگام گسیل پوزیترون یک بار مثبت ازدست می‌دهد، عدد اتمی دختر-هسته به اندازه یک واحد از مادر-هسته کمتر است. اما عدد جرمی در این مورد، مانند تمام واپashیهای الکترونی هسته‌ها، بدون تغییر می‌ماند. برای نمونه در مورد ^{22}Na ، داریم



در حالی که الکترون در طبیعت به طور آزاد یافته می‌شود، پوزیترون فقط به طور گزدا می‌تواند به صورت آزاد وجود داشته باشد. پوزیترونهای موجود در طبیعت فقط در اثر برهم‌کنش میان پرتوهای کیهانی و جو تولید می‌شوند، و در فاصله چند میکروثانیه پس از

تشکیل از بین می‌دوند. چگونگی نابودشدن پوزیترون برای متخصص فیزیک بهداشت بسیار مهم و جالب توجه است. پوزیترون با یک الکترون ترکیب می‌شود و هردو ذره باهم نابود می‌شوند. درنتیجه این فرایند، دوفوتون پرتو گاما به وجود می‌آیند که کل انرژی شان معادل جرم الکترون و پوزیترون است. در فصل ۵ از این فرایند به طور کاملتر سخن خواهیم گفت. تصور نمی‌رود که پوزیترون به طور مستقل در هسته وجود داشته باشد. به نظر می‌رسد که پوزیترون در اثر تبدیل یک پروتون به یک نوترون، طبق واکنش زیر، در هسته تولید می‌شود



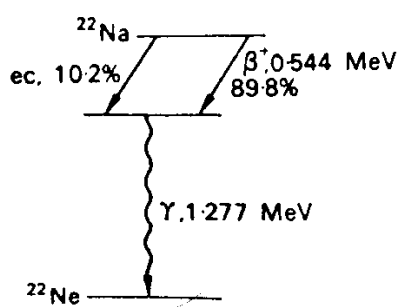
در گسیل پوزیترون، معادله پایستگی زیر باید برقرار باشد

$$M_p = M_d + M_e + Q \quad (11.4)$$

که در آن M_p , M_d , M_e به ترتیب جرم‌های مادر-هسته، دختر-هسته و پوزیترون، و Q جرم معادل انرژی واکنش است. چون عدد اتمی عنصر دختر یک واحد کمتر از عنصر مادر است، این عنصر بلافاصله پس از تبدیل هسته‌ای یک الکترون مداری اش را نیز ازدست می‌دهد. پس، هنگامی که جرم‌های اتمی به کار برده می‌شوند، معادله پایستگی به صورت زیر است

$$M'_p = M'_d + 2M_e + Q \quad (12.4)$$

سدیم ۲۲ که ایزوتوپی مفید در پژوهش‌های زیست-پزشکی است، مطابق طرح واپاشی شکل ۸.۴، از طریق دوسازکار رقیب گسیل پوزیترون و گیراندازی K (که در بخش بعدی مورد بحث قرار می‌گیرد) به ^{22}Ne تبدیل می‌شود. در ۸۹.۸٪ موارد این تبدیل، پوزیترون گسیل می‌شود و این در حالی است که ۱۰.۲٪ باقیمانده موارد را گیراندازی K به عنوان مد واپاشی رقیب به خود اختصاص می‌دهد. هردو مد واپاشی به تولید ^{22}Ne در حالت برانگیخته منجر می‌شوند که انرژی برانگیختگی بلافاصله به صورت یک پرتو گامای 12277 MeV از آن خارج می‌شود. جرم اتمی دقیق نئون را می‌توان به کمک معادله (۱۲.۴) و اطلاعات تبدیل پوزیترون محاسبه کرد



شکل ۸.۴ طرح واپاشی (تبدیل) سدیم ۲۲.

$$\begin{aligned}
 M(^{22}\text{Ne}) &= M(^{22}\text{Na}) - 2M_e - Q_m \\
 &= 22.001404 - \frac{(0.544 + 1.277) \text{ MeV}}{931 \text{ MeV/amu}} \\
 &= 21.998352 \text{ amu}
 \end{aligned}$$

چون پوزیترون همانند الکترون است، خطر تابشی ناشی از خود پوزیترونها کاملاً مشابه با خطر ناشی از ذرات بستگی ندارد. اما پرتوهای گامای حاصل از نابودی پوزیترون باعث می‌شوند که تمام ایزوتوپهای گسیلمندهٔ پوزیترون را بالقوه خطر تابش خارجی تلقی کنیم.

گیراندازی الکترون مداری

معادله (۱۲.۳) نشان می‌دهد که در صورتی يك اتم کم-نوترون از طریق گسیل پوزیترون به پایداری می‌رسد که وزنش دستگم به اندازه جرم دوالکترون بیشتر از وزن عنصر دختر باشد. چنانچه این شرط برقرار نباشد، کمبود نوترون از طریق فرایندی به نام گیراندازی الکترون یا گیراندازی K بر طرف می‌شود. در این تبدیل پرتوزا، هسته یکی از الکترونها بر ون‌هسته‌ای را گیراندازی می‌کند، و از ترکیب آن با یک پروتون درون‌هسته‌ای طبق معادله زیر یک نوترون تشکیل می‌شود



چون الکترونها پوسته K از هر پوسته دیگری به هسته نزدیکترند، احتمال اینکه الکترون مداری گیراندازی شده از پوسته K باشد خیلی بیشتر از پوسته‌های دیگر است. به همین دلیل نام دیگر این فرایند را گیراندازی K انتخاب کرده‌اند که متداول‌تر است. در مورد گیراندازی K ، مانند گسیل پوزیترون، عدد اتمی دختر- هسته یک واحد کمتر از مادر- هسته می‌شود، در حالی که عدد جرمی بدون تغییر می‌ماند. برقراری شرط پایستگی انرژی در گیراندازی K نسبت به گسیل پوزیترون، با سهولت بیشتری امکان پذیر است. لازمه وقوع این فرایند این است که معادله پایستگی زیر برقرار شود

$$M_p + M_e = M_d + \phi + Q \quad (14.4)$$

که در آن M_p و M_d جرم‌های اتمی مادر و دختر، M_e جرم الکترون گیراندازی شده، ϕ انرژی پستگی الکترون گیراندازی شده، و Q انرژی واکنش است.

معادله (۱۴.۴) را به کمک مد گیراندازی K در تبدیل ^{22}Na می‌توان توضیح داد. انرژی پستگی، ϕ ، الکترون K در سدیم برابر با 1.08 keV است. بنابراین، انرژی واباشی Q را می‌شود به صورت زیر بدست آورد

$$Q = M(^{22}\text{Na}) + M_e - M(^{22}\text{Ne}) - \phi$$

$$= 225001404 + 0.000548 - 215998352 - \frac{0.000108 \text{ MeV}}{931 \text{ MeV/amu}}$$

$$= 0.0003600 \text{ amu}$$

که مقدار آن بر حسب MeV عبارت است از

$$Q = 0.00036 \text{ amu} \times 931 \frac{\text{MeV}}{\text{amu}}$$

$$= 3.352 \text{ MeV}$$

چون یک پرتو گامای با انرژی 1.277 MeV هم در این فرایند گسیل می‌شود، باقیمانده انرژی برابر است با $2.075 \text{ MeV} = 1.277 - 1.352$. انرژی پس زنی در قبال فوتون پرتو گاما، بسیار اندک و قابل گذشت است. از این‌رو، باقیمانده انرژی باید نصیب نوترینو شود. هرچند که این مثال برای واکنش خاصی در نظر گرفته شده است، با وجود این توضیح مطلب درمورد تمام واکنشهای گیراندازی K صادق است. همیشه در قبال گیراندازی یک الکترون مداری، یک نوترینو گسیل می‌شود. بدین گونه دیده می‌شود که در تمام انواع واپاشیهای پرتوزا که شامل گیراندازی یا گسیل یک الکترون‌اند، برقراری شرط پایستگی انرژی مستلزم گسیل یک نوترینو خواهد بود. اما، در اینجا به یک تمایز بارز باید توجه داشت: در واپاشی پوزیtron یا بنای معمولی، انرژی نوترینو برابر است با اختلاف میان انرژی جنبشی ذره در عمل و بیشینه انرژی جنبشی مشاهده شده، و به همین دلیل طیف انرژی نوترینو توزیعی پیوسته دارد. این در حالی است که نوترینوی حاصل از گیراندازی الکترون مداری، لزوماً تک انرژی خواهد بود.

هر وقت که تبدیل اتمی از طریق گیراندازی الکترون مداری صورت می‌گیرد، از عنصر دختر که الکترونی از مدار بیرونی اش به تراز انرژی الکترون گیراندازی شده سقوط می‌کند یک پرتو X مشخصه گسیل خواهد شد. اینکه پرتوهای X لزوماً مشخصه عنصر دختر هستند ناشی از این واقعیت است که، فوتون پرتو X بعداز گیراندازی الکترون مداری توسط هسته و در پی تبدیل آن به دختر هسته، گسیل می‌شود. مشخص فیزیک بهداشت، هنگامی که دز جذبی تابش ناشی از ایزوتوپهایی را که از طریق گیراندازی الکترون واپاشیده می‌شوند محاسبه می‌کند، باید این پرتوهای مشخصه X کم‌انرژی را نیز در نظر بگیرد.

پرتوهای گاما

پرتوهای گاما عبارت‌اند از تابش‌های الکترومغناطیسی تک انرژی که از هسته‌های برانگیخته

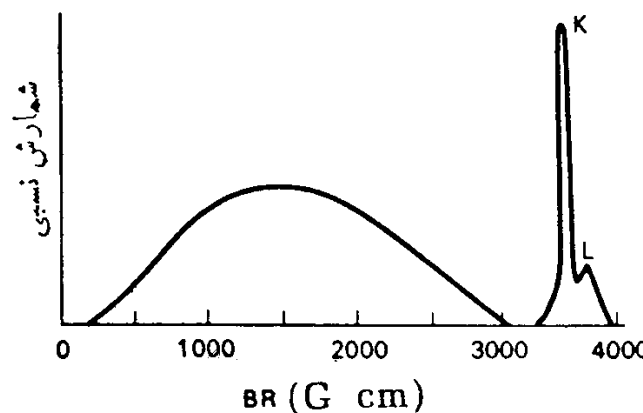
حاصل از تبدیل پرتوza گسیل می شوند. گسیل این پرتوها خود سازوکاری است که توسط آن انرژی برانگیختگی هسته ها آزاد می شود. از آنجا که متخصص فیزیک بهداشت با تمام تابش های گسیل شده از مواد پرتوza سروکار دارد، و چون پرتو X از پرتو گاما تمامیز ناپذیر است، در ارزیابی خطرات تابش باید پرتو های مشخصه X حاصل از ساختار برون هسته ای ایزو توپها را نیز در نظر بگیرد. اما، به دلیل انرژی اندک پرتو های مشخصه X، عملتای در مواردی که ایزو توپها پرتوza در داخل محیط قرار می گیرند حائز اهمیت می شوند. از نظر فیزیک بهداشت، پرتو های گامای حاصل از γ بودی متفاصل پوزیترون و الکترون را نیز معمولا همراه تابش گسیلنده های پوزیترون باید در نظر گرفت. برای مثال، هنگامی که خطرات تابشی ^{22}Na را بررسی می کنیم، لازم است که علاوه بر فوتون گامای در طرح واپاشی نموده می شود، دوفوتون ناشی از فرایند نابودی را نیز در نظر بگیریم. البته، فوتونهای اخیر در طرح واپاشی نشان داده نمی شوند. بنابراین، دستورالعمل کای در فیزیک بهداشت این است که در تمام مسائل مربوط به حفاظها، دزسنجی، و ارزیابی خطرات تابش، گسیل پوزیترون را باید همراه با تابش گاما در نظر گرفت.

تبدیل داخلی

تبدیل داخلی سازوکار دیگری است که از طریق آن یک هسته برانگیخته گسیلنده گاما انرژی برانگیختگی خود را آزاد می کند. در این فرایند یک الکترون قویاً مقید در اتم، با هسته اش وارد برهم کنش می شود، انرژی برانگیختگی را از هسته می گیرد و خود از اتم به بیرون پرتاپ می شود. الکترونها تبدیل داخلی به صورت گروههای تک انرژی ظاهر می شوند. انرژی جنبشی الکترون حاصل از این فرایند، همواره برابر است با اختلاف انرژی فوتون گامای گسیل شونده و انرژی بستگی الکترون مقید در عنصر دختر. از آنجا که در عناصر با عدد اتمی بالا، ترازهای انرژی L هم الکترونها می انجامد که انرژی شان تبدیل داخلی در این گونه عناصر به گسیل دو گروه از الکترونها می انجامد که انرژی شان به اندازه اختلاف انرژی ترازهای K و L با هم متفاوت است. طبق این نتایج آزمایشی، می توان تبدیل داخلی را به مثابه یک اثر فوتولکتریک داخلی تصور کرد، یعنی برهم کنشی که در آن فوتون گاما با یک الکترون قویاً مقید برخورد می کند و تمام انرژی اش را به الکترون منتقل می کند. بخشی از انرژی فوتون به صورت کار لازم برای غلبه بر انرژی بستگی الکترون درمی آید، و بخشی دیگر انرژی جنبشی الکترون را تشکیل می دهد. این نکته را با معادله ریاضی زیر می توان بیان کرد

$$E_\gamma = E_e + \phi \quad (15.4)$$

که در آن E_γ انرژی پرتو گاما، E_e انرژی جنبشی الکترون تبدیل داخلی، و ϕ انرژی بستگی الکترون است. از آنجا که الکترونها تبدیل داخلی تک انرژی اند، در طیف پیوسته



شکل ۹.۴ طیف بتای سزیم ^{137}Cs که الکترونهای تبدیل داخلی ترازهای K و L را نشان می‌دهد.

ذرات بتای ناشی از ایزوتوپ به صورت طیفهای خطی نمایان می‌شوند. مثال جالب توجهی از تبدیل داخلی، در واپاشی ^{137}Cs دیده می‌شود. این ایزوتوپ در اثر گسیل بتا به حالت برانگیخته‌ای از ^{137}Ba تحول می‌یابد. سپس ^{137}Ba یک فوتون گاما می‌باشد با انرژی 66.6 keV از خود گسیل می‌کند که در 11% از موارد این گذار به تبدیل داخلی منجر می‌شود. ضریب تبدیل داخلی، α ، که به صورت نسبت تعداد الکترونهای تبدیل به تعداد فوتونهای پرتو گاما تعریف می‌شود

$$\alpha = \frac{N_e}{N_\gamma} \quad (16.4)$$

در این مورد برابر 11% است. الکترونهای تبدیل داخلی که ظاهرآ از ^{137}Cs ناشی می‌شوند، مطابق شکل ۹.۴، به صورت زائده‌ای روی طیف بتا نمایان می‌شوند. پس از انجام تبدیل داخلی، چون الکترونهای مدار بیرونی جای خالی الکترونهای ترازهای عمیقتر را پسرمی‌کنند، پرتوهای X مشخصه گسیل می‌شود. این پرتوهای X مشخصه هم، به نوبه خود، ممکن است از طریق یک فرایند فوتوالکتریک داخلی در همان اتمی که خود از آن گسیل شده‌اند جذب شوند (یعنی فرایند دیگری که ماهیتش همان تبدیل داخلی است). الکترونهای حاصل از این فرایند را الکترونهای اوژه می‌نامند. انرژی جنبشی این الکترونها خیلی کم است.

سینماتیک تبدیل

نیمه عمر

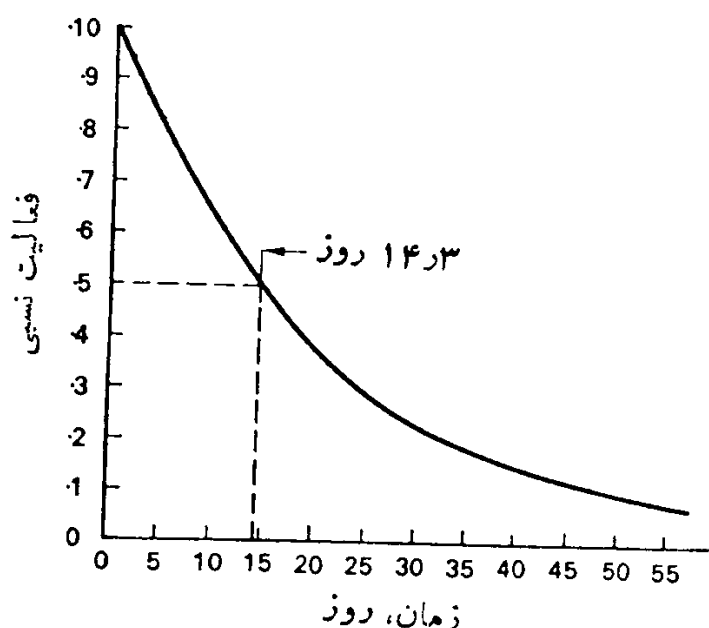
ایزوتوپهای گوناگون با آهنگهای متفاوتی واپاشیده می‌شوند، و هر ایزوتوپی آهنگ واپاشی

مشخصه‌ای دارد. برای مثال، چنانچه فعالیت (активите) ^{32}P را در طی حدود ۳ ماه به طور روزانه اندازه‌گیری کنیم، و درصد این اندازه‌گیریها بر حسب فعالیت اولیه را به صورت تابعی از زمان رسم کنیم، منحنی شکل ۱۰.۴ به دست می‌آید. این منحنی نشان می‌دهد که نیمی از هسته‌های ^{32}P در مدت ۳ روز ۱۴ روز واپاشیده می‌شوند، نیمی از هسته‌های باقیمانده در مدت ۳ روز ۱۶ روز دیگر، و نیمی از آنچه بر جای می‌ماند در مدت ۳ روز ۱۴ روز بعدی تبدیل می‌شوند و همین طور تا به آخر.

اگر آزمایش مشابهی با استفاده از ایزوتوپ ^{131}I ترتیب دهیم، مشاهده خواهیم کرد که این یک با آهنگ سرعتی واپاشیده می‌شود. نیمی از یک بعد از ۸ روز ناپدیدمی‌شود، و پس از ۱۶ روز سه‌چهارم از فعالیت اولیه ناپدید می‌شود، و همین طور هفت هسته‌ها بعد از ۲۴ روز واپاشیده می‌شوند.

زمان لازم برای کاهش هر ایزوتوپ پرتوزا به یک دوم مقدار اولیه‌اش، معیاری از سرعت تبدیل آن ایزوتوپ پرتوزا به ایزوتوپ دیگر است. این دوره زمانی را نیمه‌عمر می‌نامند که از جمله مشخصه‌های هر ایزوتوپ پرتوزا است. هر ایزوتوپ پرتوزا بی آهنگ تبدیل خاص خود را دارد، و هیچ عمل فیزیکی یا شیمیایی وجود ندارد که این آهنگ تبدیل را تغییر دهد. نیمه‌عمر یک ایزوتوپ پرتوزا، خاصیتی تغییر ناپذیر از آن ایزوتوپ است. نیمه‌عمر ایزوتوپ‌های پرتوزا گوناگون از چند میکروثانیه تا چند میلیارد سال است. با توجه به تعریف نیمه‌عمر معلوم می‌شود که پس از گذشت n نیمه‌عمر از یک ایزوتوپ پرتوزا، کسر باقیمانده آن عبارت است از

$$\frac{A}{A_0} = \frac{1}{2^n} \quad (10.4)$$



شکل ۱۰.۴ کاهش فعالیت ^{32}P .

که در آن A_0 فعالیت اولیه، و A فعالیت بر جای مانده پس از n نیمه عمر است.

مثال ۱۰۴

کبات ۵۶ که یک ایزوتوپ پرتوزای گسیلنده گاما با نیمه عمر ۳۵ سال است، به عنوان چشمۀ تابش در دستگاههای پرتونگاری (رادیوگرافی) به کار می‌رود. به دلیل کاهش پرتوزایی چشمۀ باگذشت زمان، مدت زمان پرتودهی را برای هر پرتونگار است (رادیوگراف) به طور سالانه افزایش می‌دهند. ضریب تصحیح زمان پرتودهی را برای جبران شدن کاهش قدرت چشمۀ به دست آورید.

حل: معادله (۱۷۰۴) را می‌توان به صورت زیر بازنویسی کرد

$$\frac{A_0}{A} = 2^n$$

اگر از دو طرف این معادله لگاریتم بگیریم، داریم

$$\log \frac{A_0}{A} = n \log 2$$

که در آن n تعداد نیمه عمرهای C_0 در طی یک سال برابر $0.189 = 0.189 / 0.5$ می‌شود

$$\log \frac{A_0}{A} = 0.189 \times 0.301$$

$$\frac{A_0}{A} = \text{antilog } 0.0569$$

$$= 1.14$$

نسبت مقدار اولیه کبات به مقدار باقیمانده پس از یک سال برابر ۱.۱۴ است. از این رو، زمان پرتودهی پس از یک سال را باید به اندازه ۱۴٪ افزایش داد. باید توجه داشت که این نسبت مستقل از مقدار واقعی فعالیت در آغاز و پایان سال است. پس از سال دوم هم، نسبت کبات موجود در آغاز سال دوم به مقدار آن در پایان سال برابر ۱.۱۴ خواهد بود. بدین ترتیب، همان ضریب تصحیح ۱.۱۴ را باید برای زمان پرتودهی هر سال نسبت به سال ماقبل به کار برد.

اگر اطلاعات مربوط به واپاشی هر ایزوتوپ را روی کاغذ نیم لگاریتمی رسم کیم، به طوری که اندازه گیریهای مقدار فعالیت روی محور لگاریتمی و زمان روی محور خطی برده شود، منحنی تغییرات به صورت خطی راست نمایان می‌شود. چنانچه محور زمان

بر حسب یکای نیمه‌عمر مدرج شود، منحنی حاصل فواید زیادی در بردارد که نمونه‌ای از آن در شکل ۱۱.۴ دیده می‌شود.

مثال تشریحی بالا را با استفاده از این منحنی هم می‌توانستیم حل کنیم. این منحنی نشان می‌دهد که در لحظه زمانی (نیمه‌عمر) $t = 1.89$ فعالیت باقیمانده در حدود ۷۷٪ فعالیت اولیه است. بدون ترتیب، ضریب تصحیح عکس عدد ۸۷۷ دارد خواهد شد

$$\text{ضریب تصحیح} = \frac{1}{0.877} = 1.14$$

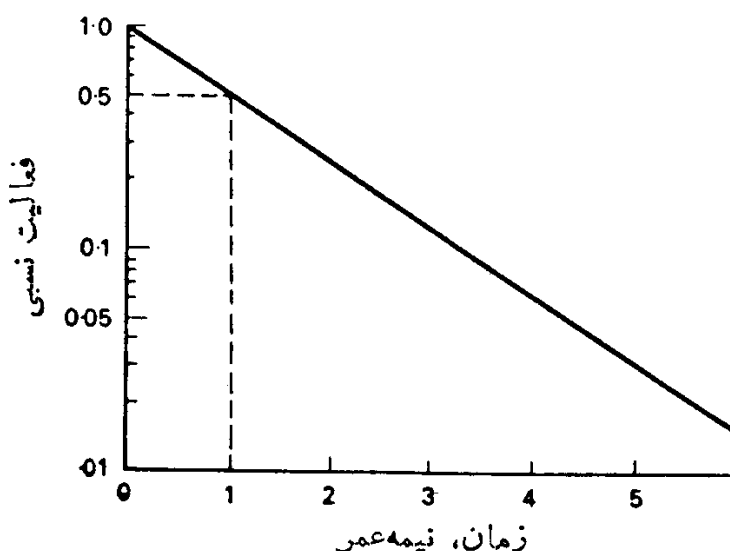
این واقعیت که نمودار فعالیت بر حسب زمان، هنگامی که روی کاغذ نیم لگاریتمی رسم می‌شود، به صورت خطی راست درمی‌آید حاکی از آن است که مقدار فعالیت باقیمانده پس از هر فاصله زمانی از معادله زیر به دست می‌آید

$$A = A_0 e^{-\lambda t} \quad (11.4)$$

که در آن A مقدار فعالیت اولیه، A_0 مقدار فعالیت باقیمانده پس از زمان t ، λ ثابت واپاشی، و t پایه لگاریتم طبیعی است. ثابت واپاشی (ثابت تبدیل)، کاهش نسبی فعالیت در واحد زمان است و به صورت زیر تعریف می‌شود

$$\lim_{\Delta t \rightarrow 0} \frac{\Delta N/N}{\Delta t} = -\lambda \quad (11.4)$$

که در آن N تعداد اتمهای پرتوزا، ΔN تعداد اتمهای واپاشیده در فاصله زمانی Δt است. کسر $\Delta N/N$ کاهش نسبی تعداد اتمهای پرتوزا در فاصله زمانی Δt است. علامت منفی مقابله با نشان می‌دهد که کمیت N در حال کاهش است. در مورد ایزوتوپهای پرتوزا



شکل ۱۱.۶ نمودار نیم‌لگاریتمی کلی که کاهش مقدار فعالیت را در اثر تبدیل نشان می‌دهد.

کوتاه-عمر، λ را می‌توان با استفاده از شیب منحنی واپاشی تجربی تعیین کرد. در مورد ایزوتوپهای دراز-عمر، می‌توان ثابت واپاشی λ را با اندازه‌گیری N و سپس شمارش تعداد واپاشی در ثانیه، $\Delta N/\Delta t$ ، و سرانجام قراردادن این مقادیر در معادله (۱۹.۴) به دست آورد.

مثال ۳.۴

آزمایش نشان می‌دهد که از یک میکروگرم رادیم در هر ثانیه تعداد $10^4 \times 10^3$ ذره آلفا گسیل می‌شود. اگر هر ذره آلفا نمایشگر واپاشی (یا تبدیل پرتوزایی) یک هسته رادیم باشد، ثابت واپاشی رادیم چقدر است؟

حل: در این حالت، ΔN برابر $10^4 \times 10^3$ ، Δt برابر یک ثانیه، و N تعداد اتمهای رادیم در هر میکروگرم است که می‌شود آن را چنین محاسبه کرد

$$N = \frac{6.02 \times 10^{23} \text{ atom/mol}}{A \text{ g/mol}} \times W \text{ g} \quad (20.4)$$

که در آن A وزن اتمی و W وزن نمونه رادیم است

$$N = \frac{6.02 \times 10^{23} \times 10^{-6}}{2.26 \times 10^2} = 2.66 \times 10^{15} \text{ atom}$$

بنابراین، ثابت واپاشی به صورت زیر به دست می‌آید

$$\lambda = \frac{\Delta N/N}{\Delta t} = \frac{3.7 \times 10^4 \text{ atom} / 2.66 \times 10^{15} \text{ atom}}{1 \text{ s}} = 1.39 \times 10^{-11} \text{ s}^{-1}$$

اگر یکای زمان را سال بگیریم، آنگه تبدیل سالیانه چنین می‌شود

$$\begin{aligned} \lambda &= \frac{1.39 \times 10^{-11} \text{ s}^{-1}}{3.14 \times 10^4 \text{ s}} \times \frac{10^2 \text{ d}}{1 \text{ y}} \\ &= 4.38 \times 10^{-4} \text{ y}^{-1} \end{aligned}$$

با استفاده از این مقدار λ ، و قراردادن آن در معادله (۱۸.۴)، می‌توان مقدار رادیم بر جای مانده را پس از هر دوره زمانی محاسبه کرد.

مثال ۳.۵

در طی یک دوره ۱۰۰۰ ساله، چند درصد از مقدار معینی رادیم واپاشیده خواهد شد؟ حل: کسر باقیمانده، پس از ۱۰۰۰ سال، عبارت است از

$$\frac{A}{A_0} = e^{-\lambda t} = e^{-4 \times 10^{-4} y - 1 \times 10^3 y} = e^{-5 \times 10^2 y} = 0.645 = 64.5\%$$

بدین ترتیب، درصد واپاشیده در این دوره ۱۰۰۰ ساله چنین می‌شود

$$100 - 64.5 = 35.5\%$$

ارتباط کمی میان نیمه عمر T و ثابت واپاشی λ را می‌توان با استفاده از معادله (۱۸.۴) و قراردادن $A/A_0 = 1/2$ به دست آورد. البته، در این مورد $t = T$ می‌شود

$$\frac{A}{A_0} = \frac{1}{2} = e^{-\lambda T}$$

$$T = \frac{0.693}{\lambda} \quad (21.4)$$

مثال ۲۱.۴

با معلوم بودن ثابت واپاشی $\lambda = 4 \times 10^{-4} y^{-1}$ به صورت $226 Ra$ نیمه عمر را بدیم را محاسبه کنید.

حل:

$$T = \frac{0.693}{\lambda}$$

$$= \frac{0.693}{4 \times 10^{-4} y^{-1}} = 16 \times 10^3 y$$

عمر میانگین

نیمه عمر ایزوتوپ، اگرچه یک مشخصه منحصر به فرد و تکرار پذیر آن ایزوتوپ است، ولی در عین حال یک خاصیت آماری است که تنها برای تعداد بسیار زیادی از اتمها مصدق دارد. (هر یک میکرو گرم را دیم تعداد $10^{15} \times 2.79 \times 10^{-4}$ اتم دارد). هر اتمی از یک ایزوتوپ پرتوزای خاص، در هر زمانی از لحظه صفر تا بینیست ممکن است واپاشیده و به ایزوتوپ دیگری تبدیل شود. در برخی از کاربردها، مانند دزسنجی ایزوتوپهای پرتوزا ایزوتوپ داخلی (که در فصل آن سخن خواهیم گفت)، استفاده از عمر میانگین ایزوتوپ پرتوزا کار بررسی را آسان می‌کند. عمر میانگین به طور ساده به صورت حاصل تقسیم مجموع طول عمرهای فرد فرد اتمها بر تعداد کل اتمها تعریف می‌شود.

آهنگ واپاشی لحظه‌ای مقداری ایزوتوپ پرتوزا که شامل N اتم باشد، عبارت

است از λN . در فاصله زمانی میان t و $t + dt$ ، تعداد واپاشیها برابر $\lambda N dt$ می‌شود. اما هر اتمی که در این فاصله زمانی واپاشیده شود، دستکم طول عمری برابر با t داشته است. بنابراین، مجموع طول عمرهای همه اتمها بی که از لحظه $t = 0$ تا لحظات میان t و $t + dt$ دوام آورده‌اند، عبارت است از $\lambda N dt$. عمر میانگین نمونه پرتوزا، τ ، چنین خواهد بود

$$\tau = \frac{1}{N_0} \int_0^\infty t \lambda N dt \quad (22.4)$$

که در آن N تعداد اتمهای پرتوزایی موجود در لحظه $t = 0$ است. چون می‌دانیم

$$N = N_0 e^{-\lambda t}$$

خواهیم داشت

$$\tau = \frac{1}{N_0} \int_0^\infty t \lambda N_0 e^{-\lambda t} dt \quad (23.4)$$

هنگامی که از این عبارت به طریق جزء به جزء انتگرال بگیریم، عمر میانگین ایزوتوب پرتوزا چنین به دست می‌آید

$$\tau = \frac{1}{\lambda} \quad (24.4)$$

اگر در معادله (۲۲.۴) به جای ثابت واپاشی، مقدار آن را بر حسب نیمه عمر ایزوتوب پرتوزا قرار دهیم

$$\lambda = \frac{0.693}{T}$$

رابطه میان نیمه عمر و عمر میانگین، به صورت زیر به دست می‌آید

$$\tau = \frac{T}{0.693} = 1.45 T \quad (25.4)$$

فعالیت

بکری

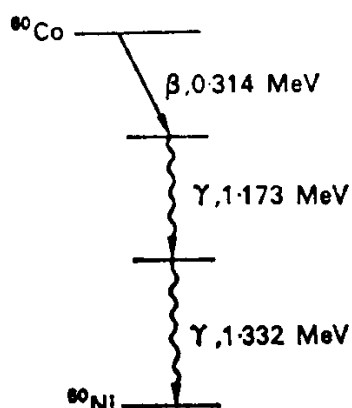
تعداد اتمهای موجود در هر گرم از اورانیم ۲۳۸ و عنصر دخترش، ^{234}Th ، تقریباً یکسان و برابر $1.5 \times 10^{21} \times 25$ است. اما نیمه عمرهای این دو عنصر خیلی باهم متفاوت است. نیمه عمر

ل ۲۳۸ برابر ۱۵×۵ سال است، درحالی که نیمه عمر ^{234}Th برابر ۲۴۱ روز (یا $2 \times ۱۵ \times ۶۳$ سال) است. بنابراین، سرعت واپاشی توریم ۲۳۴ در حدود $۱۰ \times ۸ \times ۶$ برابر سرعت تبدیل ل ۲۳۸ است. به عنوان نمونه دیگری از اختلاف زیاد در سرعت تبدیل، می‌توان به واپاشیهای ^{35}S و ^{32}P توجه کرد. نیمه عمرهای این دو نوع ایزوتوپ پرتوزا، که تعداد اتمهاشان در هر گرم تقریباً باهم مساوی است، به ترتیب برابر ۸۷ روز و ۳×۱۴ روز است. بدین گونه، واپاشی فسفر پرتوزا ۶ بار سریعتر از واپاشی ^{35}S انجام می‌شود. هنگام کاربرد ایزوتوپهای پرتوزا، توجه اصلی معطوف به تابشهاست. از این‌رو، در نمونه‌های اخیر پرتوزا ای $۱/۶$ گرم از ^{32}P تقریباً معادل ۱ گرم ^{35}S خواهد بود، و همین طور فعالیت ۱۵ میکروگرم ^{234}Th تقریباً معادل ۱ گرم ل ۲۳۸ می‌شود. بنابراین، بدیهی است که یکای گرم در کارهای مربوط به پرتوزا ای، یکای مناسب و مفیدی نیست. یکای مقدار پرتوزا ای را برای اینکه مفید و با معنی باشد، باید بر پایه فعالیت تعریف کرد. این یکای را که بکرل نامیده می‌شود (و آن را با نماد Bq نمایش می‌دهند) چنین تعریف می‌کنیم:

بکرل، مقداری ماده پرتوزاست که در هر ثانیه یک اتم از آن واپاشیده می‌شود

$$1 \text{ Bq} = 1 \text{ tps} \quad (۲۶.۴)$$

در اینجا tps به معنی واپاشی (یا تبدیل) در ثانیه به کار رفته است. باید خاطر نشان کرد که اگرچه بکرل به صورت تعداد اتمها و واپاشیده در هر ثانیه تعریف می‌شود، ولی این یکای معیاری برای تعیین آهنگ واپاشی نیست بکرل معیاری است که تنها برای تعیین مقدار ماده پرتوزا به کار می‌دارد. عبارت «در هر ثانیه یک اتم واپاشیده می‌شود» که در تعریف بکرل به کار رفت، متراff با تعداد ذرات گسیل شده از ایزوتوپ پرتوزا در هر ثانیه نیست. برای مثال، در مورد ایزوتوپی که فقط ذره بتا گسیل می‌کند (بتا - گسیل محض)، ۱ به گسیل یک ذره بتا در هر ثانیه منجر می‌شود. اما در مورد ایزوتوپ پرتوزا پیچیده‌تر، مانند ^{60}Co (شکل ۱۲.۴)، در هر واپاشی یک ذره بتا و دو فوتون گاما آزاد می‌شود؛ و از این‌رو، به ازای هر بکرل تعداد ۳ ذره تابشی در هر ثانیه خواهیم داشت. از سوی دیگر، در مورد ^{60}K (شکل ۱۶.۴)، ۲۵٪ از بتاهای گسیل شده با یک کوانتوم منفرد گاما همراه‌اند. بنابراین، تعداد



شکل ۱۲.۴ طرح واپاشی کیالت ۶۰.

کل گسیلها از ۱ بکرل ${}^{42}\text{K}$ برابر است با 2×10^{-1} ذره در هر ثانیه. مقدار فعالیت متناظر با بکرل، در بسیاری از موارد، خیلی کوچک است و معمولاً از مضارب آن به صورت زیر استفاده می‌شود

$$1\text{ kBq} = 10^3\text{ Bq}$$

$$1\text{ MBq} = 10^6\text{ Bq}$$

$$1\text{ GBq} = 10^9\text{ Bq}$$

$$1\text{ TBq} = 10^{12}\text{ Bq}$$

کوری

پیش از آنکه بکرل به عنوان یکای پرتوژایی در دستگاه SI پذیرفته شود، یکای دیگری برای این کمیت به کارمی رفت که کوئی نام دارد و نماد آن Ci است. کوری را که در ابتدا به صورت مقدار فعالیت ۱ گرم ${}^{226}\text{Ra}$ تعریف شده بود، به طور مستقیم می‌توان چنین تعریف کرد:

کوری، فعالیت مقداری از ماده پرتوژاست که در هر ثانیه تعداد 3.7×10^{10} انم در آن واپاشیده می‌شوند.

رابطه میان کوری و بکرل چنین است

$$1\text{ Ci} = 3.7 \times 10^{10}\text{ Bq} \quad (27.4)$$

هم در فیزیک بهداشت و هم در بسیاری از کاربردهای دیگر، مقدار فعالیت متناظر با کوری خیلی بزرگ است. بدین ترتیب از اجزای این یکا، به صورت زیر استفاده می‌شود

$$1\text{ mCi} = 10^{-3}\text{ Ci}$$

$$1\text{ }\mu\text{Ci} = 10^{-6}\text{ Ci}$$

$$1\text{ nCi} = 10^{-9}\text{ Ci}$$

$$1\text{ pCi} = 10^{-12}\text{ Ci}$$

$$1\text{ fCi} = 10^{-15}\text{ Ci}$$

فعالیت ویژه

توجه دارید که اگر چه بکرل (یا کوری) به عنوان یک کمیت به کارمی رود، ولی این

یک در باره جرم یا حجم ماده پر توزای با تعداد واپاشی معین چیزی نمی‌گوید. تراکم پر توزایی یا ارتباط بین مقدار فعالیت و جرم ماده پر توزا را با فعالیت ویژه مشخص می‌کنند. فعالیت ویژه عبارت است از تعداد بکرل (یا کوری) در واحد جرم یا واحد حجم ماده پر توزا. فعالیت ویژه یک ایزوتوب پر توزای بدون حامل، یعنی ایزوتوبی که با انواع دیگر ایزوتوبها مخلوط نشده است، به ترتیب زیر محاسبه می‌شود:

اگر در یک مجموعه N اتمی، ثابت واپاشی را بر حسب معکوس ثانیه با λ نشان دهیم، فعالیت بکرل یا تعداد واپاشی در ثانیه به صورت λN خواهد بود. اگر وزن نمونه مورد بررسی ۱ گرم باشد، تعداد اتمهای موجود در نمونه پر توزا طبق معادله (۲۰.۴) برابر است با

$$N = \frac{6.02 \times 10^{23} \text{ atom/mol}}{A \text{ g/mol}}$$

که در آن A وزن اتمی ایزوتوب مورد بررسی است. بدین ترتیب، فعالیت ویژه یا فعالیت واحد وزن نمونه به صورت زیر به دست می‌آید

$$SA = \lambda N = \frac{\lambda \times 6.02 \times 10^{23}}{A} \text{ Bq/g} \quad (28.4)$$

این معادله، ارتباط بین فعالیت ویژه و وزن ایزوتوب را به دست می‌دهد. اگر به جای λ مقدارش را با استفاده از معادله (۲۸.۴) بر حسب نیمه عمر قرار دهیم، خواهیم داشت

$$\lambda N = \frac{0.693}{T} \times \frac{6.02 \times 10^{23}}{A} \quad (29.4)$$

$$SA = \frac{0.18 \times 10^{23}}{A \times T} \text{ Bq/g}$$

توجه داشته باشید که معادلات (۲۹.۴) و (۲۸.۴) فقط هنگامی برقرار می‌شوند که λ و T بر حسب یکای ثانیه بیان شوند. با استفاده از این موضوع که در ۱ گرم ^{226}Ra در هر ثانیه $1.0 \times 10^{-3} \text{ رادیو ایزوتوب}$ می‌گیرد، می‌توان فرمولی آسانتر برای محاسبه فعالیت ویژه به دست آورد. با توجه به این نکته، فعالیت ویژه ^{226}Ra برابر با $1.0 \times 10^{-3} \text{ رادیو ایزوتوب}$ در گرم است. نسبت فعالیت ویژه هر ایزوتوب، SA_i ، به فعالیت ویژه ^{226}Ra عبارت است از

$$\frac{SA_i \text{ Bq/g}}{3.7 \times 10^{-3} \text{ Bq/g}} = \frac{0.18 \times 10^{23} / A_i \times T_i}{0.18 \times 10^{23} / A_{\text{Ra}} \times T_{\text{Ra}}} \quad (30.4)$$

$$SA_i = 3.7 \times 10^{-3} \times \frac{A_{\text{Ra}} \times T_{\text{Ra}}}{A_i \times T_i} \text{ Bq/g}$$

که در آن A_{Ra} وزن اتمی ^{226}Ra و برابر ۲۲۶ است، A_i وزن اتمی ایزوتوپ پرتوزای مورد بررسی است و T_i و T_{Ra} به ترتیب نیمه عمرهای رادیم و ایزوتوپ نه هستند. تنها شرط برقراری معادله (۳۰.۴) این است که برای نیمه عمرها از یکایی یکسان استفاده شود. به همین ترتیب، فعالیت ویژه برحسب Ci/g چنین به دست می‌آید

$$SA_i = \frac{A_{Ra} \times T_{Ra}}{A_i \times T_i} \quad (31.4)$$

مثال ۵.۴

فعالیتهای ویژه ^{14}C و ^{35}S را با معلوم بودن نیمه عمرهایشان (۵۷۳۰ سال و ۸۷ روز) تعیین کنید.

حل: فعالیت ویژه کربن ۱۴ به صورت زیر به دست می‌آید

$$SA = ۳۷ \times 10^{10} \times \frac{۲۲۶ \times ۱۶۰۰\text{y}}{۱۴ \times ۵۷۳۰\text{y}}$$

$$= ۱۷ \times 10^{11} \text{Bq/g} = ۴۶ \times 10^4 \text{Ci/g}$$

و برای ^{35}S خواهیم داشت

$$SA = ۳۷ \times 10^{10} \times \frac{۲۲۶ \times ۱۶۰۰\text{y} \times ۳۶۵\text{d/y}}{۳۵ \times ۸۷\text{d}}$$

$$= ۱۶ \times 10^{15} \text{Bq/g} = ۴۵ \times 10^4 \text{Ci/g}$$

در اینجا، فعالیتهای ویژه را برای ایزوتوپهای بدون حامل ^{14}C و ^{35}S محاسبه کردیم. در بسیاری از موارد، بویژه وقتی که از ایزوتوپ پرتوزا برای نشاندار کردن ترکیبات استفاده می‌شود، ایزوتوپ را نمی‌توان بدون حامل دانست. در این گونه موارد، ایزوتوپ پرتوزا فقط بخشی فوق العاده کوچک، چه از نظر وزنی و چه از نظر تعداد اتمها، از جسم نشاندار را تشکیل می‌دهد. در این صورت، معمولاً به طور مشخص از فعالیت ویژه یک عنصر یا ترکیب نشاندار سخن می‌گویند. به طور کلی، با توجه به مضمون مورد بحث می‌توان منظور از فعالیت ویژه را پدرستی دریافت.

مثال ۵.۵

فعالیت ویژه محلولی از $Hg(NO_3)_2$ که با ^{203}Hg نشاندار شده است، برابر $۱.۵ \times 10^5 \text{Bq/ml}$ ($۴\mu\text{Ci/ml}$) باشد،

(الف) فعالیت ویژه Hg چقدر است؟

- (ب) چه کسری از Hg^{203} موجود در $Hg(NO_3)_2$ ایزوتوب است؟
 (ج) فعالیت ویژه $Hg(NO_3)_2$ چقدر است؟
 حل: (الف) فعالیت ویژه Hg^{203} عبارت است از

$$SA(Hg) = \frac{1.5 \times 10^5 \text{ Bq/ml}}{5 \text{ mg Hg/ml}} = 3 \times 10^5 \text{ Bq/mg Hg}$$

(ب) نسبت وزنی جیوه نشاندارشونده به صورت زیر است

$$\frac{SA(Hg)}{SA(203Hg)}$$

فعالیت ویژه $203Hg$ را می‌توان با استفاده از معادله (۳۰.۴) محاسبه کرد

$$SA(203Hg) = 3.7 \times 10^{10} \times \frac{2.26 \times 10^3 \text{ y} \times 3.65 \times 10^2 \text{ d/y}}{203 \times 46.5 \text{ d}} \\ = 5.2 \times 10^{14} \text{ Bq/g} = 1.4 \text{ Ci/g}$$

بنابراین، نسبت وزنی $203Hg$ برابر است با

$$\frac{5.3 \times 10^8 \text{ Bq/g Hg}}{5.2 \times 10^{14} \text{ Bq/g } 203Hg} = 5.8 \times 10^{-8} \frac{\text{g } 203Hg}{\text{g Hg}}$$

(ج) چون کسر فوق العاده کوچکی از جیوه با $203Hg$ نشاندار شده است، وزن مولکولی جسم نشاندار $Hg(NO_3)_2$ را می‌توان برابر ۳۲۴.۶۳ فرض کرد، همچنین غلظت $Hg(NO_3)_2$ را می‌توان به صورت زیر به دست آورد

$$\frac{324.63 \text{ mg Hg}(NO_3)_2}{200.61 \text{ mg Hg}} \times \frac{5 \text{ mg Hg}}{\text{ml}} = 8.1 \frac{\text{mg Hg}(NO_3)_2}{\text{ml}}$$

بنابراین، فعالیت ویژه $Hg(NO_3)_2$ عبارت است از

$$\frac{1.5 \times 10^5 \text{ Bq/ml}}{8.1 \text{ mg Hg}(NO_3)_2/\text{ml}} = 1.9 \times 10^4 \text{ Bq/mg Hg}(NO_3)_2 \\ = 0.5 \mu\text{Ci/mg Hg}(NO_3)_2$$

مثال ۷.۴

در آزمایشی که دستکم نیازمند فعالیت ویژه‌ای معادل 10^7 واپاشی در دقیقه در میلی لیتر است، آب‌امی توان از اتانول مطلق تجاری که به کمک C^{14} نشاندار شده است

فعالیت ویژه‌ای معادل 1 mCi/mol دارد، استفاده کرد؟
چنگالی الکل برابر 789 g/cm^3 است.

حل: فعالیت ویژه C^{14} ، با استفاده از معادله (31.4) ، برابر 1 Ci/g بدست می‌آید. بنابراین، وزن نمونه‌ای از C^{14} با فعالیت یک میلی‌کوری عبارت است از

$$\frac{10^{-3} \text{ Ci}}{461 \text{ Ci/g}} = 2.2 \times 10^{-4} \text{ g}$$

و تعداد اتمهای پرتوزای C^{14} که در 2.2 mg نمونه وجود دارد، چنین می‌شود

$$\text{atom} = \frac{6.02 \times 10^{23} \text{ atom/mol}}{14 \text{ g/mol}} \times 2.2 \times 10^{-4} \text{ g} = 9.3 \times 10^{18}$$

چون تعداد مولکول‌های موجود در یک مول برابر عدد آووگادرو است، و هر مولکول نشاندار فقط یک اتم کربن 14 در خود دارد، تعداد نسبی مولکول‌های اتانول نشاندار عبارت است از

$$(15 \text{ در میلیون}) = \frac{9.3 \times 10^{18}}{10^{23} \times 10^{-4}}$$

بدین ترتیب، در تمام موارد عملی، هنگام محاسبه وزن مولکولی اتانول نشاندار می‌توان از افزایش وزن ناشی از کربن 14 صرفنظر کرد؛ و در محاسبه فعالیت حاصل از هرسانتی متر مکعب الکل می‌شود از وزن مولکولی پذیرفته شده اتانول، 578 g ، استفاده کرد

$$1 \frac{\text{mCi}}{\text{mol}} \times \frac{1 \text{ mol}}{46078 \text{ g}} \times 2.2 \times 10^9 \frac{\text{dis/min}}{\text{mCi}} \times 789 \frac{\text{g}}{\text{cm}^3}$$

$$= 3.8 \times 10^2 \frac{\text{t/min}}{\text{cm}^3}$$

بنابراین، در اینجا باید گفت که اتانول تجاری قابل استفاده است.

پرتوزایی طبیعی

ماده پرتوزایی طبیعی که بکرل در سال ۱۸۹۶ کشف کرد، آمیزه‌ای از چند نوع ایزوتوپ بود که ارتباط آنها با یکدیگر بعدها معلوم شد. این آمیزه را اعضای یک سری طولانی از ایزوتوپهای عنصر گوناگون تشکیل می‌داد که همه آنها پرتوزا بودند مگر آخرینشان.

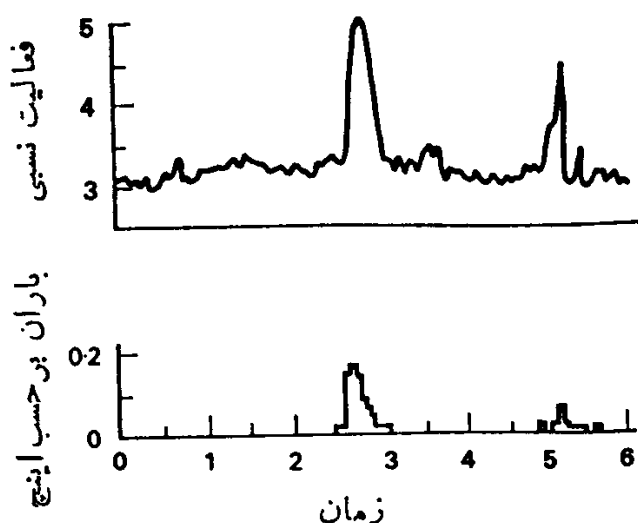
اورانیم که فراوانترین عنصر پرتوزا در این سری است، از سه ایزوتوپ مختلف تشکیل شده است، در حدود ۳۹.۹% از اورانیم طبیعی را ^{238}U تشکیل می‌دهد، در حدود ۷.۵% ^{235}U است، و بخش ناچیزی از آن هم ($\text{حدود } ۳\text{--}۵\%$) را ^{234}U دارد. ^{238}U و ^{234}U هردو به یک خانواده که همان سری اورانیم است تعلق دارند، در حالی که ایزوتوپ ^{235}U اولین عضو از خانواده دیگر به نام خانواده اکتینیم است. فراوانترین ایزوتوپ پرتوزای طبیعی، ^{232}Th ، اولین عضو از زنجیره طویل دیگری از ایزوتوپهای پرتوزایی است. تمام ایزوتوپهایی که عضو سری پرتوزا هستند، در بخش عناصر سنگین جدول تناوبی عناصر قراردارند. پایینترین عدد اتمی در این گروه ۸۱، و پایینترین عدد جرمی ۲۰۷ است. سریهای پرتوزا همگی چند ویژگی مشترک دارند. نخستین ویژگی آنها این است که اولین عضو در هرسری خیلی دراز-عمر است، و نیمه عمرها یشان را می‌توان بر حسب یکاهای زمین شناختی بیان کرد. این نکته که اولین عضو هر خانواده می‌باشد خیلی دراز-عمر باشد، قابل درک است. زیرا اگر گذشت زمان را از آغاز پیدایش جهان در نظر بگیریم، ایزوتوپهای نسبتاً کوتاه-عمر در خلال این چند میلیارد سالی که تصور می‌رود از پیدایش زمین می‌گذرد، واپاشیده و ناپدیدشده‌اند. این موضوع به کمک یک سری مصنوعی ایزوتوپها که سری نپتونیم نامیده می‌شود، قابل توجیه است. در این مورد، اولین عضو خانواده عنصر فرااورانیم ^{241}Pu است که در آزمایشگاه از طریق بمباران نوترونی ^{239}Pu که در رآکتور تولید می‌شود، به دست می‌آید. اما، نیمه عمر ^{241}Pu فقط در حدود ۱۳ سال است. به علت همین نیمه عمر کوتاه است که حتی گذشت یک سده هم کافی است که بخش بزرگی از هسته‌های ^{241}Pu واپاشیده و ناپدیدشوند. حتی دراز-عمر ترین عضو این خانواده، ^{237}Np با نیمه عمر 1.۵×10^6 سال، نیز آنقدر کوتاه-عمر است که اگر پیدایش آن را همزمان با دیگر عناصر زمین در نظر گیریم، باز هم تاکنون نمی‌باشد دوام آورده باشد.

ویژگی مشترک دوم در این سه خانواده طبیعی این است که هر کدام یک عضو گازی شکل دارد، و اینکه گاز پرتوزا در هر مورد ایزوتوپ خاصی از عنصر را دادون است. در مورد سری اورانیم، گاز تولید شده از نوع ^{222}Rn است که را دادون نامیده می‌شود، و در حالی که در سری توریسم این گاز از ^{220}Rn تشکیل می‌شود که آن را تورون می‌نامند، در سری اکتینیم گاز حاصل از نوع ^{219}Rn و به اکتینون موسوم است. باید توجه داشت که سری مصنوعی نپتونیم هیچ عضو گازی شکلی ندارد. وجود گازهای پرتوزای در این سه زنجیره، یکی از دلایل عمده وجود پرتوزایی طبیعی در محیط پیرامون ماست. گاز را دادون از زمین متصاعد و در هوای پخش می‌شود؛ و دخترهسته‌های پرتوزایی را دادون که در شرایط عادی جامدند، به غبارهای موجود در جو ملحک می‌شوند. پرتوزایی ناشی از این چشممه‌های جوی در نقاط مختلف زمین مختلف است، و به تراکم‌های محلی اورانیم و توریسم موجود در زمین بستگی دارد. اگرچه تراکم محتمل را دادون موجود در جو از مرتبه $10^{-6} \text{ Bq}/\text{m}^3$ تا $10^{-11} \text{ Ci}/\text{m}^3$ است، ولی تراکم‌های 10^{-5} برابر بزرگتر هم غیرعادی نیست.

چون دخترهسته‌های پرتوزایی را دون در سطح ذرات معلق در جو یافت می‌شوند، و از آنجا که ذرات معلق در هوا هم توسط باران به سطح زمین آورده می‌شوند، افزایش میز ان تا بش زمینه به هنگام بارندگیها امری منطقی است. این پدیده را در عمل هم مشاهده می‌کنیم، و لازم است که متخصصان فیزیک بهداشت و کسان دیگری که در پی تفسیر اطلاعات حاصل از دیدبانیهای برنامه‌ریزی شده‌اند به آن توجه کنند. شکل ۱۳۰.۴ نتیجه فرو ریزی در اثر باران و منحنی فعالیت بتا و گاما را در طی بارندگی و هوای خشک (در ناحیه آپتون، نیویورک) نشان می‌دهد. اما هنگامی که سطح زمین پوشیده از برف است، به علت نقش پالایه‌ای پوشش برف در مقابل برونقشی را دون و دخترهسته‌هایش، از پرتوزایی ناشی از ذرات معلق کاسته می‌شود. در مقابل، در موقع وارونی دما، یعنی هنگامی که در هم آمیختن قائم هوا و در نتیجه رقیق شدن را دون و دخترهسته‌هایش به طور موقت متوقف می‌شود، پرتوزایی محیطی افزایش می‌یابد. با توجه به این فعالیت طبیعی ذرات معلق در هوا، هنگام محاسبه تراکم مواد پرتوزای معلق در جو که از نمونه گیری گرد و غبار حاصل می‌شود، لازم است که ضرایب تصحیحی نیز در نظر گرفته شوند. از این گونه تصحیحات در فصل ۱۳ با تفصیل بیشتر سخن خواهیم گفت.

ویژگی مشترک سوم در این سه خانواده پرتوزای طبیعی این است که محصول پایانی همه آنها سرب است. عضو پایانی خانواده درمورد سری اورانیم عنصر پایدار ^{206}Pb است، در حالی که در سری اکتینیم عنصر پایانی ^{207}Pb ، و در سری توریم عنصر ^{208}Pb است. سری مصنوعی نپتونیم، در این ویژگی هم با سریهای طبیعی تفاوت دارد، و عضو پایانی آن عنصر پایدار ^{209}Bi است.

این چهار زنجیره پرتوزا را که سه خانواده آن طبیعی و خانواده نپتونیم در آن مصنوعی است، عموماً به صورت سریهای $4n+1$ ، $4n+2$ ، $4n+3$ ، و $4n+4$ نمایش می‌دهند. این شماره‌های هویت از تقسیم پذیری اعداد جرمی هر سری بر عدد ۴ حاصل می‌شوند.



شکل ۱۳۰.۴ باران، مواد پرتوزای جو را می‌شود و با خود به زمین می‌آورد.

عدد جرمی نخستین عضو خانواده توریم، ^{232}Th ، دقیقاً بر ۴ تقسیم پذیر است. از آنجاکه تمام فروپاشیهای این سری یا از طریق گسیل ذره آلفا با جرم اتمی ۲ واحد و یا از طریق گسیل ذره بنا با جرم اتمی صفر انجام می‌شوند، جرم‌های اتمی تمام اعضای خانواده توریم بر عدد ۴ قابل تقسیم خواهند بود. سری اورانیم که اوین عضوش ^{238}U است، از ایزوتوپهایی تشکیل شده است که اعداد جرمی شان پس از تقسیم بر ۴، باقیمانده ۲ خواهند داشت ($2/4 = 59 + 2 - 4 = 238$). از این‌رو، این سری را سری $2 + 4n$ می‌نامند. سری اکتینیم که اوین عضوش ^{235}U (آکتینو اورانیم) است، سری $3 + 4n + 3$ نام دارد. سری «مفقود» که به‌طور مصنوعی تولید می‌شود، خانواده نپتونیم با اوین عضو ^{241}Pu است که سری $1 + 4n$ نامیده می‌شود.

ایزوتوپهای پرتوزای موجود در طبیعت، منحصر به‌سریهای توریم، اورانیم، و اکتینیم نیست. در میان عناصر جدول تناوبی، چند عنصر با اعداد اتمی پاییتر هم دیده می‌شوند که ایزوتوپهایی پرتوزا دارند. مهمترین گسیلندهای طبیعی با اعداد اتمی پایین را در جدول ۵.۴ نشان داده‌ایم.

در میان این گونه ایزوتوپهای پرتوزای طبیعی، به‌خاطر توزیع گسترده پتانسیم در محیط‌زندگی‌مان، K^{40} مهمترین ایزوتوپ از نقطه نظر فیزیک بهداشت است (تراکم میانگین پتانسیم در سنگهای پوسته زمین در حدود 27 g/kg و در آب اقیانوسها در حدود 1 mg/l) است. تراکم پتانسیم در گیاهان و جانوران نیز قابل ملاحظه است، از جمله تراکم میانگین آن در بدن انسان در حدود 17 g/kg است). در بسیاری از موارد، به منظور تشخیص میزان پرتوگیری انسان از محیط آلوده، بار بدنی یا مقدار ایزوتوپهای پرتوزای موجود در بدن را از طریق تجزیه پرتو-شیمیایی ادرار شخص مظنون برآورد می‌کنند. در این حال، پتانسیم که تراکم آن در ادرار در حدود 1 mg/l است، ممکن است در کار تشخیص آلاندۀ موردنظر دخالت کند مگر آنکه با روشهای ویژه‌ای پتانسیم را خارج کنند و یا اینکه فعالیت K^{40} را هم به حساب آورند. لزوم در نظر گرفتن این فعالیت تداخل‌کننده را از طریق مقایسه فعالیت K^{40} در ادرار با فعالیت ایزوتوپی که احتمالاً نشانگر بار بدنی قابل توجه است، به آسانی می‌توان نشان داد.

مثال ۸.۶

فعالیت ویژه ادرار نسبت به K^{40} ، عبارت است از

$$\frac{t/\text{min}}{1} = \frac{37 \times 10^{10} \times 1600 \times 226}{13 \times 10^9 \times 40} \frac{\text{Bq}}{\text{g}^{40}\text{K}} \times 1.19 \times 10^{-4} \frac{\text{g}^{40}\text{K}}{\text{gK}}$$

$$\times \frac{1.15 \text{ gK}}{1} \times 60 \frac{t/\text{min}}{\text{Bq}} = 2.8 \times 10^2 \frac{\text{dis/min}}{1}$$

جدول ۱۰۶ سری توردیم (۴n).

انرژی (MeV)			نیمه عمر	نوکلید
گاما (فوتون در هرو اپاشی) ^۲	بنا	آلفا ^۱		
۱۵۹(n.v.)	۵۰۱	۳۰۹۸	$۱۰۳۹ \times 10^{10} \text{y}$	$_{\text{۲۳۹}}^{\text{Th}}$
۹۹۶(۰۲)	طرح واپاشی پیچیده.		۶۷y	$_{\text{۲۲۸}}^{\text{Ra}}(\text{MsTh})$
۹۰۸(۰۲۵)	شدیدترین گروه بنا انرژی ۱۱ MeV دارد.		۶۱۳h	$_{\text{۲۲۸}}^{\text{Ac}}(\text{MsTh})$
۵۰۸۴(۰۰۱۶)		۵۰۴۲۱	۱۰۹۱y	$_{\text{۲۳۹}}^{\text{Th}}(\text{RdTh})$
۰۰۲۴۱(۰۰۰۳۸)		۵۰۶۸۱	۳۰۶۴d	$_{\text{۲۲۴}}^{\text{Ra}}(\text{ThX})$
۰۰۵۴۲(۰۰۰۰۰۲)		۶۰۲۷۸	۵۲s	$_{\text{۲۲۶}}^{\text{Em}}(\text{Tn})$
۰۰۲۳۹(۰۰۴۰)	۰۰۵۹، ۰۰۳۵		۱۰۰۶۴h	$_{\text{۲۲۷}}^{\text{Pb}}(\text{ThB})$
۰۰۰۴	۲۰۲۵(%۶۶۳) ^۳	۶۰۰۸۶	۶۰۰۵m	$_{\text{۲۲۲}}^{\text{Bi}}(\text{ThC})$
(انشعاب ۰۰۳۴)		(%۳۳۰۷) ^۳		$_{\text{۲۱۴}}^{\text{Po}}(\text{ThC}')$
۰۰۶۱۵(۰۰۹۹۷)	۱۰۵۲، ۱۰۲۹، ۱۰۸۰	۸۰۷۷۶	$۳۰۵ \times 10^{-۷}s$	$_{\text{۲۰۸}}^{\text{Tl}}(\text{ThC}'')$
			۳۰۱m	$_{\text{۲۰۸}}^{\text{Pb}}(\text{ThD})$
			پایدار	

۱. فقط ذرات با بیشترین انرژی مشخص شده‌اند.
۲. فقط شدیدترین فوتونهای گاما در فهرست آمده‌اند.
۳. نسبت انشعاب را نشان می‌دهد. عدد داخل پرانتز، نشاندهنده درصد واپاشی به طریق مخصوص شده است.

جدول ۲.۴ سری نپتونیم ($4n+1$).

نوكلييد	نیمه عمر	آنفه	بنا	انرژی (MeV)
				گاما (فوتوون در هر واپاشی) ^۲
$^{241}_{94}\text{Pu}$	1302y	۵۰۰۲		۰۰۵۶۰(۰۰۴)
$^{243}_{95}\text{Am}$	462y	۵۰۴۹۶		
$^{237}_{93}\text{Np}$	$202 \times 10^8\text{y}$	۴۰۷۷		۰۰۵۷، ۰۰۱۵، ۰۰۲۶ (خیلی قوی) ^۳
$^{233}_{91}\text{Pa}$	2704d	۴۰۸۲۳		۰۰۰۹(۰۰۰۲)
$^{233}_{92}\text{U}$	$1062 \times 10^5\text{y}$	۴۰۸۲۳		۰۰۰۵۶(۰۰۰۲)
$^{229}_{90}\text{Th}$	$7534 \times 10^3\text{y}$	۵۰۰۲		۰۰۰۴۲(۰۰۱۵)
$^{228}_{88}\text{Ra}$	1408d	۵۰۳۲		
$^{225}_{89}\text{Ac}$	1000d	۵۰۸۰		
$^{221}_{87}\text{Fr}$	408m	۴۰۴۰		
$^{217}_{85}\text{At}$	00018s	۷۰۰۲		
$^{213}_{83}\text{Bi}$	47m	۵۰۸۶(%۲) ^۳		۰۰۳۹(%۹۸) ^۳
$^{214}_{84}\text{Po}$	$402 \times 10^{-9}\text{s}$	۸۰۳۳۶		
$^{209}_{81}\text{Tl}$	202m		۲۰۳	۰۰۱۲(۰۰۰۴) (ضعیف)
$^{209}_{82}\text{Pb}$	3032h		۰۰۶۳۵	
$^{209}_{83}\text{Bi}$	پایدار			

۱. ۲، ۳. پا نوشته جدول ۱.۴.

۴. شدت به درستی مشخص نیست.

جدول ۳۰۴ سری اورانیم (۲+۴n)

نوكلید	نیمه عمر	آلفا	(MeV)	
			گاما (فوتون در هر واپاشی) ^۲	بنا
^{۲۳۸} U	۴۵۱×10^9 y	۴۵۱۸	۰۰۹۶(۰۰۰۴)	۰۱۰۳۰۰۱۹۳
^{۲۳۶} Th(UX _۱)	۲۴۰۱۰d		۰۰۶۳(۰۰۰۳)	
^{۲۳۴m} Pa(UX _۲)	۱۱۷۵m		۰۰۱۵(۰۰۰۱۵)	۲۰۳۱
^{۲۳۴g} Pa(UZ)	۶۶۶h		۰۰۶۳(۰۰۰۶۳), I.T.	۰۰۵
^{۲۳۴} U(UII)	۲۴۸×10^5 y	۴۰۷۶۳	۰۰۶۸(۰۰۰۰۵۹)	
^{۲۳۰} Th(I _۰)	۸۰×10^4 y	۴۰۶۸۵	۰۱۸۶(۰۰۰۳۰)	انرژی معلوم نیست
^{۲۲۶} Ra	۱۶۲۲y	۴۰۷۷۷	(%)۰۰۲۲(۳)	(%)۹۹۰۹۷۸(۳)
^{۲۲۶} Em(Rn)	۳۰۰۵m	۵۰۴۸۶	(%)۰۱(۳)	انرژی معلوم نیست
^{۲۲۸} At(RaA')	۲s	۵۰۹۹۸	(%)۹۹۰۹۹(۳)	(%)۹۹۰۹۶(۳)
^{۲۲۸} Em(RaA'')	۰۰۰۱۹s	۷۰۱۲۷		
^{۲۲۴} Pb(RaB)	۲۶۰۸m		۰۰۳۵۲(۰۰۰۳۶)	۰۰۶۵
^{۲۲۴} Bi(RaC)	۱۹۰۷m	۵۰۵۰۵	۰۰۲۹۵(۰۰۰۲۰)	
^{۲۲۴} Po(RaC')	۱۶۴×10^{-4} s	۷۰۶۸۰	۰۰۲۴۲(۰۰۰۷)	
^{۲۲۰} Tl(RaC'')	۱۰۳۲m		۰۰۶۰۹(۰۰۰۹۵)	۳۰۷، ۱۰۶۵
^{۲۱۶} Pb(RaD)	۱۹۰۴y		۰۰۱۲(۰۰۱۳۱)	(%)۹۹۰۹۶(۳)
^{۲۱۶} Bi(RaE)	۵۰۰۰d		۰۰۷۸۲(۱)	۱۰۹۶
^{۲۱۶} Po(RaF)	۱۳۸۰۴۰d	۵۰۲۹۸	۰۰۰۷۸۲(۱)	
^{۲۱۶} Pb(RaG)	پایدار		۰۰۰۰۰۰۱۲	

جدول ۴.۴ سری اکتینیم ($4n+3$).

انرژی (MeV)			نیمه عمر	نوکلید
گاما (فوتون در هر واپاشی) ^۲	بنا	T الفا		
۰۱۸(۰۵۷)		۴۰۳۹	۷۵۱۳×10^4 y	$^{235}_{\Lambda}U$
۰۰۰۲۲(۰۵۷)	۰۰۰۳۰۲، ۰۰۰۰۹۴		۲۵۰۶۴ h	$^{231}_{\Lambda}Th(UY)$
۰۰۰۰۸۵(۰۵۳)	۰۰۰۲۱۶			
۰۰۰۱۶(۰۵۶)				
۰۰۳۳(۰۵۰۵)		۵۰۰۴۹	۳۰۴۳×10^4 y	$^{231}_{\Lambda}Pa$
۰۰۰۰۲۷(۰۵۰۵)				
۰۰۰۰۱۲(۰۵۰۱)				
	۰۰۰۰۴۵۵(%۹۸۰۸) ^۳	۴۰۹۴(%۱۰۲) ^۳	۲۱۰۸ y	$^{227}_{\Lambda}Ac$
۰۰۰۲۴(۰۵۲)		۶۰۰۳	۱۸۰۴ d	$^{227}_{\Lambda}Th(RdA_c)$
۰۰۰۰۵(۰۵۱۵)				
۰۰۰۰۵(۰۵۴۰)	۱۰۱۵		۲۱ m	$^{227}_{\Lambda}Fr(AcK)$
۰۰۰۰۸(۰۵۲۴)				
۰۰۰۲۲۰(۰۵۱۰)		۵۷۵۰	۱۱۰۶ y	$^{227}_{\Lambda}Ra(AcX)$
۰۰۰۱۵۵(۰۵۰۵۵)				
۰۰۰۲۶۷(۰۵۰۸۶)		۶۰۸۲۴	۲۰۹۲ s	$^{219}_{\Lambda}Em(An)$
۰۰۰۳۹۲(۰۵۰۴۸)				
طیف پیچیده،	۰۰۰۰۵۵، ۱۰۱۴	۷۰۶۳۵	۱۰۸۳×10^{-2} s	$^{215}_{\Lambda}Po(AcA)$
۰۰۰۸۲۹ رده ۵۰۶۵			۳۶۰۱ m	$^{211}_{\Lambda}Pb(AcB)$
MeV	انرژی معلوم نیست	۶۰۶۱۹	۲۰۱۶ m	$^{211}_{\Lambda}Bi(AcC)$
۰۰۰۳۵(۰۵۱۴)	(%۰۰۳۲) ^۳	(%۹۹۰۶۸) ^۳		
۰۰۰۸۸(۰۵۰۰۵)		۷۰۴۲۴	۰۰۵۲ s	$^{211}_{\Lambda}Po(AcC')$
۰۰۰۵۶(۰۵۰۰۵)				
۰۰۰۸۷(۰۵۰۰۵)	۱۰۴۷		۴۰۷۸ m پایدار	$^{207}_{\Lambda}Tl(AcC'')$ $^{207}_{\Lambda}Pb$

جدول ۵.۴ بعضی ایزوتوپهای پرتوزای طبیعی با اعداد اتمی پایین.

تابشها اصلی		نیمه عمر (سال)	فرآوانی ایزوتوپی (%)	نوکلید
گاما	ذرات			
1.46 MeV	1.35 MeV	1.3×10^9	۵۰۱۱۹	^{40}K
بدون گاما	0.225 MeV	5×10^{10}	۲۷۸۵	^{87}Rb
$1.43, 0.80 \text{ MeV}$	1.5 MeV	1.1×10^{11}	۵۰۸۹	^{138}La
بدون گاما	2.18 MeV	1.3×10^{11}	۱۵۰۷	^{147}Sm
$0.31, 0.20 \text{ MeV}$	0.43 MeV	3×10^{10}	۲۶	^{176}Lu
بدون گاما	0.043 MeV	5×10^{10}	۶۲۰۹۳	^{187}Re

این نوع فعالیت شدید بنا که بیشتر از ۲۰۰ و اپاشی در دقیقه در هر لیتر از ادرار است و به دنبال کار کردن با مخلوطی از محصولات شکافت پیش می آید، به عنوان نشانه‌ای از ورود محصولات شکافت به بدن تلقی می شود. این فعالیت کمتر از ۱۰٪ فعالیت مربوط به پتابیم طبیعی است.

یکی دیگر از ایزوتوپهای پرتوزای طبیعی شایان توجه ^{14}C است. وجود این ایزوتوپ پرتوزا در محیط زندگی فعلی ممکن است شکفت آور به نظر رسد، زیرا نیمه عمر آن فقط ۵۶۰۰ سال است. این ایزوتوپ، در مقایسه با ایزوتوپهای بسیار دراز-عمر جدول ۵.۴، «طبیعی» به شمار نمی رود. برخلاف آنچه در مورد ایزوتوپهای این جدول تصویر می شود، پیدایش ^{14}C فقط به آغاز پیدایی منظومه شمسی محدود نمی شود، بلکه تولید آن هنوز هم ادامه دارد. این ایزوتوپ کربن در یک واکنش هسته‌ای و در اثر بمباران N^{14} توسط پرتوهای کیهانی حاصل می شود. مقدار ^{14}C محیطی، پیش از ظهور بمبهای هسته‌ای در حدود $4 \text{ MCi} (4 \times 10^{11} \text{ MBq})$ در جو زمین، در حدود $13 \text{ MCi} (1.3 \times 10^{11} \text{ MBq})$ در گیاهان، و در حدود $240 \text{ MCi} (2.4 \times 10^{12} \text{ MBq})$ در آب اقیانوسها بود. با یادخاطر نشان کرد که آزمایش سلاحهای هسته‌ای، مقدار کربن پرتوزای موجود در جو را به میزان قابل ملاحظه‌ای افزایش داده است. چنین بر اورد شده است که از ۱۹۶۵ تاکنون (۱۹۸۳)، با آزمایش این سلاحها، در حدود $3 \text{ MCi} (3 \times 10^{11} \text{ MBq})$ کربن 14 به تدریج وارد هوا شده است. کربن پرتوزای موجود در جو به صورت $^{14}\text{CO}_2$ دیده می شود. بدین ترتیب، جانوران از راه تنفس آن را وارد بدن می کنند، و گیاهان از طریق فرایند فوتوسنتز آن را به مصرف می رسانند. چون فقط گیاهان زنده ^{14}C را به همراه کربن ناپرتوزا در ساختهای

خود وارد می‌کنند، از طریق اندازه‌گیری فعالیت ویژه مربوط به کربن در مواد آلی می‌توان سن آنها را تعیین کرد. چنانچه فرض شود که آهنگ تو لید^{۱۴} و همچنین میزان تراکم آن در هوا، در طی دهها هزار سال گذشته ثابت مانده است، در این صورت با تصحیحی ساده که با استفاده از نیمه عمر روی اطلاعات فعالیت ویژه انجام می‌شود، می‌توان برآورده از سن نمونه‌های باستانی ماده آلی به دست داد.

مثال ۹.۴

هر گاه^۲ کربن که از قطعه چوبی در مبدی باستانی به دست آمده است، فعالیتی معادل ۱۵ واپاشی در دقیقه به ازای هر گرم نشان دهد، سن این قطعه چوب چقدر است؟ فرض می‌شود که فعالیت ویژه^{۱۴} در کربن ثابت و برابر با مقدار فعلی آن (۱۵) واپاشی در دقیقه در هر گرم) بوده است.

حل: کسری از^{۱۴} اولیه که تا به امروز باقیمانده است، بنا بر معادله (۱۸.۴)، عبارت است از

$$\frac{A}{A_0} = \frac{10}{15} = e^{-\lambda t}$$

چون نیمه عمر^{۱۴} برابر ۵۷۳۰ سال است، داریم

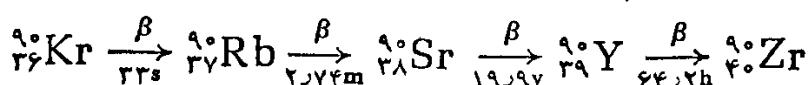
$$\lambda = \frac{0.693}{5730 \text{ y}} = 1.21 \times 10^{-4} \text{ y}^{-1}$$

$$\frac{10}{15} = e^{-1.21 \times 10^{-4} t}$$

$$t = 3535 \times 10^3 \text{ y}$$

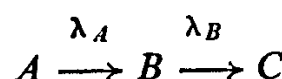
واپاشی زنجیری

علاوه بر چهار زنجیره ایزوتوپهای پرتوزایی که در بالا شرح دادیم، گروههای دیگری از ایزوتوپهای متوالیاً واپاشنده هم وجود دارند که از نظر متخصص فیزیک بهداشت و پرتو-زیست‌شناس حائز اهمیت‌اند. بیشتر این سری‌ها به شکافت هسته‌ای مربوط می‌شوند، و اولین عضو هرسری یک شکافت‌پاره است. برای نمونه، یکی از محصولات شناخته‌شده شکافت^{۹۰}Sr، عضو میانی یک سری پنج عضوی است که با^{۹۰}Kr شروع و، طبق زنجیره ذیر، سرانجام به^{۹۰}Zr ختم می‌شود



ارتباط کمی میان اعضای مختلف این سری خیلی در خود توجه است، و هنگام بررسی

هر یک از اعضای گروه باید در نظر گرفته شود. به آسانی می‌توان فهمید که هر مقداری از ${}^{90}\text{Kr}$ در یک فاصله زمانی $15-10\text{ min}$ ، تاحدی و اپاشیده می‌شود که عملاً دیگر چیزی از این نوع هسته بر جای نمی‌ماند. دختر هسته ${}^{90}\text{Kr}$ یعنی رو بیدیم ${}^{90}\text{Rb}$ هم، به خاطر نیمه عمر کوتاه 272 min ، بعد از حدود یک ساعت به همان سر نوش دچار می‌شود. بدین گونه می‌توان گفت که عملاً تمام هسته‌های ${}^{90}\text{Kr}$ در فاصله حدود یک ساعت پس از تشکیل، به ${}^{90}\text{Sr}$ تبدیل می‌شوند. بنا بر این، تولید و انباست ${}^{90}\text{Sr}$ خیلی سریع انجام می‌شود. نیمه عمر ${}^{90}\text{Sr}$ در حدود ۲۵ سال است، و از این رو به کندی و اپاشیده می‌شود. دختر هسته ${}^{90}\text{Sr}$ یعنی ${}^{90}\text{Y}$ ، با نیمه عمر ۴۶ ساعت، سریعاً به ${}^{90}\text{Zr}$ پایدار تبدیل می‌شود. اگر در ابتدای کار ${}^{90}\text{Sr}$ خالص تهیه شود، در اثر تبدیل پرتوزا انباشتی از ${}^{90}\text{Y}$ هم حاصل می‌شود. اما چون واپاشی ${}^{90}\text{Y}$ خیلی سریعتر از ${}^{90}\text{Sr}$ است، در طی این فرایندها به نفعه‌ای می‌رسیم که در آن مقدار لحظه‌ای تبدیل ${}^{90}\text{Sr}$ با مقدار واپاشی ${}^{90}\text{Y}$ مساوی می‌شود. در این شرایط گفته می‌شود که ${}^{90}\text{Y}$ به تعادل پایا رسیده است. در حالت کلی، ارتباط کمی بین ایزوتوبها را در تعادل پایا به ترتیب زیر به دست می‌آورند



که در آن نیمه عمر ایزوتوب A خیلی بیشتر از ایزوتوب B است. یعنی ثابت واپاشی عنصر A ، λ_A ، خیلی کوچکتر از ثابت واپاشی عنصر B ، λ_B است. ایزوتوب C پایدار است و واپاشیده نمی‌شود. به علت نیمه عمر بسیار طولانی A در مقابل B ، آهنگ تشکیل B را می‌توان ثابت پنداشت و مساوی K گرفت. در این صورت، اگر تعداد اتمهای موجود ایزوتوب B را پس از سپری شدن زمان t از تشکیل تعداد اولیه N_{B_0} با N_B نشان دهیم، آهنگ تغییر ایزوتوب B چنین خواهد بود

آهنگ تبدیل - آهنگ تشکیل = آهنگ تغییر

$$\frac{dN_B}{dt} = K - \lambda_B N_B \quad (32.4)$$

یا

$$\int_{N_{B_0}}^{N_B} \frac{dN_B}{K - \lambda_B N_B} = \int_0^t dt \quad (33.4)$$

اگر دو طرف را در λ_B ضرب کنیم، انتگرال دست چپ به صورت زیر قابل محاسبه می‌شود

$$\int_a^b \frac{dv}{v} = \ln v \Big|_a^b \quad (34.4)$$

بنا بر این، معادله (۳۳.۴) پس از انتگرال گیری چنین می شود

$$\ln \left(\frac{K - \lambda_B N_B}{K - \lambda_B N_{B_0}} \right) = -\lambda_B t \quad (35.4)$$

که آن را می شود به صورت نمایی بازنویسی کرد

$$\frac{K - \lambda_B N_B}{K - \lambda_B N_{B_0}} = e^{-\lambda_B t} \quad (36.4)$$

و تعداد ایزوتوپهای B را در لحظه t چنین به دست آورد

$$N_B = \frac{K}{\lambda_B} (1 - e^{-\lambda_B t}) + N_{B_0} e^{-\lambda_B t} \quad (37.4)$$

اگر در آغاز فقط عنصر A موجود باشد (یعنی اگر $N_{B_0} = 0$ باشد)، معادله (۳۷.۴) به صورت زیر درمی آید

$$N_B = \frac{K}{\lambda_B} (1 - e^{-\lambda_B t}) \quad (38.4)$$

آهنگ تشکیل B در اثر واپاشی A برابر است با آهنگ تبدیل A . بنا بر این، داریم $K = \lambda_A N_A$. پس شکل دیگر معادله (۳۸.۴) به صورت زیر است

$$N_B = \frac{\lambda_A N_A}{\lambda_B} (1 - e^{-\lambda_B t}) \quad (39.4)$$

توجه کنید که مقدار هردو ایزوتوپ مادر (A) و دختر (B) بر حسب یکای λN ، یعنی تعداد اتمهای واپاشنده در واحد زمان، به دست می آید. این نکته هم امری منطقی است، زیرا از تبدیل هر اتم مادر یک اتم دختر حاصل می شود. هر یکای دیگری که متضمن این واقعیت باشد، به همین ترتیب در معادله (۳۹.۴) به کار می رود. اگر λN نمایشگر تعداد اتمهای واپاشنده در هر ثانیه باشد، در این صورت از تقسیم دو طرف معادله بر عامل مناسب می توان فعالیت را بر حسب کوری، یا هرمضربی از آن به دست آورد، و بدین سان معادله (۳۹.۴) به شکلی قابل استفاده تر درمی آید. برای مثال، اگر فعالیت مادر به صورت بکرل یا میلی کوری در دست باشد، فعالیت دختر هسته را نیز باید به صورت بکرل یا میلی کوری بیان کرد، و معادله (۳۹.۴) را می توان چنین نوشت

$$Q_B = Q_A (1 - e^{-\lambda_B t}) \quad (40.4)$$

که در آن Q_A و Q_B به ترتیب فعالیتهای مادر و دختر بر حسب بکرل یا میلی کوری اند.

مثال ۴۰.۴

چنانچه 500 mg رادیم در اختیار داشته باشیم، پس از گذشت ۱ روز، 8R_{d} روز، و 100 روز، چه مقدار رادیون 222 جمع آوری خواهیم کرد؟
حل: چون فعالیت ویژه رادیم معادل 1 کوری بر گرم یا 10^{10} Bq/g است، فعالیت 500 mg معادل 500 میلی کوری یا $500 \times 10^1 \text{ Bq} = 5000 \text{ Bq}$ خواهد بود. نیمه عمر رادیون 38 روز است، پس ثابت واپاشی آن چنین می شود

$$\lambda_{\text{R}_{\text{d}}} = \frac{0.693}{(T_{1/2})_{\text{R}_{\text{d}}}} = \frac{0.693}{38 \text{ d}}$$

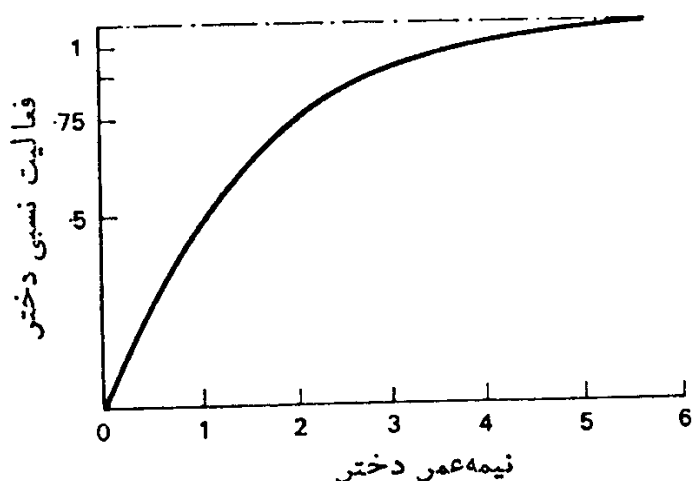
$$\lambda_{\text{R}_{\text{d}}} = 0.01825 \text{ d}^{-1}$$

با استفاده از معادله (۴۰.۴) می توان نوشت

$$Q_{\text{R}_{\text{d}}} = Q_{\text{Ra}} (1 - e^{-\lambda_{\text{R}_{\text{d}}} t})$$

$$Q_{\text{R}_{\text{d}}} = 5000 \times 10^{10} \text{ Bq} (1 - e^{-0.01825 \text{ d}^{-1} \times t})$$

حال اگر زمانهای مورد نظر را بر حسب روز به جای t در این معادله بگذاریم، مقدار R_{d} پس از 1 روز برابر $(835 \text{ mCi}) \times 10^9 \text{ Bq}$ ، پس از 38 روز برابر $(250 \text{ mCi}) \times 10^9 \text{ Bq}$ ، پس از 100 روز برابر $(4195 \text{ mCi}) \times 10^9 \text{ Bq}$ و پس از 1000 روز برابر $(5000 \text{ mCi}) \times 10^9 \text{ Bq}$ خواهد شد. معادله (۴۰.۴) و مثالی که در اینجا مطرح کردیم، به روشنی تولید و انباست رادیون را از مقدار صفر تا یک فعالیت بیشینه که همان فعالیت عنصر مادر است، نشان می دهد. این تولید و انباست فعالیت دختر هسته را می توان با رسم معادله (۴۰.۴) نیز نشان داد. در شکل ۱۴.۴ یک منحنی کلی



شکل ۱۴.۴ تعادل پایا در تولید و انباست دختر هسته بسیار کوتاه - عمر از مادر هسته دراز - عمر. فعالیت مادر ثابت می ماند.

تغییرات تولید و انباست فعالیت دخترهسته بر حسب نیمه عمر آن، در شرایط تعادل پایا، رسم شده است. با گذشت زمان، $e^{-\lambda t}$ کاهش می‌یابد و درنتیجه مقدار Q_A به Q_B نزدیک می‌شود. در موارد عملی، پس از گذشت ۷ نیمه عمر می‌توان فرض کرد که تعادل برقرار شده است. باید توجه داشت که در حالت تعادل، داریم

$$\lambda_A N_A = \lambda_B N_B \quad (41.4)$$

این معادله نشان می‌دهد که در حالت تعادل، فعالیت مادر و دختر باهم برابر است، و نسبت ثابت‌های واپاشی مادر به دختر برابر است با نسبت تراکم‌های تعادلی دختر به مادر.

مثال ۱۱.۴

گاز رادون ناشی از ۱ گرم رادیم ۲۲۶، در شرایط تعادل پایا، فشاری جزئی معادل $458 \times 10^{-4} \text{ mm Hg}$ بر محفظه یک لیتری وارد می‌آورد. درصورتی که نیمه عمر رادون ۸۸ روز باشد، ثابت واپاشی و نیمه عمر Ra^{226} را به دست آورید. حل: مقدار رادون در حال تعادل با رادیم، چنین محاسبه می‌شود

$$\frac{\text{mol/l}}{458 \times 10^{-4} \text{ mm}} = \frac{1 \text{ mol}/221}{760 \text{ mm}} \\ = 2.88 \times 10^{-8} \text{ mol}$$

و تعداد اتم‌های رادون عبارت است از

$$\text{atom} = 10^{16} \times 2.88 \times 10^{-8} \text{ mol} = 1.726 \times 10^{53}$$

این تعداد اتم رادون با ۱ g رادیم درحال تعادل است. تعداد مول‌های رادیم عبارت است از

$$\frac{1 \text{ g}}{226 \text{ g/mol}} = 4.42 \times 10^{-3} \text{ mol}$$

اکنون مقادیر معلوم را در معادله زیر قرار می‌دهیم

$$\lambda_{Ra} \times N_{Ra} = \lambda_{Rn} \times N_{Rn}$$

$$\lambda_{Ra} \times 4.42 \times 10^{-3} \text{ mol} = \frac{0.693}{3.81 \text{ d}} \times 2.88 \times 10^{-8} \text{ mol}$$

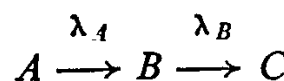
$$\lambda_{Ra} = 1.19 \times 10^{-6} \text{ d}^{-1}$$

$$= 4.35 \times 10^{-4} \text{ y}^{-1}$$

سرا نجام، نیمه عمر را داریم را چنین به دست می آوریم

$$T_{1/2} = \frac{0.693}{4.35 \times 10^{-4} y^{-1}} = 1600 y$$

در تعادل پایا که در بالا از آن سخن گفته شد، مقدار عنصر مادر در خلال آزمایش عملا ثابت می ماند. از آنجا که شرط لازم برای تعادل پایا این است که نیمه عمر مادر خیلی طولانیتر از نیمه عمر دختر باشد، آشکارا معلوم است که تعادل پایا حالت خاصی از یک حالت کلیتر به شمار می رود که در آن برای نیمه عمر مادر هر مقداری قابل قبول است و هیچگونه محدودیتی بر مقدار نسبی ثابتیها و اپاشی مادر و دختر حاکم نیست. در حالت کلی، فعالیت عنصر مادر نسبتاً ثابت نخواهد بود و در تبدیل



آهنگ تغییر تعداد اتمهای B از معادله دیفرانسیل زیر به دست می آید

$$\frac{dN_B}{dt} = \lambda_A N_A - \lambda_B N_B \quad (42.4)$$

در این معادله، $\lambda_A N_A$ آهنگ تبدیل (واپاشی) نوع A است که دقیقاً با آهنگ تشکیل نوع B برابر می شود. آهنگ تبدیل ایزوتوب B برابر است با $\lambda_B N_B$ و اختلاف بین این دو آهنگ در هر لحظه مساوی آهنگ رشد نوع B در آن لحظه خواهد شد.
بنابراین معادله (۱۸.۴)، داریم

$$N_A = N_{A_0} e^{-\lambda_A t} \quad (43.4)$$

معادله (۴۲.۴)، پس از قراردادن عبارت بالا به جای N_A و جابه جا کردن $\lambda_B N_B$ به صورت زیر در می آید

$$\frac{dN_B}{dt} + \lambda_B N_B = \lambda_A N_{A_0} e^{-\lambda_A t} \quad (44.4)$$

معادله (۴۴.۴)، یک معادله دیفرانسیل خطی مرتبه اول از نوع زیر است

$$\frac{dy}{dx} + P(x)y = Q(x) \quad (45.4)$$

که با ضرب کردن دو طرف معادله در عامل زیر، انتگرال پذیر می شود

$$e^{\int P dx} = e^{\int \lambda_B dt} = e^{\lambda_B t}$$

و جواب معادله (۴۵.۴) چنین است

$$ye^{\int P dx} = \int e^{\int P dx} \cdot Q dx \quad (46.4)$$

دراینجا چون y ، P ، و Q به ترتیب به جای N_B ، λ_B ، و $\lambda_A N_{A_0} e^{-\lambda_A t}$ در معادله (۴۶.۴) قرار گرفته‌اند، جواب این معادله به صورت زیر به دست می‌آید

$$N_B e^{\lambda_B t} = \int e^{\lambda_B t} \lambda_A N_{A_0} e^{-\lambda_A t} dt + C \quad (47.4)$$

یا اگر دوتابع نمایی را درهم ادغام کنیم، داریم

$$N_B e^{\lambda_B t} = \int \lambda_A N_{A_0} e^{(\lambda_B - \lambda_A)t} dt + C \quad (48.4)$$

چنانچه تابع زیر انتگرال را در عامل $(\lambda_B - \lambda_A)$ ضرب کنیم، آنگاه معادله (۴۸.۴) به شکل زیر درمی‌آید

$$\int e^v dv = e^v + C \quad (49.4)$$

که جواب آن چنین است

$$N_B e^{\lambda_B t} = \frac{1}{\lambda_B - \lambda_A} \lambda_A N_{A_0} e^{(\lambda_B - \lambda_A)t} + C \quad (50.4)$$

ثابت C را می‌توان با استفاده از شرایط مرزی تعیین کرد: هنگامی که $t = 0$ باشد، $N_B = 0$ است و در نتیجه داریم

$$0 = \frac{1}{\lambda_B - \lambda_A} \cdot \lambda_A N_{A_0} + C$$

$$C = -\frac{\lambda_A N_{A_0}}{\lambda_B - \lambda_A} \quad (51.4)$$

حال اگر مقدار C حاصل از این معادله را در معادله (۵۰.۴) قرار دهیم، سرانجام جواب N_B را به صورت زیر به دست می‌آوریم

$$N_B = \frac{\lambda_A N_{A_0}}{\lambda_B - \lambda_A} (e^{-\lambda_A t} - e^{-\lambda_B t}) \quad (52.4)$$

در حالتی که نیمه‌عمر مادر به مراتب طولانی‌تر از دختر باشد، یعنی هنگامی که $\lambda_A \ll \lambda_B$ است، معادله (۵۲.۴) به طرف حالت حدی تعادل پایا که با معادله (۴۱.۴) توصیف می‌شود، میل خواهد کرد. در اینجا، دو مورد کلی دیگر را نیز باید در نظر گرفت: موردنی که در آن

نیمه عمر مادر اندکی از دختر بیشتر است ($\lambda_A < \lambda_B$)، و مورد دیگری که در آن نیمه عمر مادر کمتر از دختر است ($\lambda_A > \lambda_B$). در مورد اول که نیمه عمر دختر اندکی کوتاهتر از مادر است، چنانچه عنصر مادر در آغاز کاملاً خالص باشد، فعالیت دختر از صفر به یک مقدار بیشینه افزایش و سپس ظاهرأ با همان نیمه عمر عنصر مادر کاهش خواهد یافت. هنگامی که چنین وضعی رخ می‌دهد، عنصر دختر با همان آهنگ تولیدش و اپاشیده می‌شود که در این حالت می‌گویند این دو ایزوتوپ در حال تعادل گذرا هستند. ارتباط حاکم بر مقادیر مربوط به تعادل گذرا را می‌توان با استفاده از معادله (۵۲.۴) بدست آورد. اگر دو طرف این معادله را در λ_B ضرب کنیم، فعالیت دختر هسته‌ها چنین بدست می‌آید

$$\lambda_B N_B = \frac{\lambda_B \lambda_A N_{A_0}}{\lambda_B - \lambda_A} (e^{-\lambda_A t} - e^{-\lambda_B t}) \quad (53.4)$$

چون λ_B بزرگتر از λ_A است، پس از مدت زمانی که به قدر کافی طولانی باشد، مقدار $e^{-\lambda_A t}$ بخیلی کوچکتر از $e^{-\lambda_B t}$ خواهد شد. در این صورت، معادله (۵۳.۴) را می‌توان چشیدن بازنویسی کرد

$$\lambda_B N_B = \frac{\lambda_B \lambda_A N_{A_0}}{\lambda_B - \lambda_A} e^{-\lambda_A t} \quad (54.4)$$

با استفاده از معادله (۴۳.۴)، بیان ریاضی تعادل گذرا را می‌توان از معادله (۵۴.۴) به صورت زیر درآورد

$$\lambda_B N_B = \frac{\lambda_B \lambda_A N_A}{\lambda_B - \lambda_A} \quad (55.4)$$

که اگر آن را بر حسب فعالیت (با یکاهای بکرل، کوری، وغیره) بنویسیم، حاصل می‌شود

$$Q_B = \frac{\lambda_B}{\lambda_B - \lambda_A} Q_A \quad (56.4)$$

یکی از نمونه‌های این نوع تعادل که از نظر فیزیک بهداشت حائز اهمیت است، زنجیره تبدیل ThB به ThC' و به ThC'' است که در مراحل پایانی سری توریم پدیدار می‌شود. در این سلسله تبدیلهای، $\text{ThB}(^{212}\text{Pb})$ با نیمه عمر $h = 15$ در 46 min با نیمه عمر 5 در 55 min و اپاشیده می‌شود. واپاشی Bi^{212} دو انشعاب دارد: در 4 در 35 ٪ از موارد پس از گسیل آلفا (^{208}Te) ThC'' تولید می‌شود، و در 6 در 64 ٪ باقیمانده تبدیل از طریق گسیل بتا انجام می‌شود که نتیجه آن تشکیل $\text{ThC}'(^{212}\text{Po})$ است. نیمه عمرهای ThC' و ThC'' بسیار کوتاه و به ترتیب برابر $S^{-7} \times 10^{-3}$ در 3 min است، و هردو به عنصر پایدار ^{208}Pb و اپاشیده می‌شوند. چون ThB یک نوع ایزوتوپ طبیعی موجود در جو است، قبل از اینکه اطلاعات مربوط به نمونه گیری هوا دقیقاً

تفسیر شود، لازم است که فعالیت این عنصر و دخترهسته اش در نمونه مورد تصحیح قرار گیرد. افزایش و کاهش ThC در شکل ۱۵.۴ نموده شده‌اند. این منحنی به طور ترسیمی براین واقعیت تأکید می‌کند که در تعادل گذرا، ظاهرآ کاهش فعالیت دخترهسته و مادرهسته مشابه یکدیگر است.

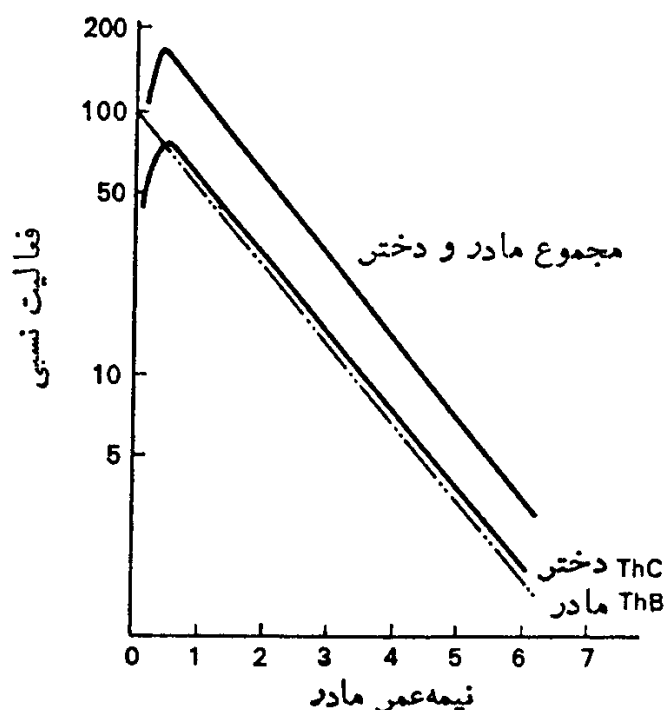
شکل ۱۵.۴ همچنین نشان می‌دهد که فعالیت دخترهسته که از صفر آغاز می‌شود، ابتدا به یک مقدار بیشینه می‌رسد و آنگاه شروع به کاهش می‌کند. علاوه بر این، به نظر می‌رسد که مجموع فعالیتهای مادر و دختر هم به یک مقدار بیشینه می‌رسد که لحظه وقوع آن همزمان با دخترهسته نیست. در مورد دخترهسته، زمان لازم برای رسیدن به فعالیت بیشینه رامی‌شود با مشتق‌گیری از معادله (۱۵.۴) و مساوی صفر گرفتن آن به دست آورد

$$\lambda_B N_B = \frac{\lambda_B \lambda_A N_{A_0}}{\lambda_B - \lambda_A} (e^{-\lambda_A t} - e^{-\lambda_B t}) \quad [15.4]$$

$$\frac{d(\lambda_B N_B)}{dt} = \frac{\lambda_B \lambda_A N_{A_0}}{\lambda_B - \lambda_A} (-\lambda_A e^{-\lambda_A t} + \lambda_B e^{-\lambda_B t}) = 0$$

$$\lambda_A e^{-\lambda_A t} = \lambda_B e^{-\lambda_B t}$$

$$\frac{\lambda_B}{\lambda_A} = \frac{e^{-\lambda_A t}}{e^{-\lambda_B t}} = e^{(\lambda_B - \lambda_A)t}$$



شکل ۱۵.۴ تعادل گذرا؛ افزایش و کاهش ThC (۶۰min) از واپاشی ThB (۱۰۶h) حاصل می‌شود.

$$\ln \frac{\lambda_B}{\lambda_A} = (\lambda_B - \lambda_A)t$$

$$t = t_{\text{md}} = \frac{\ln(\lambda_B/\lambda_A)}{\lambda_B - \lambda_A} = \frac{۲۰۳ \log(\lambda_B/\lambda_A)}{\lambda_B - \lambda_A} \quad (۵۷.۴)$$

در مورد مثال شکل ۱۵.۴، داریم

$$\lambda_A = \frac{۰.۶۹۳}{۱.۰۶} = ۰.۶۵ \text{ h}^{-1}$$

$$\lambda_B = \frac{۰.۶۹۳}{۱.۰۱} = ۰.۶۸ \text{ h}^{-1}$$

بدین ترتیب، زمانی که در آن فعالیت دخترهسته ThC به مقدار بیشینه می‌رسد، چنین به دست می‌آید

$$t_{\text{md}} = \frac{۲۰۳ \log(۰.۶۸ / ۰.۶۵)}{۰.۶۸ - ۰.۶۵} = ۳۷۸ \text{ h}$$

زمانی که در آن فعالیت کل به حد اکثر می‌رسد، به همین طریق قابل تعیین است. در این مورد، مقدار فعالیت کل $A(t)$ باید بیشینه شود. فعالیت کل در هر لحظه از معادله زیر به دست می‌آید

$$A(t) = \lambda_A N_A + \lambda_B N_B \quad (۵۸.۴)$$

اگر در این معادله به جای N_A و N_B مقادیرشان را با استفاده از (۴۳.۴) و (۵۲.۴) قرار دهیم، داریم

$$A(t) = \lambda_A N_{A_0} e^{-\lambda_A t} + \frac{\lambda_B \lambda_A N_{A_0}}{\lambda_B - \lambda_A} (e^{-\lambda_A t} - e^{-\lambda_B t}) \quad (۵۹.۴)$$

و از مشتق‌گیری آن خواهیم داشت

$$\frac{dA(t)}{dt} = -\lambda_A^2 N_{A_0} e^{-\lambda_A t} + \frac{\lambda_B \lambda_A N_{A_0}}{\lambda_B - \lambda_A} (-\lambda_A e^{-\lambda_A t} + \lambda_B e^{-\lambda_B t}) = 0 \quad (۶۰.۴)$$

این معادله را می‌توان به شکل زیر مرتب کرد

$$-\lambda_A^2 N_{A_0} e^{-\lambda_A t} \left(1 + \frac{\lambda_B}{\lambda_B - \lambda_A} \right) + \frac{\lambda_A \lambda_B^2}{\lambda_B - \lambda_A} N_{A_0} e^{-\lambda_B t} = 0$$

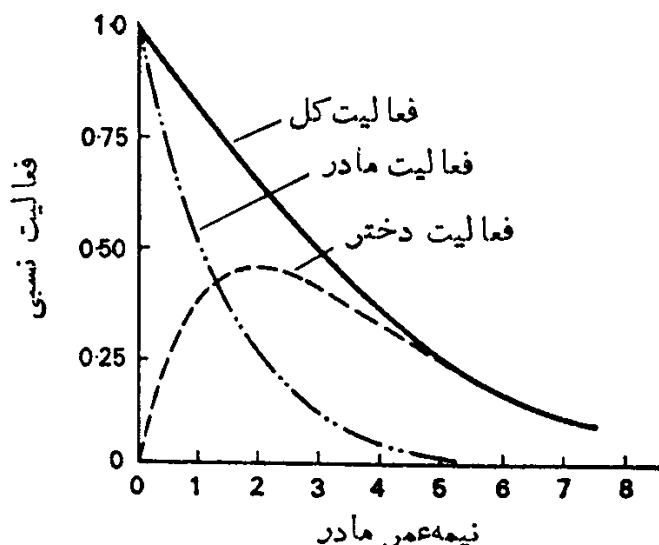
و سرانجام، لحظه رسیدن به فعالیت کل بیشینه چنین به دست می‌آید

$$t = t_{\text{mt}} = \frac{1}{\lambda_B - \lambda_A} \ln \left(\frac{\lambda_B^2}{2\lambda_A\lambda_B - \lambda_A^2} \right) = \frac{253}{\lambda_B - \lambda_A} \log \left(\frac{\lambda_B^2}{2\lambda_A\lambda_B - \lambda_A^2} \right) \quad (۶.۱.۴)$$

چنانچه به مثال شکل ۱۶.۴ بازگردیم، بیشینه فعالیت کل در زمان زیر به وقوع خواهد پیوست

$$t_{\text{mt}} = \frac{253}{\frac{253}{2 \times 10565 \times 10686} - 10686} \log \left(\frac{253}{2 \times 10565 \times 10686} \right)^2 = 2578 \text{ h}$$

یعنی ۲۵۷۸ ساعت پس از تخلیص اولیه عنصر مادر، فعالیت کل به مقدار بیشینه اش می‌رسد. باشد توجه داشت که بیشینه فعالیت کل زودتر از بیشینه فعالیت دختر هسته، فرا می‌رسد. زمان به تعادل رسیدن ایزوتوپهای مادر و دختر، به نیمه عمرهای آن دو وابسته است. هرچه نیمه عمر دختر نسبت به مادر کوتاهتر باشد، رسیدن به تعادل زودتر صورت خواهد گرفت. در حالتی که نیمه عمر دختر بیشتر از مادر باشد، هیچگونه تعادلی نخواهیم داشت. فعالیت دختر ابتدا به یک مقدار بیشینه می‌رسد که لحظه وقوع آن از معادله (۵.۷.۴) قابل محاسبه است. سپس این فعالیت با آهنگ خاصی رو به کاهش می‌گذارد. در این فاصله، به علت نیمه عمر کوتاهتر مادر، واپاشی هسته‌ها یعنی سریعتر صورت می‌گیرد. در این صورت، فعالیت کل مقدار بیشینه نخواهد داشت، بلکه پیوسته در حال کاهش خواهد بود. معادله (۵.۸.۴) که زمان بیشینه‌شدن فعالیت کل را پس از تخلیص عنصر مادر به دست می‌دهد، در حالتی که نیمه عمر دختر بیشتر از مادر ($\lambda_B < \lambda_A$) باشد قابل استفاده نیست. همه این نکات در شکل ۱۶.۴ نموده شده‌اند. این شکل، تغییرات زمانی افزایش و کاهش ^{149}Pr با نیمه عمر 24.4 min را که در نتیجه واپاشی شکافت پاره ^{149}Ce با نیمه عمر 13.9 min



شکل ۱۶.۴ حالت بی تعادل: افزایش و کاهش ^{149}Pr (۲۴ min) حاصل از واپاشی (149Ce) .

حاصل می‌شود، نشان می‌دهد. حل معادله $(57.0 \cdot t) = N^{14} - N^{146}$ در حدود ۲۶۲ min پس از تخلیص Ce¹⁴⁶ به مقدار بیشینه‌اش خواهد رسید.

مسائل

۱. کربن ۱۴ یک بتا گسیلندهٔ خالص است که به N¹⁴ واپاشیده می‌شود. در صورتی که جرم اتمی مادر و دختر، به ترتیب برابر ۱۴۵۰۷۶۸۷ و ۱۴۰۰۷۵۲۰ واحد جرم اتمی باشد، انرژی جنبشی پرانرژیترین ذره بتا را محاسبه کنید.

۲. اگر در یک آزمایش تشخیص پزشکی به مقدار MBq(۲۷ μ Ci) ۱۵ از ایزوتوپ I¹³¹ نیاز باشد و اگر بین زمان تولید و ارسال ید پرتوزا و زمان مصرف آن ۳ روز فاصله باشد، چند بکرل ید پرتوزا را باید از محل تولید به مقصد فرستاد؟ فعالیت ید ارسالی چند میکروکوری است؟

۳. تابش گامای حاصل از ۱ mL محلول محتوی (۰.۵ μ Ci) Bq(۰.۵ μ Ci) ایزوتوپ Au¹⁹⁸ و (۰.۵ μ Ci) Bq(۰.۵ μ Ci) I¹³¹ در طی مدت ۱۶ روز، به طور روزانه شمارش می‌شود. فرض کنید که بازده آشکارسازی شمارگر سوسوزن، برای تمام انرژیها، برابر ۱۵٪ باشد. آهنگ نسبی شمارش I¹³¹ به Au¹⁹⁸ در زمانهای زیر چقدر خواهد شد: $t = 0$, $d = 3$ d, $t = 8$ d, $d = 16$ d. نمودار شمارش کل روزانه را روی کاغذ نیم لگاریتمی رسم کنید، و معادله منحنی آهنگ شمارش کل را بر حسب زمان بنویسید.

۴. ثابت واپاشی U²³⁵ برابر $10^{-10} \times 72 \times 9$ است. برای نمونه‌ای از U²³⁵ به جرم ۵۰۰ mg تعداد واپاشی را در هر ثانیه محاسبه کنید.

۵. برای یک چشمۀ یونشی مشخص، فعالیت P²¹⁰ باشد معادل دویست مگا بکرل (۴۰ mCi) باشد. چند گرم P²¹⁰ برای این منظور لازم است؟

۶. اگر نیمه عمر Cs¹³⁷ برابر ۳۰ سال باشد، چقدر طول می‌کشد که ۹۹٪ از نمونه‌ای از آن واپاشیده شود؟

۷. در مطالعات سرطان‌زاویی، بنزوپیرین را با استفاده از H³ با فعالیت ویژه 10×10^{11} Bq/mmol نشاندار می‌کنند. اگر در هر مولکول نشاندار فقط یک اتم تریتیم وجود داشته باشد، درصد مولکولهای بنزوپیرین نشاندار چقدر است؟

۸. از ۱ cm³ ۱ گاز Rn^{۲۲} در دمای ۲۷°C و فشار ۱۰۰۰۰ Pa، چند ذره آلفا در هر دقیقه گسیل می‌شود؟

۹. اگر K⁴⁰ در هر واپاشی یک ذره بتا گسیل کند، تعداد ذرات بتای گسیل شده از ۱ کیلو گرم KCl در هر دقیقه چقدر است؟

۱۰. نیمه عمر ید ۱۲۵ که ایزوتوپی بسیار مورد استفاده در پزشکی هسته‌ای است، ۶۰ روز است. (الف) چقدر طول می‌کشد که فعالیت (۰.۵ MBq) ~ ۱ μ Ci از آن به ۱۰٪ فعالیت او لیه‌اش کاهش یابد؟ (ب) عمر میانگین I¹²⁵ چقدر است؟

۱۱. اگر سنگ معدن اورانیم حاوی ۱۰ درصد O_۳O_۸ باشد، چنانچه بازده فرایند

استخراج را ۹۵٪ بگیریم، برای تولید ۱ g رادیوم به چند تن سنگ معدن نیاز است؟
۱۲. در ۱ تن سنگ معدن اورانیم که ۱۵ درصد U_{3}O_8 دارد، چقدر U موجود است؟

۱۳. در سنگ معدن مذکور در مسائل ۱۱ و ۱۲، فعالیت U ۲۴۴ را با فعالیتهای U ۲۲۵ و U ۲۲۸ مقایسه کنید.

۱۴. اگر فعالیت ویژه گوگرد برابر $(100 \text{ Ci/g}) \times 10^{12} \text{ Bq/g}$ باشد، افزایش دمای 100 ml محلول کامل‌الاعiac پوششده محتوی ۱ گرم Na_2SO_4 در طی مدت ۴ ساعت چقدر است؟

۱۵. تراکم میانگین پتابیم در سنگهای پوسته زمین برابر 27 g/kg است. اگر 50% از پتابیم را ایزوتوپ K^{40} تشکیل دهد، فعالیت K^{40} در هر تن سنگ چقدر است؟

۱۶. محلولی از ^{203}Hg با مشخصات ساخت 1 MBq/ml ، در ساعت ۳ بامداد اول بهمن ۱۳۶۹، به دستمان رسیده است. می خواهیم محلولی تهیه کنیم که فعالیت آن در اول اسفند ۱۳۶۹ برابر 1 MBq/ml باشد. ضریب رقیق‌سازی را پیما کنید. نیمه عمر ^{203}Hg برابر ۴۶ d است.

۱۷. در آمیزه‌ای از دو ایزوتوپ پرتوزا، 99% فعالیت مر بوط به Na^{24} و 1% مر بوط به P^{32} است. در چه زمانی در آینده، این دو فعالیت باهم برابر خواهند شد؟

۱۸. ThB با آهنگ 45.6% در هر ساعت واپاشیده و به ThC تبدیل می‌شود، و ThC با آهنگ 11.5% در هر دقیقه واپاشیده می‌شود. چقدر طول می‌کشد که این دو ایزوتوپ به حالت تعادل برسند؟

۱۹. هنگامی که مقداری Y^{90} با $15 \text{ میلی گرم Sr}^{90}$ در تعادل باشد، وزن Y^{90} چقدر است؟

۲۰. از سرب موجود در سنگ معدن را سرب پرتوزا تشکیل می‌دهد. اجزای ایزوتوپی سرب طبیعی عبارت‌اند از: $51\% \text{ Pb}^{204}$ ، $23.6\% \text{ Pb}^{206}$ ، $22\% \text{ Pb}^{207}$ ، $5.2\% \text{ Pb}^{208}$ درصد $\text{Mg}^{98.5}$ سرب پرتوزا، چقدر اورانیم و توریم به طور کامل واپاشیده می‌شوند؟

۲۱. چه مدت پس از تخلیص 1 kg ایزوتوپ Pu^{241} ایزوتوپ Am^{241} در آن به مقدار بیشینه اش خواهد رسید؟

۲۲. چه مدت پس از تخلیص Ce^{146} با نیمه عمر 14 min ، فعالیت ۲۴ دقیقه‌ای Pr^{146} دختر در آن مساوی فعالیت مادر خواهد شد؟

۲۳. فعالیت ویژه $\text{Kr}^{85}(\text{y}) = 107 \text{ y}$ را در دمای 25°C و فشار 760 mmHg بر حسب Bq/m^3 و $\mu\text{Ci/Cm}^3$ حساب کنید.

۲۴. توان ویژه S^{35} و C^{14} را بر حسب یکاهای زیر حساب کنید:

(الف) وات بر مگا بکرل (W/MBq)،

(ب) وات بر کیلو گرم (W/kg)

۳۵- تو ان ویژه Sr^{90} را بر حسب یکاهای زیر حساب کنید:

(الف) وات برمگا بکرل (W/MBq)

(ب) وات بر کیلو گرم (W/kg)

۳۶. از حجم اولیه ۱ لیتری گاز A در دمای ${}^{\circ}\text{C}$ و فشار ۷۶۰ mmHg مدت ۲۴ ساعت، حجم این گاز بر حسب زول آزاد می‌شود؟

۲۷: (الف) تو ان ویژہ A۴۱ را برحسب وات بر کیلو گرم حساب کنید۔

(ب) تو ان ویژه $A^{41}h$ پس از تخلیص آن در بطری، چقدر است؟

۳۸. جه حجمی، از رادون ۲۲۲ (در C° و ۷۶۰ تور) با ۱۰ رادیم ۲۲۶ در

تعادل خواهد بود؟

۴۹- ۱۰۰ mg رادیم را به صورت RaBr_2 (ر۷۹) گرانی ویژه در کپسولی از پلاتین که ابعاد داخلی اش به قطر ۲ mm و طول ۴ cm است، جای داده ایم. اگر کپسول از ابتدا محتوی هوای 25°C در فشار جو باشد، فشار گاز درون کپسول پس از ۱۰۰ سال، دما، بدن انسان، حقدر خواهد شد؟

۳۵- مقداری، گاز ترکیب به حجم 10 cm^3 ، در فشار و دمای مترادف، در هر ساعت

۱۱۳ آن‌زی، از دست میردهد.

(الف) فعالیت ته بقیع حقدر است؟

(۲) اگر از هر واباشه، بک ذرہ بتا گسنا شود، انرژی متوسط پر تو بتا چمد راست؟

۳۳- قرار است در یک ماهواره از استر ونسیم ۹۵ به عنوان چشمۀ گرمایی تولید انرژی الکتریکی استفاده شود. (الف) اگر بازده تبدیل گرما به الکتریسیته ۳۰٪ باشد، فعالیت استر ونسیم لازم برای تولید توان الکتریکی ۵۵ واتی چقدر خواهد بود؟ (ب) در طراحی این گونه منابع تغذیۀ الکتریکی، وزن ایزوتوبی چشمۀ تولید گرما عاملی با اهمیت است. اگر بخواهیم که وزن در حداقل ممکن بماند، و اگر قرار باشد که چشمۀ پس از ۱ سال کار بتواند ۵۵ وات انرژی تولید کند، آیا مزیتی خواهد داشت که از $P_0 = 210$ استفاده شود؟

۳۴. کربن ۱۴ به طور طبیعی در اثر برهم کنش پرتو کیهانی بانیتروزن جو، از طریق واکنش $C^{14}(n, p)N^{14}$ ، با سرعتی حدود $y/10^{15} Bq \times 10^{-4}$ تولید می شود. اگر

نیمه عمر C₁₄ برای پر ۵۷۰۰ سال باشد، موجودی جهانی C₁₄ در حالت پا یا چقدر است؟

۳۴. کمیته علمی سازمان ملل متحده درباره اثرات تابش اتمی، میزان جهانی تولید طبیعی تریتیم را که از طریق برهم کنش پرتوکیهانی بسا جو صورت می‌گیرد، در حدود $(34 \times 10^{15} \times 10^{18})$ Bq است. اگر نیمه عمر تریتیم برابر

۵

برهم کنش پرتوها با ماده

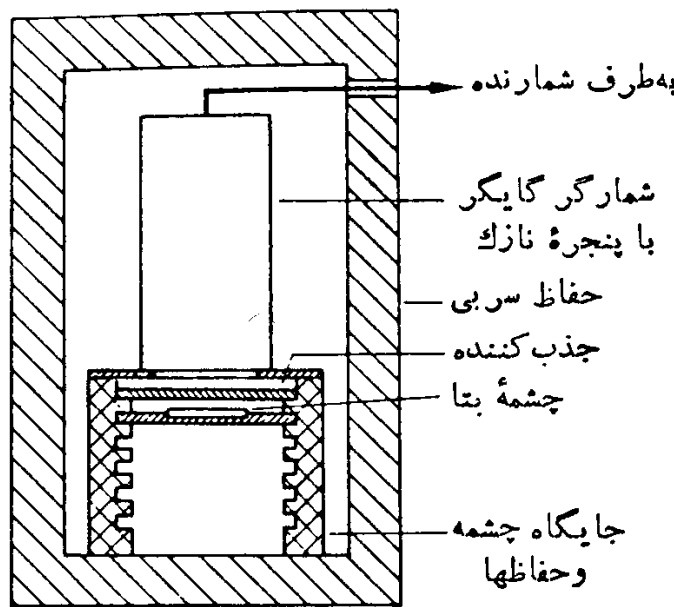
مقدمه

برای آنکه متخصص فیزیک بهداشت بتواند اساس فیزیکی و دزمنجی پرتوها و نظریه حفاظت در برابر تابشها را خوب درکند، لازم است که بهسازوکار برهم کنش پرتوهای گوناگون با ماده پی بیرد. در بسیاری موارد، این برهم کنشها منضم‌ان্�تمال انرژی از پرتوها به ماده تحت برهم کنش است. هر ماده‌ای از هسته‌ها والکترونها تشکیل شده است، پرتو تابشی ممکن است با یکی از اجزاء یا با هردو جزء سازنده ماده وارد برهم کنش شود. احتمال وقوع هر نوع برهم کنش، و درنتیجه قدرت نفوذ هر دسته از پرتوها، هم به نوع و انرژی پرتو و هم به ماهیت محیط جذب‌کننده بستگی دارد. در تمام موارد، برهم کنش پرتوها با اتمهای محیط منجر به برانگیختگی و یونش اتمها می‌شود. انرژی انتقال یافته به بافتها و یا به حفاظتها تابشی، سرانجام به صورت گرمای تلف می‌شود.

پرتوهای بتا

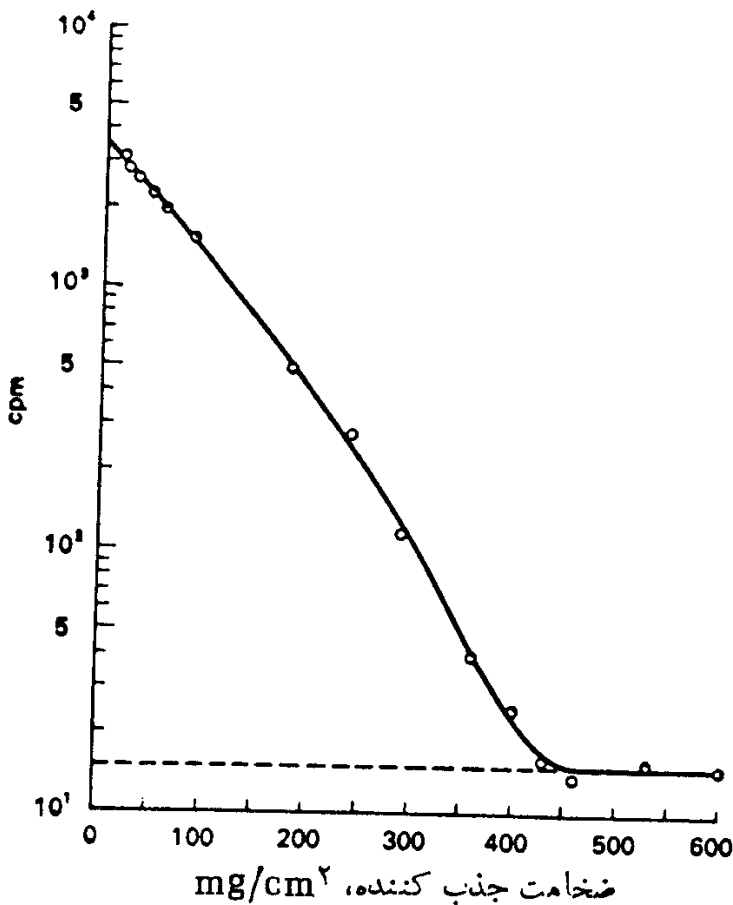
رابطه برد- انرژی

تضعیف پرتو بتا توسط هر ماده جاذب را می‌توان با قراردادن ضخامتهای مختلفی از ماده



شکل ۱۰.۵ ترتیب آزمایش برای اندازه‌گیری جذب ذرات بتا.

در فاصله میان چشمء بتا و آشکارساز پرتو بتا (نظیر شمارگر گایکر) و شمارش تعداد ذرات بتای عبوری اندازه‌گیری کرد (شکل ۱۰.۵). هنگامی که چنین آزمایشی را با استفاده از گسیلنده خالص بتا انجام می‌دهیم، معلوم می‌شود که در آغاز با افزایش ضخامت جذب کننده، آهنگ شمارش بتا سریعاً کاهش می‌باشد و سپس میزان کاهش کنترل شود. سرانجام به ضخامتی از جذب کننده می‌رسیم که تمام ذرات بتا را متوقف می‌کند، و از آن پس شمارگر گایکر فقط شمارش زمینه ناشی از تابش محیط را ثبت می‌کند. اگر اطلاعات حاصل را روی کاغذ نیم لگاریتمی رسم کنیم، به طوری که آهنگ شمارش روی محور لگاریتمی و ضخامت جذب کننده روی محور خطی بروده شود، منحنی تغییرات شمارش مطابق شکل ۲۰.۵ تقریباً به صورت خطی راست درمی‌آید. نقطه انتهایی منحنی جذب، جایی که از آن پس دیگر هیچ کاهشی در آهنگ شمارش دیده نشود، نشاندهنده برد پرتو بتا در ماده‌ای است که جذب کننده از جنس آن ساخته شده است. با یک برآورد تقریبی می‌توان گفت که نیم-ضخامت جذب کننده (یعنی ضخامتی از جذب کننده که نیمی از ذرات چشمء را متوقف می‌کند) تقریباً معادل یک هشتمند برد پرتو بتاست. از آنجا که انرژی بیشینه ذرات حاصل از ایزوتوبهای گوناگون معلوم است، با اندازه‌گیری برد پرتو بتا در جذب کننده‌های مختلف می‌توان رابطه بین برد و انرژی را مطابق شکل ۳.۵ به دست آورد. با بررسی شکل ۳.۵ معلوم می‌شود که وقتی چگالی ماده جذب کننده افزایش می‌یابد، به ازای هر انرژی مشخصی از پرتو بتا، ضخامت مورد لزوم جذب کننده کاهش خواهد یافت. تحلیل تفصیلی اطلاعات تجربی نشان می‌دهد که قدرت جذب انرژی پرتو بتا، عمدها به تعداد الکترونهای ماده جذب کننده موجود در مسیر پرتو، یعنی چگالی سطحی الکترونهای جاذب (یا الکترونهای موجود در هر سانتی‌متر مربع ماده جاذب) و همچنین تاحد خیلی کمتری به عدد اتمی ماده جاذب بستگی دارد. بدین ترتیب،



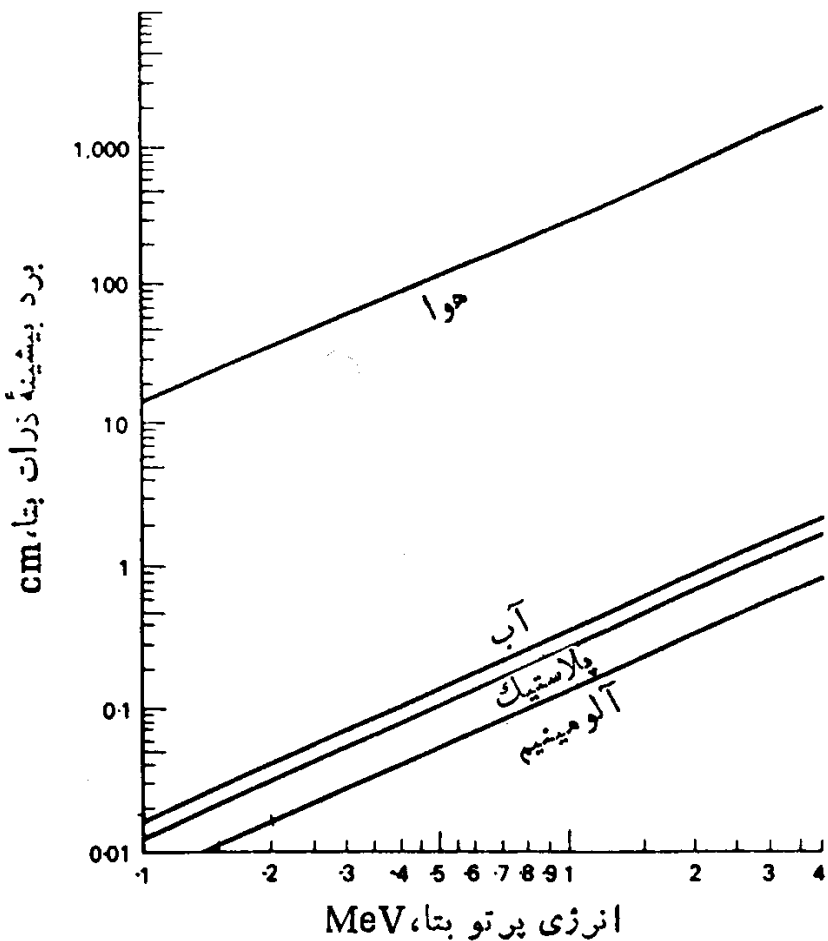
شکل ۲۰.۵ منحنی جذب ذرات بتای ^{210}Bi با انرژی بیشینه ۱۷ MeV را. خط‌چین افقی آهنگ شمارش میانگین زمینه را نشان می‌دهد.

در موارد عملی، هنگام محاسبه ضخامت حفاظت در برابر پرتوهای بتا، از تأثیر عدد اتمی صرفنظر می‌شود. چگالی سطحی الکترونها تقریباً متناسب است با حاصلضرب چگالی ماده جاذب در ضخامت خطی آن. از این‌رو، به کمیتی از ضخامت می‌رسیم که آن را ضخامت چگالشی می‌نامیم و از لحاظ ریاضی چنین تعریف می‌کنیم

$$t_d(\text{g/cm}^2) = \rho(\text{g/cm}^3) \times t_i(\text{cm}) \quad (1.0.5)$$

در این معادله، یکاهای چگالی و ضخامت لزوماً بر حسب گرم و سانتی‌متر نیستند، بلکه هر مجموعه سازگاری از یکاهای قابل استفاده است. با کاربرد یکاهای ضخامت چگالشی، نظیر g/cm^2 یا mg/cm^2 با عددهای خواهد آمد، حفاظتها را بتوانیم آن مشخص کرد. (باید خاطرنشان کرد، به دلایلی که بعدها خواهد آمد، حفاظتها را بتوانیم تقریباً همیشه از موادی با عدد اتمی با این اختیار می‌کنند). برای مثال، چگالی آلومینیم برابر 2.7 g/cm^3 است. بنابر معادله (1.0.5)، ضخامت چگالشی ورقه‌ای به کلفتی ۱ cm از آلومینیم عبارت است از

$$t_d = 2.7 \text{ g/cm}^3 \times 1 \text{ cm} = 2.7 \text{ g/cm}^2$$



شکل ۳۰۵ منحنیهای برد - انرژی پرتوهای بتا در اجسام مختلف.

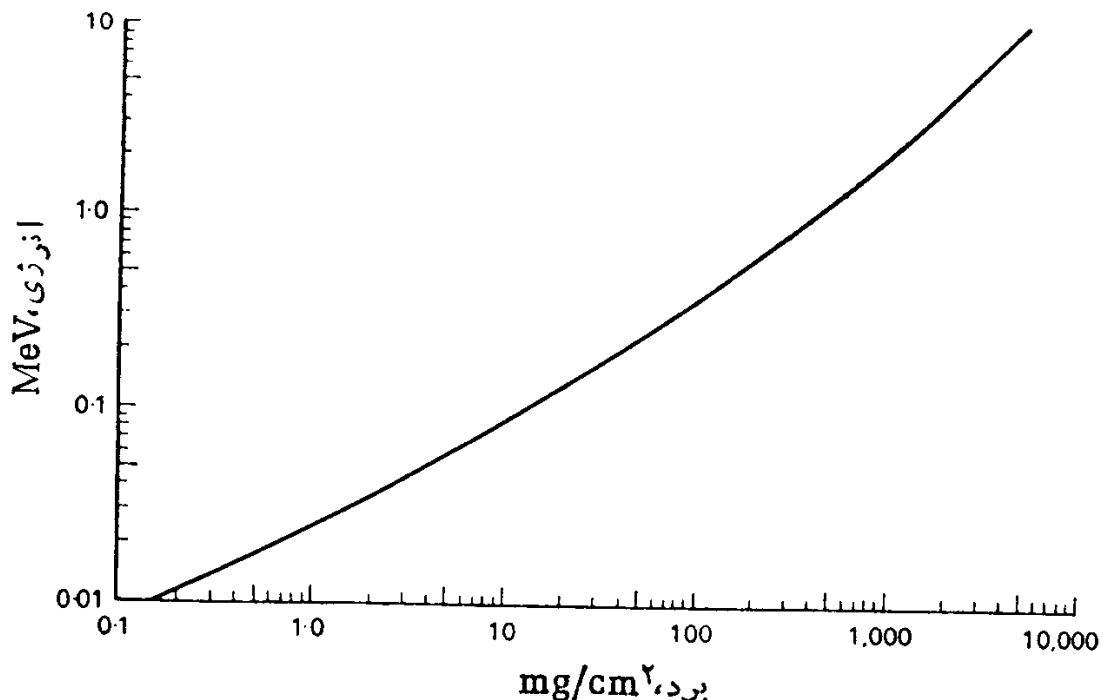
چنانچه بخواهیم ورقه‌ای از پلکسی گلاس با چگالی 118 g/cm^3 را به کار ببریم که توان جذب پرتو بتا در آن تقریباً همانند یک ورقه ۱ سانتی‌متری از آلومینیم است (یعنی 272 g/cm^3)، با استفاده از معادله (۱.۵) ضخامت خطی آن را به صورت زیر محاسبه می‌کنیم

$$t_d = \frac{t_d}{\rho} = \frac{272 \text{ g/cm}^3}{118 \text{ g/cm}^3} = 2.39 \text{ cm}$$

مزیت عملی دیگر استفاده از این نوع تعیین ضخامت، این است که جمع کردن ضخامت‌های مواد مختلف را که در کارهای پرتو شناختی متداول است امکان پذیر می‌سازد. شکل ۴.۵ به طور کلی منحنی برد را (که با یکای ضخامت چگالشی بیان شده است) بر حسب انرژی پرتو بتا نشان می‌دهد. این منحنی را که مبتنی بر اندازه گیریهای تجربی برد - انرژی است، می‌توان با معادله‌های (۳، ۲.۵) نشان داد

$$R = 412 E^{1.275} - 0.954 \ln E \quad (2.5)$$

محدوده اعتبار این معادله برای انرژیهای $E \leq 25 \text{ MeV}$ و $E \geq 15 \text{ MeV}$ است



شکل ۴.۵ منحنی برد - انرژی ذرات بتا. برد بر حسب یکای ضخامت چگالشی بیان شده است.

$$\ln E = -3.2376 \times 10^{-2146} - \ln R^{1/2} \quad (4.5)$$

این معادله برای بردهای $R \leq 1200$ برقرار است

$$R = 530E - 106 \quad (4.5)$$

و معادله اخیر برای مقادیر $E > 25 \text{ MeV}$ و $R > 1200$ اعتبار دارد. در این معادلات، R برد ذرات بر حسب mg/cm^2 و E انرژی بیشینه ذرات بر حسب MeV است.

مثال ۱.۵

حداقل ضخامت حفاظت چشمی ${}^{90}\text{Sr}$ که از (الف) پلکسی گلاس، و (ب) آلومینیم ساخته شده است، چقدر باید باشد تا هیچ پرتو بتایی نتواند از آن بگذرد؟

حل: انرژی بیشینه بتایی گسیل شده از استرونیم ۹۰ برابر 554 MeV است. اما از ${}^{90}\text{Y}$ که دختر هسته ${}^{90}\text{Sr}$ است، پرتوهای بتایی از ${}^{90}\text{Sr}$ بیشینه 227 MeV گسیل خواهد شد. چون همیشه همراه با پرتوهای بتایی ${}^{90}\text{Sr}$ ذرات بتایی ${}^{90}\text{Y}$ نیز حضور دارند، با ضخامت حفاظت باید به حدی باشد که تمام این پرتوهای پرانرژیتر را هم متوقف کند. با توجه به شکل ۴.۵، معلوم می شود که برد ذرات بتای 227 MeV برابر 11 g/cm^2 است. چگالی پلکسی گلاس 18 g/cm^3 است. بنابراین، ضخامت مورد لزوم پلکسی گلاس عبارت است از

$$t_i = \frac{t_d}{\rho} = \frac{۱۱۱ \text{ g/cm}^۲}{۱۱۸ \text{ g/cm}^۳} = ۰۹۶۳۲ \text{ cm}$$

پلکسی گلاس اگر به مدت طولانی تحت تابش شدید قرار گیرد، ممکن است در اثر آسیب تابشی ترک بردارد. در این شرایط، بهتر است از آلومینیم به عنوان حفاظ استفاده شود. چون چگالی آلومینیم برابر $۲۷ \text{ g/cm}^۳$ است، ضخامت مورد لزوم آن ۰۴۱ cm خواهد شد.

متخصصان فیزیک بهداشت غالباً برای تشخیص چشمتهای ناشناخته گسیلنده بنا، از رابطه برد- انرژی استفاده می‌کنند. این شناسایی بدین ترتیب انجام می‌شود که نخست برد پرتو بنا را اندازه گیری و سپس انرژی آن را تعیین می‌کنند. در این حال، با استفاده از جدول ایزوتوبها، ایزوتوبها، ایزوتوبی را که منشاء گسیل پرتو بنا با آن انرژی بوده است پیدا می‌کنند.

مثال ۴۰۵

با استفاده از آزمایشی به ترتیب شکل ۵.۵، برد یک نوع ذره بتای ناشناخته معادل ۱۱۱ mm آلمینیم به دست آمده است. در طی یک دوره ۱ ماهه، در فعالیت ایزوتوب کاهش قابل اندازه گیری مشاهده نشده و تابش دیگری نیز از ایزوتوب گسیل نشده است.

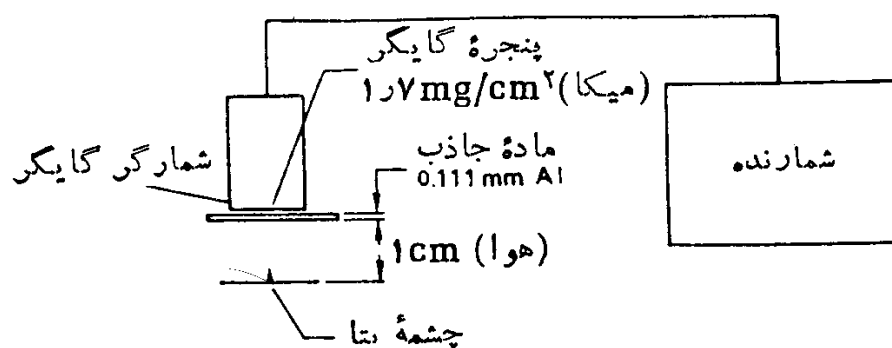
(الف) انرژی پرتو بنا چقدر است؟

(ب) ایزوتوب مورد آزمایش کدام است؟

حل: برد کلی پرتو بنا عبارت است از

$$(آلومینیم) ۱۱۱ \text{ mm} + (هوای ۱ \text{ cm}) + (\text{میکا} ۲۷ \text{ mg/cm}^۲)$$

این جذب‌کننده‌های مختلف، در صورتی که ضخامتشان بر حسب ضخامت چگالشی بیان شود، باهم قابل جمع‌اند. چگالی هوا در دما و فشار متعارف برابر $۱۲۹۳ \text{ mg/cm}^۳$ است. با استفاده از معادله (۱.۵) ضخامت چگالشی هوا و آلمینیم محاسبه می‌شود، و برد ذره بتای نامعلوم به دست می‌آید



شکل ۵.۵ شناسایی ایزوتوب از طریق اندازه گیری برد ذرات بتای گسیل شده.

$$\text{برد} = \frac{\text{mg}}{\text{cm}^2} + 1.29 \frac{\text{mg}}{\text{cm}^2} + 3.0 \frac{\text{mg}}{\text{cm}^2} = 32.99 \frac{\text{mg}}{\text{cm}^2}$$

طبق شکل ۴.۵، انرژی متناظر با این برد در حدود 17 MeV است. بدین ترتیب، ایزوتوب نامعلوم ممکن است C^{14} باشد که یک گسیلنده خالص با این انرژی بیشینه 155 MeV و نیمه عمر 5700 سال است.

سازوکارهای اقلاف انرژی

یونش و برانگیزش

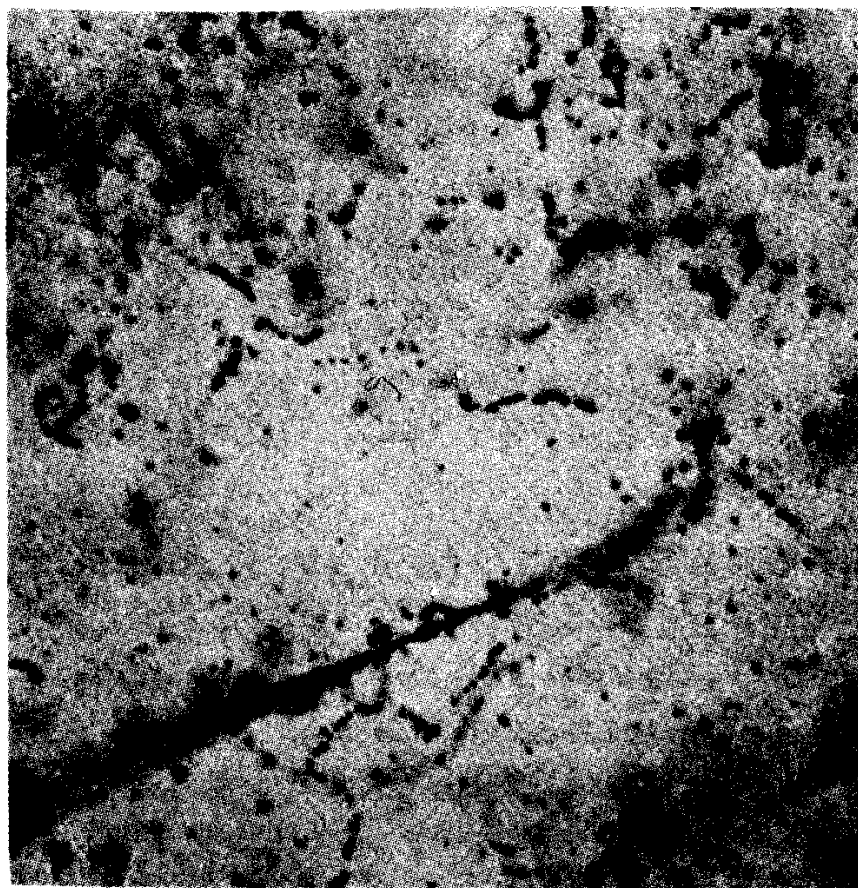
برهم کنش بین میدانهای الکتریکی ناشی از ذره بتا و الکترونهای مداری محیط جاذب، باعث یونش و برانگیزش الکترونهای می‌شود. این برهم کنشها از نوع برخورد ناکشسان و همانند موردی هستند که در مثال ۱۳.۲ دیدیم. الکترونهای مداری را نیروهای الکتریکی در اتم نگه می‌دارند، و در مقابله با این نیروهای است که انرژی ذره بتا تلف می‌شود. چون نیروهای الکتریکی از فواصل دور اثر می‌کنند، «برخورد» بین ذره بتا و الکترون همانند برخورد بین قطبهای همنام دو آهنربا بدون تماس واقعی بین دو ذره صورت می‌گیرد. میزان افت انرژی ذره بتا به فاصله نزدیکی آن با الکترون و به انرژی جنبشی آن بستگی دارد. اگر پتانسیل یونش محیط جاذب را با ϕ و مقدار افت انرژی ذره بتا را در حین برخورد با E نشان دهیم، انرژی جنبشی الکترون پرتاب شده، E_k ، چنین می‌شود

$$E_k = E - \phi \quad (5.5)$$

در بسیاری از برخوردهای یوننده، فقط یک زوج یون تولید می‌شود. در مواد دیگر، الکترون پرتاب شده ممکن است آنقدر انرژی جنبشی داشته باشد که خوش کوچکی که از چندین یونش تشکیل می‌شود ایجاد کند. در اندکی از مواد برخورد هم، الکترون پرتاب شده ممکن است تا آن حد انرژی جنبشی کسب کند که بتواند فاصله‌ای طولانی را پیماید و رگه‌ای یونشی بر جای گذارد. چنین الکترونهایی را که انرژی جنبشی شان ممکن است از مرتبه 1000 eV باشد، پرتو دلتا می‌نامند.

حرم ذرات بتا با حرم الکترونهای مداری مساوی است، و بدینجهت این ذرات در طی فرایند برخورد به آسانی منحرف می‌شوند. بهمین دلیل، ذرات بتا هنگام گذار از محیط جاذب، مسیرهایی پر پیچ و خم خواهند داشت. شکل ۶.۵، مسیر یک ذره بتا را در امواجیون عکاسی نشان می‌دهد. فیلم، در محل ایجاد یونش تحت تأثیر رویدادهای یونشی قرار می‌گیرد، و بدین ترتیب رد پای ذرات پس از ظهرور فیلم قابل مشاهده خواهد شد.

با مرئی سازی رویدادهای یونشی به کمک فیلم عکاسی یا اتفاق ابر، و با شمارش تعداد واقعی یونش حاصل از یک تک ذره یوننده او لیه با انرژی مشخص، معلوم شده است که میانگین انرژی صرف شده در تولید هر زوج یون در حدود دو تا سه برابر پتانسیل یونش



شکل ۶.۵ مسیر الکترون در امولسیون عکاسی. خطوط پر پیچ و خم، مسیرهای الکترونی را نشان می‌دهند. خط پررنگ قسمت پایینی، از یک هسته اکسیژن در تاپش کیهانی اولیه حاصل شده است.

است. تصویری دود که اختلاف میان افت انرژی ذره یوننده و انرژی صرف شده در برخورد یونشی، صرف برانگیزش الکترونها می‌شود. به عنوان مثال، پتانسیل یونش برای اکسیژن و نیتروژن به ترتیب برابر 13.6 eV و 14.5 eV است، در حالی که میانگین افت انرژی درهوا برابر 34 eV به ازای تولید هرزوج یون است. جدول ۱.۵ پتانسیل یونش و میانگین افت انرژی، ω ، را برای چندگاز که عملاً مورد استفاده اند، نشان می‌دهد.

یونش ویژه. آهنگ خطی افت انرژی ذره بتا در فرایند یونش و برانگیزش، پارامتر مهمی، در طراحی سنجش افزارهای فیزیک بهداشت و در مطالعه اثرات زیست‌شناسختی تا بش به شمار می‌رود، که معمولاً آن را بر حسب یونش ویژه بیان می‌کنند. یونش ویژه عبارت است از تعداد زوج یونهای تشکیل شده در هر واحد مسافتی که ذره بتا می‌پیماید. عموماً مقدار یونش ویژه برای ذرات بتا در انرژیهای پایین نسبتاً بالاست؛ با افزایش انرژی ذره، یونش ویژه آن سریعاً کاهش می‌یابد تا اینکه در حدود انرژی 1 MeV به کمینه‌ای بین می‌رسد. همان‌طور که در شکل ۷.۵ دیده می‌شود، چنانچه انرژی ذره از این مقدار هم تجاوز کند، یونش ویژه به آرامی شروع به افزایش مجدد خواهد کرد.

آهنگ خطی افت انرژی ناشی از یونش و برانگیزش را می‌توان به کمک معادله

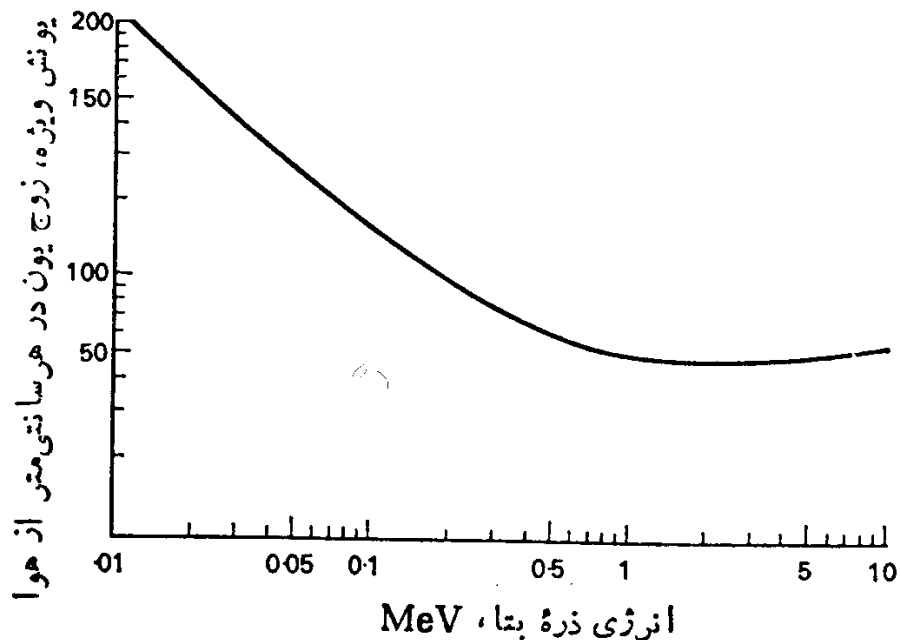
جدول ۱۰.۵ میانگین افت انرژی ذره بنا در تولید هرزوج یون.

میانگین افت انرژی به ازای تولید هرزوج یون	پتانسیل یونش	گاز
۳۶۰۶ eV	۱۳۰۶ eV	H _۲
۴۱۰۵	۲۴۰۵	He
۳۴۰۶	۱۴۰۵	N _۲
۳۰۰۸	۱۳۰۶	O _۲
۳۶۰۲	۲۱۰۵	Ne
۲۶۰۲	۱۵۰۷	A
۲۴۰۳	۱۴۰۵	Kr
۲۱۰۹	۱۲۰۱	Xe
۳۳۰۷		هوا
۳۲۰۹	۱۴۰۴	CO _۲
۲۷۰۳	۱۴۰۵	CH _۴
۲۵۰۷	۱۱۰۶	C _۲ H _۲
۲۶۰۳	۱۲۰۲	C _۲ H _۴
۲۴۰۶	۱۲۰۸	C _۲ H _۶

زیر حساب کرد

$$\frac{dE}{dx} = \frac{2\pi q^4 NZ \times (3 \times 10^9)^4}{E_m \beta^2 (16 \times 10^{-6})^2} \left\{ \ln \left[\frac{E_m E_k \beta^2}{I^2 (1 - \beta^2)} \right] - \beta^2 \right\} \frac{\text{MeV}}{\text{cm}} \quad (6.5)$$

که در آن q بار الکترون ($C = 10^{-19} \times 10^{-16}$)، NZ تعداد اتمهای محیط جاذب در هر cm^3 ، E_m انرژی همارز جرم الکترون (eV) و I برابر $10^{20} \times 10^{88} = 10^{108}$ است، E_k انرژی جنبشی ذره بنا (بر حسب MeV)، β مساوی v/c و Z عدد اتمی محیط جاذب، NZ تعداد الکترونهاي محیط جاذب در هر cm^3 (که در هواي 76 cmHg در آن $q = 1.6 \times 10^{-19} \times 10^{-16}$ بار) است. (برای میانگین پتانسیل یونش و برآوردهای اتمی محیط جاذب (بر حسب MeV) است. (برای هوا $I = 10^{-5} \times 10^{-8} = 10^{-13} \text{ A}$ است، و برای مواد دیگر داریم $I = 10^{-5} \times 10^{-35} = 10^{-40} \text{ A}$).



شکل ۷.۵ ارتباط بین انرژی ذره بنتا و یونش ویژه هوای.

چنانچه میانگین انرژی لازم برای تولید یک زوج یون (w) معلوم باشد، یونش ویژه را می‌توان با استفاده از معادله زیر محاسبه کرد

$$S.I. = \frac{dE/dx(eV/cm)}{w(eV/ip)} \quad (7.5)$$

مثال ۳.۵

یونش ویژه حاصل از گذار یک ذره بنتای 1 MeV از هوای معمولی چقدر است؟
حل: β^2 را می‌شود از معادله (۲۰.۲) به دست آورد

$$E_k = m_0 c^2 \left(\frac{1}{\sqrt{(1-\beta^2)}} - 1 \right)$$

$$1.51 \times 10^{-19} \left(\frac{1}{\sqrt{(1-\beta^2)}} - 1 \right)$$

$$\beta^2 = 0.3010$$

با قراردادن مقادیر معلوم در معادله (۶.۵)، حاصل می‌شود

$$\frac{dE}{dx} = \frac{2\pi(1.6 \times 10^{-19})^4 \times 3.88 \times 10^{20} \times (3 \times 10^9)^4}{551 \times 10 \times 0.3010 \times 10^{-6}^2} \times \left\{ \ln \left[\frac{551 \times 10 \times 0.3010}{(8.6 \times 10^{-5})^2 (1 - 0.3010)} \right] - 0.3010 \right\} \frac{\text{MeV}}{\text{cm}}$$

$$\frac{dE}{dx} = 475 \times 10^{-3} \frac{\text{MeV}}{\text{cm}}$$

برای هوا داریم $w = 34 \text{ eV/ip}$. بنا بر این، یونش ویژه با استفاده از معادله (۷.۵) چنین به دست می‌آید

$$S.I. = \frac{4750 \text{ eV/cm}}{34 \text{ eV/ip}} = 140 \text{ cm/zوج یون}$$

در بسیاری از موارد، واحد طولی که در آهنگ افت انرژی از آن استفاده می‌شود ضخامت چگالشی است، یعنی آهنگ افت انرژی بر حسب MeV/gcm^2 بیان می‌شود. این کمیت را توان ایستانندگی چرمی می‌نامند که با معادله زیر تعریف می‌شود

$$S = \frac{dE/dx}{\rho} \quad (8.5)$$

چون چگالی هوای معمولی برابر $1.293 \times 10^{-3} \text{ g/cm}^3$ است، آهنگ چرمی افت انرژی یا توان ایستانندگی چرمی در مثال ۳.۵ عبارت است از

$$S = \frac{475 \times 10^{-3} \text{ MeV/cm}}{1.293 \times 10^{-3} \text{ g/cm}^3} = 367 \frac{\text{MeV}}{\text{g/cm}^2}$$

انتقال انرژی خطی. از اصطلاح یونش ویژه هنگامی استفاده می‌شود که توجهمان به افت انرژی تابش معطوف است. هنگامی که محیط جاذب مورد نظر باشد، همان طور که در پرتو-زیست شناسی و مطالعه اثرات تابش شاهدیم، چیزی که در گذار ذره یوننده از محیط جاذب برای ما اهمیت دارد آهنگ خطی جذب شدن انرژی در محیط جاذب است. برای تعیین آهنگ جذب انرژی از اصطلاح انتقال انرژی خطی، که به صورت اختصاری LET نموده و با معادله زیر تعریف می‌شود، استفاده می‌کنیم

$$LET = \frac{dE_L}{dl} \quad (9.5)$$

که در آن dE_L متوسط انتقال موضعی انرژی به محیط جاذب توسط ذره بارداری با انرژی

معلوم در گذار از فاصله d است. در فیزیک بهداشت و در پرتوزیست‌شناسی، کمیت LET را معمولاً بر حسب یکای $\text{keV}/\mu\text{m}$ بیان می‌کنند. اصطلاح «انتقال موضعی» در تعریف بالا می‌تواند هر دو مورد زیر را شامل شود: فاصله بیشینه از مسیر ذره یوننده، و مقدار بیشینه افت ناپیوسته انرژی ذره به‌طوری‌که افتهای بیشتر از آن دیگر موضعی تلقی نشوند. در هر دو مورد، LET انرژی منتقل شده به حجم محدودی از محیط جاذب را به دست می‌دهد.

توان نسبی ایستانندگی جرمی. برای اینکه بتوانیم توان جذب انرژی را در محیط‌های مختلف باهم مقایسه کنیم، از توان نسبی ایستانندگی جرمی استفاده می‌کنیم. در آینده نشان خواهیم داد کمیتی که در کارهای مربوط به فیزیک بهداشت حائز اهمیت است، توان ایستانندگی جرمی محیط‌های جذب مختلف نسبت به توan ایستانندگی هواست. توان نسبی ایستانندگی جرمی چنین تعریف می‌شود

$$\rho_m = \frac{S_m(\text{محیط})}{S_a(\text{هوای})} \quad (10.5)$$

مثال ۴.۵

توان ایستانندگی جرمی گرافیت به چگالی 2.25 g/cm^3 نسبت به‌هوای برای ذره بتا با انرژی 1 MeV چقدر است؟

حل: آهنگ جرمی افت انرژی در گرافیت را می‌توان با قراردادن مقادیر معلوم در معادلات (۴.۶ و ۸) به دست آورد

$$NZ = \frac{6 \times 10^{23} \text{ atom/mol} \times 2.25 \text{ g/cm}^3 \times 6 \text{ electron/atom}}{12 \text{ g/mol}}$$

$$= 677 \times 10^{22} \text{ electron/cm}^3$$

$$I = 1.35 \times 10^{-5} \times 6 = 8.1 \times 10^{-5}$$

و بنا بر این، حاصل می‌شود

$$S_g = 3.85 \frac{\text{MeV}}{\text{g/cm}^2}$$

توان ایستانندگی جرمی هوا برابر 3.67 MeV/g/cm^2 است. بنا بر معادله (۱۰.۵)، توan نسبی ایستانندگی جرمی گرافیت برای الکترونی با انرژی 1 MeV برابر با می‌شود

$$\rho_m = \frac{3.85}{3.67} = 1.05$$

تابش ترمزی

ذرات پارداری که به تندی در حرکت اند، هنگامی که به طور ناگهانی شتاب می‌گیرند، تابش ترمزی متشكل از پرتوهای α از خود گسیل می‌کنند. هنگامی که ذره بتا از نزدیکی یک هسته می‌گذرد، نیروی جاذبه قوی کولنی باعث می‌شود که ذره بتا به طور محسوس از مسیر اولیه‌اش منحرف شود. این تغییرجهت حرکت ناشی از شتاب شعاعی است و ذره بتا، بنا بر نظریه کلاسیک، از طریق تابش الکترومغناطیسی و با آهنگی متناسب با مربع شتاب، انرژی اش را از دست می‌دهد. این بدان معنی است که فوتونهای تابش ترمزی، توزیع پیوسته‌ای از انرژی دارند که از یک بیشینه نظری برای با انرژی جنبشی ذره بتا، به طرف مقادیر کمتر گستردگ است. محاسبه شکل طیف تابش ترمزی و همچنین محاسبه شدت تابش ناشی از جذب پرتو بتا، در هر آرایشی از چشم و ماده جاذب، دشوار است ولی اندازه‌گیری آنها کار نسبتاً آسانی است. برای نمونه، میزان دز تابش ترمزی در فاصله ۱۰ سانتی‌متری از یک محفظه ۲۵ میلی‌لیتری محتوی $(\sim 100 \text{ mCi})$ ^{90}Sr $\times 10^9 \text{ Bq}$ در حدود $10 \text{ cm} \times 4 \times 10^9 \text{ Bq}$ محلول آبگون ^{32}P در حدود ۲۵ $\text{mGy/h} (= 3 \text{ mrad/h})$ است. در حالی که میزان دز ناشی از آن، در حدود $100 \text{ mrad/h} (= 100 \text{ mGy/h})$ است. (یکاهای mGy و mrad در فصل آینده معرفی خواهند شد. در اینجا کافی است که آنها را به عنوان یکاهای اندازه‌گیری دز تابش معرفی کنیم.)

در عملیات بروادد مخاطرات تابش ترمزی، می‌توان از رابطه تقریبی زیر استفاده کرد

$$f = 3.5 \times 10^{-4} ZE \quad (11.5)$$

که در آن f کسری از انرژی بتای فرودی که به صورت فوتون نمایان می‌شود، Z عدد اتمی ماده جاذب، و E انرژی بیشینه ذره بتا بر حسب MeV است. از آنجا که با افزایش عدد اتمی ماده جاذب احتمال تولید تابش ترمزی افزایش می‌یابد، حفاظتهاي پرتو بتا از موادی که عدد اتمی آنها کمترین است و عملاً هم قابل استفاده هستند، انتخاب می‌شود. در عمل برای پرتو بتا، حفاظتهاي با عدد اتمی بزرگتر از ۱۳ (عدد اتمی آلومینیم) چندان مورد استفاده نیستند.

مثال ۵.۵

چشمه بسیار کوچکی (از لحاظ حجم فیزیکی) از ^{32}P با فعالیت (1 Ci) 10^{10} Bq در داخل یک حفاظ سربی قرارداده، وضخامت حفاظ درست به اندازه‌ای است که از خروج ذرات بتا جلوگیری می‌کند. شار تابش ترمزی در فاصله 10 cm از چشم می‌چادرد؟ حل: از آنجا که برای سرب $Z = 82$ و انرژی بیشینه ذره بتای حاصل از ^{32}P برای 11.5 MeV است، کسری از انرژی بتا که به فوتون تبدیل می‌شود، از معادله (۱۱.۵) چنین به دست می‌آید

$$f = 3549 \times 10^{-4} \times 82 \times 171 = 50549$$

چون انرژی میانگین پرتو بنا در حدود یک سوم انرژی بیشینه آن است، انرژی فروتنا بینه بر حفاظت از طریق ذرات بنا، E_β ، برابر است با

$$E_\beta = \frac{1}{3} E \times 357 \times 10^{10} \text{ MeV/s}$$

در عملیات فیزیک بهداشت، فرض می شود که تمام فوتونهای تابش ترمی انرژی بیشینه دارند. بنابراین، شار فوتونهای تابش ترمی در فاصله $r \text{ cm}$ از چشم بنا $(10^{10} \text{ Bq}) (1 \text{ Ci}) \times 37 \times 10^5 \text{ photon/cm}^2 \text{ s}$ عبارت است از

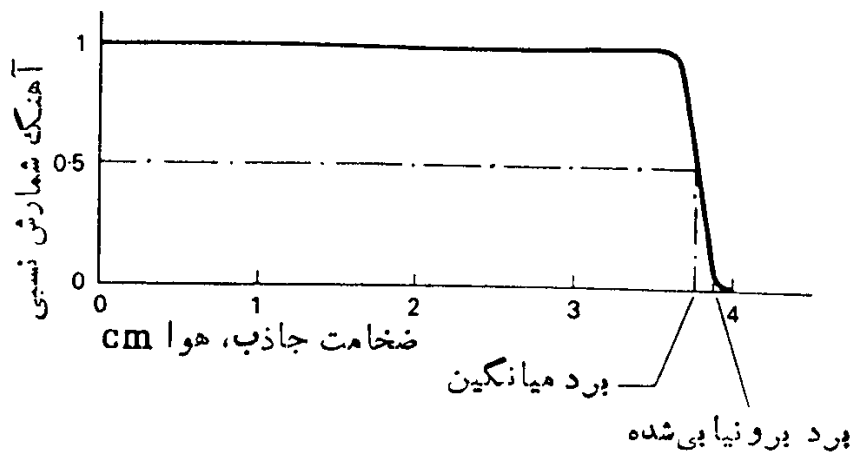
$$\phi = \frac{f E_\beta}{4\pi r^2 E} = \frac{0.5049 \times (1/3) \times 171 \text{ MeV} / \beta \times 357 \times 10^{10} \text{ MeV/s}}{4\pi \times 10^2 \text{ cm}^2 \times 171 \text{ MeV/photon}} = 4.8 \times 10^5 \text{ photon/cm}^2 \text{ s}$$

پرتوهای آلفا

رابطه بر داری آفرینش

پرتو آلفا کم نفوذترین نوع تابش است. برد پرانرژیترین نوع ذرات آلفایی که از مواد پرتوزا گسیل می شود، فقط در حدود چند سانتی متر در هواست، و در بافت های حیوانی مقدار این برد از مرتبه میکرون ($10^{-4} \text{ cm} = 1 \mu$) است. اصطلاح برد در مورد ذرات آلفا، ممکن است دو تعریف متفاوت داشته باشد: برد میانگین، و برد بروندیابی شده. تفاوت میان این دونوع برد را از روی منحنی جذب ذرات آلفا (شکل ۸.۵) می توان دریافت.

همواری منحنی جذب ذرات آلفا از آن روزت که تابش آلفا اساساً تک انرژی است. هر چه ضخامت ماده جاذب بیشتر باشد، صرفاً انرژی ذراتی که از آن عبور می کنند کاهش می یابد؛ و تا زمانی که ضخامت به برد تقریبی نرسد تعداد ذرات کاهش نمی یابد. در این نقطه، تعداد ذرات عبور کرده از ماده جاذب شدیداً کاهش می یابد. در نزدیکی انتهای منحنی، آهنگ جذب به علت اثرات تفرقی، یا ترکیبی از اثرات توزیع آماری «میانگین» افت انرژی به ازای هر یون و پراکندگی ناشی از هسته های محیط جاذب، کاهش خواهد یافت. برد میانگین، بر دی است که با بیشترین دقت قابل اندازه گیری است، و با برد ذره آلفای «متوسط» متناظر است. برد بروندیابی شده از بروندیابی منحنی جذب ذرات آلفا و



شکل ۸.۵ منحنی جذب ذرات آلفا.

صفرا نگاشتن تعداد ذرات آلفای عبور کرده حاصل می‌شود. متداولترین محیط جاذب برای مشخص کردن رابطه برد-انرژی ذرات آلفا، هواست. در هوای ${}^{\circ}\text{C}$ و فشار ۷۶۰ mm، برای ذرات آلفای با انرژیهای کمتر از ۴ MeV و انرژیهای بین ۴ تا ۸ MeV، برد با تقریب ۱۵٪ از معادلات زیر به دست می‌آید

$$(E < 4 \text{ MeV}) \quad R(\text{cm}) = 0.56 E(\text{MeV}) \quad (14.5)$$

$$(4 < E < 8 \text{ MeV}) \quad R(\text{cm}) = 1.24 E(\text{MeV}) - 2.62 \quad (14.5)$$

برد ذرات آلفا را در هر محیط دیگری می‌توان از رابطه زیر محاسبه کرد

$$R_m(\text{mg/cm}^2) = 0.56 A^{1/3} R \quad (15.5)$$

که در آن A عدد اتمی محیط، و R برد ذره آلفا در هوای بر حسب سانتی‌متر است.

مثال ۸.۵

برای متوقف کردن ذرات آلفای حاصل از ${}^{210}\text{Po}$ ، چه ضخامتی از ورقه آلمینیمی با چگالی 2.7 g/cm^3 لازم است؟

حل: انرژی ذره آلفای ${}^{210}\text{Po}$ برابر 3.5 MeV است. بنابر معادله (۱۴.۵)، برد ذره آلفا در هوای برابر است با

$$R = 1.24 \times 3.5 - 2.62 = 3.95 \text{ cm}$$

با قراردادن این مقدار R و $A = 27$ در معادله (۱۵.۵)، حاصل می‌شود

$$R_m = 0.56 \times 27^{1/3} \times 3.95 = 6.64 \text{ mg/cm}^2$$

ضخامت ورقه بر حسب سانتی‌متر، از معادله (۱۵.۵) محاسبه می‌شود که برابر است با 0.246 cm .

از آنجا که ترکیب اتمی مؤثر بافت‌های بدن انسان تفاوت خیلی زیادی با ترکیب هوا ندارد، برای محاسبه بر دزرات آلفا در بافت‌های بدن می‌توان از رابطه زیر استفاده کرد

$$R_e \times \rho_e = R_T \times \rho_t \quad (16.5)$$

که در آن R_e و R_t بر دزه درهوا و در بافت بدن، ρ_e و ρ_t چگالی هوا و بافت بدن است.

مثال ۷.۵

بر دزه آلفای P_0 درجه 21° در بافت بدن انسان چقدر است؟

حل: بر این ذره را درهوا، درمثال قبلی، برابر با 395 cm^3 به دست آوردم. با فرض اینکه چگالی بافت بدن برابر با واحد است، به کمک معادله (۱۶.۵) بر دزه آلفا را چنین به دست می‌آوریم

$$R_e = \frac{395 \text{ cm}^3 \times 1.293 \times 10^{-3} \text{ g/cm}^3}{1 \text{ g/cm}^3} = 1.5 \times 10^{-3} \text{ cm}$$

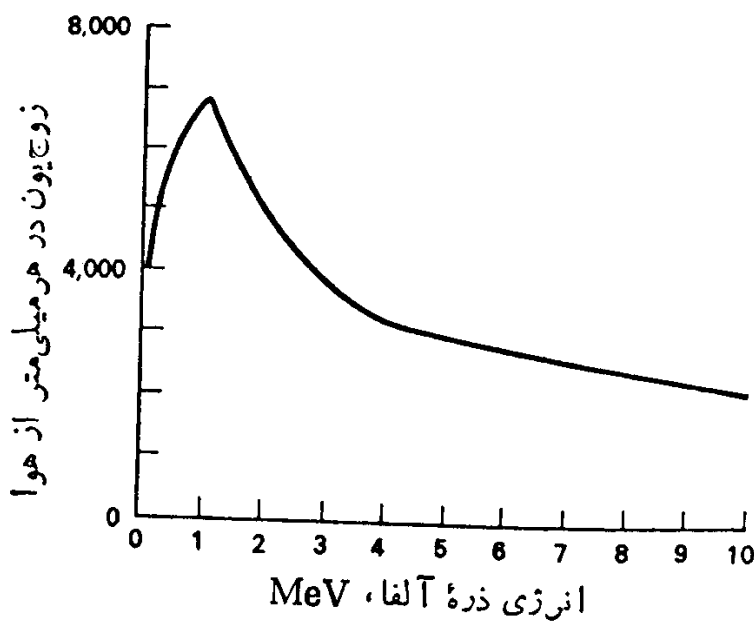
انتقال انرژی

سازوکار اصلی افت انرژی ذرات آلفا، و تنها فرایند درخور توجه در فیزیک بهداشت، یونش و برانگیزش الکترونهاست. ذره آلفا در گذار از هوا یا بافت نرم، به طور متوسط، در تولید هرزوج یون به اندازه 35 eV انرژی از دست می‌دهد. یونش ویژه ذره آلفا، به خاطر بار الکتریکی زیاد و سرعت نسبتاً پایین آن، خیلی بالا و از مرتبه دهها هزار زوج یون در هر سانتی‌متر از هواست (شکل ۹.۵).

آهنگ خطی افت انرژی برای تمام ذرات باردار سنگینتر از الکترون عبارت است از

$$\frac{dE}{dx} = \frac{4\pi z^2 q^4 N Z \times (3 \times 10^9)^4}{M v^4 \times 16 \times 10^{-6}} \left[\ln \frac{2 M v^2}{I} - \ln \left(1 - \frac{v^2}{c^2} \right) - \frac{v^2}{c^2} \right] \frac{\text{MeV}}{\text{cm}} \quad (17.5)$$

که در آن z عدد اتمی ذره یوننده، q بار الکتریکی واحد (10^{-19} C)، zq بار الکتریکی ذره یوننده، M جرم سکون ذره یوننده (گرم)، v سرعت ذره یوننده (cm/s)، N تعداد اتمهای ماده جاذب در 1 cm^3 ، Z عدد اتمی ماده جاذب، I تعداد الکترونهای جاذب در هر 1 cm^3 ، c سرعت نور (10^{10} cm/s)، و $I = 1.58 \times 10^{-10} \text{ erg}$ برای مواد دیگر $I = 2 \times 10^{-11} Z$. در حالتی که ذره یوننده ذره آلفا باشد، داریم $I = 2$ و $M = 6.6 \times 10^{-24} \text{ g}$. معادله (۱۷.۵) برای آن دسته از ذرات یوننده که سرعتشان از



شکل ۹.۵ منحنی پرآگه برای یونش ویژه ذرات آلفا درهوای با دما و فشار استاندارد.

سرعت الکترونهای مداری ماده جاذب بزرگتر باشد، برقرار است.

توان ایستانتندگی جرمی هر ماده جاذب را برای ذره آلفا، به همان شیوه‌ای که برای ذره بتا گفته‌یم، تعریف می‌کنیم. در مورد تووان نسبی ایستانتندگی جرمی نیز به همین ترتیب عمل می‌شود. بنابراین، برای تعریف این دو خاصیت مواد جاذب در برابر ذرات آلفا هم از معادلات (۸.۵ و ۱۰) استفاده می‌کنیم.

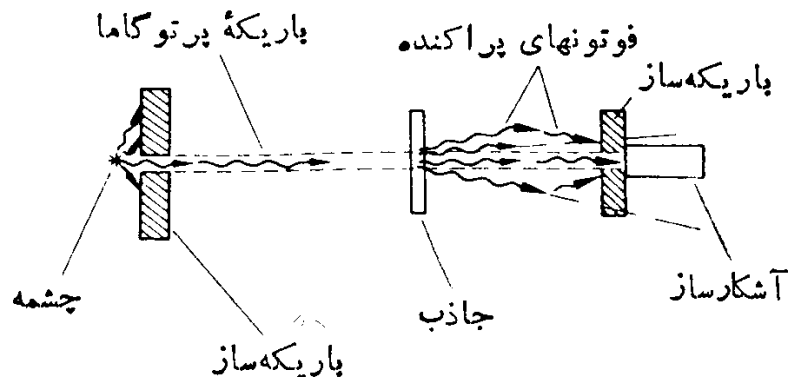
پرتوهای گاما

جذب نهایی

چگونگی تضعیف تابش گاما با تضعیف هر دوتابش بتا و آلفا متفاوت است. در حالی که هر دوی این تابش‌های ذره‌ای بردهای مشخص در ماده دارند، و بنابراین کاملاً قابل جذب‌اند، در مورد تابش گاما با افزایش ضخامت جاذب فقط از شدت تابش کاسته می‌شود و جذب کامل صورت نمی‌گیرد. اگر اندازه گیری تضعیف پرتو گاما در شرایط هندسی خوب، یعنی با استفاده از یک باریکه تابشی باریک و کاملاً موازی (مطابق شکل ۱۰.۵) انجام و اطلاعات حاصل روی کاغذ نیم لگاریتمی رسم شود، در صورتی که پرتو گاما تک انرژی باشد، یک خط مستقیم همانند شکل ۱۱.۵ حاصل خواهد شد. اگر پرتو گاما چند رنگ (چند انرژی) باشد، نتیجه‌ای مانند منحنی خط چین در شکل ۱۱.۵ حاصل خواهد شد.

معادله خط مستقیم حاصل، در شکل ۱۱.۵، چنین است

$$\ln I = -\mu t + \ln I_0 \quad (11.5 \text{ الف})$$

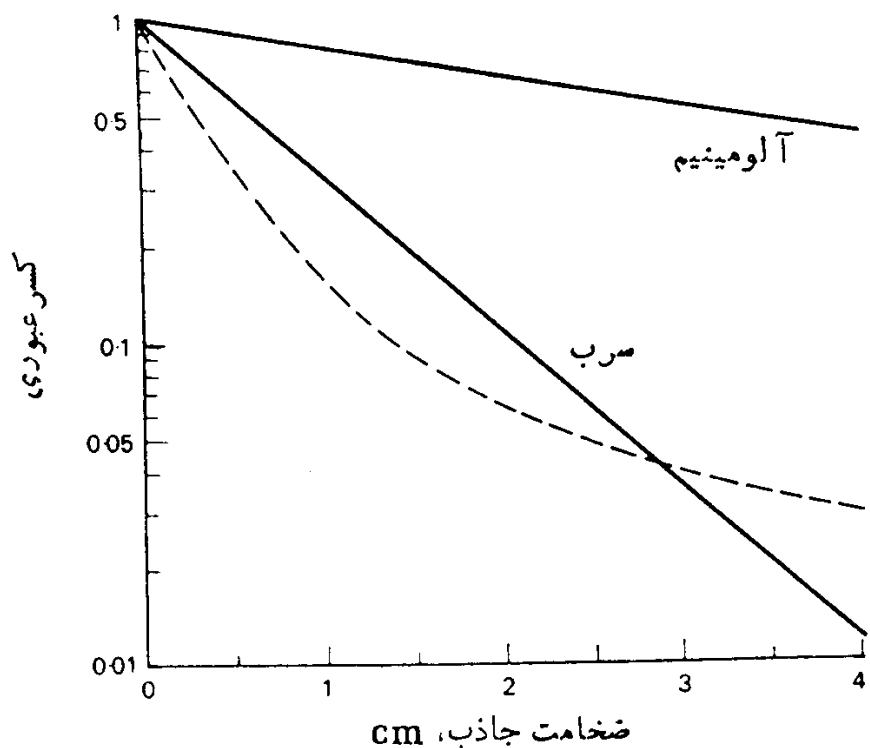


شکل ۱۰.۵ اندازه‌گیری تضعیف پرتو گاما در شرایط هندسی خوب. در حالت ایده‌آل، باریکه باید کاملاً موازی و چشمی تا حد ممکن از آشکارساز دور باشد، ماده جاذب باید در وسط فاصله چشمی و آشکارساز قرار گیرد، و ضخامتش آنچنان کم باشد که احتمال برهمنش ثانوی بین ماده جاذب و فوقونهای پراکنده توسعه ناجیز باشد، و لازم است که در اطراف آشکارساز نیز هیچگونه ماده پراکنده‌ای نباشد.

یا

$$\ln I/I_0 = -\mu t \quad (10.5)$$

چنانچه از دو طرف معادله آنتی لگاریتم بگیریم، خواهیم داشت



شکل ۱۱.۵ تضعیف پرتوهای گاما در شرایط هندسی خوب. خطوط پر، منحنیهای تضعیف پرتوهای گامای (تک انرژی) 66.2 MeV را نشان می‌دهند. نمودار خط‌چین، منحنی تضعیف باریکه چندرنگتر را نشان می‌دهد.

$$\frac{I}{I_0} = e^{-\mu t} \quad (19.5)$$

که در آن I شدت پرتو گاما در ضخامت صفر ماده جاذب، I_0 ضخامت ماده جاذب، t پرتو گاما پس از عبور از ضخامت x در جاذب، μ پایه دستگاه لگاریتم طبیعی، و m شیب منحنی جذب یا ضریب تضعیف است.

از آنجا که در یک معادله نمایی لازم است که نما بدون بعد باشد، بعد m و t باید عکس یکدیگر شود. یعنی اگر ضخامت جاذب بر حسب سانتی متر اندازه گیری شود، آنگاه بعد ضریب تضعیف که ضریب تضعیف خطی m خوانده می شود، باید (cm^{-1}) باشد. اگر x بر حسب cm^2/g باشد، در این صورت ضریب جذب را ضریب تضعیف جرمی m می گویند که بعد آن باید برابر (cm^2/g) یا (g/cm^3) باشد. ارتباط بین m و m با معادله زیر داده می شود

$$\mu_i(cm^{-1}) = \mu_m(cm^2/g) \times \rho \times (g/cm^3) \quad (20.5)$$

که در آن ρ چگالی ماده جاذب است.

ضریب تضعیف عبارت است از کسری از باریکه پرتو گاما که در طی گذار از واحد ضخامت ماده جاذب ناپدید می شود، و معادله معرف آن چنین است

$$\lim_{\Delta t \rightarrow 0} \frac{\Delta I/I}{\Delta t} = -\mu \quad (21.5)$$

که در آن $I/\Delta I$ کسری از پرتو گاماست که در طی عبور از ماده جاذبی به ضخامت x ناپدید می شود. ضریب تضعیفی را که بدین ترتیب تعریف شد، گاهی ضریب تضعیف کل می نامند. جدول ۲۰.۵ مقادیری از ضرایب تضعیف را برای چند نوع ماده نشان می دهد. در موارد خاصی، بهتر است که از ضریب تضعیف اتمی، m ، استفاده شود. ضریب تضعیف اتمی، کسری از باریکه پرتو گاماست که براثر یک اتم منفرد ناپدید می شود. به عبارت دیگر می توان گفت که ضریب تضعیف اتمی همان احتمال برهم کنش یک اتم از ماده جاذب با یکی از فوتونهای موجود در باریکه خواهد بود. معادله معرف ضریب تضعیف اتمی چنین است

$$\mu_a(cm^2) = \frac{\mu_i(cm^{-1})}{N(atom/cm^3)} \quad (22.5)$$

که در آن N تعداد اتمهای موجود در هر سانتی مترمکعب از ماده جاذب است. توجه داشته باشید که بعد m به صورت cm^2 و از نوع یکای مساحت است. به همین دلیل، تقریباً همیشه از ضریب تضعیف اتمی با عنوان «سطح مقطع» ماده جاذب یاد می شود. یکایی که برای

جدول ۳۰۵ ضرایب تضمیف خطی، cm^{-1}

ائزی فوتون

	$\rho, \text{g/cm}^3$	0.1	0.15	0.2	0.3	0.5	0.8	1.0	1.5	2	3	5	8	10
C	2.25	0.335	0.301	0.274	0.238	0.196	0.159	0.143	0.117	0.100	0.080	0.061	0.048	0.044
Al	2.7	0.435	0.362	0.324	0.278	0.227	0.185	0.166	0.135	0.117	0.096	0.076	0.065	0.062
Fe	7.9	2.72	1.445	1.090	0.838	0.655	0.525	0.470	0.383	0.335	0.285	0.247	0.233	0.232
Cu	8.9	3.80	1.830	1.369	0.960	0.730	0.581	0.520	0.424	0.372	0.318	0.281	0.270	0.271
Pb	11.3	59.7	20.8	10.15	4.02	1.64	0.945	0.771	0.579	0.516	0.476	0.482	0.518	0.552
H ₂ O	1.29×10^{-3}	1.95×10^{-4}	1.73×10^{-4}	1.59×10^{-4}	1.37×10^{-4}	1.12×10^{-4}	9.12×10^{-5}	8.45×10^{-5}	6.67×10^{-5}	5.75×10^{-5}	4.6×10^{-6}	3.54×10^{-6}	2.84×10^{-6}	2.61×10^{-6}
N ₂	2.35	0.397	0.326	0.291	0.251	0.204	0.166	0.149	0.122	0.105	0.085	0.067	0.057	0.054

نرکیب بتوون معمولی به این صورت است: $\text{H}_2\text{O}\% ۰۵۵۴-\text{O}\% ۰۰۵۶-\text{Ca}\% ۰۰۵۹-\text{Al}\% ۰۳۱۳-\text{Si}\% ۰۴۹-\text{O}\% ۰۰۵۴-\text{Mg}\% ۰۱۲۲-\text{Fe}\% ۰۰۲۴-\text{K}\% ۰۱۱-\text{Na}\% ۰۱۱۷$.

اندازه‌گیری سطح مقطع مورد استفاده قرار می‌گیرد، بارن نام دارد
 $b = 10^{-24} \text{ cm}^2$

ضریب تضعیف اتمی را سطح مقطع میکروسکوپیک نیز می‌گویند و با نماد σ نمایش می‌دهند، در این صورت ضریب تضعیف خطی را سطح مقطع هاکروسکوپیک می‌نمایند و با نماد Σ نشان می‌دهند. این نامگذاریها را تقریباً همیشه در مطالعات نوترونی به کار می‌بریم. بدین ترتیب، معادله (۲۰.۵) را می‌شود چنین نوشت

$$\sum(\text{cm}^{-1}) = \sigma \left(\frac{\text{cm}^4}{\text{atom}} \right) \times N \left(\frac{\text{atom}}{\text{cm}^3} \right) \quad (20.5)$$

با استفاده از رابطه (۲۰.۵)، معادله (۱۹.۵) را می‌توان به صورت زیر درآورد

$$\frac{I}{I_0} = e^{-\mu_e N t} \quad (20.5 \text{ الف})$$

یا

$$\frac{I}{I_0} = e^{-\sigma N t} \quad (20.5 \text{ ب})$$

مقادیر عددی μ_e برای بسیاری از عناصر، و برای گستره پهناوری از انرژیها، منتشر شده است.^۱

به کمک سطح مقطعهای اتمی می‌توان ضریب تضعیف یک آلیاژ با ترکیبی مشکل از چند عنصر مختلف را محاسبه کرد.

مثال ۸.۵

برنز آلومینیمی آلیاژی است که ۹۵٪ وزن آن از Cu (۶۳ رگ ۵۷) و ۱۰٪ آن از Al (۲۷) وزن اتمی) و چگالی آن برابر 7.6 g/cm^3 است. ضرایب تضعیف خطی و جرمی این آلیاژ را برای پرتوهای گاما می‌توان 4 MeV پیدا کنید. سطح مقطع Cu و Al را برای این انرژی برابر ۹۱۹ و ۴۵۴ بارن بگیرید.

حل: بنا بر معادله (۲۰.۵)، ضریب تضعیف خطی بروز آلومینیمی چنین است

$$\mu_e = (\mu_e)_{\text{Cu}} \times N_{\text{Cu}} + (\mu_e)_{\text{Al}} \times N_{\text{Al}}$$

تعداد اتمهای Cu در هر cm^3 از آلیاژ عبارت است از

1. Gladys White Goodstein, X-ray Attenuation Coefficients from 10 keV to 100 MeV. NBS Circular 583. U. S. Government Printing Office, Washington, 1957.

$$N_{Cu} = \frac{6.02 \times 10^{23} \text{ atom/mol}}{63.55 \text{ g/mol}} (76 \times 10^{-3} \text{ g/cm}^3)$$

$$= 6.49 \times 10^{22} \text{ atom/cm}^3$$

و برای آلومنیم داریم $N_{Al} = 1.7 \times 10^{22} \text{ atom/cm}^3$. بنا بر این، ضریب تضعیف خطی چنین می‌شود

$$\mu_i = 9.9 \times 10^{-24} \text{ cm}^2 \times 6.49 \times 10^{22} \text{ atom/cm}^3 + 4.45 \times 10^{-24} \text{ cm}^2$$

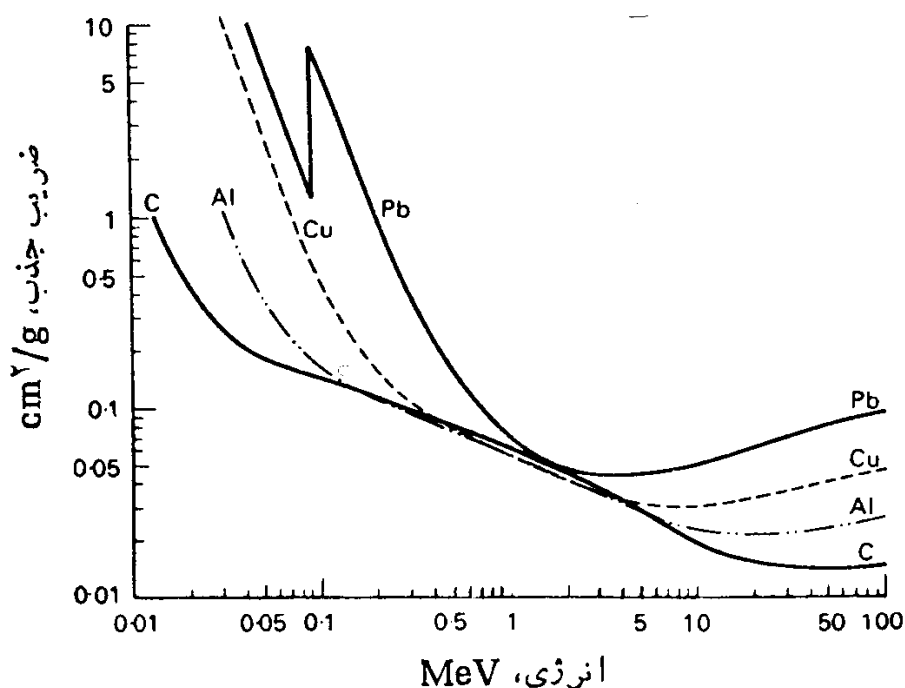
$$\times 1.7 \times 10^{22} \text{ atom/cm}^3$$

$$= 0.705 \text{ cm}^{-1}$$

با استفاده از معادله (۲۰.۵)، ضریب تضعیف جرمی چنین به دست می‌آید

$$\mu_m = \frac{0.705 \text{ cm}^{-1}}{76 \text{ g/cm}^3} = 0.0927 \text{ cm}^2/\text{g}$$

همان گونه که در شکل ۱۲.۵ دیده می‌شود، خواص تضعیفی ماده با نظم خاصی بر حسب عدد اتمی ماده جاذب و انرژی پرتوگاما تغییر می‌کند. اما باید خاطر نشان کرد در ناحیه‌ای که اثر کامپتون غلبه دارد (در زیر بحث بیشتری درباره این اثر خواهیم داشت)، ضریب تضعیف جرمی تقریباً مستقل از عدد اتمی ماده جاذب خواهد بود.



شکل ۱۲.۵ منحنی نمایش تغییرات ضریب تضعیف بر حسب انرژی فوتون برای مواد جاذب با اعداد اتمی مختلف.

مثال ۹.۵

(الف) ضخامت ماده جاذب از نوع آلومینیم و سرب چقدر باید باشد تا ۱۰٪ از باریکهٔ ظریفی از تابش گاما به انرژی MeV ۱۰۰ عبور دهد؟

حل: با توجه به جدول ۲.۵، ضریب μ برای Al برابر ۰.۴۳۵ cm^{-1} و برای Pb برابر ۰.۵۹۷ cm^{-1} است. با به کار بردن معادله (۱۹.۵)، برای آلومینیم داریم

$$\frac{1}{10} = e^{-(0.435 \text{ cm}^{-1})(t \text{ cm})}$$

$$\ln 10 = ۰.۴۳۵ t$$

$$\frac{۲.۳}{۰.۴۳۵} = t = ۵.۲ \text{ cm}$$

به همین ترتیب، برای سرب هم خواهیم داشت

$$\frac{1}{10} = e^{-(0.597 \text{ cm}^{-1})(t \text{ cm})}$$

$$t = ۰.۵۸۵ \text{ cm}$$

(ب) محاسبه قسمت (الف) را برای پرتوگامای با انرژی MeV ۱۰۰ تکرار کنید. ضریب μ برای Al برابر ۰.۱۶۶ و برای Pb برابر ۰.۷۷۱ است. ضخامت آلومینیم چنین به دست می‌آید

$$\frac{1}{10} = e^{-(0.166 \text{ cm}^{-1})(t \text{ cm})}$$

$$t = ۱.۳۸۶ \text{ cm}$$

و برای سرب، داریم

$$\frac{1}{10} = e^{-(0.771 \text{ cm}^{-1})(t \text{ cm})}$$

$$t = ۲.۹۷ \text{ cm}$$

(ج) در این مثال، ضخامت چگالشی Al و Pb را در هر قسمت با هم مقایسه کنید. ضخامت چگالشی Al برای فوتونهای MeV ۱۰۰، بنابر معادله (۱۰.۵)، چنین می‌شود

$$t_{dAl} = ۲.۷ \text{ g/cm}^3 \times ۰.۵ \text{ cm} = ۱.۴ \text{ g/cm}^2$$

و برای سرب داریم

$$\rho_{\text{dPb}} = 1134 \text{ g/cm}^3 \times 0.5385 \text{ cm} = 0.435 \text{ g/cm}^2$$

درمورد فوتونهای با انرژی 150 MeV ، ضخامت چگالشی Al برابر 37.4 g/cm^2 و برای سرب برابر 33.6 g/cm^2 به دست می‌آید.

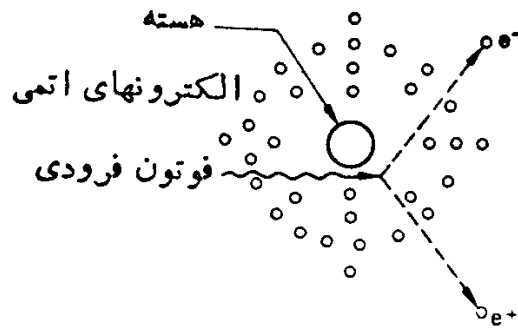
این مثال نشان می‌دهد که از نظر جرم، برتری سرب بر آلومینیم برای پرتوگامای پرانرژی، اندک است. اما ازسوی دیگر، در مقابل فوتونهای کم انرژی، قدرت جذب سرب برتری انکارناپذیری بر آلومینیم دارد. به طورکلی از لحاظ جرم، برای انرژیهای بین حدود 75 MeV تا 150 MeV ، خواص تضعیفی تمام مواد در مقابل پرتوگاما تقریباً یکسان است. بنابراین، در تقریب اول در این گستره انرژی، خواص حفاظتی مواد حفاظت تقریباً متناسب با چگالی آنهاست. برای انرژیهای پایینتر و بالاتر از این گستره، مواد جاذب با اعداد اتمی بالا از مواد با اعداد اتمی پایین مؤثرترند. برای درک این خواص، لازم است که سازوکارهای میکروسکوپیک برهمنش بین پرتوگاما و ماده را بررسی کنیم.

سازوکار برهمنش

درامور حفاظت در برابرتا بش، چهار نوع برهمنش اصلی پرتوگاما را با ماده حائز اهمیت می‌دانند. دو تا از این فرایندها که یکی جذب فوتونکتریک و دیگری پراکنده‌گی کامپتون است، فقط به برهمنش با الکترونهای مداری ماده جاذب مربوط می‌شوند که درحالتی که انرژی فوتونها خیلی از 150 MeV (انرژی معادل جرم سکون دوالکترون) بیشتر نیست، نقش غالب خواهند داشت. درحالتی که انرژی فوتونها بیشتر است، تولید زوج که نتیجه تبدیل مستقیم انرژی الکترومغناطیسی به جرم است، به وقوع خواهد پیوست. همه این برهمنشها به گسیل الکترون از ماده جاذب منجر می‌شوند. فوتونهای با انرژی خیلی زیاد ($E \gg 2m_e c^2$) همچنین ممکن است جذب هسته‌ای اتمی ماده جاذب شوند که در این صورت، هسته‌های برانگیخته، طی چند واکنش هسته‌ای، تابش‌های دیگری از خود گسیل خواهند کرد.

تولید زوج

فوتونی که انرژی اش بیشتر از 150 MeV است، هنگامی که از نزدیکی یک هسته‌ی می‌گذرد، ممکن است خود به خود نابود و انرژی اش به صورت یک پوزیترون و یک الکترون پدیدار شود (شکل ۱۳.۵). جرم هر یک از این دو ذره برابر $m_e c^2$ یا 151 MeV است، و انرژی جنبشی کل آنها در حدود $(hf - 2m_e c^2)$ است. برای حفظ پایستگی تکانه، لازم است که این تبدیل انرژی به جرم در حضور یک ذره دیگر (نظیر یک هسته) صورت گیرد. انرژی جنبشی هسته پس زنده خیلی کم است. بنابراین، در عمل می‌توان گفت که آنچه از انرژی



شکل ۱۳۰۵ نمودار طرحوار تولید زوج، زوج پوزیترون-الکترون، به طور کلی، به سمت جلو (نسبت به جهت فوتون فرودی) پرتاب خواهد شد. با افزایش انرژی فوتون، پرتاب زوج به سمت جلو نیز شدیدتر می‌شود.

فوتون بعد از تشکیل جرم زوج باقی می‌ماند، به صورت انرژی جنبشی زوج پدیدار می‌شود. این پدیده ممکن است در مجاورت یک الکترون نیز صورت گیرد، ولی احتمال وقوع آن در مجاورت هسته بسیار بیشتر است. علاوه بر این، انرژی آستانه برای تولید زوج در مجاورت الکترون برابر با $4m_e c^2$ است. این انرژی آستانه بزرگتر از آن جهت ضروری است که الکترون پس زنده باید با سرعتی بسیار زیاد به طرف عقب پرتاب شود تا پایستگی تکانه برقرار بماند. چون جرم الکترون برابر جرم ذرات تازه تولید شده است، انرژی لازم برای پرتاب آن زیاد خواهد بود. سطح مقطع یا احتمال تولید زوج الکترون-پوزیترون تقریباً متناسب است با $(Z^2 + Z)$ ، و از این‌رو مواد جاذب با اعداد اتمی بالاتر اهمیت بیشتری در این مورد خواهند داشت. وقتی انرژی فوتون از مقدار آستانه ۱۵۲ MeV تا حدود ۵ MeV افزایش یابد، سطح مقطع هم به آهستگی افزایش خواهد یافت. برای انرژیهای بالاتر، سطح مقطع متناسب با لگاریتم انرژی فوتون است. همین سطح مقطع فزاینده است که منجر به افزایش ضریب تضعیف در انرژیهای بالا می‌شود.

پس از تولید زوج، پوزیترون و الکترون به سمت جلو (نسبت به جهت فوتون اولیه) پرتاب می‌شوند و انرژی جنبشی‌شان را، همانند هر الکترون پر انرژی دیگر از طریق برانگیزش، یونش، و تابش ترمی از دست می‌دهند. هنگامی که پوزیترون تمام انرژی جنبشی‌اش را از دست داد، با یک الکترون ترکیب می‌شود و دو کوانتوم تابش نابودی تولید می‌کند که انرژی هر کدام برابر 51 MeV است. از این‌رو، هنگامی که فوتونی با انرژی 10 MeV از جاذبی سربی عبور می‌کند، به یک زوج الکترون-پوزیترون تبدیل می‌شود که انرژی جنبشی هر یک در حدود 51 MeV است. این انرژی جنبشی هم مثل انرژی ذرات بنا، در ماده جاذب تلف می‌شود. آنگاه پوزیترون در اثر ترکیب با یک الکترون از ماده جاذب نابود نمی‌شود، و بدین ترتیب دو فوتون با انرژیهای 51 MeV از ماده جاذب خارج می‌شوند (این فوتونها همچنین می‌توانند در فرایندهای پراکنده‌گی کامپتون و جذب فوتوالکتریک شرکت کنند). بدین ترتیب، حاصل بر هم کنش تولید زوج در این حالت چنین می‌شود: یک فوتون منفرد به انرژی 10 MeV به صورت دوفوتون با

انرژیهای 155 MeV درمی‌آید، و 898 MeV از انرژی باقیمانده در محیط جاذب تلف می‌شود.

پراکندگی کامپتون

همان‌گونه که در شکل ۱۴.۵ نموده شده است، پراکندگی کامپتون عبارت است از برخوردی کشسان بین یک فوتون و یک الکترون «آزاد» (الکترون «آزاد»، الکترونی است که انرژی بستگی اش به اتم خیلی کمتر از انرژی فوتون فرودی است).

در برخورد بین یک فوتون و یک الکترون آزاد، اگر پايسنگی تکانه و انرژی برقرار بماند، امکان ندارد که تمام انرژی فوتون به الکترون منتقل شود. این حکم را با فرض امکان پذیر بودن این واکنش می‌توان اثبات کرد. اگرچنانچه چیزی درست بود، در آن صورت بنا بر قانون پايسنگی انرژی، تمام انرژی فوتون به الکترون منتقل می‌شد و می‌توانستیم بنویسیم

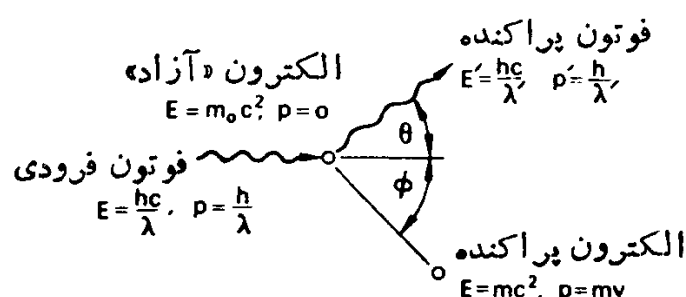
$$E = mc^2$$

بنا بر قانون پايسنگی تکانه اگر فوتون ناپدید شود، تمام تکانه فوتون باید به الکترون منتقل شود

$$p = \frac{E}{c} = mv$$

با حذف m از این دو معادله، حاصل می‌شود $v = c$ که نتیجه‌ای غیرممکن است. از اینجا معلوم می‌شود که فرض اولیه ما که بنا به آن تمام انرژی فوتون به الکترون منتقل می‌شود، نادرست بوده است.

چون تمام انرژی فوتون منتقل نمی‌شود، لازم است که فوتون پراکنده شود و در این صورت فوتون پراکنده دارای انرژی کمتر (یا طول موجی بلندتر) از فوتون فرودی خواهد بود. تنها اختلاف انرژی بین فوتون فرودی و فوتون پراکنده است که به الکترون



شکل ۱۴.۵ پراکندگی کامپتون؛ برخورد کشسان بین یک فوتون و یک الکترون.

از این متنقل می‌شود. مقدار انرژی متنقل شده در هر برخورد را می‌توان با کاربرد قوانین پایستگی انرژی و تکانه (در شرایطی همانند شکل ۱۴.۵) به دست آورد. برای اینکه انرژی پایسته بماند، باید رابطه زیر برقرار باشد

$$\frac{hc}{\lambda} + m_0 c^2 = \frac{hc}{\lambda'} + mc^2 \quad (25.5)$$

و برای اینکه تکانه پایسته بماند، به ترتیب درجهات افقی و قائم باید داشته باشیم

$$\frac{h}{\lambda} = \frac{h}{\lambda'} \cos \theta + mv \cos \phi \quad (26.5)$$

$$\circ = \frac{h}{\lambda'} \sin \theta - mv \sin \phi \quad (27.5)$$

از حل این معادلات معلوم می‌شود که تغییر طول موج فوتون چنین خواهد شد

$$\Delta \lambda = \lambda' - \lambda = \frac{h}{m_0 c} (1 - \cos \theta) \text{ cm} \quad (28.5)$$

و رابطه بین زاویه‌های پراکنده‌گی فوتون والکترون به صورت زیر است

$$\cot \frac{\theta}{2} = \left(1 + \frac{h}{\lambda m_0 c} \right) \tan \phi \quad (29.5)$$

هنگامی که مقادیر ثابت را در معادله (۲۸.۵) قرار دهیم، تغییر طول موج بر حسب آنکستروم چنین می‌شود

$$\Delta \lambda = 0.242 (1 - \cos \theta) \text{ Å} \quad (30.5)$$

معادله (۲۹.۵) نشان می‌دهد که الکترون نمی‌تواند با زاویه‌ای بزرگتر از 90° پراکنده شود. این الکترون پراکنده در دزسنجی تا بش از اهمیت فراوانی برخوردار است، زیرا وسیله نقلیه انتقال انرژی فوتون پراکنده به محیط جاذب همین الکترون است. الکترون کامپتون انرژی اش را بهسان یک ذره بتا درماده از دست می‌دهد، و در میان تولیدات پرتو گاما یکی از ذرات اصلی یوننده است. پراکنده‌گی کامپتون از دیدگاه مهندسی فیزیک بهداشت نیز حائز اهمیت است، زیرا فوتون پر انرژی در طی پراکنده‌گی کامپتون نسبت به فوتون گم انرژی، بخش بزرگتری از انرژی اش را از دست می‌دهد. با استفاده از این نکته می‌توان ضخامت حفاظها را کاهش داد، و از این رهگذار از لحاظ اقتصادی به صریح‌بی دستید.

۱۵.۵ مثال

وقتی که فوتونهای با انرژی 1 MeV و 10 MeV تحت زاویه 90° پراکنده

شوند، چه کسرهایی از انرژی شان از دست خواهد رفت؟

حل: با قراردادن $\lambda = hc/\lambda$ در معادله (۳۰.۵) و پیدا کردن انرژی فوتون پراکنده، خواهیم داشت

$$E' = \frac{E}{1 + (E/m_0 c^2)(1 - \cos \theta)} \quad (31.5)$$

و کسری از انرژی فرودی که فوتون پراکنده از دست می‌دهد، چنین می‌شود

$$\frac{E'}{E} = \frac{1}{1 + (E/m_0 c^2)(1 - \cos \theta)} \quad (31.5)$$

با قراردادن مقادیر انرژی فوتون فرودی و زاویه پراکنده کی در معادله (۳۱.۵)، حاصل می‌شود

$$E' = \frac{1 \text{ MeV}}{1 + (1/0.51)(1)} = 0.338 \text{ MeV}$$

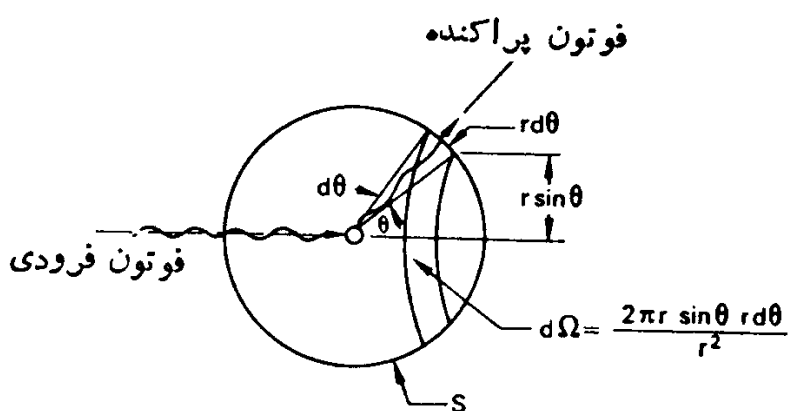
و افت نسبی انرژی چنین می‌شود

$$1 - \frac{E'}{E} = \frac{1 - 0.338}{1} = 0.662 = 66.2\%$$

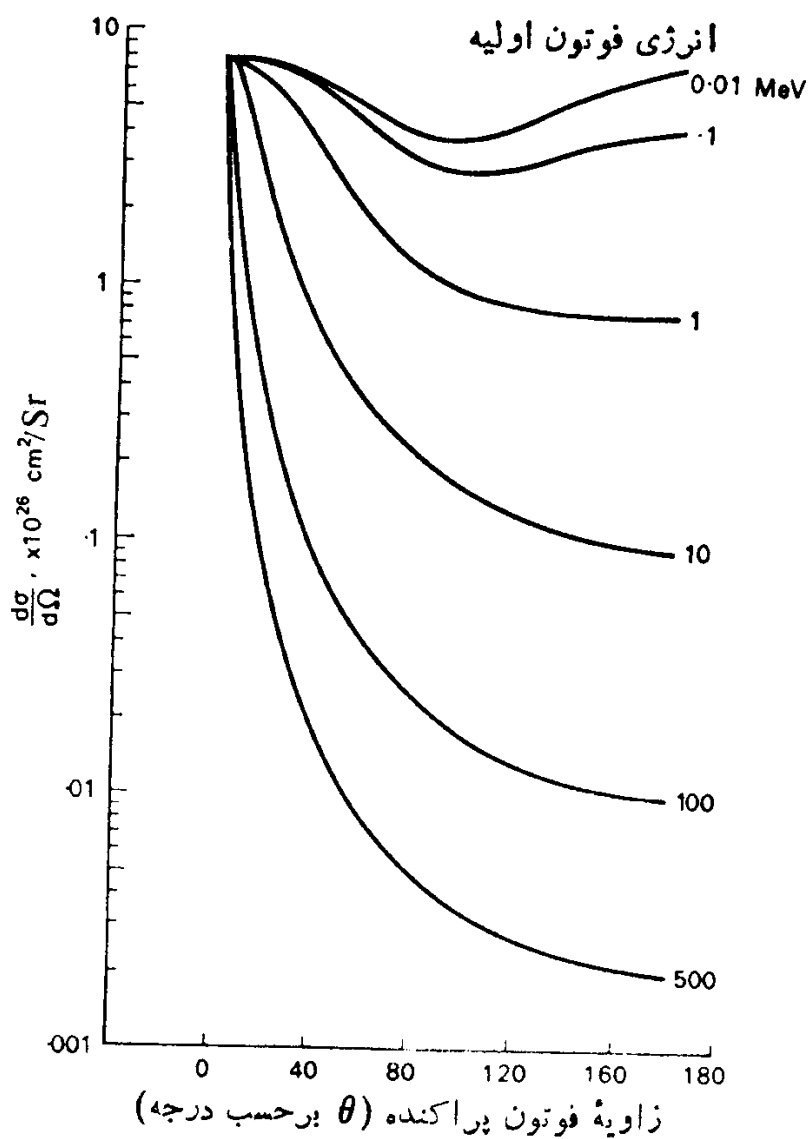
در مورد پرتوگامای 150 MeV ، بنا بر معادله (۳۱.۵) انرژی فوتون پراکنده برابر 58.35 MeV و درنتیجه افت نسبی انرژی فقط برابر 165 MeV یا 16.5% می‌شود. با افزایش انرژی فوتونها و همراه با افزایش عدد اتمی ماده جاذب، احتمال برهمنش کامپتون کاهش می‌یابد. در عناصر با عدد اتمی پایین، پراکنده‌گی کامپتون سازوکار اصلی برهمنش است. در پراکنده‌گی کامپتون، هر الکترون به مثابة یک مرکز پراکنده‌گی عمل می‌کند، و خواص پراکنده‌گی بزرگ - مقیاس ماده عمدهاً به چگالی الکترونی واحد جرم آن بستگی خواهد داشت. بدین ترتیب، احتمال پراکنده‌گی کامپتون باید به ازای هر الکترون مشخص شود. سطح مقطع نظری پراکنده‌گی کامپتون را نخستین بار کلاین و نیشینا محاسبه کردند. آنها ضریب کل پراکنده‌گی جزئی را برای پراکنده‌گی بودرون زاویه فضایی دیفرانسیل $d\Omega$ که نسبت به راستای فوتون فرودی تحت زاویه θ قرارداده، شکل ۱۵.۵، به صورت زیر به دست آوردند

$$\frac{d\sigma_t}{d\Omega} = \frac{e^4}{2m_0^2 c^4} \left[\frac{1}{1 + a(1 - \cos \theta)} \right]^2 \left[\frac{1 + \cos^2 \theta + a^2(1 - \cos \theta)^2}{1 + a(1 - \cos \theta)} \right] \quad (32.5)$$

که در آن، m_0 و c نمادهای متداول اند، و $a = hf/m_0 c^2$ است. معادله (۳۲.۵) و شکل ۱۶.۵، احتمال پراکنده‌گی یک فوتون را به درون زاویه فضایی $d\Omega$ که تحت زاویه θ



شکل ۱۵.۵ نمودار پراکندگی کامپتون برای نمایش سطح مقطع پراکندگی جزئی. $d\Omega$ کره‌ای به شاعر واحد است که الکترون پراکنده در مرکز آن قرار دارد.



شکل ۱۶.۵ ضریب پراکندگی جزئی که توزیع زاویه‌ای احتمالی را برای فوتونهای پراکنده کامپتون نشان می‌دهد.

قرارداد دارد، نشان می‌دهند. احتمال پراکندگی کلی، σ ، را با قراردادن $d\Omega = 2\pi \sin \theta d\theta$ و انتگرال گیری از ضریب پراکندگی جزئی در تمام فضای کره می‌توان بدست آورد. نتیجه این محاسبه، برای فوتونهای تا انرژی 10 MeV ، در شکل ۱۷.۵ نشان داده شده است. سطح مقطع هر واکنشی، هنگامی که برای یک ذره منفرد یا یک فوتون منفرد بررسی می‌شود، عبارت است از احتمال در گیر شدن این فوتون در آن واکنش. وقتی که بسا یک بار یکه تابشی سروکار داریم، سطح مقطع کسری از ذرات موجود در آن بار یکه است که به طریقی معلوم در آن واکنش شرکت می‌کنند. در پراکندگی کامپتون، انرژی از فوتون فرودی به الکترون پراکنده انتقال می‌یابد، و انرژی فوتون پراکنده از فوتون فرودی کمتر است. کسری از انرژی فوتون فرودی را که فوتون پراکنده منتقل می‌کند، معادله (۳۱.۵ ب) به دست می‌دهد. کسر انرژی پراکنده از بار یکه پرتو گاما، از حاصل ضرب کسر فوتونهای پراکنده در افت نسبی انرژی به ازای هر برخورد، قابل محاسبه است

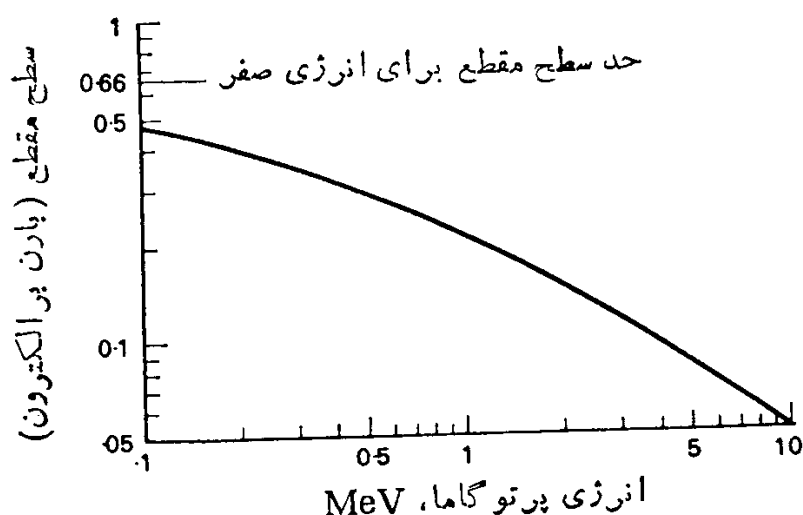
$$\frac{d\sigma_s}{d\Omega} = \frac{d\sigma_e}{d\Omega} \cdot \frac{E'}{E} \quad (33.5)$$

در فیزیک بهداشت برای محاسبه ذر جذب شده از تابش x یا گاما، به کسری از انرژی بار یکه فرودی که به الکترون کامپتون منتقل می‌شود نیاز داریم. این انرژی، همان انرژی جذب شده از بار یکه در اثر پراکندگی کامپتون است. سطح مقطع جذب انرژی کامپتون، σ_e ، صرفاً از تفriق سطح مقطع پراکندگی از سطح مقطع کل به دست می‌آید

$$\sigma_e = \sigma_e - \sigma_s \quad (34.5\text{الف})$$

و ضریب جذب انرژی کامپتون، μ_{ee} ، از تفاضل ضریب پراکندگی کامپتون از ضریب کل کامپتون قابل محاسبه است

$$\mu_{ee} = \mu_{et} - \mu_{es} \quad (34.5\text{ب})$$



شکل ۱۷.۵ سطح مقطع کل کامپتون برای یک الکترون آزاد.

جذب فوتوالکتریک

همان گونه که در فصل ۳ گفته شد، برهم کنش میان یک فوتون و یک الکترون مقید به اتم را، هنگامی که انرژی بستگی مساوی با یا کمتر از انرژی فوتون است، اثر فوتوالکتریک می نامیم. در این فرایند، فوتون فروودی به کلی ناپدید می شود. ذره یوننده اصلی حاصل از این برهم کنش، فوتوالکترون است که انرژی اش از معادله (۱۳.۳) به دست می آید

$$E_{pe} = hf - \phi$$

انرژی فوتوالکترون عمده از طریق برانگیزش و یونش در محیط جذب، تلف می شود. انرژی بستگی ϕ از طریق تابش فلوئورسانی که در پی برهم کنش اولیه رخ می دهد، به محیط جذب منتقل می شود. این فوتونهای کم انرژی هم در نقاطی نه چندان دور از محل تولیدشان، در برهم کنش فوتوالکتریک دیگری شرکت می کنند و جذب الکترونها خارجی می شوند. اثر فوتوالکتریک برای فوتونهای کم انرژی و جذب کننده های با اعداد اتمی زیاد، حائز اهمیت است. سطح مقطع این واکنش به تقریب بر حسب $Z^4\lambda^3$ تغییر می کند. همین بستگی شدید جذب فوتوالکتریک به عدد اتمی Z است که سرب را برای حفاظت در برابر پرتوهای X ، عنصری چنان شایان توجه کرده است. اثر فوتوالکتریک در جذب کننده های با عدد اتمی خیلی پایین، از اهمیت زیادی برخوردار نیست.

فروپاشی فوتونی

در فروپاشی فوتونی، یک فوتون گاما در هسته جاذب گیراندازی می شود و آنگاه، در بیشتر موارد، یک نوترон از هسته گسیل می شود. این یک نوع واکنش آستانه ای است که در آن انرژی فوتون باید از کمینه معینی که به هسته جاذب بستگی دارد، بیشتر باشد. این واکنش، خاص انرژیهای بالاست و جز در مواد استثنایی، نوعی سازوکار جذب برای گامای حاصل از ایزوتوپهای پرتوزا محسوب نمی شود. یکی از موارد استثنایی مهم، هسته ^{9}Be است که در آن انرژی آستانه فقط برابر 6.66 MeV است. از این واکنش، $^{9}\text{Be}(\gamma, n)^{8}\text{Be}$ به عنوان چشم آزمایشگاهی نوترونهای تک انرژی استفاده می شود. برای فوتونهای بسیار پرانرژی حاصل از شتابدهنده های الکترون، نظیر بتاترونها و سنکروترونها، فروپاشی پرانرژی واکنشی حائز اهمیت به شمار می رود. در اینجا نیز، این نکته مورد نظر است که فوتونی فوتونی به تولید نوترون منجر می شود. به طور کلی، سطح مقطع فروپاشی فوتونی خیلی کوچکتر از سطح مقطع کلی است که از معادله (35.5) به دست می آید. از این رو، در محاسبات مربوط به حفاظت گذاریها، سطح مقطع فروپاشی فوتونی را معمولاً بی اهمیت می گیرند و از آن صرف نظر می کنند.

فروپاشی فوتونی، بدان دلیل واکنشی آستانه ای است که انرژی افزوده شده به هسته جاذب باید دستکم برابر با انرژی بستگی یک نوکلئون در هسته باشد. علاوه بر این، در این

فروپاشی، گسیل یک نوترون از هسته برگسیل یک پروتون ترجیح دارد. زیرا نوترون برای فرار از هسته ملزم نیست که بر سد پتانسیل کولنی غلبه کند، و بدین جهت آستانه پایینتری دارد. گستره انرژی آستانه برای گسیل نوترون در فروپاشی فوتونی، از 166 MeV برای بریلیم تا حدود 85 MeV تغییر می‌کند. برای هسته‌های سبک، انرژی آستانه به صورتی نامتقارن افت و خیز دارد. در گستره اعداد جرمی ۲۵ تا ۱۳۵، همراه با افزایش عدد جرمی، انرژی آستانه به آهستگی تا حدود 85 MeV افزایش و سپس به حدود 16 MeV کاهش می‌یابد. قسمتی از انرژی فوتون که افزون بر انرژی آستانه است، به صورت انرژی جنبشی نوترون گسیل شده پدیدار می‌شود ویا، اگر این فزونی انرژی به قدر کافی زیاد باشد، ممکن است باعث گسیل ذرات باردار از هسته جاذب شود.

اثرات جمعی

ضریب تضعیف یا سطح مقطع، احتمال خروج فوتون از یک باریکه را در شرایط هندسی خوب که در آن فرض می‌شود که هر گونه برهمنشی فوتون را از باریکه خارج می‌کند، به دست می‌دهد. بدین ترتیب، ضریب تضعیف کل از جمع ضرایب تضعیف مربوط به سه واکنش مذکور در بالا به دست می‌آید

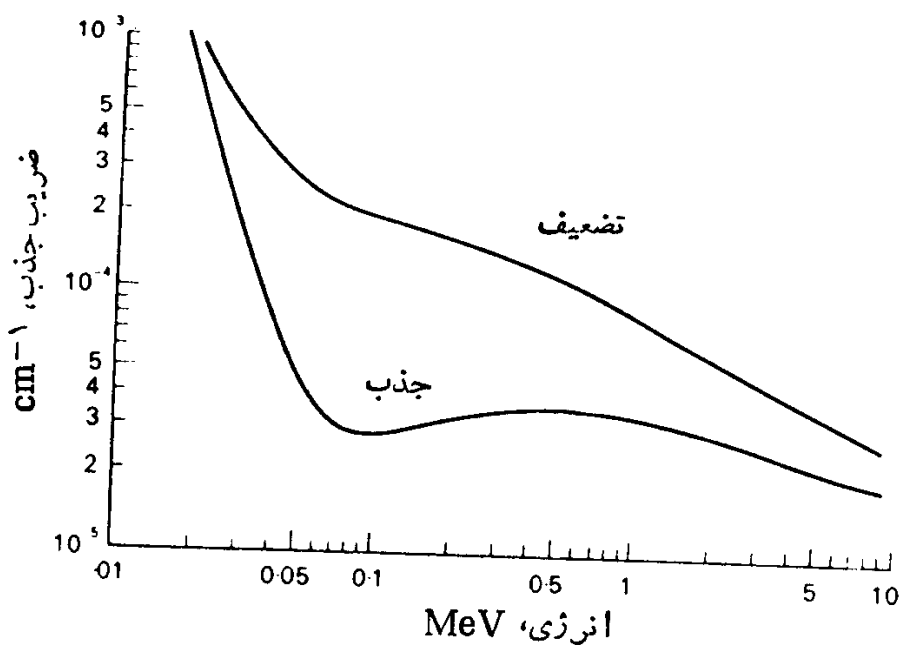
$$\mu_e = \mu_{pe} + \mu_{ce} + \mu_{pp} \quad (35.5)$$

که در آن سه جمله دست راست به ترتیب عبارت‌اند از ضریب تضعیف فوتوالکتریک، ضریب تضعیف پراکنده‌گی کامپتون، و ضریب تضعیف تولید زوج. در عملیات مربوط به طراحی حفاظ گذاریها، برای محاسبه تضعیف تابش از ضریب تضعیف معادله (۳۵.۵) استفاده می‌شود.

معادله (۳۵.۵)، کسر انرژی خارج شده از باریکه را به ازای واحد مسافت طی شده در ماده جاذب، به دست می‌دهد. این کسر از انرژی منتقل شده به ماده جاذب، فقط انرژیها بی را شامل می‌شود که از طریق فوتوالکtron، الکtron کامپتون، و زوج الکtron-پوزیtron به جاذب می‌رسند. انرژیها بی که از طریق فوتون پراکنده در برهمنش کامپتون و تابش تابشی پس از تولید زوج، به ماده جاذب منتقل می‌شوند، در کسر مورد بحث در نظر گرفته نشده‌اند. خوبی جذب انرژی که آن را خوبی جذب حقیقی هم می‌گویند، از معادله زیر به دست می‌آید

$$\mu_e = \mu_{pe} + \mu_{ce} + \mu_{pp} \left(\frac{hf - 102}{hf} \right) \quad (36.5)$$

در محاسبات مربوط به دز تابشی از همین معادله استفاده می‌شود. ضریب جذب حقیقی و ضریب تضعیف کل برای هوا در شکل ۱۸.۵ نموده شده‌اند. ضرایب جذب انرژی برای آب، هوا، استخوان توپر، و عضلات را در جدول ۳۰.۵ نشان داده‌ایم.



شکل ۱۸.۵ ضریب تضییف و ضریب جذب پرتو گاما به صورت تابعی از انرژی.

جدول ۳.۵ مقادیر ضریب جذب انرژی.

انرژی فوتون (MeV)	ضریب جرمی جذب انرژی، (μ_{en}/ρ) , cm^2/g			
	آب	هوا	استخوان توپر	عضلات
0.010	4.89	4.66	19.0	4.96
0.015	1.32	1.29	5.89	1.36
0.020	0.523	0.516	2.51	0.544
0.030	0.147	0.147	0.743	0.154
0.040	0.0647	0.0640	0.0305	0.0677
0.050	0.0394	0.0384	0.158	0.0409
0.060	0.0304	0.0292	0.0979	0.0312
0.080	0.0253	0.0236	0.0520	0.0255
0.10	0.0252	0.0231	0.0386	0.0252
0.15	0.0278	0.0251	0.0304	0.0276
0.20	0.0300	0.0268	0.0302	0.0297
0.30	0.0320	0.0288	0.0311	0.0317
0.40	0.0329	0.0296	0.0316	0.0325
0.50	0.0330	0.0297	0.0316	0.0327
0.60	0.0329	0.0296	0.0315	0.0326
0.80	0.0321	0.0289	0.0306	0.0318
1.0	0.0311	0.0280	0.0297	0.0308
1.5	0.0283	0.0255	0.0270	0.0281
2.0	0.0260	0.0234	0.0248	0.0257
3.0	0.0227	0.0205	0.0219	0.0225
4.0	0.0205	0.0186	0.0199	0.0203
5.0	0.0190	0.0173	0.0186	0.0188
6.0	0.0180	0.0163	0.0178	0.0178
8.0	0.0165	0.0150	0.0165	0.0163
10.0	0.0155	0.0144	0.0159	0.0154

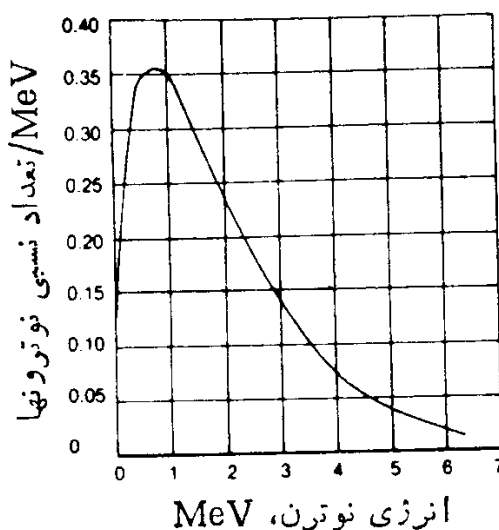
نوترونها

تولید

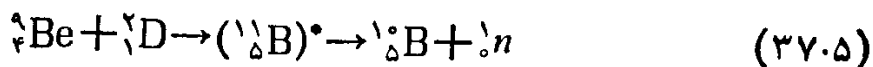
زایاترین چشمۀ نوترون را باید رآکتور هسته‌ای دانست. شکافت هسته‌های اورانیم با پلوتونیم در رآکتور هسته‌ای، با گسیل چند نوترون همراه است. همان‌طور که در شکل ۱۹.۵ دیده می‌شود، گستره انرژی نوترونهای حاصل از شکافت خیلی وسیع است. قله این توزیع انرژی در $MeV 7.0$ ، و مقدار میانگین آن در $MeV 2$ است.

به استثنای چند شکافت پاره بسیار کوتاه - عمر، هیچ ایزوتوپ پرتوزایی وجود ندارد که نوترون گسیل کند. اما، کالیفرنیم 252 یک گسیلنده آلفاست که به طور متوسط در مقابل هر 313 واپاشی آلفا، 15 واپاشی از نوع شکافت هسته‌ای خود به خود دارد. نیمه عمر $Cf 252$ در واپاشی آلفا برابر با 73 سال است که با درنظر گرفتن شکافت هسته‌ای خود به خود، نیمه عمر مؤثر آن 65.6 سال می‌شود. بدین ترتیب، کالیفرنیم 252 را می‌توان ایزوتوپ پرتوزایی در نظر گرفت که گسیلنده نوترون است. آنچه گسیل هر میکروگرم $Cf 252$ برابر $10^6 \times 31$ نوترون در هر ثانیه به دست آمده است. توزیع انرژی نوترونهای گسیل شده، گستره پهناوری دارد. محتملترین انرژی در حدود $MeV 1$ ، و مقدار متوسط توزیع انرژی در حدود $MeV 2.3$ است.

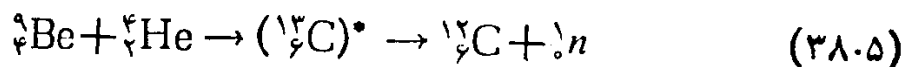
خصوصیات همه چشمۀ‌های نوترونی دیگر، به نوع واکنشی که نوترون از آن حاصل می‌شود بستگی دارد. با استفاده از شتابدهنده‌ها و از طریق واکنشهای هسته‌ای گوناگون، می‌توان باریکه‌های نوترونی متنوعی تولید کرد. برای نمونه، از بمباران بریلیم با دوترونهای پرانرژی حاصل از یک سیکلولترون، طبق واکنش زیر می‌توان نوترون تولید کرد



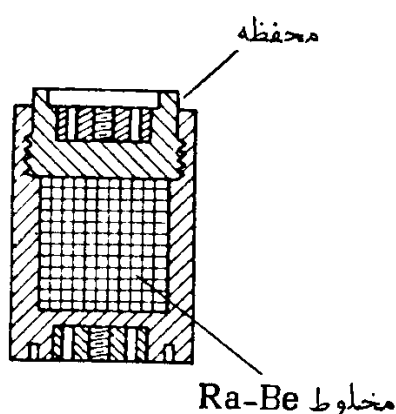
شکل ۱۹.۵ توزیع انرژی نوترونهای حاصل از شکافت. محتملترین انرژی برابر $7.0 MeV$ و انرژی میانگین برابر $2 MeV$ است.



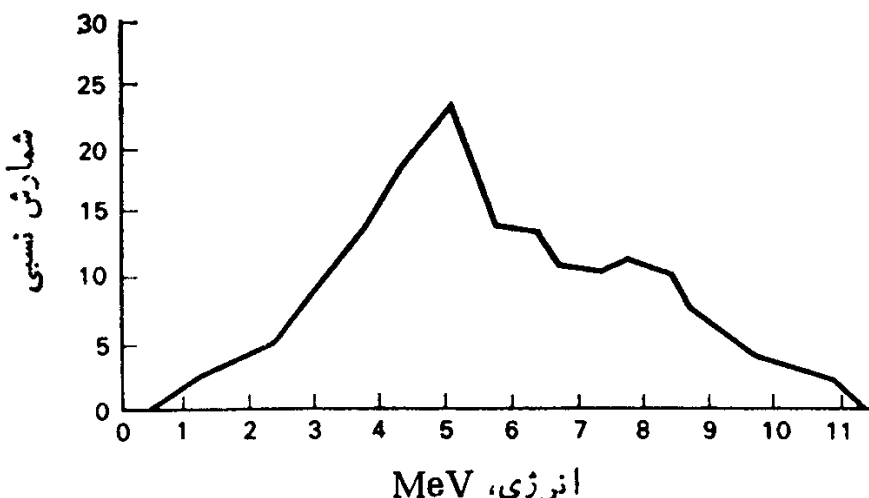
جمله داخل پرانتز را یک هسته هرکب می نامند، علامت ستاره نشان می دهد که هسته در حالتی برانگیخته قرار دارد. هسته مرکب، ضمن پیشرفت به مرحله بعدی واکنش، در فاصله کوتاهی (در فاصله کمتر از 10^{-8} ثانیه) خود را از قید انرژی برانگیختگی رها می سازد. برای کارهای آزمایشگاهی که به چشممهای نوترونی کوچک نیاز دارند، می توان از فروپاشی فوتونی بریلیم استفاده کرد. در یک چشممه متداول دیگر، از بمباران بریلیم با ذرات آلفا نوترون به دست می آید. در این مورد، واکنش هستهای نوترون زا عبارت است از



چشممه ذرات آلفا در اینجا، یکی از عناصر پر توزای رادیم، پولونیم، و پلوتونیم است. گسیلنده آلفارا به صورت پودر با بریلیم پودرشده و نرم کاملا مخلوط می کنند، و مخلوط را مطابق شکل ۲۰.۵ در کپسولی سربسته قرار می دهند. نوترونها بی که تولید می شوند، انرژی زیادی دارند. در تمام موارد که با این واکنش نوترون تولید می شود، انرژی نوترونها مطابق شکل ۲۱.۵ در طیف پهناوری گستردگی است. این پخش انرژی نوترونهای حاصل از ${}^{12}_{\Lambda}C(\alpha, n)$ ، با مورد نوترونهای تک انرژی حاصل از فروپاشی فوتونی که در آن از اختلاف جرم میان عوامل واکنش-زا و محصولات واکنش و همچنین انرژی جنبشی ذره بمباران کننده، بین نوترون و هسته پس زننده تقسیم می شود. در چشممهای متداول (α, n)، بخشی از انرژی ذره آلفا از طریق خود - جذبی در چشممه تلف می شود. بدین گونه، ذرات آلفایی که باعث ایجاد واکنش می شوند، گسترده ای پهناور از انرژی خواهند داشت و به همین جهت است که نوترونهای حاصل نیز طیفی گستردگی از انرژی دارند. با افزایش انرژی ذرات آلفا، بهره نوترونی حاصل از چشممه (α, n) هم افزایش می یابد، زیرا هر چه انرژی ذره آلفا بیشتر باشد آسانتر می تواند با نفوذ از سد کولنی وارد هسته شود. دوفهرست



شکل ۳۰.۵ نوعی چشممه نوترون (α, n) دار یک محفظه سربسته.

شکل ۲۱.۵ توزیع انرژی نوترونهای حاصل از Po-Be .

از چشممهای نوترونی حاصل از واکنشهای (n, γ) و (α, n) را به ترتیب در جدولهای ۴.۵ و ۵.۵ نشان داده‌ایم.

ردیفهای

از آنجاکه نوع واکنشی که نوترون انجام می‌دهد قویاً به انرژی اش وابسته است، نوترونها را بر حسب انرژی شان ردیفهای می‌کنند. نوترونهای پرانرژی را که انرژی شان بیش از حدود 11 MeV است، نوترونهای تند می‌گویند. در طرف دیگر طیف انرژی، نوترونهای گرمایی را باید نام برد که میانگین انرژی جنبشی شان همانند میانگین انرژی مولکولهایی

جدول ۴.۵ چشممهای نوترون حاصل از (n, γ) .

چشممه	نیمه عمر	میانگین انرژی نوترون (MeV)	بهاره	
			$\frac{n}{s} / \text{Ci}$	$\frac{n}{s} / \text{MBq}$
$^{24}\text{Na} + \text{Be}$	15 hr	0.83	1.3×10^5	3.5
$^{24}\text{Na} + \text{D}_2\text{O}$	15 hr	0.22	2.7×10^5	7.3
$^{56}\text{Mn} + \text{Be}$	2.58 hr	0.1(90%), 0.3(10%)	2.9×10^4	0.8
$^{56}\text{Mn} + \text{D}_2\text{O}$	2.58 hr	0.22	3.1×10^3	0.08
$^{72}\text{Ga} + \text{Be}$	14.2 hr	0.78	5×10^4	1.4
$^{72}\text{Ga} + \text{D}_2\text{O}$	14.2 hr	0.13	6×10^4	1.6
$^{88}\text{Y} + \text{Be}$	88 d	0.16	1×10^5	2.7
$^{88}\text{Y} + \text{D}$	88 d	0.31	3×10^3	0.08
$^{116}\text{In} + \text{Be}$	54 min	0.30	8.2×10^3	0.2
$^{124}\text{Sb} + \text{Be}$	60 d	0.024	1.9×10^5	5.1
$^{140}\text{La} + \text{Be}$	40 hr	0.62	3×10^3	0.08
$^{140}\text{La} + \text{D}_2\text{O}$	40 hr	0.15	8×10^3	0.2
$\text{Ra} + \text{D}_2\text{O}$	1600 yr	0.12	1×10^3	0.03

جدول ۵.۵ چشمه‌های نوترون حاصل از (α, n) .

چشم	نیمه عمر	میانگین انرژی نوترون (MeV)	بهره	
			$\frac{n}{s} / Ci$	$\frac{n}{s} / MBq$
Ra + Be	1600 yr	5	1.7×10^7	459
Ra + B	3.8 d	3	6.8×10^6	184
$^{222}Em + Be$	3.8 d	5	1.5×10^7	405
$^{210}Po + Be$	138 d	4	3×10^6	81.1
$^{210}Po + B$	138 d	2.5	9×10^5	24.3
$^{210}Po + F$	138 d	1.4	4×10^5	10.8
$^{210}Po + Li$	138 d	0.42	9×10^4	2.4
$^{239}Pu + Be$	24,000 yr	4	10^6	27

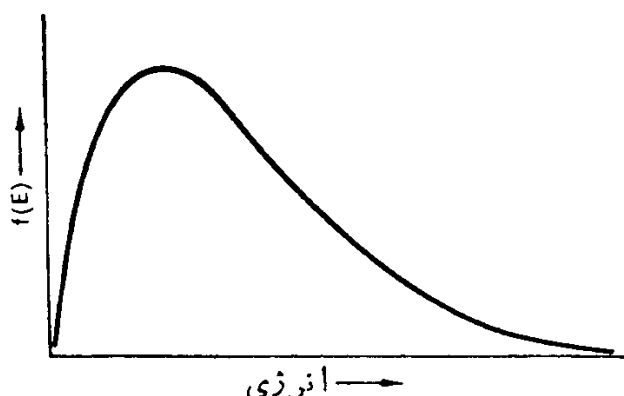
است که در همان محیط قرار دارند. از این نظر، نوترونهای گرمایی از مولکولهای گازی که در همان دما باشند تمايزنا پذیرند. رابطه میان انرژی جنبشی مولکولهای گاز و دمای آن، از توزیع ماکسول-بولتزمن به دست می‌آید

$$f(E) = \frac{2\pi}{(\pi kT)^{3/2}} e^{-E/kT} E^{1/2} \quad (39.5)$$

که در آن $f(E)$ کسر مولکولهای گاز (یا نوترونهای E) با انرژی E در هر واحد از بازه انرژی، k ثابت بولتزمن (برابر $1.38 \times 10^{-23} J/K$ یا $1.38 \times 10^{-5} eV/K$)، و T دمای مطلق گاز بر حسب K است. محتملترین انرژی که قله منحنی شکل ۲۰.۵ نمایشگر آن است، از معادله زیر به دست می‌آید

$$E_{mp} = kT \quad (40.5)$$

و انرژی میانگین مولکولهای گاز، در دمای معلوم T ، چنین است



شکل ۲۰.۵ توزیع ماکسول-بولتزمن برای انرژی مولکولهای گاز.

$$\bar{E} = \frac{3}{2} kT \quad (41.5)$$

برای نوترونها بی که در دمای $K = 293$ قرار دارند، محتملترین انرژی $eV = 2525$ است. مراد از نوترونها «گرمایی»، غالباً نوترونها بی همین انرژی است. سرعت متوسط با این انرژی از رابطه زیر به دست می آید

$$\frac{1}{2} m v^2 = kT \quad (42.5)$$

که مقدار عددی آن برای نوترونها «گرمایی»، برابر $m/s = 2200$ است. از نوترونها بی که انرژی شان در ناحیه میانی انرژی گرمایی و تند قرار می گیرد، با عنایین گوناگونی یاد می کنند که نوترونها میانی، نوترونها تشیدی، و نوترونها کند از آن جمله است. تمام این صفت‌های توصیفی را آزادانه و به تقریب به کار می برند، و مفهوم دقیق آنها را باید از مضمون مورد بحث استنباط کرد.

برهم کنش

همه نوترونها به هنگام تولید، نوترونها تند به شمار می روند. به طور کلی، نوترونها تند ابتدا در اثر برخورد کشسان با اتمهای محیط، انرژی شان را از دست می دهند و پس از کندشدن و رسیدن به انرژی گرمایی یا نزدیک به آن، توسط هسته‌های ماده جاذب گیراندازی می شوند. اگرچه وقوع چند نوع واکنش هسته‌ای برای نوترونها امکان پذیر است، ولی از دیدگاه متخصص فیزیک بهداشت، واکنش‌های اصلی همان پراکندگی کشسان و گیراندازی هستند که مورد گیراندازی با گسیل فوتون یا ذره‌ای دیگر از هسته جذب کننده تعقیب خواهد شد.

هنگامی که ماده جذب کننده را در مقابله با یکه‌ای موازی از نوترونها قرار می دهیم، و مانند مورد پرتوهای گاما در شکل ۱۰.۵ شدت نوترونها عبوری را اندازه گیری می کنیم، ملاحظه می شود که نوترونها هم به طور نمایی از یکه باریکه محو می شوند. برای توصیف توانایی یک ماده جاذب در محو نوترونها از باریکه، به جای استفاده از ضرایب جذب جرمی یا خطی، معمولاً فقط سطح مقطع میکرو سکوپیک ماده جاذب را مشخص می کنند. سطح مقطع ماکروسکوپیک Σ از حاصل ضرب σN که در آن N تعداد اتمهای جاذب در cm^{-3} است، به دست می آید. بدین ترتیب، شدت نوترونها خارج شده از یکه را به صورت زیر معلوم می کنند

$$I = I_0 e^{-\sigma N \Sigma} \quad (43.5)$$

سطح مقطع نوترون، شدیداً وابسته به انرژی است. اگر نوترون بتواند با بیش از یک سازوکار از یکه خارج شود، سطح مقطع کل را به صورت حاصل جمع سطوح مقطع‌های همه واکنش‌های ممکن در نظر می گیرند.

مثال ۱۱.۵

در آزمایشی که به منظور اندازه‌گیری سطح مقطع کل سرب برای نوترونهای 10 MeV طراحی شده بود، معلوم شد که 1 cm^3 از ماده جاذب سرب، شار نوترون را به 84% از مقدار اولیه‌اش تقلیل می‌دهد. وزن اتمی سرب برابر 207.21 و وزن مخصوص آن 11.3 است. سطح مقطع کل سرب را محاسبه کنید.

حل: چگالی اتمی سرب عبارت است از

$$\frac{10^{23} \text{ atom/mol}}{207.21 \text{ g/mol}} \times 11.3 \text{ g/cm}^3 = 3.29 \times 10^{22} \text{ atom/cm}^3$$

شدت نسبی باریکه خروجی نوترون، چنین می‌شود

$$\frac{I}{I_0} = e^{-\sigma N t}$$

$$0.845 = e^{-\sigma \times 3.29 \times 10^{22} \times t}$$

که از حل آن، سطح مقطع میکروسکوپیک قابل محاسبه است

$$\ln \frac{1}{0.845} = 3.29 \times 10^{22} \sigma$$

$$\sigma = \frac{0.168}{3.29 \times 10^{22}} = 5.1 \times 10^{-24} \text{ cm}^2$$

یعنی $b = 5.1 \text{ cm}^{-1}$ است، و سطح مقطع ماکروسکوپیک سرب عبارت است از

$$\sum = \sigma N = 5.1 \times 10^{-24} \text{ cm}^2 \times 3.29 \times 10^{22} \text{ cm}^{-3} = 1.68 \text{ cm}^{-1}$$

پراکندگی

نوترونها پس از برخورد با هسته‌ها ممکن است به طور کشسان یا ناکشسان پراکنده شوند. در حالتی که برخورد ناکشسان است، بخشی از انرژی جنبشی به هسته هدف منتقل می‌شود و آن را به حالت برانگیخته می‌برد، و سپس این انرژی برانگیختگی به صورت یک فوتون گاما از هسته گسیل می‌شود. این برهم کش را با استفاده از مدل هسته مرکب بهترین وجه می‌توان توصیف کرد. بنابراین مدل، هسته هدف ابتدا نوترون را گیراندازی می‌کند، و سپس آن را همراه با فوتون گاما مجدداً گسیل می‌دارد. این پدیده یک واکنش آستانه‌ای است. انرژی آستانه نوترون از بی‌نهایت برای هیدروژن (پراکندگی ناکشسان با هیدروژن قابل تحقق نیست) تا حدود 2 MeV برای اکسیژن و تا کمتر از 1 MeV برای اورانیوم در تغییر است. به طور کلی سطح مقطع پراکندگی ناکشسان کوچک است. مقدار آن برای

نوترونهای تند کم انرژی از مرتبه ۱ بارن یا کمتر است، ولی همراه با افزایش انرژی نوترون مقدار سطح مقطع ناکشسان افزایش می یابد و به سطح مقطع هندسی هسته هدف نزدیک می شود.

محتملترین برهمنش بین نوترونهای تند و مواد با عدد اتمی پایین، پراکنده‌گی کشسان است. این برهمنش، برخوردی از نوع «گلوله بیلیارد» است که در آن هم پایستگی انرژی جنبشی و هم پایستگی تکانه برقرار می‌ماند. با به کار بردن این قوانین پایستگی، می‌توان نشان داد که انرژی نوترون پراکنده، E ، پس از یک برخورد سر به سر چنین می‌شود

$$E = E_0 \left(\frac{M-m}{M+m} \right)^2 \quad (44.5)$$

که در آن E انرژی نوترون فرودی، m جرم نوترون فرودی، و M جرم هسته پراکنده است.

انرژی انتقالی به هسته هدف برابر است با $(E_0 - E)$ که بنابر معادله (۴۴.۵) به صورت زیر در می‌آید

$$E_0 - E = E_0 \left[1 - \left(\frac{M-m}{M+m} \right)^2 \right] \quad (45.5)$$

از معادلات (۴۴.۵) و (۴۵) چنین برمی‌آید که نوترون، در برخورد سر به سر با یک هسته هیدروژن، ممکن است تمام انرژی اش را به هسته هیدروژن منتقل کند. اما در برخورد با هسته‌های سنگینتر، تمام انرژی نوترون نمی‌تواند در یک تک برخورد منتقل شود. برای مثال، در برخورد با اکسیژن، بنابر معادله (۴۵.۵) حداقل مقدار نسبی انتقال انرژی جنبشی نوترون در یک تک برخورد برابر $(E_0 - E)/E_0$ ، یعنی فقط در حدود ۲۲٪ است. این نکته نشان می‌دهد که در کارکندسازی نوترونهای، اگر بر اساس «هر برخورد» قضاؤت شود، هسته‌های با عدد جرمی کوچک مؤثرتر از هسته‌های با عدد جرمی بزرگ خواهند بود.

معادلات (۴۴.۵) و (۴۵.۵) فقط برای برخوردهای سر به سر برقرارند. اما بیشتر برخوردهای از نوع سر به سر نیستند، و در نتیجه انرژی منتقل شده به هسته‌های هدف کمتر از مقادیر بیشینه حاصل از معادلات بالاست.

کاهش متوسط لگاریتم انرژی نوترون تند، در گذار نوترون از محیط کندساز و در طی برخوردهای متواالی با هسته‌ها، به ازای هر برخورد ثابت می‌ماند (که آن را میانگین کاهش لگاریتمی انرژی می‌گویند). این مقدار میانگین کاهش، مستقل از انرژی نوترون و فقط تابع جرم هسته‌های پراکنده است. میانگین کاهش لگاریتمی انرژی چنین تعریف می‌شود

$$\xi = \overline{\Delta \ln E} = \overline{\ln E_0 - \ln E} = \overline{\ln \frac{E_0}{E}} = - \overline{\ln \frac{E}{E_0}} \quad (46.5)$$

و می‌توان نشان داد که مقدار آن به صورت زیر است

$$\xi = 1 + \frac{\alpha \ln \alpha}{1 - \alpha} \quad (47.5)$$

که در آن $\alpha = [(M-m)/(M+m)]$ همان عاملی است که در معادله (۴۴.۵) هم به کار رفته است. اگر محیط کندرساز شامل n نوع هسته با سطح مقطع پراکندگی میکروسکوپیک σ_{si} و میانگین کاهش لگاریتمی انرژی ξ برای هسته i ام باشد، مقدار میانگین ξ برای آن چنین می‌شود

$$\xi = \frac{\sum_{i=1}^n \sigma_{si} N_i \xi_i}{\sum_{i=1}^n \sigma_{si} N_i} \quad (48.5)$$

چون داریم

$$\overline{\ln \frac{E}{E_0}} = -\xi$$

$$\frac{E}{E_0} = e^{-\xi}$$

کسر متوسط انرژی نوترون فرودی که در خلال یک برخورد به هسته هدف منتقل می‌شود، چنین خواهد شد

$$f = 1 - \frac{E}{E_0} = 1 - e^{-\xi} \quad (49.5)$$

بدین ترتیب، در مورد هیدروژن ($\xi = 1$) مقدار متوسط انتقال انرژی در برخورد با یک نوترون تند برابر ۶۳٪ انرژی جنبشی نوترون می‌شود، در حالی که در مورد کربن ($\xi = 1.59$) به طور متوسط فقط در حدود ۷۷٪ از انرژی جنبشی نوترون جذب هسته‌ای می‌شود که در برخورد کشسان با نوترون شرکت دارد. هسته ضربه دیله، پس از دریافت این بخش از انرژی جنبشی به صورت یک ذره یوننده در می‌آید، و انرژی جنبشی اش را با ایجاد برانگیزش و یونش در محیط جذب از دست می‌دهد.

فاصله طی شده توسط یک نوترون تند، از لحظه ورودش به محیط کندرساز تا لحظه گرمایی شدنش، بستگی به تعداد برخوردهای آن و مسافت بین برخوردها دارد. مسیر واقعی

نوترون هرچند که به علت انحرافهای ناشی از برخورد پرپیچ و خم است، ولی مقدار متوسط مسافت مستقیم نوترون که طول پخش تند یا طول کندسازی نامیده می‌شود، قابل تعیین است. مربع طول پخش تند را سن فرمی نوترون می‌نامند. مسافت طی شده توسط نوترون گرمایی تا لحظه جذب شدنش را طول پخش گرمایی می‌گویند. طول پخش گرمایی به صورت ضخامتی از محیط کندساز تعریف می‌شود که بتواند باریک‌های از نوترونهای گرمایی را به اندازه ضریب ϕ تضعیف کند. از این‌رو، تضعیف باریک‌های از نوترونهای گرمایی را توسط ماده‌ای به ضخامت ϕ و طول پخش گرمایی L ، می‌توان به صورت زیر نوشت

$$n = n_0 e^{-\phi L} \quad (50.5)$$

اصطلاحات طول پخش تند و طول پخش گرمایی، فقط برای موادی قابلیت کاربرد دارند که سطح مقطع جذب در آنها بسیار کوچک است. هنگامی که این شرط برقرار نباشد، مثل مورد بور یا کادمیم، تضعیف باریکه نوترون گرمایی از معادله (۴۳.۵) قابل تعیین است. اگرچه طولهای پخش تند و گرمایی را می‌توان حساب کرد، ولی به دلیل فرضهایی که در این محاسبات وارد می‌شوند ترجیح داده می‌شود که مقادیر این پارامترهای اندازه‌گیری کنند. مقادیر طول پخش تند و گرمایی نوترونهای حاصل از شکافت را برای چند نوع محیط کندساز، در جدول ۵.۶ آورده‌ایم.

در مورد یک چشمۀ نقطه‌ای، به شدت n نوترون در هر ثانیه که در محیطی بدون تکثیر (محیطی که ماده شکافت‌پذیر ندارد) و کروی شکل به ساعت R ، به طول پخش گرمایی L ، و به ضریب پخش D قرار داشته باشد، شار نوترونهای خارج شونده از سطح محیط عبارت است از

$$\phi = \frac{n_0 e^{-R/L}}{4\pi R D} \quad (51.5)$$

جدول ۵.۶ طول پخش تند و طول پخش گرمایی در چند ماده انتخابی.

ضریب پخش	طول پخش گرمایی	طول پخش تند	ماده
۰.۱۶ cm ^{-۰}	۲۰۸۸ cm	۵۰۷۵ cm	H ₂ O
۰.۰۸۷	۱۷۱	۱۱	D ₂ O
۰.۰۵۰	۲۴	۹.۹	Be
۰.۰۸۴	۵۰	۱۷۰۳	C (گرافیت)

مثال ۱۲.۵

چشمۀ نوترونی از Pu-Be ، که در هر ثانیه تعداد 10^6 نوترون گسیل می‌کند، در مرکزیک حفاظت کروی از آب به قطر 50 cm قرار گرفته است. در هر ثانیه از هرسانتی مترا بر سطح حفاظت، چند نوترون گرمایی خارج می‌شود؟

حل: چون شعاع حفاظت‌آب خیلی بزرگتر از طول پخش تند مندرج در جدول ۶.۵ است، در این محاسبه‌می توان فرض کرد که تمام نوترونهای تند به صورت گرمایی در می‌آیند و نوترونها بی‌گرمایی از مرکز کره به طرف خارج در حال پخش هستند. با قراردادن مقادیر معلوم در معادله (۵۱.۵)، حاصل می‌شود

$$\phi = \frac{10^6}{4\pi \times 25 \times 50^2} e^{-25/2588} = 4 \text{ ر}^3 \text{ cm}^2 \cdot \text{s}$$

جذب

از بحث بالا معلوم می‌شود که نوترونهای تند، اگر با موادی که اعداد اتمی پایین دارند برهم کنش کنند، بسرعت انرژی‌شان را از طریق برخورددهای کشسان از دست می‌دهند. نوترونها هر چه به انرژی‌های گرمایی یا نزدیک به گرمایی نزدیکتر می‌شوند، احتمال گیراندازی‌شان توسط هسته جاذب بیشتر می‌شود. هنگامی که انرژی نوترون خیلی کم می‌شود، سطح مقطع جذب بسیاری از هسته‌ها با جذر انرژی جنبشی نوترون، و بنابراین با سرعت نوترون، نسبت عکس پیدا می‌کند

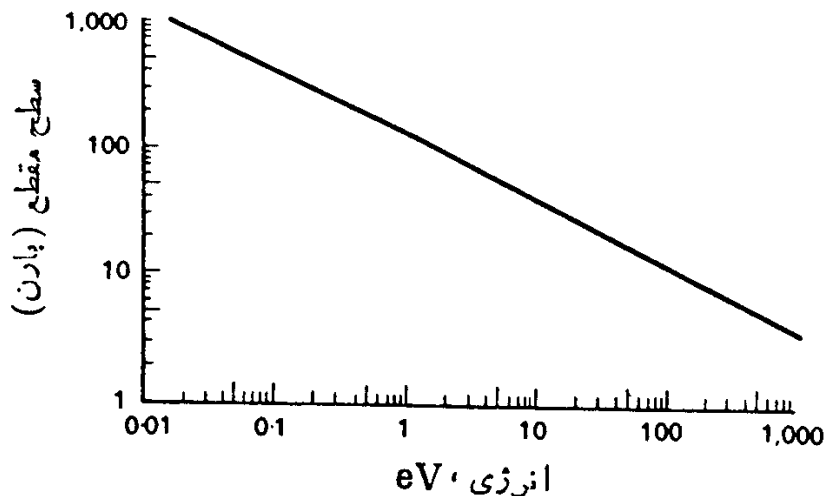
$$\sigma \propto \frac{1}{\sqrt{E}} \propto \frac{1}{v} \quad (52.5)$$

در جذب نوترونهای کنند، این معادله را تحت عنوان «قانون یک-روی-۷» می‌شناسند. همان‌طور که در شکل ۲۳.۵ دیده می‌شود، این رابطه برای B° از انرژی 1000 eV تا 10^6 eV معتبر است. سطح مقطع نوترون گرمایی، معمولاً برای نوترونها بی‌درنظر گرفته می‌شود که محتملترین انرژی‌شان برابر 25 eV است. اگر سطح مقطع در انرژی E برابر σ باشد، در این صورت در گستره اعتبار قانون ۷/۱، سطح مقطع در انرژی دیگر E چنین به دست می‌آید

$$\frac{\sigma}{\sigma_0} = \sqrt{\frac{E_0}{E}} \quad (53.5)$$

مثال ۱۳.۵

سطح مقطع بور در واکنش $\text{Li}^7(n, \alpha)^\circ \text{B}(n, \alpha)^{\circ}$ برای نوترونهای 25 eV برابر 75^3 بارن است. سطح مقطع بور برای نوترونهای 50 eV چقدر است؟



شکل ۲۳.۵ سطح مقطع جذب نوترون در بورد که اعتبار قانون ۷/۱ را برای نوترونهای با انرژی ۰۵۰۲ eV تا ۱۰۰۰ eV نشان می‌دهد. معادله منحنی به صورت (بارن) $\sigma = 116 \sqrt{eV}$ است.

حل: با قراردادن مقادیر معلوم در معادله (۵۳.۵) حاصل می‌شود

$$\sigma = 753 \sqrt{\left(\frac{۰۵۰۲۵}{۵۰}\right)} = ۱۶۸ b$$

در فهرست زیر، مشخصات چند واکنش گیراندازی را که در فیزیک بهداشت از اهمیت عملی برخوردارند آورده‌ایم

$$^1H(n, \gamma)^2H \quad \sigma = ۰۳۳ b \quad (۵۴.۵)$$

$$^{14}N(n, p)^{14}C \quad \sigma = ۱۷۰ b \quad (۵۵.۵)$$

$$^{10}B(n, \alpha)^7Li \quad \sigma = ۴۰۱ \times 10^3 b \quad (۵۶.۵)$$

$$^{112}Cd(n, \gamma)^{114}Cd \quad \sigma = ۲۱ \times 10^4 b \quad (۵۷.۵)$$

چون H و N از عنصر عمده سازنده بافت بدن انسان هستند، معادلات (۵۴.۵) و (۵۵.۵) از لحاظ دزسنجی نوترونی حائز اهمیت‌اند. اهمیت معادله (۵۶.۵) در طراحی دستگاههای اندازه گیری نوترون و همچنین در حفاظت نوترونی است، درحالی که اهمیت معادله آخر حداقل در کار حفاظت‌گذاری است. باید توجه داشت که در واکنشهای نوترون با هیدروژن و کادمیم، پرتوهای گامای پر انرژی گسیل خواهند شد، درحالی که گیراندازی نوترون گرمایی B^1 در ۹۳٪ از موارد واکنش به آزادسازی یک پرتو گامای کم انرژی (۴۸ MeV) منجر می‌شود. گیراندازی یک نوترون گرمایی در هسته N^{14} باعث گسیل یک پروتون با انرژی MeV ۶۰ می‌شود.

فعالسازی نوترونی

فعالسازی نوترونی عبارت است از تولید یک نوع ایزوتوپ پرتوزا از طریق جذب نوترون، واکنش (p, n) در معادله (۵۵.۵) یکی از نمونه‌های فعالسازی است. در این مورد، محصول واکنش C^{14} است. فعالسازی از طریق جذب نوترون، به‌چند دلیل در فیزیک بهداشت حائز اهمیت است. اولاً، فعالسازی بدین معنی است که هر ماده‌ای که تحت تابش نوترون قرار می‌گیرد ممکن است به ماده‌ای پرتوزا تبدیل شود، یعنی پس از خاتمه تابش نوترون هم ممکن است خطر تابش همچنان باقی بماند. ثانیاً، با استفاده از فعالسازی می‌توان بهروش ساده‌ای شار نوترونها را اندازه‌گیری کرد. انجام این کار به این صورت است که مقدار معلومی از ماده فعال‌شونده را زیر تابش نوترون قرار می‌دهند، فعالیت حاصل را اندازه‌گیری و آنگاه، با در دست داشتن سطح مقطع واکنش، شار نوترون را محاسبه می‌کنند. در حوادث بحرانی (واکنشهای زنجیری کنترل نشده که به‌طور تصادفی ایجاد می‌شوند)، با استفاده از اندازه‌گیری پرتوزا ای ناشی از تابش نوترون می‌توان در نوترونها را محاسبه کرد. شیمیدانها هم در تجزیه با روش فعالسازی نوترونی از همین اصل استفاده می‌کنند. در این روش که برای بسیاری از عناصر از دیگر طریقه‌های فیزیکی و شیمیایی حساس‌تر است، چنین عمل می‌شود: نمونه مجهول را زیر تابش یک میدان نوترونی با شدت معلوم قرار می‌دهند، فعالیت حاصل را اندازه‌گیری و آنگاه مقدار مجهول را در نمونه محاسبه می‌کنند. علاوه بر این، تجزیه‌کیفی نمونه مجهول نیز به کمک بررسی طیف نمودی تابش ایجادشده امکان‌پذیر است.

چنانچه یک نوع هسته پرتوزا را از طریق پرتودهی نوترونی در دست تولید داشته باشیم، به‌طوری که واپاشی آن هم در طی تولید ادامه داشته باشد، تعداد اتمهای پرتوزا موجود در نمونه در هر لحظه از اختلاف بین آهنگ تولید و آهنگ واپاشی به دست می‌آید، چنین وضعی را از لحاظ ریاضی می‌توان با معادله زیر بیان کرد

$$\text{آهنگ واپاشی} - \text{آهنگ تولید} = \text{آهنگ افزایش اتمهای پرتوزا}$$

$$\frac{dN}{dt} = \phi \sigma n - \lambda N \quad (58.5)$$

که در آن ϕ شار یا تعداد نوترونها در سانتی‌متر مربع در ثانیه، σ سطح مقطع فعالسازی بر حسب cm^2 ، λ ثابت واپاشی نمونه پرتوزا ای حاصل، N تعداد اتمهای پرتوزا، و n تعداد اتمهای هدف است.

معادله (۵۸.۵) یک معادله دیفرانسیل خطی است که از انتگرال گیری آن حاصل می‌شود

$$\lambda N = \phi \sigma n (1 - e^{-\lambda t}) \quad (59.5)$$

در معادله (۵۹.۵)، عامل $\phi \sigma n$ را گاهی فعالیت اشباع می‌نامند، زیرا حداقل مقدار

فعالیت قابل حصول را برای هر شار نو ترونی، پس از پر توده‌ی بینهایت طولانی، نشان می‌دهد.

مثال ۱۴.۵

نمونه‌ای محتوی مقدار نامعلومی از کروم را به مدت ۱ هفته در شار نوترون گرمایی $10^{11} \text{n/cm}^2 \cdot \text{s}$ تحت تابش قرار داده‌ایم. محصول واکنش را که Cr^{51} است، در برابر شمار گر سوسوزن گذاشته‌ایم. این شمار گر که بازده کل آن ۱۵٪ است، آهنگ شمارش پرتوهای گاما را برابر ۶۰۰ شمارش در دقیقه به دست می‌دهد. در نمونه اولیه، چند گرم کروم موجود بوده است؟

حل: واکنش مورد نظر در این مسئله عبارت است از



سطح مقطع فعالسازی Cr^{50} با نوترون گرمایی برابر ۱۳ را بارن است، و ۴۱٪ از تعداد اتمهای کروم طبیعی را اتمهای Cr^{50} تشکیل می‌دهد. واپاشی کروم ۵۱ از طریق گیراندازی الکترون مداری و با نیمه عمر ۲۷۸ روز صورت می‌گیرد، و در ۸٪ از موارد واپاشی یک پرتو گاما با ارزی 323 MeV گسیل می‌شود. وزن اتمی کروم طبیعی برابر ۵۲ را دارد.

فعالیت نمونه در معادله (۵۹.۵) به صورت $N \lambda$ داده شده است. با قراردادن مقادیر عددی معلوم در معادله (۵۹.۵)، مقدار n یا تعداد اتمهای هدف به صورت زیر قابل محاسبه است

از آنجاکه وزن اتمی کروم برابر 52.01 g/mol است، وزن کروم موجود در نمونه چنین به دست می‌آید

$$\frac{1.095 \times 10^{18} \text{ atom}}{6.022 \times 10^{23} \text{ atom/mol}} \times 62.01 \frac{\text{g}}{\text{mol}} = 9.96 \times 10^{-5} \text{ g}$$

مسئل

۱. چگالی جیوه برابر 13 g/cm^3 و وزن اتمی آن برابر ۲۰۵ است. چگالی اتمی جیوه را بر حسب اتم در سانتی متر مکعب محاسبه کنید.
۲. چگالی بلور کوارتز (SiO_2) برابر 2.5 g/cm^3 است. چگالی اتمی سیلیسیم و اکسیژن را بر حسب اتم در سانتی متر مکعب در کوارتز تعیین کنید.
۳. چگالی الکترونی یک قطعه آلومینیمی به ضخامت 5 mm و یک قطعه آهن با همان ضخامت چگالشی را با هم مقایسه کنید.
۴. متخصص فیزیک بهداشتی در وارسی یک آزمایشگاه به وجود یک سطح آسوده به مواد پرتوزا پی می برد. پس از رسم منحنی جذب، با استفاده از شمارگری با دریچه انتهایی بسیار نازک و جذب کننده های آلومینیمی متوجه می شود که برد پرتو بتای ناشی از ناحیه آسوده برابر 850 mg/cm^2 آلومینیم است (بدون مشاهده پرتو گاما). ماده آلایند چه می تواند باشد؟ برای کمک به تشخیص آن، چه مطالعات دیگری روی نمونه آسودگی می توان انجام داد؟
۵. متخصص فیزیک بهداشتی با یک ماده آلایند مجهول که صرفاً بتا-گسیل است، برخورد می کند. درحالی که به منظور شناسایی ماده آلایند و برای تعیین پیشینه انرژی پرتو بتا، منحنی جذب آن را تعیین و از شمارگر GM با دریچه انتهایی از میکا به ضخامت 1 mm (و به چگالی 2.7 g/cm^3) استفاده می کند، متوجه می شود که ضخامت 1.74 mm آلومنیم می تواند تمام ذرات بتا را متوقف سازد. فاصله بین نمونه و شمارگر GM برابر 2 cm است. انرژی ذرات بتا چقدر است؟ نوع آلایند چیست؟
۶. یک الکترون کامپتون را که مستقیماً به جلو ($0^\circ = \phi$) پراکنده شده است، با استفاده از ضخامت 460 mg/cm^2 آلومنیم کاملاً متوقف می کنیم.
- (الف) انرژی جنبشی الکترون کامپتون چقدر است؟
- (ب) انرژی فوتون فرودی چقدر است؟
۷. پرتوهای تکفام گاما با انرژی 1 MeV ، پس از برخورد با یک قطعه کربن، تحت زاویه 120° پراکنده می شوند.
- (الف) انرژی فوتون پراکنده چقدر است؟
- (ب) انرژی جنبشی الکترون کامپتون چقدر است؟
۸. فوتون حاصل از ایزوتوپ طبیعی K^{40} ، با انرژی 1.46 MeV ، دوبار پراکنده می شود: اول تحت زاویه 30° و سپس تحت زاویه 150° .
- (الف) انرژی فوتون پس از پراکنده گی دوم چقدر است؟
- (ب) در صورتی که ترتیب زاویه های پراکنده گی معکوس شود، انرژی فوتون پراکنده چقدر خواهد شد؟
۹. انرژی لبه کامپتون برای پرتو گامای 1 MeV ، حاصل از ^{137}Cs چقدر است؟

۰.۱۰ انرژی یک فوتون، پس از آنکه تحت زاویه 135° پراکنده شد، مساوی 22 MeV می‌شود. انرژی این فوتون قبل از برخورد پراکنده‌گی چقدر است؟

۰.۱۱ انرژی لبه کامپتون برای فوتونهای زیر چقدر است؟

(الف) گامای 136 MeV حاصل از ^{57}Co ،

(ب) گامای 8811 MeV حاصل از ^{58}Co ،

(ج) گامای 1533 MeV حاصل از ^{60}Co .

۰.۱۲ در یک آزمایش جذب پرتو گاماکه با ضخامت‌های مختلف جذب کننده سربی انجام شده اطلاعات زیر به دست آمده است:

ضخامت جاذب (mm)	۲۵	۲۰	۱۵	۱۰	۸	۶	۴	۲	۰	شمارش در هر دقیقه
	۲۱۰	۲۸۵	۳۹۰	۵۳۰	۶۰۰	۶۸۰	۷۷۰	۸۸۰	۱۰۰۰	

(الف) ضریب جذب خطی، ضریب جذب جرمی، و ضریب جذب اتمی سرب را تعیین کنید.

(ب) انرژی پرتو گاما چقدر است؟

۰.۱۳ در یک آزمایش جذب در ماده جاذب آلومینیم، اطلاعات زیر به دست آمده است:

ضخامت جاذب (mm)	۰	۵۰۲	۵۰۴	۵۰۶	۵۰۸	۵۱۰	۵۱۲	۵۱۴	۵۱۶	۵۱۸	۵۲۰	۵۲۲	۵۲۴	۵۲۶	۵۲۸	۵۳۰	۵۳۲	۵۳۴	۵۳۶	۵۳۸	۵۴۰	۵۴۲	۵۴۴	۵۴۶	۵۴۸	۵۵۰	۵۵۲	۵۵۴	۵۵۶	۵۵۸	۵۶۰	۵۶۲	۵۶۴	۵۶۶	۵۶۸	۵۷۰	۵۷۲	۵۷۴	۵۷۶	۵۷۸	۵۸۰	۵۸۲	۵۸۴	۵۸۶	۵۸۸	۵۹۰	۵۹۲	۵۹۴	۵۹۶	۵۹۸	۶۰۰	۶۰۲	۶۰۴	۶۰۶	۶۰۸	۶۱۰	۶۱۲	۶۱۴	۶۱۶	۶۱۸	۶۲۰	۶۲۲	۶۲۴	۶۲۶	۶۲۸	۶۳۰	۶۳۲	۶۳۴	۶۳۶	۶۳۸	۶۴۰	۶۴۲	۶۴۴	۶۴۶	۶۴۸	۶۵۰	۶۵۲	۶۵۴	۶۵۶	۶۵۸	۶۶۰	۶۶۲	۶۶۴	۶۶۶	۶۶۸	۶۷۰	۶۷۲	۶۷۴	۶۷۶	۶۷۸	۶۸۰	۶۸۲	۶۸۴	۶۸۶	۶۸۸	۶۹۰	۶۹۲	۶۹۴	۶۹۶	۶۹۸	۷۰۰	۷۰۲	۷۰۴	۷۰۶	۷۰۸	۷۱۰	۷۱۲	۷۱۴	۷۱۶	۷۱۸	۷۲۰	۷۲۲	۷۲۴	۷۲۶	۷۲۸	۷۳۰	۷۳۲	۷۳۴	۷۳۶	۷۳۸	۷۴۰	۷۴۲	۷۴۴	۷۴۶	۷۴۸	۷۵۰	۷۵۲	۷۵۴	۷۵۶	۷۵۸	۷۶۰	۷۶۲	۷۶۴	۷۶۶	۷۶۸	۷۷۰	۷۷۲	۷۷۴	۷۷۶	۷۷۸	۷۸۰	۷۸۲	۷۸۴	۷۸۶	۷۸۸	۷۹۰	۷۹۲	۷۹۴	۷۹۶	۷۹۸	۷۱۰	۷۱۲	۷۱۴	۷۱۶	۷۱۸	۷۲۰	۷۲۲	۷۲۴	۷۲۶	۷۲۸	۷۳۰	۷۳۲	۷۳۴	۷۳۶	۷۳۸	۷۴۰	۷۴۲	۷۴۴	۷۴۶	۷۴۸	۷۵۰	۷۵۲	۷۵۴	۷۵۶	۷۵۸	۷۶۰	۷۶۲	۷۶۴	۷۶۶	۷۶۸	۷۷۰	۷۷۲	۷۷۴	۷۷۶	۷۷۸	۷۸۰	۷۸۲	۷۸۴	۷۸۶	۷۸۸	۷۹۰	۷۹۲	۷۹۴	۷۹۶	۷۹۸	۷۱۰	۷۱۲	۷۱۴	۷۱۶	۷۱۸	۷۲۰	۷۲۲	۷۲۴	۷۲۶	۷۲۸	۷۳۰	۷۳۲	۷۳۴	۷۳۶	۷۳۸	۷۴۰	۷۴۲	۷۴۴	۷۴۶	۷۴۸	۷۵۰	۷۵۲	۷۵۴	۷۵۶	۷۵۸	۷۶۰	۷۶۲	۷۶۴	۷۶۶	۷۶۸	۷۷۰	۷۷۲	۷۷۴	۷۷۶	۷۷۸	۷۸۰	۷۸۲	۷۸۴	۷۸۶	۷۸۸	۷۹۰	۷۹۲	۷۹۴	۷۹۶	۷۹۸	۷۱۰	۷۱۲	۷۱۴	۷۱۶	۷۱۸	۷۲۰	۷۲۲	۷۲۴	۷۲۶	۷۲۸	۷۳۰	۷۳۲	۷۳۴	۷۳۶	۷۳۸	۷۴۰	۷۴۲	۷۴۴	۷۴۶	۷۴۸	۷۵۰	۷۵۲	۷۵۴	۷۵۶	۷۵۸	۷۶۰	۷۶۲	۷۶۴	۷۶۶	۷۶۸	۷۷۰	۷۷۲	۷۷۴	۷۷۶	۷۷۸	۷۸۰	۷۸۲	۷۸۴	۷۸۶	۷۸۸	۷۹۰	۷۹۲	۷۹۴	۷۹۶	۷۹۸	۷۱۰	۷۱۲	۷۱۴	۷۱۶	۷۱۸	۷۲۰	۷۲۲	۷۲۴	۷۲۶	۷۲۸	۷۳۰	۷۳۲	۷۳۴	۷۳۶	۷۳۸	۷۴۰	۷۴۲	۷۴۴	۷۴۶	۷۴۸	۷۵۰	۷۵۲	۷۵۴	۷۵۶	۷۵۸	۷۶۰	۷۶۲	۷۶۴	۷۶۶	۷۶۸	۷۷۰	۷۷۲	۷۷۴	۷۷۶	۷۷۸	۷۸۰	۷۸۲	۷۸۴	۷۸۶	۷۸۸	۷۹۰	۷۹۲	۷۹۴	۷۹۶	۷۹۸	۷۱۰	۷۱۲	۷۱۴	۷۱۶	۷۱۸	۷۲۰	۷۲۲	۷۲۴	۷۲۶	۷۲۸	۷۳۰	۷۳۲	۷۳۴	۷۳۶	۷۳۸	۷۴۰	۷۴۲	۷۴۴	۷۴۶	۷۴۸	۷۵۰	۷۵۲	۷۵۴	۷۵۶	۷۵۸	۷۶۰	۷۶۲	۷۶۴	۷۶۶	۷۶۸	۷۷۰	۷۷۲	۷۷۴	۷۷۶	۷۷۸	۷۸۰	۷۸۲	۷۸۴	۷۸۶	۷۸۸	۷۹۰	۷۹۲	۷۹۴	۷۹۶	۷۹۸	۷۱۰	۷۱۲	۷۱۴	۷۱۶	۷۱۸	۷۲۰	۷۲۲	۷۲۴	۷۲۶	۷۲۸	۷۳۰	۷۳۲	۷۳۴	۷۳۶	۷۳۸	۷۴۰	۷۴۲	۷۴۴	۷۴۶	۷۴۸	۷۵۰	۷۵۲	۷۵۴	۷۵۶	۷۵۸	۷۶۰	۷۶۲	۷۶۴	۷۶۶	۷۶۸	۷۷۰	۷۷۲	۷۷۴	۷۷۶	۷۷۸	۷۸۰	۷۸۲	۷۸۴	۷۸۶	۷۸۸	۷۹۰	۷۹۲	۷۹۴	۷۹۶	۷۹۸	۷۱۰	۷۱۲	۷۱۴	۷۱۶	۷۱۸	۷۲۰	۷۲۲	۷۲۴	۷۲۶	۷۲۸	۷۳۰	۷۳۲	۷۳۴	۷۳۶	۷۳۸	۷۴۰	۷۴۲	۷۴۴	۷۴۶	۷۴۸	۷۵۰	۷۵۲	۷۵۴	۷۵۶	۷۵۸	۷۶۰	۷۶۲	۷۶۴	۷۶۶	۷۶۸	۷۷۰	۷۷۲	۷۷۴	۷۷۶	۷۷۸	۷۸۰	۷۸۲	۷۸۴	۷۸۶	۷۸۸	۷۹۰	۷۹۲	۷۹۴	۷۹۶	۷۹۸	۷۱۰	۷۱۲	۷۱۴	۷۱۶	۷۱۸	۷۲۰	۷۲۲	۷۲۴	۷۲۶	۷۲۸	۷۳۰	۷۳۲	۷۳۴	۷۳۶	۷۳۸	۷۴۰	۷۴۲	۷۴۴	۷۴۶	۷۴۸	۷۵۰	۷۵۲	۷۵۴	۷۵۶	۷۵۸	۷۶۰	۷۶۲	۷۶۴	۷۶۶	۷۶۸	۷۷۰	۷۷۲	۷۷۴	۷۷۶	۷۷۸	۷۸۰	۷۸۲	۷۸۴	۷۸۶	۷۸۸	۷۹۰	۷۹۲	۷۹۴	۷۹۶	۷۹۸	۷۱۰	۷۱۲	۷۱۴	۷۱۶	۷۱۸	۷۲۰	۷۲۲	۷۲۴	۷۲۶	۷۲۸	۷۳۰	۷۳۲	۷۳۴	۷۳۶	۷۳۸	۷۴۰	۷۴۲	۷۴۴	۷۴۶	۷۴۸	۷۵۰	۷۵۲	۷۵۴	۷۵۶	۷۵۸	۷۶۰	۷۶۲	۷۶۴	۷۶۶	۷۶۸	۷۷۰	۷۷۲	۷۷۴	۷۷۶	۷۷۸	۷۸۰	۷۸۲	۷۸۴	۷۸۶	۷۸۸	۷۹۰	۷۹۲	۷۹۴	۷۹۶	۷۹۸	۷۱۰	۷۱۲	۷۱۴	۷۱۶	۷۱۸	۷۲۰	۷۲۲	۷۲۴	۷۲۶	۷۲۸	۷۳۰	۷۳۲	۷۳۴	۷۳۶	۷۳۸	۷۴۰	۷۴۲	۷۴۴	۷۴۶	۷۴۸	۷۵۰	۷۵۲	۷۵۴	۷۵۶	۷۵۸	۷۶۰	۷۶۲	۷۶۴	۷۶۶	۷۶۸	۷۷۰	۷۷۲	۷۷۴	۷۷۶	۷۷۸	۷۸۰	۷۸۲	۷۸۴	۷۸۶	۷۸۸	۷۹۰	۷۹۲	۷۹۴	۷۹۶	۷۹۸	۷۱۰	۷۱۲	۷۱۴	۷۱۶	۷۱۸	۷۲۰	۷۲۲	۷۲۴	۷۲۶	۷۲۸	۷۳۰	۷۳۲	۷۳۴	۷۳۶	۷۳۸	۷۴۰	۷۴۲	۷۴۴	۷۴۶	۷۴۸	۷۵۰	۷۵۲	۷۵۴	۷۵۶	۷۵۸	۷۶۰	۷۶۲	۷۶۴	۷۶۶	۷۶۸	۷۷۰	۷۷۲	۷۷۴	۷۷۶	۷۷۸	۷۸۰	۷۸۲	۷۸۴	۷۸۶	۷۸۸	۷۹۰	۷۹۲	۷۹۴	۷۹۶	۷۹۸	۷۱۰	۷۱۲	۷۱۴	۷۱۶	۷۱۸	۷۲۰	۷۲۲	۷۲۴	۷۲۶	۷۲۸	۷۳۰	۷۳۲	۷۳۴	۷۳۶	۷۳۸	۷۴۰	۷۴۲	۷۴۴	۷۴۶	۷۴۸	۷۵۰	۷۵۲	۷۵۴	۷۵۶	۷۵۸	۷۶۰	۷۶۲	۷۶۴	۷۶۶	۷۶۸	۷۷۰	۷۷۲	۷۷۴	۷۷۶	۷۷۸	۷۸۰	۷۸۲	۷۸۴	۷۸۶	۷۸۸	۷۹۰	۷۹۲	۷۹۴	۷۹۶	۷۹۸	۷۱۰	۷۱۲	۷۱۴	۷۱۶	۷۱۸	۷۲۰	۷۲۲	۷۲۴	۷۲۶	۷۲۸	۷۳۰	۷۳۲	۷۳۴	۷۳۶	۷۳۸	۷۴۰	۷۴۲	۷۴۴	۷۴۶	۷۴۸	۷۵۰	۷۵۲	۷۵۴	۷۵۶	۷۵۸	۷۶۰	۷۶۲	۷۶۴	۷۶۶	۷۶۸	۷۷۰	۷۷۲	۷۷۴	۷۷۶	۷۷۸	۷۸۰	۷۸۲	۷۸۴	۷۸۶	۷۸۸	۷۹۰	۷۹۲	۷۹۴	۷۹۶	۷۹۸	۷۱۰	۷۱۲	۷۱۴	۷۱۶	۷۱۸	۷۲۰	۷۲۲	۷۲۴	۷۲۶	۷۲۸	۷۳۰	۷۳۲	۷۳۴	۷۳۶	۷۳۸	۷۴۰	۷۴۲	۷۴۴	۷۴۶	۷۴۸	۷۵۰	۷۵۲	۷۵۴	۷۵۶	۷۵۸	۷۶۰	۷۶۲	۷۶۴	۷۶۶	۷۶۸	۷۷۰	۷۷۲	۷۷۴	۷۷۶	۷۷۸	۷۸۰	۷۸۲	۷۸۴	۷۸۶	۷۸۸	۷۹۰	۷۹۲	۷۹۴	۷۹۶	۷۹۸	۷۱۰	۷۱۲	۷۱۴	۷۱۶	۷۱۸	۷۲۰	۷۲۲	۷۲۴	۷۲۶	۷۲۸	۷۳۰	۷۳۲	۷۳۴	۷۳۶	۷۳۸	۷۴۰	۷۴۲	۷۴۴	۷۴۶	۷۴۸	۷۵۰	۷۵۲	۷۵۴	۷۵۶	۷۵۸	۷۶۰	۷۶۲	۷۶۴	۷۶۶	۷۶۸	۷۷۰	۷۷۲	۷۷۴	۷۷۶	۷۷۸	۷۸۰	۷۸۲	۷۸۴	۷۸۶	۷۸۸	۷۹۰	۷۹۲	۷۹۴	۷۹۶	۷۹۸	۷۱۰	۷۱۲	۷۱۴	۷۱۶	۷۱۸	۷۲۰	۷۲۲	۷۲۴	۷۲۶	۷۲۸	۷۳۰	۷۳۲	۷۳۴	۷۳۶	۷۳۸	۷۴۰	۷۴۲	۷۴۴	۷۴۶	۷۴۸	۷۵۰	۷۵۲	۷۵۴	۷۵۶	۷۵۸	۷۶۰	۷۶۲	۷۶۴	۷۶۶	۷۶۸	۷۷۰	۷۷۲	۷۷۴	۷۷۶	۷۷۸	۷۸۰	۷۸۲	۷۸۴	۷۸۶	۷۸۸	۷۹۰	۷۹۲	۷۹۴	۷۹۶	۷۹۸	۷۱۰	۷۱۲	۷۱۴	۷۱۶	۷۱۸	۷۲۰	۷۲۲	۷۲۴	۷۲۶	۷۲۸	۷۳۰	۷۳۲	۷۳۴	۷۳۶	۷۳۸	۷۴۰	۷۴۲	۷۴۴	۷۴۶	۷۴۸	۷۵۰	۷۵۲	۷۵۴	۷۵۶	۷۵۸	۷۶۰	۷۶۲	۷۶۴	۷۶۶	۷۶۸

فوتوونهای MeV ۱ بدهفتونهای MeV ۱ در باریکهٔ خروجی چقدر است؟
 ۱۵. سه باریکهٔ موازی پرتوگاما با شارهای متساوی و انرژیهای ۲ MeV، ۵ MeV، و ۱۰ MeV از ضخامت ۵ سانتی‌متری سرب عبور می‌کنند. نسبت شارهای خروجی چقدر است؟
 ۱۶. باریکه‌هایی تکفام، موازی و نازک از پرتوهای گاما با انرژیهای ۱۰ MeV و ۸ MeV، بر جذب کننده‌هایی از Al و Cu فرود می‌آیند. ضخامت‌های موردنیاز مواد جاذب را برای حالت‌های زیر محاسبه کنید:

- (الف) برای آنکه شدت تابش به یک دوم تقلیل یابد (ضخامت نیم-مقدار HVL).
- (ب) برای آنکه شدت تابش به یکدهم تقلیل یابد (ضخامت یکدهم-مقدار TVL).

جوابها را بر حسب cm^2/g بیان کنید.

(ج) رابطه بین ضخامت نیم-مقدار و ضخامت یکدهم-مقدار چگونه است؟

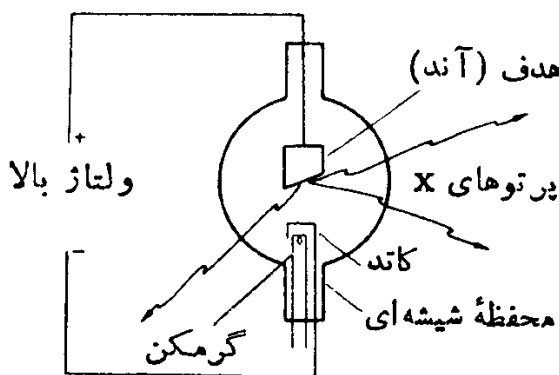
۱۷. حفاظت لایه‌ای از دو لایه آلومینیم و سرب کسه ضخامت هر یک از آنها ۱۳۵ g/cm² است، تشکیل شده است. این حفاظت زیر تابش باریکهٔ موازی و نازکی از فوتونهای ۱۰ MeV قرار می‌گیرد.

(الف) ضخامت حفاظت لایه‌ای در مجموع، بر حسب cm، چقدر است؟

- (ب) ضریب تضعیف حفاظت را در دو حالت زیر محاسبه کنید: (۱) اولين لایه آلومینیم است، (۲) اولين لایه سرب است.

۱۸. انرژی آستانه پرتوگاما را در واکنش $^{12}\text{C}(n, \gamma)^{11}\text{C}$ می‌محاسبه کنید.

۱۹. مطابق شکل زیر، هنگامی که الکترونهای خیلی سریع توسط هدفی با عدداتی بالا متوقف می‌شوند، پرتوهای X به صورت تابش ترمی تولید می‌شود. اگر الکترونهای را با ولتاژ ثابت ۲۵۰ kV شتاب دهند، و اگر شدت جریان باریکهٔ الکترونی برابر ۱۵ mA باشد، شار انرژی پرتو X را در فاصله ۱ متری هدف تنگستن حساب کنید. از جذب محفظهٔ شیشه‌ای صرفنظر و گسیل تابش ترمی را همسانگرد فرض کنید.



۲۰. اگر پر انرژیترین فوتون پرتو X در پی توقف یکباره الکترون در یک تک برخورد حاصل شود، برای تولید پرتوهای X با کوتاهترین طول موج ۱۲۴ Å، چه ولتاژی باید به دوسر لامپ مولد اعمال شود؟

۰.۳۹. یک ذره بنا با انرژی جنبشی 159 MeV ، پس از عبور از پنجره‌ای به ضخامت 4 mg/cm^2 ، به داخل لامپ گاگری که محتوی هلیم است وارد می‌شود. این ذره بنا، چند زوج یون در داخل لامپ تولید می‌کند؟

۰.۴۰. اگر آهنگ گسیل نوترون در Cf-252 برابر $10^6 \times 231$ نوترون در ثانیه به ازای هرمیکروگرم، و ثابت واپاشی گسیل آلفای آن برابر 10^{-25} y-25 باشد، آهنگ گسیل نوترون به ازای هر μCi و هر MBq چقدر است؟

۰.۴۱. سرعت یک نوترون کندر را که انرژی جنبشی آن 10 eV است، حساب کنید.

این انرژی متناظر با چه دمایی است؟

۰.۴۲. هنگامی که ${}^9\text{Be}$ زیر بمباران دوترون قرار می‌گیرد، طبق واکنش ${}^9\text{Be}(d, n){}^{10}\text{B}$ نوترون تولید می‌شود. سطح مقطع این واکنش برای دوترونهای 15 MeV برابر 10^6 بارن است. چنانچه 1 g هدف بریلیم با باریکه‌ای از دوترونهای به شدت $100 \mu\text{A}$ و به قطر 1013 cm بمباران شود، شار نوترون در فاصله 25 cm از هدف چقدر است؟ توزیع نوترونهای همسانگرد فرض کنید.

۰.۴۳. چه ضخامتی از Cd می‌تواند 50% از یک باریکه فرودی نوترون گرمایی را جذب کند؟ سطح مقطع گیراندازی عنصر Cd برای نوترونهای گرمایی برابر 2550 بارن، چگالی نسبی Cd برابر 565 g و وزن اتمی آن 112.4 است.

۰.۴۴. چشم کوچکی از پرتو گاما مای ${}^{124}\text{Sb}$ ، با فعالیت $(1\text{Ci})10^1 \times 72$ را کاملاً باکره‌ای از بریلیم به وزن 25 g مخصوص کرده‌ایم. اگر قطر محافظه کروی فرا گیرنده چشم گاما برابر 1 cm و سطح مقطع واقعی ${}^9\text{Be}(\gamma, n){}^{10}\text{Be}$ برابر 1 میلی بارن باشد، تعداد نوترونهای حاصل از واکنش را در هر ثانیه حساب کنید.

۰.۴۵. برای حفاظت در برابر نوترونهای گرمایی با شار متوسط $(n/\text{cm}^2 \cdot s) \cdot 10^{12}$ از کادمیم استفاده شده است. چه مدت زمانی طول خواهد کشید تا 10% از اتمهای ${}^{113}\text{Cd}$ به مصرف برسند؟

۰.۴۶. سطح مقطع واکنش ${}^{32}\text{P}(n, p){}^{32}\text{S}$ برای نوترونهای با انرژی بیشتر از 25 MeV برابر 200 mb است. اگر 100 mg از ${}^{32}\text{S}$ را با استفاده از نوترونهای تند با شار $(n/\text{cm}^2 \cdot s) \cdot 10^{12}$ تولید شده چقدر است؟

۰.۴۷. اگر ضریب جذب مؤلفه انرژی بالای تابش کیهانی در آب برابر $10^{-3} \text{ m}^{-2} \times 10^{-5}$ باشد، کاهش شدت این پرتوهای کیهانی را در عمق 10000 متری ته اقیانوس محاسبه کنید.

۰.۴۸. اگر دوتریم را با پرتوهای گاما مای ${}^{226}\text{Ra}$ حاصل از ${}^{208}\text{Tl}(\text{ThC}')$ بمباران کنیم، هسته به اجزای سازنده اش یعنی 1 پروتون و 1 نوترون فرومی پاشد. چنانچه انرژی جنبشی هر ذره پروتون و نوترون برابر 225 MeV و جرم پروتون برابر 10507593 amu باشد، جرم نوترون را محاسبه کنید.

۳۱. باریکه‌ای از نوترونهای تند از دو گروه انرژی تشکیل شده است: انرژی گروه اول که ۹۹٪ از شار نوترونی را شامل می‌شود، برابر 1 MeV است. انرژی گروه دوم، یعنی ۱٪ بقیه نوترونهای، برابر 10 MeV است.

(الف) نسبت درصد این دو گروه، پس از عبور از 25 cm آب، چقدر خواهد شد؟

(ب) پس از عبور این باریکه از تیغه‌ای با همان ضخامت چگالشی سرب، نسبت درصد این دو گروه چقدر خواهد شد؟

سطح مقطعهای حذف نوترون از باریکه عبارت اند از:

عنصر	گروه 1 MeV	گروه 10 MeV
H	۴۰۲ b	۰۹۵ b
O	۸	۱۰۵
Pb	۵۰۵	۵۰۱

۳۲. بورال یک نوع آلیاژ کاربیدی متشکل از بور و آلومینیم است که به عنوان حفاظ در برابر نوترونهای گرمایی به کار می‌رود. اگر محتوای وزنی بور در آلیاژ برابر ۳۵٪ و چگالی بورال برابر 2.7 g/cm^3 باشد، نیم ضخامت بورال را برای نوترونهای گرمایی در دمای اتاق محاسبه کنید. سطح مقطعهای گیراندازی اجزای آلیاژ عبارت اند از: $b = 7.55 \text{ mb}$ = بور، $mb = 2.30 =$ آلومینیم، $mb = 3.2 =$ کربن.

۳۳. سطح مقطعهای پراکنده‌گی N و O برای نوترونهای گرمایی، به ترتیب، عبارت اند از: 10 b و 4.2 b .

(الف) سطح مقطع ماکروسکوپیک هوا را در شرایط متعارف دما و فشار (STP) حساب کنید. ۷۹٪ از حجم هوا را نیتروژن و ۲۱٪ حجم آن را اکسیژن تشکیل می‌دهد.

(ب) مسافت میانگین آزاد پراکنده‌گی نوترونهای گرمایی در هوا چقدر است؟

۳۴. برای کاهش انرژی نوترونهای 2.5 MeV به مقادیر زیر، به چند برحورد پراکنده در گرافیت نیاز است؟

(الف) ۱۰٪ انرژی اولیه نوترون
(ب) 25 eV در

۳۵. برگه‌ای از کیالت به قطر 1 cm و بدضخامت 1 mm در باریکه‌ای گرمایی به شار ($\text{s} \cdot \text{cm}^2/\text{n} \cdot \text{cm}^{11}$) 1×10^{11} به مدت ۷ روز پرتوگیری کرده است. اگر سطح مقطع فعالسازی کیالت برای 36 بارن و چگالی کیالت برای 3 g/cm^3 باشد، فعالیت حاصل در پایان دوره پرتوگیری بر حسب Bq و میلی‌کوری چقدر است؟ توجه داشته باشید که کیالت طبیعی به طور ۱۰۵٪ از ایزوتوپ ^{59}Co تشکیل می‌شود.

۳۶. فولاد زنگ زن نوع 304 از سه عنصر Fe (۷۱٪ وزنی)، Cr (۱۹٪ وزنی)، و

(۱۰%) Ni تشکیل می‌شود. فراوانی ایزوتوپی این عناصر بر حسب درصد، و سطح مقطع گیراندازی نوترون 2200 m/s برای آنها بر حسب بارن در جدول زیر داده شده است:

Ni			Cr			Fe		
σ_c	فراوانی	A	σ_c	فراوانی	A	σ_c	فراوانی	A
۴۵۴	۶۷۵۷۶	۵۸	۱۷	۴۵۳۱	۵۰	۲۰۹	۵۰۸۴	۵۴
۲۶	۲۶۵۱۶	۶۰	۰۰۸	۸۳۵۷۶	۵۲	۲۰۷	۹۱۰۶۸	۵۶
۲	۱۰۲۵	۶۱	۱۸	۹۰۵۵	۵۳	۲۰۵	۲۰۱۷	۵۷
۱۵	۳۰۶۶	۶۲	۰۰۳۸	۲۰۳۸	۵۴	۱۰۱	۰۰۳۱	۵۸
۱۰۵	۱۰۱۶	۶۴						

(الف) سطح مقطع ماکروسکوپیک گیراندازی را حساب کنید.

(ب) اگر باریکه‌ای موازی و به قطر 1 cm از نوترونهای 2200 m/s بر برگه‌ای از فولاد زنگ نزن نوع ۳۰۴ به ضخامت 2 mm فرود آید، در حالی که شار این باریکه بر ایر ($\text{N/cm}^2 \cdot \text{s}$) $10^{11} \times 5$ است، تعداد نوترونهای گیراندازی شده در هر ثانیه چقدر خواهد بود؟

۶

دُزسنگی تابش

یکاهای

هنگامی که دانش پرتوشناسی مراحل اولیه خود را می‌پیمود، یکای دقیقی که برای حفاظت یا درمان تابشی مناسب باشد وجود نداشت. دُزسنچ متداول برای حفاظت تابش یک قطعه فیلم دندانی بود که یک گیره کاغذی به آن چسبیده بود. مقدار پرتوگیری روزانه‌ای که می‌توانست یک سایه قابل آشکارسازی تولید کند، بیشینه دُز مجاز در نظر گرفته می‌شد. برای دُزهای زیادتر و یا برای مقاصد درمانی، یکای دُز اغلب «یکای التهاب پوست» بود. به‌دلیل واپستگی زیاد این یکاهای دُز به انرژی و نیز کاستیهای ذاتی دیگر، هیچیک از این دو یکا نمی‌توانست از لحاظ زیست‌شناسی برای مطالعه کمی اثرات زیست‌شناختی تابش با حفاظت تابشی با معنی یا سودمند باشد. وانگهی چون آن مقدار از انرژی که جسم از میدان تابش جذب می‌کند واپسنه به انرژی است، ناگزیر باشد میان پرتوگیری تابش و دُز جذب شده تابشی فرق گذاشته شود.

دُز جذب شده

گروی

آسیب حاصل از تابش به جذب انرژی بستگی دارد، و تقریباً با تراکم انرژی جذب شده در بافت متناسب است. از این‌رو یکاهای اصلی دُز تابشی بر حسب انرژی جذب شده در یکای

جرم بافت بیان می‌شود. این یک که به گری (Gy) معروف است، به صورت ذیر تعریف می‌شود

یک گری عبارت است از دز تابشی جذب شده یک ژول بر کیلو گرم

$$1 \text{ Gy} = 1 \text{ J/kg} \quad (1.6)$$

به طور کلی، یکای گری برای کلیه انواع دزسنجی تابش یوننده ناشی از میدانهای خارجی پرتوهای گاما، نوترونها یا ذرات باردار، و نیز ایزوتوپهای پرتوزایی که در درون بدن تهشین شده‌اند، قابل استفاده است.

راد

پیش از آنکه یکاهای SI پذیرفته شوند، دز تابش با یکای بدنام (اد (صورت اختصاری دز تابش جذب شده) اندازه‌گیری می‌شد. راد بنا به تعریف عبارت است از:

تابش جذب شده متناظر با انرژی ۱۰۰ ارگ بر گرم

$$1 \text{ rad} = 100 \text{ erg/g} \quad (2.6)$$

از آنجاکه $1 \text{ J} = 10^7 \text{ erg}$ و $1 \text{ kg} = 1000 \text{ g}$ است، پس داریم

$$1 \text{ Gy} = 100 \text{ rad} \quad (3.6)$$

با آنکه گری یکای جدیدتری است و انتظار می‌رود که سرانجام جای راد را بگیرد، ولی هنوز هم رادر را به طور وسیعی به کار می‌برند.

پرتوگیری یکای پرتوگیری

در بررسی تابش خارجی با شار انرژی معین، مقدار دز جذب شده در هر نقطه از اندام بستگی دارد به نوع و انرژی تابش، فاصله عمقی محل دریافت دز مورد نیاز در داخل اندام، و اجزای اصلی سازنده محیط جاذب در آن نقطه. به عنوان مثال، استخوان که عدد اتمی عناصر سازنده آن (Ca و P) از عدد اتمی عناصر سازنده بافت نرم (H، O، C) بیشتر است، به ازای واحد جرم، بیشتر از بافت نرم انرژی از باریکه پرتو ایکس جذب می‌کند. به همین دلیل، میدانهای پرتو ایکس که اندامها در معرض آنها قرار می‌گیرند، غالباً با یکاهای پرتوگیری مشخص می‌شوند. یکای پرتوگیری که برای اندازه‌گیری شار فوتون به کار می‌رود مناسب است با مقدار انرژی انتقال یافته از میدان پرتو ایکس به

واحد جرم هوا، هر یکای پرتوگیری به صورت مقداری از تابش گاما یا ایکس تعریف می‌شود که بتواند در هر کیلو گرم هوا یونهای حامل ۱ کولن باشد (با هر علامتی) ایجاد کند.

$$1 \text{ X} = 1 \text{ C/kg} \quad (4.6)$$

از آنجا که یونش حاصل از تابش نسبتاً به آسانی قابل اندازه‌گیری است، یکای پرتوگیری بر حسب یونش هوا تعریف می‌شود. ولی در انرژیهای فوتونی کمتر از چندین keV و بیشتر از چندین MeV اندازه‌گیری یکای پرتوگیری تا حدی دشوار خواهد شد. به همین دلیل، یکای پرتوگیری تنها در مورد پرتوهای ایکس و گاما بی که انرژی آنها از ۳ تجاوز نمی‌کند به کار می‌رود. در مورد فوتونهایی که انرژی بیشتری دارند، پرتوگیری بر حسب یکای وات ثانیه بر مترمربع، و آهنگ پرتوگیری بر حسب وات بر مترمربع بیان می‌شود. با توجه به اینکه بار هر تک یون برابر 10^{-19} C دارد و میانگین انرژی لازم برای تولید هر زوج یون در هوا برابر 34 eV است، می‌توانیم تعریف عملیاتی یکای پرتوگیری را به یکاهای اصلی جذب انرژی در واحد جرم هوا تبدیل کنیم. بنابراین

$$\begin{aligned} 1 \text{ X} &= 1 \frac{\text{C}}{\text{kg}} \times \frac{1 \text{ یون}}{10^{-19} \text{ C}} \times 34 \frac{\text{eV}}{1 \text{ یون}} \times 10^{-19} \text{ J/eV} \\ &\times 1 \frac{\text{Gy}}{\text{J/kg}} = 34 \text{ Gy} \end{aligned} \quad (5.6)$$

لازم به یادآوری است که یکای پرتوگیری، در واقع یک معیار جمعی است و بنابراین به زمانی که طی آن پرتوگیری انجام می‌شود بستگی ندارد. شدت میدان پرتو ایکس یا گاما، معمولاً به صورت آهنگ پرتوگیری تعریف و با یکایی مانند کولن بر ساعت بیان می‌شود. البته پرتوگیری کل برابر است با حاصلضرب آهنگ پرتوگیری در زمان.

رونتگن

قبل از آنکه دستگاه SI پذیرفته شود، یکای پرتوگیری پرتوایکس رونتگن نامیده و با نماد R نشان داده می‌شد. رونتگن به صورت آن مقدار از تابش ایکس یا گاما تعریف می‌شد که بتواند یونهای حامل یک ایستا کولن باشد (با هر علامتی) در هر سانتی‌متر مکعب هوا در دمای 0°C و فشار 760 mm Hg تولید کند.

$$1 \text{ R} = 1 \text{ St.C/cm}^3 \quad (6.6)$$

چون هر یون حامل باری برابر 10^{-10} St.C و جرم هر سانتی‌مترمکعب هوای استاندارد برابر 1293 g است، پرتوگیری R با جذب ۸۷۷ ارگ در هر گرم

هوا (یا دزی برابر ۸۷۷ راد) متناظر خواهد بود. هنگامی که پرتوگیری بر حسب رونتگن اندازه گیری می شود، شدت میدان پرتو ایکس یا گاما بر حسب یکاهایی چون رونتگن بر دقیقه یا میلی رونتگن بر ساعت اندازه گیری می شود. میلی رونتگن که با نماد mR نشان داده می شود برابر ۱۰۰ راد رونتگن است.

ارتباط میان یکای پرتوگیری و رونتگن را می توان به صورت زیر محاسبه کرد

$$\frac{\frac{J}{kg} / \frac{C}{kg} \times 10^7 erg / J \times \frac{1 kg}{1000 g}}{877 \frac{erg}{g} / R} = 3881 R / \frac{C}{kg}$$

با

$$1 X = 3881 R \quad (7.6)$$

مثال ۱.۶

هر گاه حفاظ پزشکی پرتو ایکس بر مبنای پرتوگیری هفتگی بیشینه $100 mR$ برای نواحی کنترل شده و $10 mR$ برای نواحی کنترل نشده طراحی شده باشد، این پرتوگیریها را بر حسب یکاهای SI محاسبه کنید.

حل: با توجه به معادله (۷.۶) خواهیم داشت

$$\frac{1 X}{3881 R} = 258 \times 10^{-4} X / R \times 1 \frac{C/kg}{X} = 258 \times 10^{-4} \frac{C/kg}{R}$$

برای نواحی کنترل شده

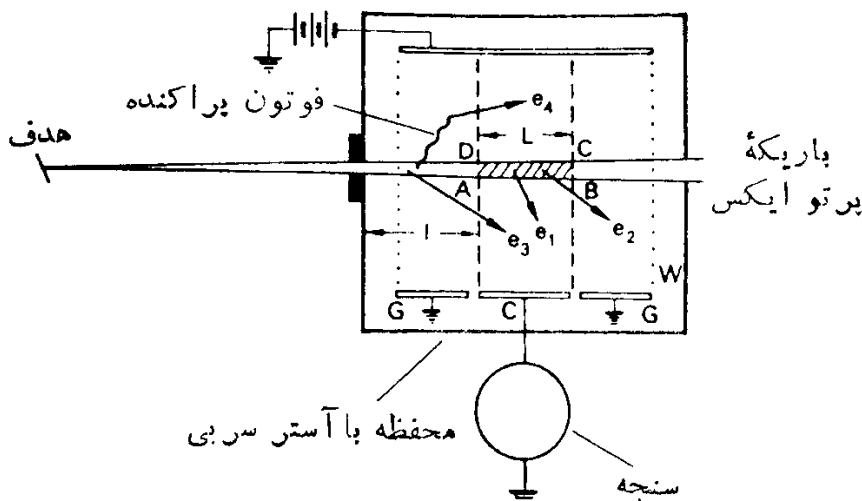
$$258 \times 10^{-4} \frac{C/kg}{R} \times 10 R = 258 \times 10^{-3} C/kg = 258 \mu C/kg$$

برای نواحی کنترل نشده

$$258 \times 10^{-4} \frac{C/kg}{R} \times 100 R = 258 \times 10^{-3} C/kg = 258 \mu C/kg$$

اندازه گیری پرتوگیری: افق‌های هوای آزاد

با استفاده از دستگاهی که در شکل ۱.۶ نشان داده شده است می توان تعریف عملیاتی یکای پرتوگیری را توضیح داد. باریکه‌ای از پرتو ایکس پس از ورود از طریق مدخل با ستون



شکل ۱۰.۶ نمودار ساده اتاقک یونش با هوای آزاد وصفحات موازی.

استوانه‌ای شکلی از هوایکه محدود به دریچه ورودی است برهم کنش می‌کند. سپس یونهای ناشی از برهم کنش پرتوهای ایکس با حجم هوای محصور در ABCD (که از برخورد این پرتوها با خطوط نیروی الکتریکی لبه‌های صفحه جمع کننده C حاصل می‌شود)، به کمک صفحات این خازن جمع می‌شود و در نتیجه جریانی در مدار خارجی به وجود می‌آید. حلقة حفاظتی G و سیمهای حفاظتی W کمک می‌کنند که خطهای میدان الکتریکی بدصورت مستقیم و عمود بر صفحه باقی بمانند. شدت میدان الکتریکی میان صفحه‌ها در حدود 100V/cm است. این شدت به اندازه‌ای است که می‌تواند یونهارا قبل از ترکیب مجدد جمع آوردی کند ولی در آن حد نیست که به وسیله الکترونهای رهاسده از ذرات یوننده اولیه، یونش ثانوی تولید کند. سیمهای حفاظتی به یک شبکه تقسیم و لتاژ وصل آند تا افت پتانسیل در میان صفحات یکنواخت باشد. از روی شارش جریان می‌توان تعداد یونهای گردآوری شده در اثر برهم کنشهای پرتو ایکس در حجم جمع کننده را محاسبه کرد و سپس آهنگ دز را بر حسب رونتگن در واحد زمان به دست آورد. برای اندازه گیری یکای پرتوگیری با این روش، باید تمامی انرژی الکترونهای اولیه در هوا و درون سنجه تلف شود. این شرط با ساختن اتاقک هوایی که از برد بیشینه الکترونهای اولیه بزرگتر باشد برآورده می‌شود. (برای پرتوهای ایکس 350 keV ، باید فاصله بین صفحه‌های جمع کننده در حدود 30cm و ضلع جعبه مکعب شکل تقریباً برابر 50cm باشد.) اگر تعداد الکترونهایی که حجم حساس را ترک می‌کنند برابر با تعداد الکترونهایی باشد که از برهم کنشهای نقاط دیگر باریکه پرتو ایکس وارد حجم حساس می‌شوند، این واقعیت که بیشتر الکترونهای حاصل از برهم کنش پرتو X در داخل حجم حساس جمع آوری نمی‌شوند اهمیت چندانی نخواهد داشت. این شرط را تعادل الکترونی می‌گویند. وقتی تعادل الکترونی برقرار می‌شود، به ازای هر الکترونی که حجم حساس را ترک می‌کند یک الکtron با انرژی مساوی وارد آن می‌شود. ضخامت هوای میان مدخل باریکه و حجم حساس (لایه ۱ در شکل ۱۰.۶) باید به اندازه‌ای باشد که تعادل الکترونی برقرار شود. مثلا برای پرتوهای

ایکس تصفیه شده 250 kV ضخامت هوای لازم برابر 9 cm است. ولی برای پرتوهای 500 kV ضخامت لازم به 40 cm افزایش می‌یابد. تحت شرایط تعادل الکترونی و با فرض اینکه تضعیف باریکه پرتوایکس به وسیله هوای در طول واحد ناچیز باشد، یونهای گردآوری شده از حجم حساس از برهم کنشهای فوتون اولیه در مدخل ورودی باریکه حاصل می‌شوند، و در نتیجه میزان پرتوگیری در همان نقطه اندازه گیری می‌شود نه در داخل حجم حساس. اتفاقهای هوای آزاد معمولی برای اندازه گیری کمی پرتوهای ایکسی که انرژی کوانتمی آنها تا حدود 500 keV است به کارمی‌روند. برای انرژیهای تابشی بیشتر از این مقدار اتفاقهای بزرگتری لازم است. ولی به دلیل مشکلات فنی، عملاً نمی‌توان برای سنجش پرتوگیری با انرژیهای کوانتمی بیش از 500 keV از اتفاق یونش با هوای آزاد استفاده کرد.

چگونگی استفاده از اتفاق یونش با هوای آزاد برای اندازه گیری آهنگ پرتوگیری تابش ایکس (بر حسب کولن بر کیلوگرم بر ثانیه) در مثال زیر آمده است.

مثال ۳.۶

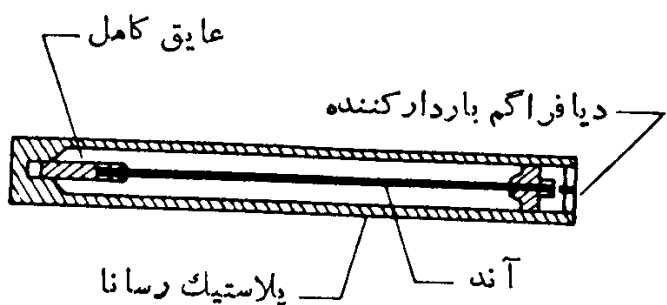
قطر مدخل ورودی در یک اتفاق یونش با هوای آزاد برابر 1 cm و طول AB حجم حساس آن برابر 5 cm^3 است. باریکه‌ای از پرتو ایکس 200 kV به درون اتفاق می‌تابد و جریان پایای $50\text{ }\mu\text{A}$ میکروآمپری در مدار خارجی تولید می‌کند. هرگاه دمای لحظه اندازه گیری 20°C و فشار برابر 750 mm Hg باشد، آهنگ پرتودهی این باریکه پرتو ایکس را محاسبه کنید.

حل: جریان $50\text{ }\mu\text{A}$ میکروآمپری متناظر است با شارش بار الکتریکی 10^{-8} C/s و حجم حساس در این مورد برابر 39927 cm^3 است. هرگاه فشار و دما با شرایط استاندارد تصحیح شوند، خواهیم داشت

$$\dot{X} = \frac{10^{-8}\text{ C/s}}{39927\text{ cm}^3 \times 10^{-6}\text{ kg/cm}^3} \times \frac{293}{273} \times \frac{760}{750} \\ = 214 \times 10^{-3}\text{ X/s} \quad (8531\text{ R/s})$$

اندازه گیری پرتوگیری: اتفاق با دیواره هوای

اتفاق یونش هوای آزادی که قبلاً توصیف شد، در عمل فقط به عنوان استاندارد اولیه آزمایشگاهی قابل استفاده است، ولی در کارهای خارج از آزمایشگاه یک وسیله قابل حمل بیشتر مورد نیاز است. چنین وسیله‌ای رامی‌توان با متراکم کردن هوای در اطراف محفظه اندازه گیری فراهم کرد. در این صورت باید شرایط لازم برای تعریف یکای پرتوگیری همیشه برقرار بماند. بدیهی است که ساختن وسیله‌ای که دیواره‌های آن هوای فشرده باشد، عملاً بسیار



شکل ۲۰۶ اتاقک یونش جیبی از نوع خازن غیر مدرج.

دشوار خواهد بود. اما می‌توان وسیله‌ای ساخت که دیواره‌های آن از ماده «معادل هوا» باشد، یعنی ماده‌ای که خواص جذب پرتو X در آن بسیار شبیه به همین خواص در هوا باشد. چنین اتاقکی را می‌توان به شکل یک خازن الکتریکی و به صورتی که در طرح زیر دیده می‌شود ساخت.

دیواره بیرونی این وسیله به شکل استوانه‌ای از جنس پلاستیک به ضخامت نقریه ۴mm را دارد که رسانای الکتریکی است. در مرکز استوانه سیمی قرار دارد که با دیواره بیرونی هم محور است و به وسیله یک عایق خوب کاملاً از آن جدا شده است. بار این سیم مرکزی (آنند) نسبت به دیواره ثابت است. هنگامی که پرتوایکس یا گاما به این اتاقک می‌تابد، یونش حاصل از برهم کنش میان فوتونها و دیواره، در محفظه اندازه‌گیری باعث تخلیه خازن می‌شود و در نتیجه پتانسیل آند کاهش می‌یابد. کاهش ولتاژ آند با یونش تولید شده در محفظه نسبت مستقیم دارد که آن نیز به نوبه خود متناسب با میزان پرتوگیری است. اکنون به عنوان مثال، نمونه زیر را در نظر می‌گیریم.

مثال ۳.۶

اتاقکی به حجم 2 cm^3 و ظرفیت الکتریکی 5 miliF را که محتوی هوا در شرایط متعارفی است، در معرض تابش قرار داده‌ایم. اگر ولتاژ دو سر اتاقک قبل و بعد از پرتوگیری به ترتیب برابر $V = 180$ و 160 و مدت زمان پرتوگیری برابر $t = 5\text{ hr}$ باشد، مقدار پرتوگیری و آهنگ پرتوگیری چقدر است؟

حل: مقدار پرتوگیری به صورت زیر محاسبه می‌شود

$$C \times \Delta V = \Delta Q \quad (3.6)$$

$$5 \times 10^{-12} \text{ F} \times (180 - 160) \text{ V} = 1 \times 10^{-10} \text{ C}$$

چون هر یکای پرتوگیری برابر 1 C/kg است، پرتوگیری اندازه‌گیری شده در این اتاقک برابر است با

$$\frac{1 \times 10^{-10} \text{ C}}{2\text{ cm}^3 \times 1.293 \times 10^{-6} \text{ kg/cm}^3} = 3.867 \times 10^{-5} \text{ C/kg}$$

که متناظر است با

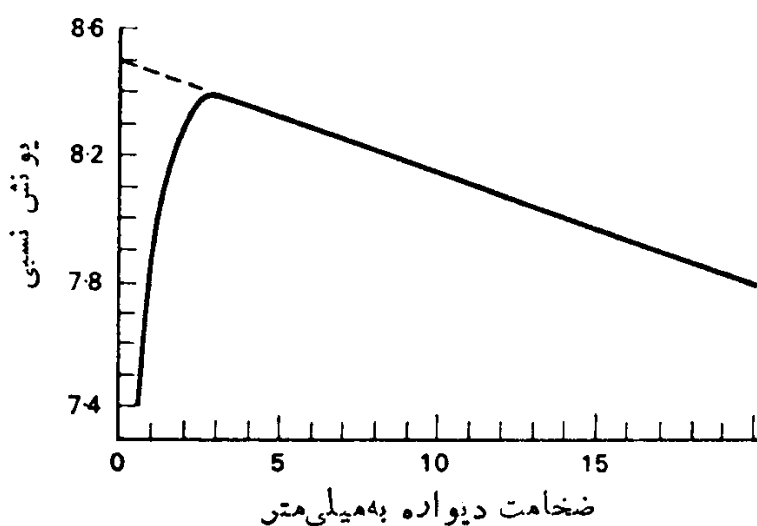
$$3.867 \times 10^{-5} \text{ C/kg} \times 3881 \frac{\text{R}}{\text{C/kg}} = 0.150 \text{ R} = 150 \text{ mR}$$

آهنگ پرتوگیری عبارت است از

$$\frac{150 \text{ mR}}{0.5 \text{ h}} = 300 \text{ mR/h}$$

که معادل $77 \mu\text{C/kg}$ در ساعت است.

اتفاقی که بدین ترتیب ساخته می‌شود اتفاک با «دیواره‌ها» نام دارد. هنگام کار با این اتفاک باید توجه داشت که ضخامت دیواره با انرژی تابشی مورد اندازه‌گیری مناسب باشد، زیرا اگر دیواره خیلی نازک باشد تعداد فوتونها بی که از برهم کنش آنها الکترونهای اولیه تولید می‌شوند بسیار کم خواهد شد و اگر خیلی ضخیم باشد مقدار قابل توجهی از فوتونها را جذب می‌کند و در نتیجه شار الکترونی اولیه تضعیف می‌شود. با استفاده از آزمایشی که در آن یونش تولید شده در محفظه اتفاک یونشی اندازه‌گیری می‌شود می‌توان پهنه‌ای بهینه را مشخص کرد. در عمل، با افزایش تسلط بجای ضخامت دیواره‌ها و اندازه‌گیری یونش تولید شده، حد مطلوب به دست می‌آید. در این آزمایش از ورود الکترونهای ثانوی که در خارج از دیواره‌ها تشکیل می‌شوند و همچنین از ورود پرتوهای بنای حاصل از چشمۀ پرتوگاما، به حجم حساس باید جلوگیری به عمل آورد. در این صورت نمودار یونش محفظه بر حسب ضخامت دیواره به شکل منحنی ۳.۶ خواهد بود.

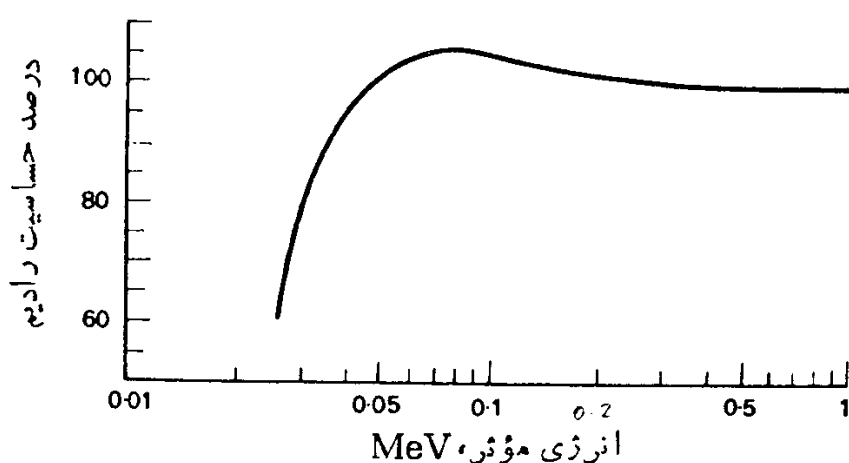


شکل ۳.۶ تعداد زوج یونها در واحد حجم به صورت تابعی از ضخامت دیواره. اتفاک یونشی از کربن خالص ساخته شده و به شکل استوانه‌ای به قطر داخلی ۲۰mm و ارتفاع ۲۰mm است.

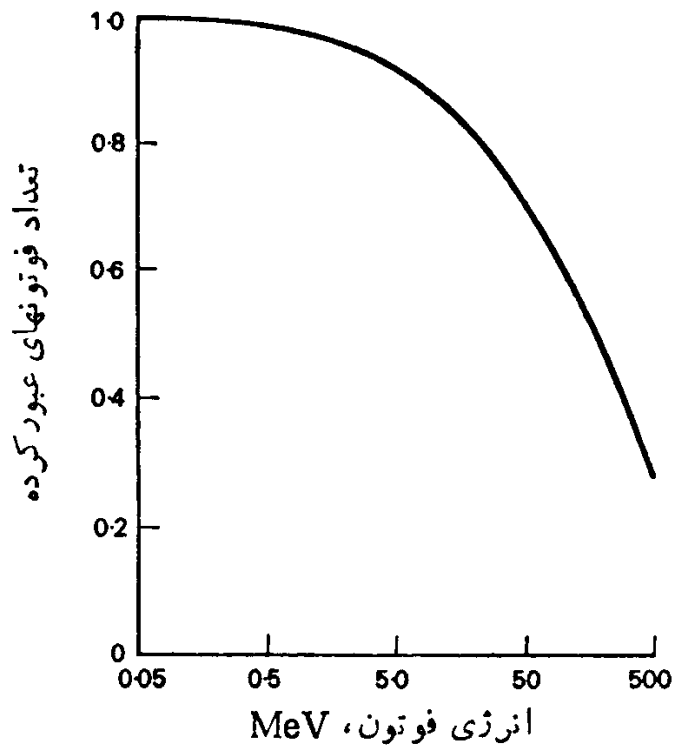
چون یونش محفظه را عمدتاً الکترونهای اولیه‌ای باعث می‌شوند که خود نتیجه برهم کنش میان پرتوگاما و دیواره هستند، با افزایش ضخامت دیواره فوتونهای بیشتری با آن برهم کنش می‌کنند و در نتیجه الکترونهای اولیه بیشتری که عامل یونش گاز درون محفظه هستند تولید می‌شوند. اما، اگر ضخامت دیواره به حدی برسد که الکترون اولیه تولید شده در سطح خارجی دیواره انرژی کافی برای عبور از آن و ورود به داخل محفظه نداشته باشد، یونش در محفظه کاهش می‌یابد. آن ضخامتی از دیواره را که در آن چنین حالتی تازه آغاز می‌شود ضخامت تعادلی دیواره می‌نامند.

در صورتی که ماده دیواره با دیواره «معادل هوا» تفاوت داشته باشد، پاسخ اتاقک یونش وابسته به انرژی می‌شود. با انتخاب ضخامت و ماده مناسب برای دیواره، بیشینه منحنی شکل ۴.۶ می‌تواند کاملاً پهن و در نتیجه اتاقک یونش در گستره وسیعی از انرژی فوتونها نسبتاً مستقل از انرژی باشد. در عمل این پاسخ تقریباً تخت، گستره‌ای از انرژی از حدود 200 keV تا حدود 2 MeV را دربرمی‌گیرد. در این گستره از انرژی، اثر کامپتون سازوکار عمده انتقال انرژی است. در انرژیهای پایینتر از این گستره، احتمال اثر کامپتون تقریباً با طول موج افزایش می‌یابد، در حالی که احتمال اثر فوتوالکتریک تقریباً با توان سوم طول موج فوتون مناسب است. بنابراین، تعداد کل الکترونهای اولیه و در نتیجه حساسیت اتاقک افزایش می‌یابد. اما این افزایش حساسیت با کاهش انرژی فوتون به یک قله می‌رسد و پس از آن بر اثر تضعیف شدید تابش فرودی توسط دیواره اتاقک، مقدار آن بسرعت کاهش می‌یابد. در منحنی شکل ۴.۶ که عامل تصحیح انرژی یک دزسنج جیبی را نشان می‌دهد، این اثرها نشان داده شده‌اند.

با توجه به این واقعیت که انرژی زیاد و در نتیجه برد بلند الکترونهای اولیه تولید شده در دیواره، ساخت وسیله‌ای با معیارهای اندازه‌گیری رونتگن را امکان ناپذیر می‌کند، از C/kg و رونتگن برای انرژیهای بیش از 3 MeV به عنوان یکی از اندازه‌گیری پرتوگیری نمی‌توان استفاده کرد. برد بلند الکترونهای اولیه، وجود دیواره‌های بسیار ضخیم را ایجاد می‌کند. اما هنگامی که این دیواره‌ها، بر مبنای برد الکترونهای اولیه، به قدر کافی



شکل ۴.۶ منحنی مشخصه دزسنج جیبی شکل ۱۸.۹ به صورت تابعی از انرژی.



شکل ۵.۶ تعداد نسبی فوتونهای عبور کرده از یک دیواره هوا با ضخامت برابر با برد بیشینه الکترونهای ڈانوی.

ضخیم می شوند، همان‌طور که در شکل ۵.۶ دیده می شود، تا بش گاما را تاحد زیادی تضعیف می کنند. بنا براین، در چنین شرایطی حصول تعادل الکترونی امکان پذیر نیست، زیرا شدت تابش در داخل دیواره ثابت نیست و در نتیجه الکترونهای اولیه در تمام حجم دیواره که از آنجا به محفظه می رساند به طور یکنواخت تولید نمی شوند.

ارتباط بین پرتوگیری و دز

اتاقک با دیواره هوا چنانکه از اسمش برمی آید، جذب انرژی در هوا را اندازه گیری می کنند. در بیشتر موارد، جذب انرژی در بافت بدن مطرح است. چون جذب انرژی تقریباً با چگالی الکترونی محیط جاذب مناسب است، در کاربرد یکای پرتوگیری در هر ناحیه از انرژی باید توجه داشت که دز جذب شده در بافت بدن لزوماً با دز جذب شده در هوا برای هر نوع تابش یکسان نیست. به عنوان مثال اگر یک بافت ماهیچه‌ای را در نظر بگیریم که چگالی نسبی آن برابر ۱ و عنصر تشکیل دهنده آن به صورت $10^{22} \times 10^{-5}$ اتم هیدروژن بر گرم، $10^{22} \times 10^{27}$ اتم اکسیژن بر گرم و $10^{22} \times 10^{20}$ اتم نیتروژن بر گرم و $10^{21} \times 10^{24}$ اتم کربن بر گرم باشد، چگالی الکترونی این بافت برابر $10^{23} \times 10^{28}$ اتم الکترون بر گرم خواهد بود. چگالی الکترونی هوا با چگالی 10^{-3} g/cm^3 ، $10^{29} \times 10^{23}$ اتم الکترون بر گرم است. بنا براین، جذب انرژی در بافت بر حسب ژول بر کیلو گرم که متناظر با پرتوگیری ۱ کولن بر کیلو گرم هو است، عبارت است از

$$\frac{۳۰۲۸ \times ۳۴}{۳۰۱} = ۳۷ \text{ J/kg} \quad (\text{بافت})$$

که با اندازه‌گیری‌های گرماسنجی مر بوط به جذب انرژی بافت نرم از پرتوودهی 1 C/kg (هوای) کاملاً سازگاری دارد. اگراین مقدار را با پرتوگیری R که با ۸۷۸ ارجک بر گرم هوای متضاد است مقایسه کنیم، جذب بافت عضلانی مورد بحث معادل ۹۵ ارجک بر گرم می‌شود. این دز جذب شده در بافت که از پرتوگیری R حاصل می‌شود، به دز ۱۰۵ ارجک بر گرم که متضاد با ۱ راد است بسیار نزدیک است. به همین دلیل غالباً پرتوگیری 1 رونتگن تقریباً همان دز جذب شده 1 rad تلقی می‌شود، و یکی «رونتگن» با اندکی مسامحه (و البته به غلط) به جای rad به کار می‌رود.

از طرف دیگر بین یکی پرتوگیری و گری یک ارتباط ساده‌کمی وجود دارد که در نتیجه در هر محیطی که پرتوگیری آن بر حسب C/kg معلوم باشد می‌حسابه دز جذب شده، چنانکه در مثال زیر دیده می‌شود، به آسانی امکان پذیر است.

مثال ۴.۶

باریکه‌ای از پرتوگاما با انرژی کوانتمی 3 MeV را در نظر بگیرید. هر گاه شارفوتون برای 1000 کوانتم بر ثانی مترمربع در ثانیه باشد، آهنگ پرتوگیری و آهنگ دز جذب شده در بافت نرم را در نقطه‌ای از این باریکه تعیین کنید.

حل: با استفاده از شکل 18.5 ، ضریب جذب انرژی μ_a در 25°C برای فوتونهای 300 keV برابر $10^{-5} \text{ cm}^{-1} \times 346 \times 10^{-13} \text{ J/MeV} \times \mu_a \text{ cm}^{-1}$ به دست می‌آید. آهنگ پرتوگیری بر حسب C/kg بر ثانیه برابر است با

$$\dot{X} = \frac{\phi}{\text{cm}^2 \cdot \text{s}} \times E \text{ MeV} \times 10^{-13} \text{ J/MeV} \times \mu_a \text{ cm}^{-1} \\ p_a \text{ kg/cm}^3 \times 34 \frac{\text{J/kg}}{\text{C/kg}} \quad (9.6)$$

که پس از قراردادن مقادیر عددی مناسب، معادله (۹.۶) به صورت زیر در می‌آید

$$\dot{X} = \frac{10^3 \times 346 \times 10^{-13} \times 10^6 \times 10^{-13} \times 10^{-5}}{(10293 \times 10^{-9} \times 273/293) \times 34} \\ = 4 \times 10^{-11} \frac{\text{C}}{\text{kg}} / \text{s}$$

آهنگ دز جذب شده بر حسب گزی بر ثانیه با رابطه زیر داده می‌شود

$$\dot{D} = \frac{\phi \frac{\text{فوتون}}{\text{cm}^2 \cdot \text{s}} \times E \text{ MeV} \times 10^{-13} \text{ J/MeV} \times \mu_m \text{ cm}^{-1}}{\rho_m \text{ kg/cm}^3 \times 1 \frac{\text{J/kg}}{\text{Gy}}} \quad (10.6)$$

اگر در این معادله مقدار ضریب جذب وابسته به انرژی بافت را برای فوتونهای $\mu_m = 0.001 \text{ kg/cm}^3$ برابر 12 cm^{-1} برابر 50 MeV قرار دهیم، آهنگ دز جذب شده برای 10^{-9} Gy/s برابر 10^{-9} Gy به دست می‌آید. رابطه میان پرتوگیری و دز از تقسیم معادله (10.6) بر (9.6) به دست می‌آید

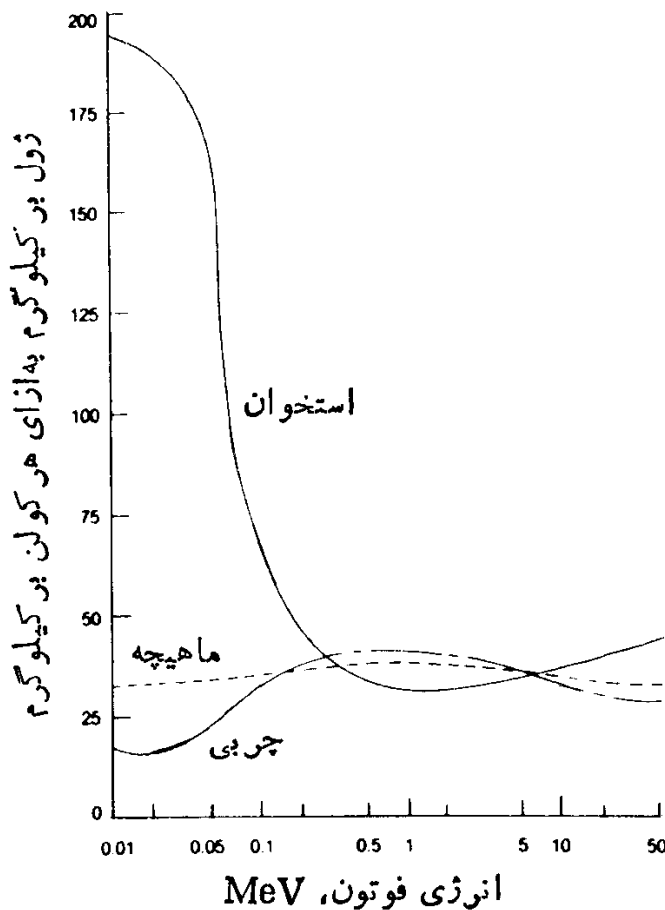
$$\frac{\dot{D}}{\dot{X}} = \frac{(\phi \times E \times 10^{-13} \times \mu_m) / \rho_m}{(\phi \times E \times 10^{-13} \times \mu_a) / (\rho_a \times 34)}$$

$$\dot{D} = 34 \times \frac{\mu_m / \rho_m}{\mu_a / \rho_a} \times \dot{X} \text{ Gy/s} \quad (11.6)$$

در صورتی که پرتوگیری بر حسب رونتگن باشد، برای به دست آوردن دز جذب شده در بافت (بر حسب rad) می‌توان از رابطه مشابه زیر استفاده کرد

$$\text{رونتگن} \times \frac{8777}{100} \times \frac{\mu_m / \rho_m}{\mu_a / \rho_a} = \text{راد} \quad (12.6)$$

معادلات (11.6) و (12.6) نشان می‌دهند که مقدار دز جذب شده از هر پرتوگیری مفروضی را می‌توان با استفاده از نسبت ضریب جذب جرمی محیط به ضریب جذب جرمی هوا به دست آورد. در مورد بافت بدن، وقتی که انرژی فوتون در گستره حدود $10-11 \text{ MeV}$ باشد، این نسبت تقریباً ثابت می‌ماند. زیرا مهمترین برهم‌کنش بین بافت و تابش پراکندگی کامپتون است، و سطح مقطع این پراکندگی عمده‌تاً به چگالی الکترونی محیط جاذب وابسته است. در انرژی‌های پایینتر، اثر فوتولکتریک غالب می‌شود، و سطح مقطع مربوط به این برهم‌کنش با عدد اتمی ماده جاذب افزایش می‌یابد. در نتیجه این وابستگی به عدد اتمی، استخوان که تقریباً ۱۵٪ وزن آن کلسیم است، بیشتر از بافت نرم از یک دز معین پرتوهای کم انرژی X ، انرژی جذب می‌کند. این نکته در شکل ۶.۶ که در آن مقدار انرژی جذب شده در پرتوگیری (ذول بر کیلوگرم به ازای هر کولن بر کیلوگرم) به صورت تابعی از انرژی فوتون برای چربی، ماهیچه، و استخوان رسم شده است، نشان داده می‌شود.



شکل ۶.۶ جذب انرژی در پرتوگیری یکای ایکس (کولن بر کیلوگرم) برای چند نوع بافت.

اندازه‌گیری دز جذب شده: اصل براگ-گری

در صورتی که دیواره اتفاق یونش از ماده‌ای ساخته شود که خاصیت جذب تا بش آن همانند بافت مورد نظر باشد، می‌توان با استفاده از اصل براگ-گری و سیله‌ای ساخت که دز بافت را مستقیماً اندازه‌گیری کند. (طبق این اصل، مقدار یونش تولید شده در یک محفظه کوچک پر از گاز که در یک محيط جامد قرار گرفته باشد با انرژی جذب شده در محيط جامد مناسب است) هنگام به کار بردن این اصل، باید توجه داشت که محفظه گاز نسبت به محيط جاذب جامد به اندازه کافی کوچک باشد تا توزیع سرعت و توزیع زاویه‌ای الکترونهای او لیه تغییر نکند. این شرط هنگامی برآورده می‌شود که الکترونهای او لیه فقط مقدار کمی از انرژی خود را در گذر از محفظه محتوی گاز از دست بدeneند. اگر ضخامت محيط جامد طوری باشد که تعادل الکترونی برقرار شود، آنگاه انرژی جذب شده در واحد جرم دیواره (dE_m/dM_m) با انرژی جذب شده در واحد جرم گاز (dE_g/dM_g) به صورت زیر بهم مربوط می‌شوند

$$\frac{dE_m}{dM_m} = \frac{S_m}{S_g} \times \frac{dE_g}{dM_g} \quad (13.6)$$

که در آن S_m توان ایستانندگی جرمی ماده دیواره و S_g توان ایستانندگی جرمی گاز است. چون مقدار یونش واحد جرم گاز مستقیماً متناسب با dE_g/dM_g است، معادله قبلی (۱۳.۶) را می‌توان به صورت زیر درآورد

$$\frac{dE_m}{dM_m} = \rho_m \times w \times J \quad (14.6)$$

در این معادله ρ_m نسبت توانهای ایستانندگی جرمی جامد به گاز، S_g/S_m ، w میانگین انرژی تلف شده در تولید یک زوج یون در گاز، و J تعداد زوج یونهای تولیدی در واحد جرم گاز است. مقدار ρ_m الکترونهای با هر انرژی را می‌توان با استفاده از معادله‌های توان ایستانندگی (فصل ۵) به آسانی محاسبه کرد. در مواردی که گاز محفظه مثلاً به صورت متان یا پارافین و همانند دیواره اتفاق باشد، مقدار ρ_m برابر با واحد خواهد شد. جدول ۱۰.۶ نسبتهای توان ایستانندگی چندین جسم را نسبت به‌ها برای الکترونهای تک انرژی نشان می‌دهد. اما مسئله محاسبه ρ_m درمورد تابش گاما تاحدی دشوارتر است؛ زیرا کسر فسی پرتوهای گاما که از طریق هر یک از سازوکارهای رقیب برهمنش خواهد کرد و همچنین توزیع طیفی الکترونهای اوایله (حاصل از فرایندهای کامپیون، فوتوالکتریک، و زوج

جدول ۱۰.۶ مقادیر میانگین توان ایستانندگی جرمی نسبت به‌ها، برای طیفهای تعادل الکترونی حاصل از الکترونهای اوایله تک انرژی.

انرژی اوایله (MeV)	عنصر شیمیایی و حالت بستگی مولکولی								
	هیدروژن نیتروژن لئو	هیدروژن نیتروژن لئو	هیدروژن لئو						
0.1	2.52	2.59	1.016	1.021	1.047	0.976	1.018	0.978	0.994
0.2	2.52	2.59	1.015	1.019	1.043	0.978	1.016	0.979	0.995
0.3	2.48	2.55	1.014	1.018	1.040	0.979	1.016	0.981	0.995
0.327	2.48	2.54	1.014	1.018	1.040	0.979	1.015	0.981	0.995
0.4	2.46	2.53	1.014	1.018	1.038	0.980	1.015	0.981	0.996
0.5	2.44	2.51	1.013	1.017	1.037	0.980	1.015	0.982	0.996
0.6	2.44	2.50	1.012	1.016	1.035	0.980	1.013	0.981	0.995
0.654	2.43	2.49	1.011	1.014	1.034	0.979	1.012	0.981	0.994
0.7	2.42	2.48	1.010	1.013	1.033	0.978	1.011	0.980	0.993
0.8	2.40	2.46	1.009	1.012	1.031	0.978	1.010	0.979	0.992
1.0	2.39	2.44	1.004	1.008	1.026	0.975	1.005	0.977	0.988
1.2	2.37	2.42	1.001	1.004	1.022	0.973	1.002	0.974	0.985
1.308	2.36	2.42	0.999	1.002	1.019	0.971	1.000	0.972	0.983
1.5	2.35	2.39	0.995	0.998	1.015	0.967	0.996	0.969	0.980

جدول ۲.۶ توان ایستانندگی جرمی میانگین نسبت به هوا، S_m/S_0 ، برای طیفهای تعادل الکترونی ناشی از ^{198}Au ، ^{137}Cs و ^{60}Co ، با فرض کندشدن پیوسته الکترونها.

محیط			انرژی (MeV)
بافت بدن	آب	گرافیت	
		۱۵۳۲	(^{198}Au) ۴۱۱
۱۱۴۵	۱۱۶۲	۱۵۲۷	(^{137}Cs) ۶۷۵
۱۱۳۷	۱۱۵۵	۱۵۱۷	(^{60}Co) ۱۲۵

الکترون) را باید در نظر گرفت، و مقدار میانگین توان ایستانندگی نسبی را باید تعیین کرد. در جدول ۲.۶ مقادیر میانگین توانهای نسبی ایستانندگی جرمی مربوط به طیفهای تعادل الکترونی پرتوهای گاما حاصل از ^{198}Au ، ^{137}Cs و ^{60}Co آمده است. میانگین انرژی لازم برای تولید یک زوج یون در هوا، μeV ، برابر 34 eV است. برای تعیین ذرات تابش جذب شده، فقط اندازه‌گیری یونش در واحد حجم گاز، L ، مورد نیاز است.

مثال ۵.۶

با استفاده از اطلاعات زیر آهنگ ذر جذب شده در یک اتاق معادل بافت را محاسبه کنید. این اتاق با دیوارهای معادل که در داخل یک مدل مصنوعی بدن قرار دارد به مدت ۱۵ دقیقه درمعرض پرتوهای گاما ^{60}Co قرار می‌گیرد. حجم هوا در داخل اتاق برابر 1 cm^3 ، ظرفیت خازن برابر $5 \mu\text{m}^3$ است و افت ولتاژ در دوسر اتاق در اثر پرتوگیری گاما برابر ۷۲ ولت است.

حل: بار الکتریکی جمع شده در اتاق برابراست با

$$\begin{aligned} Q &= C \Delta V \\ &= 5 \times 10^{-12} \text{ F} \times 72 \text{ V} \\ &= 3.6 \times 10^{-10} \text{ C} \end{aligned}$$

و تعداد الکترونهای جمع شده که با زوج یونهای تشکیل شده در محفظه متناظر است برابر است با

$$\frac{3.6 \times 10^{-10} \text{ C}}{1 \text{ cm}^3 \times 10^6 \times 10^{-19} \text{ C}/\text{electrion}} = 2.25 \times 10^9 \text{ electrion}$$

چون بهازی تشکیل هر زوج یون در هوا 34 eV الکترون ولت انرژی مصرف می‌شود، و نیز

توان ایستانندگی بافت نسبت به هوا برابر ۱۳۷ است، بنابراین از رابطه برآگه-گری یا معادله (۱۴.۶) نتیجه می شود که

$$\frac{dE_m}{dM_m} = \rho_m \times w \times J$$

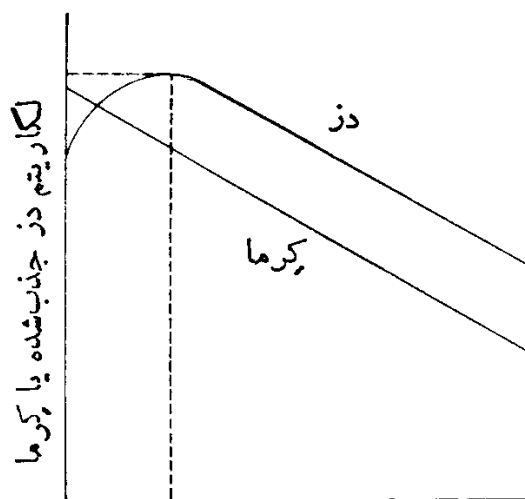
$$= \frac{10^{-19} \text{ J/eV} \times 10^9 \text{ زوج یون/cm}^3 \times 252 \times 24 \text{ eV}}{10^{-9} \text{ kg/cm}^3 \times 1 \text{ J/kg.Gy}}$$

$$= 108 \text{ Gy}$$

چون مدت پرتو گیری ۱۵ دقیقه بوده است، آهنگ دز برابر 108 mGy/min خواهد شد..

کرما

در مورد تابش یوننده غیرمستقیم، مثل پرتوهای ایکس و نوترونهای تند، گاهی به انرژی جنبشی ذرات یوننده اولیه (مثل فوتونکترونها، الکترونهای کامپتون یا زوچهای پوزیترون) الکترون در مورد تابش فوتون، و هسته‌های پراکنده شده در مورد نوترونهای تند) که از برهم‌کنش تابش فرودی با واحد جرم محیط برهم‌کنش کننده تولید می‌شود، احتیاج داریم. این کمیت که کرما نام دارد درستگاه یکاها SI بر حسب ژول بر کیلو گرم یا گری (و راد درستگاههای قبلی) اندازه گیری می‌شود. کرما، به علت کاهش پیوسته شار تابش یوننده غیرمستقیم، با افزایش عمق محیط جاذب کاهش می‌یابد. اما دز جذب شده با افزایش عمق تا رسیدن به یک مقدار بیشینه افزایش می‌یابد، زیرا چگالی ذرات یوننده اولیه و ذرات ثانویه‌ای که این ذرات تولید می‌کنند زیاد می‌شود، و سپس با ادامه افزایش عمق کاهش می‌یابد. دز جذب شده در عمقی که تقریباً با برد بیشینه ذرات یوننده اولیه برابر است به مقدار بیشینه می‌رسد. رابطه بین کرما و دز تابش فوتون یا نوترونهای تند در شکل ۷.۶ نشان داده شده است.



عمر در محیط جاذب

شکل ۷.۶ رابطه بین کرما و دز تابش فوتون یا نوترونهای تند.

قدرت چشم: گسیل ویژه پرتو گاما

شدت تابش هر چشمۀ پرتو گاما میان را به عنوان معیاری برای قدرت چشمۀ به کار می بردند. آهنگ پرتو دهی تابش گاما می باشد چشمۀ نقطه ای با فعالیت واحد در فاصلۀ واحد را گسیل ویژه پرتو گاما می نامند و آن را بر حسب کولن بر کیلو گرم بر ساعت در فاصلۀ یک متری از یک چشمۀ نقطه ای 1 MBq مشخص می کنند (در گذشته، این کمیت را بر حسب R بر ساعت در فاصلۀ ۱ متری از یک چشمۀ نقطه ای 1 Ci مشخص می کردند). در صورتی که چگونگی واپاشی ایزوتوپ مورد استفاده معلوم باشد، می توان قدرت چشمۀ را به سادگی محاسبه کرد. به عنوان مثال در مورد $[^{131}\text{I}]$ که پرتو های گاما می آن در شکل ۷.۴ و ضرایب جذب واقعی هر یک از پرتو ها در شکل ۱۸.۵ آمده است، داریم:

انرژی کوانتمی (MeV)	تعداد فوتون به ازای هر فروپاشی	ضریب جذب انرژی برای هوا
۰.۷۲۳	۰.۵۱۶	$۳.۸ \times 10^{-۳} \text{ m}^{-۱}$
۰.۶۳۷	۰.۵۶۹	۳.۹×10^{-۳}
۰.۵۰۳	۰.۵۰۳	۳.۸×10^{-۳}
۰.۴۲۶	۰.۵۰۲	۳.۸×10^{-۳}
۰.۱۷۷	۰.۵۰۲	۳.۴×10^{-۳}
۰.۳۶۵	۰.۸۵۳	۳.۸×10^{-۳}
۰.۲۸۴	۰.۵۵۱	۳.۷×10^{-۳}
۰.۰۸۰	۰.۵۵۱	۳.۲×10^{-۳}
۰.۱۶۴	۰.۵۰۶	۳.۳×10^{-۳}

با توجه به انرژی جذب شده در واحد جرم هوا در فاصلۀ معینی از چشمۀ نقطه ای 1 MBq در اثر شار فوتونی در آن فاصله، سطح پرتو دهی تابش گاما را با استفاده از معادله (۱۵.۶) می توان محاسبه کرد

$$\dot{X} = \frac{f / t \times E \text{ MeV}}{4\pi(1 \text{ m})^2 \times \rho \text{ kg/m}^3 \times 3.6 \times 10^6 \text{ s/h} \times \mu \text{ m}^{-1}} \quad (15.6)$$

$$\times 1 \times 10^6 \text{ tps/MBq} \times 3.6 \times 10^2 \text{ s/h} \times \mu \text{ m}^{-1} \quad (15.6)$$

که در آن X آهنگ پرتوگیری (کولن بر کیلوگرم بر ساعت)، μ کسر تبدیلاتی است که منجر به تولید یک فوتون با انرژی کوانتمی مورد نظر می‌شوند، E انرژی فوتون (MeV)، μ ضریب جذب خطی انرژی (m^{-1})، و ρ چگالی هوا (kg/m^3) است. این محاسبه را برای انواع مختلف انرژی فوتونها انجام می‌دهند، و از مجموع آنها قدرت چشممه را به دست می‌آورند. به عنوان مثال، برای پرتوگامای 580 MeV ، محاسبه به شرح زیر خواهد بود

$$\dot{X} = \frac{51 \times 10^6 \times 8 \times 10^{-2} \times 10^{-13} \times 1 \times 10^6}{4\pi(1)^2 \times 1.293 \times 34} \times 10^3 \times 3.2 \times 10^{-3}$$

$$= 1.36 \times 10^{-11} \frac{\text{C}/(\text{kg}\cdot\text{h})}{\text{MBq}}$$

آهنگ پرتودهی هر کدام از سایر فوتونهای گسیل شده از $[131]$ را با همین روش می‌توان محاسبه کرد، بجز اینکه ضریب جذب و کسر فراوانی هر یک از فوتونهای با انرژی مختلف را باید در نظر گرفت. نتایج حاصل از این محاسبات را در جدول زیر مشاهده می‌کنید:

انرژی کوانتمی (MeV)	در فاصله ۱ متری (MeV)
۰.۷۲۳	4.583×10^{-11}
۰.۶۳۷	1.7787×10^{-11}
۰.۵۰۳	0.598×10^{-11}
۰.۳۲۶	0.258×10^{-11}
۰.۱۷۷	0.126×10^{-11}
۰.۳۶۵	1.23400×10^{-11}
۰.۲۸۴	0.569×10^{-11}
۰.۰۸۰	0.361×10^{-11}
۰.۱۶۴	0.339×10^{-11}
در یک متر $\frac{\text{C}/\text{kg}\cdot\text{h}}{\text{MBq}} = \text{جمع کل}$	

۱. در هر t تبدیل هسته‌ای f فوتون گسیل می‌شود.

معادله (۱۵.۶) شامل چندین مقدار ثابت است که عبارت اند از: $1 \times 10^6 \times 10^{-13} J/MeV, 36 \times 10^3 s/h, MBq, 4\pi(1, 2, 3, 4\pi)^2, 10293 kg/m^3$. اگر این مقادیر ثابت باهم ترکیب شوند، قدرت چشم در فاصله ۱ متری، Γ ، بر حسب C/kg به ازای هر MBq از رابطه زیر بدست می آید

$$\Gamma = 1043 \times 10^{-6} \sum_i f_i \times E_i \times \mu_i \frac{(C/kg)m^2}{MBq.h} \quad (16.6)$$

که در آن f_i کسر تبدیل ایزوتوپ برای گسیل نامین فوتون، E_i انرژی نامین فوتون، و

جدول ۳.۶ گسیل ویژه پرتو گاما برای چند ایزوتوپ پرتوزا.

Γ	ایزوتوپ	
$\frac{X \cdot m^2}{MBq \cdot h}$	$\frac{R \cdot m^2}{Ci \cdot h}$	
$1.67E-09$	۰.۲۴	آنتیموان-۱۲۲
$2.30E-09$	۰.۳۳	سزیم-۱۳۷
$1.11E-10$	۰.۰۱۶	کروم-۵۱
$9.19E-09$	۱.۳۲	کبات-۶۰
$1.60E-09$	۰.۲۳	طلای-۱۹۸
$2.87E-10$	۰.۰۰۷	یلد-۱۲۵
$1.52E-09$	۰.۰۲۲	یلد-۱۳۱
$3.34E-09$	۰.۰۴۸	ایریدیم-۱۹۲
$9.05E-10$	۰.۱۳	جیوه-۲۰۳
$1.39E-09$	۰.۰۱۴	پتاسیم-۲۲
$5.75E-09$	۰.۰۸۲۵	رادیم-۲۲۶
$8.36E-09$	۱.۲۰	سلدیم-۲۲
$1.28E-09$	۱.۰۸۴	سلدیم-۲۴
$1.88E-09$	۰.۰۲۷	روی-۶۵

$1X = 1C/kg *$ (یکای ایکس)

مل ضریب جذب خطی انرژی در هوا برای نامین فوتون است. در اکثر موارد، معادله (۱۶.۶) را می‌توان ساده کرد. در مورد انرژیهای کوانتمی از 2 MeV تا 2 keV ضریب جذب خطی انرژی فقط اندکی با انرژی تغییر می‌کند. مل در این گستره در حدود $10^{-3} \text{ m}^2 \times 10^{-5} \times 35 \times 10^{-9} \sum_i f_i \times E_i \frac{(\text{C/kg}) \text{ m}^2}{\text{MBq} \cdot \text{h}}$ به شکل زیر ساده می‌شود

$$\Gamma = 365 \times 10^{-9} \sum_i f_i \times E_i \frac{(\text{C/kg}) \text{ m}^2}{\text{MBq} \cdot \text{h}} \quad (17.6)$$

هرگاه پرتودهی بر حسب رونتگن و فعالیت بر حسب کوری اندازه گیری شود، گسیل ویژه پرتو گاما تقریباً برابر است با

$$\Gamma = 50 \sum_i f_i \times E_i \frac{\text{R} \cdot \text{m}^2}{\text{Ci} \cdot \text{h}} \quad (18.6)$$

در جدول ۳.۶ گسیل ویژه پرتو گاما برای چند ایزوتوب که غالباً مورد نیاز متخصصان فیزیک بهداشت هستند، آمده است.

رسوب ایزوتوبهای پرتوزا در داخل بدن

تابش ذرهای

دز جذب شده حاصل از ایزوتوبهای پرتوزا در رسوب یافته در داخل بدن را می‌توان مستقیماً با استفاده از تعریف گری محاسبه کرد. در یک محیط بزرگ و نامتناهی، که در آن ایزوتوب پرتوزا به طور یکنواخت توزیع شده است، تراکم انرژی جذب شده باید با تراکم انرژی گسیل شده به وسیله ایزوتوب برابر باشد. بنابراین، این روش جذب شده در واحد جرم به ازای هر واپاشی را انرژی مؤثر ویژه (SEE) می‌گویند. برای مقاصد عملیاتی فیزیک بهداشت، مفهوم «بزرگ و نامتناهی» را می‌توان به تقریب جرم بافتی در نظر گرفت که ابعاد آن از برد تابش ایزوتوب توزیع شده بیشتر است. در مورد تابش آلفا و بیشتر موارد تابش بتا این شرط در عمل به راحتی برآورده می‌شود، و انرژی مؤثر ویژه صرفاً از تقسیم انرژی متوسط تابش بر جرم بافتی که این انرژی در آن توزیع شده است، به دست می‌آید

$$\text{SEE}(\alpha \text{ یا } \beta) = \frac{\bar{E}(\alpha \text{ یا } \beta)}{m} \frac{\text{MeV}}{\text{t}} / \text{kg} \quad (19.6)$$

مثال زیر، روش محاسبه دز تابش جذب شده از یک گسیلنده بتا با توزیع یکنواخت را در داخل بافت نشان می‌دهد.

مثال ۶.۶

یک بیضه به وزن ۱۸ گرم محتوی $Bq \times 6660$ ایزوتوپ پرتوزا S^{35} با توزیع یکنواخت است، آهنگ دز روزانه آن را حساب کنید.

حل: در این مثال گوگرد گسیلندۀ خالص بناست که انرژی بیشینه آن برابر 1672 MeV و میانگین انرژی آن برابر 488 MeV است. آهنگ دز ناشی از $q\text{ Bq}$ پرتو بتا که به طور یکنواخت در بافتی به جرم $m\text{ kg}$ توزیع شده است، در صورتی که انرژی مؤثر ویژه به ازای هر واپاشی در هر کیلو گرم برابر SEE(MeV) باشد عبارت است از

$$\dot{D}(\beta) = \frac{q\text{ Bq} \times 1\text{ tps/Bq} \times \text{SEE} \frac{\text{MeV}}{\text{t}} \text{ kg} \times 16 \times 10^{-13}\text{ J/MeV}}{1\frac{\text{J}}{\text{kg}} / \text{Gy}} \times 864 \times 10^4 \text{ s/d} \quad (20.6)$$

با قراردادن معادله (۱۹.۶) در (۲۰.۶) خواهیم داشت

$$\begin{aligned} \dot{D}(\beta) &= \frac{q\text{ Bq} \times 1\text{ tps/Bq} \times \bar{E} \text{ MeV/t} \times 16 \times 10^{-13}\text{ J/MeV}}{m\text{ kg} \times 1\frac{\text{J}}{\text{kg}} / \text{Gy}} \\ &= \frac{6 \times 10^3 \times 1 \times 488 \times 10^{-2} \times 16 \times 10^{-13} \times 864 \times 10^4}{0.18 \times 1} \\ &= 25 \times 10^{-4} \text{ Gy/d} (5025 \text{ rad/d}) \end{aligned} \quad (21.6)$$

نیمه عمر مؤثر

با گرفتن انتگرال از آهنگ دز در فاصله زمانی لازم، می‌توان دز کلی جذب شده در بیضه را در یک فاصله زمانی معین بعد از رسوب گوگرد محاسبه کرد. در این محاسبه دو عامل را باید در نظر گرفت.

۱. واپاشی فیزیکی ایزوتوپ پرتوزا؛
۲. دفع زیست‌شناختی ایزوتوپ.

در اکثر موارد، دفع زیست‌شناختی از سینتیک مرتبه اول تبعیت می‌کند. در این صورت، مقدار ایزوتوپ پرتوزا در داخل عضو، در زمان t بعد از رسوب مقدار Q_0 عبارت است از

$$Q = (Q_0 e^{-\lambda_R t})(e^{-\lambda_B t}) \quad (22.6)$$

که در آن λ_R ثابت واپاشی ایزوتوپ پرتوزا، و λ_B ثابت دفع زیست‌شناختی است، دوتابع نمایی در معادله (22.6) را می‌توان به صورت زیر تلفیق کرد

$$Q = Q_0 e^{-(\lambda_R + \lambda_B)t} \quad (23.6)$$

و با قراردادن

$$\lambda_E = \lambda_R + \lambda_B \quad (24.6)$$

خواهیم داشت

$$Q = Q_0 e^{-\lambda_E t} \quad (25.6)$$

که در آن λ_E ثابت دفع مؤثر نامیده می‌شود. بدین‌سان، نیمه‌عمر مؤثر برابر خواهد بود با

$$T_E = \frac{0.693}{\lambda_E} \quad (26.6)$$

با در نظر گرفتن رابطه بین λ_E , λ_R , و λ_B خواهیم داشت

$$\frac{1}{T_E} = \frac{1}{T_R} + \frac{1}{T_B} \quad (27.6)$$

با

$$T_E = \frac{T_R \times T_B}{T_R + T_B} \quad (28.6)$$

در مثال ۶.۶ برای S^{35} داریم: (روز) $T_R = 871$ روز و T_B یا نیمه‌عمر زیست‌شناختی ایزوتوپ در بیضه برابر ۶۲۳ روز است. بنا بر این، نیمه‌عمر مؤثر عبارت خواهد بود از

$$T_E = \frac{871 \times 623}{871 + 623} = 764 \text{ d}$$

و ثابت دفع مؤثر برابر است با

$$\lambda_E = \frac{0.693}{764} = 0.009 \text{ d}^{-1}$$

دز کل: انباشت دز

مقدار دز دریافتی در فاصله زمانی بینهاست کوچک d ، در زمان t پس از دریافت دز اولیه با آهنگ \dot{D}_0 ، برابر است با

$$dD = \dot{D}_0 e^{-\lambda_E t} dt$$

$$= \dot{D}_0 e^{-\lambda_E t} dt \quad (29.6)$$

دز کل در فاصله زمانی τ پس از رسوب ایزوتوپ عبارت است از

$$D = \dot{D}_0 \int_0^\tau e^{-\lambda_E t} dt \quad (30.6)$$

که پس از انگرال گیری، حاصل می‌شود

$$D = \frac{\dot{D}_0}{\lambda_E} (1 - e^{-\lambda_E \tau}) \quad (31.6)$$

برای یک زمان بینهاست طولانی، یعنی مدت زمانی که طی آن ایزوتوپ کاملاً از بین می‌رود، معادله (31.6) به صورت خلاصه زیر در می‌آید

$$D = \frac{\dot{D}_0}{\lambda_E} \quad (32.6)$$

«زمان بینهاست طولانی» در موارد عملی متناظر است با تقریباً شش برابر نیمه عمر مؤثر. لازم به تذکر است که دز ناشی از واپاشی کل صرفاً برابر است با حاصلضرب آهنگ اولیه دز (\dot{D}_0) در عمر میانگین ایزوتوپ پرتوزا در داخل اندام ($1/\lambda_E$). بنا بر این، در مثال ۶.۶ دز جذب شده در طی پنج روز اولیه بعد از رسوب گوگرد پرتوزا در بیضه از معادله (31.6) به دست می‌آید

$$D = \frac{25 \times 10^{-4} \text{ Gy/d}}{1 \times 5 \times 10^{-4} \text{ d}^{-1}} (1 - e^{-0.0009 \text{ d}^{-1} \times 5 \text{ d}})$$

$$= 152 \times 10^{-4} \text{ Gy} (0.152 \text{ rad})$$

و دز واپاشی کل، از معادله (32.6) نتیجه می‌شود

$$D = \frac{25 \times 10^{-4} \text{ Gy/d}}{0.0009 \text{ d}^{-1}} = 27.8 \text{ Gy} (27.8 \text{ rad})$$

کل دز جذب شده ۲۷.۸ Gy از رسوب گوگرد پرتوزا را دز انباشته این تابش در

بیضه‌می گویند. ذاًنباشته را به صورت ذر جذب شده از یک عمل معین یا از یک پرتوگیری معین تعریف می‌کنند. اگرچه انباشت ذر در این مثال مر بوط به ایزوتوب پرتوزای رسوب یافته در داخل بود، ولی مفهوم آن برای تابش ناشی از چشم‌های خارج از بدن نیز همانند تابش ناشی از ایزوتوبهای پرتوزای داخلی قابل استفاده است.

در مثال بالا، رفتار بیضه طوری است که گویی ایزوتوب پرتوزا فقط در یک محل انباشته شده است، در صورتی که ایزوتوب پرتوزا اغلب در بیش از یک قسمت ذخیره می‌شود. مواد رسوب شده در هر قسمت از سینتیک مرتبه اول پیروی می‌کند، و با آهنگ دفع خاص خود تخلیه می‌شود. مثلاً معلوم شده است که سزیم به طور یکنواخت در تمام بدن توزیع می‌شود، اما بدن انسان طوری رفتار می‌کند که گویی سزیم در دو قسمت انباشته شده است. یک قسمت شامل ۱۵٪ بار بدنه کل با نیمه عمر احتجاس ۲ روز، و قسمت دیگر شامل ۹۵٪ محتوای سزیم بدن با نیمه عمر دفع ۱۱۵ روز است. بنابراین، منحنی احتجاس سزیم از معادله زیر به دست می‌آید

$$q(\tau) = q_{10} e^{-0.06932/110\tau} + q_{20} e^{-0.056932/24\tau} \quad (33.6)$$

که در آن q بار بدنه پس از گذشت زمان τ از رسوب مقدار q از ایزوتوب سزیم در بدن است. مقدار ۱۵٪ بار کل در قسمت اول و ۹۵٪ در قسمت دوم رسوب می‌کند. معمولاً اگر بیش از یک قسمت وجود داشته باشد، بار بدنه پس از گذشت زمان τ از رسوب مقدار q از رابطه زیر به دست می‌آید

$$q(\tau) = q_{10} e^{-\lambda_{10}\tau} + q_{20} e^{-\lambda_{20}\tau} + \dots + q_{n0} e^{-\lambda_{n0}\tau} \quad (34.6)$$

که در آن $q_{10}, q_{20}, \dots, q_{n0}$ به ترتیب مقدار رسوب اولیه در قسمتهای ۱، ۲، ...، و n و $\lambda_1, \lambda_2, \dots, \lambda_n$ آهنگ دفع مؤثر از قسمت ۱، ۲، ...، و n را نشان می‌دهد.

چون فعالیت هر قسمت سهمی در ذر اندام یا بافت بدن دارد، معادله (۳۱.۶) برای موارد چند قسمتی چنین خواهد شد

$$D = \frac{\dot{D}_{10}}{\lambda_{1E}} (1 - e^{-\lambda_{1E}\tau}) + \frac{\dot{D}_{20}}{\lambda_{2E}} (1 - e^{-\lambda_{2E}\tau}) + \dots + \frac{\dot{D}_{n0}}{\lambda_{nE}} (1 - e^{-\lambda_{nE}\tau}) \quad (35.6)$$

و در حالتی که ایزوتوب کاملاً از بین رفته باشد، معادله (۳۵.۶) به صورت زیر در می‌آید

$$D = \frac{\dot{D}_{10}}{\lambda_{1E}} + \frac{\dot{D}_{20}}{\lambda_{2E}} + \dots + \frac{\dot{D}_{n0}}{\lambda_{nE}} \quad (36.6)$$

گسیلندهای گاما

در مورد ایزوتوپهای گسیلنده گاما محاسبه دز جذب شده با فرض بی‌نهاست بزرگ‌گرفتن اندام به آسانی میسر نیست، زیرا تابش گاما نفوذپذیری زیادی دارد و می‌تواند فوائل زیادی را در درون بافت طی کند، و بدون آنکه با بافت برهم‌کنشی داشته باشد آن را ترک کند. از این‌رو، فقط کسری از انرژی فوتونها بی‌کش در ایزوتوپ پرتوزای داخل بافت تولید می‌شوند در آن بافت جذب می‌شود.

همان‌گونه که در شکل ۸.۶ نشان داده شده است، برای ایزوتوپ گاما گسیلی که به طور یکنواخت توزیع شده است، آهنگ دز در نقطه‌ای مانند p در اثر ایزوتوپهای موجود در حجم بی‌نهاست کوچک V که به فاصله r از p قرار دارد به صورت زیر خواهد بود

$$dD = C \Gamma \frac{e^{-\mu r}}{r^2} dV \quad (37.6)$$

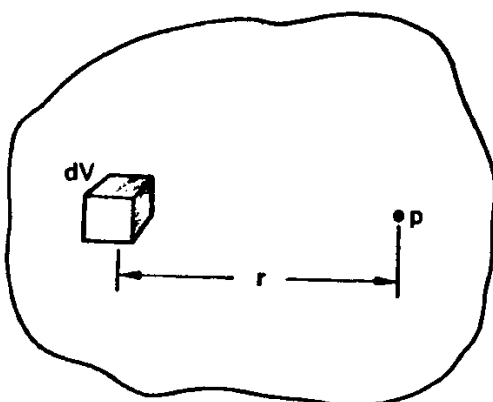
که در آن C تراکم ایزوتوپ، Γ گسیل ویژه پرتو گاما، و μ ضریب خطی جذب انرژی است. آهنگ دز ناشی از کل ایزوتوپ موجود در بافت در نقطه p از انتگرال زیر محاسبه می‌شود

$$D = C \Gamma \int_0^r \frac{e^{-\mu r}}{r^2} dV \quad (38.6)$$

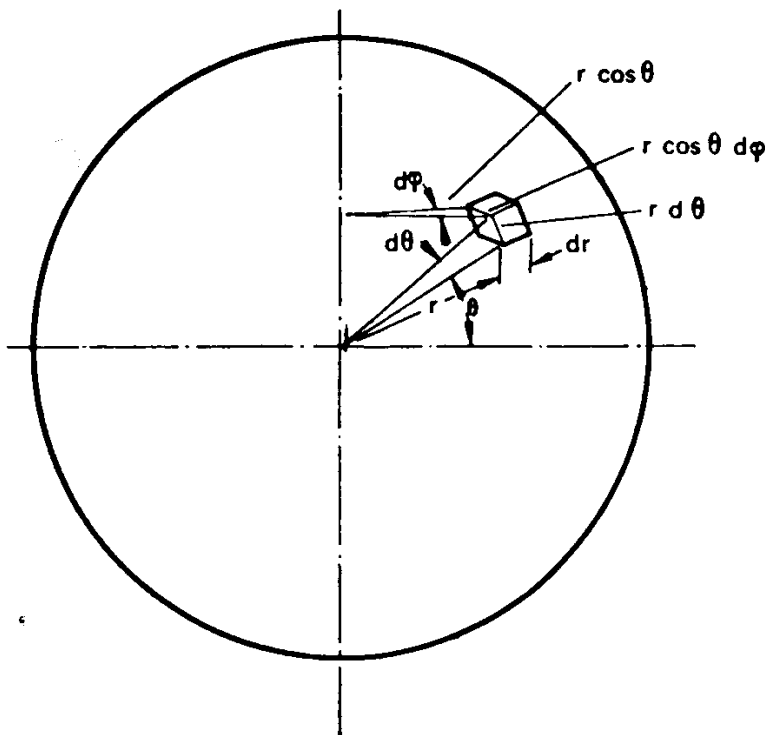
در حالت محیط کروی، آهنگ دز در مرکز کره عبارت است از

$$D = 4C \Gamma \int_{r=0}^{r=R} \int_{\theta=0}^{\theta=\pi/2} \int_{\varphi=0}^{\varphi=\pi} \frac{e^{-\mu r}}{r^2} \cdot r d\theta \cdot r \cos \theta d\varphi \cdot dr \quad (39.6)$$

با انتگرال گیری نسبت به هر یک از متغیرها می‌توان آهنگ دز در مرکز کره را به دست آورد



شکل ۸.۶ نمودار محاسبه دز ناشی از پرتوهای گاما ای گسیل شده از جزء حجم dV در نقطه p در محیطی که ایزوتوپ پرتوزا به طور یکنواخت در آن توزیع شده است.



شکل ۹.۶ طرح هندسی استفاده از معادله (۳۸.۶) برای محاسبه دزجذب شده در من کز کره.

$$D = D\Gamma \cdot \frac{4\pi}{\mu} (1 - e^{-\mu R}) \quad (40.6)$$

از بررسی معادلات (۳۷.۶)، (۳۸.۶)، و (۳۹.۶) به این نتیجه می‌رسیم که ضریب $C\Gamma$ فقط به شکل هندسی اندام مورد نظر بستگی دارد، به همین دلیل آن را عامل هندسی می‌گویند. عامل هندسی را با g نشان می‌دهند و به صورت زیر تعریف می‌کنند

$$g = \int_0^V \frac{e^{-\mu r}}{r^2} dV \quad (41.6)$$

بنابراین، معادله (۳۸.۶) به صورت زیر بازنویسی می‌شود

$$D = C\Gamma g \quad (42.6)$$

تعریفی از g که با معادله (۴۱.۶) داده شد، در مورد هر نقطه‌ای از حجم بافت مورد نظر صادق است. در فیزیک بهداشت، در اکثر موارد آهنگ دز میانگین مورد نظر است نه آهنگ دز در یک نقطه میانگین. برای این منظور عامل هندسی میانگین را به صورت زیر تعریف می‌کنیم

$$\bar{g} = \frac{1}{V} \int g dV \quad (43.6)$$

جدول ۴.۶ عوامل هندسی میانگین برای استوانه‌های مختلف محتوی ایزوتوبهای گسیلنده گاما با توزیع یکنواخت.

شعاع استوانه به cm								ارتفاع استوانه cm به
۳۵	۳۰	۲۵	۲۰	۱۵	۱۰	۵	۳	
۳۹۰۳	۳۸۰۶	۳۷۰۵	۳۶۰۲	۳۴۰۰	۳۰۰۳	۲۲۰۱	۱۷۰۵	۲
۷۰۰۵	۶۷۰۹	۶۵۰۲	۶۱۰۶	۵۶۰۴	۴۷۰۷	۳۱۰۸	۲۲۰۳	۵
۱۰۳	۹۸۰۴	۹۳۰۴	۸۶۰۵	۷۶۰۱	۶۱۰۳	۳۸۰۱	۲۵۰۱	۱۰
۱۳۳	۱۲۶	۱۱۷	۱۰۵	۸۹۰۸	۶۸۰۹	۴۰۰۵	۲۵۰۷	۲۰
۱۴۶	۱۳۷	۱۲۶	۱۱۲	۹۴۰۶	۷۱۰۳	۴۱۰۵	۲۵۰۹	۳۰
۱۵۳	۱۴۳	۱۳۱	۱۱۶	۹۶۰۵	۷۲۰۴	۴۱۰۳	۲۵۰۹	۴۰
۱۵۹	۱۴۸	۱۳۴	۱۱۸	۹۷۰۸	۷۳۰۵	۴۱۰۶	۲۶۰۵	۶۰
۱۶۱	۱۵۰	۱۳۵	۱۱۹	۹۸۰۴	۷۳۰۳	۴۱۰۶	۲۶۰۵	۸۰
۱۶۲	۱۵۰	۱۳۶	۱۱۹	۹۸۰۵	۷۳۰۳	۴۱۰۶	۲۶۰۵	۱۰۰

که در مورد کره چنین خواهد شد

$$\bar{g} = \frac{4}{3} g_{\text{مرکز}} \quad (44.6)$$

اما عامل هندسی برای هر نقطه‌ای از کره که به فاصله d از مرکز قرار داشته باشد، عبارت است از

$$g_d = g_{\text{مرکز}} \left[0.5 + \frac{1 - (d^2/R)}{4(d/R)} \ln \frac{1+d/R}{|1-d/R|} \right] \quad (45.6)$$

عامل هندسی میانگین برای استوانه، به شعاع و ارتفاع آن بستگی دارد. جدول ۴.۶ مقادیر عددی \bar{g} را در استوانه‌هایی به شعاع و ارتفاع مختلف به دست می‌دهد.

مثال ۷.۶

یک مخزن کروی به گنجایش ۱ متر مکعب و شعاع ۲۶۰۰ متر از پسماند مایع ^{137}Cs با

فعالیت کل (1Ci) 37000 MBq پرشده است. اگر مقدار جذب در دیواره مخزن ناچیز فرض شود، آهنگ دز در سطح مخزن چقدر است؟

حل: از روی جدول ۳.۶ مقدار Γ در فاصله ۱ متری برابر با $10^{-9} \times 23$ یکای ایکس بر ساعت بر MBq به دست می‌آید. چون آب $X/\text{Gy} = 38$ است، آهنگ دز در فاصله ۱ متری برابر $10^{-8} \times 23 \times 38 = 874$ گری بر ساعت بر MBq خواهد شد. ضریب جذب آب برای پرتوهای گاما می‌باشد. بنابر جدول ۳.۵ برابر 30.5 برابر $50327 \text{ cm}^2/\text{g}$ است. چون چگالی آب برابر 1 g/cm^3 است، ضریب جذب خطی برابر 50327 بر سانتی‌متر یا 50327 rad/m^2 خواهد بود. آهنگ دز در مرکز کره، با گذاشتن مقادیر مربوط در معادله (۴۵.۶) به دست خواهد آمد.

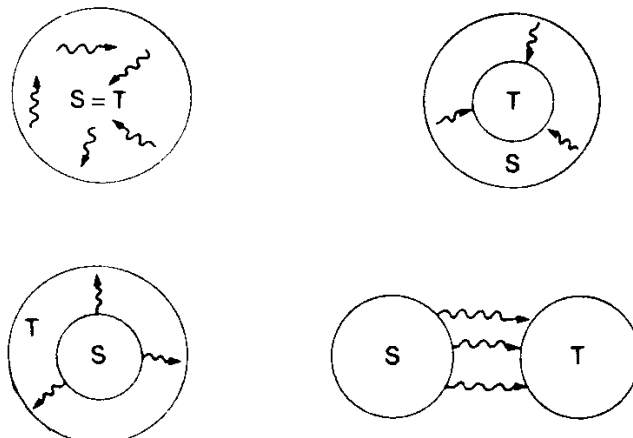
$$\begin{aligned} \dot{D}_0 &= 37 \times 10^4 \text{ MBq/m}^3 \times 874 \times 10^{-8} \frac{\text{Gy} \cdot \text{m}^2}{\text{MBq} \cdot \text{h}} \\ &\quad \times \frac{4\pi}{50327 \text{ m}^{-1}} (1 - e^{-50327 \times 0.62}) \\ &= 108 \times 10^{-2} \text{ Gy/h} (108 \text{ rad/h}) \end{aligned}$$

از معادله (۴۵.۶) به این نتیجه می‌رسیم که آهنگ دز سطحی برابر با $D_0 \times 5$ است. $\therefore \dot{D}_0 = 54 \times 10^{-2} \text{ Gy/h} (54 \text{ rad/h})$

روش MIRD

کمیته دز تابش داخلی درمانی (MIRD) انجمن پزشکی هسته‌ای برای محاسبه جذب جزئی انرژی پرتو گاما در اندامها و بافتها روشی ارائه داده است که با آن می‌توان دز جذب شده در اندام یا بافت «هدف» (T) را بر اثر تابش اندام «چشم» (S) که ایزوتوپ پرتوزا در آن به طور یکنواخت توزیع شده است محاسبه کرد. این روش بر مفهوم کسر جذب شده مبنی است، یعنی کسری از انرژی تابیده از اندام چشم که در اندام هدف جذب می‌شود. S و T می‌توانند یک اندام و یا دو اندام مختلف باشند که به یکی از صورتها بیان کرد. در شکل ۱۵.۶ دیده می‌شود باهم ارتباط دارند. این کسرهای جذب شده را می‌توان با اعمال روش‌های مونت کارلو در مورد برهم‌کنش فوتونها یا الکترونهای گسیل شده از نوکلید پرتوزای رسوب یافته محاسبه کرد.

برای حل مسائلی چون برهم‌کنش فوتونها با ماده که بیشتر تابع قانون احتمالات است تا قانون قطعی باید از روش‌های مونت کارلو سود جست. در راه حل‌های مونت کارلو، تک تک فوتونها (یا هر تابش ذره‌ای دیگری) توسط کامپیوتر شبیه‌سازی می‌شود و برهم‌کنش آنها در تمام مراحل مورد «رسیدگی» قرار می‌گیرد. چون فرض براین است که ایزوتوپ



شکل ۱۵.۶ ارتباط فیزیکی ممکن میان اندامهای چشم و هدف.

پرتوza در سرتاسر یک حجم معین به طور یکنواخت توزیع می‌شود، و چون تبدیل بر توza یک فرایند کترهای است که با آهنگ متoste که مشخصه ذاتی هر ایزوتوپ معین است به وجود آمد، می‌توانیم این فرایند را با راه اندازی کترهای یک تبدیل پرتوza آغاز کنیم (این فرایند کترهای را در فضا و زمان در نظر می‌گیریم و آن را محدود به حجم معین و ثابت واپاشی نوکلید مشخص می‌دانیم). در اینجا انرژی تابش گسیل شده، نقطه شروع حرکت، و جهت اولیه حرکت ذره تابشی در هر کدام از این تبدیلهای معلوم است. همچنین احتمال هر نوع برهم کنش ممکن در داخل اندام، و انرژی منتقل شده طی برهم کنش نیز معلوم است. با راه اندازی تعداد بسیار زیادی از این تبدیلات هسته‌ای، دنبال کردن تاریخچه هر ذره ضمن عبور آن از بافت هدف، و جمع کردن مقدار کل انرژی که ذرات در داخل این بافت هدف از دست می‌دهند، هر وضعیتی قابل شبیه‌سازی است. به عنوان مثال برای تهر کز 1 Bq در هر سانتی متر مکعب بافت، به ۱ تبدیل هسته‌ای در هر سانتی متر مکعب در ثانیه نیاز خواهد بود. چون مجموع انرژیهای اولیه چنین ذراتی معلوم است، کسر انرژی گسیل شده را که در بافت هدف جذب می‌شود می‌توان به صورت زیر محاسبه کرد

$$\text{انرژی جذب شده در هدف} = \frac{\text{انرژی گسیل شده از چشم}}{\text{انرژی گسیل شده از چشم}} \quad (۴۶.۶)$$

چون معمولاً مسافت آزاد میانگین فوتونها نسبت به ابعاد اندامی که ایزوتوپ گسیلنده فوتون در آن توزیع می‌شود بزرگتر است، این کسر جذب شده برای فوتونها از واحد کوچکتر خواهد بود. برای تابش غیرنفوذی، کسر جذب شده، بسته به اینکه اندامهای هدف و چشم یکی باشند یا دو اندام مختلف، اغلب ۱ یا صفر است. کمیته MIRD طی چندین پیوست در مجله *Journal of Nuclear Medicine*، کسرهای جذب شده ناشی از فوتونهای بالانرژی مختلف از چشم‌های نقطعه‌ای همسانگرد و چشم‌هایی که به طور یکنواخت در بافت و در آب توزیع شده‌اند را برای اشکال کره، استوانه، و بیضوی محاسبه و منتشر کرده است. نمونه‌ای از مقادیر را در جدولهای ۵.۶، ۶.۶، و ۷.۶ مشاهده می‌کنید.

جدول ۵.۶ کسرهای جذب شده برای توزیع یکنواخت فعالیت در کره‌های کوچک و بیضویهای ضخیم^۱

جرم (کیلوگرم)	MeV بر حسب Φ										
0.020	0.030	0.040	0.060	0.080	0.100	0.160	0.364	0.662	1.460	2.750	
0.3	0.684	0.357	0.191	0.109	0.086	0.085	0.087	0.099	0.096	0.092	0.077
0.4	0.712	0.388	0.212	0.121	0.096	0.093	0.097	0.108	0.108	0.099	0.083
0.5	0.731	0.412	0.229	0.131	0.104	0.099	0.104	0.116	0.117	0.104	0.089
0.6	0.745	0.431	0.244	0.140	0.111	0.105	0.111	0.122	0.124	0.109	0.093
1.0	0.780	0.486	0.289	0.167	0.135	0.125	0.130	0.142	0.144	0.125	0.106
2.0	0.818	0.559	0.360	0.212	0.173	0.160	0.162	0.174	0.173	0.153	0.127
3.0	0.840	0.600	0.405	0.245	0.201	0.188	0.186	0.197	0.195	0.174	0.143
4.0	0.856	0.629	0.438	0.271	0.222	0.209	0.205	0.216	0.213	0.190	0.156
5.0	0.868	0.652	0.464	0.294	0.241	0.227	0.222	0.231	0.228	0.204	0.167
6.0	0.876	0.671	0.485	0.312	0.258	0.241	0.236	0.245	0.240	0.216	0.177

۹. محورهای اصلی کره‌های کوچک و بیضویهای ضخیم به نسبت ۱/۱/۱ و ۱۳۳/۶۴۷/۰۵ هستند.

جدول ۶.۶ کسرهای جذب شده چشم‌های مرکزی در استوانهای قائم با مقطع دایره^۱

جرم (کیلوگرم)	MeV بر حسب Φ					
	0.040	0.080	0.160	0.364	0.662	1.460
2	0.528	0.258	0.224	0.240	0.229	0.200
4	0.645	0.336	0.290	0.295	0.288	0.253
6	0.712	0.391	0.335	0.333	0.326	0.286
8	0.757	0.435	0.370	0.363	0.354	0.311
10	0.789	0.471	0.399	0.387	0.376	0.332
20	0.878	0.593	0.501	0.472	0.453	0.401
30	0.917	0.668	0.568	0.528	0.504	0.446
40	0.940	0.721	0.618	0.571	0.543	0.480
50	0.954	0.761	0.658	0.605	0.575	0.509
60	0.964	0.792	0.691	0.633	0.602	0.533
70	0.971	0.818	0.719	0.658	0.625	0.553
80	0.977	0.838	0.743	0.679	0.646	0.572
90	0.981	0.856	0.763	0.698	0.664	0.588
100	0.984	0.871	0.781	0.714	0.680	0.603
120	0.989	0.894	0.811	0.742	0.708	0.629
140	0.992	0.911	0.834	0.765	0.730	0.651
160	0.994	0.924	0.852	0.784	0.749	0.669
180	0.994	0.933	0.866	0.800	0.765	0.685
200	0.994	0.939	0.877	0.813	0.777	0.698

۹. نسبت محورهای اصلی استوانهها به صورت ۷۵/۰۱ است.

جدول ۷.۶ کسرهای جذب شده چشمهای نقطه‌ای مرکزی در کرهای.

جرم (کیلوگرم)	ϕ بر حسب MeV									
	0.020	0.030	0.040	0.060	0.100	0.140	0.160	0.279	0.662	2.750
2	0.989	0.794	0.537	0.322	0.243	0.233	0.234	0.241	0.235	0.168
4	0.996	0.878	0.658	0.421	0.317	0.301	0.297	0.302	0.293	0.209
6	0.999	0.916	0.727	0.488	0.370	0.348	0.342	0.344	0.330	0.238
8	0.999	0.938	0.772	0.540	0.413	0.386	0.379	0.377	0.359	0.259
10	0.999	0.952	0.806	0.581	0.448	0.418	0.409	0.405	0.382	0.277
20	0.999	0.982	0.894	0.709	0.569	0.529	0.517	0.500	0.461	0.339
30	0.999	0.991	0.932	0.780	0.644	0.600	0.587	0.562	0.514	0.380
40	0.999	0.995	0.954	0.826	0.698	0.652	0.639	0.608	0.554	0.411
50	0.999	0.996	0.966	0.859	0.738	0.692	0.679	0.644	0.586	0.436
60	0.999	0.997	0.974	0.882	0.770	0.725	0.712	0.675	0.613	0.457
70	0.999	0.998	0.980	0.900	0.796	0.752	0.739	0.700	0.637	0.476
80	0.999	0.998	0.983	0.915	0.818	0.775	0.762	0.722	0.657	0.492
90	0.999	0.999	0.986	0.926	0.836	0.794	0.781	0.741	0.675	0.507
100	0.999	0.999	0.988	0.935	0.851	0.811	0.799	0.758	0.691	0.520
120	0.999	0.999	0.991	0.948	0.876	0.839	0.827	0.786	0.719	0.544
140	0.999	0.999	0.993	0.958	0.895	0.860	0.849	0.809	0.742	0.564
160	0.999	0.999	0.995	0.965	0.910	0.878	0.867	0.829	0.761	0.582
180	0.999	0.999	0.996	0.971	0.923	0.892	0.882	0.845	0.778	0.598
200	0.999	0.999	0.998	0.976	0.933	0.904	0.894	0.858	0.792	0.612

مثال ۸.۶

به منظور آشنایی با طرز استفاده از کسرهای دز جذب شده، آهنگ دزکرای به وزن ۶۰ کیلوگرم را که از ماده‌ای هم ارز ماده بافت ساخته شده و 1 MBq از ^{131}I در آن به طور یکنواخت توزیع شده است، حساب کنید.

حل: در این مثال، انرژی از ذرات بتا و پرتوهای گاما جذب خواهد شد. چون برد بتا در بافت بسیار اندک است، می‌توانیم فرض کنیم که تمام انرژی پرتوهای بتا جذب می‌شود. اما فقط کسری از انرژی پرتوهای گاما جذب خواهد شد. از این‌رو، کل انرژی جذب شده ^{131}I را به سادگی می‌توان از جمع انرژی پرتو بتای گسیل شده به اضافه کسری از انرژی گامای گسیل شده که در کره جذب می‌شود بدست آورد. این حاصل جمع را انرژی مؤثر به ازای هر تبدیل می‌گسیند. کسر جذب شده پرتوهای گاما به ابعاد محیط جذب کننده و انرژی فوتون بستگی دارد.

اکنون با استفاده از کسرهای دز جذب شده که در جدول ۵.۶ آمده است و درونیابی آن برای انرژیهای پرتو گامایی که میان مقادیر ثبت شده در جدول قرار دارند، می‌توانیم انرژی گامای جذب شده به ازای هر تبدیل ^{131}I را به صورت زیر محاسبه کنیم

$$E_e(\gamma) = \sum_i E_{\gamma i} \times n_i \times \varphi_i \quad (47.6)$$

که در آن $E_e(\gamma)$ انرژی جذب شده پرتو گاما بر حسب MeV به ازای هر تبدیل، n_i تعداد فوتونهای i امین انرژی در هر تبدیل، و φ_i کسر جذب شده انرژی i امین فوتون است.

$E_{\gamma i}$, MeV	n_i	φ_i	انرژی جذب شده MeV/t
0.723	0.016	0.123	0.0014
0.637	0.069	0.124	0.0055
0.503	0.003	0.123	0.0002
0.326	0.002	0.120	0.0001
0.177	0.002	0.112	0.0000
0.365	0.853	0.122	0.0380
0.284	0.051	0.118	0.0017
0.080	0.051	0.111	0.0005
0.164	0.006	0.111	0.0001

$$E_e(\gamma) = 0.0474 \text{ MeV/t}$$

میانگین انرژی پرتو بتا در هر تبدیل [۱۳۱] را که متناظر با انرژی مؤثر بتاهاست، می‌توان با قراردادن انرژیهای میانگین پرتو بتای [۱۳۱] از داده‌های خروجی جدول ۱۱.۶ در معادله (۴۸.۶) محاسبه کرد

$$E_e(\beta) = \sum \bar{E}_{\beta i} \times n_{\beta i} \quad (48.6)$$

$$= (۰۵۷۰۱ \times ۰۵۰۱۶) + (۰۵۹۵۵ \times ۰۵۰۶۹) + (۰۱۴۲۸ \times ۰۵۰۰۵)$$

$$+ (۰۱۹۱۷ \times ۰۵۰۴۶) + (۰۲۸۵ \times ۰۵۰۰۶) = ۰۱۸۳ \text{ MeV/t}$$

انرژی مؤثر به ازای هر تبدیل، E_e ، یا مقدار انرژی جذب شده به وسیله کره هم ارز kg را بافت به ازای هر تبدیل [۱۳۱] برابر است با

$$E_e = E_e(\gamma) + E_e(\beta) \quad (49.6)$$

$$= ۰۵۴۷ + ۰۱۸۳ = ۰۷۳۰ \text{ MeV/t}$$

آهنگ دز m کیلوگرم جرم که انرژی E_e MeV به ازای هر تبدیل از q Bq فعالیت در داخل این جرم جذب می‌کند، برابر است با

$$\dot{D} =$$

$$\frac{q \text{ Bq} \times 1 \text{ tps/Bq} \times E_e \text{ MeV/t} \times 1.6 \times 10^{-13} \text{ J/MeV} \times 8.64 \times 10^4 \text{ s/d}}{m \text{ kg} \times 1 \frac{\text{J}}{\text{kg}} / \text{Gy}}$$

(۵۰.۶)

حال اگر مقادیر $q = 1 \times 10^9 \text{ Bq}$ ، $E_e = 0.230 \text{ MeV/t}$ ، $m = 0.06 \text{ kg}$ را در معادله (۵۰.۶) قرار دهیم، آهنگ دز به دست می آید

$$\dot{D} = 5.530 \times 10^{-3} \text{ Gy/d} (0.530 \text{ rad/d})$$

اکنون به محاسبه دز داخلی با روش MIRD باز می گردیم. دو اندام در بدن را در نظر می گیریم که یکی از آنها حاوی ایزوتوپ پرتوزای با توزیع یکنواخت است که چشمها نامیده می شود (S)، و دیگری هدف یا T است که تحت تابش دهی چشمها قرار می گیرد. S و T می توانند دو اندام همانند یا مختلف باشند که با یکی از روابط هندسی ممکن (شکل ۱۰.۶) بهم مربوط می شوند.

آهنگ گسیل انرژی توسط نوکلید پرتوزا در چشمها در هر لحظه از زمان که توسط i این ذره حمل می شود، با رابطه زیر داده می شود

$$\chi_{ei} = A_s \text{ Bq} \times 1 \text{ tps/Bq} \times \bar{E}_i \text{ MeV/part} \times n_i \text{ part/t} \times 1.6 \times 10^{-13} \text{ J/MeV}$$

(۵۱.۶)

$$= 1.6 \times 10^{-13} A_s \times \bar{E}_i \times n_i \text{ J/s}$$

(۵۲.۶)

که در آن χ_{ei} آهنگ گسیل انرژی بر حسب $A_s \text{ J/s}$ ، n_i تعداد ذرات از نوع i در هر واپاشی است. هر گاه کسری از این انرژی گسیل شده را که در هدف جذب می شود، φ_i بنامیم، آنگاه مقدار انرژی جذب شده در هدف در اثر گسیل چشمها با رابطه زیر داده می شود

$$\chi_{ai} = \chi_{ei} \times \varphi_i = 1.6 \times 10^{-13} \times A_s \times \bar{E}_i \times n_i \times \varphi_i \text{ J/s}$$

(۵۳.۶)

چون هر گری با جذب ۱ ژول بر کیلوگرم متناظر است، آهنگ دز ناشی از ذره i ام در هدفی به وزن m کیلوگرم را می توان به صورت زیر محاسبه کرد

$$\dot{D}_i = \frac{1.6 \times 10^{-13} \times A_s \times \bar{E}_i \times n_i \times \varphi_i \text{ J/s}}{1 \frac{\text{J}}{\text{kg}} / \text{Gy} \times m \text{ kg}}$$

(۵۴.۶)

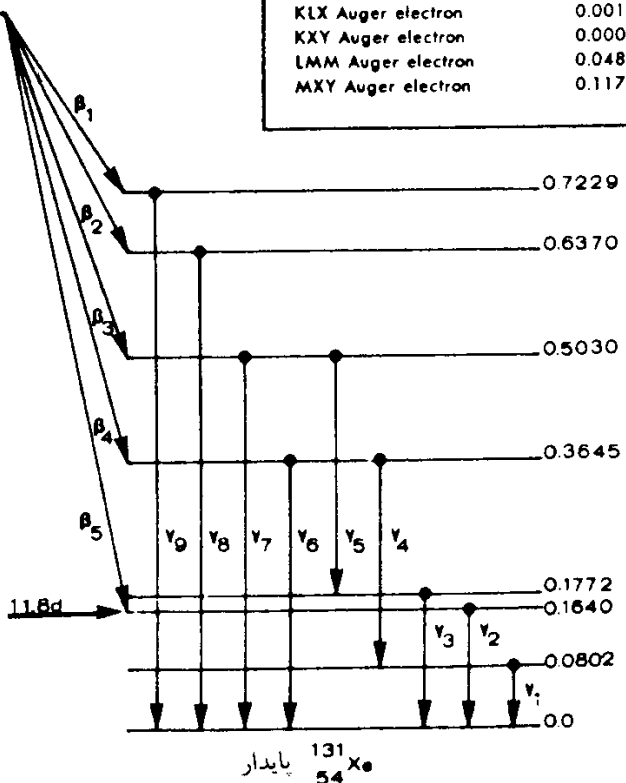
با در نظر گرفتن

داده‌های ورودی				داده‌های خروجی			
تابش	انرژی گذار درصد سایر پارامترهای هسته‌ای (MeV) فروباشی	انرژی گذار درصد سایر پارامترهای هسته‌ای (MeV) فروباشی	تعداد میانگین میانگین در هر فرباشی (n.)	انرژی میانگین در هر فرباشی (E.)	تعداد میانگین میانگین در هر فرباشی (n.)	انرژی میانگین در هر فرباشی (E.)	د. (g-rad) ($\mu\text{Ci}\cdot\text{h}$)
Beta-1	1.6	0.25 Allowed			Beta-1	0.016	0.0701 0.0024
Beta-2	6.9	0.53 Allowed			Beta-2	0.069	0.0955 0.0140
Beta-3	0.5	0.47 Allowed			Beta-3	0.005	0.1428 0.0015
Beta-4	90.4	0.606 Allowed			Beta-4	0.904	0.1917 0.3691
Beta-5	0.6	0.81 First forbidden unique			Beta-5	0.006	0.2856 0.0037
Gamma-1	5.06	0.0802 M1, $\alpha_K = 1.7$, $\alpha_L = 0.17$			Gamma-1	0.0173	0.0802 0.0030
Gamma-2	0.6	0.1640 M4, $\alpha_K = 29$, $K/L = 2.3$			K int. con. electron, gamma-1	0.0294	0.0456 0.0029
Gamma-3	0.18	0.1772 E2, $\alpha_K = 0.189(T)$, $K/L = 4.0$			L int. con. electron, gamma-1	0.0029	0.0751 0.0005
Gamma-4	5.06	0.2843 E2, $\alpha_K = 0.052$, $K/(L+M) = 4.0$			M int. con. electron, gamma-1	0.0010	0.0792 0.0002
Gamma-5	0.18	0.3258 M1, $\alpha_K = 0.0285(T)$, $K/L = 6.0$			Gamma-2	0.0001	0.1640 0.0000
Gamma-6	85.3	0.3645 E2 + 2% M1, $\alpha_K = 0.02$, $K/L = 6.0$			K int. con. electron, gamma-2	0.0037	0.1294 0.0010
Gamma-7	0.32	0.5030 E2, $\alpha_K = 0.00749(T)$, $\alpha_L = 0.0011(T)$			L int. con. electron, gamma-2	0.0016	0.1589 0.0005
Gamma-8	6.9	0.6370 E2, $\alpha_K = 0.0039$, $\alpha_L = 0.000563(T)$			M int. con. electron, gamma-2	0.0005	0.1630 0.0002
Gamma-9	1.6	0.7229 M1, $\alpha_K = 0.004$, $\alpha_L = 0.000515(T)$			Gamma-3	0.0014	0.1772 0.0005

۱۳۱ ید

واباشی بتای منفی

$^{131}_{53}\text{I}$ 8.05d



شکل ۱۱.۶ طرح تبدیل و داده‌های ورودی و خروجی منوط به دزسنجی ^{131}I .

$$\Delta_i = 10^{-13} \times n_i \times \bar{E}_i \frac{\text{kg.Gy}}{\text{Bq.s}} \quad (55.6)$$

معادله (۵۴.۶) به صورت زیر در می‌آید

$$\dot{D}_i = \frac{A_s}{m} \times \varphi_i \times \Delta_i \text{ Gy/s} \quad (56.6)$$

که در آن Δ_i آهنگ دز در جرم همگن بی‌نهایت بزرگ از بافتی است که حاوی توزیع یکنواختی از ایزوتوپ پرتوزا با تراکم 1 Bq/kg است. مقادیر عددی Δ_i به ازای هر یک از تابش‌های تولیدشده به وسیله ایزوتوپهای پرتوزا در جرمها بی‌نهایت بزرگ بافت، در بخش داده‌های خروجی طرحهای واپاشی و پارامترهای هسته‌ای آمده است. این بخش را کمیته دز تابش داخلی درمانی (MIRD) انجمن پزشکی هسته‌ای به منظور برآورد دز تابش انتشار داده است. بنابراین با در نظر گرفتن کلیه انواع ذرات گسیل شده از چشممه می‌توان آهنگ دز اندام مورد نظر یا هدف را به شرح زیر به دست آورد

$$\dot{D} = \frac{A_s}{m} \sum \varphi_i \Delta_i \quad (57.6)$$

چون \dot{D} تابع A_s و Δ_i نیز به نوبه خود تابع زمان است، لذا \dot{D} نیز تابع زمان خواهد بود. با گرفتن انتگرال از آهنگ دز نسبت به زمان می‌توان دز انباشتہ یا دز کل حاصل از واپاشی کامل ایزوتوپ پرتوزا رسمیت یافته را به دست آورد

$$D = \int_0^\infty \dot{D}(t) dt = \frac{\sum \varphi_i \Delta_i}{m} \int_0^\infty A_s(t) dt \quad (58.6)$$

اگر انتگرال زمانی پرتوزا رسمیت یافته را فعالیت انباشتہ، \tilde{A} ، بنامیم داریم

$$\tilde{A} = \int_0^\infty A_s(t) dt \quad (59.6)$$

در این صورت دز کل مربوط به اندام مورد نظر یا «هدف» به صورت زیر به دست می‌آید

$$D = \frac{\tilde{A}}{m} \sum \varphi_i \Delta_i \quad (60.6)$$

مثال ۶.۶

به شخصی به وزن ۷۰ کیلوگرم و قد ۱۶۵ سانتی‌متر مقدار 1 MBq از $^{24}\text{NaCl}$ تزریق شده است. آهنگ دز اولیه و دز کل این شخص را حساب کنید.

حل: فرض می‌کنیم که $^{24}\text{NaCl}$ در مدت زمان کوتاهی به طور یکنواخت توزیع

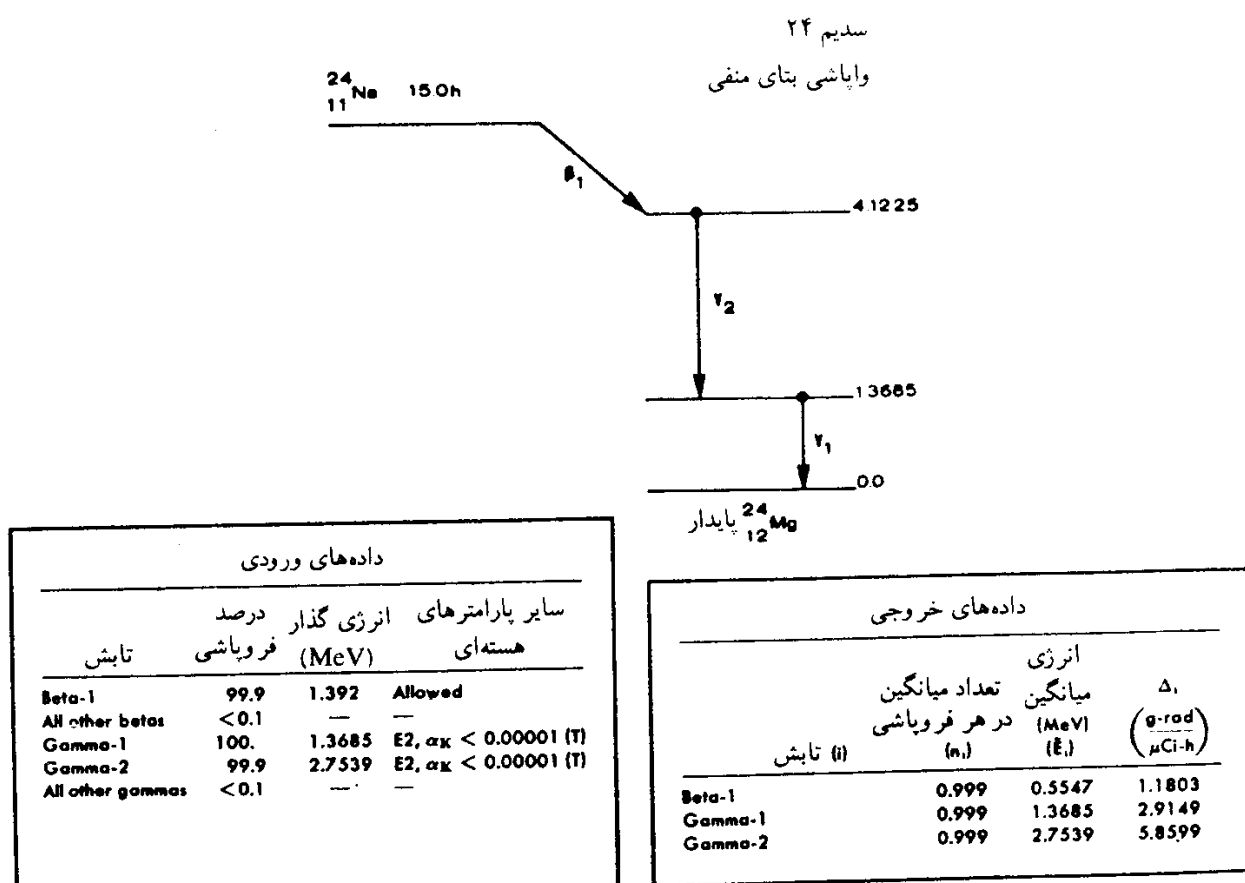
می‌شود، و نیمه عمر زیست‌شناختی آن ۱۱ روز (یا ۲۶۴ ساعت) است. اطلاعات مربوط به واپاشی ^{24}Na در جداول و نمودار مندرج در شکل ۱۲.۶ نشان می‌دهد که در بیش از ۹۹% از موارد، واپاشی ^{24}Na به صورت گسیل یک ذره بنا با پیشینه انرژی ۳۹۲ MeV و گسیل یک پرتو گاما با انرژی ۳۶۸۵ MeV است. در فهرست داده‌های خروجی، ذکر در یک محیط نامتناهی به ازای واحد فعالیت انباسته شده بر حسب یکاهای g.rad/ $\mu\text{Ci.h}$ ، چون هر 10^{15} فرمتوگری برابر با ۱ گری است، ضریب تبدیل در معادله (۱۲.۶) به صورت زیر در می‌آید

$$\frac{\text{kg.Gy}}{\text{Bq.s}} = \frac{\text{g.rad}}{\mu\text{Ci.h}} \times \frac{10^{-3} \text{kg/g} \times 10^{-3} \text{Gy/rad}}{3.7 \times 10^4 \text{Bq}/\mu\text{Ci} \times 3.6 \times 10^3 \text{s/h}}$$

$$\frac{\text{kg.Gy}}{\text{Bq.s}} = \frac{\text{g.rad}}{\mu\text{Ci.h}} \times 7.51 \times 10^{-14} \quad (۱۲.۶)$$

چون هر 10^{15} فرمتوگری برابر با ۱ گری است، ضریب تبدیل در معادله (۱۲.۶) به صورت زیر در می‌آید

$$\frac{\text{kg.fGy}}{\text{Bq.s}} = \frac{\text{g.rad}}{\mu\text{Ci.h}} \times 7.51 \quad (۱۲.۶)$$



شکل ۱۲.۶ طرح تبدیل و داده‌های ورودی و خروجی دزسنجی ^{24}Na .

از طرف دیگر چون $1 \text{ J/kg} = 1 \text{ Gy}$ و هر بکرل (Bq) معادل ۱ تبدیل در هر ثانیه است، ابعاد معادله (۶۲.۶) چنین خواهد شد

$$\frac{\text{g} \cdot \text{rad}}{\mu\text{Ci} \cdot \text{h}} \times ۷۵۰۱ = f \text{ J} \quad (۶۳.۶)$$

که مقدار انرژی جذب شده به ازای هر تبدیل هسته‌ای را به دست می‌دهد. اکنون به مسئله اصلی باز می‌گردیم. چون ^{۲۴}Na به طور نمایی و با آهنگ مؤثر از بین می‌رود، مقدار فعالیت در اندام چشم با رابطه زیر داده می‌شود

$$A_s(t) = A_s(0) e^{-\lambda_E t} \quad (۶۴.۶)$$

که در آن $A_s(0)$ فعالیت اولیه چشم را نشان می‌دهد

$$\tilde{A} = \int_0^{\infty} A_s(t) dt = A_s(0) \int_0^{\infty} e^{-\lambda_E t} dt = \frac{A_s(0)}{\lambda_E} \quad (۶۵.۶)$$

چون

$$\lambda_E = \frac{۰.۶۹۳}{T_E} = \frac{۰.۶۹۳}{(T_R \times T_B)/(T_R + T_B)}$$

و نیمه عمر زیست‌شناختی T_B در نشریه شماره ۲ کمیسیون بین‌المللی حفاظت پرتو شناختی برای ۲۶۴ ساعت و نیمه عمر پرتو زایی T_R برای ۱۵ ساعت تعیین شده است، داریم

$$\therefore \tilde{A} = \frac{۱۰^۶ \text{ Bq}}{۱.۳۶ \times ۱۰^{-۵} \text{ s}^{-۱}} = ۷۵۳۵ \times ۱۰^{۱۰} \text{ Bq} \cdot \text{s}$$

اکنون باید $\sum \varphi_i \Delta_i$ را محاسبه کنیم.

اطلاعات مر بوط به کسرهای جذب شده φ_i در تعدادی از اندامها و بافت‌های هدف، برای فوتونهایی که در گستره انرژی از ۱۵۱ MeV تا ۴ MeV قرار دارند و در تعدادی از اندامها و بافت‌های چشم‌ای مختلف تولید می‌شوند، منتشر شده است.^۱ جدول ۸.۶ کسرهای جذب شده ناشی از یک گسیلنده فوتون را که مانند ^{۲۴}Na به طور یکنواخت در سرتاسر بدن توزیع شده است به دست می‌دهد. مقادیر φ_i مربوط به گاماهاي ۳۶۹ MeV و ۲۷۵.۴ MeV را از طریق برونسیابی مقادیر جدول ۸.۶ به دست می‌آوریم. این مقادیر همراه با Δ_i که از داده‌های خروجی شکل ۱۲.۶ به دست می‌آید و با استفاده از معادله

1. Appendix A of the Journal of Nuclear Medicine, Supplement No. 3, August, 1969.

جدول ۶.۸ کسر های جنب شده (و ضرایب تغییرات)، برای گینله گاما بسا تو زیع یکنواخت در بلن.

انرژی فوتون بر حسب MeV													
بافت مدن		0.010		0.015		0.020		0.030		0.050		0.100	
ϕ	$100\sigma_4$	ϕ	$100\sigma_4$	ϕ	$100\sigma_4$	ϕ	$100\sigma_4$	ϕ	$100\sigma_4$	ϕ	$100\sigma_4$	ϕ	$100\sigma_4$
عدن زنگسیو ستله	0.270E-03	35.	0.228E-03	34.	0.175E-03	37.	0.209E-03	28.	0.131E-03	23.	0.101E-03	26.	
دستکاه گوارش (اسیدا) دستکاه گوارش (زینک گومیک)	0.757E-02	6.6	0.762E-02	6.5	0.683E-02	6.6	0.625E-02	6.1	0.445E-02	5.6	0.352E-02	5.2	
دستکاه گوارش (اسیدت نیتانی بوده بزرگ)	0.570E-02	7.6	0.507E-02	8.0	0.573E-02	7.1	0.560E-02	6.4	0.391E-02	5.8	0.273E-02	5.9	
دستکاه گوارش (اسیدت نیتانی بوده بزرگ)	0.254E-01	3.6	0.236E-01	3.7	0.234E-01	3.6	0.209E-01	3.4	0.163E-01	3.1	0.120E-01	3.2	
تبه کلیسا	0.541E-02	7.8	0.561E-02	7.5	0.647E-02	6.6	0.533E-02	5.9	0.374E-02	5.4	0.262E-02	5.7	
تبه کلیسا	0.350E-02	9.7	0.441E-02	8.5	0.457E-02	7.7	0.285E-02	7.9	0.256E-02	6.2	0.187E-02	6.3	
کپه	0.756E-02	6.6	0.804E-02	6.3	0.769E-02	6.2	0.635E-02	6.0	0.469E-02	5.4	0.420E-02	6.6	
کپه	0.410E-02	9.0	0.446E-02	8.5	0.412E-02	8.3	0.338E-02	7.4	0.233E-02	6.4	0.183E-02	6.6	
رباستهها	0.260E-01	3.5	0.244E-01	3.6	0.249E-01	3.5	0.221E-01	3.3	0.154E-01	3.2	0.120E-01	3.2	
رباستهها	0.127E-01	5.1	0.142E-01	4.7	0.138E-01	4.4	0.122E-01	3.8	0.808E-02	3.4	0.551E-02	3.6	
مغز استخوان لوزالمعده	0.560E-01	1.4	0.594E-01	1.4	0.655E-01	1.3	0.740E-01	1.1	0.613E-01	1.1	0.329E-01	1.3	
لوزالمعده اسکلت (اسیدا)	0.134E-02	16.	0.103E-02	18.	0.828E-03	17.	0.780E-03	14.	0.567E-03	12.	0.449E-03	12.	
اسکلت (الگن خاصه) اسکلت (اسیدت نیتانی)	0.168E-01	4.4	0.206E-01	3.9	0.247E-01	3.4	0.263E-01	2.9	0.176E-01	2.9	0.764E-02	3.3	
اسکلت (الگن خاصه) اسکلت (اسیدت نیتانی)	0.147E-01	4.7	0.160E-01	4.5	0.163E-01	4.3	0.224E-01	3.4	0.199E-01	3.0	0.103E-01	3.3	
اسکلت (اسیدت نیتانی)	0.186E-01	4.2	0.190E-01	4.1	0.234E-01	3.7	0.253E-01	3.3	0.229E-01	3.0	0.144E-01	3.2	
اسکلت (اسیدت) اسکلت (اسیدت کامل)	0.103E-01	5.6	0.115E-01	5.3	0.123E-01	5.	0.128E-01	4.6	0.722E-02	5.1	0.313E-02	6.0	
اسکلت (اسیدت کامل) همه لعنه	0.144	1.4	0.153	1.3	0.167	1.2	0.188	1.1	0.153	1.1	0.810E-01	1.3	
همه لعنه غدد درمی (اسیدت)	0.258E-01	3.5	0.227E-01	3.5	0.169E-01	3.7	0.116E-01	3.3	0.758E-02	2.9	0.585E-02	3.1	
غدد درمی (اسیدت)	0.260E-02	11.	0.237E-02	12.	0.242E-02	11.	0.223E-02	9.1	0.149E-02	8.5	0.111E-02	8.7	
غدد درمی (اسیدت)	0.265E-03	35.	0.263E-03	34.	0.602E-04	48.	0.111E-03	36.	0.114E-03	27.	0.873E-04	29.	
سم پنهان	0.999E-03	18.	0.109E-02	17.	0.122E-02	15.	0.924E-03	13.	0.712E-03	12.	0.611E-03	11.	
سم پنهان	0.604	0.47	0.589	0.48	0.566	0.50	0.500	0.55	0.358	0.67	0.245	0.79	
سم پنهان	0.309	0.86	0.299	0.88	0.285	0.90	0.242	0.97	0.171	1.1	0.113	1.3	
سم پنهان	0.488E-01	2.5	0.474E-01	2.5	0.440E-01	2.6	0.342E-01	2.7	0.200E-01	3.1	0.127E-01	3.1	
سم پنهان	0.959	0.11	0.933	0.15	0.892	0.19	0.774	0.27	0.548	0.43	0.370	0.56	

جدول ۶.۸ (ادامه)

	بافت هدف	ϕ	$\frac{100\sigma_0}{\phi}$	0.200	0.500	1.000	1.500	2.000	4.000
		ϕ	$\frac{100\sigma_0}{\phi}$	ϕ	$\frac{100\sigma_0}{\phi}$	ϕ	$\frac{100\sigma_0}{\phi}$	ϕ	$\frac{100\sigma_0}{\phi}$
غندزونی گلکوی	$0.352E-04$	36.	$0.138E-03$	35.	$0.100E-03$	42.	$0.107E-03$	43.	$0.114E-03$
شانه	$0.327E-02$	5.0	$0.341E-02$	6.6	$0.274E-02$	8.3	$0.291E-02$	8.4	$0.231E-02$
مسگاگر گوارش (معده)	$0.218E-02$	7.0	$0.258E-02$	7.7	$0.181E-02$	9.8	$0.199E-02$	10.	$0.212E-02$
مسگاگر گوارش (بدده کوچک)	$0.106E-01$	3.4	$0.114E-01$	3.8	$0.109E-01$	4.2	$0.915E-02$	4.8	$0.820E-02$
مسگاگر گوارش (بدده بزرگ)	$0.256E-02$	6.3	$0.306E-02$	7.0	$0.228E-02$	8.9	$0.209E-02$	9.4	$0.197E-02$
مسگاگر گوارش (نیست نهانی بدده بزرگ)	$0.151E-02$	7.6	$0.184E-02$	8.8	$0.178E-02$	9.7	$0.181E-02$	11.	$0.157E-02$
طب	$0.337E-02$	5.8	$0.372E-02$	6.6	$0.301E-02$	8.1	$0.345E-02$	7.8	$0.312E-02$
کلیدها	$0.171E-02$	7.4	$0.142E-02$	9.7	$0.161E-02$	10.	$0.152E-02$	11.	$0.154E-02$
کپه	$0.111E-01$	3.4	$0.101E-01$	4.1	$0.896E-02$	4.7	$0.912E-02$	4.9	$0.847E-02$
درب(شنا)	$0.507E-02$	4.3	$0.496E-02$	5.2	$0.466E-02$	6.1	$0.466E-02$	6.5	$0.427E-02$
مفراسخوان	$0.221E-01$	1.5	$0.194E-01$	1.9	$0.182E-01$	2.0	$0.164E-01$	2.2	$0.156E-01$
لورالسده	$0.444E-03$	14.	$0.382E-03$	17.	$0.534E-03$	19.	$0.348E-03$	22.	$0.358E-03$
اسکلت (نهان)	$0.505E-02$	4.1	$0.435E-02$	5.6	$0.421E-02$	6.3	$0.405E-02$	7.0	$0.350E-02$
اسکلت (لکن خاصه)	$0.6668E-02$	3.9	$0.569E-02$	5.0	$0.562E-02$	5.7	$0.511E-02$	6.3	$0.422E-02$
اسکلت (ستون نقرات)	$0.910E-02$	3.6	$0.763E-02$	4.5	$0.751E-02$	5.1	$0.610E-02$	5.7	$0.606E-02$
اسکلت (جمعه)	$0.277E-02$	6.3	$0.304E-02$	7.2	$0.280E-02$	8.0	$0.254E-02$	9.0	$0.292E-02$
اسکلت (اسکلت کامل)	$0.550E-01$	1.4	$0.488E-01$	1.7	$0.456E-01$	2.0	$0.413E-01$	2.2	$0.396E-01$
پیس	$0.677E-02$	3.5	$0.757E-02$	4.2	$0.745E-02$	4.8	$0.759E-02$	5.0	$0.664E-02$
طبع	$0.798E-03$	11.	$0.116E-02$	11.	$0.914E-03$	14.	$0.903E-03$	16.	$0.740E-03$
غندزونی (تعزیزی)	$0.418E-04$	42.							$0.810E-04$
دست	$0.408E-03$	15.	$0.473E-03$	16.	$0.517E-03$	18.	$0.323E-03$	23.	$0.364E-03$
باها	0.223	0.81	0.225	0.84	0.210	0.92	0.198	0.99	0.186
سر	0.102	1.3	0.101	1.4	$0.965E-01$	1.5	$0.917E-01$	1.6	$0.846E-01$
نام بدن	$0.114E-01$	3.2	$0.47E-01$	3.5	$0.145E-01$	3.8	$0.130E-01$	4.1	$0.139E-01$
نام بدن	0.338	0.57	0.340	0.60	0.321	0.67	0.302	0.73	0.284

ارقام بعد از نماد E توانهای ده را نشان می‌دهند که باید در هر عدد ضرب شود.
جای خالی در جدول نشان می‌دهد که ضریب تغییر بزرگتر از ۵۰٪ است.
تعداد بدن = سر + تن + باها

(۶۰.۶) به $\text{kg}\cdot\text{fGy}/\text{Bq}$ تبدیل می‌شود، در جدول زیر آمده است.

$p_i \Delta_i$	$\Delta_i \frac{\text{kg}\cdot\text{fGy}}{\text{Bq}\cdot\text{s}}$	p_i	E_i	نوع تابش
۸۸۰۶۴	۸۸۰۶۴	۱۰۰۰	۰۵۵۵	بنا ۱
۶۷۰۸۶	۲۱۸۰۹۱	۰۳۱	۱۳۶۹	گاما ۱
۱۱۶۰۶۲	۴۴۰۰۸	۰۰۲۶۵	۲۵۷۵۴	گاما ۲
$\sum p_i \Delta_i = ۲۷۳۰۱۲ \frac{\text{kg}\cdot\text{fGy}}{\text{Bq}\cdot\text{s}}$				

با قراردادن مقادیر $\sum p_i \Delta_i = ۲۷۳۰۱۲ \frac{\text{kg}\cdot\text{fGy}}{\text{Bq}\cdot\text{s}}$ ، $\tilde{A} = ۷۰۳۵ \times 10^1 \frac{\text{Bq}}{\text{s}}$ در معادله (۶۰.۶) خواهیم داشت و $m = ۷۰ \text{ kg}$

$$D = \frac{۷۰۳۵ \times 10^1 \frac{\text{Bq}}{\text{s}}}{۷۰ \text{ kg}} \times ۲۷۳۰۱۲ \frac{\text{kg}\cdot\text{fGy}}{\text{Bq}\cdot\text{s}}$$

$$= ۲۰۸۶۸ \times 10^{11} \text{ fGy} (۲۹ \text{ mrad})$$

آنچه دز اولیه را می‌توان با قراردادن $10^6 \frac{\text{Bq}}{\text{s}}$ بهجای A در معادله (۵۷.۶) به دست آورد

$$\dot{D} = \frac{10^6 \text{ Bq}}{۷۰ \text{ kg}} \times ۲۷۳۰۱۲ \frac{\text{kg}\cdot\text{fGy}}{\text{Bq}\cdot\text{s}}$$

$$= ۳۰۹ \times 10^8 \text{ fGy/s} (۱۵۴ \text{ mrad/h})$$

سینتیک فیزیولوژیکی که دز محاسبه شده از ایزوتوپهای پرتوزای رسوب بافته در داخل بدن بر آن مبنی است، در رابطه فعالیت انباسته، \tilde{A} ، گنجانده شده است، در حالی که جملات سمت راست معادله (۶۰.۶) به اندازه گیریها و داده‌های فیزیکی مربوط می‌شوند. کسر جذب شده، φ نشان‌دهنده مقداری از انرژی است که در تمام اندام یا بافت جذب می‌شود. بنا بر معادله (۶۰.۶) باید مقدار کل انرژی جذب شده یا $\sum \varphi_i \Delta_i$ را بر جرم اندام هدف (m) تقسیم کنیم. بهجای آنکه کسر انرژی جذب شده در اندام هدف را بر وزن اندام تقسیم کنیم، بهتر است از کسر جذب ویژه یا Φ استفاده کنیم، Φ ، کسر انرژی جذب شده در واحد جرم بافت هدف در اثر خامین ذره‌گسیل شده از اندام چشممه است. کسرهای جذب ویژه ناشی از فوتونهای با انرژیهای مختلف برای یک شخص مرجع را که با روش

مونت کارلو محاسبه شده است، در جدول پیوست این کتاب آورده ایم. به کمک این جدول، کسرهای جذب ویژه تابش آلفا و بتا را می توان به راحتی محاسبه کرد. در محیط بزرگی که در آن یک گسیلنده آلفا یا بتا به طور یکنواخت توزیع شده است، اساساً تمام انرژی گسیل شده جذب می شود. در مردمی که هدف و چشم دو اندام همانندند و برداشتن ایزوتوپهای پرتوزای رسوب یافته از کوچکترین بعد اندامی که در آن رسوب می کنند کمتر است، کسر جذب ویژه در اندامی به جرم m تقریباً برابر خواهد بود با

$$\Phi = \frac{\varphi}{m} = \frac{1}{m} \quad (66.6)$$

هنگامی که اندام هدف از اندام چشم بسیار دور است یعنی فاصله بین آنها از بردازه آلفا و بتا بزرگتر است، هدف از چشم انرژی جذب نمی کند و $\Phi = 0$ خواهد بود. اما وقتی بافت هدف در ناحیه ای است که به وسیله چشم محاصره شده است، کسر جذب ویژه در هدف برابر است با

$$\Phi = \frac{1}{m(\text{چشم})} \quad (67.6)$$

برای مثال اگر گسیلنده بتا به طور یکنواخت در تمام بدن توزیع شده و وزن کبد ۱۸ kg و وزن شخص ۷۰ kg باشد، کسر جذب ویژه کبد از پرتوزایی بیرون از آن چنین خواهد بود

$$\Phi = \frac{1}{70 - 18} = 147 \times 10^{-2} \text{ kg}^{-1}$$

هنگامی که از کسر جذب ویژه استفاده می شود، دز جذب شده را می توان از رابطه زیر بدست آورد

$$D = \tilde{A} \sum \Delta_i \Phi_i \quad (68.6)$$

چون هر اندامی در بدن برای اندام چشم به مثابه یک هدف است، ارتباط دقیق هدف - چشم به صورت زیر مشخص می شود

$$(r_k \leftarrow r_h)$$

که در آن r_k نشان دهنده اندام هدف و r_h نماینده اندام چشم است. از این رو، دز اندام هدف r_k در اثر فعالیت \tilde{A}_h در اندام چشم r_h به صورت زیر نوشته می شود

$$D(r_k \leftarrow r_h) = \tilde{A}_h \sum \Delta_i \Phi_i(r_k \leftarrow r_h) \quad (69.6)$$

در اینجا با استفاده از کسر جذب ویژه می توان نوشت

$$S(r_k \leftarrow r_h) = \sum \Delta_i \Phi_i(r_k \leftarrow r_h) \quad (70.6)$$

چون S فقط به عوامل فیزیکی، مثل ارتباط هندسی میان چشم و هدف بستگی دارد، می‌توانیم مقدار S را برای تمام ارتباط‌های چشم و هدف مورد نظر و نیز برای هر نوع ایزوتوپ پرتوza در اندام چشم حساب کنیم. در این صورت، دز هر یک از اندام‌های هدف یعنی r_k در اثر اندام چشم r_h به صورت زیر به دست می‌آید

$$D(r_k \leftarrow r_h) = \tilde{A}_h \times S(r_k \leftarrow r_h) \quad (71.6)$$

وانگهی چون معمولاً پرتو زایی داخل بدن در همه‌جا پخش می‌شود، اندام هدف ممکن است تحت تابش‌دهی چندین اندام چشم مختلف قرار بگیرد. بنا بر این، دز هدف به صورت زیر خواهد بود

$$D(r_k) = \sum_h D(r_k \leftarrow r_h) \quad (72.6)$$

جداول $(S(r_k \leftarrow r_h))$ به ازای فعالیت انباشته واحد برای تعداد زیادی از اندام‌های هدف و چشم و برای تعداد زیادی از ایزوتوپ‌های پرتو زای مورد نظر، در جزوه شماره ۱۱ MIRD آمده است. در جدول ۷.۹ که در واقع گزینه‌ای از این جزوه است، می‌توان مقادیر S را برای ^{203}Hg استخراج کرد. اکنون به منظور آشنایی با طرز استفاده از جداول S برای محاسبات دز داخلی، مثال زیر را بررسی می‌کنیم.

مثال ۱۰.۶

بر اثر استنشاق اتفاقی جیوه معلوم شده است که بازماند آن در کلیه به صورت یک تابع منفرد نمایی با آهنگ تحول مؤثر 2% در روز است. اگر بر اثر استنشاق حاد بخار جیوه مقدار 5 MBq از ^{203}Hg در کلیه‌ها رسوب کرده باشد، دز انباشته کلیه‌ها در این استنشاق چقدر است؟ به منظور سهولت در محاسبه، فرض کنید که جیوه در کلیه‌ها به طور یکنواخت توزیع می‌شود و 55% بار جیوه در کلیه‌ها، 25% در کبد و بقیه به طور یکنواخت در سایر قسمت‌های بدن توزیع شده است.

حل: شکل ۱۳.۶ طرح واپاشی ^{203}Hg نشان می‌دهد که جیوه یک گروه منفرد ذره بنا با انرژی بیشینه 212 MeV گسیل می‌کند که انرژی میانگین آن در داده‌های خروجی برابر 577 MeV است. بعد از هر تبدیل بنا، یک پرتو گاما 279 MeV گسیل می‌شود. اما پرتو گاما، در 18.3% از تبدیلات از طریق فرایند تبدیل داخلی به گسیل الکترونهای تبدیل از ترازهای انرژی K ، L ، یا M منجر می‌شود و عملاً فقط در 81.7% از تبدیلات پرتو گاما گسیل می‌شود.

جدول ۹.۶ میزان دز جذب شده به ازای واحد فعالیت انباشته ^{203}Hg را نشان می‌دهد. اگر کلیه‌ها را چشم در نظر بگیریم، داریم

جدول ۶.۶ ۵، دز جذب شده به‌ازای واحد فعالیت ابادانه ($\mu\text{Ci.h}$) برای جیوه ۲۰۳ (نیمه عمر 10^{-3}h)

ادامهای چشمی

ردودها	ادامهای چشمی										
	غند	مختوبات	مختوبات معده	مختوبات کوچک	مختوبات فضت	مختوبات فضت فوتوانی روده بزرگ	تحانی روده بزرگ	کلیه	کبد	ریه‌ها	سایر بافت‌ها (ماهیچه‌ای)
اندامهای هدف	غند فون کلیوی	۱.۶E-۰۲	۳.۶E-۰۷	۴.۲E-۰۶	۲.۷E-۰۶	۱.۷E-۰۶	۸.۴E-۰۷	۱.۹E-۰۵	۹.۰E-۰۶	۴.۴E-۰۶	۲.۷E-۰۶
اندامهای هدف	غند فون کلیوی	۲.۱E-۰۷	۶.۶E-۰۴	۵.۰E-۰۷	۵.۰E-۰۶	۳.۸E-۰۶	۱.۱E-۰۵	۵.۹E-۰۷	۳.۶E-۰۷	۱.۰E-۰۷	۳.۲E-۰۶
استخوان	جدار مثانه (کلیه استخوانها)	۲.۹E-۰۶	۱.۳E-۰۶	۱.۳E-۰۶	۱.۸E-۰۶	۱.۶E-۰۶	۲.۳E-۰۶	۲.۱E-۰۶	۱.۶E-۰۶	۲.۱E-۰۶	۱.۹E-۰۶
استخوان	دستگاه گوارش (جدار معده)	۵.۳E-۰۶	۵.۲E-۰۷	۵.۱E-۰۴	۶.۵E-۰۶	۶.۷E-۰۶	۳.۲E-۰۶	۶.۱E-۰۶	۳.۵E-۰۶	۳.۳E-۰۶	۲.۵E-۰۶
استخوان	دستگاه گوارش (روده کوچک)	۱.۶E-۰۶	۵.۱E-۰۶	۴.۷E-۰۶	۳.۲E-۰۴	۳.۰E-۰۵	۱.۷E-۰۵	۵.۱E-۰۶	۳.۰E-۰۶	۳.۹E-۰۷	۲.۸E-۰۶
دستگاه گوارش (جدار نسبت فوتوانی روده بزرگ)	دستگاه گوارش (جدار نسبت تحانی روده بزرگ)	۱.۷E-۰۶	۴.۲E-۰۶	۶.۳E-۰۶	۴.۲E-۰۵	۵.۵E-۰۴	۷.۷E-۰۶	۵.۲E-۰۶	۴.۵E-۰۶	۴.۹E-۰۷	۲.۹E-۰۶
دستگاه گوارش (جدار نسبت تحانی روده بزرگ)	کلیه‌ها	۴.۶E-۰۷	۱.۳E-۰۵	۲.۳E-۰۶	۱.۳E-۰۵	۵.۴E-۰۶	۸.۷E-۰۴	۱.۵E-۰۶	۴.۶E-۰۷	۱.۸E-۰۷	۳.۱E-۰۶
کلیه‌ها	کبد	۲.۱E-۰۵	۵.۵E-۰۷	۶.۳E-۰۶	۵.۵E-۰۶	۵.۰E-۰۶	۱.۷E-۰۶	۸.۱E-۰۴	۶.۹E-۰۶	۱.۷E-۰۶	۲.۵E-۰۶
کبد	ریه‌ها	۸.۹E-۰۶	۴.۱E-۰۷	۳.۶E-۰۶	۳.۳E-۰۶	۴.۶E-۰۶	۵.۳E-۰۷	۷.۰E-۰۶	۱.۶E-۰۴	۴.۴E-۰۶	۲.۰E-۰۶
ریه‌ها	معزان استخوان (ترمز)	۴.۴E-۰۶	۵.۶E-۰۸	۳.۱E-۰۶	۴.۸E-۰۷	۵.۲E-۰۷	۱.۶E-۰۷	۱.۶E-۰۶	۴.۵E-۰۶	۲.۴E-۰۴	۲.۴E-۰۶
معزان استخوان (ترمز)	سایر بافت‌ها (ماهیچه)	۵.۲E-۰۶	۳.۰E-۰۶	۲.۳E-۰۶	۵.۸E-۰۶	۵.۰E-۰۶	۶.۹E-۰۶	۵.۳E-۰۶	۲.۳E-۰۶	۲.۷E-۰۶	۲.۹E-۰۶
سایر بافت‌ها (ماهیچه)	تغذیه‌ها	۲.۷E-۰۶	۳.۲E-۰۶	۲.۵E-۰۶	۲.۸E-۰۶	۲.۷E-۰۶	۳.۱E-۰۶	۲.۵E-۰۶	۲.۰E-۰۶	۲.۴E-۰۶	۱.۰E-۰۵
تغذیه‌ها	لوزالمعده	۱.۰E-۰۶	۱.۳E-۰۵	۸.۱E-۰۷	۱.۸E-۰۵	۲.۱E-۰۵	۳.۴E-۰۵	۲.۲E-۰۶	۷.۶E-۰۷	۲.۳E-۰۷	۳.۶E-۰۶
لوزالمعده	پوست	۱.۵E-۰۵	۵.۲E-۰۷	۳.۲E-۰۵	۳.۷E-۰۶	۴.۱E-۰۶	۱.۳E-۰۶	۱.۲E-۰۵	۷.۴E-۰۶	۴.۷E-۰۶	۳.۲E-۰۶
پوست	طحال (سمرا)	۱.۱E-۰۶	۱.۱E-۰۶	۹.۰E-۰۷	۸.۵E-۰۷	۸.۶E-۰۷	۹.۸E-۰۷	۱.۱E-۰۶	۹.۸E-۰۷	۱.۱E-۰۶	۱.۵E-۰۶
طحال (سمرا)	بینضدها	۱.۲E-۰۵	۳.۳E-۰۷	۱.۸E-۰۵	۲.۸E-۰۶	۲.۵E-۰۶	۱.۵E-۰۶	۱.۶E-۰۵	۱.۷E-۰۶	۴.۱E-۰۶	۲.۶E-۰۶
بینضدها	غذه درقی (تموندها)	۹.۲E-۰۸	۸.۴E-۰۶	۹.۹E-۰۸	۶.۳E-۰۷	۶.۵E-۰۷	۳.۷E-۰۶	۲.۲E-۰۷	۱.۶E-۰۷	۲.۸E-۰۸	۲.۱E-۰۶
غذه درقی (تموندها)	رم (نانبستن)	۳.۰E-۰۷	۹.۰E-۰۹	۲.۳E-۰۷	۴.۸E-۰۸	۵.۲E-۰۸	۲.۰E-۰۸	۱.۳E-۰۷	۳.۸E-۰۷	۱.۷E-۰۶	۲.۴E-۰۶
رم (نانبستن)	تام بین	۳.۳E-۰۶	۲.۸E-۰۵	۱.۵E-۰۶	۱.۷E-۰۵	۸.۵E-۰۶	۱.۲E-۰۵	۱.۸E-۰۶	۷.۲E-۰۷	۱.۷E-۰۷	۴.۰E-۰۶
تام بین		۶.۰E-۰۶	۳.۷E-۰۶	۴.۱E-۰۶	۶.۰E-۰۶	۴.۹E-۰۶	۵.۲E-۰۶	۶.۰E-۰۶	۶.۱E-۰۶	۵.۶E-۰۶	۵.۵E-۰۶

جدول ۹۰۴ (ادامه)

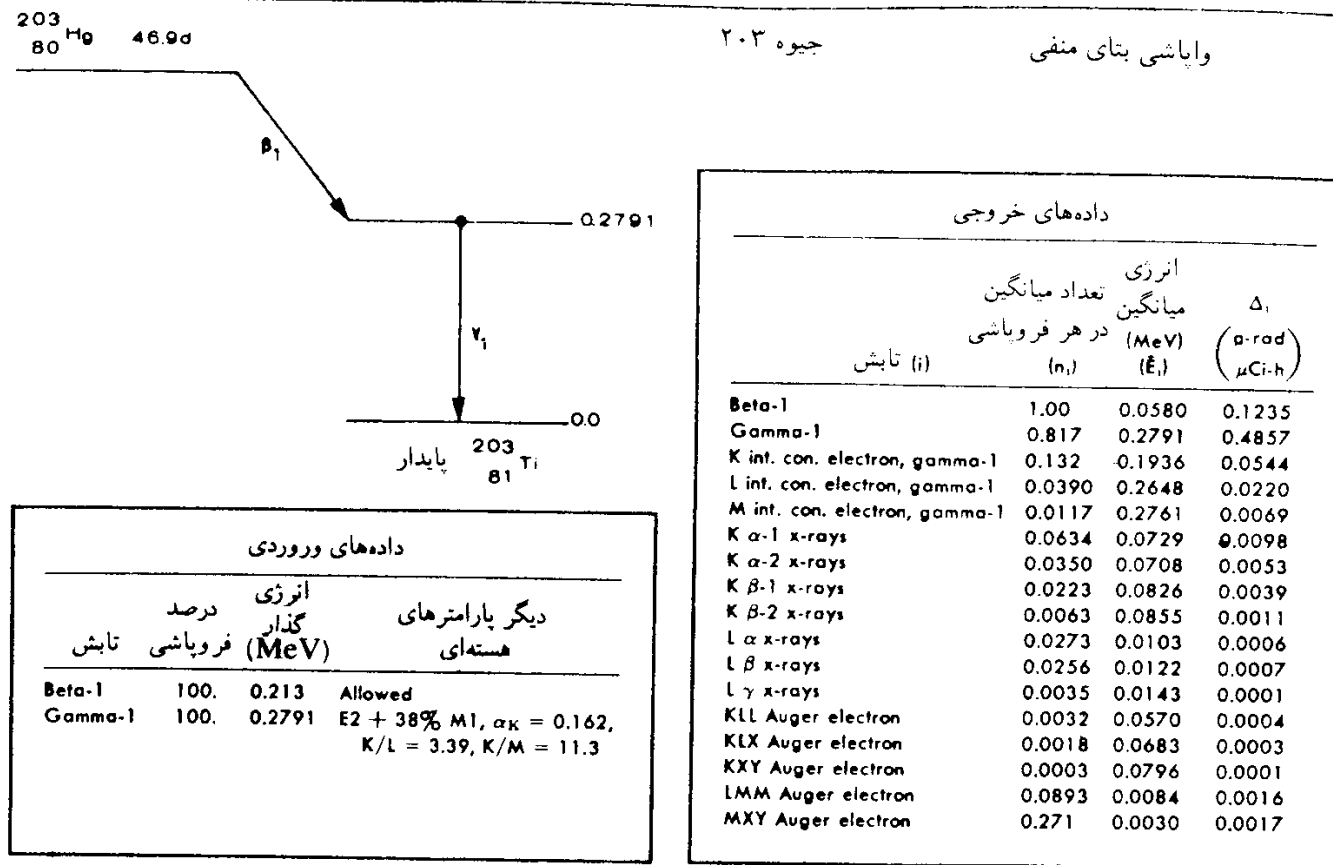
ازدحامی چشمیده

ازدحامی هدف تخدانها لوزالمده

اسکلت مغز استخوان قرقره

تمام بدن	غده درقی	بینهایا	طحال	بوست
3.0E-07	9.2E-08	9.2E-08	1.4E-06	2.5E-06
6.5E-06	9.1E-09	9.1E-09	1.2E-05	4.4E-06
6.2E-06	6.0E-06	6.0E-06	2.5E-07	1.5E-05
6.0E-06	6.4E-06	6.4E-06	8.8E-06	1.4E-06
5.3E-06	6.1E-06	6.1E-06	2.9E-07	1.0E-06
6.1E-06	5.6E-06	5.6E-06	8.0E-07	1.0E-06
5.6E-06	5.6E-06	5.6E-06	2.4E-08	1.1E-07

عندونوکلیوی جدار مثانه استخوان (کلیه استخوانها) دستگاه گوارش (جدار معدة) دستگاه گوارش (ردہ کریکٹ)	7.7E-07 1.2E-05 2.1E-06 1.4E-06 2.1E-05	1.5E-05 3.0E-07 2.0E-06 3.3E-05 4.7E-06	4.4E-06 1.4E-06 1.0E-05 1.9E-06 1.4E-06	2.5E-06 9.3E-07 4.0E-05 1.0E-06 9.0E-07	1.4E-06 1.0E-06 1.0E-06 1.0E-06 2.5E-06	1.2E-05 1.6E-06 1.7E-05 2.5E-06 8.0E-07	9.2E-08 9.1E-09 1.1E-07 6.4E-06 6.6E-06	3.0E-07 6.2E-06 6.4E-06 6.6E-06
دستگاه گوارش (جدار نسبت فوتانی ردہ بزرگ) دستگاه گوارش (جدار نسبت متعاقنی ردہ بزرگ)	2.0E-05 2.6E-05 1.0E-06 1.1E-05 1.1E-06	4.0E-06 5.3E-06 1.9E-06 4.1E-06 7.8E-06	3.8E-06 1.9E-06 1.6E-06 1.2E-06 1.8E-06	1.3E-06 1.9E-06 1.6E-06 1.2E-06 1.8E-06	8.9E-07 9.4E-07 1.2E-06 1.6E-05 1.9E-06	2.3E-06 5.1E-06 1.2E-07 1.2E-07 7.7E-08	6.4E-07 1.6E-08 7.3E-08 2.3E-07 1.8E-06	2.0E-08 6.2E-06 6.1E-06 6.0E-06 5.6E-06
کلپما ریدھا	1.4E-06 1.4E-07	4.5E-06	2.2E-06	1.8E-06	1.2E-06	4.0E-06	2.2E-08	1.8E-06
مغز استخوان (فرمہ) سایر باقیها (سامیچہ) تهدانها لوزالعده بوست	7.2E-06 3.6E-06 2.1E-02 9.1E-07 1.5E-07	3.8E-06 3.2E-06 6.0E-07 2.5E-03 8.1E-07	1.3E-04 1.9E-06 4.7E-06 1.9E-06 1.2E-06	6.5E-06 1.9E-06 1.4E-06 1.9E-06 1.4E-06	3.5E-05 8.0E-07 3.4E-05 8.4E-05 9.6E-07	1.5E-06 1.5E-06 1.0E-06 1.0E-06 1.4E-06	2.5E-06 2.6E-06 1.2E-06 1.2E-07 2.7E-06	1.1E-06 2.4E-06 0.0 1.8E-07 1.5E-06
طبعا (سرخ) بیندها عده دوڑی (تعریف) رسم (البسن) سام بدن	1.0E-06 0.0 1.9E-08 3.7E-05 6.7E-06	3.5E-05 1.3E-07 2.9E-07 1.1E-06 6.6E-06	1.6E-06 1.1E-06 1.4E-06 4.0E-06 5.6E-06	1.3E-06 1.1E-06 1.7E-06 1.1E-06 5.6E-06	1.1E-06 1.8E-06 1.4E-06 1.1E-06 4.5E-06	1.4E-03 1.3E-07 2.2E-07 7.4E-07 6.1E-06	8.6E-08 6.6E-03 2.8E-09 0.0 5.5E-06	2.2E-07 5.3E-06 1.1E-02 1.8E-08 5.3E-06



شکل ۱۳.۶ طرح تبدیل و داده‌های ورودی و خروجی دزسنجی ^{203}Hg .

$$S = \text{کلیه‌ها} \leftarrow 10^{-4} \times 10^{-4} \text{ rad}/\mu\text{Ci} \cdot \text{h}$$

و اگر کبد چشم به باشد، دز کبد به کلیه عبارت است از

$$S = \text{کبد} \leftarrow \text{کلیه‌ها} = 10^{-6} \times 10^{-6} \text{ rad}/\mu\text{Ci} \cdot \text{h}$$

در جزو شماره ۲ ICRP نیمه عمر مؤثر ^{203}Hg در کبد ۱۵ روز و نیمه عمر مؤثر

^{203}Hg در تمام بدن ۸۲ روز تعیین شده است (جدول ۱۰.۶).

دز کل کلیه‌ها بر ابراست با مجموع دزهایی که از ^{203}Hg رسوب شده در کلیه‌ها و در کبد

و در بقیه بدن حاصل می‌شود. اگر به فرض نصف بار Hg در کلیه‌ها و 20% آن در کبد

باشد، آنگاه این پرتوگیری اتفاقی به رسوب 2 MBq در کبد و 3 MBq در بقیه

بدن منجر می‌شود.

فعالیت انباشته در کلیه از معادله (۶۵.۶) به دست می‌آید

$$\tilde{A} = \frac{A_s(0)}{\lambda_E} = \frac{5 \times 10^5 \text{ Bq}}{2.6 \times 10^{-2} \text{ d}^{-1} \times 1 \text{ d} / 86400 \text{ s}} = 166 \times 10^{12} \text{ Bq.s}$$

با استفاده از جدول ۹.۶ متوجه می‌شویم که

جدول ۱۰۹ داده‌های مربوط به سینتیک فیزیو لوزیکی جیوه

عنصر نوكلیدیکی پرتوزا	میانگین بلع روزانه (g/d)	نیمه عمر (روز) میانگین تراکم (g/cm ³)	نسبت موجودی		کسر درودی	
			کسر درودی به اندام مرجع	اندام مرجع به تمام بدن f_2	کسر درودی به اندام مرجع	از بلع f_m
Zr	2×10^{-5} (SI-1)	Ch-I	زیست شناختی T_h	مذکور T	کسر درودی به خون از طریق رودهها f_1	از تنفس f_o
Hg	2×10^{-5} (SI-1)		eq. 44, 45	eq. 49	eq. 41, 42	eq. 47
Hg^{197m}			10 (Ha-85)	0.91	0.75 (SI-1)	1.0 (D)
Hg^{197}			1 (Ha-85)	0.91	1.0 (D)	1.0 (D)
Hg^{203}			2.7 (Ha-85)	2.1	1.0 (D)	1.0 (D)
Hg			45.8 (Ha-85)	8.2		
Hg^{197m}			5 $\times 10^{-7}$ (Stk-1)	14.5 (Ha-85)	0.35 (Ha-85)	0.26
Hg^{197}			1 (Ha-85)	0.94 2.3 11.0	0.36 0.38 0.47	0.22
Hg^{203}			45.8 (Ha-85)			
Hg			1.7 $\times 10^3$ g 10 cm کد	2.0 $\times 10^{-7}$ (Stk-1)	13.5 (Ha-85)	0.2 (Ha-85)
Hg^{197m}			1 (Ha-85)	0.93 2.3 10.4	0.15 0.16 0.19	0.11
Hg^{197}			2.7 45.8			
Hg^{203}						
Hg			1.3 $\times 10^{-7}$ (Stk-1)	10 (Ha-85)	0.02 (Ha-85)	0.02 (Ha-85)
Hg^{197m}			1 2.7 45.8	0.9 2.1 8.2	0.02 0.02 0.02	0.01
Hg^{197}						
Hg^{203}						

$$S(\text{کلیه ها}) = 81 \times 10^{-4} \text{ rad}/\mu\text{Ci}\cdot\text{h}$$

برای تبدیل $\text{Gy}/(\text{Bq}\cdot\text{s})$ به صورت زیر عمل می‌کنیم

$$\begin{aligned} \frac{\text{Gy}}{\text{Bq}\cdot\text{s}} &= \frac{\text{rad}}{\mu\text{Ci}\cdot\text{h}} \times \frac{1 \text{ Gy}}{100 \text{ rad}} \times \frac{1 \mu\text{Ci}}{32 \times 10^4 \text{ Bq}} \times \frac{1 \text{ h}}{36 \times 10^3 \text{ s}} \\ &= \frac{\text{rad}}{\mu\text{Ci}\cdot\text{h}} \times 7.51 \times 10^{-11} \end{aligned} \quad (73.6)$$

با استفاده از ضریب تبدیل در معادله (73.6) نتیجه می‌گیریم که

$$S(\text{کلیه}) = 6.08 \times 10^{-14} \text{ Gy/Bq}\cdot\text{s}$$

دز کلیه در اثر جیوه داخل کلیه از معادله (71.6) محاسبه می‌شود

$$\begin{aligned} D(\text{کلیه}) &= \tilde{A}(\text{کلیه}) \times S(\text{کلیه}) \\ &= 1.010 \times 10^{12} \text{ Bq}\cdot\text{s} \times 6.08 \times 10^{-14} \text{ Gy/Bq}\cdot\text{s} \\ &= 0.1010 \text{ Gy}(10.10 \text{ rad}) \end{aligned}$$

سهم ^{203}Hg موجود در کبد به دز کلیه از معادلات (65.6) و (71.6) محاسبه می‌شود

$$\begin{aligned} D(\text{کبد}) &= \frac{A_s(0)}{\lambda_E} \times S(\text{کبد}) \\ &= \frac{2 \times 10^6 \text{ Bq}}{7.71 \times 10^{-2} \text{ s}^{-1}} \times 5.18 \times 10^{-16} \text{ Gy/Bq}\cdot\text{s} \\ &= 1.344 \times 10^{-4} \text{ Gy}(1.344 \times 10^{-2} \text{ rad}) \end{aligned}$$

نیمه عمر دفع مؤثر ^{203}Hg از کبد برابر ۸۲ روز است که با ثابت دفع مؤثر $1 \times 10^{-2} \text{ s}^{-1}$ متناظر است، و S به کمک جدول ۹.۰.۶ تبدیل می‌شود. با همین روش می‌توان دز تابشی به کلیه را از باقیمانده ^{203}Hg که در بقیه بدن توزیع شده است، حساب کرد

$$\begin{aligned} D(\text{بدن}) &= \frac{A_s(0)}{\lambda_E} \times S(\text{بدن}) \\ &= \frac{3 \times 10^6 \text{ Bq}}{9.78 \times 10^{-2} \text{ s}^{-1}} \times 4.58 \times 10^{-16} \text{ Gy/Bq}\cdot\text{s} \\ &= 1.406 \times 10^{-4} \text{ Gy}(1.406 \times 10^{-2} \text{ rad}) \end{aligned}$$

بنابراین، دز کل کلیه‌ها طبق معادله (۷۰.۶) برابر است با

$$D(\text{کلیه‌ها}) = 10^{-4} \times 10^{406} + 10^{-4} \times 10^{344} + 10^{-1} \times 10^{510} + 10^{-1} \times 10^{112} \text{ Gy} (1012 \text{ rad})$$

نوترونها

دز جذب شده از باریکه‌ای از نوترونها را می‌توان با بررسی انرژی جذب شده در هر کدام از عناصر بافت که با نوترونها واکنش می‌کند، حساب کرد. البته نوع واکنش، به انرژی نوترون بستگی دارد. سازوکار اصلی انتقال انرژی برای نوترونهایی تند (تا حدود ۲۰ MeV) برخورد کشسان است، در صورتی که نوترونهایی گرمایی ممکن است گیراندازی شوند و واکنشهای هسته‌ای راه بیندازند. در موارد پراکندگی کشسان، هسته‌های پراکنده شده افرادی‌ها یشان را در مجاورت محل برهم کنش اولیه نوترون از دست می‌دهند. دز تابشی را که به طور موضعی جذب می‌شود دز برخورد اول می‌گویند و آن را به کمک شار اولیه نوترون به طور کامل تعیین می‌کنند، نوترون پراکنده شده را پس از این برهم کنش اولیه در نظر می‌گیرند. آهنگ دز برخورد اول برای نوترونهایی تند با انرژی E عبارت است از

$$\dot{D}_n(E) = \frac{\phi(E) E \sum N_i \sigma_i f_i}{1 \text{ J/kg.Gy}} \quad (74.6)$$

که در آن (E) شار نوترونهای با انرژی E (بر حسب $\text{n/cm}^2.\text{s}$)، E انرژی نوترون (بر حسب ژول)، N_i تعداد اتم در هر کیلو گرم عنصر i ، σ_i سطح مقطع پراکندگی عنصر i ام برای نوترونهای با انرژی E (بر حسب cm^2)، f_i میانگین کسر انرژی منتقل شده از نوترون به اتم پراکنده در خلال برخورد با نوترون است.

کسر میانگین انتقال انرژی نوترون برای پراکندگی همسانگرد در برخورد کشسان با یک هسته به عدد جرمی M برابر است با

$$f = \frac{2M}{(M+1)^2} \quad (75.6)$$

ترکیب بافت نرم برای دزسنجی تابش در جدول ۱۱.۶ آمده است. در این جدول کسر میانگین انتقال انرژی نوترون برای هر یک از عناصر بافت نیز ذکر شده است.

جدول ۱۱۶ ترکیب مصنوعی بافت.

f	$N, \text{atom/kg}$	درصد جرم	عنصر
۰۱۱۱	۲۰۶۹×10^{۲۵}	۷۱۰۴۹	اکسیژن
۰۰۱۴۲	۶۰۴۱×10^{۲۴}	۱۴۰۸۹	کربن
۰۰۵۰۰	۵۰۹۸×10^{۲۵}	۱۰۰۰	هیدروژن
۰۰۱۲۴	۱۰۴۹×10^{۲۴}	۳۰۴۷	نیتروژن
۰۰۰۸۰	۳۰۹۳×10^{۲۲}	۰۱۵	سدیم
۰۰۰۵۳	۱۰۷۰×10^{۲۲}	۰۱۰	کلر

مثال ۱۱۶

باریکه‌ای از نوترونهای 5 MeV با شدت $2000 \text{ نوترون بر سانتی‌متر مربع بر ثانیه}$ به بافت نرمی می‌تابد. آهنگ دز جذب شده چقدر است؟ سطح مقطع پراکندگی هر یک از عناصر بافت برای نوترونهای 5 MeV به شرح زیر است

$N_i \sigma_i f_i$	cm^2	σ بر حسب	عنصر
۴۰۶۲۸×10^0	۱۰۵۵×10^{-۲۴}		O
۱۰۵۰۲×10^0	۱۰۶۵×10^{-۲۴}		C
۴۰۴۸۵×10^1	۱۰۵۰×10^{-۲۴}		H
۱۰۸۴۸×10^{-۱}	۱۰۰۰×10^{-۲۴}		N
۷۰۲۳۱×10^{-۳}	۲۰۳×10^{-۲۴}		Na
۲۰۵۲۳×10^{-۳}	۲۰۸×10^{-۲۴}		Cl

$$\sum N_i \sigma_i f_i = ۵۰۱۱۷ \times 10^1 \text{ cm}^2/\text{kg}$$

حل: با قراردادن مقادیر مناسب در معادله (۶۳.۶) داریم

$$\dot{D}_n = \frac{2 \times 10^3 n/cm^2 \cdot s \times 5 MeV/n \times 1.6 \times 10^{-13} J/MeV \times 51117 cm^2/kg}{1 J/kg \cdot Gy}$$

$$= 819 \times 10^{-8} Gy/s (819 \times 10^{-8} rad/s)$$

با

$$819 \times 10^{-8} Gy/s \times 10^6 \mu Gy/Gy \times 3600 \times 10^3 s/h$$

$$= 295 \mu Gy/h (295 mrad/h)$$

درمثال بالا، باریکه نوترون تک انرژی فرض شده بود، و از این رو فقط یک انرژی را در نظر گرفتیم. اما اگر باریکه متشکل از نوترونهای با انرژیهای متفاوت باشد، برای هر انرژی باید محاسبه جداگانه‌ای انجام شود. در مرور دنوترونهای گرمایی باید ۲ واکنش، یکی واکنش $C^{14}(n, p)N^{14}$ و دیگری واکنش $H^{2}(n, \gamma)H^{1}$ در نظر گرفته شود. آهنگ دز واکنش اول را از معادله زیر می‌توان حساب کرد

$$\dot{D}_{np} = \frac{\phi N \sigma Q \times 1.6 \times 10^{-13} J/MeV}{1 J/kg \cdot Gy} \quad (76.6)$$

که در آن ϕ شار گرمایی بر حسب نوترون بر سانتی‌متر مربع بر ثانیه، N تعداد اتمهای نیتروژن در هر کیلو گرم بافت (1.049×10^{24})، σ سطح مقطع جذب نیتروژن ($1.075 \times 10^{-24} cm^2$)، و Q انرژی آزاد شده در واکنش ($3.66 MeV$) است. واکنش دیگر یعنی $H^{2}(n, \gamma)H^{1}$ معادل این است که ایزوتوب گسیلنده‌گاما به طور یکنواخت در سرتاسر بدن توزیع شده باشد که در این صورت با دز پرتوگاما سراسری رو به رو می‌شویم. فعالیت ویژه این گسیل کننده‌گاما توزیع شده (یعنی تعداد واکنشها بر ثانیه بر گرم) را که از شار نوترون نتیجه می‌شود به کمک معادله زیر به دست می‌آوریم

$$A = \phi N \sigma "Bq" / kg \quad (77.6)$$

که در آن ϕ شار گرمایی بر حسب نوترون بر cm^2 بر ثانیه، N تعداد اتمهای هیدروژن در هر کیلو گرم بافت (1.05×10^{25})، و σ سطح مقطع جذب هیدروژن ($3.3 \times 10^{-24} cm^2$) است.

مثال ۱۳.۶

شخصی به وزن ۷۵ کیلو گرم در معرض تابش شار گرمایی میانگین ۱۰۰۰۰ نوترون بر سانتی‌متر مربع بر ثانیه قرار می‌گیرد. آهنگ دز جذب شده چقدر است؟

حل: دز ناشی از واکنش (n, p) از معادله (۷۶.۶) محاسبه می‌شود

$$\begin{aligned}\dot{D}_{np} &= 1 \times 10^4 \times 1.49 \times 10^{24} \times 1.75 \times 10^{-24} \times 1.6 \times 10^{-13} \\ &= 2.628 \times 10^{-9} \text{ Gy/s} (2.628 \times 10^{-8} \text{ rad/s})\end{aligned}$$

با

$$\dot{D}_{np} = 9.461 \mu \text{ Gy/h} (0.95 \text{ mrad/h})$$

آهنگ دز پرتوگامای سراسری از معادلات (۶۸.۶) و (۵۶.۶) به دست می‌آید و «فعالیت» پرتوگاما را می‌توان از معادله (۷۷.۶) محاسبه کرد

$$\begin{aligned}A &= 10^4 \text{ cm}^{-2} \text{s}^{-1} \times 5.98 \times 10^{25} \text{ atom/kg} \times 3.3 \times 10^{-25} \text{ cm}^2/\text{atom} \\ &= 1.973 \times 10^5 \text{ "Bq"/kg}\end{aligned}$$

آهنگ دز حاصل از این فعالیت پرتوگاما که به طور یکنواخت توزیع شده است، از معادله (۵۶.۶) به دست می‌آید

$$\dot{D}_\gamma = \frac{A_s}{m} \times \varphi \times \Delta$$

کسر جذب شده φ مر بوط به پرتوگامای MeV ۲۲۳ با بروندیابی جدول ۸.۶ بین مقادیر ۲۰۰۰ MeV و ۴۰۰۰ MeV برابر ۲۷۸ ره به دست می‌آید، و آهنگ دز Δ در یک جرم بی‌نهایت بزرگ که فعالیت ویژه آن برابر ۱ Bq/kg است از معادله (۵۵.۶) محاسبه می‌شود

$$\Delta = 1.973 \times 10^5 \text{ Bq/kg} \times 2.78 \times 3.57 \times 10^{-13} \text{ Gy.s}^{-1} / \text{Bq} \cdot \text{kg}^{-1}$$

بنابراین آهنگ دز پرتوگامای سراسری برابر است با

$$\begin{aligned}\dot{D}_\gamma &= 1.973 \times 10^5 \text{ Bq/kg} \times 2.78 \times 3.57 \times 10^{-13} \text{ kg.Gy/Bq.s} \\ &= 1.96 \times 10^{-8} \text{ Gy/s} (1.96 \times 10^{-9} \text{ rad/s})\end{aligned}$$

با

$$7.06 \mu \text{ Gy/h} (7.06 \text{ mrad/h})$$

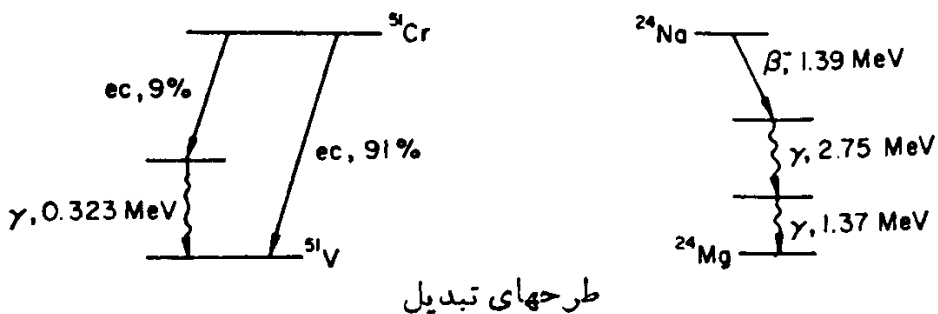
در این مورد ما نمی‌توانیم آهنگ دز پرتوگامای سراسری را با دز مر بوط به واکنش (n, p) جمع کنیم زیرا دز جذب شده Gy ۱ تابش گاما از لحاظ زیست‌شناسی معادل Gy ۱ تابش پروتون نیست. در فصل بعد، این نکته را که به تأثیر نسبی زیست‌شناسی تابشهای مختلف مر بوط می‌شود بررسی می‌کنیم.

مسائل

۱. حجم حساس یک دزسنج جیبی ($\sim 200 \text{ mR}$) با دیواره‌های همارز هوا، در فشار جو از هوا پرشده است. قطر حجم حساس برابر 5 cm^3 و طول آن 25 cm است. اگر ظرفیت این دزسنج $10 \mu\text{F}$ و اختلاف پتانسیل لازم برای باردار کردن آن 200 V باشد، ولتاژ دوسر آن را هنگامی که ($\sim 200 \text{ mR}$) $50 \mu\text{C/kg}$ را نشان می‌دهد حساب کنید.
۲. اتفاق یونش هوایی با حجم ۱ لیتر، در دمای 27°C و فشار 700 Torr به عنوان دیدبان محیط به کار می‌رود. اگر جریان اشباع 10^{-13} A مپر باشد، آهنگ پرتوگیری بر حسب mR/h و $\mu\text{C/kg.h}$ چقدر است؟
۳. دو باریکه پرتوگاما یکی به انرژی 1 MeV و دیگری 1 MeV ، چگالی یونش یکسانی در هوا تولید می‌کنند. نسبت شار فوتون 1 MeV به 1 MeV چقدر است؟
۴. اگر گرمای ویژه بدن انسان 1 cal/g باشد، افزایش دمای ناشی از دز تمام بدن به میزان ۵ گری چقدر است؟
۵. آهنگ پرتوگیری را در فاصله ۵۰ سانتی‌متر از یک شیشه کوچک داروکه محتوی 10 ml محلول مایع زیر است، بر حسب mGy/h و بر اساس طرحهای تبدیل زیر حساب کنید.

(الف) $2 \text{ GBq} (541 \text{ mCi})^{51}\text{Cr}$

(ب) $2 \text{ GBq} (541 \text{ mCi})^{24}\text{Na}$



طرحهای تبدیل

۶. آهنگ دز در یافته یک عضله را در خلال پرتوگیری (100 mR/h) $25.4 \mu\text{C/h}$ (100 mR/h) از تابش گاما می‌باشد. از نتیجه آورید.
۷. در یک آزمایش، به موشی به وزن 250 g گرم $10 \mu\text{Ci}$ ^{253}Am به صورت $\text{Hg}(\text{NO}_3)_2$ تزریق می‌شود. موش به طور روزانه در یک شمارگر تمام بدنی شمارش می‌شود، و معادله زیر اطلاعات شمارش تمام بدن را به دست می‌دهد

$$Y = 55e^{-0.345t} + 45e^{-0.346t}$$

که در آن Y نشاندۀ کسر در تزریق شده باقیمانده در بدن پس از گذشت زمان t است.

اگر مؤلفه دراز - عمر تابع نشاندهنده دفع از کلیه‌ها و بخش کوتاه - عمر نشاندهنده دفع از بقیه بدن و وزن هر کلیه ۷۸ را باشد، دز جذب شده تابش تمام بدن و کلیه‌ها را حساب کنید. فرض کنید که جیوه به طور یکنواخت در تمام بدن و کلیه‌ها توزیع شده است، و محاسبه را بر مبنای طرح تبدیل شکل ۱۳۰.۶ انجام دهید.

۸. ید در غده تیر و ئید با آهنگ ۱۳۹ را بر ساعت رسوب می‌کند. اگر نیمه عمر پرتو زایی ۱۲۳ برابر ۱۳ ساعت باشد، نیمه عمر مؤثر رسوب چقدر خواهد بود؟

۹. در بیماری مبتلا به سرطان تیر و ئید، جذب یه در تیر و ئید ۵۵٪ است. چقدر

۱۳۱ باید تزریق شود تا در طی ۳ روز، دزی معادل ۱۵ گرم (۱۵۰۰ rad) در تیر و ئید که

۱۰. میانگین غلط پتانسیم در آب دریا 380 mg/kg است. آهنگ دز ناشی از

۱۰٪ حل شده را در اعمق اقیانوس بر حسب میلی گرم بر سال و میلی راد بر سال محاسبه کنید.

۱۱. دز تابش سالانه شخصی را که ${}^{40}\text{K}$ و ${}^{40}\text{C}$ در بدنش رسوب کرده است حساب کنید. فعالیت ویژه کربن (pCi/Bq) 6×476 را بر گرم است. فرض کنید که هر دو ایزو توپ پرتوزا به طور یکنواخت در بدن توزیع شده است.

۱۲. اتاقک یونش نازک دیواری با دیواره کربنی به حجم 2 cm^3 با هوای استاندارد در ${}^{20}\text{C}$ و فشار ۷۶۰ تور پر شده، و به منظور سنجش دز عمقی در داخل مخزن آبی قرار گرفته است. اگر باریکه‌ای از بتاترون 24 MeV در این اتاقک یک جریان $2 \mu\text{A}$ تولید کند، آهنگ دز جذب شده چقدر است؟

۱۳. اتاقک یونشی از جنس آلومینیم حاوی 10 cm^3 هوا در ${}^{20}\text{C}$ و 760 تور، در شرایط برآگ - گرمی کار می‌کند. پس از ۱ ساعت پرتو گیری از پرتوهای گامای ${}^{60}\text{Co}$ در ${}^{20}\text{C}$ $10 \times 6 \times 10^{-9}$ بار در آن جمع می‌شود. اگر توان نسبی ایستانندگی جرمی Al برای الکترونها بی که پرتوهای ${}^{60}\text{Co}$ تولید کرده‌اند برابر 875 را باشد، دز آلومینیم را حساب کنید.

۱۴. اتاقک یونشی که با 5 g مس ساخته شده است، محفظه‌ای به حجم 10 cm^3 دارد که در شرایط متعارفی با هوا پرشده است. دمای مس پس از پرتو گیری پرتوهای گامای ${}^{60}\text{Co}$ ، به اندازه ${}^{20}\text{C}$ ۵۰ درجه افزایش می‌یابد. اگر توان ایستانندگی جرمی Cu نسبت به هوا برابر 275 درجه، و گرمای ویژه مس 592 کالری بر گرم بسر درجه سلسیوس باشد، مطلوب است

(الف) دز جذب شده در مس.

(ب) مقدار بار جمع شده در محفظه (بر حسب کولن) در اثر یونش در طی مدت پرتو گیری.

۱۵. مایعی محتوی ویروس معلق تحت تابش پرتوهای ایکس با ضخامت نیم - مقدار 2 mm Cu قرار می‌گیرد. اگر پرتودهی برابر ($10^6 \text{ R} / \text{kg}$) 13×325 و عمق

مایع برابر ۵ mm باشد، مقدار دز جذب شده و چگالی میانگین یونش آن را تعیین کنید.

۱۶. کودکی برای مدت ۳۰ روز در هر روز ۱ لیتر شیر که حاوی ^{131}I با غلظت $900 \mu\text{Ci}$ (۹۰۰ pCi) ۳۳۵۳ Bq است می‌نوشد. بافرض اینکه این کودک هیچ ^{131}I دیگری نخورد، دز تیروئید او را در پایان دوره تغذیه ۳۵ روزه و دز انباشتہ اورا حساب کنید.

۱۷. به بیماری که وزنش ۵۰ کیلوگرم است دارویی از ماده آلی خورانده‌اند که با ^{14}C کربن ۱۴ نشاندار شده است. اندازه گیریهای مبتنی بر غلظت سنجی زیستی، اطلاعات بازماند تمام بدن را به صورت زیر به دست داده است

روز	۱۴	۱۰	۱	۲	۳	۴	۵	۶	۸	۱۰	۱۲	۱۵	۱۶	۱۹	۲۰	۲۳۲	۲۵۴۲	۱۰۹	۱۰۶	۱۰۴	۱۰۲	۱۰۰	۰۸۰	۰۶۰	۰۵۰	۰۴۰	MBq

(الف) نمودار اطلاعات بازماند این بیمار را رسم کنید، و معادله‌ای بنویسید که منحنی بازماند را به صورت تابعی از زمان به دست دهد.

(ب) با فرض اینکه ^{14}C در بدن این بیمار به طور یکنواخت توزیع شده باشد، دز جذب شده را پس از ۷ روز و ۱۴ روز از مصرف دارو محاسبه کنید.

(ج) مقدار دز انباشتہ در این معالجه چقدر است؟

۱۸. یک باریکه الکترونی 2 MeV بر نمونه‌ای پلاستیکی به ضخامت $2\text{ cm} / \text{g}^{55}$ تا بانده شده است. با فرض اینکه یک باریکه 250 میکروآمپری از روزنهای به قطر ۱ سانتی‌متر گذشته و بر پلاستیک تابیده شده باشد، آهنگ دز جذب شده را محاسبه کنید.

۱۹. چگالی توان میانگین (بر حسب وات بر کیلوگرم) یک محلول مایع از ^{60}Co با غلظت 10 MBq ۱ لیتر را در حالت‌های زیر حساب کنید:

(الف) یک محیط بی‌نهایت بزرگ.

(ب) یک مخزن کروی به گنجایش ۶ لیتر.

۲۰. یک استوانه سریسته ۲۵ لیتری از جنس پلی اتیلن حاوی 100 mCi (100 MBq) ^{137}Cs است که به طور یکنواخت در بتون توزیع شده است. با فرض اینکه جذب در پوشش ناچیز باشد، آهنگ دز را در بالای مخزن و در فاصله ۱ متری مرکز مقطع فوقانی آن برآورد کنید.

۲۱. یک بمب هسته‌ای در ارتفاع ۲۰۰ متری از سطح دریا منفجر می‌شود. با فرض اینکه در این انفجار تعداد 10^{18} شکافت روی دهد و از هر یک از شکافتها تعداد ۶ گاما هر کدام با انرژی 1 MeV و ۳ نوترون آنی هر کدام با انرژی 2 MeV تولید شده باشد، و با چشمپوشی از اثر حفاظتی هوا، دز ناشی از گاماهای نوترونها را در ارتفاع ۱۵۰۰ متری حساب کنید.

۲۲. یک شیشه کوچک دارو که بدون حفاظ و بدون علامت‌گذاری است، با محتوای 375 MBq (10 mCi) ^{37}Na در داخل یک محفظه بهجا مانده است. آزمایشگری

بدون اطلاع از وجود این ظرف، ۸ ساعت پشت میز کارش که به فاصله ۲ متر از ظرف محتوی ^{24}Na قرار دارد می‌نشیند. با توجه به طرح تبدیل ^{24}Na در مسئله ۵.۶، مطلوب است:

(الف) آهنگ دز در فاصله ۲ متری از این چشم.

(ب) دز انباسته در مدت ۸ ساعت پرتوگیری.

۰.۴۳ برای پژوهش درباره طرز کار کلیه از نوعی کلر مرو درین که با ^{197}Hg یا ^{203}Hg نشاندارشده است استفاده می‌شود. دز کلیه‌ها را برای حالت جذب معمولی، در اثر تزریق $(100\mu\text{Ci})$ 37MBq از هر ایزوتوپ پرتوزا حساب کنید. فرض کنید که رسوب در کلیه‌ها خیلی فوری است و بسیاری از آن دفع با نیمه‌عمر زیست‌شناختی ۵۶ ساعت صورت می‌گیرد.

اثرات زیست‌شناختی تابش

تابش یکی از آن عواملی است که بیشترین تحقیقات درمودد اثر بیماری‌زایی آن به عمل آمده است. اگرچه هنوز نکات زیادی درمورد برهم کنش میان تابش یوننده و ماده زنده وجود دارد که باید روش‌شوند، ولی سازوکاری که از طریق آن تابش بر سلولها، موکولها، و یا اندامهای بدن آسیب می‌رساند بیشتر از سایر عوامل آسیب‌رسان محیط شناخته شده است. در واقع، متخصصان فیزیک بهداشت به کمک اطلاعات فراوانی که درباره پاسخ دز دردسترس است توانسته‌اند سطوح مجاز تابش محیطی را به صورتی تعیین کنند که هم‌اکنون خطر استفاده از تکنولوژی هسته‌ای در صنعت، علم، و پزشکی در حد خطر استفاده از سایر تکنولوژی‌هاست و یا در بسیاری از موارد کمتر از آنهاست.

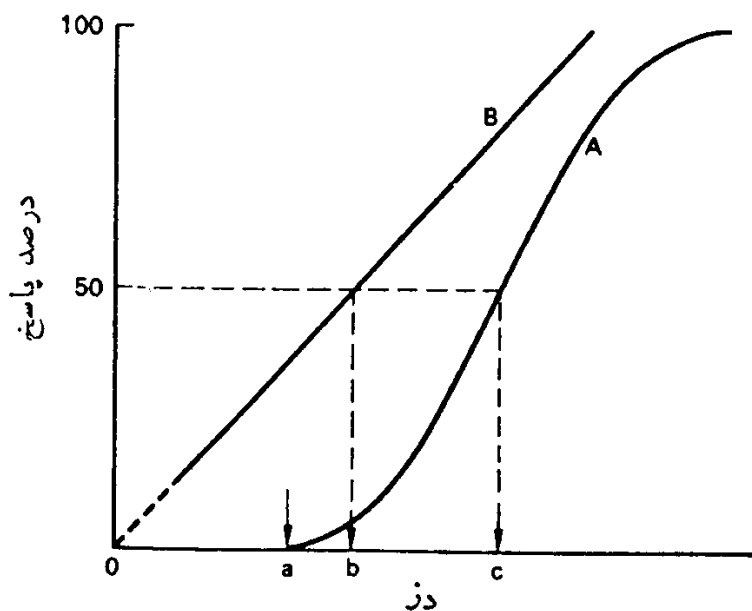
مشخصه‌های پاسخ دز

اثرات مشاهده شده تابش (یا سایر انواع عوامل زیان‌آور) را می‌توان به‌طور کلی به دو دسته تصادفی و غیر تصادفی تقسیم کرد. اثرات زیست‌شناختی اغلب در دسته اثرات غیر تصادفی قرار می‌گیرند. آثار غیر تصادفی با سه ویژگی مشخص می‌شوند: (۱) قبل از آنکه یک اثر مشخص ظاهر شود، باید مقدار دز از یک مقدار کمینه معین تجاوز کند. (۲) هرچه مقدار دز بیشتر باشد، اثر آن بیشتر و نمایانter است. (۳) میان عامل زیان‌آور و اثر مشاهده شده، یک رابطه علی مشخص وجود دارد. به عنوان مثال، برای اینکه در کسی آثار باده گساری ظاهر شود باید بیشتر از حد معینی الکل بیاشامد، و پس از آن اثر الکل به مقداری که فرد

صرف می‌کند بستگی خواهد داشت. سرانجام اگر رفتار مستانه از او سرزنش، می‌توان گفت که بی تردید این رفتار ناشی از استعمال الکل است. در این قبیل اثرات غیرتصادفی، هرگاه بزرگی اثر یافراوانی کسانی که در دز معینی واکنش نشان می‌دهند به صورت تابعی از دز رسم شود، منحنی پاسخ دز A (شکل ۱۰۷) که (ابطه کمی میان دز و اثر آن را مشخص می‌کند به دست می‌آید. چون قبل از اینکه هر فرد اثری از خود نشان دهد باید مقدار دز از یک مقدار حداقل بیشتر شود، اثرات غیرتصادفی را آستانه‌ای نیز می‌گویند.

در هر آزمایشی که برای تعیین منحنی پاسخ دز انجام می‌شود، دز ۵۰% که ۵۰% حیوانات در مقابل آن واکنش نشان می‌دهند، از لحاظ آماری قابل اعتمادترین دز است. به همین دلیل، غالباً دز ۵۰% را به عنوان شاخص تأثیر نسبی یک عامل در بر روز یک واکنش خاص به کار می‌برند. هرگاه این واکنش را مرگ زیستی حیوان مورد آزمایش بگیریم، دز ۵۰% را دز LD-۵۰ می‌نامند. زمان لازم برای آشکارشدن اثر ماده سمی نیز مهم است که آن را همواره همراه با دز مشخص می‌کنند. از این رو، هرگاه ۵۰% از حیوانات در ظرف مدت ۳۰ روز بمیرند، برای تعیین میزان سمی بودن ماده سمی، می‌توانیم مقدار دز را به صورت (روز) LD-۵۰/۳۰ مشخص کنیم. سه شناسان از این شاخص دز (روز) LD-۵۰/۳۰ به طور وسیعی استفاده می‌کنند.

اثرات تصادفی همچنانکه از نامشان بر می‌آید، اثراتی هستند که به طور تصادفی و اعم از اینکه شخص در معرض تابش قرار گرفته باشد یا نباشد، پدیدار می‌شوند. از این رو



شکل ۱۰۷ منحنی‌های پاسخ دز. منحنی A شکل مشخصه یک اثر زیست‌شناختی است که دز آستانه را (در نقطه b) نشان می‌دهد. گستردگی منحنی از آستانه نقطه b تا واکنش ۱۰۰% را ناشی از «تغییر پذیری زیست‌شناختی» حول دز میانگین (نقطه c) که به دز ۵۰% معروف است می‌دانند. منحنی B پاسخ خطی با آستانه صفر را نشان می‌دهد و نقطه b نشان‌دهنده دز ۵۰% مربوط برای اثر زیست‌شناختی با آستانه صفر است.

این اثرات را، مثل رابطه مستقیم با الکل یا آفتاب‌زدگی با خورشید، نمی‌توان بدون تردید ناشی از عامل زیان‌آور دانست. از لحاظ حفاظت تابشی، اثرات تصادفی عمدۀ عبارت اند از سرطان و اثرات ژنتیکی. نتیجه پرتوگیری یک عامل سرطانی یا یک عامل مولد جهش، افزایش احتمال وقوع آنهاست، که این افزایش احتمال مستقیماً با مقدار دز متناسب است. از این‌رو، مردم اعم از اینکه درمعرض عوامل سرطان‌زا قرار گرفته باشند یا نباشند، مبتلا به آن می‌شوند. اما پرتوگیری یک عامل سرطان‌زا احتمال وقوع آن را افزایش می‌دهد، و هرچه پرتوگیری بیشتر باشد احتمال وقوع هم به نسبت بیشتر می‌شود. با وجود این، مقدار دز پرتوگیری هرچه باشد، به یقین نمی‌توان گفت که سرطان نتیجه پرتوگیری یک عامل سرطان‌زاست. اگر بعدازپرتوگیری یک عامل سرطان‌زا بیماری سرطان بروز کند، ماهمچون مورد آفتاب سوختگی و خورشید نمی‌توانیم باقطع و یقین ادعا کنیم که بروز سرطان نتیجه حتمی پرتوگیری عامل سرطان‌زاست. بهترین کاری که ما می‌توانیم بکنیم این است که آنرا نتیجه احتمالی پرتوگیری بدانیم. برای مثال، می‌توان به رابطه سرطان‌ریه و سیگار اشاره کرد، زیرا این نوع سرطان بیشتر در میان کسانی مشاهده می‌شود که سیگار می‌کشند و در میان سیگاریها نیز آنها که بیشتر می‌کشند بیشتر از دیگران مبتلا به این بیماری می‌شوند. با وجود این، بیشتر سیگاریها مبتلا به این بیماری نمی‌شوند. سیگار کشیدن، حتی به صورت افراطی، نمی‌تواند به طور قطع و یقین به سرطان‌ریه منجر شود، بلکه صرفاً احتمال وقوع آن را بیشتر می‌کند.

هرگاه نمودار فراوانی وقوع یک اثر تصادفی بر حسب مقدار دز رسم شود (منحنی B در شکل ۱۰.۷)، به جای منحنی S شکل که مشخصه عوامل وابسته به هر پاسخ آستانه‌ای است، یک رابطه پاسخ‌دز خطی مشاهده می‌شود. هر مدل زیست‌شناختی که با رابطه خطی پاسخ‌دز و باشناخت ما از زیست‌شناسی مولکولی سازگار باشد، پیشگویی می‌کند که با دستکاری اطلاعات ژنتیکی مستقر در یک تک مولکول می‌توان بیماری سرطان و یا تحولات ژنتیکی را باعث شد. از این‌رو، سرطان‌زایی و تولید جهش صرفاً تجلیهای مختلف یک پدیدۀ اساسی مولکولی هستند. بنابراین، با آسیب‌رساندن به اطلاعات انباسته در کروموزومهای یک سلول بدنی، بیماری سرطان تولید می‌شود، و با آسیب‌رساندن به اطلاعات انباسته در کروموزومهای یک سلول زایی (اسپرم یا تخمک) تحولات ژنتیکی حاصل می‌شود. بر اساس این مدل، هیچگونه آستانه‌ای در آثار تصادفی وجود ندارد و حتی کمترین مقدار عامل سرطان‌زا یا عامل مولد جهش (یعنی یک تک مولکول در مورد مواد شیمیایی و یک تک فوتون در مورد پرتوهای X) می‌تواند این اثر را تولید کند. به این دلایل، اثرات تصادفی را اغلب اثرات خطی پاسخ‌دز با آستانه هفرمی نامند. بر طبق مدل خطی با آستانه صفر، هر نوع افزایش تابش، ولو بسیار اندک، به همان نسبت خطر اثر تصادفی را افزایش می‌دهد.

تأثیر مستقیم

اثرات کلی زیست‌شناختی حاصل از بیش پرتوگیری عبارت اند از عوارض یک سلسله رویدادهای طولانی و پیچیده که با یونش یا برانگیختگی تعداد نسبتاً کمی از مولکولهای بدن شروع می‌شود. برای مثال دز (روز) LD-۵۰/۳۰ پرتوهای گاما برای انسان تقریباً برابر $(400 \text{ rad})^{4 \text{ Gy}}$ است. چون هر گری با جذب $1 \text{ J/kg} = 10^{18} \text{ eV/g}$ ارزی متضاد است، و چون در حدود 34 eV انرژی برای تولید یک تک یونش مصرف می‌شود، دز کشنه تعداد

$$\frac{4 \text{ Gy} \times 10^{18} \text{ eV kg}^{-1} \text{ Gy}^{-1}}{34 \text{ eV}} = 7.35 \times 10^{12}$$

اتم یونیده در هر گرم بافت تولید می‌کند. اگر بر اورد کنیم که با یونیده شدن هر اتم در حدود 10^{18} دیگر برانگیخته می‌شوند، آنگاه معلوم می‌شود که هر دز تابشی کشنه در حدود 7.35×10^{12} اتم بر کیلو گرم بافت را مستقیماً تحت تأثیر قرار می‌دهد. در بافت نرم در حدود $10^{25} \times 10^{18}$ اتم بر کیلو گرم وجود دارد. بنابراین، کسری از اتمها که مستقیماً تحت تأثیر قرار می‌گیرند برآبراست با

$$\frac{7.35 \times 10^{12}}{9.5 \times 10^{25}} \approx 1 \times 10^{-13}$$

یا تقریباً یک اتم از هر 10 میلیون اتم.

اثرات تابشی که برای آن دز با آستانه صفر در نظر گرفته می‌شود، به صورت تأثیر مستقیم یونشی و برانگیزشی مولکول و تجزیه متعاقب آن است. جهش‌های نقطه‌ای که در آن تغییری در محل خاص یک ژن روی می‌دهد، نمونه‌ای از این اثر است. تجزیه شیمیایی ناشی از یونیدگی یا برانگیختگی اتم در مولکول DNA از انتقال اطلاعات اصلی موجود در ژن به نسل بعد جلوگیری می‌کند. این جهش‌های نقطه‌ای ممکن است در سلولهای زایشی روی دهند و در نتیجه جهش نقطه‌ای به نسل بعد منتقل شود و یا در سلولهای بدنی ایجاد شوند و جهش نقطه‌ای به سلول بعدی بر سد. چون این جهش‌های نقطه‌ای به سلولهای نسلهای متوالی انتقال می‌یابند (به استثنای مورد بسیار بعیدی که در آن ژن جهش کرده یکبار دیگر جهش می‌کند)، واضح است که برای آن دسته از اثرات زیست‌شناختی تابش که از جهش‌های نقطه‌ای حاصل می‌شوند، دز تابش جمع‌پذیر است، یعنی هر دز کوچکی ممکن است تغییری در بار ژن ایجاد کند که این تغییرات به طور پیوسته منتقل می‌شوند. اما هنگامی که این پدیده‌هارا از لحاظ کمی بررسی می‌کنیم، باید احتمال مشاهده تحولات ژنی را در میان فرزندان فرد تابش دیده از نظر دور نداریم. در دزهای تابشی تا حدود $(25 \text{ rad})^{250 \text{ mGy}}$ ، بزرگی اثر که با فراوانی جهش‌های ژنی اندازه گیری می‌شود، با مقدار دز متناسب است. برای دزهای کمتر از حدود 250 MGy ، احتمال جهش به قدری کم است که برای آشکارسازی جهشی

که بتوان آن را به تابش نسبت داد باید تعداد بسیار زیادی حیوان را مورد آزمایش قرارداد. به همین دلیل است که در باره تغییرات ژنی در گستره از صفر تا حدود 250 mGy داده‌های تجربی معنبری وجود ندارد.

تأثیر غیر مستقیم

آثار مستقیم تابش که به صورت یونش و بر انگیختگی است شکل خاصی ندارد و در هر نقطه‌ای از بدن می‌تواند ظاهر شود. وقتی اتم مستقیماً تحت تأثیر تابش قرار گرفته متعلق به مولکول پروتئین یا اسید نوکلئیک باشد، در اثر آسیب دیدگی مولکول ممکن است عوارض خاصی بروز کند. اما قسمت عمده بدن آب است و بنا بر این قسمت اعظم تأثیر مستقیم تابش بر آب خواهد بود. نتیجه این جذب انرژی توسط آب تولید رادیکال‌های آزاد کاملاً واکنش پذیر است که از لحاظ شیمیایی سمی هستند^۱، و ممکن است سمیت خود را به مولکول‌های دیگر منتقل کنند. هنگامی که آب خالص تحت تابش قرار می‌گیرد، خواهیم داشت



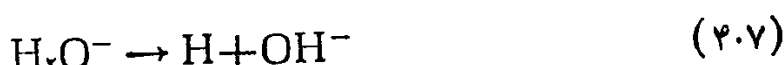
که یون مثبت بلا فاصله طبق معادله زیر تجزیه می‌شود



ولی الکترون را یکی از مولکول‌های خنثای آب جذب می‌کند



ورادیکال حاصل مستقیماً به صورت زیر تجزیه خواهد شد



یونهای H^+ و OH^- نتیجه‌ای را به دنبال ندارند، زیرا تمامی مایعات بدن از پیش حاوی مقادیر زیادی از این دو یون هستند. رادیکال‌های آزاد H و OH ممکن است بارادیکال‌های مشابه خود ترکیب شوند و یا با سایر مولکول‌های موجود در محلول ایجاد واکنش کنند. محتملترین سرنوشت این رادیکال‌ها را عددتاً مقدار LET تابش تعیین می‌کند. در حالتی که آهنگ انتقال خطی انرژی (LET) زیاد باشد، نظیر آنچه هنگام عبور ذره آلفا یا ذره دیگری که یونش ویژه آن زیاد است پیش می‌آید، رادیکال‌های آزاد OH به قدری نزدیک به هم تشکیل می‌شوند که قبل از باز ترکیب بارادیکال‌های آزاد H می‌توانند با یکدیگر ترکیب شوند و پراکسید هیدروژن تولید کنند



۱. رادیکال آزاد پخشی ازیک مولکول یا یک عنصر است که دارای الکترون تزویج نشده است.

ولی از ترکیب رادیکالهای آزاد H⁻ گازهیدروژن تشکیل می‌شود. در حالی که محصولات واکنشهای اولیه معادلهای (۱.۷) تا (۴.۷) طول عمر کوتاهی، از مرتبه میکروثانیه، دارند، پراکسید هیدروژن ترکیب نسبتاً پایداری است و طول عمر آن به قدری زیاد است که می‌تواند تانقاطی به فاصله کاملاً دور از چشم پنهان شود. از این‌رو پراکسید هیدروژن که یک عامل اکسیده خیلی قوی است مستقیماً می‌تواند به مولکولها یاسلو لهایی که در معرض تابش نبوده‌اند آسیب برساند. هرگاه آب تابش دیده اکسیژن محلول داشته باشد، رادیکالهای هیدروژن آزاد می‌توانند پس از ترکیب با اکسیژن، رادیکال هیدروپراکسیل تشکیل‌دهند که واکنش پذیر نیست و بنا بر این طول عمر آن از رادیکال OH بلندتر است



این پایداری بیشتر به رادیکال هیدروپراکسیل امکان می‌دهد که با رادیکال آزاد هیدروژن ترکیب شود و پراکسید هیدروژن تشکیل دهد که در نتیجه آن خاصیت سمی بودن تابش افزایش می‌یابد.

از این‌رو، تابش بادوساز و کار متفاوت اثرات زیست‌شناسختی تولید می‌کند: یکی به طور مستقیم با تجزیه شیمیایی مولکولها در اثر یونش و برانگیختگی آنها، و دیگری به طور غیرمستقیم با تولید رادیکالهای آزاد و پراکسید هیدروژن در آب موجود در شاره‌های بدن. اما، ماهنوز درباره سلسله رویدادها یی که بین اثرات اولیه تابش که در بالا توصیف شد، و اثرات کلی زیست‌شناسختی که ممکن است مدقّها بعداز پرتوگیری روی دهنده اطلاع چندانی نداریم.

اثرات تابش

در فیزیک بهداشت، مانند سایر رشته‌های کنترل محیط‌وعوامل زیان‌آور، دونوع پرتوگیری مورد نظر است: (۱) پرتوگیری تصادفی بادز تابش زیاد و در مدت زمان بسیار کوتاه‌که معمولاً پرتوگیری حاد نامیده می‌شود و می‌تواند به فاصله خیلی کوتاهی پس از پرتوگیری آثار زیست‌شناسختی تولید کند. (۲) بیش پرتوگیری در از مدت با ذکر که غالب آن را پرتوگیری پیوسته یا هزمن می‌نامند. نتایج این بیش پرتوگیری که ممکن است در اثراقدامات حفاظتی غیرصحیح و یا ناکافی باشد، ممکن است سالها پس از پرتوگیری ظاهر شود.

اثرات حاد

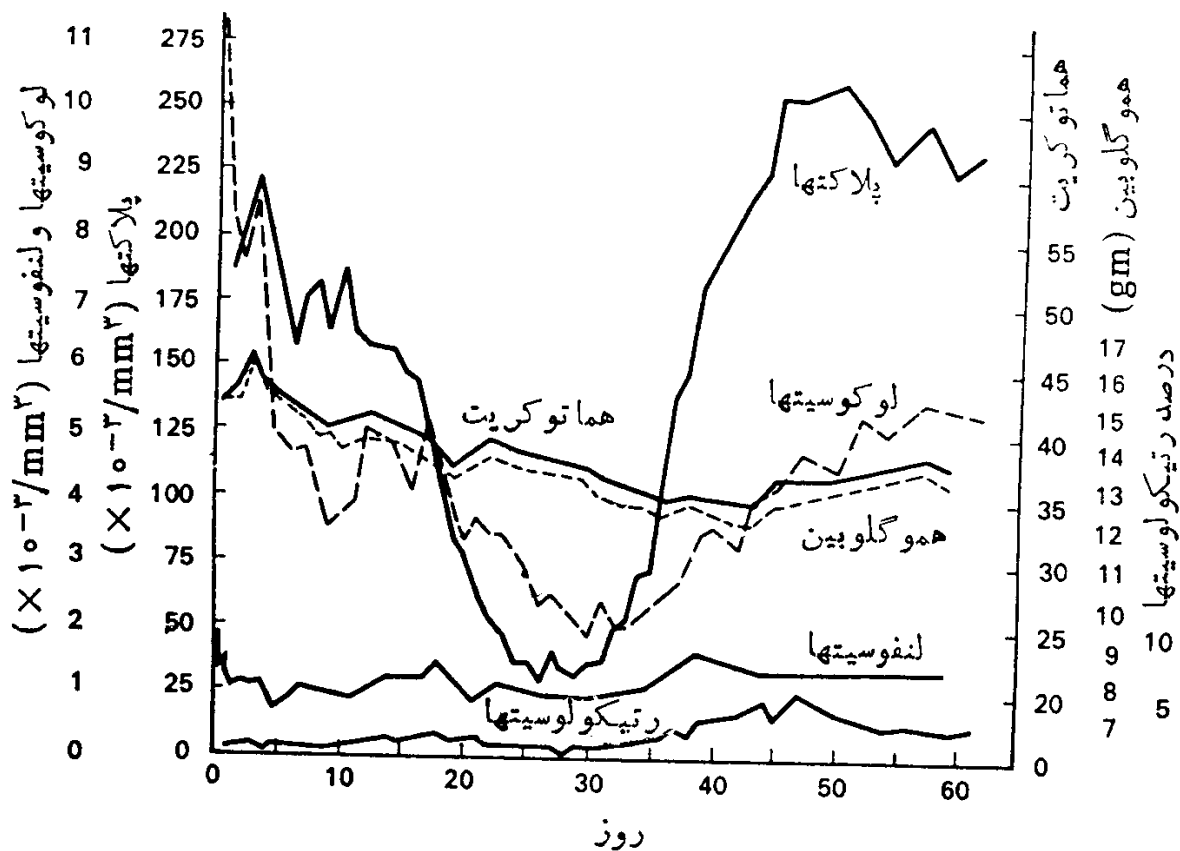
بیش پرتوگیری تابش حاد تمام بدن بر تامام اندامها و دستگاههای بدن اثر می‌گذارد. اما چون همه اندامها و دستگاههای بدن حساسیت یکسانی در برابر تابش ندارند، نحوه واکنش یا سندروم بیماری در هر بیش پرتوگیری به مقدار ذر ریافتی بستگی دارد. به منظور ساده شدن طبقه‌بندی، سندروم تابش حاد را بر حسب شدت و ضعف آن به سه دسته تقسیم می‌کنند

- که عبارت‌اند از (۱) سندروم خونسازی، (۲) سندروم معده‌ای - روده‌ای، (۳) سندروم دستگاه عصبی مرکزی. بعضی اثرات مشترک در تمام این سه گروه عبارت‌اند از:
- (الف) تهوع و استفراغ
 - (ب) کسالت و خستگی
 - (ج) بالارفتن دمای بدن
 - (د) تغییرات درخون

تغییرات درخون

در میان اثرات مشترک چهارگانه‌ای که در بالا ذکر شد، تغییرات تعداد گلبوهای خون را می‌توان حساسترین شاخصهای زیست‌شناختی بیش‌پرتوگیری حاد دانست. این تغییرات حتی در مواد پرتوگیری ملایم نیز که به‌هیچیک از سندروم‌های بالا منجر نمی‌شود دیده می‌شود. هر چند تغییرات خون در دزهای کمتر از 140 mGy (14 rad) تا 500 mGy (50 rad) پرتوگیر نیز در افراد مشاهده شده است، ولی این تغییرات عموماً تا 250 mGy تا 500 mGy (50 rad) پدیدار نمی‌شوند. در دزهای بیشتر از 500 mGy ایجاد تغییرات درخون حتمی است.

در حدود ۵۵٪ از حجم خون را شاره‌ای به‌نام پلاسمای خون و در حدود ۴۵٪ دیگر را گلبوهای سفید، به‌نام لوکوسیت، و گلبوهای سرخ، به‌نام اریتروسیت، و پلاکتها یا ترومبوسیت تشکیل می‌دهند. گلبوهای سفید خون که تعدادشان در هر میلی‌متر مکعب خون اشخاص بالغ در حدود ۷۰۰۰ است، دفاع اصلی بدن را در برابر تهاجم باکتریها بر عهده دارند. هر عفونتی در هر نقطه‌ای از بدن باعث تولید لوکوسیتها می‌شود تا با موجودات عامل عفونت مبارزه کنند. انواع عمده لوکوسیتها عبارت‌اند از گرانولوسیت و لنفوسیت، که هر کدام در مبارزه علیه عفونت نقش تخصصی معینی دارند. در شرایط عادی نسبت این اجزاء تقریباً ثابت می‌ماند، یعنی ۷۵ تا ۷۰ درصد گلبوهای سفید را گرانولوسیتها و ۲۵ تا ۳۵ درصد دیگر را لنفوسیتها تشکیل می‌دهند. گرانولوسیتها که در مغز استخوان ساخته می‌شوند تا ۳ روز درخون جریان دارد و سپس می‌میرند و منهدم می‌شوند، ولی لنفوسیتها که در غده‌های لنفی و طحال تولید می‌شوند ۲۴ ساعت درخون زنده می‌مانند. تعداد گلبوهای سرخ که در واقع فراوانترین عنصر خون است در هر میلی‌متر مکعب خون به حدود ۵ میلیون می‌رسد. وظیفه اصلی این گلبوهای انتقال اکسیژن از ریه‌ها به سلوهای بدن و نیز حمل پسماند دی‌اکسید کربن از سلوهای بدن به‌ریه است. اریتروسیتها در مغز استخوان ساخته می‌شوند و تقریباً ۹۰ تا ۱۲۵ روز در گردش خون زنده می‌مانند، ولی وظیفه پلاکتها یا ترومبوسیتها که تعدادشان در هر میلی‌متر مکعب خون تقریباً بین ۴۰۰۰۰۰ تا ۲۰۰۰۰۰ است انعقاد خون است. پلاکتها در مغز استخوان تولید می‌شوند و عمر مؤثر آنها در حدود ۸ تا ۱۲ روز است. بعد از پرتوگیری حاد تابش در گستره زیرحد مهملک، یک افزایش موقعی خیلی زیاد در تعداد گرانولوسیتها مشاهده می‌شود. این افزایش تند در ظرف یک روز کاهش می‌یابد و



شکل ۲.۷ نمودار خون‌شناسی بیش پرتوگیری تابش. مقادیر متوسط من بوط به ۵ بیمار که طی یک حادثه پھر از ۱۲-۷۶ در زوئن ۱۹۵۸ در معرض ۳۶۵ راد دز قرار گرفته‌اند.

چند هفته بعد از پرتوگیری به یک حداقل می‌رسد. سپس طی یک دوره چند هفته‌ای یا چند ماهه به حالت عادی باز می‌گردد. تعداد لنفوسيتها پس از پرتوگیری بسرعت کم می‌شود و چندین ماه در همین حالت باقی می‌ماند. بر عکس گلبو لهای سفید که خیلی سریع در مقابل پیش پرتوگیری تابش واکنش نشان می‌دهند، تعداد گلبو لهای سرخ تا حدود یک هفته بعد از پرتوگیری تغییر نمی‌کند. سپس تعداد گلبو لهای سرخ کاهش می‌یابد و در فاصله ۱ تا ۲ ماه پس از پرتوگیری به یک حد کمینه می‌رسد و بعد از آن طی یک دوره چند هفته‌ای به تدریج به حالت عادی باز می‌گردد. تعداد پلاکتها به طور پیوسته کاهش می‌یابد و در حدود یک ماه پس از پرتوگیری به یک حد کمینه می‌رسد، و سپس به کندی و طی چندین ماه به حالت عادی باز می‌گردد. در تمام این موارد، میزان تغییرات خون و نیز آهنگ تغییرات، تابع دز تابش است. شکل ۲.۷ نمودار آهنگ و میزان تغییرات خون را برای مقادیر مختلف دز پرتوگیری نشان می‌دهد.

سندروم خونسازی

سندروم مربوط به خونسازی بعد از یک دز کاما به مقدار تقریبی ۲ Gy (با پدیدار می‌شود. این بیماری با کاهش یا قطع فعالیت مغز استخوان، و پیامدهای زیست‌شناسی

آن مشخص می‌شود. بروز بیماری تا حدی ناگهانی است و اغلب چند ساعت پس از بیش پرتوگیری با تهوع و استفراغ پدیدار می‌شود. بیمار احساس کسالت و خستگی می‌کند اما ظاهر آشده است آن به مقدار دز مصرفی بستگی ندارد. ریزش مو که اغلب اتفاق می‌افتد، در هفته دوم و سوم پس از پرتوگیری مشاهده می‌شود. مرگ بیمار ممکن است یکی دوماه بعد از پرتوگیری اتفاق بیفتد. البته عوارض و ضایعات عمده‌ای که در این مورد مشاهده شده است به مغز استخوان و خون مربوط می‌شود: در دز 2 Gy کاهش مغز استخوان؛ و در دز حدود 4 Gy گری (400 rad) قطع کامل آن گزارش شده است. اما در این موارد اگر بیمار بتواند از عوارض فیزیولوژیک نبود مغز استخوان جان سالم به در بردا، مغز استخوان مجدداً به طور خود به خود رشد خواهد کرد. پرتوگیری در حدود 7 Gy یا بیشتر منجر به قطع برگشت ناپذیر مغز استخوان می‌شود. دز (روز) $LD-50/30$ در بیشتر پستانداران واژ جمله انسان در این گستره قرار می‌گیرد. با بزرگی وضعیت خون می‌توان تغییرات ایجاد شده در خون را، که در بالا به آنها اشاره شد، مشاهده کرد و میزان تغییر را به طور تقریب به دز نسبت داد. شمارش بسیار کم لنفوسيتها، مثلاً 500 عدد در میلی متر مکعب یا کمتر، در یکی دو روز بعد از پرتوگیری حاکی از وقوع احتمالی مرگ است.

سندروم معده‌ای-روده‌ای

این بیماری به دنبال یک دریافت دز تمام بدن تقریباً به میزان 15 Gy یا بیشتر عارض می‌شود و ناشی از ریزش اپتیلیوم یا بافت پوششی روده است. کلیه علائم و نشانه‌های بیماری خون‌سازی به اضافه تهوع، استفراغ، و اسهال شدید، خیلی زود و یا بلا فاصله پس از پرتوگیری در بیمار ظاهر می‌شود و به احتمال زیاد مرگ او در فاصله ۱ تا ۲ هفته روی خواهد داد.

سندروم دستگاه عصبی مرکزی

هر گاه دزگامای تمام بدن از حدود (2000 rad) 20 Gy تجاوز کند، به دستگاه عصبی مرکزی و تمامی دیگر دستگاه‌های بدن آسیب می‌رسد. در چنین مواردی چند دقیقه پس از پرتوگیری بیمار بیهوش می‌شود و چند ساعت یا چند روز بعد می‌میرد. سرعت و شدت بیهوشی مستقیماً به دز بستگی دارد. در يك مورد، تپی 200 میکرو ثانیه‌ای از پرتوهای گاما و نوترون، يك دزمیانگین تمام بدن در حدود (4400 rad) 44 Gy تولید کرد. قربانی حادثه طرف مدت 30 ثانیه دچار عدم تعادل اختلال شد و بعد از 10 دقیقه به حالت بیهوشی و شوک فرورفت. سی و پنج دقیقه بعد از حادثه، آزمایش مدفوع از وضعیت اسهال شدید آبکی نشان داد که جریان شدیدی از سیال درجه‌های هاضمه او به وجود آمده است. بیمار، به کمک معالجات شدید، فقط تا 5 ساعت بعد از حادثه زنده ماند.

سایر اثرات حاد

دراینا لازم است به چند اثر متوسط دیگر از بیش پرتوگیری حاد اشاره کنیم. پس از به

دلیل موقعیت پوششی، بیشتر از اکثر بافت‌های دیگر در معرض پرتوگیری (مخصوصاً پرتوهای کم انرژی X و پرتوهای بتا) قرار می‌گیرد. پرتوگیری حدود (۳۰۰ R) 77 mC/kg از پرتوهای کم انرژی X (در آزمایش‌های تشخیص پزشکی) منجر به التهاب پوست می‌شود و دزهای بیشتر از آن ممکن است موجب اختلال در رنگدانه‌های پوست، دیسش مو، تاول زدگی، نکروز، و جراحت شود. بهمین دلیل در سالهای اولیه قرن بیستم، رادیولوژیستها بیان که با این قبیل پرتوها سرو کار داشتند به عوارضی نظیر ورم دست و صورت مبتلا شدند.

غدد تناسلی نسبت به پرتوها حساسیت خاصی دارند، به گونه‌ای که فقط یک دز 30 rad (300 mGy) کافی است که بیضه‌های مردان را به طور موقت عقیم کند، و همین طور دزی برابر با 3 Gy (300 rad) موجب عقیمی موقت تخدمانهای بانوان می‌شود. بدیهی است دزهای بیشتر، زمان عقیمی موقت را افزایش می‌دهد. مثلاً مردی که غلدهایش کمتر از 44 Gy (440 rad) پرتوگیری کرده بود، برای یک دوره چندین ساله عقیم شده بود. عقیمی موقت ناشی از پرتوگیری در بانوان به صورت توقف قاعده‌گی ظاهر می‌شود که بسته به مقدار دز برای یک دوره یک یا چندماهه طول می‌کشد. اختلال در دوره قاعده‌گی که نشانه تغییر کارکرد غدد تناسلی است، ممکن است در اثر پرتوگیری موضوعی تخدمانها با دزهایی کمتر از دز لازم برای عقیمی موقت نیز حاصل شود. چشم نیز در مقابل پرتو حساس است، به گونه‌ای یک دز موضوعی حدود چندگری ممکن است ورم ملتحمه و التهاب قرنیه ایجاد کند.

اثرات تأخیری

آثار تأخیری تابش ممکن است ناشی از یک بیش پرتوگیری منفرد خیلی زیاد یا بیش پرتوگیریهای در حد کم و مداوم باشد.

بیش پرتوگیری مداوم می‌تواند ناشی از پرتوگیری از میدانهای تابشی خارجی باشد یا در نتیجه تنفس یا بلع ایزوتوب پرتووزایی باشد که از طریق واکنش با پروتئین بافت در بدن ثبیت می‌شود، یا به دلیل همانندی شیمیایی ایزوتوب با محصولات سوخت و ساز (متabolیت) معمولی به طور منظم در بعضی بافت‌ها و اندامها جذب می‌شوند. در هر حال، ایزوتوب پرتووزای رسوب یافته در بدن ممکن است برای یک مدت زمان طولانی به تابش دهی به بافت ادامه دهد. در اینجا باید خاطر نشان کرد که صفات «حاد» و «مزمن» که سه شناسان معمولاً آنها را به ترتیب برای توصیف پرتوگیری منفرد و پرتوگیری مداوم به کار می‌برند، مستقیماً برای ایزوتوبهای پرتووزای تنفس شده یا بلعیده شده به کار نمی‌روند، زیرا هر پرتوگیری منفرد یا «حاد»ی ممکن است به پرتوگیری مداوم یا «مزمن» باقی منجر شود که ماده پرتوزا در آن رسوب کرده است. در میان اثرات تأخیری بیش پرتوگیری بیش از همه سرطان، اثرات ژنتیکی، کوتاهی طول عمر، و آب مروارید مورد نظر ماست.

سرطان

دلایل مستند و قطعی در دست است که در یافته دز تا بش گاما به میزان $1 \text{ Gy} (100 \text{ rad})$ یا بیشتر، وقتی با سرعت زیاد به بدن بر سد، اثرات سرطان‌زاوی دارد. هر چند هر یافته یا اندامی ممکن است بعد از بیش پرتو گیری به طور غیرعادی رشد کند، اما ظاهرآ بعضی یافتها و اندامها از این لحاظ حساس‌تر از یافتها یا اندامهای دیگر هستند. سرطان ناشی از تا بش اغلب در دستگاه تولید خون، تیر و تیله، استخوان، پوست مشاهده شده است. در تمام این موارد زمان تولیدگذشت سرطانی در انسان نسبتاً طولانی است و بسیار ۵ تا ۲۵ سال پس از پرتو گیری می‌رسد. سرطان پوست اولین نوع بدخیم سرطانی بود که در تا بش پرتو γ ظاهر شد. اولین کسانی که با پرتوهای γ کار می‌کردند، از جمله پزشکان و فیزیکدانان، خیلی بیشتر از آنچه بتوان حمل بر تصادف کرد به سرطان پوست مبتلا می‌شدند. بیشتر از ۱۵۰ مورد سرطان پوست ناشی از تا بش در میان این افراد گزارش شده است. پزشکی که در اوایل سالهای ۱۹۵۰ میلادی با پرتوهای ایکس سروکار داشته اثر تحریک کننده این پرتوها را توصیف کرده است. وی در تحقیقات خود گزارش کرده است که الهتاب و خارش پوست رفته رفته به لک و پیس شدید، زخم، رشد غیرعادی یافتها، و سرانجام مرگ در اثر پیشرفت سرطان منجر شده است، و تمام این فرایندها از ابتدا تا به انتهای در حدود ۹ سال طول کشیده است. از طرف دیگر قبل از اینکه خواص سرطان‌زاوی پرتوهای ایکس به خوبی شناخته شود، اغلب دندانپزشکان به سرطان انگشت مبتلا می‌شدند، زیرا برای عکسبرداری با پرتو γ از دندان بیماران، غالباً فیلمهای کوچک را با انگشت روی دندان بیمار نگه می‌داشتند. اطلاعات مربوط به سرطان‌زاوی کم تا بش، صد و نصیض و غیرقطعی است، بنابراین در مواردی که تعیین استانداردهای ایمنی تا بش مورد نظر است، صحیحتر این است که با برونیابی از موارد با دز بالا خطرات احتمالی ناشی از تا بش با دز کم را تخمین بزنیم. در مدل خطی با آستانه صفری که این برونیابی بر آن مبنی است، فرض می‌شود که حد اکثر در حدود ۱۲۵ مورد اضافی مرگ ناشی از سرطان در میان هر یک میلیون نفری که دز معادل تمام بدن ۱۵ میلی سیورت (1 rem) دریافت می‌کنند اتفاق می‌افتد. (میلی سیورت و رم را در همین فصل توضیح می‌دهیم.) برای اینکه موارد مرگ اضافی را که مبنای برونیابی است خوب حس کنیم، باید در نظر داشته باشیم که معمولاً از هر یک میلیون نفر ۲۰۶۰۰۰ در اثر ابتلا به سرطان تلف می‌شوند.

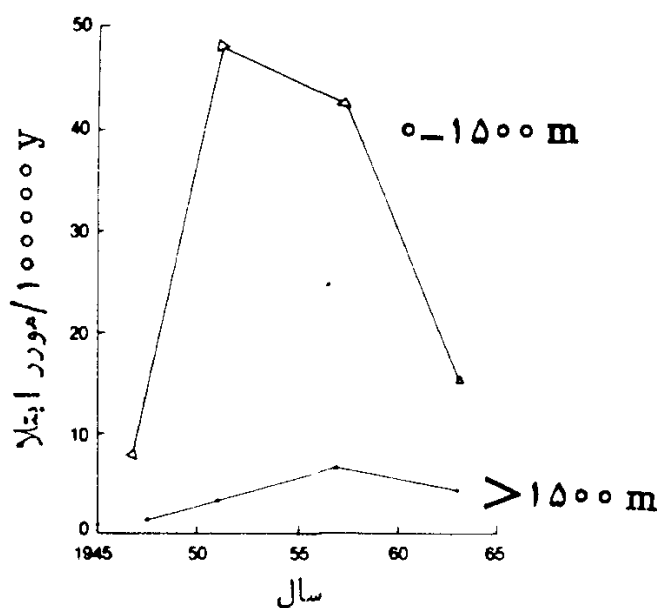
سرطان خون

سرطان خون، مخصوصاً لوسمی میلویید حاد، و تا حد کمتری لوسمی میلویید مزمن یا لوسمی لنفوسیت حاد، از محتملترین اشکال بدخیمی ناشی از بیش پرتو گیری تا بش تمام بدن هستند. ظاهرآ لوسمی لنفوسیت مزمن ناشی از پرتو گیری تا بش نیست. قبل از اینکه روش‌های ایمنی فیزیک بهداشت متداول شود، آهنگ ابتلا به سرطان خون در میان متخصصان پرتوشناسی و پزشکانی که با پرتوهای ایکس کار می‌کردند خیلی بیشتر از دیگر همکاران آنها

بودکه با این پرتوها سروکاری نداشتند. در میان متخصصان پرتوشناسی امریکا، دزهای واپسیه به آهنگ افزایش سرطان خون در سال در حدود 1 Gy (100 rad) بود. بر اثر اتخاذ تدابیر بهداشتی، تفاوت آهنگ ابتلا به لوسی در میان رادیولوژیستها و سایر پزشکان به طور پیوسته کاهش یافته است. در میان بیماران مبتلا به اسپوندپلیت آنکیلوز (یا آرتربیت روماتویید مفاصل کوچک استخوان) که با پرتوهای X مداوا می‌شدند نهیز ابتلا به سرطان خون زیاد مشاهده می‌شد.

پس از بیماران هسته‌ای ژاپن، معلوم شد که ابتلا به سرطان خون در بین کسانی که در محدوده 1500 متری مرکز انفجار بودند بیشتر از کسانی است که دورتر از 1500 متر قرار داشتند (شکل ۳.۷). نخستین موارد ابتلا به سرطان خون سه سال پس از بیماران در میان بازماندگان مشاهده شد و آهنگ آن تا 4 سال بعد به طور پیوسته افزایش یافت. از آن زمان به بعد این آهنگ به طور یکنواخت رو به کاهش است. در ناکازاکی، در اوایل دهه 1970 آهنگ ابتلا به سرطان خون به حد معمولی رسید، ولی در هیروشیما هنوز هم این آهنگ در میان بازماندگان پرتو دیده اندکی بیشتر از بقیه جمعیت ژاپن است.

پرسشهای مربوط به لوسی زایی دزهای کم تابش و وجود یک دز آستانه غیرصفر برای ابتلا به لوسی هنوز بدون پاسخ مانده و موضوع بحث و جدل است. در هیروشیما و ناکازاکی یک رابطه مشخص بین دز و پاسخ مشاهده شده است. کمترین دزا بتلا به لوسی در هیروشیما در گستره از 20 تا 40 راد (20 تا 40 گری) بوده است، و در ناکازاکی افزایش ابتلا به این بیماری در میان افرادی که تحت تأثیر کمتر از 1 Gy (100 rad) قرار گرفته بودند مشاهده نشده است. اختلاف بارزی که در این دو شهر دیده می‌شود



شکل ۳.۷ نمودار آهنگ ابتلا به سرطان خون در میان بازماندگان بیماران هسته‌ای هیروشیما و ناکازاکی.

ناشی از مقدار نسبتاً زیاد نوترون موجود در دز تابش هیروشیما، و نبود تابش نوترون (کمتر از ۲٪ دذکل) در ناکازاکی است. هیچ نشانه‌ای از ابتلا به لوسی در میان کسانی که در حم مادر در معرض تابش حاصل از بمبها قرار گرفته بودند دیده نشده است. اما تحقیقاتی که در این زمینه در انگلستان انجام شد نشان می‌دهد کوکانی که هنگام عکسبرداری در حم مادر در معرض پرتو ایکس قرار می‌گیرند بیشتر از آنها بی این که در معرض پرتو ایکس قرار نمی‌گیرند به سرطان خون مبتلا می‌شوند. بر اساس این تحقیقات چنین استنباط شده که پرتو گیری به میزان اندک ($1-5 \text{ rad}$) $15-50 \text{ mGy}$ پرتو ایکس هم ممکن است باعث تولید سرطان خون شود. چون برآورد می‌شود که جنین درون رحم در برابر تابش در حدود ۲ تا ۱۵ بار حساستر از نوزاد متولد شده است، می‌توان گفت که بر اساس این داده‌ها در آستانه ابتلا به سرطان خون در گستره ($1-25 \text{ rad}$) $1-25 \text{ mGy}$ قرار دارد. از سوی دیگر، در مواردی که پرتو دهی به حمام به خاطر اندازه گیری ابعاد لگن خاصه انجام شده بود و به منظور تشخیص پزشکی، هیچ اثر سوئی از تابش مشاهده نشده است. تصور می‌رود که اختلاف بین این دونوع مشاهده متباین مربوط به عوامل پزشکی می‌باشد که استفاده از پرتوهای ایکس تشخیصی را ایجاد می‌کنند. این نتیجه گیری با نتایج سایر مطالعاتی که بنا بر آنها یک در آستانه برای ابتلا به لوسی وجود دارد، و مقدار آن برای پرتو گیری (حم در گستره) ($15-50 \text{ rad}$) $15-50 \text{ Gy}$ قرار می‌گیرد، مسازگار است. از این‌رو، با آنکه بر اساس اطلاعات موجود تابش یوننده در دزهای زیاد باعث ابتلا به سرطان خون می‌شود، نتایج حاصل از تحقیقات درباره سرطان‌زا بی دزهای کم هنوز هم قطعی نیست و موضوع بحث و جدل است. اما چون نتایج به دست آمده در مورد دزهای کم تابش ضد و نقیض‌اند، معقول این است که قبول کنیم دزهای سطح پایین بسیاری از عملیات تشخیص پزشکی پرتوهای X و دزهای ناشی از پرتو گیری حرفاًی در محدوده توصیه شده و تابش‌های طبیعی، اثر سرطان‌زا بی اندکی دارند، و احتمال ابتلا به بیماری در اثر تابش‌های حد پایین خیلی ضعیف است.

سرطان استخوان

از دیدگاه تاریخی، سرطان استخوان و ریه در اشخاصی که حرفة آنها کار با تابش بوده است از این لحاظ که بر سرطان‌زا ایزوتوپهای رسوب یافته در داخل بدن تأکید می‌کنند بسیار مهم‌اند. اگرچه خواص سرطان‌زا را دیم ظرف چند سال بعد از کشف آن توسط پیر و ماری کوری معلوم شد، ولی کوشش‌های انجام شده برای محافظت مردم از اثرات زیان‌بخش آن اندک یا ناچیز بود. یکی از نخستین کاربردهای صنعتی را دیم استفاده از آن در تهیه شبرنگها بود، زیرا هنگامی که پودر را دیم با بلور ZnS مخلوط می‌شود، بلورها بر اثر جذب انرژی از ذرات آلفای کسیل شده از را دیم تابناک می‌شوند. بزودی از این خاصیت برای ساختن بعضی ایزارها و صفحه‌های ساعتهای مچی استفاده کردند. بعد از اینکه جنگ جهانی دوم آغاز شد این کار بر را دیم گسترش وسیعی پیدا کرد. دختران،

برای زدن رنگ شبنما به روی صفحات ساعت، غالباً قلم موها را میان لبها یشان می‌گرفتند. در نتیجه هر بار که قلم مو را بین دو لب می‌گرفتند مقدار رادیم و مزوتوریم (که محصولی از واپاشی توریم است) را به طور ناخودآگاه می‌بلعیدند. در اوایل دهه ۱۹۲۵ میلادی چند تن از دوشیزگانی که برای رنگ زدن صفحات ساعت استخدام شده بودند، در اثر کم خونی همراه با فساد استخوانهای فک جان سپردند. دندانپزشکی که یکی دیگر از این دوشیزگان را مداوا می‌کرد حدس زد که احتمالاً بیماری او باید ناشی از عوارض شغلش باشد. پس از بررسی موارد بیشتری از آسیب استخوانی، از جمله سارکوم استخوانی، به طور قطع و یقین معلوم شد که رادیم عامل اصلی این عوارض بوده است. تحقیقات بعدی در مورد کسانی که کار رنگ زنی روی صفحات ساعت انجام داده بودند و بیمارانی که بدانها رادیم تزریق شده بود این نتیجه‌گیری به طور کامل تأیید شد. در این تحقیقات همچنین معلوم شد که رادیم قویاً میل به ماندن در استخوان را دارد، به طوری که ۲۵ تا ۳۵ سال بعد از پرتوگیری هنوز مقادیر قابل توجهی رسوب رادیم در استخوان بیافت می‌شد. در طی آزمایش‌های دیگری که روی حیوانات آزمایشگاهی انجام شد، تعدادی ایزوتوب پرتوزای «استخوان - خواه» کشف شد که ضایعاتی شبیه به رادیم تولید می‌کردند. استرونسیم و باریم پرتوزا و همچنین رادیم از لحاظ شیمیایی شبیه به کلسیم هستند و بنا بر این با ساختار معدنی استخوان و اپیفیز ترکیب می‌شوند. محصولات شکافت استخوان - خواه از نوع عناصر خاکی کمیاب نظیر Ce-144 و Pb-144 نیز تمايل به انباشتگی در ساختار معدنی دارند. معلوم شده است که عنصر فوق العاده سمی پلوتونیم در ضریع، ضریع داخلی، و قرابکول استخوان انباشته می‌شود. کلیه مواد استخوان - خواه را خیلی سمی می‌دانند، زیرا این مواد می‌توانند به بافت خونساز مغز استخوان که در برابر پرتوها حساسیت دارد آسیب وارد کنند. تمام مواد استخوان - خواه، در صورتی که به مقدار کافی به حیوانات آزمایشگاهی تزریق شوند، سرطان استخوان تولید می‌کنند.

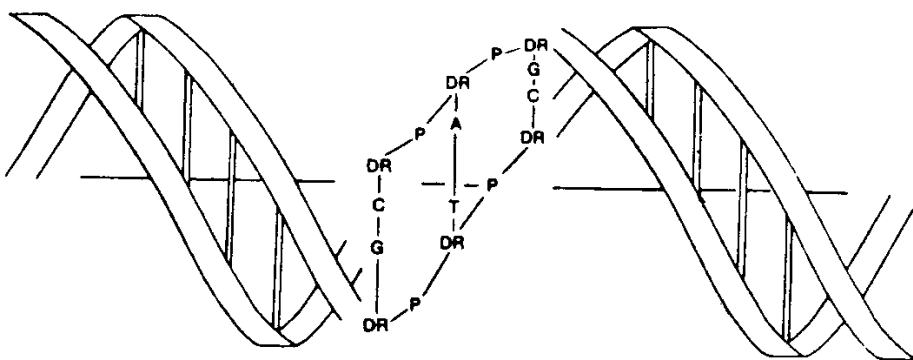
سرطان ریه

استعداد ریه برای ابتلا به سرطان در اثر تابش از مدت‌ها پیش شناخته شده است. در معادن نواحی جوشیمشتال و شنیبر گ که از لحاظ وجود پچبلند (سنگ معدن حاوی رادیم) و همچنین سایر سنگ‌های معدن مشکوک به سرطان زایی بسیار غنی هستند، به دلیل وجود رادیم در زمین، گاز رادون (که دخترهسته پرتوزای رادیم است) تولید می‌شود و پس از منصاعده شدن از زمین در هوای مناطق معدنی پخش می‌شود. چون رادون به نوبه خود پرتوزاست، نوادگان پرتوزای دیگری تولید می‌کند (جدول ۳۰.۴) و در نتیجه مقدار زیادی پرتوزایی ناشی از محصولات دختر رادون نیز اضافه می‌شود. تراکم جوی رادون در هوای این دو مرکز معدنی اروپا در حدود ($10^{-6} \mu\text{Ci}/\text{ml}$) $(3 \times 10^5 \text{Bq}/\text{m}^3)$ تشخیص داده شده است که باید به این مقدار فعالیتها دخترهسته‌ها را، که عمدتاً RaA و RaC هستند، نیز افزود. بسیاری از کارگران این معادن در طی ۱۵ سال پس از شروع

کار به سرطان نایزه مبتلا شدند. در آزمایشگاه با استفاده از موشها بی که روزانه در معرض تراکم جوی ($10^{-3} \mu\text{Ci}/\text{ml}$) $37\text{MBq}/\text{m}^3$ قرار می گرفتند، سرطان زایی ناشی از استنشاق را دون مورد تأیید واقع شد. سپس در مطالعات آزمایشگاهی دیگر در مورد رسب موارد پرتوزا در ریه که از طریق تزریق داخلی در نای، یا از راه استنشاق، یا وارد کردن مهره های شیشه ای محتوی ^{90}Sr به داخل پرده ریه، یا کاشتن استوانه کوچکی از ^{106}Ru به کمک عمل جراحی در نایزه، صورت می گرفت سرطان زایی تا بش در ریه، به اثبات رسید. از روی این تحقیقات همچنین معلوم شد که برای تولید سرطان در ریه، مواد معدنی پرتوزا باید برای مدتی در ریه باقی بمانند و در آنجا پرتوتایی کنند. در بیشتر موارد، فاصله میان پرتوگیری و مشاهده سرطان ریه بیشتر از ۱۰۰ روز بود. ولی در یک مورد فقط ۴۸ روز پس از تزریق ^{144}Ce به مقدار $15\mu\text{Ci}$ ، به صورت ذرات معلق CeF_3 در داخل نای، سرطان سلو لهای پوست مشاهده شده است. پرتوگیری ریه با پرتوهای ایکس ممکن است فیبروز و التهاب بافت ریوی تولید کند ولی باعث رشد غیرعادی نسوج نمی شود.

اثرات ژنتیکی

اطلاعات ژنتیکی لازم برای تولید و کار گرد یک اندام زنده جدید در کروموزومهای سلو لهای زایشی، یعنی در اسپرم و تخمک، نهفته است. سلو لهای بدنی هر انسان معمولاً 46 کروموزوم دارند، ولی اسپرم کامل و تخمک کامل هر یک 23 کروموزوم دارند. هنگامی که تخمکی به وسیله اسپرمی بارور می شود یاخته ای به نام سلو تخم حاصل می شود که 46 کروموزوم دارد. در دوران نه ماهه آبستنی تخم بارور شده با تقسیم یاخته ای به درپی و تنوع شکل به فرد جدید تبدیل می شود. کروموزومها در جریان تقسیم یاخته ای به دو نسخه دقیقاً یکسان تبدیل می شوند و در نتیجه تمام یاخته های بدن انسان حاوی اطلاعات ژنتیکی یکسان هستند. واحد های اطلاعاتی کروموزومهارا ذن می نامند. هر ذن یک ماکرو مولکول فوق العاده پیچیده به نام اسید دیوکسی ریبو فنو کلئیک (DNA) است که در آن اطلاعات ژنتیکی طبق مسلسله مراتب مجموعه های مولکولی معین و زیر مجموعه هایی که باز نامیده می شوند رمزگذاری شده است. مولکول DNA که وزنش از مرتبه 10^2 است، دو زنجیره طویل دارد که از قندهای پنتوز (دیوکسی ریبوز) و فسفاتها تشکیل می شود و به صورت مارپیچ مضاعفی دور یکدیگر می بیچد. این دو رشته بلند به هم پیچیده را بازها به هم نگه می دارند. بازها، درست مثل جای پاها در نرdbanهای چوبی، دو رشته طویل DNA را به هم وصل می کنند (شکل ۴.۷). بازها از چهار نوع مختلف تشکیل شده اند: ۲ نوع پورین که عبارت اند از آدنین (A) و گوانین (G) و ۲ نوع پیریمیدین که عبارت اند از: سیتوزین (C) و تیمین (T). وقتی دو تا از این بازها که هر کدام به یک رشته بلند چسبیده اند به هم می پیوندد، حلقه های اتصال بازی تشکیل می شود. این حلقه های اتصال ترتیب مشخصی دارد، زیرا



شکل ۴.۷ ساختار مولکولی DNA. نوکلئوتیدها، یارشته‌های مارپیچ دوگانه، به‌طور یک‌درمیان از واحدهای دیوکسی ریبوز (DR) و فسفات (P) تشکیل شده‌اند. دو زوج باز مکمل، آدنین (A) و تیمین (T)، و گوانین (G) و سیتوزین (C)، دو زنجیر نوکلئوتید را به‌هم وصل می‌کنند.

در آن آدنین فقط با تیمین (A-T) و سیتوزین فقط با گوانین (C-G) جفت می‌شود. اطلاعات موجود در ژنها به صورت رمز در سه تایه‌های ترکیبات مختلف حلقه‌های اتصال A-T و C-G نهفته است، و ترتیب این سه تایه‌ها اطلاعات ژنتیکی موجود در هر مولکول DNA را تعیین می‌کند.

اطلاعات ژنتیکی ممکن است بر اثر عوامل شیمیایی و فیزیکی مختلفی موسوم به عوامل جهش‌زاکه ترتیب بازها را در مولکول DNA بر هم می‌زنند، تغییر کنند. اگر در محتوای اطلاعاتی سلول‌های بدنش بی‌نظمی ایجاد شود، آنگاه ممکن است در اختلاف آن نوعی بی‌نهجاري پدید آید. اگر بی‌نظمی اطلاعات در سلول زایشی که بارور می‌شود صورت گیرد، آنگاه در موجود آینده ناسایی ژنتیکی یا جهش ایجاد خواهد شد. این جهش را جهش نقطه‌ای می‌نامند زیرا از آسیب وارد بر یک نقطه از ژن ناشی می‌شود. اکثر متخصصان ژنتیک عقیده دارند که بیشتر این جهشها در انسان نامطلوب و زیان‌آور است.

انحرافات کروموزومی، علاوه بر جهش‌های نقطه‌ای ممکن است به آسیب ژنتیکی هم منجر شود. بعضی عوامل فیزیکی یا شیمیایی می‌توانند کروموزومها را بشکنند. در اغلب این شکستنها، پاره‌های حاصل از شکست دوباره به هم پیوند ندارند، و تنها نتیجه آن ممکن است ایجاد جهش نقطه‌ای در محل شکستگی اصلی باشد. اما در موارد اندکی، پاره‌های حاصل از شکست دوباره به هم نمی‌پیوندند و ممکن است ضمن تقسیم سلولی یکی از این پاره‌ها ناپدید شود. در نتیجه سلول دختر اطلاعات ژنتیکی موجود در آن پاره گم شده را دریافت نمی‌کند. احتمال دیگری که از شکست کروموزوم، بویژه وقتی دو یا چند کروموزوم می‌شکنند، نتیجه می‌شود این است که در اثر تبادل پاره‌ها میان کروموزومهای شکسته شده کروموزومهای غیرعادی تولید شود. سلولهایی که کروموزومهای غیرعادی دارند، معمولاً علاوه بر سایر نانهجاريها از لحاظ قدرت تگثیر هم آسیب می‌بینند.

هرمان مولر، خواص جهش‌زایی تابش یوننده را در سال ۱۹۲۷ میلادی کشف کرد (وبه خاطر آن جایزه نوبل در پزشکی گرفت). وی اثرات ژنتیکی پرتوهای ایکس را بر روی حشرات تحقیق کرد. از آن زمان به بعد، تحقیقاتی بسیار روی تعداد بسیار زیادی از موجودات زنده با تمامی تابشها ی یوننده انجام شده و جهش‌زایی تمام این تابشها تأیید شده است. جهشها نقطه‌ای تغییراتی در سطح مولکولها هستند، اما بسیاری از رویدادهای زیست‌شیمیایی مؤثر بر رابطه پاسخ دز، بین تغییرات مولکولی ژن و آثار بدنی حاصل از آن رخ می‌دهد. برای مثال، اگر آسیب ژنتیکی سلول زایشی یا تخم باروری را غیرقابل زیست کند، هیچ موجود زنده‌ای که حامل چنین جهشی باشد به دنیا نخواهد آمد. بنابراین، از لحاظ تجربی هیچ اثر زیان‌آوری مشاهده نخواهد شد. با وجود این، تحقیقات نشان می‌دهد که وجود یک دز آستانه برای اثرات ژنتیکی تابش نامحتمل است. اما این تحقیقات همچنین نشان می‌دهند که اثرات ژنتیکی تابش در گستره دز (800 mrad/min) تا (90 rad/min) با آهنگ دز به‌وضوح حاکی از وجود یک سازوکار ترمیمی است که در آهنگهای دز بالا از بین می‌رود.

چه رابطه‌ای میان دز تابشی و احتمال جهش وجود دارد؟ متخصصان ژنتیک احتمال می‌دهند که در گستره $(50-250 \text{ rad})$ $(50-250 \text{ Gy})$ دوبرابر کردن دز تابش در نهایت منجر به دوباره شدن آهنگ جهش می‌شود. به عقیده این متخصصان در حدود 8 rad درصد مردم با صفات ژنی مسلط جهش یافته به دنیا می‌آیند، و تخمین می‌زنند که تقریباً 4% درصد از این افراد نتیجه جهشها جدیدی هستند که دریکی از والدین آنها سابقه نداشته است. در نتیجه می‌توان گفت که نسبت ژنهای مسلط جهشی جدید برابر است با $5000 \times 50 = 50000 \text{ rad}$. اگر فرض کنیم که رابطه پاسخ دز یک رابطه خطی و دز دوبرابر شدن برابر Gy باشد، و همچنین اگر فرض کنیم که دز تابش دریافتی تمام افرادی که زاد و ولد می‌کنند (1 rad) (1 mGy) باشد، در این صورت کسر جهشها مسلط جدید برابر تابش برابر $50000 \times (1/50) = 1000 \text{ rad}$ یا تقریباً 10 Gy خواهد بود. در صورتی که فقط یکی از والدین این دز تابش را دریافت کند، مقدار بالا نصف می‌شود (5000 rad). از این رو می‌توان احتمال داد که نسبت ژن مسلط جهش یافته در پدر یا مادری که پیش از آبستنی تابش دیده‌اند در حدود 3 در میلیون به ازای هر راد است. اما این احتمال، علاوه بر احتمال 320 در میلیون جهش «خود به خود» در نسبت ژن مسلط است.

سمیت و خطر

بدیهی است آنچه در بالا به عنوان کار تجربی بدان اشاره شد، و در آن تومورهای ریه از مواد پرتوزا ای حاصل می‌شد که با تزریق یا عمل جراحی وارد ریه شده بود، نمی‌تواند به عنوان معیار خطر حاصل از گردوبغار پرتوزا مورد استفاده قرار گیرد، بلکه فقط برای نشان دادن سمیت ماده پرتوزا پس از استقرار آن در محل مورد نظر به کار می‌رود. در مورد

خطر ناشی از گرد و غبارهای پرتوزای استنشاق شده (یا در واقع، خطر ناشی از هرماده سمی دیگر) باید احتمال رسیدن ماده سمی به محل تأثیر آن در نظر گرفته شود. در مورد گرد و غبار استنشاق شده، این محل را اپیتیلیوم برونشی، اپیتیلیوم کیسه‌های هوای و گرهای لنفی ریه می‌دانند. دو عامل عمده‌ای که بر میزان خطر ناشی از گرد و غبارهای سمی متعلق در هوا اثر می‌گذارند عبارت‌اند از: (۱) رسوب ذرات گرد و غبار در ریه، و (۲) احتباس ذرات گرد و غبار در ریه.

رسوب ذرات گرد و غبار در ریه عمده‌تاً به ابعاد ذرات، و احتباس در ریه به خواص فیزیکی و شیمیایی ذرات گرد و غبار و وضعیت فیزیولوژیکی ریه بستگی دارد. گرد و غبارهای توپیدشده در هر فرایندی بر حسب اندازه یا «قطر» به طور کثره‌ای در اطراف يك مقدار میانگین توزیع می‌شوند. این توزیع اندازه‌ها در مقیاس لگاریتمی، بهنجار است. یعنی این لگاریتم اندازه ذره است که به طور بهنجار توزیع می‌شود، نه مستقیماً اندازه ذره. در این مورد میانگین اندازه که به میانگین هندسی معروف است به صورت زیر تعریف می‌شود

$$m_g = \text{antilog} \left(\frac{\sum \log d_n}{n} \right) \quad (7.7)$$

که در آن d_n قطر هریک از ذرات مختلفی است که اندازه گیری می‌شود (غالباً بر حسب میکرون، $\text{cm}^{-4} = 1\mu = 10^{-4}$)، و n تعداد ذرات اندازه گیری شده است. انحراف معیار توزیع اندازه به صورت زیر تعریف می‌شود

$$\sigma_g = \text{antilog} \sqrt{ \left(\frac{\sum (\log d_n)^2}{n} - \left(\frac{\sum \log d_n}{n} \right)^2 \right)} \quad (8.7)$$

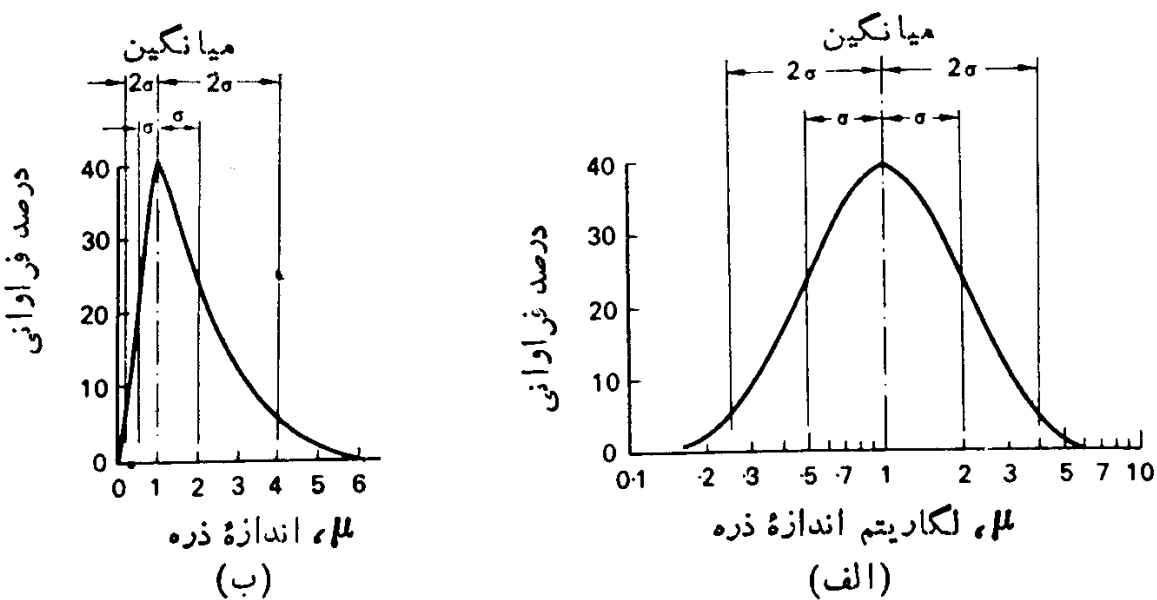
این مقدار، همان‌طور که در شکل ۵.۷ (الف) دیده می‌شود، با نقطه عطف منحنی توزیع گاؤس متناظر است. در هر توزیع بهنجاری ۶۸٪ جمعیت در محدوده بعلاوه و منهای يك انحراف معیار از مقدار میانگین، ۹۵٪ را ۹۹٪ جمعیت در محدوده بعلاوه و منهای ۲ انحراف معیار از مقدار میانگین قرار می‌گیرند. توزیع اندازه به دلیل ماهیت لگاریتمی توزیع باید به صورت زیر داده شود

$$m_g \pm \sigma_g \quad (9.7)$$

نه مثل مورد میانگین حسابی که به صورت زیر داده می‌شود

$$m_g \pm \sigma_g \quad (10.7)$$

به عنوان مثال اگر توزیع اندازه نیمه‌لگاریتمی ذرات گرد و غباری به صورت ۲ \times ۱۴



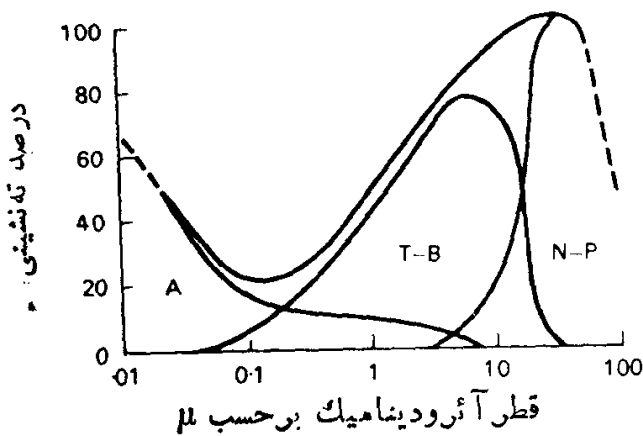
شکل ۵.۷ (الف) توزیع بهنجار لگاریتم اندازه ذرات گرد و غبار. لگاریتم قطر به صورت بهنجار توزیع شده است و از این‌رو، در صورتی که لگاریتم اندازه ذره بر حسب فراوانی رسم شود، یک توزیع گاوس به دست می‌آید. در این منحنی اندازه میانگین $\mu = 1$ ، و انحراف معیار هندسی برای $\sigma = 2$ است. (ب) منحنی توزیع اندازه به ازای داده‌های منحنی (الف). در این منحنی، پس از رسم تغییرات فراوانی بر حسب قطر، یک منحنی توزیع اریب به دست آمده است.

داده شود، آنگاه معلوم می‌شود که ۶۸٪ از تمام ذرات قطری بین ۰.۷ و ۱.۳ m میکرون و ۹۶٪ (با 2×1.3) میکرون و در حدود ۹۶٪ ذرات قطری بین ۰.۳۵ و ۰.۶۵ m خواهند داشت.

دستگاه تنفسی انسان را می‌توان بر اساس وظیفه فیزیولوژیک آن تقریباً به دو بخش مجرای تنفسی فوکانی و مجرای تنفسی تحتانی تقسیم کرد. قسمت فعال ریه، که در آن میان هوای دم و گاز محلول در خون تبادل گازی صورت می‌گیرد مجرای تنفسی تحتانی است. بقیه دستگاه تنفسی یا مجرای فوکانی که شامل معباری بینی، گلو، نای، نایزه‌ها و نایزکهای پایانی است، در واقع فقط حکم گذر گاههایی را دارند که گاز از طریق آنها از جو به کیسه‌های هوای ریه (یا همان مجرای تنفسی تحتانی) و بر عکس رفت و آمد می‌کند. حجم مجرای تنفسی که در واقع از لحاظ تبادل گاز یک فضای مرده محسوب می‌شود برای یک شخص بالغ متوسط در حدود ۱۵۰ ml است، ولی حجم هوای دم و بازدم در یک دوره تنفسی در حدود ۵۰۰ ml است. ظرفیت فعال باقیمانده یا حجم هوایی که پس از هر بازدم در ریه باقی می‌ماند برابر ۲۲ لیتر است. بنابراین ملاحظه می‌شود که معمولاً بخش نسبتاً کوچکی، یعنی فقط در حدود ۱۳٪ هوای موجود در ریه، در هر دوره تنفسی مبادله می‌شود. از طرف دیگر مجرای بینی ازموهایی پوشیده شده است که مثل صافی ذرات درشت را می‌گیرند اما مجرای تنفسی فوکانی از حدود نای تا نایزکهای پایانی را زبانه‌های مومنند بسیار ریزی

پوشانیده است که به طور منظم در تپش‌اند و از این طریق ذرات گرد و غباری را که بر سطح آنها می‌نشینند به سمت گلو پس می‌رانند. عمق نفوذ ذرات گرد و غبار به درون مجرای تنفسی به اندازه آنها بستگی دارد. ذرات بزرگ غبار که بزرگتر از حدود $5\text{ }\mu\text{m}$ باشند احتمالاً به وسیله موهای بینی و یا دراثر برخورد با سطح گلو-بینی متوقف می‌شوند. در اینجا باید توجه داشت که برای اینکه حرکت ذرات مستقل از حرکت هوا باشد باید، به استثنای جاذبه گرانشی، انرژی جنبشی خیلی زیادی داشته باشند. هرچه اندازه ذره کوچکتر باشد، اثر جاذبه گرانشی کمتر است. سرعت ته‌نشینی ذره‌ای به قطر $25\text{ }\mu\text{m}$ و با چگالی واحد در اثر جاذبه گرانشی برابر 1 cm/s است، در صورتی که اگر قطر همین ذره برابر $1\text{ }\mu\text{m}$ باشد تنها با آهنگ 5503 cm/s ره ته می‌نشیند. بنابراین در عمل، می‌توان فرض کرد که ذرات کوچک در هوا معلق می‌مانند و همه آنها، به استثنای ذرات خیلی بزرگ، بسا جریان هوا حرکت می‌کنند. در دستگاه تنفس چون مساحت سطح مقطع اکثر گذرگاه‌های هوا نسبتاً کوچک است، هوای دم ممکن است با سرعت نسبتاً زیادی به داخل کشیده شود. بنابراین، ذرات بزرگی که از صافی موهای بینی رد می‌شوند هنگام عبور از این گذرگاه‌ها از این جنبشی قابل توجهی دارند. درنتیجه، این ذرات بزرگ، به دلیل تکانهای که دارند، با هوای دم نمی‌توانند در مسیرهای خمیده به پیش بروند و بنابراین با دیواره‌های مجرای تنفسی فوکانی برخورد می‌کنند. اما اگر قطر ذرات از $5\text{ }\mu\text{m}$ کمتر باشد، از شدت ضربه لختی ذره تا حد زیادی کاسته می‌شود و درنتیجه تعداد زیادی ذره به درون ریه راه پیدا می‌کند. هوا در کیسه‌های هوای ریه نسبتاً ساکن است، زیرا فقط بهخش کوچکی از آن در هر دوره تنفس با هوای ورودی مبادله می‌شود. بنابراین ذراتی که به درون مجرای تنفسی تختانی رانده می‌شوند، این فرصت را پیدا می‌کنند که تحت تأثیر نیروی گرانشی ته‌نشین شوند. اما هرچه قطر ذره کوچکتر باشد کمتر ته‌نشین می‌شود، و اگر قطر ذره به حدود $(1/2)\text{ }\mu\text{m}$ برسد، میزان ته‌نشینی آن براثر گرانش برابر صفر خواهد شد. اگر قطر ذره کمتر از $1\text{ }\mu\text{m}$ باشد، حرکت برآونی غالب می‌شود. ترکیب این سه اثر، یعنی ضربه لختی، ته‌نشینی براثر گرانش، و حرکت برآونی، همان‌طور که در شکل ۷.۶ مشاهده می‌شود، احتمال ته‌نشینی ذراتی را که اندازه آنها در گستره $1-2\text{ }\mu\text{m}$ قرار دارند در مجرای تنفسی تختانی به حداقل می‌رساند.

عامل احتباس ذرات در ریه به مساحت مجرای تنفسی که در آن ذرات ته‌نشین می‌شوند، به خواص فیزیکی و شیمیایی ذرات، و به خواص فیزیولوژیکی ریه بستگی دارد. احتباس ذرات در هوای دم و یا بر عکس دفع ذرات از طریق هوای بازدم، به دلیل نقش آنها در مدت زمان پرتوگیری بافت و دزکل، در تعیین میزان خطر از اهمیت قابل ملاحظه‌ای برخود دارد. پژوهش‌هایی که در زمینه احتباس گرد و غبارهای مختلف در ریه انجام شده است، نشان می‌دهد که نمودار گرد و غبار باقیمانده در ریه پس از توقف پرتوگیری به صورت منحنی نمایی پیچیده‌ای در می‌آید که دستکم دو مؤلفه دارد: یکی مؤلفه نیمه عمر احتباس که از مرتبه چند ساعت است، و دیگری از مرتبه چند روز. در بسیاری موارد مؤلفه



شکل ۶.۷ ته نشینی ذرات گرد و غبار در مجرای تنفسی. ناحیه A عمدتاً ته نشینی در کیسه‌های هوا، ناحیه T-B عمدتاً در نای-نایزه، و ناحیه N-P در گلو و بینی است. ته نشینی کل برابر مجموع این سه ته نشینی است.

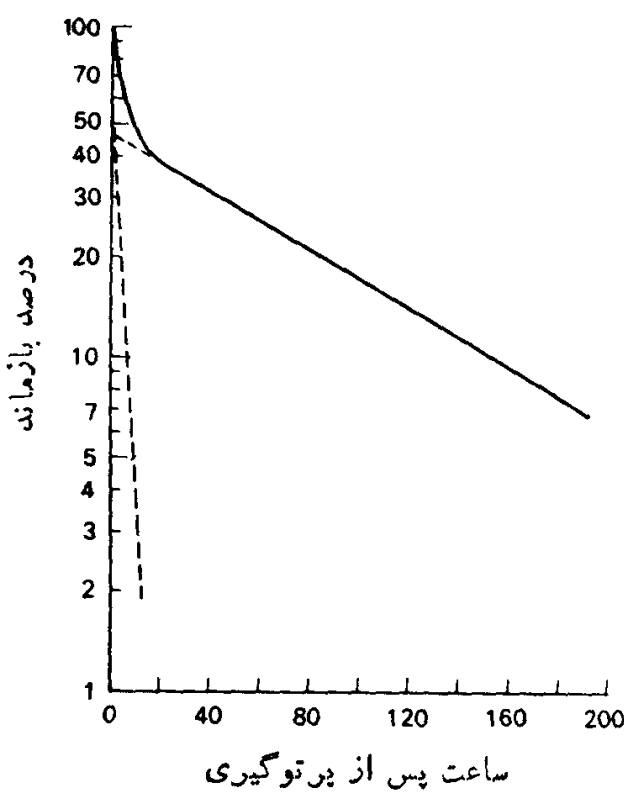
دوم نیز پیچیده است و می‌توان آن را به ۲ یا ۳ مؤلفه تجزیه کرد. معادله جبری این منحنی به صورت زیر است

$$D = D_1 e^{-k_1 d} + D_2 e^{-k_2 d} + \dots \quad (11.7)$$

شکل ۷.۷ یک منحنی احتباس دو مؤلفه‌ای نوعی را که با دو جمله اول معادله (۱۱.۷) توصیف می‌شود نشان می‌دهد.

نخستین مؤلفه این منحنی میز انگرد و غبار در مجرای تنفسی فوکانی، D_1 مقدار رسوب گرد و غبار در آنجا، و k_1 آهنگ دفع گرد و غبار از آنجا را نشان می‌دهد. D_2 نشان‌دهنده رسوب اولیه گرد و غبار در مجرای تنفسی تحتانی، و k_2 آهنگ دفع گرد و غبار از همان مجراست.

تصور می‌رود که برای دفع ذرات خارجی از ریه دستکم سه سازوکار متمایز باید همزمان عمل کنند: یکی دفع از طریق زبانه‌هاست که فقط در مجرای تنفس فوکانی عمل می‌کند. تپش موزون زبانه‌ها ذرات را با سرعت بسیار زیاد روبروی بالا به طرف گلو می‌راند که در آنجا بلعیده می‌شوند. سرعت ذرات از حدود ۲ mm/min تا ۳ cm/min در نای در تغییر است. دو سازوکار دیگر دفع که عمدتاً مربوط به ذرات معلق در مجرای تنفسی تحتانی می‌شوند عبارت اند از قابلیت اتحال و جذب در بستر مویر گها در غشای کیسه‌های هوا، وحذف از طریق فراپند بیکانه‌خواری. باید خاطر نشان کرد که قابلیت اتحال هر ماده معینی در آب لزوماً به معنای قابلیت اتحال در ریه نیست. برای مثال چیوه حاصل از ترکیب ^{203}HgS که یکی از نامحلولترین مواد شیمیایی به شمار می‌رود، به مقدار قابل توجهی در کلیه‌ها و در ادرار موشهای صحرابی که در معرض ذرات HgS (به قطر ۱۰ μ) قرار گرفته بودند مشاهده شده است. از سوی دیگر، پس از تزریق CeCl_3 به صورت محلول ^{144}Ce به داخل نای معلوم شده است که ^{144}Ce مدت زمان محدودی در ریه



شکل ۷.۷ منحنی اختباس ریوی مقدار ذرات BaSO_4 بازمانده در ریه را به صورت تابعی از زمان پس از دریافت نشان می‌دهد. در این منحنی، ۵۳٪ گرد و غبار در مجرای تنفسی فوقانی ته‌نشین می‌شود و آهنگ دفع از آن (URT) ۲۷٪ در ساعت است. مقدار ۴۷٪ گرد و غبار در مجرای تنفس تحتانی ته‌نشین می‌شود که آهنگ دفع آن ۱٪ در ساعت است.

باقي می‌ماند. در این مورد، Ce موجود در محلول به پروتئین بافت ریه می‌چسبد، و مقدار خیلی کمی سریم به داخل خون راه می‌یابد. ولی به نظر می‌رسد که این مورد سریم یک حالت استثنایی است. بیشتر ذرات استنشاق شده قابل حل وارد خون می‌شوند و اجزای متشکله شیمیایی آنها به بافت‌ها و سایر اندام‌ها انتقال می‌یابند و ممکن است به طور منظم در آنها جذب شوند. از این‌رو، ریه می‌تواند دروازه ورودی مناسبی برای ورود نوکلیدهای پرتوزا را جذب کرده‌اند ممکن است در سینوسهای گرده لنفی نایی - نایزهای گیر بیفتد، و ممکن است برای مدهای زیاد در همانجا باقی بمانند. این ابتارش گرد و غبار پرتوزا در گرهای لنفی ممکن است باعث شود که در تابش گرهای لنفی از ریه‌ها بیشتر شود. آهنگ بیگانه‌خواری تا حد زیادی به نوع ذره گرد و غبار بستگی دارد، و از آن گذشته معلوم شده

بیگانه‌خواری در واقع عبارت است از جذب ذرات بیگانه به وسیله یاخته‌های درشت‌خوار کیسه‌های هوای ریه و سپس دفع آنها از طریق «پلکان» زبانه‌ها و یا از طریق دستگاه لنفی که سازوکار عمده دفع ریه به شمار می‌رود. یاخته‌های بیگانه‌خواری که ذرات پرتوزا را جذب کرده‌اند ممکن است در سینوسهای گرده لنفی نایی - نایزهای گیر بیفتد، و ممکن است برای مدهای زیاد در همانجا باقی بمانند. این ابتارش گرد و غبار پرتوزا در گرهای لنفی ممکن است باعث شود که در تابش گرهای لنفی از ریه‌ها بیشتر شود. آهنگ بیگانه‌خواری تا حد زیادی به نوع ذره گرد و غبار بستگی دارد، و از آن گذشته معلوم شده

است که آهنگ که بیگانه خواری ذرات پرتوza از ذرات ناپرتوزا بیایی که ترکیب شیمیایی، خواص فیزیکی و توزیع اندازه آنها با ذرات پرتوza یکسان است خیلی کند است. از روی گوناگونی عواملی که در تعیین اثرات زیست‌شناختی مواد پرتوزا و اثرات شده نقشی دارند، چنین بر می‌آید که میان تراکم جوی کل ایزوتوبهای پرتوزا و اثرات آنها در ریه یک رابطه کمی ساده وجود ندارد. بنا بر این بهتر است معیارهای مربوط به کنترل محیط زیستی گرد و غبارهای پرتوزا را با قيد اختیاط به گاربریم.

کوتاهی عمر

سرطان ناشی از بیش پرتو گیری به طور طبیعی موجب کوتاهی عمر می‌شود. علاوه بر این مرگ زودرس، دزهای زیاد تابش از طریق افزایش آهنگ پیری نیز باعث کوتاهی عمر می‌شود. این اثر کوتاهی عمر در میان حیوانات آزمایشگاهی دیده شده است. عامل اصلی مرگ این حیوانات را نمی‌توان به طور قطعه و یقین به تابش نسبت داد. علل مرگ این حیوانات، همان عواملی است که در میان گروهی از آنها دیده می‌شود. فقط آهنگ این نوع مرگ از نظر سنی فرق می‌کند، به این معنی که مرگ حیواناتی که تحت تأثیر تابش قرار گرفته اند زودتر اتفاق می‌افتد. با آنکه پدیده کوتاهی عمر بهوضوح در حیوانات دیده شده است، نظیر آن در انسان مشاهده نشده است. مقایسه طول عمر متخصصانی که در کارشان از پرتوهای ایکس استفاده می‌کنند با کسانی که با این پرتوها سروکاری ندارند، نتایج متصادی به دست می‌دهد. به عبارت دیگر در حالی که بعضی داده‌ها افزایش آهنگ مرگ به علل نامشخص را در میان استفاده کنندگان از پرتوهای ایکس تأیید می‌کند، داده‌های دیگر اختلاف قابل توجهی را از لحاظ آماری میان این دو گروه نشان نمی‌دهد. بنا بر این واضح است که پرتو گیری در سطوحی که معمولاً پرتوشناسان و سایر پزشکانی که از پرتو ایکس استفاده می‌کنند با آن سروکاردارند، آنقدر زیاد نیست که آهنگ فرایند پیری را تسريع کند و باعث کوتاهی عمر شود.

آب مروارید

پیدایش آب مروارید در بین فیزیکدانانی که به علت اشتغال در آزمایشگاههای سیکلوترونی، چشمها یشان برای مدت زمان نسبتاً مديدة به طور متناوب در معرض میدانهای تابشی باشدت کم قرار می‌گرفت و در میان بازماندگان بمبهای اتمی که چشمها یشان در معرض یک دزنفرد تابش شدید قرار گرفته بود، نشان داد که بیش پرتو گیری حاد و مزمن ممکن است آب مروارید ایجاد کند. و ازگاهی تابش ممکن است به قرنیه، ملتحمه، عنینه، و عدسی چشم نیز آسیب برساند. در مورد عدسی، محل اصلی آسیب سلولهای تکثیرشونده اپیتلیوم قدامی است. این امر در عدسی تارهای ناهنجاری تولید می‌کند که سرانجام، در اثر فرمودگی، ناحیه کدری که به آب مروارید معروف است تشکیل می‌شود و از رسیدن نور به شبکیه جلو گیری

می‌کند. دز لازم برای تولید آب مروارید در عدسی از مرتبه 500 rad تا بشگاما یا بتا است، ولی نوترونهای تند از پرتوهای ایکس یا بتا در تولید آب مروارید مؤثرتر هستند. گزارش شده است که در اثر تابشدن دزی معادل 200 rad از مخلوط نوترون و گاما به عدسی چشم، آب مروارید در عدسی تشکیل می‌شود.

تمام تابشها در تولید آب مروارید اثر یکسانی ندارند، مثلاً نوترونها از سایر انواع تابش مؤثرتر هستند. همچنین از آزمایش با حیوانات به این نتیجه رسیده‌اند که دز تولید آب مروارید تابع سن حیوان است، و حیوانات جوان از پیرها حساس‌ترند. از طرف دیگر بر اساس داده‌های حاصل از پرتوگیری شغلی تخمین زده می‌شود که دز آستانه برای آب مروارید بین حدود 15 تا 45 rad نوترون است. هیچ نوع اثر آب مروارید زایی تاکنون از پرتوگیری شغلی پرتوهای X گزارش نشده است. در میان بیمارانی که بر اثر پرتو درمانی با پرتوهای X آب مروارید در چشم آنها تولید شده است، آستانه آب مروارید زایی در حدود 200 rad تخمین زده شده است. در آب مرواریدهای ناشی از تابش شغلی یاد رمانی، معمولاً یک دوره کمون بسیار طولانی از مرتبه چندین سال بین پرتوگیری و پیدایش تاری در عدسی چشم وجود دارد.

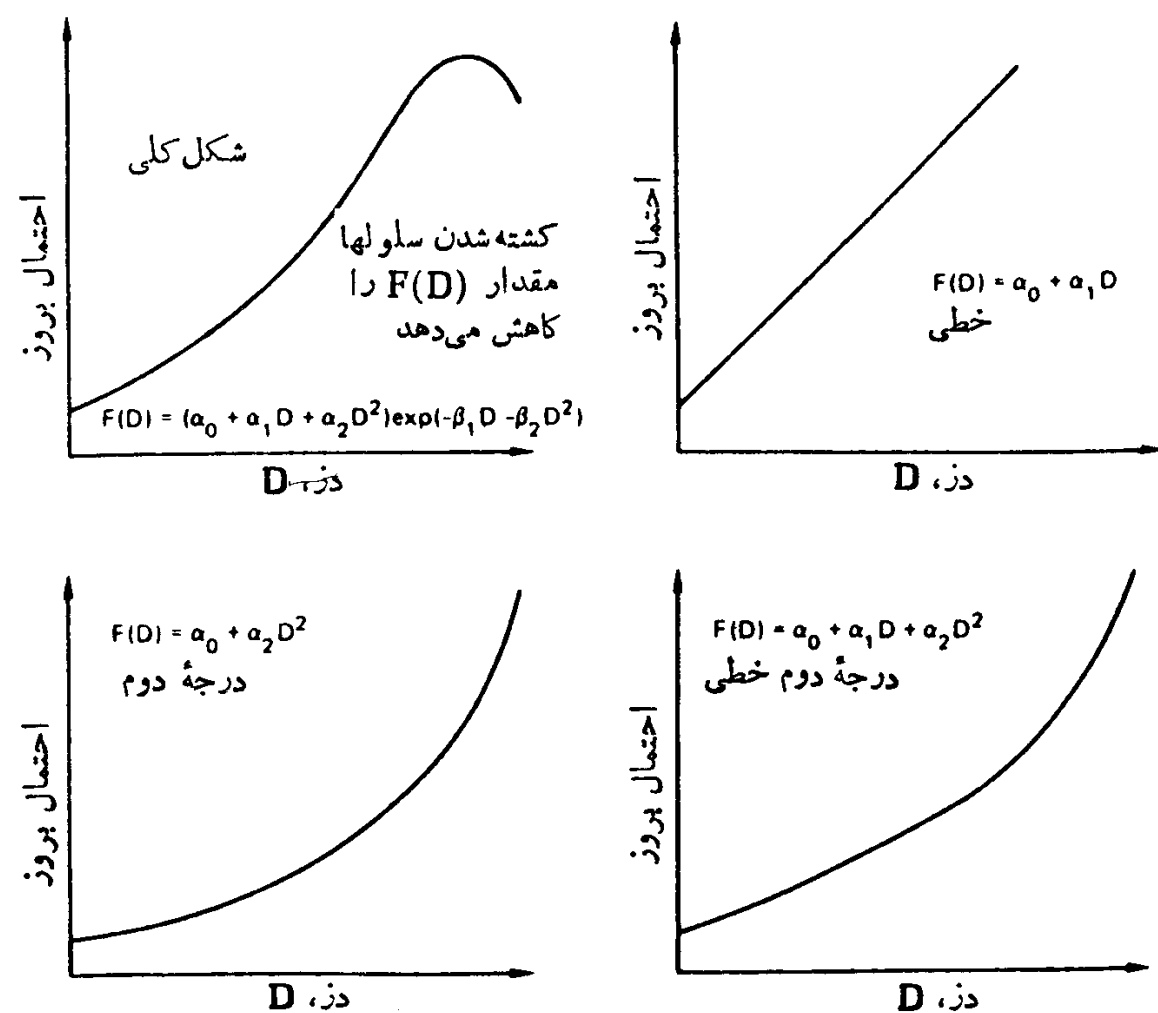
برآورد مخاطرات احتمالی: BEIR III

سیاست کلی در بررسی مخاطرات احتمالی ناشی از ابداعات تکنولوژی، به خطرات بالقوه و خطرات بالفعل بستگی دارد. در مورد خطرات ناشی از پرتوگیری باشد که از تابش یوننده، ماهیت تصادفی اثرات زیانبار پرتوگیری همراه با احتمال خیلی کم آن، ایجاد می‌کند که میزان خطر فقط از طریق مطالعه گروههای بزرگی از افراد برآورده شود. آخرین دستاوردهای این نوع مطالعات درباره اثرات زیست‌شناسی تابش یوننده (تا سال ۱۹۸۲ میلادی) را آکادمی ملی کمیته علوم امریکا در گزارش BEIR III تحت عنوان اثرات پرتوگیری قابش‌های یوننده کم‌شدت بر اجتماعات (۱۹۸۰) منتشر کرده است. در این گزارش که اثرات بدنی (بویژه سرطان) و اثرات ارثی تابش را مورد بررسی قرار می‌دهد، اعضای کمیته روی روابط پاسخ دز دردهای بالای حدود (100 rad) (100 Gy) و بیشتر که با آهنگهای خیلی زیاد تحويل بدن می‌شوند توافق کرده‌اند. این اعضا همچنین به این نتیجه رسیده‌اند که هر نوع عوارض بدنی، که ممکن است ناشی از آهنگ دز زمینه یا (100 mGy) (100 mrad) در سال باشد، تحت الشعاع عوامل دیگر قرار می‌گیرد. در مورد اثرات ژنتیکی، این کمیته نتیجه گرفته است که هیچ نوع عارضه ژنتیکی در اثر تابش به انسان منتقل نشده است و احتمال ندارد که منتقل شود. بنابراین خطرات ناشی از آسیبهای ژنتیکی باید بر آزمایش‌های حیوانی متکی باشد. دونفر از اعضای این کمیته با رأی اکثریت مخالف بودند. یکی از آنها برای عقیده بود که عوامل مخاطره تخمین زده شده برای تابش کم LET خیلی زیاد است، و دیگری عقیده داشت که بر عکس این تخمین خیلی کم است.

این مخالفت حول این مسئله بود که آیا واقعاً اثرات فرضی دزهای از مرتبه ۱۰۰ mSv (۱۰۰ mrem تا ۱۰۰ mrem) در سال بر دز زمینه طبیعی کل جمعیت افزوده می‌شود، و آیا اثرات فرضی دزهای از مرتبه ۵ تا ۵۰۰ mSv (۵۰ mrem تا ۵۰۰ mrem) در سال حقیقتاً در میان کسانی که از طریق شغل در معرض پرتوگیری قرار می‌گیرند پدید می‌آید یا نه. اساس نظر این اقلیت تا حدود زیادی بر عدم قطعیتی مبنی است که در شکل دقیق منحنی پاسخ دز در دزهای پایین وجود دارد. شکل تابعی منحنی تعمیم یافته پاسخ دز (شکل ۸.۷) به صورت زیر است.

$$F(D) = (\alpha_0 + \alpha_1 D + \alpha_2 D^2) \exp(-\beta_1 D - \beta_2 D^2) \quad (12.7)$$

که در آن $F(D)$ احتمال بروز اثر مورد نظر (مثلاً سرطان) در دز D است، $\alpha_0, \alpha_1, \alpha_2$ و β_1, β_2 مقادیر مثبت و نشاندهنده وقوع «خود به خودی» یا «طبیعی» همان اثر است. β_2 فقط در دزهای زیاد مهم هستند. بسته به اینکه کدام یک از این ضرایب کم اهمیت یا قابل حذف باشند، منحنی تعمیم یافته به سه منحنی ساده که در شکل ۸.۷ نشان داده شده‌اند



شکل ۸.۷ منحنیهای مختلف پاسخ دز.

تبديل می‌شود. این سه منحنی به ترتیب خطی، درجه دوم ساده، و درجه دوم خطی هستند. داده‌های تجربی موجود بهما اجازه نمی‌دهند که یکی از این سه منحنی را بر دو منحنی دیگر ترجیح بدهیم. اکثریت اعضای کمیته برای تخمین مخاطرات احتمالی ذهای کم، منحنی درجه دوم خطی، یکی از دو عضو مخالف منحنی خطی، و دیگری منحنی درجه دوم ساده را انتخاب کردند.

عملده ترین منابع داده‌ها بی که بر اساس آنها مخاطرات احتمالی تخمین زده می‌شود، بازماندگان بمباران هسته‌ای هیروشیما و ناکازاکی و بیمارانی هستند که برای درمان اسپوندیلیت آنکیلوز، یا سایر بیماریها در معرض ذهای تابش درمانی قرار می‌گیرند، و کسانی مثل نقاشان صفحه ساعت رادیم و کارگران معدن اورانیم هستند که به مناسب شغلشان در معرض تابش قرار می‌گیرند. گستره برآوردهای خطرات احتمالی، از گزارش BEIR III و چندین منبع دیگر در جدول ۱.۷ آمده است.

چون هیچ نوع اثرزنیکی ناشی از تابش باشد کم در انسان مشاهده نشده است، برآورد مخاطرات احتمالی ژنتیکی کاملاً مبتنی بر تحقیقات روی حیوانات است. این خطرات به دو صورت تخمین زده می‌شود: در یکی از این دو که به روش دفع شدن موسوم است آهنگهای جهش ناشی از تابش که در آزمایش با موشها به دست می‌آید با آهنگهای خود به خودی اختلال ارثی در انسان مقایسه می‌شود، و بر این اساس دز لازم برای دو برآور شدن این آهنگ خود به خودی را در آزمایش با موشها تعیین می‌کنند. کمیته

جدول ۱.۷ برآورد مخاطرات احتمالی سرطان بدخیم ناشی از تابش کم شدت LET.

منبع	مرگهای ناشی از سرطان در هر میلیون نفر
منبع	نفر- رم
BEIR III (۱۹۸۰)	
اکثریت اعضای	۶۷-۲۲۶
اقایت الف (۱ عضو)	۱۵۸-۵۰۱
اقلیت ب (۱ عضو)	۱۰-۲۸
BEIR I (۱۹۷۲)	۱۱۵-۶۲۱
ICRP (۱۹۷۲)	۱۲۵
UNSCEAR (۱۹۷۷)	۱۰۰

BEIR III دز مضاعف شدن را از ۵۰ تا ۲۵۰ دز (۵۰ ده تا ۲۵ ده سیورت) برآورد کرده است که با خطر جهش نسبی از ۲۵۰ ده تا ۵۵۰ ده بهازای هر دز متناظر است. در آهنگی معادل دو برابر آهنگ جهش موجود، فقط پس از چندین نسل (شاید پس از ۱۵ نسل) تعادل جدیدی به وجود می‌آید. با این روش، BEIR III در حدود ۵۰ تا ۱۱۰۰ اختلال ژنتیکی اضافی را هنگام برقراری تعادل جدید پیش‌بینی می‌کند.

در روش دیگر، از داده‌های پاسخ دز حاصل از آزمایش با موشها مستقیماً برای تخمین خطرات ژنتیکی ناشی از تابش یوننده در انسان استفاده می‌شود. BEIR III بر اساس این روش فرض کرده است که دریافت دز (1 Sv) در میان ۱۰ ده توسط هر پدر یا مادری قبل از بارداری به ۵۰ تا ۵۶ اختلال ارثی اضافی در هر میلیون نوزاد در نخستین نسل منجر می‌شود. در حال حاضر آهنگ وقوع (خود به خودی و به علت‌های غیر از تابش) اختلالهای ارثی در انسان تقریباً ۱۵۷۰۰۰ در هر میلیون نوزاد است.

تأثیر نسبی ذیست‌شناختی (RBE) و ضریب کیفیت (QF)

نه تنها نوترونها را در تولید آب مروارید از پرتوهای ایکس مؤثرتر یافته‌ایم، بلکه تابش آلفا نیز زیانبارتر از تابش گاما یا بتاست. هنگامی که سمیت نسبی یا آسیب ناشی از تابش‌های مختلف باهم مقایسه می‌شود، بافرض اینکه این مقایسه بر اساس جذب مقادیر پیکسان انرژی صورت بگیرد، معلوم می‌شود که هر چه آهنگ انتقال انرژی (LET) بیشتر باشد، آسیب رسانی تابش به موجود زنده نیز بیشتر است. بنا به تعریف، نسبت مقدار انرژی لازم از پرتوهای ایکس به تولید اثری مشخص به انرژی لازم از هر تابش دیگر برای تولید همین اثر را تأثیر نسبی ذیست‌شناختی (باعلامت اختصاری RBE) آن تابش می‌نامند. مقدار RBE هر تابش مخصوصی به اثر دقیق ذیست‌شناختی آن تابش در نوع معینی از موجودات زنده تحت مجموعه معینی از شرایط آزمایشگاهی بستگی دارد. بنابراین

جدول ۲.۷ رابطه میان ضریب کیفیت (QF) و انتقال خطی انرژی (LET).

LET (keV/ μm) در آب	QF
۳۵ یا کمتر	۱
۳۵-۷۵	۱-۲
۷۵-۲۳	۲-۵
۲۳-۵۳	۵-۱۰
۵۳-۱۷۵	۱۰-۲۰

اصطلاح RBE به کاربرد زیست‌شناسی تابشها محدود می‌شود. در فیزیک بهداشت در جمع زنی دزهای مختلف یک حد بالای محتاطانه RBE برای مهمترین اثر ناشی از تابش غیر از تابش مرجع (پرتوهای ایکس ۲۰۰ keV) به عنوان عامل بهنجار کننده در نظر گرفته می‌شود. این عامل بهنجار کننده که خوبی کیفیت (و به طور خلاصه QF) خوانده می‌شود، همان گونه که در جدول ۳.۷ دیده می‌شود به LET بستگی دارد. برای سهولت در انجام آزمایش‌های فیزیک بهداشت و مقاصد تجویزی، ضرایب کیفیت پیشنهادی تابش‌های مختلفی که متخصصان فیزیک بهداشت بیشتر با آنها سروکار دارند در جدول ۳.۷ آمده است.

جدول ۳.۷ مقادیر ضرایب کیفیت برای تابش‌های گوناگون.

تابش	QF
پرتوهای گاما رادیم درحال تعادل با فراورده‌های واپاشی آن (پس از عبور از ۵ mm در صافی پلاتین)	۱
پرتوهای ایکس	۱
پرتوهای بتا والکترونهای با انرژی بیشتر از ۵۰۰ MeV	۱
پرتوهای بتا والکترونهای با انرژی کمتر از ۵۰۰ MeV	۱۰۷
نوترونهای گرمایی	۲
نوترونهای تند	۱۰
پرتوهای بتا	۱۰
پرتوهای آلفا	۲۰
یونهای سنگین	۲۰

دز معادل: سیورت (ورم)

سیورت که با اعلام اختصاری Sv نشان داده می‌شود یکی از معادل تابشی، H₁₀ است که در اندازه گیری‌های مربوط به حفاظت تابشی، معیارهای طراحی مهندسی، و در موارد تجویزی و حقوقی به کار می‌رود. دز معادل (بر حسب سیورت)، علاوه بر دز جذب شده، QF تابش و همچنین عوامل دیگری چون ضرایب توزیع نایکنواخت DF را که فقط در مورد استخوان-خواه‌ها به کار می‌رود و ممکن است بر اثر زیست‌شناسی دز جذب شده معین تأثیر بگذارد شامل می‌شود. (در فصل ۸ ضرایب توزیع، در ارتباط با تراکم ایزوتوپهای پرتوza

در آب آشامیدنی بر اساس مقایسه با رادیم، مورد بحث قرار گرفته است). دز معادل به صورت زیر تعریف می‌شود

$$H, \text{Sv} = D, \text{Gy} \times QF \times DF \quad (13.7)$$

طبق این معادله هر 1 mGy ۱ دز جذب شده از پرتوهای ایکس یا بتا متناظر است با دز معادل 1 mSv ، در صورتی که هر 1 mGy ۱ دز نوترون تند با دز معادل 20 mSv متناظر است. باید توجه داشت که گری فقط به عوامل فیزیکی، و سیورت به هردو عامل فیزیکی و زیست‌شناسی بستگی دارد. حدود دز یا بیشینه‌های دز مجاز تابش بر حسب یکای سیورت یا میلی‌سیورت داده می‌شود.

در مثال زیر، کاربرد یکای سیورت در بررسیهای معمولی تابش آمده است.
آهنگ دز در خارج از حفاظ یک سیکلوترون به صورت زیر است.

$$\text{گاما: } 5 \mu\text{Gy/h} (5 \text{ mrad/h})$$

$$\text{نوترونهای گرمایی: } 2 \mu\text{Gy/h} (2 \text{ mrad/h})$$

$$\text{و نوترونهای تند: } 1 \mu\text{Gy/h} (1 \text{ mrad/h})$$

آهنگ دز معادل مجموعه این تابشها چقدر است؟

$$5 \mu\text{Gy/h} \times 1 = 5 \mu\text{Sv/h}$$

$$2 \mu\text{Gy/h} \times 2 = 4 \mu\text{Sv/h}$$

$$1 \mu\text{Gy/h} \times 20 = 20 \mu\text{Sv/h}$$

$$H = 29 \mu\text{Sv/h}$$

در دستگاه یکاهای cgs که در آن دز بر حسب rad است، یکای دز معادل رم است که به صورت زیر تعریف می‌شود

$$H, \text{rem} = D, \text{rad} \times QF \times DF \quad (14.7)$$

با استفاده از یکاهای cgs در مثال بالا دز معادل برابر 29 mrem/h به دست می‌آید. دز معادل انباشته صرفاً همان دز انباشته ناشی از یک پرتوگیری یا عملیات خاص است که با استفاده از معادله (۱۳.۷) به سیورت یا با استفاده از معادله (۱۴.۷) به رم تبدیل شده است.

در مواردی که تعیین استاندارد مورد نظر است، از اصطلاح انباشت دز معادل H_{50} استفاده می‌کنیم که به صورت دز معادلی تعریف می‌شود که طی ۵۵ سال بعداز جذب ایزوتوپ پرتوزا انباشته می‌شود

$$H_{50} = \int_0^{50} H(t) dt \quad (15.7)$$

تابش پر انرژی

تابش‌های پر انرژی نظیر تابش ناشی از شتاب‌دهنده‌های پر انرژی که ذرات را تا حدود GeV شتاب می‌دهند، مسائل خاصی به وجود می‌آورند. در این موارد، مزد جذب شده را می‌توان با استفاده از اتاقلهک یونش معادل بافت اندازه‌گیری کرد. هر چند اندازه‌گیری توزیع طیفی این تابش دشوارتر است، اما می‌توان آن را با استفاده از تکنیک‌ها بی‌چون تکنیک آشکارسازی رد در فیلم‌ها، تحلیل ارتفاع تپ، آشکارسازهای آستانه‌ای، و روش‌های جذب به طور تقریبی برآورد کرد. اما آثار زیست‌شناسی این نوع تابشها که انرژی زیاد دارند آنقدر شناخته شده نیست که بتوانیم به کمال آنها مقادیر عددی ضریب کیفیت را بادقت تعیین کنیم. از این لحاظ، آهنگ خیلی زیاد انتقال خطی انرژی (LET) به وسیله یونهای سنگین پر انرژی بیشتر مورد نظر است.



راهنمای حفاظت در برابر تابش

سازمانهای تدوین کننده استانداردها

کمیسیون بین‌المللی حفاظت پرتوشناسی

مسئولیت اصلی تهیه راهنمای اینمی در برابر تابش بر عهده کمیسیون بین‌المللی حفاظت پرتوشناسی (ICRP) قرار دارد. این سازمان در سال ۱۹۲۸ در دو میں کنگره بین‌المللی پرتوشناسی با عنوان «کمیسیون بین‌المللی حفاظت در برابر پرتو ایکس و رادیم» تأسیس شد. در آن زمان و چندین سال پس از آن نگرانی عمده این کمیسیون جنبه‌های اینمی پرتوشناسی پژوهشی بود. با کاربرد وسیع تابش در خارج از حوزه پژوهشی، وظایف این کمیسیون نیز گسترش یافت و در سال ۱۹۵۵ نام آن به کمیسیون بین‌المللی حفاظت پرتوشناسی تغییر (ICRP) پیدا کرد تا حوزه فعالیت آن را دقیق‌تر در بر گیرد. ICRP هدف از تأسیس خود را به این صورت بیان کرده است: «این کمیسیون برآن است که اصول بنیادی حفاظت در برابر تابش را تدوین کند و مسئولیت تهیه جزئیات آینه‌ها و توصیه‌های فنی یا دستورالعملها را به کمیته‌های حفاظت کشورهای مختلف جهان واگذارد تا متناسب با نیازهای خاص کشورهای خود عمل کنند». ^۱ ICRP گزارش کارهای خود را در نشریه‌های مخصوصی به جا پ می‌رساند. فهرست این گزارشها در کتاب‌شناسی این فصل در آخر کتاب آمده است.

1. ICRP Publication 6, p. 1, Pergamon Press, Oxford, 1964.

سازمان بین‌المللی انرژی اتمی

سازمان ملل متحد به منظور توسعه کاربردهای مسالمت‌آمیز انرژی هسته‌ای در سال ۱۹۵۶ یک نهاد تخصصی به نام سازمان بین‌المللی انرژی اتمی (IAEA) تأسیس کرد تا توصیه‌های ICRP را عملاً به‌اجرا در آورد. «وظیفه این سازمان رعایت استانداردهای ایمنی حفاظت پرتوشناختی در عملیاتی است که خود انجام می‌دهد یا به کمک آن انجام می‌شوند و یا مستقیماً به آن وابسته هستند. بنابراین مؤسسه‌ای که از کمک این سازمان برخوردار هستند باید معیارهای ایمنی و بهداشتی آن را رعایت کنند.»^۱ معیارهای ایمنی و بهداشتی IAEA بر حسب موضوع در مجموعه خواص ایمنی چاپ و منتشر می‌شوند.

سازمان بین‌المللی کار

سازمان بین‌المللی کار (ILO) در سال ۱۹۱۹ تأسیس شد و سپس به عضویت جامعه ملل درآمد، و پس از انحلال جامعه به‌اوین ارگان تخصصی ملل متحد تبدیل شد. وظیفه اصلی این سازمان رسیدگی به مسائل اجتماعی مربوط به کار است، ولی استانداردهای بین‌المللی کار را هم در ارتباط با ایمنی و بهداشت کارگران تعیین می‌کند. این استانداردها به صورت قواعد ذموده مقررات ایمنی دلیلیتی برای راهنمایی دولتها و هنایع، به عنوان توصیه‌های کمیته‌های تخصصی، و به صورت کتابچه‌های راهنمای فنی منتشر می‌شوند. قاعدة نمونه توصیه‌های ICRP در مورد کنترل خطرات حرفاًی تا بش را نیز شامل می‌شود، و سازمان بین‌المللی کار چندین کتابچه راهنمای در مورد حفاظت کارگران در برابر خطرات تا بشی منتشر کرده است.

کمیسیون بین‌المللی یکاها و اندازه‌گیری‌های پرتوشناختی

کمیسیون بین‌المللی یکاها و اندازه‌گیری‌های پرتوشناختی (ICRU) که با ICRP همکاری نزدیک دارد از همان بدئ تأسیس (۱۹۲۵)، هدف اصلی خود را معرفی توصیه‌های مورد قبول بین‌المللی در موارد زیر قرار داده است:

۱. کمیتها و یکاها تا بش و پرتوزایی.
۲. روش‌های مناسب برای اندازه‌گیری و کاربرد این کمیتها در پرتوشناسی و پرتوزیست‌شناسی کلینیکی.
۳. داده‌های فیزیکی مورد نیاز برای کاربرد این روشها، که استفاده از آنها باعث یکنواختی گزارشها می‌شود.

1. *Safe Handling of Radioisotopes, Safety Series No. 1*, IAEA, Vienna, 1962.

ICRU معتقد است که «سازمانهای ملی باید مسؤول تهیه جزئیات روش‌های فنی مربوط به معرفی و رعایت استانداردها باشند. اما همه کشورها باید تا حد ممکن مفاهیم اساسی کمیتها و یکاهای تابش را که در سطح بین‌المللی پذیرفته شده‌اند به کار ببرند.»^۱

شورای ملی اندازه‌گیریها و حفاظت در برابر تابش

در بسیاری از کشورهای جهان، سازمانهای ملی رهنمودهای ICRP را با توجه به شرایط و نیازهای خاص محلی خود مورد استفاده قرار می‌دهند. در امریکا دو سازمان از این نوع وجود دارند که سازمان قدیمی تر «شورای ملی اندازه‌گیریها و حفاظت در برابر تابش (NCRP)» نام دارد. این سازمان که ابتدا «کمیته مشورتی حفاظت در برابر پرتو ایکس و رادیم» نام داشت در سال ۱۹۴۹ تأسیس شد، و در آن گروهی از متخصصان فنی حفاظت در برابر تابش و دانشمندانی که در این رشته صاحب نظر هستند همکاری دارند. NCRP فقط با جنبه‌های فنی و علمی حفاظت در برابر تابش سروکار دارد و از یک کمیته اصلی و کمیته فرعی تشکیل شده است. هر کدام از کمیته‌های فرعی مسؤول تهیه توصیه‌های ۲۵ ویژه‌ای در زمینه‌های خاص خود هستند. توصیه‌های کمیته‌های فرعی قبل از انتشار باید به تصویب کمیته اصلی برستند. سرانجام، شورای ملی توصیه‌های تصویب شده کمیته اصلی را منتشر می‌کند. باید تأکید کرد که NCRP یک سازمان رسمی دولتی نیست، ولی غالباً نمایندگان دولتهاي محلی، ایالتی، و فدرال توصیه‌های آن را در مورد خطرات تابش می‌پذیرند.

ضرورت حفاظت در برابر تابش

متخصصان بهداشت صنعتی و بهداشت همگانی معمولاً محیط زیست را، از لحاظ اثرات غیرتصادفی تابش، بر اساس مفهوم دز‌آستانه کنترل می‌کنند. اگر مقدار یک ماده سمی از حد دز‌آستانه بیشتر نباشد می‌توان فرض کرد که سازوکارهای فیزیولوژیکی معمولی برای مقاومت در برابر آثار زیانبار آن کافی هستند. دز‌آستانه معمولاً براساس ترکیبی از داده‌های آزمایشگاهی مربوط به جانوران و داده‌های کلینیکی انسانی تعیین، و سپس بایک ضریب اینمنی مناسب به بیشینه تراکم مجاز تبدیل می‌شود. سپس این مقدار بیشینه تراکم مجاز به عنوان معیار اینمنی کنترل محیط به کار می‌رود. سازمان بین‌المللی بهداشت شغلی در سال ۱۹۵۹ بیشینه تراکم مجاز را به صورت زیر تعریف کرده است: «منظور از اصطلاح بیشینه تراکم مجاز هر ماده‌آن تراکم متوسط در هواست که براساس حساسترین آزمونهای پذیرفته شده بین‌المللی در طول کار مداوم روزانه نتواند هیچگونه نشانی از آسیب بدنی

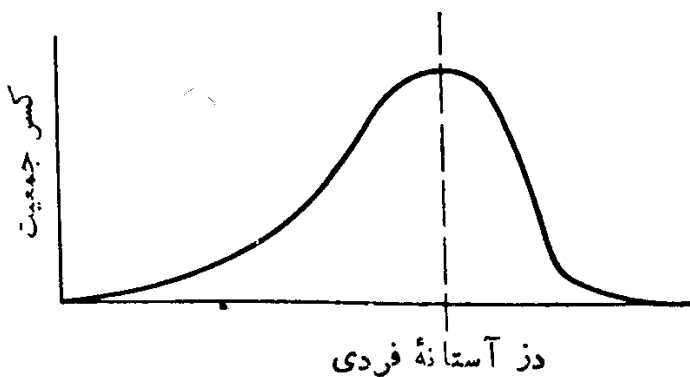
با علامت بیماری درهیچیک از کارکنان، به استثنای کسانی که حساسیت خیلی زیادی دارند، ایجاد کنند.»

کنترل عوامل وابسته به محیط زیست، چون تابش یوننده و ایزوتوپهای پرتوزا که احتمال ابتلا به بیماری سرطان و نارسا یهای ژنتیکی را افزایش می دهند، فلسفه دیگری دارد. با اینکه متخصصان زیست‌شناسی مولکولی سازوکارهای درون‌سلولی مربوط به ترمیم DNA آسیب دیده در باکتریها را پیدا، و متخصصان ژنتیک وابستگی آهنگ دز و جهش‌زاوی ناشی از پرتوزایی را مشاهده کرده‌اند (و هردوی این مشاهدات حاکی از وجود یک آستانه برای اثرات تصادفی است)، ولی ما به منظور تعیین استانداردهای ایمنی برای تابش و برای سرطان‌زاوی شیمیایی، فرض می کنیم که اثرات تصادفی دز آستانه ندارند. فرض براین است که منحنیهای پاسخ دز سرطان‌زاوی و جهش‌زاوی خطی هستند و تا دز صفر ادامه می‌یابند. شبیه منحنیهای پاسخ دز اثرات تصادفی مختلف با استفاده از روش برونایری تا دزهای کم و دز صفر به دست می‌آید.

وانگهی، فرض براین است که این اثرات از آهنگ دز مستقل‌اند و فقط دز کل از لحاظ زیستی حائز اهمیت است. به عبارت دیگر، چون هرگونه افزایش دز، هرچقدر هم کم، به همان نسبت احتمال خطر را افزایش می‌دهد، مبنای کنترل دز تابش مصنوعی حد دز تابشی است که می‌تواند با منابع حاصل از کاربرد تابش برای جامعه و افراد آن قابل سازش باشد.

تمایز میان عواملی که اثرات غیر تصادفی را باعث می‌شوند و آنها بی که احتمال اثرات تصادفی را افزایش می‌دهند و مبنای برنبود دز آستانه هستند، آن‌طور که در بادی امر می‌نماید مشخص نیست. برای موادی که وجود دز آستانه برای آنها محرز است، مقدار آستانه به طور فردی مشخص می‌شود و از فردی تا فرد دیگر متفاوت است. از این‌رو، با اینکه مقدار متوسط آستانه برای تغییرات خون ناشی از تابش گاما برای برد ۲۵ Gy (۲۵ rad) در حدود ۱۴ Gy (۱۴ rad) بوده است نیز تغییرات خون مشاهده شده است، در حالی که در افراد دیگری که دز آنها به ۴۰ Gy (۴۰ rad) رسیده هم هیچ نوع تغییری دیده نشده است. اگر عده خیلی بیشتری از کسانی که تابش دیده‌اند از لحاظ تغییرات خون معاینه شوند، احتمال دارد که حتی در بین کسانی که دز کمتر از ۱۴ Gy (۱۴ rad) گرفته‌اند نیز تغییرات خون مشاهده شود.

نامعقول نیست اگر انتظار داشته باشیم که توزیع حساسیت نسبت به خطر ناکترین عوامل همانند شکل ۱.۸ باشد که در آن منحنی توزیع حساسیت به طرف راست کج شده است. این منحنی در واقع در انتهای دز زیاد توزیع محور طولها را قطع می‌کند، زیرا مسلماً باید دزی وجود داشته باشد که همه افراد را تحت تأثیر قرار دهد. از سوی دیگر معلوم شده است که افراد «با حساسیت خیلی زیاد» وجود دارند که حتی دزهای بسیار کمی که بر اغلب مردم اثر ندارد، آنها را تحت تأثیر قرار می‌دهد. براین اساس می‌توان فرض



شکل ۱۰۸ توزیع آستانه‌های فردی در میان یک جمعیت.

کرد که منحنی توزیع در سمت چپ از مبدأ مختصات می‌گذرد.

توزیع پذیرفتاری دز در میان افراد یک جمعیت، عملاً حاکی از آن است که نمی‌توان مفهوم دز آستانه را برای جمعیت خیلی بزرگ به کار برد. بنا بر این در تنظیم بیشینه تراکم مجاز برای یک جمعیت خیلی بزرگ باید از قضاوت ارزشی استفاده کرد. در اینجا لازم است که مرجعی در مورد کسر قابل قبولی از جمعیت که ممکن است از یک ماده زیانبار آسیب ببیند تصمیم بگیرد وحد آن را مشخص کند تا براساس آن بیشینه تراکم مجاز برای کاربرد مفید آن تعیین شود. معمولاً بیشینه تراکم مجاز با چنان دقت و احتیاطی تعیین می‌شود که برای پیدا کردن شخص فوق العاده حسامی باید عده فوق العاده زیادی را در این سطح تحت تابش قرار داد.

همین استدلال درباره کسانی که با حدود دز تابش سروکار دارند صادق است. در پرتوگیری شغلی، مسئله تعیین حدود دز به عنوان راهنمای حفاظت در برابر تابش نسبتاً ساده است. مقدار خیلی زیادی از تجارت مربوط به این زمینه، از پرتوگیری بی‌قاعدۀ انسانها از رادیم و پرتوایکس در طی ربع اول قرن بیستم و از مطالعه بازماندگان بمباران هسته‌ای ژاپن، بخش بزرگ آن از تحقیقات آزمایشگاهی جانوران به دست آمده است. براساس این داده‌ها و با فرض اینکه هر افزایشی در دز تابش به همان نسبت احتمال خطر را افزایش می‌دهد، می‌توان حدود دز را طوری تعیین کرد که وقتی در مورد کارگران شاغل در امور تابش به کار می‌رود بیش از مشاغلی که استانداردهای ایمنی بالایی دارند و «ایمن» محسوب می‌شوند احتمال خطر نداشته باشد. حدود دز برای افرادی از جامعه که پرتوگیری آنها ناشی از شغل نیست در سطحی تعیین شده است که خطر فرضی حاصل از آن بسیار کمتر از خطراتی است که جامعه آنها را به خاطر سایر منافع تکنو‌لوژیکی می‌پذیرد. با استفاده از این حدود دز، می‌توان حدود سالانه جذب و تراکم‌های محیطی نوکلئیدهای پرتوزای مختلف را که در همان محدوده مجاز تواید دز می‌کنند، به دست آورد.

آن طور که در «نشریه ۲۶ ICRP» آمده است محدودیت دز توصیه شده بر ۳ اصل زیر متنکی است:

۱. هیچ اقدامی (که منجر به پرتوگیری می‌شود) نباید انجام شود مگر اینکه نتیجه مثبت و صریحی دربر داشته باشد.
۲. کلیه پرتوگیریها باید با درنظر گرفتن عوامل اجتماعی و اقتصادی، تا حد معقول و ممکن، پایین نگهداشته شود.
۳. دز معادل برای افراد مختلف نباید از آنچه کمیسیون ICRP با مراجعات جنبه‌های اختیاطی پیشنهاد کرده است بیشتر شود.

لازم به تذکر است که ماده ۲ براین نکته اصرار دارد که حدود واقعی دز در هر فعالیت پرتوشناسنی باید خیلی محلودتر از حد پیشینه دز توصیه شده باشد. این گفته بدان معنی است که فرایندها، تجهیزات (از قبیل حفاظ گذاری، دستگاه تهویه، وغیره)، و سایر عوامل عملیاتی باید طوری طراحی شوند که دز دریافتی کارکنان از حد دز عملیاتی تجاوز نکند. این روش عملی به روش ALARA (روش تا حد معقول و ممکن پایین) معروف است. کمیسیون ICRP برای به کار بردن ALARA توصیه کرده است که ابتدا تحلیلهای هزینه سود مربوط به حدود دز عملیاتی پایینتر به عمل آید، و سپس سطحی از حفاظت در برابر تابش انتخاب شود که هزینه اثرات زیانبار تابش را در مقابل سودهای حاصل از استفاده از آن بهینه کند. چون در کاربرد ALARA باید عوامل اقتصادی و اجتماعی درنظر گرفته شود، بدینهی است که از عبارت «تا حد معقول و ممکن پایین» تعبیرهای بسیار متفاوتی می‌شود. کمیسیون هسته‌ای ایالات متحده این عبارت را رسماً تعبیر و ذر سری منتشر کرده است. *Regulatory Guide*

معیارهای اصلی ایمنی تابش

کمیسیون ICRP به منظور تعیین استانداردهای ایمنی تابش سه نوع پرتوگیری را مشخص کرده است:

۱. پرتوگیری شغلی اشخاص بالغ هنگام کار با تابش یوننده. این افراد که می‌توان آنها را کارگران تابش نامید به نوبه خود بهدو زیرگروه تقسیم می‌شوند: (الف) زنان باردار، (ب) سایر کارگران تابش.
۲. پرتوگیری عامه مردم در جامعه، این گروه نیز بهدو زیرگروه تقسیم می‌شوند که عبارت اند از (الف) نکتک افراد جامعه، (ب) گروههای جمعی.
۳. پرتوگیری پزشکی. این دسته شامل بیماران و اشخاصی می‌شوند که به خاطر مسائل تشخیصی و درمانی ناچار از پرتوگیری هستند. کسانی که ضمن پرتوگیری بیماران خود به طور اتفاقی پرتو می‌گیرند جزو این دسته به حساب نمی‌آیند.

کمیسیون ICRP درمورد پرتوگیری شغلی، حدود دز معادل سالانه را به ترتیب زیر توصیه می‌کند:

۱. برای جلوگیری از اثرات غیر تصادفی:

- (الف) حد (۵۰ rem) ۵۰ Sv برای کلیه بافتها به استثنای عدسی چشم،
 (ب) حد (۱۵ rem) ۱۵ Sv برای عدسی چشم.

این حدود، اعم از اینکه بافتها به صورت منفرد و یا همراه با سایر اندامها در معرض پرتوگیری قرار بگیرند، صادق است.

۲. برای محدود کردن اثرات تصادفی، حد دز معادل ناشی از تابش دهی یکنواخت تمام بدن برابر (۵ rem) ۵ mSv در سال تعیین می شود.

چون خطر اثرات تصادفی، چه تمام بدن به صورت یکنواخت تحت تابش قرار گیرد و چه دز تابش به صورت غیر یکنواخت توزیع شده باشد باید یکسان باشد، کمیسیون ICRP در سال ۱۹۷۷ در نشریه شماره ۲۶ مفهوم دز معادل مؤثر را معرفی و توصیه کرد که به منظور کنترل اثرات تصادفی، دز معادل مؤثر پرتوگیری شغلی به (۵ rem) ۵ mSv در سال محدود شود. در مورد کارگران باردار تابش، کمیسیون ICRP توصیه کرد که پرتوگیری سالانه نباید از سه دهم حد دز معادل سایر کارگران تابش تجاوز کند.

دز معادل مؤثر

به منظور تعیین استانداردهای ایمنی تابش فرض می کنیم که احتمال اثرات تصادفی در هر بافتی با دز معادل آن بافت متناسب است. اما به دلیل برآبر نبودن حساسیت بافت‌های گوناگون، مقدار ضریب تناوب در بافت‌های مختلف یکسان نیست. در جدول ۱.۸، حساسیت نسبی چندین اندام و بافت در مقابل اثرات تصادفی زیانبار که سهمی در خطر کل دارند، بر حسب خطر ناشی از هر Sv آمده است. اگر دز تابش در سراسر بدن یکنواخت باشد، ضریب خطر کل برابر ۱ است. برای تابش نایکنواخت، مثل پرتوگیری قسمتی از بدن از یک میدان تابش خارجی، یا پرتوگیری داخلی وقتی تراکم ایزوتوپ در اندامهای مختلف مختلف است، برای محاسبه دز معادل مؤثر از ضرایب وزنی جدول ۱.۸ که متناسب با پذیرفتهای نسبی اندامها در برآبر اثرات تصادفی هستند، استفاده می کنیم. دز معادل مؤثر H_E از رابطه زیر به دست می آید

$$H_E = \sum W_T H_T \quad (1.8)$$

که در آن W_T ضریب وزنی بافت T در جدول ۱.۸ و H_T دز معادل بافت T است.

جدول ۱۰.۸ ضرایب وزنی و احتمال خطر برای اثرات تصادفی در بافتها.

W_T	ملاحظات	احتمال خطر به ازای	بافت
		Sv هر	
۰.۲۵ ر	احتمال آسیب ژنتیکی در ۲ نسل اول	4×10^{-3} ر	غدد تناسلی
۰.۱۵ ر	میانگین برای کلیه سنها در هر دو جنس	2×10^{-3} ر	پستان
۰.۱۲ ر	سرطان خون	2×10^{-3} ر	مخز قرمز استخوان
۰.۱۲ ر	سرطان	2×10^{-3} ر	ربه
۰.۰۵۳ ر	سرطان بدخیم	5×10^{-4} ر	غده تیر و پید
۰.۰۵۳ ر	سرطان استخوان	5×10^{-4} ر	سطح استخوان
۰.۰۳۵ ر	سرطان، بافرض اینکه هر بافت بیش از	5×10^{-3} ر	بافت‌های دیگر
۱/۵	۱/۵ این مقدار کل دریافت نکند		
		1×10^{-2} ر	خطر کل

مثال ۱۰.۸

در نتیجه یک حادثه آزمایشگاهی مقدار (۱۰ μ Ci) (۱۰ Bq) یا (۳۷۰۰۰۰ Bq) یا (۱۳۱ وارد بدن یک تکنیسین شده است. از این مقدار (۲ μ Ci) (۲۶ kBq) در تیر و پید (۸ μ Ci) (۲۶ mrad) به طور یکنواخت در بقیه بدن توزیع شده است. متخصص فیزیک بهداشت با استفاده از داده‌های غلظت‌سنجی زیستی و روشن بدن دز تیر و پید را برابر (۱۲۳ rad) (۱۲۳ mGy) و دز تمام بدن را برابر (۲۶ mrad) (۲۶ mGy) محاسبه کرده است.

(الف) دز معادل مؤثر تکنیسین چقدر بوده است؟

(ب) آیا پرتوگیری تکنیسین بیش از حدودی است که با معیارهای ICRP توصیه شده است؟

حل: (الف) دز معادل مؤثر را می‌توان از معادله (۱۰.۸) و با استفاده از ضرایب وزنی ۰.۰۵۳ ر برای تیر و پید (جدول ۱۰.۸) و ۰.۹۷ ر برای بقیه بدن محاسبه کرد

$$H_E = ۰.۰۵۳ \times ۱۲۳ + ۰.۹۷ \times ۰.۰۲۶$$

$$= ۳۷۴ \text{ mSv}$$

(ب) چون دز معادل مؤثر تمام بدن از 50mSv و دز معادل مؤثر تیروئید از 500mSv بسیار کمتر است معلوم می شود که دز حاصل از این پرتوگیری تصادفی از مقدار پیشنهادی ICRP تجاوز نمی کند. اما اینکه دز کل سالانه این شخص پس از این پرتوگیری از حدود پیشنهادی ICRP تجاوز می کند یا نه، بستگی به سابقه پرتوگیری او دارد.

پرتوگیری افراد جامعه

کمیسیون ICRP حد دز معادل تمام بدن را برای افراد جامعه برابر (5mSv) (500 mrem) در سال پیشنهاد کرده و معتقد است که دز متوسط اعضای هر گروه تحت تابش کمتر از این حد خواهد بود. ICRP خاطر نشان می کند که چنانچه تعداد چشمها افزایش یابد، این دز متوسط نیز افزایش می یابد، حتی اگر دز هیچیک از افراد از حد دز معادل 5mSv تجاوز نکند. به همین دلیل این کمیسیون توصیه می کند که مقامات ملی یا محلی باید به منظور کنترل دز معادل جمعی کل بر تمام چشمها پرتودهی نظارت دائم داشته باشند.

پرتوگیری جماعات

کمیسیون ICRP هیچ توصیه خاصی برای حد دز جماعات نکرده است. در عوض، تأکید کرده است که هر مقداری که انسان به صورت مصنوعی به دز جامعه اضافه می کند باید به خاطر سودمندیش قابل توجیه باشد، و اینکه حد دز دریافتی افراد جامعه به دز معادل حاصل از تمام متابع مربوط می شود. از این رو، حد دز هر جماعتی عبارت از مجموع چندین دز کمینه مورد نیاز نه یک تک دز معادل کل مجاز کیه بتوان آن را میان چندین چشم تقسیم کرد.

پرتوگیری پزشکی

کمیسیون ICRP هیچ حد دز خاصی را برای پرتوگیری پزشکی توصیه نکرده است، اما تأکید کرده است که فقط در صورت لزوم باید پرتوگیری انجام شود. این پرتوگیری باید بر اساس سودمندیها یی که از طریق دیگر قابل حصول نیست قابل توجیه باشد، و مقدار آن باید به حداقلی محدود شود که با سودمندی پزشکی حاصل سازگار است.

حد مجاز ورود به بدن (ALI)

توصیه های کنونی (ICRP ۱۹۸۱)، نه بار بدنی بیشینه مجاز را مشخص کرده است نه تراکمهای بیشینه مجاز را. ولی در این توصیه ها حد سالانه ورود ایزوتوبهای پرتوزا که با مشخص می شود تعیین شده است. ALI را از امات اساسی مربوط به اثرات تصادفی

و اثرات غیرتصادفی محدود می‌کند و بنا به تعریف ورود سالانه‌ای است که به یک دز معادل انباشت مؤثر (یک انباشت دز ۵۰ ساله) که از 50mSv (50rem) بیشتر نیست و به یک دز معادل سالانه در هر اندام یا بافت که از 500mSv (50rem) بیشتر نیست، منجر می‌شود. این گفته‌ها را می‌توان به صورت زیر نوشت

$$\sum_T W_T H_{50,T} \leq 50\text{ Sv} \quad (2.8)$$

$$H_{50,T} \leq 5\text{ Sv} \quad (3.8)$$

که در آن W_T ضریب وزنی جدول ۱.۸ و $H_{50,T}$ دز معادل انباشت کل در بافت T در نتیجه ورود مواد پرتوزا از تمام چشممه‌ها در طول سالهای مورد بحث است. معادله (۲.۸) نشان می‌دهد که به خاطر کنترل اثرات تصادفی، دز مؤثر تمام بدن از حد سالانه تجاوز نمی‌کند، و معادله (۳.۸) نشان می‌دهد که به خاطر کنترل آستانه زیانبار اثرات غیرتصادفی، دز هر بافت یا هر اندام همواره کمتر از حد سالانه است. لازم به یادآوری است که حد ورود مربوط به ورود کل ایزوتوپهای پرتوزا در طول هرسال است و کمیسیون ICRP برای آهنگ ورود محدودیتی قائل نشده است. به عبارت دیگر، ممکن است این حد در یک مرحله ورود به مقدار خیلی زیاد، یا در مراحل متعدد ولی به مقدار خیلی کم حاصل شود. اصول مربوط به کاربرد معادلات (۲.۸) و (۳.۸) را می‌توان با محاسبه ALI در بلع ^{137}Cs توضیح داد.

معمول‌تر کیبات معمولی سزیم به سرعت و تقریباً به‌طور کامل در دستگاه گوارش جذب و پس از جذب در سراسر بدن به صورت یکنواخت توزیع می‌شود. در هیچ موردی تراکم سزیم در هر اندام یا بافت بیشتر از تراکم آن در ماهیچه نیست. بازماند سزیم در بدن دستکم در طول ۱۴۰۰ روز اول را می‌توان با معادله دو قسمتی زیر محاسبه کرد

$$q(\tau) = [33.6 + 0.9 q_0 e^{-0.6932/2} + 0.9 q_0 e^{-0.6932/110}] \quad (33.6)$$

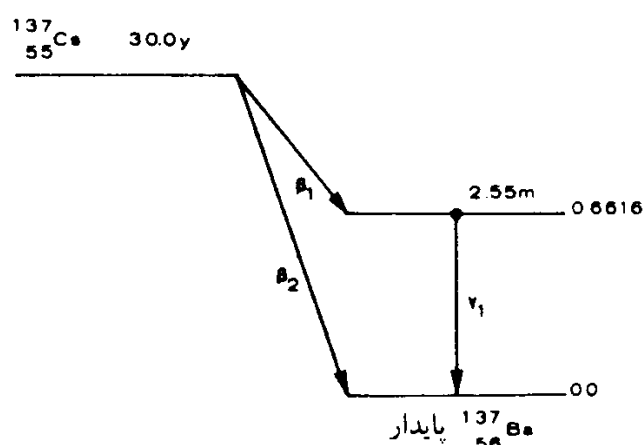
که در آن q مقدار سزیمی است که ابتدا وارد بدن می‌شود. از این معادله معلوم می‌شود که ۱۰٪ سزیم به قسمتها بی‌یار وارد می‌شود که با نیمه عمر ۲ روزه از آنجا خارج می‌شود، و ۹۰٪ دیگر به قسمتها بی‌یار وارد که نیمه عمر باقیماندن آن در بافت ۱۱۵ روز است. چون نیمه عمر پرتوشنایختی ^{137}Cs ، برابر ۳۵ سال و خیلی بیشتر از نیمه عمر در هر یک از این دو قسمت است، نیمه عمر مؤثر در این دو قسمت اساساً برابر نیمه عمر زیست‌شنایختی آنهاست. بنابراین، آهنگهای دفع از این دو بخش همان‌طور که از معادله (۲۶.۶) محاسبه شده است به ترتیب برابر با 347rad و 556rad در روز خواهد بود. اما دز کل ^{137}Cs پنا بر معادله (۳۶.۶) برابر مجموع دزهای هر کدام از این دو قسمت است. برای رعایت معیار اثرات تصادفی، دز معادل نباید از 50 Sv (50rem) تجاوز کند، و چون ^{137}Cs در واقع یک گسیلنده بتا-گاما است، این مقدار متناظر با $(5\text{ Gy})/(5\text{ rad})$ خواهد بود

$$D = \frac{\dot{D}_1}{\lambda_1} + \frac{\dot{D}_2}{\lambda_2} = 0.05 \text{ Gy} \quad (4.8)$$

که در آن \dot{D}_1 و \dot{D}_2 به ترتیب آهنگ دز اولیه در قسمت اول و قسمت دوم و λ_1 و λ_2 آهنگ‌های دفع مؤثر آنهاست. این آهنگ‌های دز اولیه ^{137}Cs با توزیع یکنواخت را می‌توان با استفاده از مقدار مناسب انرژی مؤثر ویژه (SEE) برای بتا و گاما از معادله (۴.۶) به دست آورد. همچنین SEE به ازای هر تبدیل را می‌توان به کمک کسرهای جذب شده φ در جدول ۴.۶ و داده‌های خروجی ^{137}Cs شکل ۲.۸ محاسبه کرد. با تلفیق داده‌های جدول ۴.۶ و شکل ۲.۸، چنان‌که در جدول ۲.۸ ملاحظه می‌شود، SEE بر حسب MeV به ازای هر تبدیل در هر کیلوگرم از معادله زیر به دست می‌آید

$$\text{SEE} = \frac{\sum n_i E_i \varphi_i}{m} \quad (5.8)$$

چون تابش به صورت یکنواخت در تمام بدن جذب شده است، مقدار m در اینجا برابر ۷۰ kg خواهد بود. با قرار دادن این مقدار به جای m و 2.08 MeV/t از جدول ۲.۸ در معادله (۵.۸) خواهیم داشت



داده‌های ورودی			
	انرژی درصد گذار	دیگر پارامترهای هسته‌ای	(MeV) فرپاشی تابش
Beta-1	93.5	0.514	First forbidden unique
Beta-2	6.5	1.176	Second forbidden
Gamma-1	93.5	0.6616	$M4, \alpha_K = 0.093, K/L = 5.6, K/M = 25.5$

نوع داده (i)	تعداد میانگین (n _i)	انرژی میانگین (E _i)	داده‌های خروجی		
			فرپاشی (rad)	میانگین فرپاشی (μCi·h)	میانگین فرپاشی (g·rad)
Beta-1	0.935	0.1749	0.3483		
Beta-2	0.065	0.4272	0.0591		
Gamma-1	0.840	0.6616	1.1837		
K int. con. electron, gamma-1	0.0781	0.6242	0.1038		
L int. con. electron, gamma-1	0.0140	0.6560	0.0196		
M int. con. electron, gamma-1	0.0031	0.6605	0.0044		
K α-1 x-rays	0.0374	0.0322	0.0026		
K α-2 x-rays	0.0194	0.0318	0.0013		
K β-1 x-rays	0.0105	0.0364	0.0008		
K β-2 x-rays	0.0022	0.0374	0.0002		
L x-rays	0.0127	0.0045	0.0001		
KLL Auger electron	0.0057	0.0263	0.0003		
KLX Auger electron	0.0025	0.0308	0.0002		
KXY Auger electron	0.0004	0.0353	0.0000		
LMM Auger electron	0.0718	0.0034	0.0005		
MXY Auger electron	0.173	0.0011	0.0004		

شکل ۲.۸ طرح تبدیل و داده‌های ورودی و خروجی برای دزنجدی ^{137}Cs

جدول ۳.۸ محاسبه انرژی مؤثر ویژه (SEE) برای پرتوگیری داخلی بدن از $.^{137}\text{Cs}$

تابش	انرژی میانگین تبديل / ذره	کسر جذب شده تبديل / تعداد	انرژی جذب شده	(MeV/t) _i
	n_i	E_i , MeV	φ_i	
β_1	0.935	0.1749	1	0.1635
β_2	0.065	0.4272	1	0.0278
γ	0.840	0.6616	0.334	0.1856
K الکترون تبدیل داخلی	0.0781	0.6242	1	0.0488
L الکترون تبدیل داخلی	0.0140	0.6560	1	0.0092
M الکترون تبدیل داخلی	0.0031	0.6605	1	0.0020
K $\alpha - 1$ پرتو x	0.0374	0.0322	0.750	0.0009
K $\alpha - 2$ پرتو x	0.0194	0.0318	0.754	0.0005
K $\beta - 1$ پرتو x	0.0105	0.0364	0.703	0.0003
K $\beta - 2$ پرتو x	0.0022	0.0374	0.690	0.0001
L x پرتو	0.0127	0.0045	1	0.0001
KLL الکترون ارزه	0.0057	0.0263	1	0.0001
KXY الکترون ارزه	0.0025	0.0308	1	0.0000
KLX الکترون ارزه	0.0004	0.0353	1	0.0001
LMM الکترون ارزه	0.0718	0.0034	1	0.0002
MXY الکترون ارزه	0.173	0.0011	1	0.0002
$\Sigma = 0.4394 \text{ MeV/t}$				

$$SSE = \frac{0.4394 \text{ MeV/t}}{70 \text{ kg}} = 6.28 \times 10^{-5} \frac{\text{MeV}}{\text{kg}}/\text{t}$$

با قراردادن این مقدار به جای SEE و فعالیت $q = 1 \text{ Bq}$ در معادله (۳.۶) نتیجه می‌شود

$$D = \frac{q \text{ Bq} \times 1 \text{ tps/Bq} \times SEE \frac{\text{MeV}}{\text{t}} / \text{kg} \times 1.6 \times 10^{-13} \text{ J/MeV}}{1 \frac{\text{J}}{\text{kg}} / \text{Gy}} \times 8.64 \times 10^4 \text{ s/d} \quad [3.6]$$

سرانجام آنگه ذر بازی واحد فعالیت $.^{137}\text{Cs}$ به صورت زیر به دست می‌آید

$$D = 9 \times 10^{-11} \frac{\text{Gy}}{\text{d}} / \text{Bq}$$

معادله (۳.۶) نشان می‌دهد که فعالیت جذب شده در قسمت دوم ۹ برابر قسمت اول است. با قراردادن مقادیر مناسب در معادله (۳.۸) می‌توان مقدار $.^{137}\text{Cs}$ بلعیده شده را که منجر به دز (Gy) ۵۰۵ ده، متناظر با دز معادل (rem) ۵۰۵ می‌شود محاسبه کرد.

$$Gy = \frac{q Bq \times 9 \times 10^{-11} \frac{Gy}{d}}{0.327 d} + \frac{9 q Bq \times 9 \times 10^{-11} \frac{Gy}{d}}{0.3 \times 10^{-2} d}$$

$$q = 3.9 \times 10^5 Bq$$

$$\therefore ALI_{(تصادفی)} = q + 9q = 3.9 \times 10^6 Bq$$

چون سزیم در تمام بدن به طور یکنواخت توزیع می‌شود، محاسبه مشابه برای ALI بر مبنای اثرات غیرتصادفی که در آن حد دز معادل سالانه برابر $Sv(50 rem)$ است، مقدار خیلی بیشتری از مقدار مبتنی بر اثرات تصادفی به دست می‌دهد. برای اینکه معادلات (۲.۸) و (۳.۸) برقرار باشند باید از ALI مربوط به اثرات تصادفی استفاده کنیم. چون ALI به نزدیکترین عدد کامل گرد می‌شود، مقدار ALI مربوط به ^{137}Cs بلعیده شده در نظریه شماره ICRP ۳۵ برابر $4 MBq$ ثبت شده است.

محاسبه ALI مربوط به ^{137}Cs بلعیده شده به دلیل توزیع یکنواخت سزیم ساده بود، اما عموماً ایزوتوپ پرتوزا در داخل بدن به صورت یکنواخت توزیع نمی‌شود، و در نتیجه دزهای داده شده به بافت‌های گوناگون از طرف اندامهای چشمها می‌باشد. برای سهولت می‌توان این محاسبات را به کمک کامپیووتر انجام داد. به عنوان مثال، دز معادل هر بافت یا اندام مفروض T پس از گذشت زمان t از ورود ایزوتوپ پرتوزا با معادله زیر به دست می‌آید

$$H(t, T) =$$

$$\frac{10^{-13} J/MeV \sum \tilde{A}_i \times SEE_i(T \leftarrow S) \times 1 t/Bq.s \times Q_i}{1 \frac{J}{kg} / Gy} \quad (4.8)$$

که در آن \tilde{A}_i فعالیت جمعی اندامهای چشمها می‌باشد بر حسب SEE_i ، $Bq.s$ ، انرژی مؤثر ویژه بر حسب MeV به ازای هر تبدیل در هر کیلوگرم، و Q_i ضریب کیفیت تابش بر حسب Sv/Gy است. معادله (۴.۸) را می‌توان به منظور تعیین دز معادل حاصل از ورود ۱ Bq حل کرد. مقدار ALI بر اساس اثرات تصادفی از معادله زیر به دست می‌آید

$$ALI_{(تصادفی)} = \frac{50 Sv}{\sum W_T H_{50, T} Sv/Bq} \quad (7.8)$$

برای تعیین اینکه آیا مقدار ALI تصادفی به حد خود رسیده است یا نه، آن را با معيار زیر مقایسه می‌کنیم

$$ALI_{(تصادفی)} Bq \times (H_{50, T})_{max} Sv/Bq \leq 50 Sv \quad (8.8)$$

اگر حاصلضرب ALI تصادفی و دز معادل انباشته در اندام یا بافتی که بیشترین دز معادل را ازورود پرتوزایی می‌گیرد $(H_{50,T})_{\max}$ از 50 rem تجاوز کند، مقدار ALI تصادفی بسیار بزرگ است، و بهجای آن باید یک مقدار ALI مبتنی بر اثرات غیرتصادفی را که با رابطه زیرداده می‌شود محاسبه کرد

$$\text{ALI} = \frac{50 \text{ Sv}}{(H_{50,T})_{\max} \text{ Sv/Bq}} \quad (9.8)$$

مثال ۲۰۸

استنشاق Bq از ذرات معلق نسبتاً انحلال ناپذیر ^{239}Pu (از نوع Y، با نیمه عمر احتباس ریوی بسیار طولانی) به دز معادلهای انباشته زیر از طریق ^{239}Pu و دخترهایش، $H_{50,T}$ ، در اندامهای مربوط منجر شده است: ریه $4 \times 10^{-4} \text{ Sv}$ ، مغز قرمز استخوان $4 \times 10^{-5} \text{ Sv}$ ، سطوح استخوان $5 \times 10^{-4} \text{ Sv}$ ، و کبد $1 \times 10^{-4} \text{ Sv}$. مقدار ALI مربوط به تنفس این نوع ^{239}Pu را حساب کنید.
حل: ابتدا دز معادل انباشته شده وزنی را حساب می‌کنیم:

بافت	$H_{50,T}, \text{Sv}$	\times	$W_T =$	(وزنی) $H_{50,T}$
ریهها	4×10^{-4}		۰۱۲	4×10^{-5}
مغز قرمز استخوان	5×10^{-5}		۰۱۲	9×10^{-6}
سطح استخوان	4×10^{-4}		۰۵۳	2×10^{-5}
کبد	1×10^{-4}		۰۵۶	1×10^{-5}

$$\sum W_T H_{50,T} = 8.9 \times 10^{-5} \text{ Sv/Bq}$$

مقدار ALI مبتنی بر اثرات تصادفی از معادله (۷.۸) محاسبه می‌شود

$$\text{ALI} = \frac{50 \text{ Sv}}{8.9 \times 10^{-5} \text{ Sv/Bq}} = 5.6 \times 10^4 \text{ Bq}$$

اکنون باید دید که نتیجه حاصل با معیاری که از معادله (۸.۸) به دست می‌آید سازگاری دارد یا نه. یعنی، آیا بافتی که بزرگترین دز را دریافت می‌کند و در این مثال سطوح استخوان است، بیشتر از 5 Sv از استنشاق ^{239}Pu تصادفی ALI دز معادل می‌گیرد یا نه؟ بنابراین معادله (۸.۸) حاصلضرب ALI تصادفی و بزرگترین مقدار دز معادل انباشته

شده در هر بافت یا اندام نمی‌تواند از Sv_{50} بیشتر باشد. در این حالت داریم

$$Sv/Bq = 53 \times 10^4 \times 95 \times 10^4 = 53 Sv$$

چون جواب حاصل، یعنی Sv_{53} ، از معیار معادلة (A.8) بیشتر است، می‌توان با استفاده از حد ذر معادل غیر تصادفی، مقدار ALI استنشاق شده را معین کرد

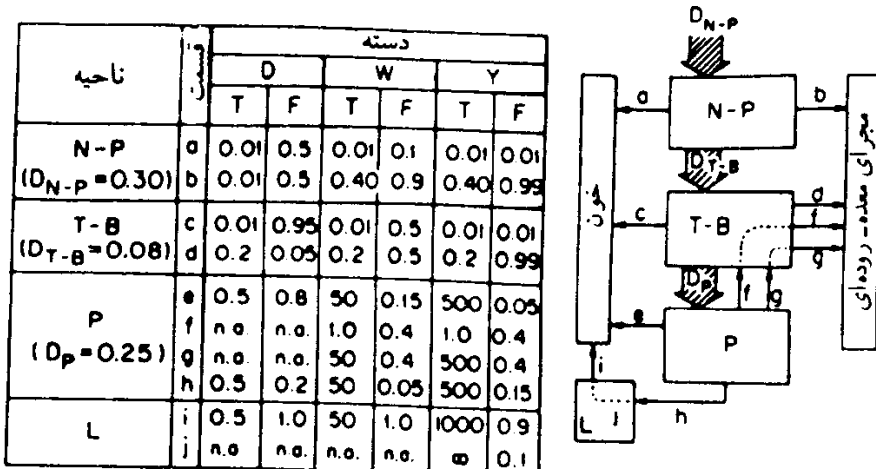
$$ALI = \frac{53 Sv}{(H_{50, T})_{\max} Sv/Bq}$$

$$= \frac{53 Sv}{95 \times 10^4 Sv/Bq} = 53 \times 10^4 Bq$$

به دلیل عدم قطعیت در مدل‌های سوخت و ساز، ALI‌ها فقط با یک رقم با معنی داده می‌شوند. از این‌رو، ALI مربوط به استنشاق P_{II} «انحلال ناپذیر» در بخش ۱ نشریه شماره ۳۵ نشریه شماره ۱ ثبت شده است. ICRP برابر $53 \times 10^4 Bq$

استنشاق مواد پر توزا

مقدار ALI مربوط به ایزوتوبهای پر توزای استنشاق شده برایک مدل چندبخشی ریه مبتنی است. در این مدل، رسوب ذرات معلق در مجرای تنفسی تابع توزیع اندازه ذرات معلق تنفس شده، و آهنگ زداش ذرات رسوب کرده تابع محل رسوب و ویژگیهای شیمیایی و فیزیکی این ذرات است. شکل ۳.۸ نمودار مدل ریه است که سه ناحیه را که در آنها گرد و غبار ممکن است رسوب کنند، نشان می‌دهد. این سه ناحیه عبارت اند از: گلو و بینی (N-P) نای و نایزه (T-B) و نایزه ریه (P) که مجرای عمیق تنفسی را که محل تبادل گازهاست نشان می‌دهد. نایزه N-P به زویه خود به دو قسمت a و b تقسیم می‌شود. قسمت a نشاندهنده آن قسمت از گرد و غبار رسوب کرده در نایزه N-P است که پس از حل شدن مستقیماً داخل خون می‌شود، در حالی که قسمت b گرد و غبار زدوده شده از نایزه N-P به مجرای معده و روده در اثر بلع را نشان می‌دهد. نایزه T-B نیز دو قسمت c و d دارد که از آنجا نیز ذرات معلق رسوبی با دو سازوکار مشابه، انحلال و جذب در خون و انتقال مکانیکی، به مجرای روده و معده (از طریق مری به حلق و از آنجا با بلع به مجرای روده و معده) زدوده می‌شوند. نایزه ریه P، از ۴ بخش e، f، g، و h تشکیل شده است: قسمت e به انحلال و جذب در خون اختصاص دارد، و قسمتهای f و g نشاندهنده مسیر انتقال ذرات معلق حل نشده از راه مجرای تنفسی فوکانی به معده و روده یعنی نایزه T-B است. پاکسازی قسمت f برای انتقال مکانیکی ناشی از نیروهای نامتوازن در خلال گردشها تنفسی، و قسمت g توسط درشتخواران آلومینیومی به نایزه T-B منتقل می‌شوند انجام می‌شود. مواد موجود در قسمت h به داخل گره‌های لنفی ریه تخلیه می‌شود. این گره‌ها با دو قسمت



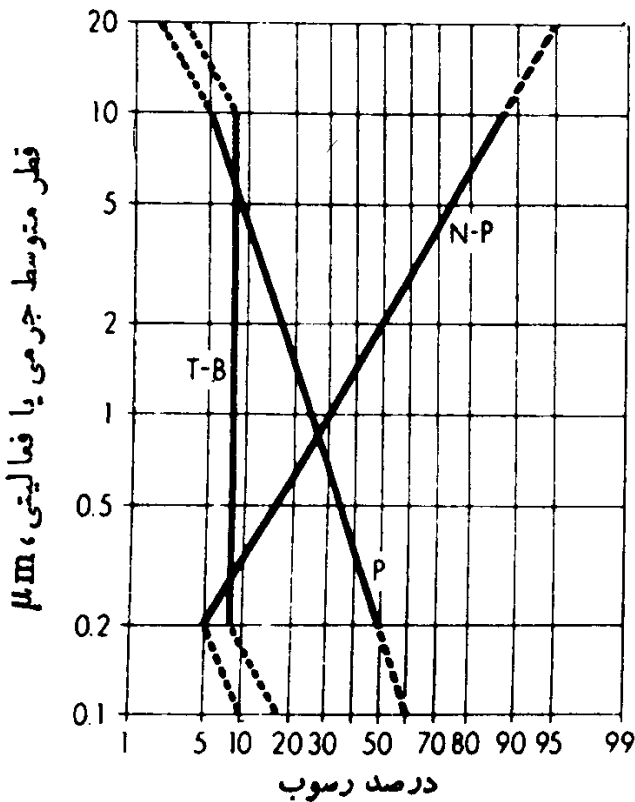
شکل ۳۰.۸ مدل دفع مجاری تنفسی که برای محاسبه دز مواد پرتوزای تنفس شده به کار می‌رود. چنان‌که در جدول این شکل ملاحظه می‌شود، مقادیر منبوط به نیمه عمرهای دفع T_{a-j} و کسرهای منبوط به قسمتهای مختلف برای هر سه دسته مواد مشخص شده است. مقادیر منبوط به D_{N-P} , D_{T-B} , D_P (در ستون سمت چپ) رسوهای ناحیه‌ای مبتنی بر ذرات معلق با AMAD برابر با $1 \mu\text{m}$ هستند. این نمودار مسیرهای مختلف دفع در مدل P , $T-B$, $N-P$, D_{N-P} , D_{T-B} , D_P و سه ناحیه تنفسی P , $T-B$, $N-P$ را در ارتباط با رسوهای D_{N-P} , D_{T-B} , D_P و n . $a-j$ نشان می‌دهد. حروف n . $a-j$ علامت عدم کاربرد است.

نوز نشان داده شده‌اند. قسمت i بعد از انحلال ذرات معلق آنها را به داخل خون می‌ریزد، و قسمت j به طور دائم بعضی از ذرات معلق کاملاً غیرقابل حل را در خود نگه می‌دارد.

مقدار واقعی ذرات معلق رسوی بافتی که به‌یکی از طرق گفته شده زدوده می‌شود و آهنگ دفع آنها به ترکیب شیمیایی ذرات معلق بستگی دارد. اما چون تعیین هر کدام از این عوامل برای ترکیب عناصر مختلف دشوار است، می‌توان ترکیبات گوناگون کلیه عناصر شیمیایی را با توجه به معیارهایی که در شکل ۳۰.۸ آمده است در یکی از سه دسته D , W , و Y قرارداد. دسته D ذرات معلقی هستند که بسرعت از مجاری عمیق تنفسی با نیمه عمر دفع حدود چند هفته زدوده می‌شوند، و ذرات دسته Y نزدیک به یک سال در ریه‌ها باقی می‌مانند. از ذرات مختلف گرد و غباری که ممکن است به گره‌های لنفی منتقل شوند، فقط ذرات دسته Y برای همیشه در این گره‌ها باقی می‌مانند. در فیزیک بهداشت، ریه و گره‌های لنفی ریه به عنوان یک اندام واحد در نظر گرفته می‌شوند. یعنی فعالیت پرتوزایی در ریه و گره‌های لنفی به هم افزوده می‌شوند، و در محاسبات دز ذرات معلق استنشاق شده نیز از وزن کل ریه‌ها و گره‌های لنفی استفاده می‌کنند. توصیه‌های ICRP در مورد ذرات معلق تنفس شده مبتنی بر تنفس و رسوی ذرات معلقی هستند که قطر متوسط فعالیت آنها در حدود $1 \mu\text{m}$ و انحراف

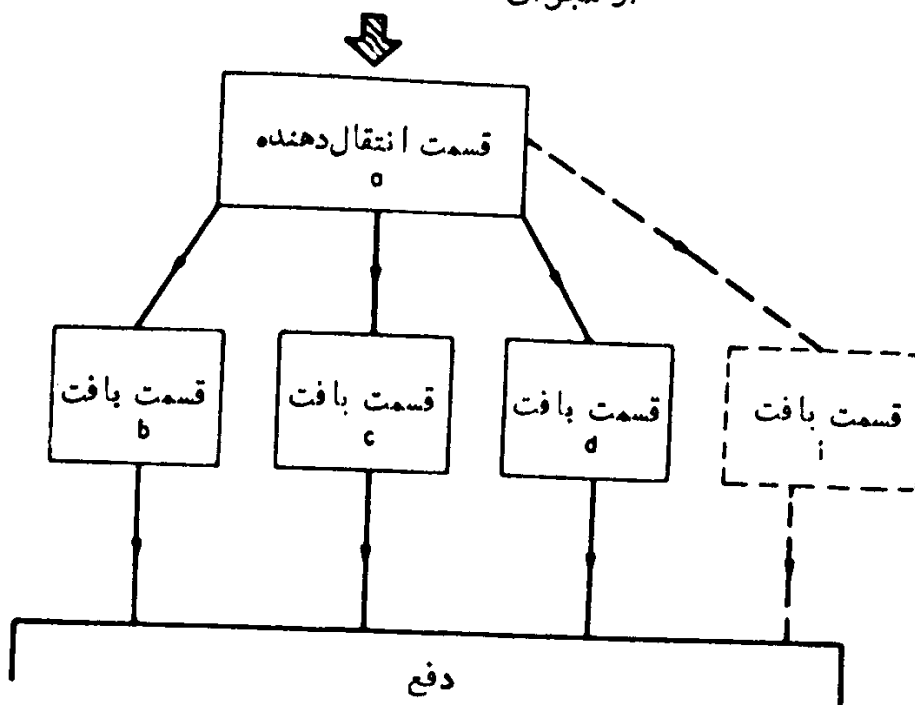
معیار هندسی آنها ۴ است. این توزیع فرضی به رسوب ۳۵٪ گرد و غبار تنفس شده در ناحیه P-N، ۸٪ در ناحیه T-B، و ۲۵٪ در ناحیه P منجر می‌شود و ۳۷٪ باقیمانده با هوای بازدم بیرون می‌آید. رسوب سایر توزیعهای اندازه‌ای را در شکل ۴.۸ می‌توان مشاهده کرد.

ماده‌ای که از ریه بالا می‌آید و با عمل بلع وارد مجرای معده - روده و از آنجا احتمالاً همراه با مدفع خارج می‌شود، قسمتهای مختلف این مجرأ و سایر اندامهای مسیر را تحت تابش دهی قرار می‌دهد. از طرف دیگر این امکان وجود دارد که قسمتی از آن در ناحیه معده - روده حل و از طریق مایعات بدن به سایر اندامها منتقل شود و در آنها رسوب کند (شکل ۴.۸). به این ترتیب، به عنوان مثال، جیوه غیرآلی در کلیه‌ها، ید در تیر و نیم، استر و نسیم و رادیم در استخوان، و پلوتونیم در کبد و استخوان رسوب می‌کنند. مجرای



شکل ۴.۸ مدل ICRP برای رسوب گرد و غبار. درصد جرم یا پرتوزایی ذرات معلق که در نواحی T-B, N-P، و P رسوب می‌کنند بر حسب قطر متوسط آنرویدینامیک جرمی یا فعالیتی (MMAD) یا AMAD (توزیع این ذرات نشان داده شده است). این مدل برای توزیعهای ذرات معلقی در نظر گرفته شده است که AMAD یا MMAD آنها بین $2\mu\text{m}$ و $10\mu\text{m}$ و انحراف معیارهای هندسی آنها کمتر از ۵٪ باشد. بنابردهای فرضی رسوب ذرات با قطر بیشتر و کمتر با خطچین مشخص شده است. در مواد توزیع غیرعادی که AMAD یا MMAD آنها بیش از $20\mu\text{m}$ است، رسوب P-N را می‌توان کامل فرض کرد. این مدل درباره ذرات معلقی که AMAD یا MMAD آنها کمتر از $1\mu\text{m}$ است به کار نمی‌رود.

از مجرای معده - روده‌ای و دستگاه تنفسی



شکل ۵.۸ مدلی که معمولاً برای توصیف نقل و انتقالات نوکلیدهای پرتوزا به کار می‌رود.

معده-روده به کمک مدل به چهار ناحیهٔ مجزا با پارامترهای جنبشی مربوط به خود تقسیم می‌شود، به گونه‌ای که می‌توان دز هر آندامی را در خلال عبور نوکلیدهای پرتوزا محاسبه کرد. به همین ترتیب با استفاده از یک یا چند معادلهٔ دیفرانسیل خطی مرتبه اول می‌توان دز مربوط به آندامهایی را که نوکلیدهای پرتوزا در آنها رسوب می‌کنند به دست آورد. برای نشان دادن طرز کار برد این مدل ریه، مقدار ALI ناشی از استنشاق $\text{^{137}Cs}$ را با استفاده از ذرات معلقی که قطر آثر دینامیکی متوسط فعالیت آنها $1 \mu\text{m}$ و انحراف معیار آنها کمتر از ۵٪ است محاسبه می‌کنیم. از شکل ۴.۸ دیده می‌شود که در حدود ۳۶٪ از گرد و غبار استنشاق شده به صورت زیر در مجاری تنفسی توزیع می‌شوند

$$\text{N-P: } \% ۳۰$$

$$\text{T-B: } \% ۹$$

$$\text{P: } \% ۲۵$$

و ۳۷٪ از طریق بازدم خارج می‌شوند. در محاسبه ALI ذرات معلق ترکیبات سزیم را از دستهٔ دفع D در نظر می‌گیریم، زیرا این ذرات بسرعت از ریه زدوده می‌شوند. در جدول ۳.۸ مقدار رسوب در هر قسمت و آهنگ دفع متناظر آنها آمده است.

در اینجا دز معادل حاصل از جذب هر 1Bq را محاسبه می‌کنیم، که با استفاده از آن می‌توان حداقل استنشاق را بر حسب Bq تعیین کرد. برای این کار، ابتدا دزی را که

جدول ۳۰.۸ تعداد تبدیل در هر ثانیه برای مواد رسوبی در چندین قسمت ریه پس از تنفس ۱ از ^{137}Cs و آنگک دفع از هر قسمت.

λ_E, d^{-1}	$T_{1/20}, \text{d}$	$A_s(0), \text{t/s}$	قسمت
۶۹۳	۰۰۵۱	۰۰۵۷۶	c (TB → خون)
۳۳۴۷	۰۰۲	۰۰۵۰۴	d (TB → GI)
۱۳۹	۰۰۵	۰۰۲۰۰	e (P → خون)
۱۳۹	۰۰۵	۰۰۵۵۰	f (P → LN)
۱۳۹	۰۰۵	۰۰۵۵۰	LN

^{137}Cs رسوب کرده در ریه به ریه می‌دهد، و بعد از آن دز حاصل از توزیع ^{137}Cs در بقیه بدن را که ریه‌ها را هم تحت تابش قرار می‌دهد محاسبه می‌کنیم. سپس دزمؤثر تمام بدن را که از تنفس ماده پر توزا حاصل می‌شود به دست می‌آوریم. باید توجه داشت که ماده رسوب کرده در ناحیه N-P مستقیماً در دز میان-ریه‌ای سهمی ندارد، و سهم آن در این ناحیه صراحتاً به دلیل حضور آن در بقیه قسمتهای بدن است. دز میان-ریه‌ای حاصل از جذب ۱ فقط ناشی از رسوب ^{137}Cs به مقدار 137Bq در ناحیه T-B و مقدار 25Bq در ناحیه P است.

دز معادل انباسته در هدف T پس از رسوب ۱ از معادله (۳۰.۸) به دست می‌آید

$$H_{50, T} = \frac{10^{-13} \text{J/MeV} \sum \tilde{A}_{si} \times \text{SEE}_i(T \leftarrow S) \times 1 \text{t/Bq.s} \times Q_i}{1 \frac{\text{J}}{\text{kg}} / \text{Gy}}$$

[۳۰.۸]

مقدار انسرٹی ویژه SEE (ریه \leftarrow ریه) با استفاده از داده‌های خروجی ^{137}Cs (شکل ۳۰.۸) همراه با کسرهای جذب شده ویژه در پیوست ۴ محاسبه می‌شود. جدول ۳۰.۸ داده‌های لازم برای محاسبه SEE را برای الکترونهای فوتونهای و مجموع آنها که برابر 283MeV در هر کیلو گرم به ازای هر تبدیل می‌شود، نشان می‌دهد.

اکنون باید تعداد تبدیلاتی را که طی ۵۰ سال پس از جذب ۱ در ریه انباسته می‌شود محاسبه کنیم. برای این کار تعداد تبدیلات در هر یک از قسمتهای ریه را باهم جمع می‌کنیم. تعداد تبدیلات انباسته در هر قسمت پس از مدت زمان t با رابطه زیر به دست می‌آید

جدول ۴.۸ داده‌های لازم برای محاسبه SEE در ریه در اثر تنفس ^{137}Cs .

تابش	تبدیل / تعداد n_i	انرژی میانگین ذره / $E_i, \text{ MeV}$	ریه \leftarrow ریه		تمام بدن \leftarrow ریه	
			کسر جذب شده ویژه $\Phi_i, \text{ kg}^{-1}$	SEE _i , $\frac{\text{MeV}}{\text{t}}/\text{kg}$	کسر جذب شده ویژه $\Phi_i, \text{ kg}^{-1}$	SEE _i , $\frac{\text{MeV}}{\text{t}}/\text{kg}$
β_1	0.935	0.1749	1	1.64E-01	1.43E-02	2.34E-03
β_2	0.065	0.4272	1	2.78E-02	1.43E-02	3.97E-04
γ	0.840	0.6616	4.86E-02	2.70E-02	5.11E-03	2.84E-03
K	0.0781	0.6242	1	4.88E-02	1.43E-02	6.97E-04
L	0.0140	0.6560	1	9.18E-03	1.43E-02	1.31E-04
M	0.0031	0.6605	1	1.52E-03	1.43E-02	2.93E-05
$K\alpha-1$	0.0374	0.0322	2.26E-01	2.72E-04	1.22E-02	1.47E-05
$K\alpha-2$	0.0194	0.0318	2.26E-01	1.39E-04	1.22E-02	7.53E-06
$K\beta-1$	0.0105	0.0364	2.17E-01	8.29E-05	1.13E-02	4.32E-06
$K\beta-2$	0.0022	0.0374	2.15E-01	1.77E-05	1.10E-02	9.05E-07
L	0.0127	0.0045	1	5.72E-05	1.43E-02	8.12E-07
KLL	0.0057	0.0263	1	1.50E-04	1.43E-02	2.14E-06
KXY	0.0025	0.0308	1	7.7E-05	1.43E-02	1.10E-06
KLX	0.0004	0.0353	1	1.41E-05	1.43E-02	2.02E-07
LMM	0.0718	0.0034	1	2.44E-04	1.43E-02	3.49E-06
MXY	0.173	0.0011	1	1.90E-04	1.43E-02	2.72E-06

$$\sum \text{SEE}_i = 0.280 \frac{\text{MeV}}{\text{t}}/\text{kg} \quad (\text{ریه} \leftarrow \text{ریه})$$

$$\sum \text{SEE}_i = 6.47E-03 \frac{\text{MeV}}{\text{t}}/\text{kg} \quad (\text{تمام بدن} \leftarrow \text{ریه})$$

$$\tilde{A}(t) = \frac{A_s(0)}{\lambda_E} (1 - e^{-\lambda_E t}) \quad (10.8)$$

که در آن $A_s(0)$ فعالیت اولیه رسوب در هر قسمت و λ_E ثابت دفع مؤثر در آن قسمت است، برای یک مدت نسبتاً طولانی در مقایسه با نیمه عمر مؤثرا برآورده توپ، معادله (۱۰.۸) به صورت (۵۶.۶) در می‌آید

$$\tilde{A} = \frac{A_s(0)}{\lambda_E} \quad [56.6]$$

تعداد کل تبدیلات انباشته در ریه از جمع تبدیلات انباشته در قسمتهای مختلف به دست می‌آید

$$\tilde{A} = \sum \frac{A_s}{\lambda_{Ei}} \quad (11.8)$$

چون ۵ سال در مقایسه با نیمه عمر مؤثر سزیم در هر یک از نواحی ریه یک مدت زمان خیلی طولانی است، تعداد تبدیلات انباشته در ریه از معادله (۱۱.۸) و با مقادیر جدول ۳.۸ محاسبه می‌شود

$$\tilde{A} = 864 \times 10^4 \text{ s/d} \left\{ \left(\frac{0.0576 \text{ t/s}}{69.3 \text{ d}^{-1}} \right) + \left(\frac{0.0004 \text{ t/s}}{34.7 \text{ d}^{-1}} \right) + \left(\frac{0.200 \text{ t/s}}{13.9 \text{ d}^{-1}} \right) \right. \\ \left. + \left(\frac{0.050 \text{ t/s}}{13.9 \text{ d}^{-1}} \right) + \left(\frac{0.0050 \text{ t/s}}{13.9 \text{ d}^{-1}} \right) \right\} \\ = 1.9 \times 10^4 \text{ تبدیل}$$

دز معادل انباشته در اثر ^{137}Cs در ریه با استفاده از معادله (۶.۸) محاسبه می‌شود

$$1.9 \times 10^4 \text{ t} \times 0.280 \frac{\text{MeV}}{\text{kg}} / \text{J/MeV} \times 1.0 \times 10^4 \text{ t} \times 1.0 \times 10^4 \text{ Sv/Gy}$$

$$H_{50} = \frac{1}{1.0 \frac{\text{J}}{\text{Bq}} / \text{Gy}} \\ = 8.6 \times 10^{-10} \text{ Sv}$$

مرحله بعدی محاسبه دز معادل انباشته در اثر ^{137}Cs بقیه بدن در ریه است. مقدار کل جذب شده در بدن شامل مقدار جذب شده در ناحیه $\text{N}-\text{P}$ و ریه است که به صورت زیر به دست می‌آید

$$0.25 + 0.08 + 0.36 = 0.69 \text{ Bq}$$

با زماند ^{137}Cs در بدن از معادله (۳۳.۶) به دست می‌آید. این معادله نشان می‌دهد که ۱۰٪ سزیم جذب شده، یعنی 0.563 Bq ، به ناحیه‌ای انتقال می‌یابد که آهنگ دفع آن 34.7 d در روز و ۹۰٪ دیگر، یعنی 55.7 Bq ، به ناحیه‌ای می‌رود که آهنگ دفع آن 6.3 d در روز است. تعداد کل تبدیلات در بدن در اثر رسوب 6.3 d در مجاری تنفسی که پس از استنشاق 1 Bq حاصل می‌شود وسپس به تمام انتقال می‌یابد از معادله (۱۱.۸) به دست می‌آید

$$\tilde{A} = 864 \times 10^4 \text{ s/d} \left(\frac{0.0063 \text{ t/s}}{6.3 \text{ d}^{-1}} + \frac{0.567 \text{ t/s}}{0.563 \text{ d}^{-1}} \right) \\ = 7.8 \times 10^4 \text{ تبدیل}$$

با استفاده از کسرهای جذب ویژه گاما و پرتو ایکس برای (تمام بدن → ریه) که از

در ونیا بی مقادیر پیوست شماره ۴ به دست می آید، و کسر جذب ویژه $10^{-2} \times 10^{43}$ مربوط به پرتو بتا و الکترون که به کمک معادله (۵۸.۶) محاسبه می شود، و سپس با جمع SEE مربوط به هر تابش مانند آنچه در جدول ۴.۸ آمده است، مقدار SEE (تمام بدن \leftarrow ریه) را برابر $10^{-3} \text{ MeV} \times 10^{47} \times 10^6 \times 10^8 \times 10^9 \times 10^{74} \times 10^{-2} \frac{\text{MeV}}{\text{kg}} / \text{t} \times 1 \text{ Sv/Gy}$ می آوریم. دز معادل انباشتہ در ریه را در اثر ^{137}Cs بدن با معادله (۶.۸) محاسبه می کنیم

$$H_{50} =$$

$$\frac{1 \frac{\text{J}}{\text{kg}} / \text{Gy}}{= 8.4 \times 10^{-9} \text{ Sv}}$$

بنابراین، دز معادل کل انباشتہ در ریه‌ها در ریه استنشاق 1 Sv سزیم ۱۳۷ عبارت است از

$$H_{50,L} = 8.6 \times 10^{-10} \text{ Sv/Bq} + 8.4 \times 10^{-9} \text{ Sv/Bq}$$

$$= 9.3 \times 10^{-9} \text{ Sv/Bq}$$

قبل هنگام محاسبه ALI بلعیده شده دیدیم که دز معادل انباشتہ ^{137}Cs که در تمام بدن به صورت یکنواخت توزیع شده باشد برابر است با

$$\frac{0.055 \text{ Sv}}{3.9 \times 10^6 \text{ Bq}} = 1.3 \times 10^{-8} \text{ Sv/Bq}$$

چون در استنشاق 1 Bq فقط مقدار 0.055 Sv در بدن جذب می شود، با استفاده از ضرایب وزنی ۱۲ برای ریه و ۰.۸۸ برای بقیه بدن، دز معادل انباشتہ مؤثر ناشی از استنشاق 1 Sv سزیم ۱۳۷ را به صورت زیر بدست می آوریم

$$\sum W_T H_{50,T} = 0.055 \times 10^{-8} + 0.88 \times 10^{-9} \times 12 + 0.055 \times 10^{-8}$$

$$= 8.3 \times 10^{-9} \text{ Sv/Bq}$$

مقدار ALI ناشی از اثرات تصادفی از معادله (۷.۸) محاسبه می شود

$$\text{ALI} = \frac{0.055 \text{ Sv}}{8.3 \times 10^{-9} \text{ Sv/Bq}} = 6 \times 10^6 \text{ Bq}$$

اینک باشد ببینیم که آیا ALI مبتنی بر اثرات تصادفی ^{137}Cs به دز معادل انباشتہ ای بیشتر از 5 Sv در هر اندام یا بافت منجر می شود یا نه. چون سزیمی که از ریه به

بدن می‌رود به طور یکنواخت در تمام بدن توزیع می‌شود، دز معادل انباشته در هر بافت از $10^{-8} \text{ Sv/Bq} \times 10^3$ که به تمام بدن می‌رسد بیشتر نخواهد شد. حاصل ضرب ALI تصادفی و دز معادل انباشته تمام بدن در اثر رسوب $10^6 \text{ Bq} \times 10^3 \times 10^{-8} \text{ Sv/Bq} = 0.05 \text{ Sv}$

چون ALI مبتنی بر اثرات تصادفی منجر به دز معادل انباشته‌ای کمتر از 0.05 Sv می‌شود، مقدار ALI تصادفی قابل استفاده است، و این امر جذب ^{137}Cs در اثر استنشاق را به مقدار $10^6 \text{ Bq} \times 6$ در سال محدود می‌کند.

هنگام محاسبه ALI مر بوط به ^{137}Cs فرض کردیم که تمامی تابش‌های جدولهای ۲۰۸ و ۴۰۸ از تبدیل سازیم به باریم حاصل می‌شوند. این گفته از لحاظ فنی درست نیست، زیرا ^{137m}Ba که نیمه عمر آن ۵۵۵۲ دقیقه است پرتوگامای 1 MeV را تولید می‌کند. اما این ایزوتوپ، به دلیل خیلی کوتاه بودن نیمه عمر خیلی کوتاهش، با مادر در از عمر خود (۳۵ سال) به تعادل دیر پا می‌رسد. وانگهی باریم، به دلیل نیمه عمر خیلی کوتاهش، این فرصت را پیدا نمی‌کند که مسیر سوخت و ساز خودش را دنبال کند، بلکه همان مسیر سوخت و ساز سازیم را دنبال می‌کند. به همین دلایل، می‌توانیم ^{137m}Ba را به عنوان یک چشمۀ منفرد در نظر بگیریم. در موارد تبدیلات پرتوزایی متواالی که در آنها دخترهسته‌ها فرصت تعقیب مسیرهای سوخت و ساز خود را دارند، سهم هر دختر در دزکل ناشی از تنفس یا بلع مادر، به طور جداگانه در محاسبه ALI در نظر گرفته می‌شود.

میزان تراکم تعیین‌شده در هوا (DAC)

مقدار ALI، که بر اساس حداکثر دز ناشی از اثرات تصادفی و غیرتصادفی محاسبه می‌شود، فقط حد جذب سالانه را مشخص می‌کند و با آهنگ جذب یا تراکم محیطی نوکلیدهای پرتوزاکه به جذب کمک می‌کنند مر بوط نمی‌شود. ولی در مواردی نظیر طراحی فنی و کنترل عملیات روزانه، شناخت تراکم محیطی نوکلیدهای پرتوزا ضرورت دارد. به همین مناسبت، میزان تراکم تعیین شده در هوا (DAC) برای آلودگیهای معلق در هوا تعریف شده است. DAC صرفاً میانگین تراکم جوی نوکلید پرتوزا بیست است که در یک فرد مرجع در مدت ۲۰۰۰ ساعت کار به مقدار جذب سالانه ALI منجر می‌شود. چون هر فردی ۲۰ لیتر هوا در هر دقیقه و ۲۴۰۰ متر مکعب هوا در مدت ۲۰۰۰ ساعت کار تنفس می‌کند، میزان تراکم تعیین شده برابر است با

$$\text{DAC} = \frac{\text{ALI}}{2400} \text{ Bq/m}^3 \quad (12.8)$$

از این رو، برای ^{137}Cs معلق در هوا که مقدار ALI تنفسی آن برابر $10^6 \text{ Bq} \times 6$ است، میزان تراکم عبارت است از

$$DAC = \frac{6 \times 10^6 \text{ Bq}}{24 \times 10^3 \text{ m}^3} = 25 \times 10^3 \text{ Bq/m}^3$$

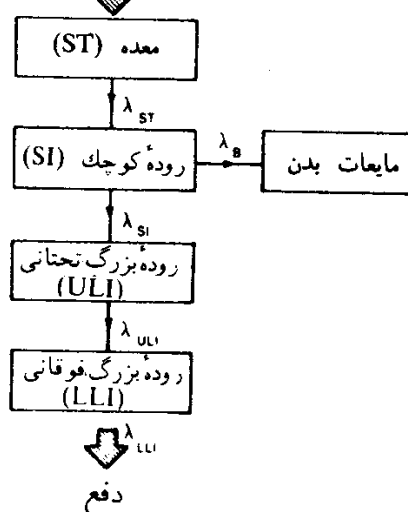
که به مقدار $2 \times 10^3 \text{ Bq/m}^3$ گرد می‌شود.

مجرای معده - روده

در مواردی که نوکلیدهای پرتوزا بلعیده می‌شوند، مخصوصاً آنها بی که جذب ضعیفی در ناحیه معده و روده دارند، مجرای معده - روده یا بخشها بی از آن ممکن است بیشترین دز تابشی را دریافت کند. این دز را می‌توان بر اساس مدل چهار قسمتی شکل ۶.۸ محاسبه کرد. بنابراین مدل، نوکلید پرتوزا ابتدا وارد معده می‌شود و پس از عبور از روده کوچک، که قسمت عمدهٔ مایعات بدن در آنجا جذب می‌شود، به ترتیب از روده بزرگ فوکانی و تحتانی می‌گذرد و سرانجام فعالیت پرتوزایی باقیمانده با مدفوغ دفع می‌شود. آهنگ دفع از روده کوچک به مایعات بدن با رابطهٔ زیر به دست می‌آید

$$\lambda_B = \frac{f_1 \lambda_{SI}}{1 - f_1} \quad (6.8)$$

بلع



دفع

$\lambda \text{ d}^{-1}$	جرم جدارها (g)	جرم محتویات (روز) (g)	میانگین زمان ماندگاری (g)	مجرى معده - روده
۲۴	۱/۲۴	۲۵۰	۱۵۰	معده (ST)
۶	۴/۲۴	۴۰۰	۶۴۰	روده بزرگ (SI)
۱۶۸	۱۲/۲۴	۲۲۰	۲۱۰	روده بزرگ فوکانی (ULI)
۱	۲۴/۲۴	۱۳۵	۱۶۰	روده بزرگ تحتانی (LLI)

شکل ۶.۸ مدل دزسنجی مجرای معده - روده.

که در آن، مُر نسبت عناصر پایداری را که پس از بلع وارد مایعات بدن می‌شوند نشان می‌دهد.

هنگام محاسبات دز برای تعیین ALI فرض می‌کنیم که نوکلید پرتوزا در سراسر محتویات معده و روده به طور یکنواخت توزیع می‌شود و توزیع ماده در هر بخش آن طوری است که در شکل ۶.۸ دیده می‌شود. همچنین فرض می‌کنیم که حرکت محتویات در قسمتهای مختلف با جنبش‌شناسی مترتبه اول و مطابق آهنگ دفع شکل ۶.۸ صورت می‌گیرد. با این اطلاعات می‌توان میزان دز دریافتی جدارهای معده و روده را (که جرم آنها در شکل ۶.۸ آمده است) به ازای جذب هربکرل، با استفاده از نسبتهاي جذب ویژه مربوط، حساب کرد و سپس مقدار ALI را به دست آورد.

پرتوگیری هر کب

در محاسبه مقدار ALI مربوط به هر ایزوتوپ فرض می‌شود که پرتوگیری از هیچ ایزوتوپ دیگر و از هیچ مسیر دیگری، همچنین از تابش بیرونی، وجود ندارد. به طور کلی، هر کس که ممکن است از طریق تنفس یا بلع یا از طریق تابش خارجی در معرض تابش چندین ایزوتوپ پرتوزای مختلف قرار بگیرد، درصورتی که بخواهد در محدوده دز توصیه شده باقی بماند باید معیار زیر را رعایت کند

$$\sum \frac{\text{دز بیرونی}}{\text{حد دز}} + \sum \frac{\text{دریافت از طریق بلع}}{\text{ALI}} \leq 1 \quad (۱۴.۸)$$

مبناي مقررات ايمني تابش

قبل از آنکه توصیه‌های سازمان ICRP در زمینه محدودیت دز در نشریه شماره ۲۶ این سازمان در سال ۱۹۷۷ منتشر شود، اغلب سازمانهای مسؤول در کشورهای مختلف جهان از توصیه‌های سازمان ICRP که در نشریه شماره ۲ (۱۹۵۹) و شماره ۹ (۱۹۶۵) منتشر شده بود، استفاده می‌کردند. در نشریه شماره ۲ عمدها ایزوتوپهای ورودی به داخل بدن، و در شماره ۹ حفاظت دربرابر تابش و محدودیت دز بررسی شده بود. این توصیه‌ها با توجه به نیاز کشورهای مختلف تنظیم شده، و مقررات مبتنی بر آنها هم به همه کشورهای دنیا اعلام شده است که هم اکنون نیز (در سال ۱۹۸۲) همین مقررات مورد استفاده قرار می‌گیرد.

ICRP دو دسته پرتوگیری اصلی را در ارتباط با مسائل مربوط به اینمی تابش به صورت زیر معرفی کرده است:

۱. پرتوگیری شغلی
- (الف) بانوان دارای استعداد خاملگی

- (ب) بانوان باردار
- (ج) سایر کارگران تابش
- ۲. عموم افراد جامعه

حدود دز توصیه شده در جدول ۵.۸ آمده است.

دز سالانه (50 mSv)، وقتی در طول یک دوره ۵۰ هفته‌ای به صورت یکنواخت توزیع شود، یک آهنگ دز هفتگی برابر (1 mSv) 100 mrem به دست می‌دهد. این مقدار (1 mSv) را غالباً، به غلط، آهنگ بیشینه دز مجاز در نظر می‌گیرند.

دز بیشینه قابل قبول، مجموع دزهای مربوط به انواع پرتوگیری خارجی و همچنین پرتوگیری داخلی ناشی از ایزوتوپهای داخل بدن را نیز شامل می‌شود. به عنوان مثال، هرگاه در بدن کارگری آنقدر ایزوتوپ پرتوزا رسوب کرده باشد که با آهنگ 25 mrem (0.25 mSv) در هفته دستگاه خونساز بدن او را تحت تابش قرار دهد،

جدول ۵.۸ خلاصه‌ای از حدود دز تابشی برای افراد مختلف.

بیشینه دزهای مجاز برای بالغینی که حدود دز برای افراد جامعه	پرتوگیری حرفه‌ای دارند	بافت یا اندام
5 rem در سال	5 rem^* در سال	غدد تناسلی، مغز سرخ
5 mSv در سال)	50 mSv در سال)	استخوان
3 rem^{**} در سال	30 rem^* در سال	پوست، استخوان، تیروئید
30 mSv در سال)	300 mSv در سال)	دستها و ساعدها، پاها و مچها
75 rem در سال	75 rem^* در سال	سایر اندامها
75 mSv در سال)	750 mSv در سال)	
15 rem در سال	15 rem^* در سال	
15 mSv در سال)	150 mSv در سال)	

* در هر دفع سال حد اکثر تا نصف حد دز سالانه را می‌تسویان قابل تحمل تلقی کرد. حد دز شکم برای زنانی که استعداد حاملگی دارند 1 rem در هر دفع سال است، در حالی که دز شکم برای زنان باردار از هنگام تشخیص بارداری تا هنگام زایمان نباید از 1 rem تجاوز کند.

** برای تیروئید بچه‌ها تا ۱۶ سالگی 15 rem در سال است.

آنگاه دز مر بوط به تابش خارجی او در هفته کمتر از (۵۷۵ mrem) ۷۵ خواهد بود. معمولاً، در برنامه ریزیهای اینمی تابش کش در آنها پرتوگیری بر اثر بیش از یک ایزوتوپ پرتوزا از طریق تنفس و بلع و همچنین تابش خارجی باید در نظر گرفته شود، محیط کاری طوری کنترل می شود که شرط زیر برقرار بماند

$$\sum \frac{C_i(\text{آهنگ}) \text{ دز بیرونی}}{\text{MPC}_i(\text{هوای آب})} + \sum \frac{C_i(\text{آب})}{\text{MPC}_i(\text{هوای آب})} \leq \frac{1}{\text{MPD}} \quad (15.8)$$

که در آن $C_i(\text{هوای آب})$ تراکمهای محیطی واقعی نامیں ایزوتوپ در هوای آب، $\text{MPC}_i(\text{هوای آب})$ بیشینه مجاز تراکمهای محیطی نامیں ایزوتوپ، و MPD بیشینه دز مجاز هستند.

حدود دزی که برای حفاظت در برابر تابش خارجی توصیه شده است، به دلیل سادگی تعیین دز ناشی از پرتوگیری در هر زمان مفروضی در میدانهای تابشی، از لحاظ زیست‌شناسی با معنی و مستقیماً قابل کاربرد است. ولی برای حفاظت در برابر تابش داخلی ناشی از تنفس یا بلع مواد پرتوزا باید از حدود محاسبه شده استفاده کرد. این حدود محاسبه شده، بسته به نوع ایزوتوپ مورد نظر، مبتنی بر دو معیار مختلف است. برای استخوان - خواهانی چون ${}^{90}\text{Sr}$, ${}^{227}\text{Ac}$, ${}^{227}\text{Th}$, ${}^{231}\text{Pa}$, ${}^{232}\text{Pu}$, ${}^{239}\text{Np}$ ، و جز آنها که تابش بتا یا آلفا گسیل می‌کنند، حدود محاسبه شده بر مبنای مقایسه با ${}^{226}\text{Ra}$ و دخترهای هایش محاسبه می‌شود. برای تمامی ایزوتوپهای پرتوزای دیگر، مقداری از ایزوتوپ محاسبه می‌شود که اگر در بدن رسوب کند و اگر تمام بدن، عدد تناслی، یا دستگاه تولید خون اندام بحرانی باشد، دز معادل آن از (۱ mSv) ۱۰۰ mrem نشود؛ یا اگر تیروئید اندام بحرانی باشد، دز معادل آن از (۶ mSv) ۶۰۰ mrem در هفته، و اگر سایر اندام یا بافتها اندام بحرانی باشند، دز معادل آن از (۳ mSv) ۳۰۰ mrem در هفته بیشتر نشود. (منظور از اندام بحرانی آن قسمت از بدن است که در شرایط مورد نظر بیشتر در معرض آسیب تابشی است). این مقدار ایزوتوپ پرتوزا را بیشینه مجاز باربدنی می‌گویند. در این صورت، با معلوم بودن جنبش‌شناسی سوخت و ساز این ایزوتوپ پرتوزا می‌توانیم آن تراکمهایی از ایزوتوپ را در هوای آب محاسبه کنیم که بعد از پرتوگیری مداوم به انباست بیشینه مجاز باربدنی منجر می‌شود. این تراکمهای محاسبه شده را بیشینه تراکمهای مجاز (MPC) در هوای آب می‌نامند. کمیسیون ICRP در نشریه شماره ۲ خود بیشینه تراکمهای مجاز تمامی ایزوتوپهای پرتوزای شناخته شده را، با فرض پرتوگیری در تمام طول عمر، محاسبه و منتشر کرده است. در این گزارش توضیحات مفصلی درباره روش محاسبه تراکمهای مزبور همراه با عوامل فیزیکی و زیست‌شناسی لازم برای این محاسبات آمده است. در جدول ۸.۶ که از نشریه شماره ۲ استخراج شده است تعدادی از مقادیر بیشینه تراکم و باربدنی دیده می‌شود. چون محاسبه MPC بر اساس پرتوگیری پیوسته تمام عمر انجام می‌شود، هر پرتوگیری کوتاه مدت یا تصادفی از تراکمهای محیطی که از بیشینه‌های محاسبه شده بزرگتر باشد، لزوماً به این معنی نیست که شخص بیش از حد پرتوگیری کرده است.

جدول ۸.۶ پیشنهاد بار بدنی و تراکم‌های مجاز نوکلیدی‌های پرتوزا در هوا و آب برای پرتوگیری شفافی:

پیشنهاد تراکم‌های مجاز		پیشنهاد بار		اندام مرجع (الف)		اندام بحرانی با		نوکلید پرتوزا		ونوع داپاشی	
(ب)		برای هفت‌های ۱۶ ساعت	برای هفت‌های ۵۰ ساعت	بسنی مجاز	بسنی مجاز	در تمام بدن	در تمام بدن	حروف سیاه	در تمام بدن	مشخص شده است)	مشخص شده است)
(MPC) _a	(MPC) _w	(MPC) _a	(MPC) _w	$\mu\text{Ci}/\text{cm}^2$	$\mu\text{Ci}/\text{cm}^2$	$\mu\text{Ci}/\text{cm}^2$	$\mu\text{Ci}/\text{cm}^2$	$q(\mu\text{C})$	$q(\mu\text{C})$	$q(\mu\text{C})$	$q(\mu\text{C})$
5×10^{-6}	5×10^{-6}	5×10^{-6}	5×10^{-6}	1×10^{-3}	1×10^{-3}	1×10^{-3}	1×10^{-3}	10^3	10^3	بافت بدن	$^{13}\text{H}_2(\text{H}_2^3\text{O})(\beta^-)$
5×10^{-6}	5×10^{-6}	5×10^{-6}	5×10^{-6}	1×10^{-3}	1×10^{-3}	1×10^{-3}	1×10^{-3}	10^3	10^3	تمام بدن	$^{13}\text{H}_2(\text{H}_2^3\text{O})(\beta^-)$
$10^{-4} \times 10^{-3}$	$10^{-4} \times 10^{-3}$	$10^{-4} \times 10^{-3}$	$10^{-4} \times 10^{-3}$	1×10^{-2}	1×10^{-2}	1×10^{-2}	1×10^{-2}	10^3	10^3	بوست	$^{14}\text{C}(\text{CO}_2)(\beta^-)$
10^{-4}	10^{-4}	10^{-4}	10^{-4}	8×10^{-3}	8×10^{-3}	2×10^{-3}	2×10^{-3}	10^0	10^0	بافت چربی	$^{14}\text{C}(\text{CO}_2)(\beta^-)$
$10^{-4} \times 10^{-3}$	$10^{-4} \times 10^{-3}$	$10^{-4} \times 10^{-3}$	$10^{-4} \times 10^{-3}$	5×10^{-6}	5×10^{-6}	3×10^{-6}	3×10^{-6}	10^0	10^0	تمام بدن	$^{14}\text{C}(\text{CO}_2)(\beta^-)$
10^{-4}	10^{-4}	10^{-4}	10^{-4}	1×10^{-4}	1×10^{-4}	4×10^{-4}	4×10^{-4}	10^0	10^0	استخوان	$^{14}\text{C}(\text{CO}_2)(\beta^-)$
10^{-4}	10^{-4}	10^{-4}	10^{-4}	5×10^{-5}	5×10^{-5}	10^{-5}	10^{-5}	10^0	10^0	تمام بدن	غوطه‌وری

جدول ۸.۶ (ادامه)

$^{48}\text{P}(\beta^-)$

2×10^{-8}	2×10^{-4}	7×10^{-8}	5×10^{-4}	استخوان
10^{-7}	1×10^{-4}	4×10^{-7}	3×10^{-3}	تمام بدن
2×10^{-7}	1×10^{-4}	3×10^{-7}	30	محلول
2×10^{-3}	1×10^{-4}	4×10^{-7}	3×10^{-3}	GI(LLI)
2×10^{-7}	1×10^{-3}	4×10^{-7}	50	کبد
2×10^{-7}	2×10^{-3}	4×10^{-7}	50	بنز
10^{-6}	8×10^{-3}	3×10^{-4}	300	
2×10^{-8}	2×10^{-4}	7×10^{-8}	10^{-4}	ریه
2×10^{-8}	2×10^{-4}	7×10^{-8}	10^{-4}	نامحلول
				GI(LLI)

$^{48}\text{Ca}(\beta^-)$

10^{-3}	9×10^{-6}	3×10^{-4}	30	استخوان
9×10^{-6}	7×10^{-4}	2×10^{-3}	300	تمام بدن
10^{-3}	4×10^{-3}	3×10^{-4}	100	محلول
4×10^{-8}	10^{-1}			GI(LLI)
4×10^{-8}	2×10^{-4}	9×10^{-4}	5×10^{-3}	نامحلول
				GI(LLI)

Δ¹Cr (ec, γ)

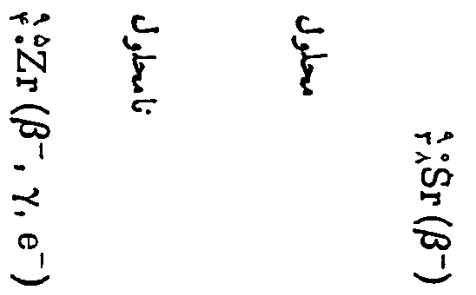
$\frac{6}{3} \cdot Zn(\beta^+, \epsilon, \gamma)$

نظام بذن
بروستات
كبد
كلية

نظام بذن	3×10^{-3}	60
بروستات	4×10^{-3}	70
كبد	4×10^{-3}	80
كلية	4×10^{-3}	100
GI(LLI)	4×10^{-3}	
محلول	4×10^{-3}	
لوز المعدة	4×10^{-3}	
ماهبيجه	4×10^{-3}	
تخدمان	4×10^{-3}	
ييشه	4×10^{-3}	
استخوان	4×10^{-3}	
ريه	4×10^{-3}	
نامحلول	4×10^{-3}	
GI(LLI)	4×10^{-3}	
كلية	4×10^{-3}	
بذن	4×10^{-3}	
محلول	4×10^{-3}	
$\frac{7}{3} As (\beta^-, \gamma)$	4×10^{-3}	
GI(LLI)	4×10^{-3}	
نام بذن	4×10^{-3}	
كلية	4×10^{-3}	
بذن	4×10^{-3}	
محلول	4×10^{-3}	
$\frac{6}{3} Zn(\beta^+, \epsilon, \gamma)$	4×10^{-3}	
GI(LLI)	4×10^{-3}	
نام بذن	4×10^{-3}	
كلية	4×10^{-3}	
بذن	4×10^{-3}	
محلول	4×10^{-3}	

$^{88}\text{Sr}(\beta^-)$	نامحول	$\left\{ \begin{array}{l} \text{ GI(LLI)} \\ \text{ GI(LLI)} \end{array} \right.$
10^{-4}	4×10^{-7}	2×10^{-4}
2×10^{-7}	4×10^{-4}	3×10^{-9}
4×10^{-4}	3×10^{-8}	10^{-8}
3×10^{-9}	3×10^{-4}	4×10^{-8}
10^{-8}	3×10^{-3}	6×10^{-8}
10^{-3}	10^{-3}	4×10^{-8}
20	10^{-3}	6×10^{-8}
30	10^{-3}	2×10^{-4}
30	10^{-3}	2×10^{-7}
40	10^{-3}	4×10^{-8}
40	10^{-3}	4×10^{-4}
40	10^{-3}	3×10^{-4}

$\text{Sr}(\beta^-)$	نامحول	$\left\{ \begin{array}{l} \text{ GI(LLI)} \\ \text{ GI(LLI)} \end{array} \right.$
10^{-7}	4×10^{-4}	10^{-8}
4×10^{-4}	3×10^{-8}	3×10^{-10}
3×10^{-10}	9×10^{-9}	4×10^{-9}
10^{-7}	3×10^{-7}	5×10^{-4}
5×10^{-4}	10^{-3}	2×10^{-7}
2×10^{-9}	5×10^{-9}	2×10^{-9}
4×10^{-4}	2×10^{-7}	10^{-3}
10^{-7}	4×10^{-4}	4×10^{-7}
4×10^{-4}	2×10^{-3}	2×10^{-7}
1	10^{-3}	3
4×10^{-8}	2×10^{-7}	2×10^{-8}
2	4	4×10^{-8}
2	2×10^{-7}	2×10^{-7}
4	4	3×10^{-7}
2	2	3×10^{-7}
2	2	4



GI(LLI)	طحال
تمام بدن	محلول
استخوان	كلية
كبد	كبد
20	40
30	40
30	40
40	40
40	40
40	40

جدول ۸.۶ (ادامه)

2 X 10-1

一〇一

4-10-1

۱۰۱

四

卷之三

Figure 1. The effect of the number of iterations on the error of the solution of the direct problem.

1000 4-01 X Y 1000 4-01 X Y
1000 4-01 X Y 1000 4-01 X Y

$$10^{-\gamma} \times 10^{-\delta} \times 10^{-\epsilon} = 10^{-\gamma-\delta-\epsilon}$$

卷之二

ریه
نیا مکمل

$$y = -\sqrt{1-x^2}$$

卷之三

卷之三

$$4 \times 10^{-4} \quad 4 \times 10^{-4} \quad 4 \times 10^{-4}$$

$$X_1 = \{x_1\}, X_2 = \{x_2\}, \dots, X_n = \{x_n\}$$

卷之三

100 101 102 103 104 105 106 107 108 109 110 111 112 113 114 115 116 117 118 119 120 121 122 123 124 125 126 127 128 129 130 131 132 133 134 135 136 137 138 139 140 141 142 143 144 145 146 147 148 149 150 151 152 153 154 155 156 157 158 159 160 161 162 163 164 165 166 167 168 169 170 171 172 173 174 175 176 177 178 179 180 181 182 183 184 185 186 187 188 189 190 191 192 193 194 195 196 197 198 199 200

$$10^{-y} \times 10^{-x} = 10^{-(x+y)}$$

$$W_{\theta\theta} = \frac{1}{2} \left(\partial_X \log \lambda \right) \partial_X \log \lambda - \frac{1}{2} \lambda^2 \partial_X \log \lambda + \frac{1}{2} \lambda^2 \partial_X \log \lambda = \frac{1}{2} \lambda^2 \partial_X \log \lambda$$

卷之三

X 10-1

$$X \times 10^{-4} \quad X \times 10^{-4} \quad X \times 10^{-4}$$

ریه
نامحلول
 $\left\{ \text{G}(\text{LLI}) \right.$

جدول ۸ (ادامه)

$^{144}\text{Ce}(\alpha, \beta^-, \gamma)$

3×10^{-1}	10^{-4}	8×10^{-8}	3×10^{-4}
3×10^{-9}	10^{-1}	80 ر^0	GI(LLI)
4×10^{-1}	10^{-8}	10 ر^0	استخوان
7×10^{-9}	10^{-8}	10 ر^0	محلول
10^{-8}	10^{-8}	10 ر^0	کلیه
2×10^{-9}	10^{-8}	10 ر^0	تمام بدن
4×10^{-9}	10^{-8}	10 ر^0	ریه
2×10^{-8}	10^{-4}	3×10^{-4}	نامحلول

$^{145}\text{Pm}(\alpha, \beta^-)$

5×10^{-7}	10^{-9}	4×10^{-3}	GI(LLI)
2×10^{-8}	5×10^{-9}	1	استخوان
7×10^{-8}	2×10^{-7}	200	کلیه
10^{-7}	2×10^{-7}	300	تمام بدن
10^{-7}	2×10^{-7}	300	کبد
2	8		نامحلول
10^{-7}	4×10^{-7}		
3×10^{-8}	10^{-7}		
4×10^{-8}	2×10^{-3}		
10^{-8}	10^{-4}	4×10^{-3}	GI(LLI)

$$\text{Wta}(\beta^-, \gamma)$$

GI(LLI)

三

2

四〇九

二

二

1

2

9 - Y

Y-01-X

三

10

8

二〇

六

1 > 1

5

卷之三

11

-4-

三

六

•

1

三

1

1

جدول ٤٠.٦ (ادام)

$\text{Au}(\beta^-, \gamma)$

10^{-7}	5×10^{-4}	3×10^{-2}	2×10^{-3}	CI(LLI)
10^{-4}	1×10^{-4}	3×10^{-4}	2×10^{-6}	كليه
10^{-3}	2×10^{-4}	4×10^{-4}	1×10^{-6}	نظام بدن
10^{-2}	5×10^{-4}	10^{-4}	3×10^{-6}	محلول
10^{-1}	10^{-4}	10^{-4}	10^{-6}	جيد
10^{-1}	5×10^{-4}	2×10^{-4}	10^{-6}	نامحلول
10^{-2}	2×10^{-4}	4×10^{-4}	10^{-6}	$\text{Rn}^{(e)}(\alpha, \beta^-, \gamma)$
10^{-3}	3×10^{-4}	6×10^{-4}	10^{-6}	
10^{-11}	10^{-4}	3×10^{-11}	4×10^{-7}	استخوان
10^{-11}	2×10^{-4}	6×10^{-11}	6×10^{-7}	نظام بدن
10^{-2}	5×10^{-4}	3×10^{-2}	10^{-3}	محلول
				$\text{Ra}(\alpha, \beta^-, \gamma)$
				GI(LLI)

$$G(LLI) \quad \text{نامحول} \quad \gamma_{\text{نامحول}}(\alpha, \beta, \gamma)$$

$$\begin{cases} 4 \times 10^{-4} & G(LLI) \\ 3 \times 10^{-4} & \text{نامحول} \\ 2 \times 10^{-4} & \gamma_{\text{نامحول}}(\alpha, \beta, \gamma) \end{cases}$$

$$\begin{cases} 8 \times 10^{-4} & \text{كلية} \\ 4 \times 10^{-4} & \text{محلول} \\ 5 \times 10^{-4} & \text{استخوان} \\ 6 \times 10^{-4} & \text{نظام بدن} \end{cases}$$

$$4 \times 10^{-11} \quad 10^{-10}$$

$$4 \times 10^{-7} \quad 3 \times 10^{-4} \quad 10^{-4}$$

$$\begin{cases} G(LLI) & \text{نامحول} \\ G(LLI) & \text{نامحول} \end{cases}$$

$$\gamma_{\text{نامحول}}(\alpha, \beta, \gamma)$$

$$8 \times 10^{-4} \quad 4 \times 10^{-4} \quad 2 \times 10^{-4} \quad 10^{-3}$$

$$\begin{cases} 2 \times 10^{-11} & \text{كلية} \\ 4 \times 10^{-10} & \text{محلول} \\ 5 \times 10^{-10} & \text{استخوان} \\ 6 \times 10^{-10} & \text{نظام بدن} \end{cases}$$

$$4 \times 10^{-10} \quad 10^{-9}$$

$$5 \times 10^{-11} \quad 4 \times 10^{-4} \quad 2 \times 10^{-4} \quad 10^{-3}$$

$$4 \times 10^{-4} \quad 3 \times 10^{-4} \quad 2 \times 10^{-4} \quad 10^{-3}$$

$$\begin{cases} G(LLI) & \text{نامحول} \\ G(LLI) & \text{نامحول} \end{cases}$$

جذول ۸.۰۴ (ادامه)

$\text{Pu}(\alpha, \gamma)$

استخوان	10^{-4}
كبد	10^{-4}
كلية	10^{-4}
محلول	10^{-4}
نام بدن	10^{-4}
GI(LLI)	10^{-4}
ریه	10^{-4}
المحلول	10^{-4}
GI(LLI)	10^{-4}
ریه	10^{-4}
محلول	10^{-4}
نام بدن	10^{-4}
كلية	10^{-4}
كبد	10^{-4}
استخوان	10^{-4}

(الف) علائم اختصاری GI، SI، ULI، S، SI، ULI، LLI و LLI به ترتیب مباری ممهله-موده، درجه کوچک، درجه بزرگ فوکانی و تختانی می‌دهند.

را نشان می دهد.

(ب) باید توجه داشت که مقادیر MPC برای ۱۶۸ ساعت در هفته همیشه مشارب دقیقی از مقادیر ۵۰۴ ساعت در هفته نیست. دلیل این موضوع گردد که مقادیر محاسبه شده به یک عدد درست و در بعضی موارد هم ناشی از تفاوتهاي تکنيكی است که در گزارش ICRP بحث شده است. به دلیل خطاهای موجود در پیشنهادهای زیست‌شناسی و بدلیل تفاوتهاي فردی، این اختلافات مهم تلقی نمی‌شوند. مقادیر MPC منوط به هفته‌ای ۳۰ ساعت به عنوان معيار بروگیری پیوسته وبرای کل افراد جامعه مورد استفاده است.

(ج) فرض می‌گیریم این است که مقدار دختر-ایزوتوپهای $\text{^{222}Rn}$ و $\text{^{220}Rn}$ بسیار ابیزد نشده است. باقیت هسته‌های سایر ایزوتوپها به عنوان جزءی از مواد درودی بهینه داشته باشد.

باید بی اساس قوایه مخلوق طها بررسی می شوند.

محاسبه MPC در آب آشامیدنی بر اساس حد دز اندام بحرانی

با مثال ساده‌ای می‌توان اصول حاکم بر محاسبه بیشینه تراکم مجاز در آب آشامیدنی را توضیح داد. در این محاسبه فرض می‌شود که ایزوتوب پرتوزا در یک یا چند «بخش» یا اندام بدن انباشته شده است. در اکثر موارد زمان رسوب در اندام موردنظر را می‌توان نسبت به زمانی که ایزوتوب در اندام باقی می‌ماند، لحظه‌ای در نظر گرفت. این ایزوتوب، بعد از رسوب با آهنگی که به نیمه عمر مؤثر آن بستگی دارد دفع می‌شود. در صورتی که عبور از اندامها یا بافت‌های بعدی (نظیر کلیه، کبد، و جز آنها) در مقایسه با آهنگ دفع از اندام اولیه سریعتر باشد، می‌توان آهنگ دفع را غالب تلقی کرد که در این حالت دفع از بدن از جنبش‌شناسی مرتبه اول پیروی می‌کند. در این ساده‌ترین حالت، می‌توان احتباس ایزوتوب را در بدن با معادله زیر توصیف کرد

$$Q = Q_0 e^{-\lambda_E t} \quad [25.6]$$

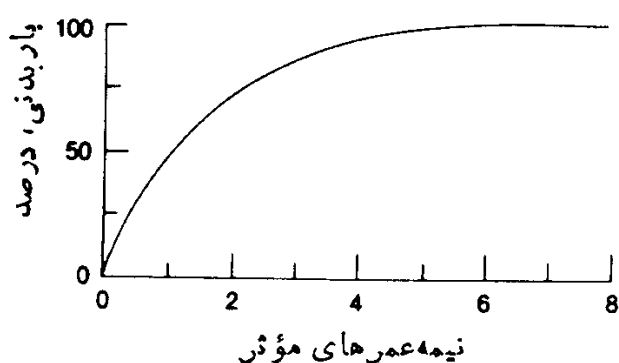
که در آن Q فعالیت باقیمانده در زمان t پس از رسوب Q_0 ، و λ_E ثابت مؤثر دفع است. اگر ورود ایزوتوب پرتوزا به بدن به‌طور پیوسته صورت بگیرد، انباشت ایزوتوب از معادله زیر به دست می‌آید

$$Q = \frac{K}{\lambda_E} (1 - e^{-\lambda_E t}) \quad (16.8)$$

که در آن K مقدار فعالیت وارد شده در واحد زمان، مثلاً برحسب بکرل در روز است. شکل ۲۰.۸ نمایش هندسی معادله (۱۶.۸) است. باید توجه داشت به‌همان نسبتی که افزایش می‌یابد $e^{-\lambda_E t}$ کم می‌شود، و بار بدنی Q به مقدار حدی خود نزدیک می‌شود

$$Q_0 = \frac{K}{\lambda_E} \quad (17.8)$$

در عمل رسیدن به‌این حد پس از حدود ۶ نیمه عمر مؤثر صورت می‌گیرد. در این هنگام،



شکل ۲۰.۸ تولید و انباشت ایزوتوب پرتوزا در بدن بر اثر ورود پیوسته به بدن.

می‌توان گفت که حالت پایدار، که در آن مقدار فعالیت جذب شده با مقدار فعالیت دفع شده برابر است، برقرار شده است.

در محاسبه بیشینه تراکم مجاز برای هر ایزوتوب پرتوza در آب آشامیدنی، باید داده‌های فیزیکی و زیست‌شناسختی معینی به شرح زیر در دست باشد:

الف) داده‌های فیزیکی

۱. نوع تابش (α , β , γ)

۲. انرژی تابش

۳. نیمه عمر پرتوشناسختی

ب) داده‌های زیست‌شناسختی

۱. شناخت اندام بحرانی

۲. آهنگ دفع زیست‌شناسختی اندام بحرانی

۳. کسر فعالیت بلعیده شده که به صورت منظم رسوب می‌کند

به عنوان مثال، در نشریه شماره ۲ ICRP در مورد [۱۳۱] چنین آمده است: گسیلنده بنا-گاما

انرژی مؤثر برابر 23 MeV به ازای هر تبدیل

نیمه عمر پرتوشناسختی ۸ روز

اندام بحرانی تیروئید به وزن 52 kg

نیمه عمر زیست‌شناسختی برابر ۱۳۸ روز

نیمه عمر مؤثر ۷ روز، و بنا بر این

ثابت دفع مؤثر برابر $5913\text{ rad} = 693\text{ rad}/\text{روز}$ در روز

۳۵٪ ید بلعیده شده در تیروئید رسوب می‌کند

۲۰٪ ید تمام بدن در تیروئید وجود دارد

آب ورودی روزانه 2200 ml

بیشینه دز مجاز برای تیروئید شخص بالغ (130 rad) Gy (130 rad) در سال کمتر متعادل

است با (86 rad) Gy (5086 rad) در روز.

مقدار ایزوتوب پرتوزا بی که با توزیع یکنواخت در تمام یک اندام و با آهنگ دز

بیشینه توصیه شده آن اندام را تحت تابش می‌گیرد، از معادله (41.6) به دست می‌آید

$$\dot{D} = \frac{q \text{Bq} \times 1 \text{ tps/Bq} \times E_e \text{ MeV/t} \times 10^{-13} \text{ J/MeV} \times 864 \times 10^4 \text{ s/d}}{m \text{ kg} \times 1 \frac{\text{J}}{\text{kg}} / \text{Gy}}$$

[۴۱.۶]

دراینجا tps علامت اختصاری تعداد تبدیل (یافروپاشی) در هر ثانیه است. با استفاده از

مقادیر زیر می‌توان مقدار مناسب D را انتخاب و معادله را بر حسب q حل کرد.

آهنگ دز معادل روزانه

اندام بحرانی

10^{-4} Sv (0.014 rem)	تمام بدن، دستگاه خونساز، و غدد تیroid
10^{-4} Sv (0.086 rem)	تیروئید
$2.3 \times 10^{-4} \text{ Sv}$ (0.0543 rem)	سایر اندامها یا بافت‌ها

آهنگ دز معادل بیشینه برای I_{131} برابر با 10^{-4} Sv یا 10^{-4} Gy در روز است (چون I_{131} گسیلنده بتا-گاما است، دارای $QF = 1$). با قراردادن این مقدار و سایر مقادیر مربوط در معادله (۱۸.۶) خواهیم داشت

$$8 \times 10^{-4} \text{ Gy/d} =$$

$$\frac{q \text{ Bq} \times 1 \text{ tps/Bq} \times 0.23 \text{ MeV/t} \times 1.6 \times 10^{-13} \text{ J/MeV} \times 8.64 \times 10^{-4} \text{ s/d}}{0.02 \text{ kg} \times 1 \frac{\text{J}}{\text{kg}} / \text{Gy}}$$

$$q = 5.4 \times 10^3 \text{ Bq} (0.0146 \mu\text{Ci})$$

چون فقط ۲۰٪ یدکل بدن به تیروئید می‌رسد، بیشینه بار بدنی مجاز برابر است با

$$\frac{5.41 \times 10^3 \text{ Bq}}{0.2} = 27 \times 10^4 \text{ Bq} (0.073 \mu\text{Ci})$$

چون مقادیر توصیه شده بیشینه ICRP با تقریب یک رقم با معنی گرد شده است، بیشینه بار بدنی مجاز برای I_{131} در نشریه شماره ۲ ICRP به صورت ($3 \times 10^4 \text{ Bq}$) ($3 \times 10^4 \mu\text{Ci}$) ذکر شده است.

برای محاسبه تراکم بیشینه آب آشامیدنی که به فعالیت بیشینه 10^3 Bq ($10^3 \mu\text{Ci}$) تیروئید منجر می‌شود، با استفاده از شرط تعادل پایا داریم

$$\text{فعالیت دفع شده} = \text{فعالیت رسوب} \quad (18.8 \text{ الف})$$

$$C \text{ Bq/ml} \times 2.2 \times 10^3 \text{ ml/d} \times f = \lambda_E d^{-1} \times q \text{ Bq} \quad (18.8 \text{ ب})$$

که در آن C بیشینه تراکم مجاز ایزوتوپ در آب، f کسری از ایزوتوپ ورودی که در اندام بحرانی رسوب می‌کند، λ_E ثابت دفع مؤثر، و q فعالیت حالت پایا در اندام بحرانی است.

با قراردادن مقادیر مناسب در معادله (۱۸.۸ ب) می‌توان آن را بر حسب C حل کرد

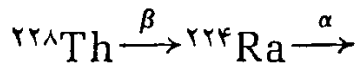
$$C = \frac{۹۰۱۳ \times ۱۰^{-۲} d^{-۱} \times ۵۴ \times ۱۰^۳ Bq}{۲۲۲ \times ۱۰^۳ ml/d \times ۰۳}$$

$$= ۵۷۵ Bq/ml (۲ \times ۱۰^{-۵} \mu Ci/ml)$$

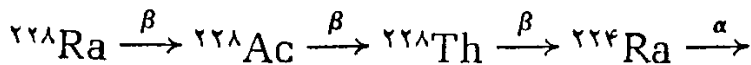
در نشریه شماره ۲ ICRP بیشینه تراکم مجاز ید ۱۳۱ درآب برای بلع پیوسته به صورت $۱۰^{-۵} \mu Ci/ml \times ۲$ ، و برای پرتوگیری شغلی ۴۰ ساعت در هفته به صورت $۱۰^{-۵} \mu Ci/ml \times ۶$ ذکر شده است.

تراکم درآب آشامیدنی بر مبنای مقایسه با رادیوم

ما در مورد پرتوگیری انسان از رادیوم تجربیات زیادی داریم. به همین دلیل، و به دلیل اینکه رادیوم «استخوان خواه» است و در استخوان رسوب می‌کند، بیشینه باربدنی تمامی استخوان خواهان را در مقایسه با دز معادلی که رادیوم به استخوان می‌رساند تعیین می‌کنیم. بر اساس اطلاعات موجود، مقدار $8 \mu g$ از رادیوم که متناظر با فعالیت $۳۷ kBq$ است، در حالت تعادل با محصولات واپاشی اش، به عنوان بیشینه باربدنی مجاز $Ra^{۲۶}$ توصیه شده است. اگر ضریب کیفیت ذرات آلفا را ۱۵ بگیریم، دز معادل محاسبه شده برای استخوان در اثر $8 \mu m$ رادیوم و دخترهسته‌ها یعنی برابر $(۵۵۶ rem)$ می‌شود، اما سایر در هفته خواهد بود. رادیوم به صورت نسبتاً یکنواخت در استخوان توزیع می‌شود، اما سایر استخوان خواهان به صورت نایکنواخت در استخوان توزیع می‌شوند به طوری که دز بعضی از قسمتهای استخوان به حدود ۵ برابر دز میانگین استخوان می‌رسد. به همین دلیل، کمیسیون ICRP ضریب آسیب‌پذیری نسبی n را به عنوان عاملی که در QF ضرب می‌شود معرفی کرده است. این ضریب برای تمام تابش‌های ذره‌ای (آلفا و بتا)، به استثنای مواردی که در آنها تابش‌های ذره‌ای حاصل زنجیره‌ای هستند که نخستین عضو آن رادیوم است، برابر ۵ است. وقتی رادیوم نخستین عضو زنجیره باشد، ضریب آسیب‌پذیری برابر ۱ است، زیرا توزیع ایزوتوپهای پرتوزا را در این مورد رادیوم تعیین می‌کند. به عنوان مثال ضریب آسیب‌پذیری نسبی زنجیره زیر



برابر ۵ به ازای هر ذره است، در حالی که ضریب آسیب‌پذیری نسبی همین ذرات در زنجیره زیر برابر ۱ است



انرژی که از $Ra^{۲۶}$ و دخترهسته‌های باقیمانده در استخوان به استخوان می‌رسد،

برابر 11 MeV به ازای هر تبدیل است. با قراردادن مقدار 1 به جای QF انرژی مؤثر به 110 MeV می‌رسد. چون 99% بار بدنی را دیگر عبارت از بار بدنی مجاز هاستخوان خواه دیگر

$$q = \frac{357 \times 10^3 \text{ Bq} \times 0.99}{f_2} \times \frac{110 \text{ MeV/t}}{E \text{ MeV/t}} = \frac{4 \times 10^5}{f_2 E} \text{ Bq} \quad (19.8)$$

که در آن E انرژی مؤثر ذره‌ای هر تبدیل در استخوان خواه دیگر، و f_2 کسر بار بدنی کل استخوان خواهی است که در استخوان بندی قرار می‌گیرد. مثلاً در مورد ^{90}Sr ، تبدیل ^{90}Y یک گسیلنده بنای خالص است و

$$\text{انرژی میانگین تبدیل} = 112 \text{ MeV/t} = 194(^{90}\text{Sr}) + 0.93(^{90}\text{Y})$$

$$QF = 1$$

$$n = 5$$

$$f_2 = 0.99$$

انرژی مؤثر برابر 112 MeV به ازای هر تبدیل است. با استفاده از معادله (19.8) بیشینه بار بدنی مجاز چنین به دست خواهد آمد

$$q = \frac{4 \times 10^5}{0.99 \times 112} = 722 \times 10^4 \text{ Bq} (2 \mu\text{Ci})$$

در نظر یه شماره 2 مقدار نیمه عمر مؤثر ^{90}Sr در استخوان بندی برابر 6400 روز تعیین شده است که با آهنگ مؤثر دفع $\lambda_E = 1058 \times 10^{-4}$ در روز متناظر است. چون 9% استرونسیم بلعیده شده در استخوان رسوب می‌کند، از معادله (18.8) بیشینه تراکم مجاز در آب آشامیدنی که بار بدنی را به مقدار $722 \times 10^4 \text{ Bq} (2 \mu\text{Ci})$ می‌رساند به دست می‌آید

$$C \text{ Bq/ml} \times 22 \times 10^3 \text{ ml/d} \times 0.9 = 722 \times 10^4 \text{ Bq} \times 1058 \times 10^{-4} \text{ d}^{-1}$$

$$C = 39 \times 10^{-2} \text{ Bq/ml} (1 \times 10^{-6} \mu\text{Ci/ml})$$

اگر آب با آهنگی که در محاسبه بالا فرض شد آشامیده شود، هنگام برقواری تعادل، بار بدنی به مقدار بیشینه مجاز می‌رسد. به دلیل نیمه عمر مؤثر خیلی طولانی ^{90}Sr در استخوان، در طول 50 سال پرتوگیری شغلی که برای محاسبه مقادیر مربوط به راهنمای حفاظت در برآور تابش در نظر گرفته می‌شود، بار بدنی به مقدار بیشینه مجاز نمی‌رسد. بعد از 50 سال بلعیدن

مداوم با آهنگ بالا، مقدار Sr^{90} در استخوان بندی برابر می‌شود با

$$q = q_m(1 - e^{-\lambda_E t})$$

$$= 72 \times 10^4 (1 - e^{-1.58 \times 10^{-4} \times 50 \times 365})$$

$$= 72 \times 10^4 Bq (1.7 \mu Ci)$$

که فقط برابر ۸۶٪ بار بدنی بیشینه است. از این رو، معلوم می‌شود که بار بدنی متوسط و در نتیجه آهنگ دز میانگین استخوان بندی در دوره ۵۰ ساله بسیار به طور قابل توجهی از بیشینه بار بدنی مجاز کمتر خواهد بود. بار بدنی میانگین در طول مدت زمان بسیار T که از زمان صفر که در آن هیچ نوع ایزوتوپ پرتوزا ایی از انواع مورد بحث در بدن نیست آغاز می‌شود، با فرض اینکه آهنگ دفع مؤثر ایزوتوپ پرتوزا λ_E باشد، از معادله زیر به دست می‌آید

$$\bar{q} = \frac{1}{T} \int_0^T q_m(1 - e^{-\lambda_E t}) dt \quad (20.8)$$

که با انتگرال گرفتن از آن نتیجه می‌شود

$$\bar{q} = q_m \left[1 + \frac{1}{\lambda_E T} (e^{-\lambda_E T} - 1) \right] \quad (21.8)$$

برای Sr^{90} که $\lambda_E = 0.5395 \text{ yr}^{-1}$ است، در یک دوره پرتوگیری ۵۰ ساله خواهیم داشت

$$\bar{q} = 418 \times 10^4 Bq (1.3 \mu Ci)$$

چندین ایزوتوپ پرتوزا ای دیگر وجود دارد که در طی ۵۰ سال بسیار پیوسته در تراکم‌های توصیه شده بیشینه به مقادیر تعادل خود نمی‌رسند. این ایزوتوپ‌های پرتوزا در جدول ۷.۸ آمده است.

پرتوزا ای هوابرد

هنگام بررسی پرتوزا ای هوابرد باید ریه انسان را از دونظر مطالعه کرد: نخست به عنوان راه ورودی مواد تنفس شده‌ای که به طور منظم رسوب می‌کنند، و دوم به عنوان یک اندام بحرانی که ممکن است براثر تابش آسیب بینند. برای محاسبات تراکم‌های مجاز پرتوزا ای جوی، می‌توان آلودگی‌های هوابرد را به طور کلی به دو دسته گسازی و ذرات معلق تقسیم کرد. در آلودگی‌های پرتوزا ای گازی باید احتمال خطرناشی از غوطه‌وری واستنشاق را

جدول ۲۰.۸ ایز و توزیعی پر تو زایی که در طی ۵۰ سال به تعادل نمی‌رسند.

Z	ایزوتوپ پرتوزا	T_E (سال)	پس از ۵۰ سال	درصد تعادل
38	^{90}Sr	18		86
88	^{226}Ra	44		56
89	^{227}Ac	20		83
90	^{230}Th	200		16
90	^{232}Th	200		16
91	^{231}Pa	200		16
93	^{237}Np	200		16
94	^{238}Pu	62		43
94	^{239}Pu	200		16
94	^{240}Pu	190		16
94	^{241}Pu	12		94
94	^{242}Pu	200		16
95	^{241}Am	140		22
95	^{243}Am	200		16
96	^{243}Cm	30		69
96	^{244}Cm	17		87
96	^{245}Cm	200		16
96	^{246}Cm	190		16
98	^{249}Cf	140		22
98	^{250}Cf	10		97

در نظر گرفت، ولی در دسته دیگر خطر اصلی از رسوب ماده پرتوزا در ریه ناشی می‌شود. محاسبه تراکم مجاز یک گاز را با استفاده از A^{41} که یک گاز از لحاظ زیست‌شناسی بی‌اثر است می‌توان توضیح داد. آرگون 41 با نیمه عمر 100 دقیقه (یا 576 روز) و با گسیل ذره بنای با انرژی MeV^{12} و پرتو گامای با انرژی MeV^{3} را به K^{41} واپاشیده می‌شود. در حالت غوطه‌وری فرض می‌شود که شخص در یک نیمکره بی‌نها بیت بزرگ از گاز غوطه‌ور می‌شود. در هر محیط نامتناهی که در آن ایزوتوبی به صورت یکنواخت توزیع شده باشد، چگالی انرژی گسیل شده با چگالی انرژی جذب شده برابر است. با در نظر گرفتن مقدار 1 برای توان ایستانتندگی بافت نسبت به هوا و انرژی مؤثر $MeV^{17} = (1/3)(1 + 12)$ ، تراکم پرتوزا بی که به آهنگ جذب دز معادل $(rem^{143})Sv^{0.5}$ در روز منجر می‌شود، از رابطه زیر به دست می‌آید

$$1.242 \times 10^{-4} \text{ Sv/d} =$$

$$C \text{ Bq/m}^3 \times 1 \text{ tps/Bq} \times 1.97 \text{ MeV/t} \times 1.6 \times 10^{-13} \text{ J/MeV} \times 8.64 \times 10^4$$

$$1.29 \times 10^4 \text{ kg/m}^3 \times 1 \frac{\text{J}}{\text{kg}} / \text{Gy} \times 1 \text{ Gy/Sv}$$

$$C = 715 \times 10^3 \text{ Bq/m}^3 (1.9 \times 10^{-7} \mu\text{Ci/cm}^3)$$

این محاسبه برای نقطه‌ای که کاملاً در گاز پرتوزا غوطه‌ور است انجام شده است. چون انسان بر روی زمین قرار دارد و فقط از طریق 2π استرadian پرتوگیری می‌کند، تراکم مجاز به دو برابر مقداری که در بالا محاسبه شد یعنی به $1.4 \times 10^3 \text{ Bq/m}^3 (3.8 \times 10^{-7} \mu\text{Ci/cm}^3)$ افزایش می‌یابد.

هنگامی که گازی استنشاق می‌شود، ممکن است پس از نفوذ در مویر گهای ریه در مایعات و چربی بدن حل شود. اگر گاز بی اثر باشد، پس از اشباع مایعات و چربی بدن از آن گاز، فرایند جذب در بدن متوقف خواهد شد. بنابراین با یدمقدار اشباع 41A حل شده در مایعات بدن برای استنشاق هوای آلوده را در غوطه‌وری کامل محاسبه کنیم تا بینیم که آیا به بیش پرتوگیری می‌انجامد یا نه. ابتدا، تراکم مولی 41A را که با مقدار منظور فعالیت ویژه 41A را از معادله (۳۰.۴) بدست می‌آوریم

$$\frac{3.7 \times 10^3 \text{ y} \times 2.26 \times 365 \text{ d/y}}{5076 \text{ d}^{-1} \times 21} = 1.057 \times 10^{18} \text{ Bq/g}$$

$$\frac{1.4 \times 10^3 \text{ Bq/m}^3}{1.057 \times 10^{18} \text{ Bq/g}} \times \frac{1 \text{ mol}}{41 \text{ g}} = 2.23 \times 10^{-16} \text{ mol/m}^3$$

تراکم مولی هوا برابر است با

$$\frac{1 \text{ mol}}{2.23 \times 10^{-3} \text{ m}^3 / 1} = 4.46 \frac{\text{mol}}{\text{m}^3}$$

چون 4.46 mol/m^3 درصد حجم هوا آرگون است، تراکم مولی طبیعی آرگون موجود در هوا برابر است با

$$\text{هوا } 4.46 \text{ mol/m}^3 = 0.42 \text{ mol A/m}^3 = 4.46 \times 10^{-3} \text{ mol A/m}^3$$

از این رو، مقدار 41A متناظر با بیشینه تراکم مجاز غوطه‌وری، نسبت به آرگون موجود در هوا ناجیز است، و می‌توان فرض کرد که تراکم مولی آرگون در هوا در نتیجه افزایش $1.4 \times 10^3 \text{ Bq/m}^3 (3.8 \times 10^{-7} \mu\text{Ci/cm}^3)$ در هر مترمکعب هوا تغییر نمی‌کند. با این مقدار 41A در هوا، فعالیت ویژه آن برابر است با

$$\frac{1.4 \times 10^3 \text{ Bq/m}^3}{0.42 \text{ mol A/m}^3} = 3.34 \times 10^4 \text{ Bq/mol A} (9.9 \times 10^{-7} \mu\text{Ci/mol A})$$

اگرچون تراکم آرگون در مایعات بدن را در حالتی که آرگون محلول با آرگون موجود در هوا به تعادل می‌رسد محاسبه می‌کنیم. طبق قانون هانری، مقدار گاز حل شده

در هر مایعی با فشار جزئی گاز بالای مایع متناسب است

$$P_{\text{غاز}} = KN = K \frac{n_g}{n_g + n_s} \quad (22.8)$$

که در آن $P_{\text{غاز}}$ فشار جزئی گاز، K ثابت هانری، N کسر مولی گاز حل شده، n_g تراکم مولی گاز حل شده، و n_s تراکم مولی حلال است. در جدول ۸.۸ قابلیت حل چندین گاز را در آب 38°C بر حسب ثابت هانری نشان داده ایم. در دمای معمولی بدن انسان، ثابت هانری آرگون برابر $10^2 \times 10^4 \times 10^{-5} \text{ mm Hg}$ برابر است با

$$P_{\text{غاز}} = 715 \text{ mm Hg}$$

مقدار کل آب بدن شخصی به وزن ۷۵ کیلوگرم، برابر 43 لیتر است. تراکم مولی آب، به عنوان حلال، برابر است با

$$n_s = \frac{1000 \text{ g/l}}{18 \text{ g/mol}} = 55.6 \text{ mol/l}$$

اکتون می‌توان معادله (۲۲.۸) را بر حسب تراکم آرگون محلول، حل کرد

$$715 = 3.41 \times 10^4 \left(\frac{n_g}{n_g + 55.6} \right)$$

$$n_g = 1.17 \times 10^{-5} \text{ mol/l}$$

چون فعالیت ویژه آرگون محلول برابر ($9.1 \times 10^{-7} \text{ Ci/mol}$) است، تراکم فعالیت آن در مایعات بدن برابر ($10^{-5} \mu\text{Ci/l}$) و ($10^{-4} \mu\text{Ci/l}$) خواهد بود. فعالیت کل آن در مایعات بدن برابر ($17.2 \text{ Bq} \times 10^{-4} \mu\text{Ci}$) خواهد بود. قابلیت حل آرگون در چربی بیشتر از قابلیت حل آن در آب است. در حالت تعادل و در دمای بدن، نسبت تراکم آرگون در چربی به تراکم آن در آب برابر نسبت 4.5×10^{-4} است. مقدار A^{41} در 10 kg چربی بدن یک شخص مرجع برابر است با

$$5.4 \times 10^{-4} \mu\text{Ci} = 21.6 \text{ Bq} / (10 \text{ kg})$$

فعالیت کل آرگون در شخص مرجع برابر مجموع فعالیت آن در مایعات بدن و در چربی، یعنی ($10^{-3} \mu\text{Ci} \times 10^{-4} \text{ Bq}$) است. با فرض اینکه آرگون به طور یکنواخت در تمام بدن توزیع شده باشد، آهنگ ذذ تمام بدن در اثر A^{41} محلول را می‌توان از معادله زیر به دست آورد

جدول ۸.۸ قابلیت حل چندگاز در آب بادمای 38°C

$$K = \frac{\text{فشار جزئی گاز بر حسب میلی متر جیوه}}{\text{کسر موای گاز در محلول}}$$

K	گاز
572×10^7	H ₂
۱۱۰	He
۷۵۱	N ₂
۴۰۴	O ₂
۳۲۱	A
۹۷۶	Ne
۲۱۳	Kr
۱۱۲	Xe
۰۶۵۱	Em
۰۱۶۸	CO ₂
۰۱۳۱	C ₂ H ₂
۰۱۲۱	C ₂ H ₆
۰۰۲۴۲	N ₂ O

$$\dot{D} = \frac{q \text{Bq} \times 1 \text{tps/Bq} \times E_e \text{MeV/t} \times 1.6 \times 10^{-12} \text{J/MeV} \times 8.64 \times 10^4 \text{s}}{m \text{kg} \times 1 \frac{\text{J}}{\text{kg}} / \text{Gy}}$$

[۴۱.۶]

که در آن E_e انرژی مؤثر جذب شده به ازای هر تبدیل است که برابر است با مجموع انرژی متوسط پرتو بنا، 4.5 MeV ، و انرژی جذب شده از گاما می باشد. کسر جذب شده انرژی پرتو گاما که با درونیابی میان 1.5 MeV و 15 MeV در جدول ۸.۶ به دست می آید، برابر 310% است. بنابراین، انرژی مؤثر برابر است با

$$E_e = 0.4 + 0.31 \times 1.5 = 0.88 \text{ MeV} / \text{Tبدیل}$$

با قراردادن این مقدار به جای E ، همراه با مقدار 388 Bq و $q = 70 \text{ kg}$ به جای m در معادله $(41.6) \text{ آهنگ} \text{ دز} \equiv (6 \times 10^{-4} \text{ mrad/d}) \times 10^{-9} \text{ Gy/d}$ دست می‌آید.

بر طبق این محاسبات، آهنگ دز آرگون محلول در بدن در مقایسه با دز غوطه‌وری قابل چشمپوشی است.

ذرات معلق استنشاق شده ممکن است حل پذیر یا حل ناپذیر باشند. در حالت حل پذیر بودن، ممکن است در مایعات بدن جذب شود یا در ریه به صورت رسوب حل ناپذیری در آید و یا با بافت پروتئینی برهم کنش کند. ذرات معلق «حل ناپذیر» که در عمق مجاري تنفسی رسوب می‌کنند ممکن است برای یک مدت طولانی در آنجا باقی بمانند، تا اینکه بر اثر بیگانه خواری یا بالا آمدن بر اثر حرکات منظم جداره‌های مژکدار و یا بر اثر انحلال تدریجی از بین بروند. راهنمایی حفاظتی توصیه شده برای ذرات معلق هوا برد به طور کلی بر فرضیات زیر منکی است. هرگر در موادی که اطلاعات زیست‌شناسی ویژه‌ای برای ذرات معلق در دسترس قرار گرفته باشد:

ذرات حل ناپذیر	ذرات حل پذیر
۰.۱ ۲۵٪ بازدمیده می‌شود.	۰.۱ ۲۵٪ بازدمیده می‌شود.
۰.۲ ۵۵٪ در مجرای تنفسی فوکانی رسوب می‌کند و در مدت ۲۴ ساعت بلعیده می‌شود.	۰.۲ ۵۵٪ در مجرای تنفسی فوکانی رسوب می‌کند و در مدت ۲۴ ساعت بلعیده می‌شود.
۰.۳ ۱۲٪ در عمق مجرای تنفسی رسوب می‌کند، اما در مدت ۲۴ ساعت به داخل گلو رانده و از آنجا بلعیده می‌شود.	۰.۳ ۲۵٪ در مایعات بدن حل و در آنها جذب می‌شود.
۰.۴ ۱۲٪ در عمق مجرای تنفسی رسوب می‌کند، و با نیمه عمر احتباس زیست‌شناسی ۱۲۵ روز در آنجا باقی می‌ماند.	

کاربرد این فرضیات را با محاسبه بیشینه تراکم مجاز گرد و غبار حاوی S^{25} توپیع می‌دهیم. گوگرد $35 \text{ بانیمه عمر} ۲\text{۸۷ روز} ۵۶\text{۴۹ MeV}$ یک گسیلنده خالص بنتاست. طبق فرضیات بالا، ۲۵٪ از گرد و غبار استنشاق شده بی‌درزگ که بازدمیده می‌شود، $۲۵\text{ روز} ۶۲\text{٪ آن در ریه رسوب می‌کند و طی ۲۴ ساعت از آنجا خارج می‌شود$ ، و $۱۲\text{٪ دیگر بانیمه عمر مؤثر احتباس زیر در اعمق مجرای تنفس باقی می‌ماند}$

$$T_E = \frac{T_B \times T_p}{T_B + T_p}$$

$$= \frac{120 \times 87.2}{120 + 87.2} = 50.5 \text{ d}$$

که با آنگه دفع $\lambda_E = 0.138 \text{ d}^{-1}$ متناظر است. مقدار فعالیت Q در ریه (به وزن ۱ kg) که به آنگه دز جذب شده (0.043 rad) می‌انجامد، از معادله (۲۱.۶) محاسبه می‌شود

$$0.00043 \text{ Gy/d} =$$

$$\frac{Q \text{ Bq} \times 1 \text{ tps/Bq} \times 0.049 \text{ MeV/t} \times 1.6 \times 10^{-13} \text{ J/MeV} \times 8.64 \times 10^4 \text{ s/d}}{1 \text{ kg} \times 1 \frac{\text{J}}{\text{kg}} / \text{Gy}}$$

$$Q = 6.4 \times 10^5 \text{ Bq} (17.2 \mu\text{Ci})$$

هنگامی که بار ریه با تراکم جوی $C \text{ Bq/m}^3$ در تعادل باشد، آنگاه مقدار دفع شده $= \frac{1}{C} \times \text{کسر رسوب کرده} \times \text{مقدار استنشاق شده}$ (۲۳.۸) چون هر فرد مرجع روزانه 20 m^3 هوا تنفس می‌کند، معادله (۲۳.۸) به صورت زیر در می‌آید

$$20 \text{ m}^3/\text{d} \times C \text{ Bq/m}^3 \times 0.75 = \lambda_E \text{ d}^{-1} \times q \text{ Bq} + 0.0625 \times 20 C \text{ Bq/d} \quad (23.8)$$

که در آن q مقدار فعالیت در عمق مجرای تنفسی است. اما داریم $q + 0.0625 \times 20 C = Q$ (۲۴.۸)

با قراردادن $\lambda_E = 0.138 \text{ d}^{-1}$ و $Q = 6.4 \times 10^5 \text{ Bq}$ در معادلات (۲۴.۸) و (۲۳.۸ ب)، مقدار C به دست می‌آید

$$C = 3.3 \times 10^3 \text{ Bq/m}^3 (8.9 \times 10^{-8} \mu\text{Ci/cm}^3)$$

نشریه شماره ۲ کمیسیون ICRP با گرد کردن مقدار بالا، MPC هوا را برای S^{25} حل ناپذیر برابر $10^{-8} \mu\text{Ci/cm}^3$ ذکر کرده است. دز تابش مجرای معده و روده‌ها (به وزن 2165 g با محتویات) در اثر فعالیت کسری از مواد استنشاق شده که بنا به فرض از ریه بالا می‌آید و بلعیده می‌شود، بنا بر معادله (۲۱.۶)، برابر (1.5 mrad) در روز به دست می‌آید.

بیشینهٔ تراکم‌های مجاز برای پرتوگیری غیرشغلی

آنچه در بارهٔ MPC هوا و آب در جدول نشریه شماره ۲ ICRP ذکر شده است، فقط برای پرتوگیری شغلی معتبر است. کمیسیون ICRP در مورد پرتوگیری غیرشغلی و افراد عادی جامعه، توصیه می‌کند که MPC برای ایزوتوپها بی‌که در آنها تمام بدن، یا بافت خونساز، یا غدد تناسلی اندام بحرانی است با ضریب ۱۵۰، و برای سایر ایزوتوپها با ضریب ۳۵ کاهش داده شود. در ایالات متحدهٔ امریکا، این توصیه‌ها تحت عنوان «استانداردهای حفاظت در برابر تابش» به صورت مقررات کشوری درآمده است. در آنجا باید تأکید کرد که بیشینهٔ دزها و بیشینهٔ تراکم‌های مجازی که توصیه شده است باید فقط به عنوان حدود بالا در نظر گرفته شوند، و در کلیه موارد بر نامه‌ریزی برای حفاظت در برابر تابش باید بر دزهای تابشی استوار شود که مقدار آنها تاحد ممکن کم و به آسانی قابل تحقق باشد. وانگهی، با این‌که جداول MPC بر اساس پرتوگیری از طریق استنشاق و یا بلع تنظیم شده است، حفاظت در برابر تابش در هر حالت خاص باید بر مبنای حساسترین افشار جمیعت تحت پرتوگیری و در مسیری که بیشترین دز به گروه بحرانی جمیعت می‌رسد تعیین شود. به عنوان مثال، در مورد I_{γ}^{131} جوی، در ناحیه‌ای که در آنجا گاوان شیرده می‌چرند، گروه بحرانی جمیعت همان کودکانی خواهد بود که از شیر گاو تغذیه می‌کنند، و مسیر بحرانی پرتوگیری عبارت است از مسیر هوا – علوفه – گاو – شیر – و کودک. رعایت این نکات باعث شده است که مربوط به I_{γ}^{131} در جدول با ضریب ۷۰۰ کاهش باید.

سنجهش- افزارهای فیزیک بهداشت

آشکارسازهای تابش

چون انسان به طور طبیعی هیچ نوع وسیله‌ای برای احسام تابش یوننده ندارد، برای آشکارسازی و اندازه‌گیری تابش باید کاملاً متنگی بر سنجهش- افزار باشد. ابزارهایی که در حرفة فیزیک بهداشت به کار می‌روند هدفهای بسیار متنوعی را تعقیب می‌کنند. بنا بر این طبیعی است که انواع گوناگونی از این ابزارها وجود داشته باشد که از میان آنها از شمارگر گاییگر برای شمارش ذرات، فیلم‌بجها و دز‌سنجهای جیبی برای اندازه‌گیری دزهای تابش، و ابزارهای از نوع اتالک یونش برای آهنگ دز می‌توان نام برد. در میان هر کدام از این انواع مختلف، ابزارهایی دیده می‌شود که عمدتاً برای اندازه‌گیری نوع معینی از تابش، نظیر پرتوهای ایکس کم انرژی پرتوهای گاما، نوترونهای تند، و امثال آن ساخته شده است.

اگرچه این ابزارها انواع مختلف و متنوعی دارند، ولی بر طرز کار اکثر آنها فقط چند اصل حاکم است. اصل اساسی هر ابزار اندازه‌گیری تابش این است که آشکارساز به نحوی با تابش برهم کنش کند که پاسخ آن با اثر تابش یا خاصیت تابش تحت اندازه‌گیری متناسب باشد. در جدول ۱۰۹ بعضی از اثرات فیزیکی و شیمیایی تابش که در فیزیک بهداشت برای آشکارسازی و اندازه‌گیری تابش به کار می‌روند آمده است.

جدول ۱۰۹ اثرات تابشی به کار رفته در آشکارسازی و اندازه‌گیری تابش.

آشکارساز	نوع سنچش-افزار	اثر
۱. گاز	۱. انقلاب یونش	الکتریکی
۲. گاز	۲. شمارگر تناسبی	
۳. گاز	۳. شمارگر گایگر	
۴. نیمرسانا	۴. حالت جامد	
۱. امولوسیون عکاسی	۱. فیلم	شیمیابی
۲. جامد یا مایع	۲. دزسنچ شیمیابی	
۱. بلور یا مایع	۱. شمارگرسوسوزن	نور
۲. بلور یا مایع	۲. شمارگر چرنکوف	
بلور	دزسنچ گرمایان	گرمایانی
جامد یا مایع	گرماسنج	گرمای

سنچش - افزارهای شمارش ذرات

افزارهای شمارگر ذره ابزارهایی هستند که من خصصان فیزیک بهداشت اغلب از آنها برای تعیین میزان پرتو زایی نمونه‌ای که از محیط گرفته می‌شود، مثل نمونه هوا، یا برای اندازه‌گیری فعالیت یک مایع زیست‌شناختی از کسی که احتمال می‌رود دارای آلودگی داخلی مواد پرتو زا باشد استفاده می‌کنند. یکی دیگر از کاربردهای مهم این نوع سنچش - افزار استفاده از آنها در ابزارهای قابل حمل اندازه‌گیری تابش است. این سنچش - افزارها ممکن است خیلی حساس باشند و حتی نسبت به یک تک ذره یوننده هم واکنش نشان دهند. به همین دلیل، برای پیدا کردن چشم‌های تابشی مجهول، نشت در حفاظه‌ها، و یا یافتن نواحی آلوده به طور وسیع از آنها استفاده می‌شود. ماده آشکارساز در این ابزارها ممکن است به صورت گاز یا جامد باشد. در هر دو حالت، عبور ذره یوننده از آشکارساز به اتلاف انرژی و تولید رگه یونشی منجر می‌شود. این رگه یونشی به یک تپ الکتریکی تبدیل می‌شود و تپ حاصل دستگاه ثبتی مانند یک شمارنده یا آهنگ سنج را به کار می‌اندازد.

شمارگرهای گازی برای ذرات

دستگاه آشکارساز گازی شکل ۱.۹ را در نظر می‌گیریم. این دستگاه مشکل است از چشمۀ ولتاژ متغیر V ، مقاومت خیلی زیاد R ، اتاقک شمارش پر از گاز D ، و دو الکترود هم محور که کاملاً نسبت بهم عایق بندی شده‌اند. ظرفیت کل این مدار را با خازن C نشان داده‌ایم. وقتی آشکارساز در معرض تابش قرار می‌گیرد، به دلیل تولید یون در داخل آن، گاز داخلی رسانا می‌شود.

اگر RC ثابت زمانی مدار آشکارساز از زمان لازم برای گردآوری تمام یونهای حاصل از عبور یک ذره منفرد خیلی بیشتر باشد، مقدار ولتاژ تپ حاصل از رابطه زیر به دست می‌آید

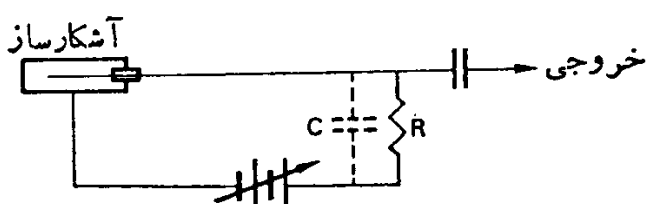
$$V = \frac{Q}{C} \quad (1.9)$$

که در آن Q کل بار جمع آوری شده و C ظرفیت مدار است. شکل تپ حاصل به صورت منحنی‌های شکل ۲.۹ است که در خروجی مدار آشکارساز ظاهر می‌شود.

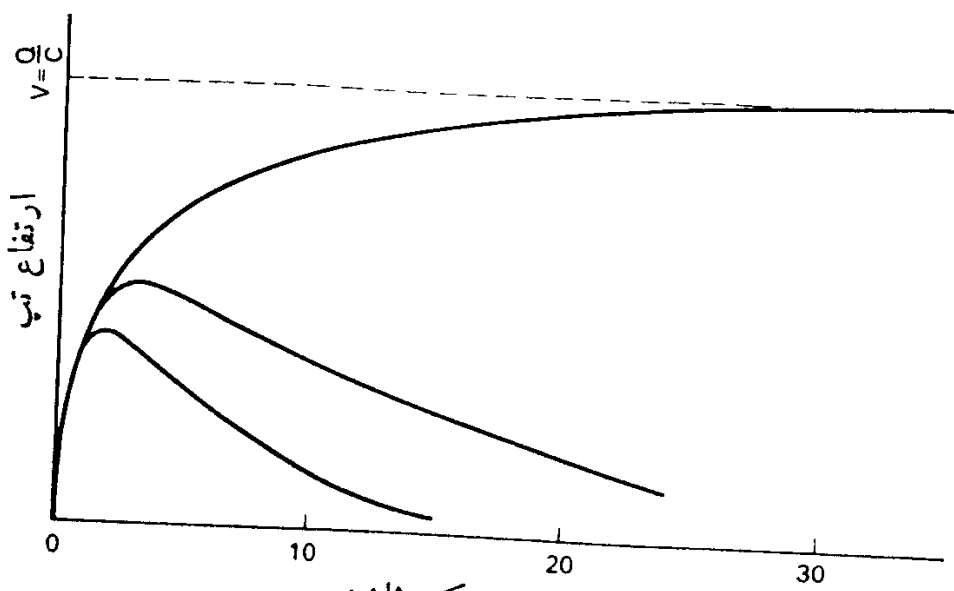
اگر تپ خروجی پهن باشد جدا کردن تپهای متواالی از هم دیگر مشکل می‌شود. اما اگر ثابت زمانی مدار آشکارساز خیلی کمتر از زمان لازم برای گردآوری تمام یونها باشد، همان طور که در منحنی‌های شکل ۲.۹ دیده می‌شود، ارتفاع تپ ظاهر شده کوتاه‌تر است، اما تپ خیلی باریکتر می‌شود. این به اصطلاح «برش» تپ، جداسازی و شمارش تپهای منفرد را امکان‌پذیر می‌کند.

شمارگر اتاقک یونش

اگر شارث ثابتی از تابش از داخل آشکارساز عبور کند، و اگر ولتاژ V نیز تغییر داده شود، چندین ناحیه مهم کاملاً مشخص در اندازه گیری تابش ممکن است شناسایی شود. با افزایش ولتاژ از صفر تا ولتاژهای نسبتاً کم، با اولین ناحیه که به ناحیه اتاقک یونش معروف است، رو به رو می‌شویم. اگر قطبیت الکتریکی وسیله اندازه گیری همانند شکل ۱.۹ باشد، تمام یونهای مثبت در کاتد بیرونی، و تمام یونهای منفی یا الکترونها در آند مرکزی جمع خواهند شد. منظور از «ولتاژهای کم» در اینجا این است که گستره ولتاژ به قدری بزرگ است که یونها را، قبل از ترکیب مجدد کسر قابل توجیهی از آنها، جمع آوری می‌کند، ولی



شکل ۱.۹ مدار اصلی آشکارساز گازی.



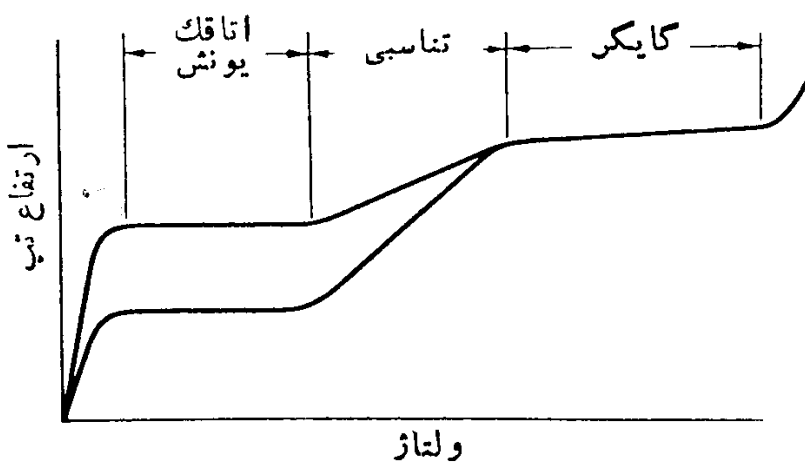
زمان بر حسب میکر و ثانیه

شکل ۴۰۹ بستگی شکل تپ به ڈا بت زمانی مدار آشکارساز. منحنی بالایی مر بوط به حالتی است که در آن $RC = \infty$, منحنی میانی به حالتی اختصاص دارد که زمان جمع آوری یون بیشتر از RC , و منحنی پایین حالتی را نشان می دهد که در آن RC خیلی کمتر از زمان جمع آوری یون است.

در حدی نیست که به یونها شتاب دهد و در اثر برخورد میان آنها یونش ثانوی تولید کنده مقدار دقیق این ولتاژ به نوع و فشار گاز، ابعاد، و آرایش هندسی الکترودها بستگی دارد. در این ناحیه تعداد الکترونها بی که در آن جمع آوری می شود برابر تعدادی است که به وسیله ذره یوننده اولیه تولید می شود. بنا بر این، اندازه تپ مستقل از ولتاژ است و فقط به تعداد یونهای تولید شده به وسیله ذره یوننده اولیه در طی عبور از آشکارساز بستگی دارد. ناحیه اتاقک یونش را می توان به صورت گستره ولتاژهای مؤثری تعریف کرد که در آن یونها بر اثر یونش ثانوی تکثیر نمی شوند، یعنی، ضربیت تقویت گاز برابر واحد است. بستگی بزرگی تپ حاصل از شمارگری که در ناحیه اتاقک یونش کار می کند به تعداد یونهای تولید شده در اتاقک، امکان استفاده از این وسیله را برای تمایز گذاری بین تاشهای حاصل از یونشهای ویژه متفاوت، مثل یونشهای حاصل از آلفا، بنا، و گاما فراهم می آورد. به عنوان مثال، هر ذره آلفا که از اتاقک عبور کند در حدود 10^5 زوج یون تولید می کند که با بار $C = 10^{-14} \times 10^{-15}$ متناظر است. اگر ظرفیت اتاقک $F = 10 \mu\text{m}^2$ باشد و تمامی بارها جمع آوری شوند، تپ ولتاژ حاصل از عبور آلفا برابر است با

$$V = \frac{Q}{C} = \frac{10^{-14} \times 10^{-15}}{10^{-12} \times 10^{-3}} = 10^{-3} V$$

از طرف دیگر ذره بنا می تواند در حدود 1000 زوج یون در داخل اتاقک تولید کند. بنا بر این تپ خروجی حاصل از عبور ذره بنا فقط $V = 10^{-5} \times 10^{-15}$ متناظر است. تقویت این



شکل ۳.۹ منحنی ارتفاع تپ بر حسب ولتاژ دوسر شمارگر گازی. در این شکل ناحیه‌های منوط به اتفاق یونش، تناسبی، و گایکر نشان داده شده است.

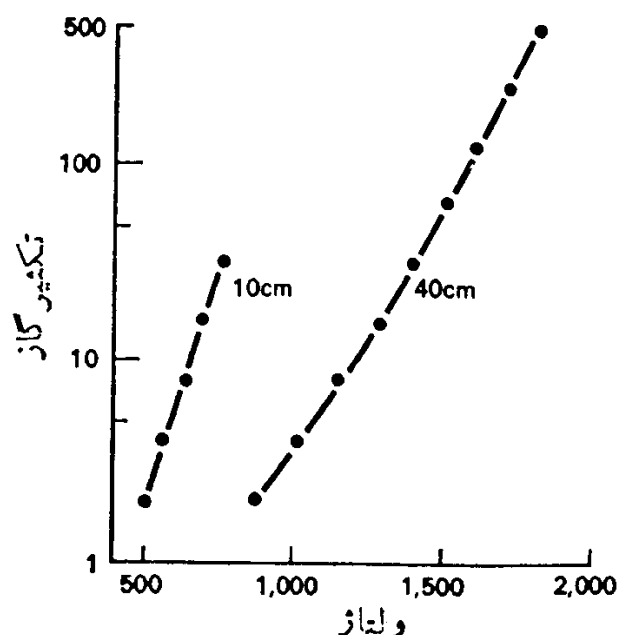
دو تپ با ضریب ۱۰۵، به تپی برای $16V$ و 50Hz برای آلفا و $7V$ برای آلفا و 50Hz برای بنا منجر می‌شود. با استفاده از دستگاه ممیز در شمارنده (یا هر وسیله ثبات دیگر) می‌توان تپهای کمتر از یک مقدار تعیین شده قبلی را از شمارش خارج و تنها به شمارش تپهای بیشتر از این مقدار اکتفا کرد. در این مثال، تنظیم دستگاه ممیز و ولتاژ $7V$ موجب می‌شود که تپهای ناشی از ذرات آلفا شمارش شوند ولی تپهای پرتوهای بنا عبور نکنند. این ولتاژ تنظیم دستگاه ممیز را غالباً حساسیت و رویدی شمارنده می‌نامند. افزایش حساسیت و رویدی در مثال بالا موجب می‌شود که هر دوزه آلفا و بنا شمارش شوند. در شکل ۳.۹، که ارتفاع تپ خروجی بر حسب ولتاژ دوسر اتفاق یونش رسم شده است، این توانایی تمیز میان دونوع تابش از یکدیگر نشان داده شده است.

شمارگر تناسبی

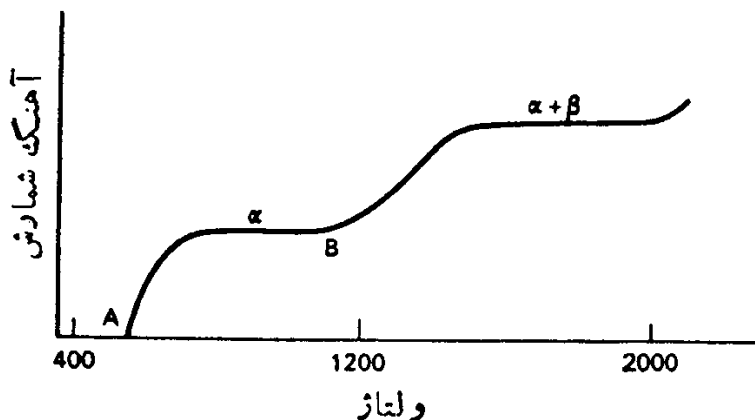
یکی از نقاط ضعف قابل توجه هر شمارگری در ناحیه اتفاق یونش این است که تپ خروجی نسبتاً ضعیف است و همین موضوع ایجاد می‌کند که این تپ خیلی تقویت شود و یا میز ان حساسیت و رویدی در شمارنده خیلی بالا باشد. برای رفع این اشکال و ضمناً استفاده از بستگی بزرگی تپ به یونش برای تمیز دادن تابشها از همدیگر، می‌توان شمارگر را به صورت یک شمارگر تناسبی مورد استفاده قرار داد. با افزایش ولتاژ دوسر شمارگر به مقدار بالاتر از ولتاژ اتفاق یونش، زمانی فرامی‌رسد که بر اثر برخورد الکترونهای ثانوی تولید می‌شوند. این لحظه آغاز عملکرد شمارگر تناسبی است. در این هنگام افت ولتاژ دوسر مقاومت R ، به دلیل وجود الکترونهای اضافی، از افت ولتاژ نظیر در ناحیه اتفاق یونش بیشتر است. ضریب تقویت گاز از ۱ بیشتر است و این تکثیر یون در گاز، که بهمن خوانده می‌شود، به نواحی مجاور یونش اولیه محدود می‌شود. افزایش ولتاژ، باعث تقویت بهمن و گسترش آن در امتداد آند می‌شود. چون بزرگی تپ خروجی با تعداد الکترونهای جمع شده در

آن تعیین می‌شود، اندازه تپ و لتاژ خروجی یک آشکارساز معین با ولتاژ زیاد دوسر این آشکارساز مناسب خواهد بود. تقویت گاز، علاوه بر ولتاژ زیاد دوسر لامپ، به قدر الکترود جمع کننده^۱ و فشار گاز بستگی دارد. کاهش فشار گاز به افزایش تکثیر آن به صورتی که در شکل ۴.۹ نشان داده شده است منجر می‌شود. به دلیل بستگی تکثیر گاز، و در نتیجه اندازه تپ خروجی، به ولتاژ زیاد، لازم است که برای شمار گر تناسبی از یک منبع تغذیه ولتاژ زیاد خیلی پایدار استفاده شود.

در شکل ۵.۹ نمونه‌ای از کاربرد شمار گر تناسبی برای تمایز تابش آلفا از بتا نشان



شکل ۴.۹ نمودار تکثیر گاز بر حسب ولتاژ به ازای فشارهای ۱۰ و ۴۰ سانتی‌متر جیوه.
مخزن محتوی آرگون؛ قطر آند 1 mm ؛ و قطر کاتد 0.87 mm است.



شکل ۵.۹ آهنگ شمارش آلفا و آلفا- بتا به صورت تابعی از ولتاژ در شمار گر تناسبی.

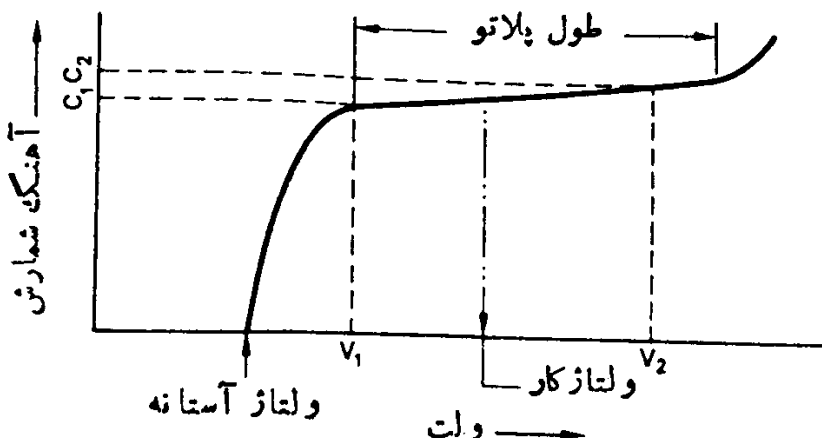
۱. شدت میدان الکتریکی نزدیک سطح آند که با معادله (۴۵.۲) به دست می‌آید، با کاهش قطر آند جمع کننده افزایش می‌یابد.

داده شده است. در نقطه A یا ولتاژ «آستانه»، تپهای تولید شده توسط ذرات آلفایی که از شمارگر عبور می‌کنند، آنقدر قوی هستند که از دستگاه ممیز بگذرند. افزایش اندکی در ولتاژ، باعث افزایش آهنگ شمارش می‌شود، زیرا در این صورت، تپهای خروجی حاصل از ذرات آلفا از حساسیت ورودی شمارنده پیشی می‌گیرند. افزایش بیشتر ولتاژ زیاد تأثیر چندانی بر آهنگ شمارش ندارد، و به قسمت «پلاتوی» منحنی باگسترهای از ولتاژ زیاد که در آن آهنگ شمارش تقریباً مستقل از ولتاژ است، منجر می‌شود. برای دستگاهی که در این قسمت پلاتوی آلفا کار می‌کند، تپهای حاصل از ذرات بتا به قدری کوچک‌اند که به دستگاه ممیز نمی‌رسند. اما، با افزایش ولتاژ زیاد، نقطه‌ای مثل B فرا می‌رسد که در آن تقویت گاز به قدری زیاد است که ذرات بتا نیز تپهای خروجی بلندتر از حساسیت ورودی شمارنده تولید می‌کنند. این حالت به قسمت «تحت» دیگری روی منحنی منجر می‌شود که در آن هم ذرات آلفا و هم ذرات بتا شمارش می‌شوند. با کم کردن آهنگ شمارش آلفا از آهنگ شمارش بتا، فعالیت پرتو بتا به دست می‌آید.

شمارگر گایتر

با ادامه افزایش ولتاژ زیاد به مقادیر بالاتر از ناحیه تناسبی سرانجام بهمن در سراسر طول آندگسترش خواهد یافت. هنگامی که این پدیده روی می‌دهد، ناحیه تناسبی خاتمه می‌یابد و ناحیه گایگر آغاز می‌شود. در این نقطه اندازه تپهای بدون توجه به نوع ذره یوننده اولیه، یکسان است و بنا بر این هنگامی که شمارگر در ناحیه گایگر کار می‌کند نمی‌تواند انواع گوناگون تابش را از هم تمیز بدهد. اما وجود تپهای خروجی خیلی بزرگ (بزرگتر از $1/47$) که از تقویت زیاد گاز در شمارگر ناشی می‌شوند باعث می‌شود که استفاده از تقویت کننده تپ به طور کلی منتفی شود و یا از تقویت کننده‌ای با تقویت کننده‌گی نه چندان زیاد استفاده شود.

شکل ۵.۹ قسمتهای پلاتوی آلفا و آلفا-بتا را در شمارگر تناسبی نشان می‌دهد. شمارگرهای گایگر نیز گسترۀ وسیعی از ولتاژهای کار دارند که در آن آهنگ شمارش تقریباً از ولتاژ کار مستقل است. این قسمت پلاتو، تقریباً از ولتاژی که تپهای به اندازه کافی بزرگ برای عبور از دستگاه ممیز تولید می‌کند تا ولتاژی که آهنگ شمارش را آنچنان به سرعت افزایش می‌دهد که از فروریختن الکتریکی گاز شمارنده پیشی می‌گیرد، ادامه می‌یابد. در ناحیه گایگر، پدیده بهمن تا حد ممکن در امتداد محور آندگسترش پیدا می‌کند. بنا بر این، افزایش ولتاژ باعث گسترش بهمن در امتداد شعاع و افزایش آهنگ شمارش می‌شود. به این ترتیب، همان طور که در شکل ۵.۶ نشان داده شده است، اندکی شیب مثبت در قسمت پلاتو ایجاد می‌شود. عوامل مهمی که از روی آنها می‌توان درباره کیفیت شمارگر قضاوت کرد عبارت اند از طول قسمت پلاتو، شیب قسمت پلاتو، و زمان تفکیک (که بعداً توضیح آن می‌آید). معمولاً شیب بر حسب درصد افزایش آهنگ شمارش به ازای هر $100V$ داده می‌شود.



شکل ۶.۹ نمودار مشخصات کار شمارگر گایگر.

$$\text{شیب} = \frac{(C_2 - C_1)/C_1}{(V_2 - V_1) \times 100} \quad (6.9)$$

شیب شمارگرهای گایگر در حدود ۳٪ در حدود ۱۰۰ ولت است، و ولتاژ کار آنها در فاصله حدود دیگ سوم تا یک دوم طول پلاتو از قسمت زانویی منحنی آهنگ شمارش بر حسب ولتاژ تعیین می‌شود.

فرونشانی شمارگر گایگر

هنگامی که یونهای مثبت پس از هرتپ جمع آوری می‌شوند، انرژی جنبشی خود را در اثر برخورد با جداره لوله از دست می‌دهند. بیشتر این انرژی به صورت گرمای تلف می‌شود. اما، گاهی این انرژی صرف برانگیختن اتمها در لوله می‌شود. این اتمها هنگام برگشت به حالت پایه، ممکن است با گسیل فوتونهای فرابنفش انرژی برانگیختگی خود را از دست بدهند. چون در این لحظه میدان الکتریکی اطراف آنده بشدت تمام تقویت می‌شود، ممکن است برهم کنش میان فوتون فرابنفش و گاز داخل شمارگر بهمنی راه بیندازد و شمارش کاذب تولید کند. جلوگیری از این شمارش کاذب را فرونشانی می‌گویند. فرونشانی ممکن است الکترونیکی باشد که با کاهش ولتاژ آنده پس از هرتپ تا جمع آوری تمام یونهای مثبت همراه است، و یا شیمیایی که در آن از خود-فرونشانی بعضی از گازها استفاده می‌شود. در خود-فرونشانی، گاز می‌تواند فوتونهای فرابنفش را بدون اینکه یونیده شود جذب کند. یکی از راههای انجام این کار وارد کردن مقدار اندکی بخار ماده آلی از قبیل الکل یا اتر در لوله است. انرژی فوتون فرابنفش صرف تجزیه مولکول آلی می‌شود. بنابراین، چنین لوله‌ای تا زمانی مفید است که به تعداد کافی مولکول آلی برای عمل فرونشانی داشته باشد، در عمل بخار آلی شمارگر گایگر عمر مفیدی در حدود 10^8 شمارش دارد. در صورتی که گاز شمارگر مقدار کمی هالوژن داشته باشد نیز عمل خود-فرونشانی در آن انجام می‌شود. در این مورد، مولکول هالوژن پس از جذب انرژی از فوتون فرابنفش تجزیه نمی‌شود و در نتیجه، عمر مفید شمارگرهای محتوی فرونشاننده هالوژنی به تعداد تپهای تولید شده در آن محدود نمی‌شود.

زمان تفکیک

هر گاه دو ذره به فاصلهٔ خیلی کمی وارد شمارگر شوند، بهمن یونهای حاصل از ذره اول شمارگر را فلوج می‌کند و مانع از آن می‌شود که در مقابل ذره دوم واگنش نشان بدهد. چون شدت میدان الکتریکی در نزدیکی سطح آند بیشینه است، بهمن یونش خیلی نزدیک به آند آغاز می‌شود و سپس در امتداد طول آن گسترش می‌یابد. از این‌رو، یونهای منفی به‌سوی آند و یونهای مثبت به‌طرف کاتد حرکت می‌کنند. یونهای منفی که در واقع همان الکترونها هستند بسیار تند حرکت می‌کنند و بزوادی جمع آوری می‌شوند، در صورتی که یونهای مثبت به‌دلیل سنگینی تاحدی آهسته‌تر حرکت می‌کنند و بنابراین، قبل از آنکه جمع آوری شوند ناگزیر برای یک مدت نسبتاً طولانی در راه خواهند بود. زمان لازم برای جمع آوری یونهای مثبتی که در نزدیکی سطح آند تشکیل می‌شوند از معادلهٔ زیر به‌دست می‌آید

$$t = \frac{(b^2 - a^2) p \ln b/a}{2V\mu} \text{ s} \quad (3.9)$$

که در آن b شعاع کاتد بر حسب سانتی‌متر، a شعاع آند بر حسب سانتی‌متر، p فشار گاز در شمارگر بر حسب میلی‌متر جیوه، V اختلاف پتانسیل در دوسر شمارگر بر حسب ولت، μ تحرک یونهای مثبت بر حسب سانتی‌متر بر ثانیه به‌ازای هر ولت در سانتی‌متر است؛ مقدار μ برای هوا برابر ۱۰۷۵ و برای آرگون برابر ۱۰۴۵ است.

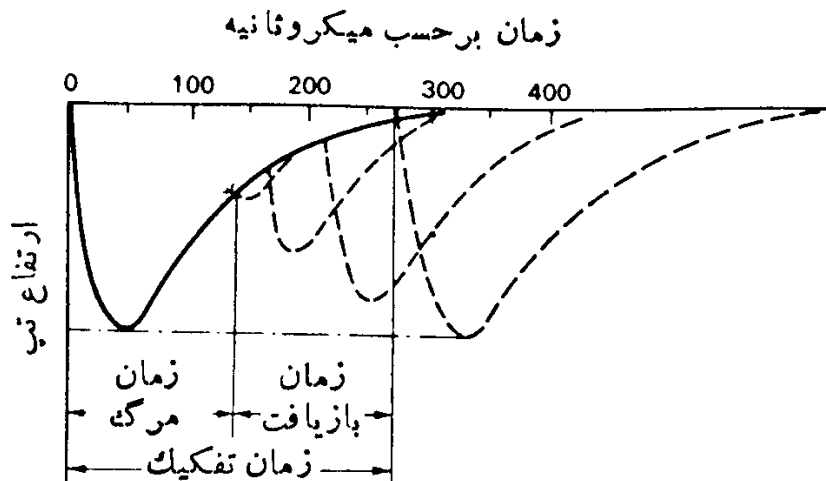
مثال ۱۰۹

با فرض اینکه ولناژکار برابر $V = ۱۰۰۰$ و شعاع کاتد و آند به ترتیب 1 cm و 1 cm باشند، چقدر طول می‌کشد تا تمام یونهای مثبت تو لید شده در یک شمارگر گایگر محتوی گاز آرگون با فشار 100 mm Hg جمع آوری شوند؟

حل: برای به‌دست آوردن زمان لازم، مقادیر معلوم را در معادله (۳.۹) قرار می‌دهیم

$$t = \frac{1/0501 \times 100 \ln 1/0501}{2 \times 1000 \times 1040} \\ = ۲۲۱ \times 10^{-6} \text{ s}$$

یونهای کند مثبت در پیرامون آند که بار مثبت دارد پوششی به وجود می‌آورند و از این طریق شدت میدان الکتریکی اطراف آن را به‌شدت کاهش می‌دهند و ایجاد بهمن به‌وسیلهٔ ذره یوننده دیگر را غیرممکن می‌سازند. هنگامی که پوشش یون مثبت به‌سوی کاتد حرکت می‌کند، شدت میدان الکتریکی آنقدر افزایش می‌یابد که بهمن دیگری بتواند راه بیفتند. زمان لازم برای حصول این شدت میدان الکتریکی را ذهان مرگ می‌نامند. اما بعد از این زمان، که بهمن دیگری می‌تواند راه بیفتند، تپ خروجی ناشی از این بهمن هنوز نسبتاً کوچک



شکل ۷.۹ نمودار رابطه بین زمان مرگ، زمان بازیافت، و زمان تفکیک.

است، زیرا شدت میدان الکتریکی به قدری نیست که تپ گایگر تولید کند. با ادامه حرکت یونهای مثبت به سمت خارج، بزرگی تپهای خروجی ناشی از ذره یوننده دیگر افزایش خواهد یافت. وقتی تپ خروجی به قدر کافی بزرگ باشد که بتواند از دستگاه ممیز بگذرد و شمارش شود، شمارگر از اثرات یونش پیشین رهایی یافته است، و در این حال فاصله زمانی بین زمان مرگ و رهایی کامل را زمان بازیافت می‌گویند. حاصل جمع زمان مرگ و زمان بازیافت را ذهان تفکیک می‌نامند. از سوی دیگر، زمان تفکیک را می‌توان به صورت کمینه زمانی تعریف کرد که باید از آشکارسازی ذره یوننده قبلی بگذرد تا ذره دوم قابل آشکارسازی شود. رابطه میان زمان مرگ، زمان بازیافت و زمان تفکیک در شکل ۷.۹ نشان داده شده است. زمان تفکیک هر شمارگر گایگر از مرتبه $100 \mu\text{s}$ یا بیشتر است. شمارگر تناسبی خیلی تندتر از شمارگر گایگراست. چون بهمن در شمارگر تناسبی به قسمت کوتاهی از طول آند محدود می‌شود، بهمن دوم می‌تواند در جای دیگری در امتداد آند راه بیفتند درحالی که ناحیه مر بوط به بهمن اول کاملاً از کار افتاده وفلج است. بنا بر این، زمان تفکیک شمارگرهای تناسبی از مرتبه چند میکروثانیه است.

اندازه‌گیری زمان تفکیک

زمان تفکیک هر شمارگر را می‌توان با استفاده از روش دوچشمی ای به راحتی اندازه گرفت. دوچشمی پرتوزا به طور جداگانه و با هم شمارش می‌شوند. اگر هیچ ائتلاف زمان تفکیکی وجود نداشته باشد، آهنگ شمارش دوچشمی با هم باید برابر مجموع آهنگهای شمارش تک تک آنها به صورت جداگانه باشد. اما به دلیل افت شمارش ناشی از زمان تفکیک دستگاه شمارش، مجموع آهنگهای شمارش تک تک چشمهای از آهنگ شمارش آنها با هم بیشتر است. اگر آهنگ شمارش چشمه اول R_1 و از آن چشمه دوم R_2 و آهنگ شمارش دوچشمی با هم R_{12} باشد، زمان تفکیک از رابطه زیر به دست می‌آید

$$\tau = \frac{R_1 + R_2 - R_{12} - R_b}{R_{12}^2 - R_1^2 - R_2^2} \quad (4.9)$$

تمامی آهنگهای شمارش چشمکه در بالا به آنها اشاره شد، شامل آهنگ شمارش زمینه هستند. چون $R_1 + R_2$ فقط اندکی بزرگتر از R_{12} است، هنگام تعیین زمان تفکیک باید تمام اندازه گیریها با دقت زیاد انجام شوند. درحالی که زمان تفکیک τ و آهنگ شمارش مشاهده شده نمونه مورد نظر R است، آهنگ شمارش «حقیقی» که در صورت عدم وجود اتفاق زمان تفکیک مشاهده خواهد شد عبارت است از

$$R = \frac{R_o}{1 - R_o \tau} \quad (5.9)$$

شمارگرهای سوسوزن

آشکارساز سوسوزن مدلی است که انرژی جنبشی ذره یوننده را به درخشش نوری تبدیل می کند. از لحاظ تاریخی، می توان شمارش سوسوزن را یکی از نخستین وسائل اندازه گیری تابش به شمار آورد. رادرفورد در آزمایشهای کلاسیک خود در مورد پراکنندگی ذرات آلفا، بلور سولفید روی را به عنوان آشکارساز اولیه تابش به کار برد و در شهای حاصل از برخورد این ذرات با سولفید روی را با چشم مشاهده کرد. اما امروز این نور به طریق الکترونیکی و با لامپهای تکثیر کننده فوتونی که تپهای خروجی آنها را می توان تقویت، بر حسب اندازه دسته بندی، و شمارش کرد، دیده می شود. تابشهای مختلف را می توان با شمارگرهای سوسوزن و با استفاده از مواد سوسوزن مناسب آشکارسازی کرد. در جدول ۲.۹ برخی مواد که برای این مقصود مناسب هستند آمده است.

شمارگرهای سوسوزن برای شمارش پرتوهای گاما و پرتوهای بتای کم انرژی به طور وسیع به کار بده می شوند. به دلیل اتفاق انرژی بنا در داخل نمونه، ممکن است بازده شمارش شمارگرهای گایگر یا شمارگرهای تناسبی برای شمارش بتاهای کم انرژی کم باشد (این پدیده را خود - جذبی می گویند). ولی با حل کردن نمونه پرتوزا در یک مایع سوسوزن مانند تولوئن می توان این نقص را برطرف کرد. بازده آشکارسازی این شمارگرهای سوسوزن مایع به ۱۵۰٪ نزدیک می شود. این آشکارسازها در کاربردهای تحقیقاتی، مخصوصاً در زیست - شیمی برای اندازه گیری C^{14} و H^3 به طور وسیع به کار می روند، اما شمارگرهای سوسوزن مایع در کارهای عملی فیزیک بهداشت کاربرد مستقیم چندانی ندارند.

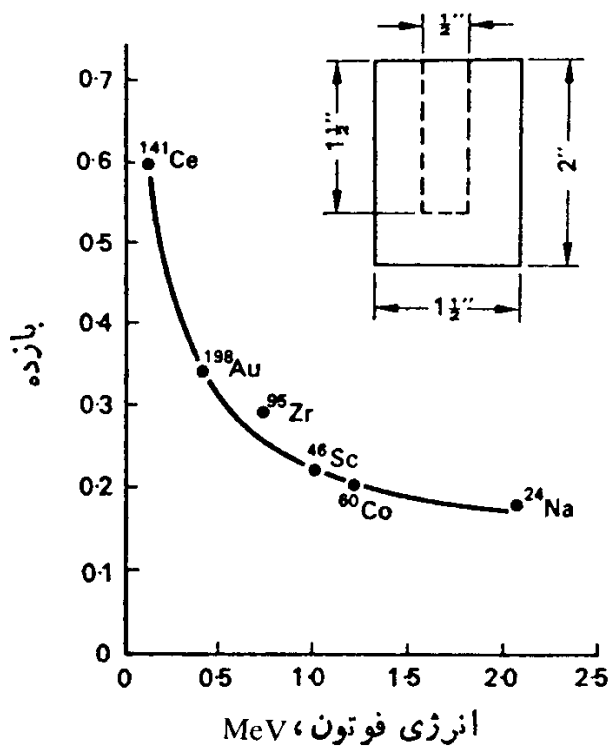
بازده ذاتی آشکارسازی شمارگرهای گازی برای پرتوهای آلفا و بتایی که وارد آنها می شوند نزدیک به ۱۰۰٪ است ولی برای پرتوهای گاما بسیار کم و معمولاً از ۱٪ نیز کمتر است. از طرف دیگر، بازده آشکارسازی بلورهای سوسوزن جامد برای پرتوهای گاما بسیار زیاد است. وانگهی، چون شدت درخشش نور در آشکارساز با انرژی پرتو گامای مولد نور مناسب است، هر آشکارساز سوسوزنی می تواند به کمک وسائل الکترونیکی

جدول ۲.۹ مواد سوسوزن.

زمان واپاشی μs	ارتفاع نسبی تب	طول موج گسیل بیشینه، Å	چگالی (g/cm³)	ماده فسفری
۵۰۲۵	۲۱۰	۴۱۰۰	۳۵۶۷	NaI(Tl)
۱۱	۵۵	آبی	۴۵۱	CsI(Tl)
۱۰	۵۰	۴۱۰۰	۳۵۱۳	KI(Tl)
۵۰۳۲	۱۰۰	۴۴۰۰	۱۲۲۵	آنتراسن
۵۰۰۶۴	۶۰	۴۱۰۰	۱۰۱۶	ترانس - استیلین
۵۰۰۳-۵۰۰۵	۲۸-۴۸	۳۵۵۰-۴۵۰۰		پلاستیک
۵۰۰۲-۵۰۰۸	۲۷-۴۹	۳۵۵۰-۴۵۰۰		مایع
۵۰۰۵	۴۰	۴۰۰۰	۱۰۲۳	ترفنیل - پی

مناسب، به عنوان طیف سنج پرتوگاما (و با یک آشکارساز مناسب به عنوان طیف سنج بتای آلفا) به کار برده شود.

آشکارسازی که بیش از همه برای اندازه‌گیری پرتوگاما به کار می‌رود، آشکارساز بلورسدهم یدید است که با تالیم [NaI(Tl)] فعال می‌شود و به طریق اپتیکی با یک لامپ تکثیر کننده فوتونی جفت می‌شود. فعالساز تالیم، که به صورت «ناخالصی» تا حدود ۲۰ درصد در ساختار بلور وجود دارد، انرژی جذب شده در بلور را به نور تبدیل می‌کند. چگالی زیاد بلور، همراه با عدد اتمی خیلی مؤثر آن بازده آشکارسازی را به مقدار زیادی افزایش می‌دهد (شکل ۲.۹). فوتونهای پرتوگاما بی که از بلور می‌گذرند با همان سازوکارهای معمولی جذب فوتوالکترونیک، پراکنده‌گی کامپتون، و تولید زوج با اتمهای بلور برهم‌کنش می‌کنند. ذرات یوننده اولیه حاصل از برهم‌کنشهای پرتوگاما (فوتوالکترونها، الکترونها کامپتون، زوج الکترون-پوزیترونها) با برانگیختن و یونیدن اتمهای بلور انرژی جنبشی خود را از دست می‌دهند. اتمهای برانگیخته با گسیل کوانتمهای نور به حالت پایه بر می‌گردند. این تپهای نور بر اثر برخورد با کاتد لامپ تکثیر کننده فوتونی که نسبت به نور حساس است موجب می‌شوند که الکترونها از کاتد به خارج پرتاپ شوند. الکترونها خارج شده شتاب می‌گیرند و به الکترون دوم که «دینود» نام دارد و پتانسیل آن نسبت به فوتوكاتد در حدود ۷۰۰ مثبت است می‌رسند. هر الکترونی که به دینود برخورد می‌کند باعث می‌شود که چندین الکtron دیگر از آن پرتاپ شوند و جریان اولیه الکترونها «افزايش» یا بد. (با

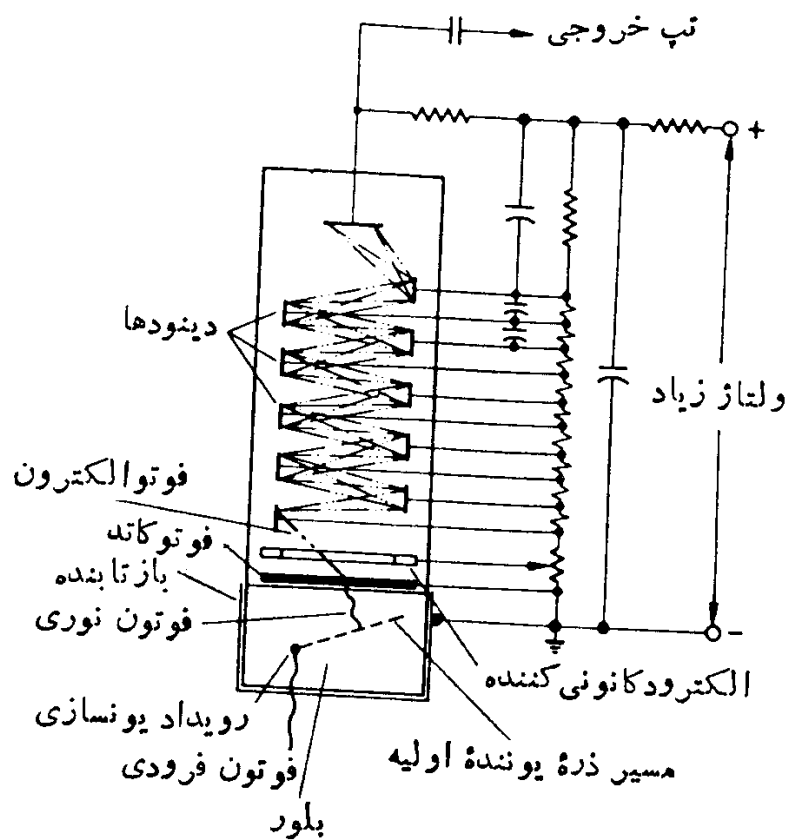


شکل ۸.۹ بازده آشکارسازی بر حسب انرژی پرتوگاما برای بلور NaI(Tl).

«تکثیر» شود). این فرایند تقریباً ۱۵ بار تکرار می‌شود تا تمامی الکترونها بی که به این طریق تولید می‌شوند در صفحه انتهایی لامپ تکثیرکننده فوتونی جمع آوری شوند. این تپ جریان که بزرگی آن با انرژی ذره یوننده اولیه متناسب است می‌تواند تقویت و شمارش شود. شکل ۹.۹ توالی رویدادهای تحقق یافته در آشکارسازی فوتون را در اتفاق سوسوزن به صورت ساده نشان می‌دهد.

بر هم کنش فوتالکتریک در داخل بلور، فوتالکترونهای اساساً تک انرژی تولید می‌کند و این فوتالکترونها نیز به نوبه خود تپهای نوری باشد تقریباً یکسان تولید می‌کنند. چون این تپهای نوری شدت یکسان دارند، تپهای خروجی جریان با بزرگی تقریباً یکسان پدید می‌آورند. از طرف دیگر، در پراکندگی کامپتون، از الکترون کامپتون طیف پیوسته انرژی به دست می‌آید. الکترونی که دارای بیشترین انرژی است از پس پراکندگی 180° فوتون فرودی ناشی می‌شود. این پر انرژی‌ترین الکترون کامپتون را در طیف سنجی سوسوزن «لبة کامپتون» می‌گویند. فوتون پراکنده ممکن است از بلور عبور کند و از آن خارج شود، یا به وسیله جذب فوتالکتریک (که محتملترین برهم کنش است) و یا پراکندگی کامپتون دیگر، دوباره برهم کنش کند.

در تولید زوج، با اتلاف انرژیهای پوزیترون و الکترون به طور همزمان در بلور، یک درخش نور که نشاندهنده انرژی فوتون اولیه منهای 152 MeV است، تولید می‌شود. پوزیترون، بعد از از دست دادن انرژیش با یک الکترون ترکیب می‌شود و در نتیجه این دو ذره با هم نابود می‌شوند، و دوفوتون با انرژی 151 MeV تولید می‌کنند.



شکل ۹.۹ نمودار توالی رویدادهای آشکارسازی فوتون پرتوگاما به وسیله شمارگر سوسوزن.
هر الکترون فرودی به طور متوسط در حدود 4μ الکترون از هر دینود خارج می‌کند.

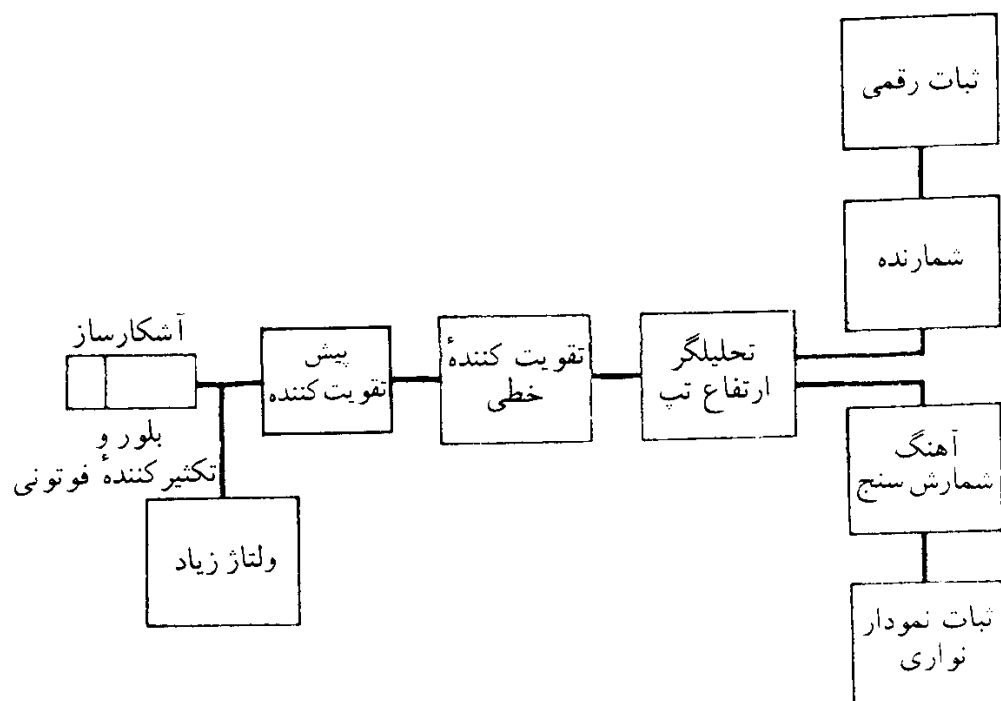
با براین، بسته به توالی زمانی، اندازه بلور، و جایگاه هندسی برهم‌کنش اولیه، ممکن است با دو تپ هر کدام با انرژی 155 keV و یک تپ نوری با انرژی 152 MeV ، یا یک تپ نوری با انرژی کل فوتون اصلی روبرو شویم.

طیف‌نمایی هسته‌ای

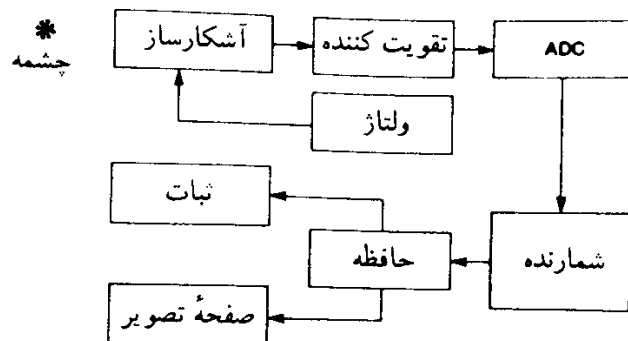
طیف‌نمایی هسته‌ای عبارت است از تحلیل چشم‌های تابشی یا ایزوتوپهای پرتوزا از طریق اندازه‌گیری توزیع انرژی چشم. طیف‌سنج وسیله‌ای است که تپهای خروجی آشکارساز را، که معمولاً آشکارساز سوسوزن یا نیمرساناست، بر حسب اندازه آنها از هم جدا می‌کند. چون توزیع اندازه تپها با انرژی تابش آشکارسازی شده متناسب است، خروجی طیف‌سنج اطلاعات مفصلی را به دست می‌دهد که برای تشخیص ایزوتوپهای پرتوزا مجھول و برای شمارش یک ایزوتوپ در حضور ایزوتوپهای دیگر مورد استفاده قرار می‌گیرد. این تکنیک در تحلیل پرتو X و پرتو گاما، با استفاده از آشکارسازهای نیمرسانا و آشکارسازهای سوسوزن $\text{NaI}(\text{TI})$ ، در تحلیل پرتو بتا با استفاده از آشکارسازهای سوسوزن مابع، و در تحلیل آلفا با استفاده از آشکارسازهای نیمرسانا کاربرد وسیع پیدا

کرده است. طیف سنجهای هسته‌ای بر دو نوع اند: تحلیلگر تک کانالی (SCA) و تحلیلگر بس کانالی (MCA). اجزای اصلی طیف سنج تک کانالی عبارت است از یک آشکارساز، یک تقویت کننده خطی، یک گزینشگر ارتفاع تپ، و یک وسیله قرائت مثل شمارنده با آهنگ سنج (شکل ۱۰.۹) گزینشگر ارتفاع تپ، یک «شکاف» الکترونیکی است که می‌توان آن را برای عبور تپهایی که دامنه آنها میان دو حد کمینه و بیشینه دلخواه تغییر می‌کند، تنظیم کرد. خروجی تحلیلگر ارتفاع تپ به صورت یک تپ منطقی است که برای شمارنده یا آهنگ شمارش سنج فرستاده می‌شود. کاربرد عمده تحلیلگر تک کانالی در مواردی است که می‌خواهند تابش مورد نظر را از تابشها بینی که ممکن است نوشه تلقی شوند متمايز کنند. از این‌رو، طیف سنج تک کانالی برای اندازه‌گیری یک ایزوتوب پرتوza در حضور ایزوتوب دیگر، یا برای بهینه‌کردن نسبت سینگال به نویه هنگام اندازه‌گیری یک چشمۀ با فعالیت کم در حضور یک زمینه قابل توجه به کار می‌رود.

در تحلیلگر بس کانالی (شکل ۱۱.۹)، به جای گزینشگر ارتفاع تپ، از یک مبدل قیاسی به رقی (ADC) استفاده می‌شود تا تمامی تپهای خروجی آشکارساز بر حسب ارتفاع آنها مرتب شوند. این تحلیلگر MCA یک حافظه از نوع حافظه کامپیوتری نیز دارد که اطلاعات حاصل از ADC یا هر چشمۀ دیگر را در خود ذخیره می‌کند. این ویژگی امکان انجام عملیات پردازش داده‌ها به صورت خودکار، مثل تفریق زمینه و تجزیه طیف، را فراهم می‌کند. تجزیه طیف، تکنیکی است که برای تحلیل طیفهای مرکب، بر اساس تفریق متواലی طیفهای پرتوگاما هر یک از ایزوتپهای منفرد از طیف مرکب، مورد استفاده



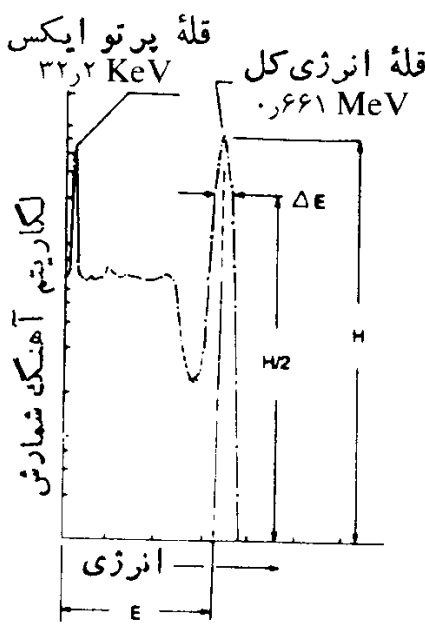
شکل ۱۰.۹ نمودار طیف سنج تک کانالی پرتوگاما.



شکل ۱۱.۹ نمودار ساده‌ای از تحلیلگر بس کانالی.

قرار می‌گیرد. به این نوع تحلیل وقتی نیاز داریم که نمونه مورد تحلیل حاوی چندین گسیلنده مختلف گاما باشد.

تبدیل قیاسی به رقیمی با باردارکردن یک خازن تا حد اکثر ولتاژ تپی که باید تحلیل شود، وسیس تخلیه آن، انجام می‌شود. در خلال تخلیه خازن، تپهای «ساعت» ناشی از یک نوسانگر پر بسامد به وسیله یک شمارنده شمارش می‌شود. تعداد تپهای ساعت شمرده شده در طول تخلیه خازن با زمان لازم برای تخلیه خازن، و از این‌رو با ارتفاع تپ خارج شده از آشکارساز مناسب است. خروجی ADC یک تپ منطقی است و در کانالی ازباسته می‌شود که شماره یا «نشانی» آن با تعداد تپهای ساعت در طول تخلیه خازن مشخص می‌شود. بیشتر تحلیلگرهای بس کانالی تعدادی کانال دارند که به صورت توانی از ۲ در گستره ۱۲۸ تا ۴۰۹۶ تا ۱۵۶۴ تا ۱۵۶۱ MeV در تغییر می‌کنند. ظرفیت انباشت هر کدام از این کانالها ۱۵۵ تا ۱۵۶ شمارش است، و بسامدهای «ساعت» از ۴ تا ۱۰۰MHz در تغییر است. طیف‌سنجدگان کانالی می‌توانند شمارش‌های هر کانال را چاپ کنند و طیف پرتو گاما را با استفاده از یک اسیلوسکوپ به صورت مرئی نمایش دهد. در شکل ۱۲.۹ یک طیف ساده پرتو گاما به صورت نمونه نشان داده شده است.



شکل ۱۲.۹ طیف پرتو گاما‌ای ^{137}Cs . قله انرژی کل 1373 MeV درواقع از گذار ایزومری 2γ 137m Ba یا دخترهسته ^{137}Cs ناشی می‌شود. پرتو ایکس 3272 keV مشخصه بساریم از تبدیل داخلی 85% از فوتونهای 1373 MeV حاصل می‌شود.

طیف نمایی هسته‌ای بر تعیین محل خطوط طیف حاصل از جذب کامل ذرات باردار یا فوتونها مبنی است. برای این منظور، اگر بخواهیم خطوط طیفی نزدیک به هم را از هم جدا و مشاهده کنیم، توان تفکیک آشکارساز از اهمیت خاصی برخوردار است. توان تفکیک به صورت نسبت پهنای خط در نیم بیشینه قله کامل انرژی FWHM (که غالباً هنگام کار با آشکارسازهای فوتونی به آن «قله نوری» می‌گویند) به انرژی نقطه میانی قله کامل انرژی (شکل ۱۲.۹) تعریف می‌شود. هرگاه پهنای خط در نیم بیشینه ΔE باشد، داریم

$$(۱۲.۹) \quad \frac{\Delta E}{E} \times 100$$

هرچه پخش انرژی ΔE کمتر باشد، توانایی آشکارساز در تفکیک قله‌های انرژی نزدیک به هم بیشتر است. توان تفکیک هر آشکارساز معین تابعی از انرژی است و با افزایش انرژی بهتر می‌شود. به عنوان مثال، توان تفکیک آشکارساز NaI(Tl) برای فوتون 100 keV ممکن است در حدود ۱۴٪ باشد، در صورتی که برای فوتون 1 MeV نزدیک به ۷٪ است.

آشکارساز چرنکوف

تا بش چرنکوف عبارت است از نور مرئی حاصل از عبور یک ذره باردار در یک محیط، هنگامی که سرعت ذره از سرعت فاز نور در آن محیط بیشتر است. چون با افزایش ضربی شکست محیط، گسیل تابش چرنکوف تشید می‌شود، آشکارسازهای چرنکوف از شیشه‌ای ساخته می‌شوند که چگالی آنها زیاد و ضربی شکست آنها برای خطوط D سدیم در گستره ۶۴ تا ۷۱ است. برای این کار از مایعات با ضربی شکست خیلی زیاد هم استفاده می‌شود. پس از آنکه تابش چرنکوف در آشکارساز تولید شد، به کمک یک تکثیر کننده فوتونی مورد مشاهده و اندازه گیری قرار می‌گیرد. معمولاً آشکارساز چرنکوف، به دلیل بستگی تابش چرنکوف به سرعت ذرات باردار، در فیزیک بهداشت کاربرد چندانی ندارد، ولی عمدها در تحقیقات فیزیک انرژی زیاد برای اندازه گیری سرعت ذرات بر انرژی مورد استفاده است.

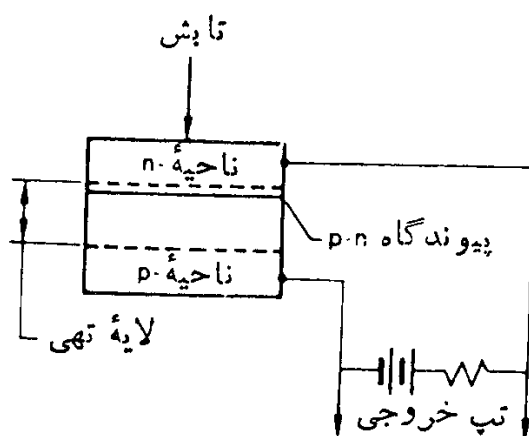
آشکارساز نیمرسانا

طرز کار آشکارساز نیمرسانا شبیه به اتفاق یونش حالت جامد است. ذره یوننده، نظیر بتا و آلفا و جز آن، با اتمهای آشکارساز در حجم حساس آن برهم کنش و براثر یونش الکترون تولید می‌کند. مجموعه این یونها یک تپ خروجی تشکیل می‌دهد. در آشکارساز نیمرسانا (سیلیسیم) برای تولید هر رویداد یونشی فقط انرژی متوسطی در حدود 35 eV مورد

نیاز است، در حالی که در شمارگرهای گازی انرژی بونش نسبتاً زیادی در حدود $35-35 \text{ eV}$ لازم است.

نیمرسانا ماده‌ای است که خواص رسانش الکتریکی آن در فاصله بین «رسانای خوب» و «عایق» قرار دارد. اگرچه بیشتر مواد را می‌توان به عنوان نیمرسانا رده‌بندی کرد، ولی سیلیسیم و ژرمانیم بیشتر متداول‌اند. این دو عنصر، که هر کدام چهار الکترون ظرفیت دارند، بلورهایی تشکیل می‌دهند که اتمهای شبکه آنها با پیوندهای کووالانسی به هم پیوسته‌اند. جذب انرژی به وسیله این بلورها به شکست پیوندهای اتمی می‌انجامد^۱، و به تولید یک الکترون آزاد و یک «حفره» در جایگاهی که قبل از الکترون ظرفیت آن را اشغال کرده بود منجر می‌شود. الکترون آزاد به راحتی می‌تواند در داخل بلور حرکت کند. هر بلک از الکترونها مجاور حفره‌هم می‌توانند به داخل حفره پیوند و بدین ترتیب حفره دیگری تولید شود. قراردادن نیمرسانا در یک مدار الکتریکی بسته باعث می‌شود که الکترونها به سمت پایانه مشتب و حفره‌ها به طرف پایانه منفی به حرکت در آیند و جریانی در نیمرسانا برقرار شود.

اساس کار هر آشکارساز نیمرسانای تابش به مازاد الکترونها یا حفره‌ها بستگی دارد. نیمرسانایی که الکترون اضافی دارد به نوع n و نیمرسانایی که حفره اضافی دارد به نوع p معروف است. معمولاً تعداد الکترونها و حفره‌های بلور سیلیسیم خالص باهم برابراست. (این الکترونها و حفره‌ها از شکستن پیوندهای کووالانسی بر اثر جذب گرما یا انرژی نور تولید می‌شوند). با اضافه کردن مقداری ناخالصی به بلور، می‌توان تعدادی الکترون اضافی (به صورت ناحیه n) یا تعدادی حفره اضافی (به صورت ناحیه p) تولید کرد. ژرمانیم و



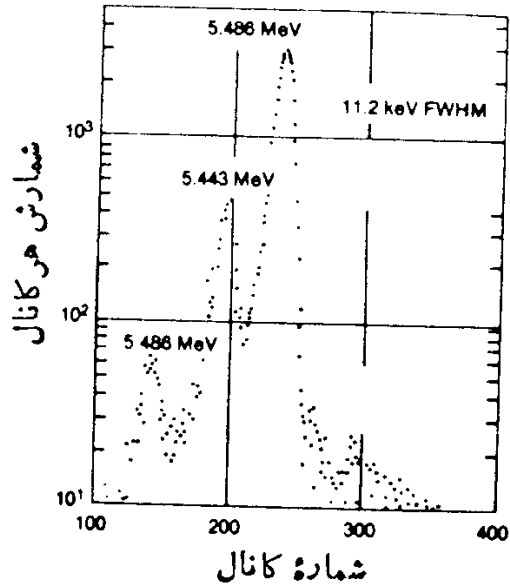
شکل ۱۳.۹ آشکارساز با پیوندگاه نیمرسانا. این آشکارساز برای اندازه‌گیری الکترونها و سایر ذرات باردار خیلی مفید است. برای اندازه‌گیری پرتوهای گاما، یک تابشکر الکترونی بین چشمۀ تابش و آشکارساز قرارداده می‌شود، و سپس الکترونهای حاصل از آن فوتوالکتریک و کامپتون به وسیله آشکارساز اندازه‌گیری می‌شوند.

۱. برای خارج کردن یکی از الکترونهای ظرفیت سیلیسیم فقط 12eV انرژی لازم است.

سیلیسیم هردو در گروه چهارم جدول تناوبی قرار دارند. اگر اتمهای یکی از عناصر گروه پنجم جدول تناوبی مانندفسفر، ارسنیک، آنتیموان، و بیسموت که هریک ۵ الکترون ظرفیت دارند به سیلیسیم با ژرمانیم خالص افزوده شوند، چهار الکترون از پنج الکترون اتم افزوده شده بامشارکت اتمهای سیلیسیم یا ژرمانیم یک پیوند کووالانسی تشکیل می‌دهند. از این‌رو، الکترون پنجم ناخالصی یک الکترون اضافی است که می‌تواند آزادانه در بلور حرکت و در شارش جریان الکتریکی شرکت کند. تحت این شرایط بلور ازنوع n است. نیمرسانای نوع p را که حفره‌ای اضافی دارد، می‌توان با افزودن یک ناخالصی از عناصر گروه سوم جدول تناوبی به بلور نیمرسانا تولید کرد. عناصر گروه سوم نظیر بور، آلومینیم، گادولینیم، یا اندیم، ۳ الکترون ظرفیت دارند. بنابراین، اضافه کردن یکی از آنها به عنوان ناخالصی در بلور سبب می‌شود که فقط ۳ پیوند از ۴ پیوند ظرفیت در شبکه بلور تشکیل شود. این کمبود یک الکترون معادل یک حفره است، و ژرمانیم یا سیلیسیم حاصل، بلوری از نوع p خواهد بود.

یک ناحیه p از سیلیسیم یا ژرمانیم را که در مجاورت یک ناحیه n قرار داشته باشد، پیوندگاه $p-n$ می‌گویند. اگر یک پیش‌ولت موافق به پیوندگاه اعمال شود، یعنی اگر ولتاژی به دوسر پیوندگاه اعمال شود که ناحیه p را به پایانه مثبت و ناحیه n را به پایانه منفی وصل کند، چون مقاومت ظاهری بین دوسر پیوندگاه بسیار کم است، جریانی الکتریکی در آن برقرار می‌شود. اگر قطبیت ولتاژ اعمال شده معکوس شود یعنی، اگر ناحیه n به پایانه مثبت و ناحیه p به پایانه منفی وصل شود، پیش‌ولت معکوس خواهیم داشت. تحت این شرایط هیچ جریانی در پیوندگاه برقرار نخواهد شد (به استثنای جریان خیلی ضعیفی که در اثر گرما از حرکت الکترونها و حفره‌ها حاصل می‌شود). ناحیه اطراف پیوندگاه، بر اثر اختلاف پتانسیل، از حفره‌ها والکترونهای نواحی p و n پاک می‌شود. این ناحیه که به آن لایه تهی می‌گویند، همان حجم حساس آشکارساز حالت جامد است. هنگامی که ذره یوننده از ناحیه لایه تهی می‌گذرد، بر اثر برخورد میان ذرات یوننده و بلور زوچهای الکترون - حفره تولید می‌شود. سپس میدان الکتریکی، حفره‌ها والکترونهای را از هم جدا می‌کند و بر اثر شارش الکترونها در مدار خارجی یک تپ الکتریکی در مقاومت بار تولید می‌شود.

آشکارسازهای نیمرسانا به دلیل اینکه ذاتاً توان تفکیک انرژی زیادی دارند در طیف‌نمایی هسته‌ای فوق العاده مفیدند. برای طیف‌نمایی ذرات باردار معمولاً از نیمرسانای نوع سد سطحی استفاده می‌کنند. شکل ۱۴.۹ توان تفکیک این نوع آشکارساز را نشان می‌دهد و چنانکه دیده می‌شود، ذرات آلفای با انرژی 443 MeV و 486 MeV به راحتی ووضوح از یکدیگر تفکیک شده‌اند. با استفاده از موادی نظیر گاز He_3 ، Li_6 ، B_{10} ، Li_{235} ، یا مواد هیدروژنی که نسبت به نوترون حساسیت دارند و به کمک آشکارساز سد سطحی می‌توان هم نوترونهای تند و هم نوترونهای کند را مورد اندازه‌گیری قرارداد. برای طیف‌نمایی فوقون، از سیلیسیم لیتیم‌دار ($\text{Si}(\text{Li})$) یا ژرمانیم لیتیم‌دار ($\text{Ge}(\text{Li})$) استفاده می‌کنند. این آشکارسازها باید در دهه‌های فوق العاده پایین زمزاییک کار کنند. دماهای پایین



شکل ۱۴.۹ طیف آلفای ^{241}Am حاصل از آشکارساز سد سطحی سپلیسیم.

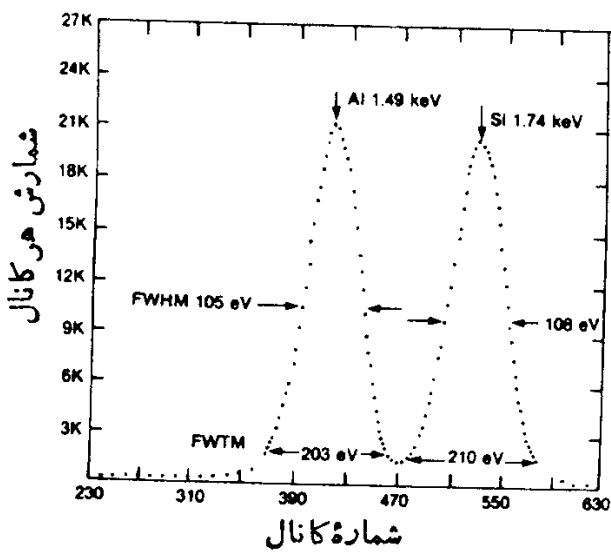
موردنیاز را با نصب آشکارساز روی «انگشتانه سرد» و با غوطه‌ور کردن آن در نیترودئون مایع (77°K) در فلاسک دوچداره تأمین می‌کنند. در شکل ۱۵.۹ توان تفکیک حاصل از این نوع آشکارسازها نشان داده شده است.

مزایای آشکارسازهای نیمرسانا به شرح زیر است:

- (الف) شمارش خیلی سریع به خاطر زمان تفکیک بسیار کوتاه (از مرتبه نانو ثانیه)
- (ب) توان تفکیک بالا برای انرژی
- (ج) ولتاژ کار نسبتاً پایین در حدود ۲۵ تا ۳۰۰ ولت.

وسایل اندازه‌گیری دز

شاراتابش فقط یکی از چندین عاملی است که دز تابش را تعیین می‌کنند. اینکه وسیله اندازه‌گیری شارتابش از وماً دز را اندازه نمی‌گیرد درمثال زیر دیده می‌شود.



شکل ۱۵.۹ خطوط مشخصه پرتوایکس حاصل از نمونه‌ای از آلومینیم. این طیف توان تفکیک زیاد آشکارساز $\text{Si}(\text{Li})$ را برای فوتونهای با انرژی کم نشان می‌دهد.

مثال ۲.۹

دو میدان تابش با چگالی انرژی یکسان را در نظر می‌گیریم. در یکی از این دو میدان شار فوتونی 1 MeV با 1 rad با 2000 فوتون در سانتی‌متر مربع برابر ثانیه و در دیگری شار فوتونی 2 MeV با شار 100 فوتون در سانتی‌متر مربع برابر ثانیه است. در صورتی که ضریب جذب انرژی ماهیچه نسبت به تابش گامای 1 MeV برابر $252\text{ cm}^2/\text{g}$ ؛ ضریب جذب انرژی نسبت به گامای 2 MeV برابر $257\text{ cm}^2/\text{g}$ در 50 rad فرض شود، آهنگهای ذر این دو میدان تابشی با رابطه زیر داده می‌شود

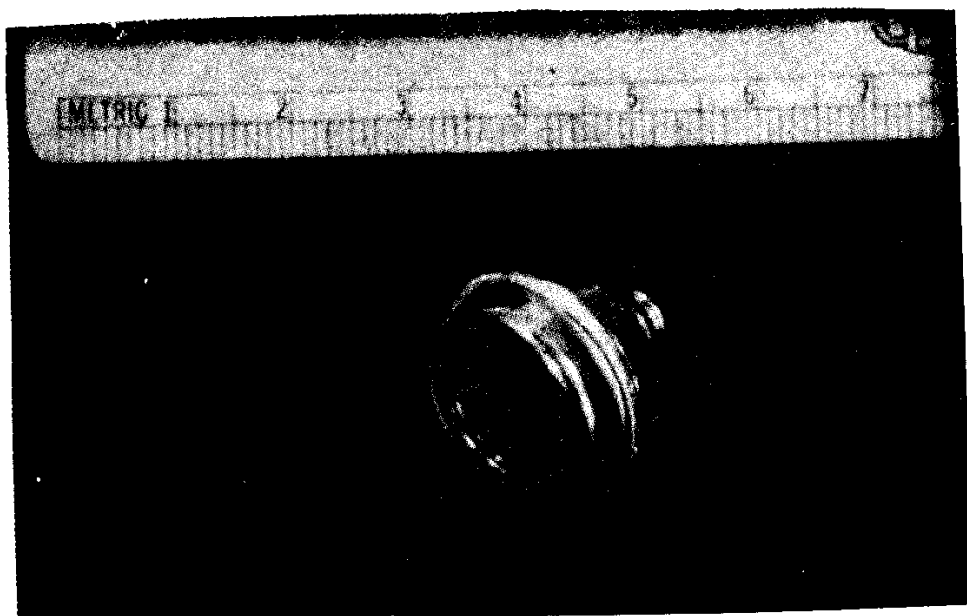
$$D = \frac{\phi_{\text{فوتون}} / \text{cm}^2 \cdot \text{s} \times E \text{MeV}}{10^{-2} \frac{\text{J}}{\text{g}}} \times 10^{13} \text{ J/MeV} \times \mu \text{cm}^2 / \text{g}$$

(۲.۹)

$$\text{برای تابش} = 8.1 \times 10^{-10} \text{ Gy/s} \quad 1\text{ MeV}$$

$$\text{و برای فوتونهای} = 7.6 \times 10^{-10} \text{ Gy/s} \quad 2\text{ MeV}$$

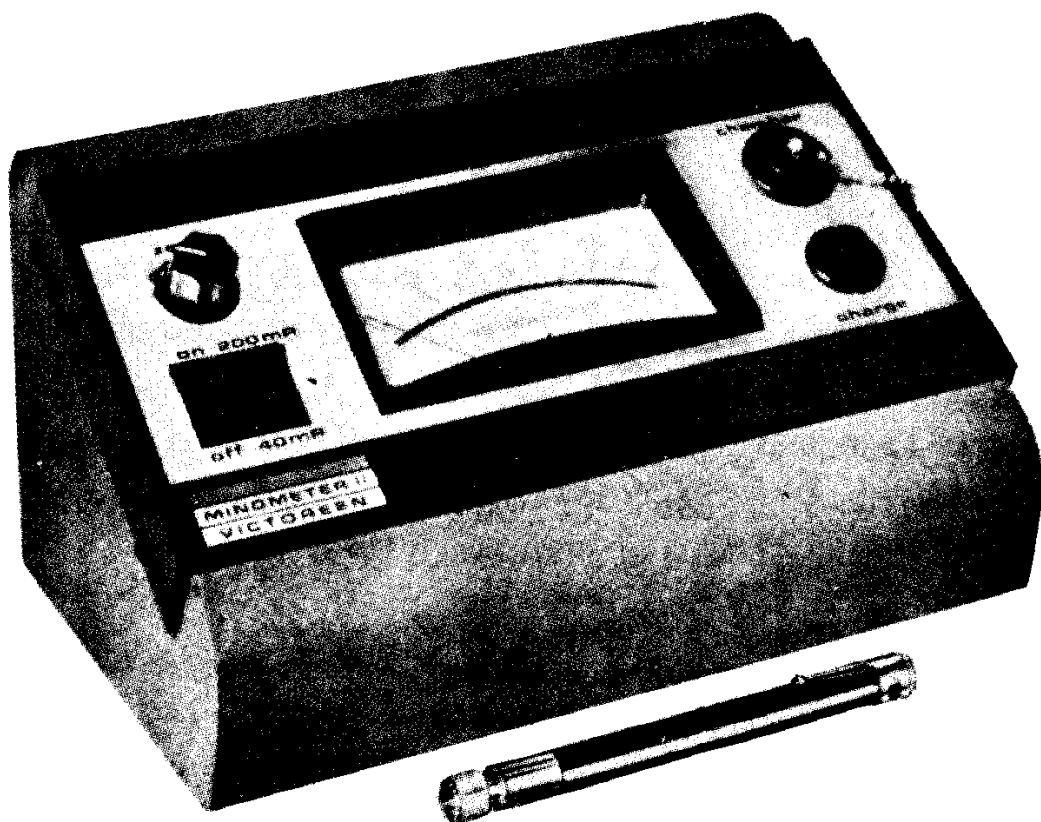
بنابراین آهنگهای ذر این دو میدان تابشی تقریباً باهم برابر است. اما وسیله اندازه‌گیری شار، مثل شمارگر گایگر تابش 1 rad را در حدود 20 برابر بیشتر از تابش با انرژی زیادتر نشان می‌دهد.



شکل ۱۶.۹ عکس آشکارساز حالت جامد لیتیم دار که دریچه جلوی آن از جنس طلا به ضخامت $1/2\text{ mm}$ است. این آشکارساز برای اندازه‌گیری ذره باردار و تابش الکترومنغانطیسی به کار می‌رود. پرتوهای گاما با توان تفکیک زیاد ولی با بازده کم آشکارسازی می‌شوند، درحالی که هم توان تفکیک و هم بازده آشکارسازی ذرات پسیار بالاست.

دزسنجهای جیبی

برای اندازه‌گیری دز تا بش، و اکتش وسیله اندازه‌گیری با متناسب با انرژی جذب شده باشد. در فصل ۶ اتفاق یونش هوای آزاد را، که وسیله اصلی اندازه‌گیری تا بش است، توصیف کردیم. در آن فصل همچنین نشان دادیم که هر اتفاق یونش با «دیواره هوا» را می‌توان برآمس تعریف عملیاتی یکای پرتوگیری، یا رونتگن، ساخت و آن را برای اندازه‌گیری پرتوگیری به کار برد. این نوع اتفاقهای یونش را، که به «دزسنج جیبی» معروف‌اند، می‌توان برای دیدبانی کارکنان به طور وسیعی به کار برد. دونوع دزسنج جیبی متداول است: یکی نوع خازن است که در شکل ۲.۶ نشان داده شده‌است. این دزسنج از نوع قرائت غیرمستقیم است و در آن برای قرائت دز اندازه‌گیری شده از یک وسیله کمکی استفاده می‌شود. این وسیله کمکی را، که در واقع یک ولت‌سنج الکتروستاتیکی است و بر حسب رونتگن مدرج می‌شود، وسیله قرائت شارژ کننده می‌گویند (زیرا برای باردار کردن اتفاق نیز از آن استفاده می‌کنند). اصطلاح مینومتر اغلب به عنوان متراالف برای وسیله قرائت شارژ کننده به کار می‌رود. در شکل ۱۷.۹ عکس یک دزسنج جیبی و وسیله قرائت شارژ کننده آن دیده می‌شود. دزسنجهای جیبی از نوع خازن تجاری، پرتوگیرهای

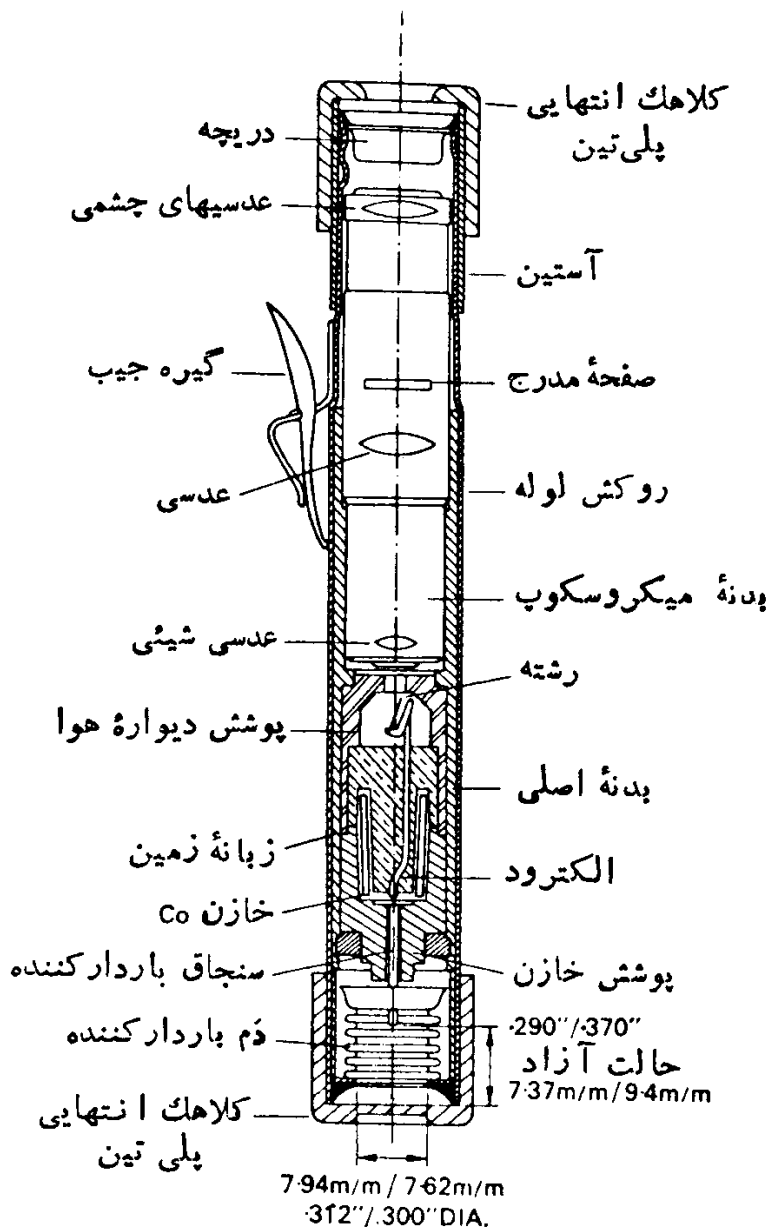


شکل ۱۷.۹ دزسنج جیبی از نوع خازن و وسیله قرائت شارژ کننده آن. این دزسنج پرتوهای آیکس و گاما را با خطای $15 \pm$ درصد در گستره انرژی از 30 keV تا 2 MeV و در گستره دز از صفر تا 200 mR اندازه می‌گیرد.

کل پرتوهای α و β را تا 200 mR با دقیقی در حدود $15 \pm$ درصد برای انرژیهای فوتونی بین حدود 2 MeV و 50 keV اندازه می‌گیرند. برای انرژیهای فوتونی خارج از این گستره باید از ضرایب تصحیح که شرکت سازنده ارائه می‌کند استفاده شود. این نوع دزسنجها برای پرتوهای بتای با انرژی بیش از 1 MeV به کار می‌روند. با اندودن داخل اتفاقک با عنصر بور می‌توان کاری کرد که دزسنج جیبی نسبت به نوترونهای گرمایی حساس شود. اما دزسنج جیبی استاندارد فقط برای سنجش تابشهای گاما وایکس به کار می‌رود. این دزسنج با استفاده از پرتوهای گاما رادیم، ^{60}Co یا ^{137}Cs مدرج می‌شود. دزسنجهای جیبی، حتی هنگامی که در میدان تابشی قرار ندارند، به دلیل وجود تابش کیهانی نشت بار از عایقی که الکترود مرکزی را از الکترود خارجی جدا می‌کند، به تدریج تخلیه می‌شوند. از دزسنجی که بیشتر از ۵٪ مقیاس کامل در روز نشته داشته باشد، نباید استفاده شود. معمولاً دو دزسنج جیبی را به طور همزمان به کار می‌برند. زیرا هر نوع بدکار کردن دستگاه همواره باعث می‌شود که مقدار دز زیادتر از حد واقعی نشان داده شود، که در این موارد مقدار کمتر این دو را به عنوان دز دقیقت در نظر می‌گیرند. به دلیل نشت و احتمال بدکار کردن ناشی از افتادن دزسنج، معمولاً هر دزسنج جیبی را فقط برای یک روز به کار می‌برند. پس از خواندن دزسنج، محتوا اطلاعات آن پاک می‌شود و بنا بر این لازم است دوباره باردار شود.

دزسنج جیبی دوم از نوع قرائت مستقیم است و بر اساس الکتروسکوپ زروری کار می‌کند (شکل ۱۸.۹) در این دزسنج رشته کوارتزی که تا پتانسیل حدود 7 V باردار می‌شود به طریق الکتروستاتیکی جابه‌جا می‌شود. تصویری از این رشته روی یک مقیاس می‌افتد و با عدسی واقع در انتهای دزسنج مشاهده می‌شود. وقتی دزسنج در معرض تابش قرار می‌گیرد، رشته کوارتز بار الکتریکی اش را از دست می‌دهد و به وضع اولیه خود بازمی‌گردد. مقدار تخلیه رشته و میزان جا به جا شدن آن با پرتودهی تابش مناسب است. مزیت دزسنج قرائت مستقیم در این است که پس از قرائت لازم نیست دوباره باردار شود. گستره دزسنجهای قرائت مستقیمی که به صورت تجاری عرضه می‌شوند، از صفر تا 200 mR است که پرتوگیری از انرژیهای حدود 50 keV تا 2 MeV را باخطای $15 \pm$ درصد مقدار واقعی به دست می‌دهند. در این دزسنج باید از یک وسیله باردار کننده کمکی استفاده شود.

دزسنجهای جیبی، همچنانکه از اسمشان بر می‌آید، عمدتاً به عنوان وسایل دیدبانی کار کنن به کار می‌روند، و کسانی که ممکن است در معرض پرتوهای گاما یا لا قرار بگیرند آنها را با خود همراه می‌برند. اما از این وسایل، با قراردادن آنها در نقاطی که باید دز پرتودهی در آنجا اندازه گیری شود، می‌توان به عنوان وسایل دیدبانی ناحیه‌ای استفاده کرد. برای این کار یک یا چند دزسنج را برای مدت حداقل تا یک هفته در محل مورد نظر قرار می‌دهند. برای کاربردهای دیدبانی ناحیه‌ای اتفاقکهایی با حجم بیشتر وجود دارد (شکل ۱۹.۹) که از دزسنج جیبی خیلی حساس‌ترند. این نوع اتفاقکها، که اغاب آنها را

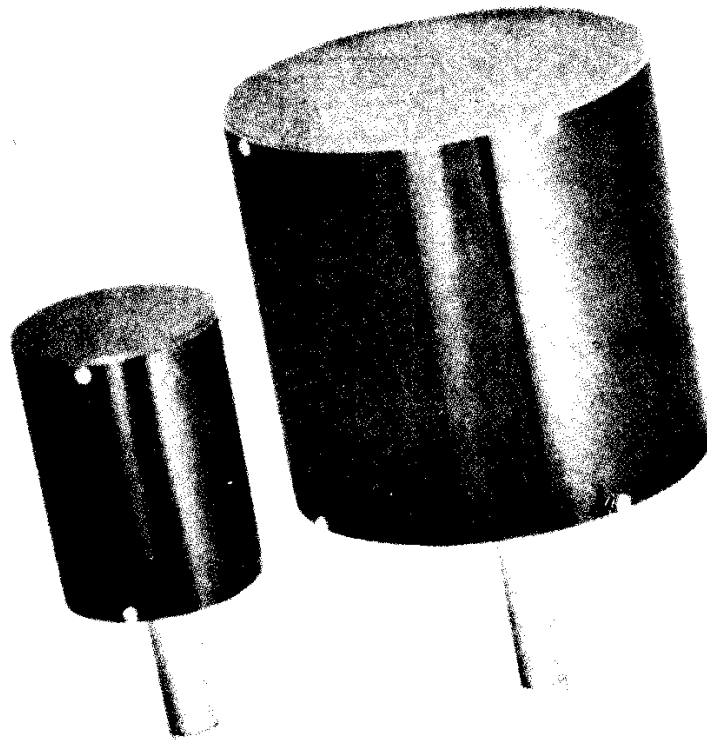


شکل ۱۸.۹ سطح مقطع ساده‌ای از دزسنج جیبی قرائت مستقیم نوع الکتروسکوب با رشته کوارتن، ویژگیهای وابسته به انرژی این نوع دزسنج جیبی در شکل ۱۸.۶ نشان داده شد.

اتفاقهای تا بش سرگردان می‌گویند، درست مانند دزسنجهای جیبی نوع خازن مجهز به وسیله قرائت شارژکننده هستند، و مخصوصاً برای دیدبانی تا بش پراکنده حاصل از دستگاههای پرتو X پزشکی و دندانپزشکی بسیار مفیدند.

فیلم بج

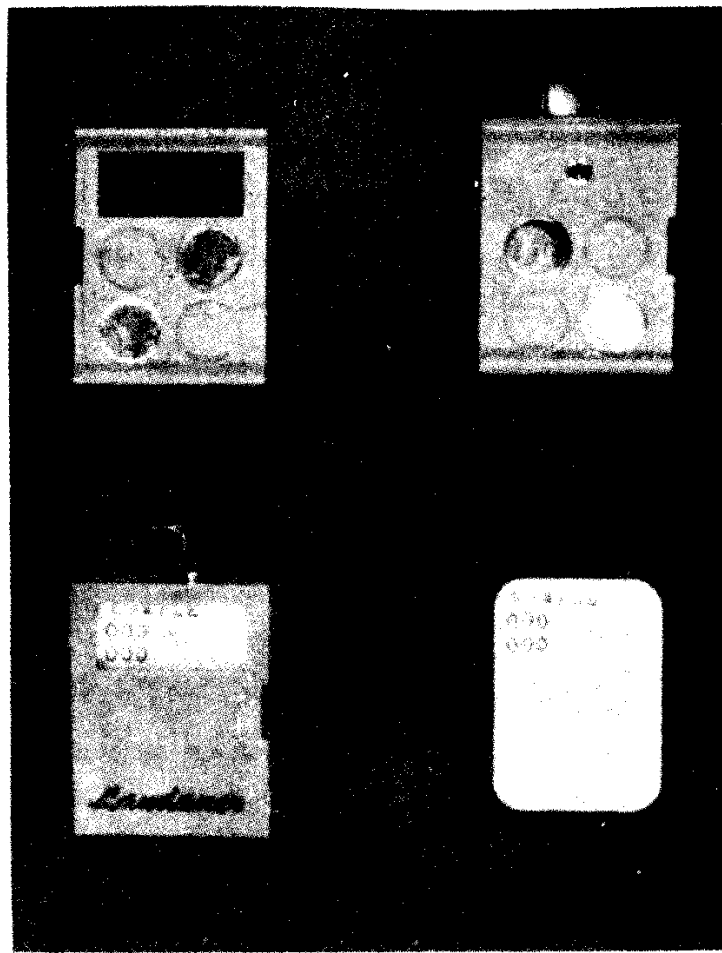
فیلم بج یکی دیگر از وسایل دیدبانی شخصی است که کاربرد بسیار وسیعی دارد (شکل ۲۰.۹). این وسیله متشکل است از یک بسته کوچک شامل دو قطعه فیلم (برای گاما و ایکس) یا سه قطعه فیلم (برای نورونها، گاما، و ایکس) به اندازه فیلمهای عکسبرداری از



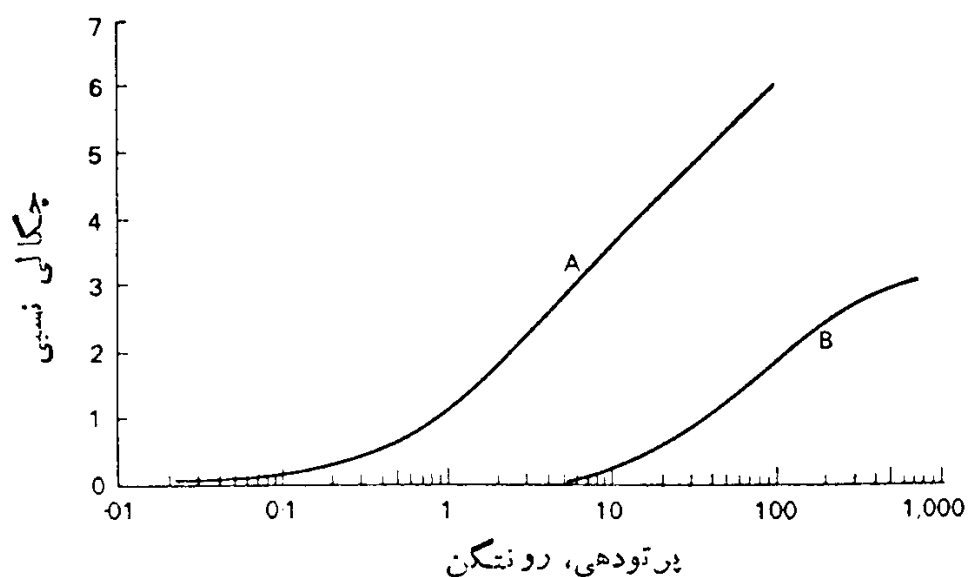
شکل ۱۹.۹ اتفاکهای تابش سرگردان، گستره اندازه‌گیری دزانافک کوچکتر از صفر تا 10 mR و گستره اتفاک بزرگتر که حساسیت نیز هست از صفر تا 1 mR است. همراه با این اتفاکهای وسیله «قرائٹ شارژ کننده» شکل ۱۷.۹ به کار می‌رود.

دندانها که در یک کاغذ ضدنور پیچیده شده و در داخل یک پوشش فلزی یا پلاستیکی مناسب قرار گرفته است. دوقطعه فیلم مر بوط به تابش گاما وایکس شامل یک اموالوسیون حساس و یک اموالوسیون نسبتاً غیرحساس است. این بسته فیلم روی گستره پرتودهی از حدود 10 mR تا 1800 R پرتوهای گامای ناشی از رادیم قابل استفاده است. این فیلم در برابر تابش بتا نیز حساس است، و می‌تواند برای اندازه‌گیری دز بتاها بی که ارزی بیشینه آنها بیشتر از حدود 400 keV باشد و گستره پرتودهی آنها از $(400 \text{ rad})_{\text{mGy}}$ تا $(10 \text{ Gy})_{(1000 \text{ rad})}$ قرار داشته باشد به کار رود. با استفاده از تکنیکهای فیلم مناسب می‌توان دز نوترونهای گرمایی از 5 mrad تا 5 Gy و دز نوترونهای تند از حدود $(40 \mu\text{Gy})$ تا $(10 \text{ rad})_{(1 \text{ Gy})}$ را اندازه‌گیری کرد.

دزسنجی فیلم بج بر این واقعیت مبتنی است که تابش یوننده به‌هالید نقره موجود در اموالوسیون عکاسی می‌تابد و این عمل به تیره شدن فیلم می‌انجامد. میز ان تیرگی فیلم را که چگالی اپتیکی فیلم نامیده می‌شود، می‌توان با یک چگالی سنج فوتواکتریک که در آن قرائت به صورت لگاریتم نور عبور کرده از فیلم بیان می‌شود، بدقت اندازه‌گیری کرد. مقدار چگالی اپتیکی فیلم پس از پرتوگیری، به میزان پرتوگیری (شکل ۲۱.۹) وابسته است. با مقایسه چگالی اپتیکی فیلمی که شخص پرتو گرفته از آن استفاده کرده است با فیلمهایی که مقدار معلومی پرتو گرفته‌اند، می‌توان پرتوگیری فیلم شخص مورد نظر را معین



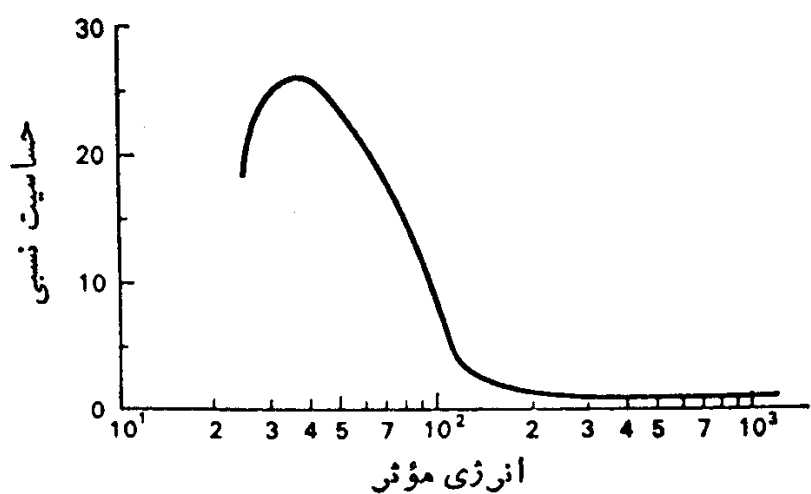
شکل ۳۰.۹ دزسنج فیلم بج پرتوهای بتا و ایکس. برای دزسنجی نوترون، بسته فیلم دیگری که نسبت به نوترون حساس باشد، همراه با یک صافی اضافی از جنس کادمیم به فیلم بج اضافه می‌شود.



شکل ۳۱.۹ ارتباط بین پرتودهی تابش و جکالی اپتیکی. منحنی A نمودار پاسخ دزسنجی فیلم duPont ۵۵۵ و منحنی B پاسخ فیلم duPont ۸۳۴ در مقابل پرتوهای ${}^6\text{Co}$ است.

کرد. تغییرات اندکی در امولوسیونها تأثیر زیادی در پاسخ کمی آنها در برابر تابش دارد. چون فیلمهایی که در فیلم بجهای به کار می‌روند، به صورت یک دسته مجموعه‌ای و یکجا تولید می‌شوند، و چون ممکن است هر دسته با دسته دیگر اندکی فرق داشته باشد، لازم است فیلمهای هر دسته به طور جداگانه مدرج شوند.

فیلمهای به کار رفته در دزسنجهای فیلم بج، در گستره انرژی کم، یعنی از حدود 2 MeV به پایین کاملاً وابسته به انرژی هستند (شکل ۲۲.۹). این بستگی به انرژی ناشی از این واقعیت است که سطح مقطع فوتوالکتریکی نقره در امولوسیون با کاهش انرژی فوتون به پایینتر از حدود 200 keV ، خیلی سریعتر از سطح مقطع هوا یا بافت بدن افزایش می‌یابد. حساسیت بیشینه مشاهده شده در حدود $35-40\text{ keV}$ است. پایینتر از این انرژی، به دلیل تضعیف تابش به وسیله پوشش کاغذی حساسیت فیلم کاهش می‌یابد. در نتیجه بستگی خیلی شدید به انرژی، دزسنجی فیلم برای پرتوهای ایکس کمتر از 200 keV بی‌فایده است، مگر اینکه فیلم با تابشی مدرج شود که توزیع انرژی آن با توزیع انرژی تابش تحت دیدبانی برابر باشد یا بستگی انرژی فیلم هم منظور شود. برای منظور کردن بستگی انرژی فیلم از صافی گزینشی استفاده می‌کنند. نگهدارنده فیلم بج طوری ساخته می‌شود که تابش از طریق یک دریچه باز، یا از طریق خود نگهدارنده، و یا یکی از چندین صافی مختلف آلومینیم، کادمیم، قلع، نقره، و سرب به فیلم برسد. طرح و انتخاب دقیق صافی به نوع تابشی که باید دیدبانی شود بستگی دارد. در این صورت ارزیابی پرتوگیری، با بررسی نسبت چگالیهای اپتیکی پس از کاربرد هر یک از صافیهای مختلف انجام می‌شود. دز پرتو بقا از نسبت قرائت فیلم با دریچه باز به قرائت در پشت صافیها به دست می‌آید. اگر پرتودهی فقط از نوع تابش بتا باشد، تیرگی فقط در سطح دریچه باز مشاهده خواهد شد. مثلاً برای تمیز پرتوهای گاما‌ای کم انرژی از پرتوهای بتا، تیرگی ناحیه دریچه باز را با تیرگی تحت دو صافی نازک مانند آلومینیم و نقره که ضخامت چگالشی آنها یکسان است و بنا بر این از نظر جذب پرتو بتا معادل یکدیگرند، مقایسه می‌کنیم. اما، عدد اتمی متفاوت باعث می‌شود



شکل ۲۲.۹ بستگی پاسخ دزسنج فیلم بج نسبت به انرژی پرتوهای ایکس.

که پرتو α کم انرژی در صافی نقره خیلی بیشتر از صافی آلومینیم جذب شود و بنا بر این میزان تیورگی فیلم با این دو صافی متفاوت باشد. تعبیر مخلوطی از تابش بتا-گاما با فیلم بج، به دلیل توان نفوذ فوق العاده متفاوت این دو پرتو مشکل است. به همین دلیل، اطلاعات حاصل از دیدبانی پرتو بتا با فیلم بجهای عمدتاً به صورت کیفی یا نیمه کمی برای ارزیابی پرتو گیری قابل استفاده است.

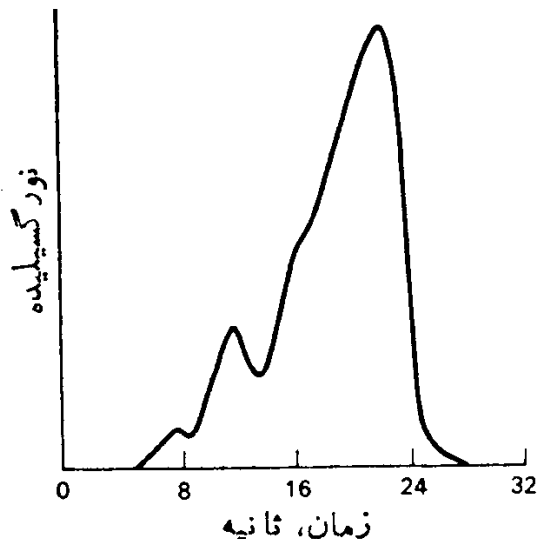
نوترونهای تند با انرژی بیش از 2 MeV را می‌توان با فیلم رد هسته‌ای مانند ایستمن کدак NTA که به فیلم بج افزوده می‌شود دیدبانی کرد، وقتی که فیلم تحت تابش نوترونهای تند قرار می‌گیرد، دراثر برخورد کشسان با هسته‌های هیدروژن موجود در پوشش کاغذی امولوسیون و در پایه فیلم ردهای پس زنی پروتون تولید می‌شود. اگرچه با افزایش انرژی نوترون سطح مقطع پراکندگی (n, p) از 13 barn در 1 MeV به 45 barn بارن در 1 MeV و به 1 barn در 10 MeV کاهش می‌یابد، پروتونهای پس زنی با انرژی پایینتر از حدود 2 MeV توانایی تولید رد قابل تشخیص را نخواهد داشت، و در نتیجه آستانه در انرژی 2 MeV خواهد بود. به دلیل اینکه تراکم اتمهای هیدروژن در فیلم و در پوشش کاغذی تقریباً تفاوت محسوسی با بافت ندارد، پاسخی که فیلم به نوترونهای تند دهد تقریباً معادل پاسخ بافت موجود زنده است، و تعداد ردهای پروتون در واحد سطح نیلم با دز جذب شده متناسب است. پرتو گیری نوترون تند با بررسی فیلم ظاهر شده و با نمارش تعداد ردهای پروتون در هر سانتی‌متر مربع فیلم برآورده می‌شود. بیشینه مجاز آهنگ دز برای نوترونهای تند برابر (100 mrem) 1 mSv در هفتاه است، که با چگالی یا نگین حدود 2650 رد در هر سانتی‌متر مربع فیلم NTA برای نوترونهای چشمۀ $Pu-B_6$ متناظر می‌شود. چون با عدسی غوطه‌ور روغنی، سطحی در حدود $2 \times 10^{-4}\text{ cm}^2$ می‌شود، دز 100 mrem نوترون تند به طور متوسط با حدود یک رد پس زنی پروتون ره میدان دید میکروسکوپی متناظر است.

نوترونهای گرمایی نیز در نتیجه گیراندازی در نیتروژن موجود در فیلم نوترونی، لمبک واکنش $C^{14}(n, p)$ ، ردهای پس زنی پروتون تولید می‌کنند. اگرچه در این واکنش سطح مقطع نوترونهای m/s برابر 2500 است، ولی به دلیل تراکم اتم نیتروژن در فیلم در مقایسه با تراکم هیدروژن، حساسیت این واکنش به ازای هر نوترون سبیت به واکنش پراکندگی (n, p) برای نوترونهای تند کمتر خواهد بود. با وجود این، چون رعمل نوترونهای تند معمولاً قسمی از یک میدان تابش مخلوط هستند که شامل نوترونهای گرمایی (وتابش گاما) است، و چون شار مجاز نوترونهای گرمایی خیلی بیشتر از نوترونهای تند است، باید سهمی برای ردهای پروتون ناشی از نوترونهای گرمایی نیز در نظر گرفته شود. هر فیلم بجی که برای کار در یک میدان تابش مخلوط، که نوترونها را هم شامل شود، ساخته شده باشد همواره حداقل دو صافی فلزی با ضیغامت چگالشی مساوی دارد به یکی از آنها کادمیم و دیگری معمولاً قلع است. کادمیم یک سطح مقطع خیلی بزرگ ارد که مقدار آن برای واکنش $Cd^{114}(n, \gamma)$ با نوترونهای 25 eV برابر

برابر ۲۵۰۰ بارن و با نوترونهای 179 eV برابر ۷۴۰۰ بارن است. سطح مقطع گیراندازی قلع برای نوترونهای گرمایی بسیار کوچک است. در نتیجه، میدان نوترون گرمایی تحت صافی قلع یک چگالی رد خیلی زیاد از خود نشان می‌دهد، و تحت صافی کادمیم هیچ ردی در آن دیده نمی‌شود. از طرف دیگر، نوترونهای تند تحت هردو صافی چگالی رد یکسانی دارند. بدلیل واکنش (γ, n) در کادمیم، میدان نوترون گرمایی تحت صافی کادمیم ناحیه تیره‌تری روی فیلم پرتو گاما تواید می‌کند تا تحت صافی قلع. تابش گاما، در غیاب نوترونها، فیلم را تحت هردو صافی به یک اندازه تحت تأثیر قرار می‌دهد. با شمارش ردها و اندازه گیری چگالی فیلم پرتو گاما، می‌توان شار نوترون گرمایی را تعیین کرد و در تعیین شار نوترون تند نیز، چگالی رد زمینه نوترون گرمایی را در نظر گرفت. باید تأکید کرد که فیلم بجهای نوترونی معمولی نسبت به نوترونها در گستره انرژی فوق گرمایی تا $1/2\text{ MeV}$ حساس نیستند. اما اگر توزیع طیفی میدان نوترون معلوم باشد، می‌توان سهمی برای نوترونهای موجود در گستره غیرحساس فیلم بج در نظر گرفت.

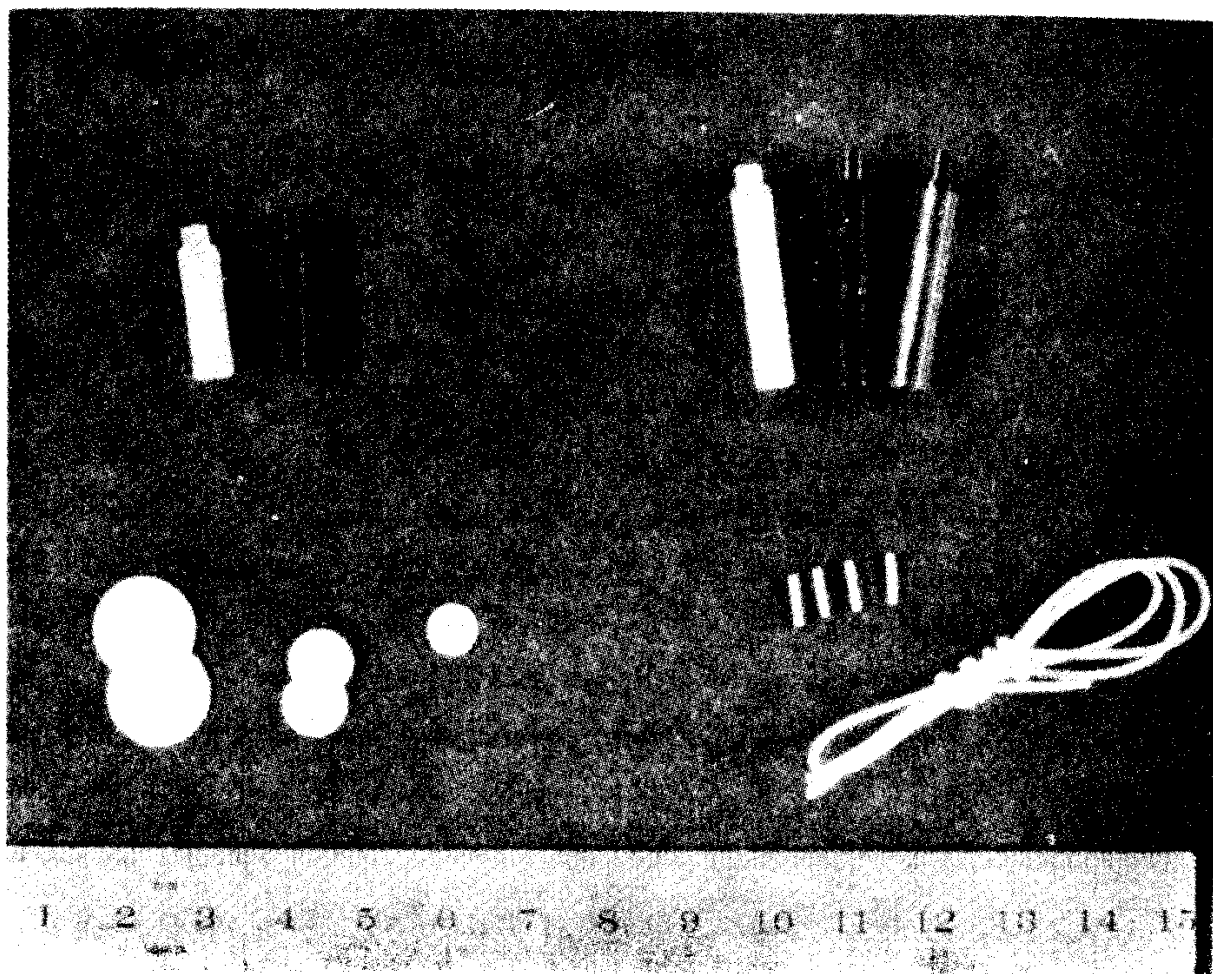
دزسنج گرمالیان

بیشتر بلورها، از جمله CaF_2 که حاوی Mn به صورت ناخالصی است و LiF ، بعداز قرار گرفتن در معرض تابش چنانچه گرم شوند از خود نور گسیل می‌کنند. این نوع بلورها را گرمالیان می‌گویند. در بلورهای گرمالیان، جذب انرژی تابش باعث برانگیختن آنها می‌شود که در اثر آن در بلور تعدادی الکترون آزاد و حفره پدیده می‌آید. این حفره‌ها و الکترونهای آزاد را ناخالصیها یا ناکاملهای شبکه بلوری بهدام می‌اندازند، و بدینسان انرژی برانگیختگی در بلور حبس می‌شود. با گرم کردن بلور، این انرژی به صورت نور آزاد می‌شود. شکل ۲۳.۹ منحنی مشخصه تابانی LiF را که از گرم کردن یکنواخت بلور تابش

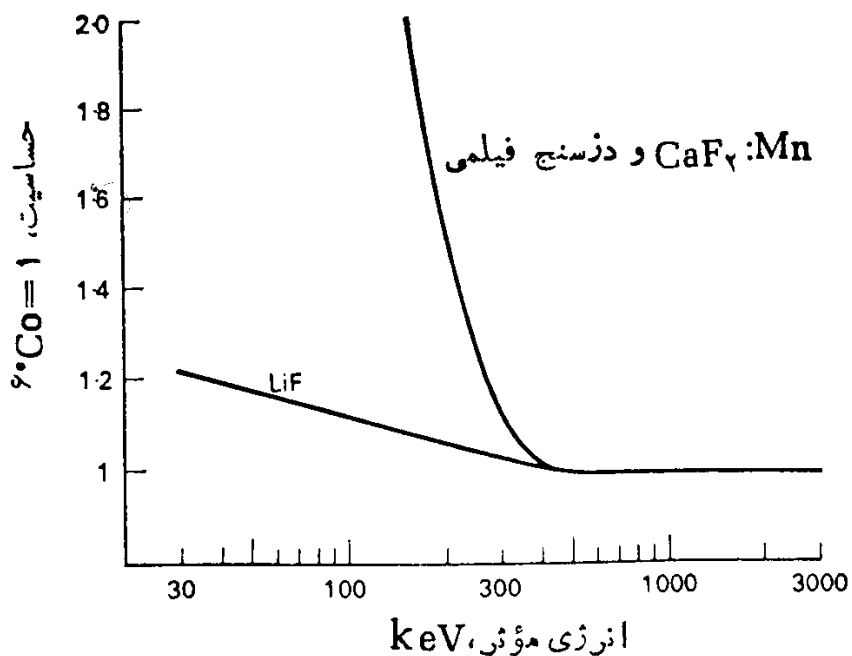


شکل ۲۳.۹ منحنی تابانی LiF که تحت تابش $(1\text{ Gy}) 100\text{ R}$ قرار گرفته است. سطح زیر منحنی با مقدار کل پرتو گیری متناسب است.

دیده و اندازه‌گیری شدت نور گسیل شده بر حسب دما به دست آمده است، نشان می‌دهد. دمایی که در آن شدت نور بیشینه است، معیار انرژی بستگی الکترون به حفره در داخل دام است. وجود بیش از یک قله در منحنی تابانی حاکی از دامهای متفاوت با انرژیهای بستگی مخصوص به آنهاست. مقدار کل نور با تعداد الکترونهای برانگیخته و به دام افتد، و تعداد الکترونهای برانگیخته با مقدار انرژی جذب شده از تابش متناسب است. از این‌رو، شدت نور گسیلیده از بلورهای گرمالیان با دز تابش نسبت مستقیم دارد. در عمل، مقدار بسیار کمی ماده گرمالیان، در حدود 50 mg ، داخل کپسول کوچکی گذاشته می‌شود (شکل ۲۴.۹) و پس از آن تحت تابش قرار می‌گیرد. برای قرائت نتیجه، ماده فسفرسان را به طریق الکتریکی گرم می‌کنند و شدت نور حاصل از آن را با یک لامپ تکثیر فوتونی، که سیگنال خروجی آن پس از تقویت به یک وسیله قرائت مناسب مثل ولت‌سنیج رقمی داده می‌شود، اندازه



شکل ۲۴.۹ دزسنجهای گرمالیان. کپسولهای حاوی LiF در بالا و سمت چپ، کپسولهای حاوی LiF در بالا و سمت راست قرار دارند، اولین کپسول سمت راست از بالا با یک صافی انرژی پایین احاطه شده است. در پایین از چپ به راست به ترتیب قرصهای LiF -تفلون در دو اندازه مختلف و یک قرص CaF_2 به صورت تفلون- Mn ، میله‌های بسیار رین LiF ، و یک رشته بلند تفلون- LiF که از آن میله‌های رین بنیده شده‌اند، دیده می‌شود.



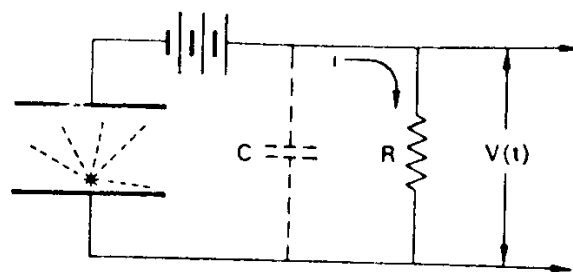
شکل ۲۵.۹ بستگی انرژی LiF در مقایسه با سایر دزسنجهای بدون حفاظت.

می‌گیرند. این وسیله، با اندازه‌گیری شدت نور گسیل شده از فسفرسانهایی که تحت دزهای تابشی معینی قرار گرفته‌اند، مدرج می‌شود. چون شدت نور با مقدار ماده فسفرسان و دز جذب شده متناسب است، مقدار ماده فسفرسان به کار رفته در اندازه‌گیری باید تا حد امکان به مقداری که برای مدرج کردن وسیله به کار رفته است نزدیک باشد.

دزسنجهای گرمالیان در گستره از حدود 10 mGy تا حدود 10000 rad (1000 Gy) در مقابل پرتوهای ایکس، گاما، بتا، الکترونها، و پروتونها از خود حساسیت نشان می‌دهند. چون عدد اتمی مؤثر LiF فسفرسان برآبر 1.8 و عدد اتمی مؤثر بافت نرم در حدود 7.4 است، دزسنجهای گرمالیان نوع LiF تقریباً معادل بافت محسوب می‌شوند. پاسخ هر دزسنج گرمالیان به پرتوهای گاماها با انرژی 100 keV تقریباً مستقل از انرژی است. همان‌طور که در شکل ۲۵.۹ دیده می‌شود، پایینتر از انرژی 100 keV ، حساسیت دزسنج افزایش می‌یابد.

اتاقک جریان یون

چون پاسخ اتاقک جریان یون با مقدار انرژی جذب شده متناسب است، متخصصان فیزیک بهداشت برای اندازه‌گیری دز از این اتاقکها به طور وسیعی استفاده می‌کنند. این اتاقکها اساساً از یک محفظه با دو الکترود تشکیل می‌شوند که یک پتانسیل نسبتاً کم به دو سر آنها اعمال شده است؛ مقدار پتانسیل به قدری کم است که در گاز باعث تکثیر نشود (شکل ۲۶.۹). یونهای حاصل از تابش در اتاقک جمع‌آوری می‌شوند و در مدار خارجی جریان پیدا می‌کنند. از این‌رو، اتاقک یون مثل چشمۀ جریانی با مقاومت داخلی بی‌نهایت عمل می‌کند. اگرچه با قراردادن آمپرسنجی در مدار خارجی می‌توان شدت جریان یونها را اندازه



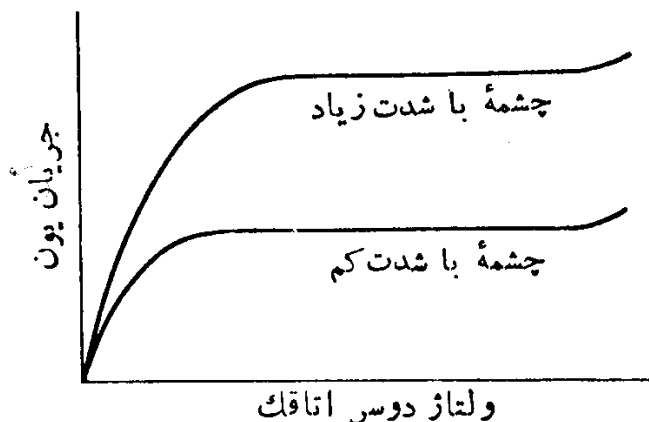
شکل ۲۶.۹ اساس کار اتاقک جریان یون. یونهای حاصل از تابش در اتاقک جمع‌آوری می‌شوند، و جریانی در مدار خارجی تولید می‌کنند. این جریان افت پتانسیل (t) V را در دوسر مقاومت بسیار زیاد R موجب می‌شود. C ظرفیت کل اتاقک است.

گرفت، ولی چون جریان به دست آمده بسیار ضعیف است، در عمل همواره از این روش استفاده نمی‌کنند. در عوض، یک مقاومت بسیار بزرگ از مرتبه 10^{10} اهم در مدار قرار می‌دهند، و با یک الکترومتر بسیار حساس افت پتانسیل را در دوسر مقاومت R تعیین می‌کنند. بر اثر ظرفیت شمارگر و مدار وابسته به آن، C ، ولتاژ دوسر مقاومت پس از بستن مدار طبق معادله زیر بر حسب زمان تغییر می‌کند

$$V(t) = IR(1 - e^{t/RC}) \quad (1.9)$$

که در آن حاصلضرب RC را ثابت زمانی مدار آشکارساز می‌گویند. این مقدار ثابت، سرعت واکنش آشکارساز را تعیین می‌کند. وقتی t برابر RC باشد، نماد در معادله (۱.۹) برابر واحد است و ولتاژ به 36% مقدار نهایی خود می‌رسد. وقتی t از چندین ثابت زمانی بیشتر شود، وسیله اندازه‌گیری مقدار ولتاژ حالت پایایی نهایی را نشان می‌دهد. باید توجه داشت که حساسیت آشکارساز با افزایش مقاومت، زیاد می‌شود. چون ظرفیت آشکارساز ثابت است، بنا بر این در وسایلی که چندین گستره دارند (و این گستره‌ها با تغییر مقدار R حاصل می‌شوند) ثابت زمانی گستره‌های حساستر طولانیتر، و بنا بر این پاسخ آنها نسبت به گستره‌های کمتر حساس کنتر است. ثابت‌های زمانی در وسایلی که در فیزیک بهداشت به کار می‌روند تا حدود 15 ثانیه تغییر می‌کنند، ولی در وسایل آزمایشگاهی که در آنها سرعت پاسخ مهم نیست مقدار این ثابت ممکن است به 150 ثانیه برسد.

هر گاه اتاقک جریان یون در معرض تابش‌های با شدت متفاوت قرار بگیرد و ولتاژ اعمال شده به آن تغییر کند، دسته منحنیهای شکل ۲۷.۹ به دست می‌آید. جریان قسمت تخت منحنیها را جریدان اشباع می‌گویند. هنگامی که اتاقک با ولتاژ قسمت تخت کار می‌کند تمامی یونهای تولید شده در اتاقک گردآوری می‌شوند. در مثال زیر، طرز کار اتاقک جریان یون و این واقعیت که بزرگی پاسخ با انرژی جذب شده متناسب است توضیح داده می‌شود.



شکل ۲۷.۹ تغییر جریان یونش با ولتاژ دوسر اتاق برای سطوح مختلف تابش. قسمت تخت نمودار نشاندهنده جریان اشباع است.

مثال ۳.۹

یک اتاق یونش بزرگ پر از هوا با دریچه‌ای به ضخامت 1 mg/cm^2 مفروض است. (الف) اگر 1200 ذره آلفا از P_0^{210} در هر دقیقه وارد این اتاق شود، جریان یونهای تولید شده چقدر است؟ (ب) در صورتی که ضخامت دریچه به 3 mg/cm^2 افزایش یابد شدت جریان یونها چقدر خواهد شد؟

حل: شدت جریان یونهای تولید شده در اتاق از معادله زیر به دست می‌آید

$$I = \frac{N \times 10^{-19} C / s \times \bar{E} \text{ eV} / \text{ذره}}{w \text{ eV}} \quad (9.9)$$

(الف) انرژی ذره آلفا پس از ورود به اتاق از طریق دریچه برابر است با اختلاف میان انرژی جنبشی اولیه، یعنی MeV 3.5 ، و انرژی تلف شده ضمن عبور از دریچه. با فرض اینکه توان ایستانندگی دریچه پلاستیکی معادل توان ایستانندگی بافت باشد، با استفاده از معادلات (14.05) و (16.05) بر ذره آلفای MeV 3.5 را در پلاستیکی که دریچه از آن ساخته شده است برابر 1 mg/cm^2 1.5 به دست می‌آوریم. بنابراین انرژی جنبشی ذره پس از عبور از دریچه‌ای به مخصوصات 1 mg/cm^2 1 mg/cm^2 برابر خواهد بود با

$$\frac{5.5 - 1.5}{5.5} = 0.425 MeV$$

و جریان یونهای حاصل از معادله (9.9) برابر است با

$$I = \frac{1.5 \times 10^2 \alpha / \text{min} \times 0.425 \times 10^9 \text{ eV} / \alpha \times 10^{-19} C / s}{60 \text{ s} / \text{min} \times 35 \text{ eV}} \\ = 3.9 \times 10^{-13} A$$

(ب) اگر ضخامت دریچه به 3 mg/cm^2 افزایش یابد، انرژی ذره آلفایی که

به اتفاق یونش وارد می‌شود برابر است با

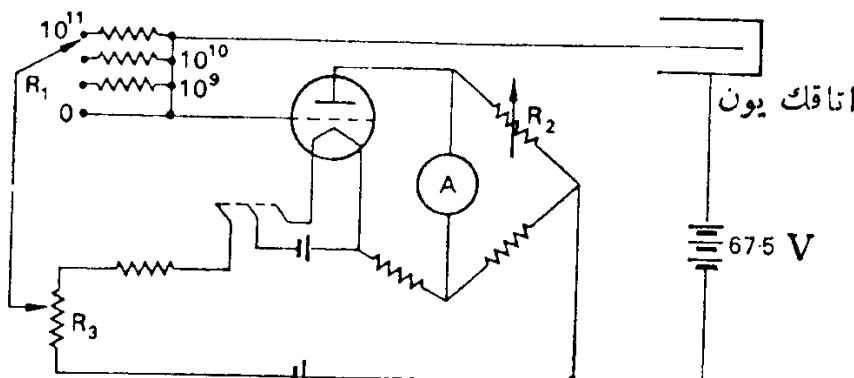
$$\frac{5}{5 \times 10^{-3}} = 218 \text{ MeV}$$

و جریان یونی حاصل فقط برابر با $A = 10^{-13} \times 2 \times 10^{13}$ خواهد شد. لازم به یادآوری است که در هر دو مورد ذرات آلفا با آهنگ یکسان وارد اتفاق یون می‌شوند. بنابراین، اگر تپهای منفرد شمارش شوند، آهنگ شمارش در هر دو مورد یکسان خواهد بود.

با توجه به ملاحظات الکترونیکی، مدار اصلی اتفاق یونش به صورت پل و تستون است (شکل ۲۸.۹)، و یک لامپ الکترومتر به عنوان یک مقاومت یکی از بازوهای آن را تشکیل می‌دهد. شبکه این لامپ به یکی از الکترودهای اتفاق یونش وصل شده است. بعد از اینکه جریان اتفاق یونش به صورت موازی از کنار پل گذشت، پل به حالت تعادل می‌رسد. با وصل کلید اتفاق یونش و برقراری جریان یون در مقاومت R_1 ، ولتاژ شبکه لامپ الکترومتر تغییر می‌کند و پل از حالت تعادل خارج و در نتیجه عقربه میکروآمپرسنج منحرف می‌شود. مقدار انحراف عقربه آمپرسنج با ولتاژ سیگنال اعمال شده به شبکه لامپ، و این ولتاژ به نوبه خود با جریان یون، و جریان یون با آهنگ دز تابش مناسب است. به دلیل مشخصه‌های مدار، ولتاژ سیگنال ورودی به پل باید در حدود ۱ ولت باشد. جریان اتفاق معمولاً خیلی ضعیف است. شدت جریان یون که به حجم اتفاق، V ، چگالی هوا، ρ ، و آهنگ پرتودهی X بستگی دارد، از رابطه زیر بدست می‌آید

$$i = \frac{V \text{ cm}^3 \times \rho \text{ kg/cm}^3 \times X \mu \text{ C/kg} \cdot \text{h} \times 10^{-6} \text{ A}/\mu \text{ C.s}}{36 \times 10^3 \text{ s/h}} \quad (10.9)$$

در اتفاقی به حجم 400 cm^3 که از هوای معمولی پر شده باشد و با آهنگ پرتودهی $(25 \text{ mR/h})/(25 \mu \text{ C}/(\text{kg} \cdot \text{h}))$ در این قرار گیرد، جریان یونها بنا بر معادله (۱۰.۹) برابر $A = 10^{-13} \times 2 \times 10^{13}$ می‌آید. برای اینکه با این جریان افت ولتاژ دوسر



شکل ۲۸.۹ نموداری از مدار اسباب اندازه‌گیری اتفاق یونش. با تنظیم R_2 و R_3 صفر شدن R_1 پل به تعادل می‌رسد. R_2 معمولاً در داخل جعبه قرار دارد و R_3 دکمه «صفر» است.

مقاومت برابر ۱ ولت شود، مقاومتی در حدود 10^{11} اهم لازم است. هرگاه این مقاومت به جای R_1 در حساسترین گستره اسباب به کار رود، برای اینکه اندازه گیریهای تمام-مقیاس، آهنگ دز 10 و 100 برابر را نشان دهنند مقاومتها بی بهتر ترتیب برابر 10^0 و 10^9 اهم لازم خواهیم داشت. برای اینکه مقاومت تغییر نکند، باید این مقاومتها خیلی بزرگ در داخل شیشه سربسته قرار بگیرند. تماس دست یا آلوهه شدن اتصالات، یا هر عاملی که مقاومت میان شبکه و آند یا مقاومت میان شبکه و کاتد را کم کند، تأثیر خیلی زیادی بر حساسیت اسباب می‌گذارد. بنابراین، هنگام تعمیر باید نهایت دقت به عمل آید تا مقاومتهای مدار الکترومتر تغییر نکنند.

بعضی از اسبابهای اتفاق نوچونو، طوری ساخته شده‌اند که به طور گزینشی به تابش آلفا، بتا، گاما و بعضی دیگر، مثل اتفاق نوع کوتی پی، به پرتوهای گاما و بتا پاسخ می‌دهند. محدوده اندازه گیری آهنگ دز اتفاق یونشی تا چند صد $\mu\text{C}/(\text{kg} \cdot \text{h})$ (یا چندهزار mR بر ساعت) می‌رسد که معمولاً در سه گستره قرار دارد. قرائتهای تمام-مقیاس 6000 ، 2500 و 250 mR/h ($6000 \mu\text{C}/(\text{kg} \cdot \text{h})$) تابش گاما را می‌توان به عنوان نمونه در نظر گرفت. اما وسائل اتفاق یونشی با حساسیت کمتر و همچنین انواع با حساسیت بیشتر نیز در بازار یافت می‌شود.

اندازه گیریهای نوترون

واکنشهای آشکارسازی

نوترونها هم مثل پرتوهای گاما، به طور مستقیم یوننده نیستند و باید با محیط دیگری واکنش کنند تا ذره یوننده اولیه تولید شود. بدلیل بستگی شدید آهنگ واکنش نوترون به سطح مقطع هرو واکنش خاص، یا بسته به انرژی نوترونها بی که می‌خواهیم اندازه گیریم محیطهای آشکارسازی متفاوتی را به کار می‌بریم، یا توزیع انرژی نوترون را طوری تغییر می‌دهیم که با آشکارساز سازگار باشد. اکنون بعضی از واکنشهای اساسی آشکارسازی نوترون را که در فیزیک بهداشت به کار می‌روند توضیح می‌دهیم.

۱. واکنش $\text{Li}^7(\alpha, n)^7\text{B}$. بورکه ممکن است فراوانی ایزوتوپ B^{10} در آن غنی شود، یا به صورت گاز BF_3 وارد شمارگر می‌شود یا به صورت لایه نازکی در سطوح داخلی لامپ آشکارساز قرار می‌گیرد. یونش حاصل از ذره آلفای تولید شده و هسته پس زده Li^7 شمارش می‌شود.

۲. پراکندگی کشسان نوترونهای پرانرژی توسط اتمهای هیدروژن. پروتونهای پراکنده، همان ذرات یوننده اولیه هستند و یونشی که تولید می‌کنند آشکارسازی و اندازه گیری می‌شود.

۳. شکافت هسته‌ای، یا تولید شکافت پاره‌ها از طریق واکنش (f, n) در ماده شکاف. ماده شکافا به صورت لایه بسیار نازکی روی سطح داخلی لامپ شمارگر را بوب

داده می‌شود. گیراندازی نوترون و شکافته شدن هسته شکافا، شکافت پاره‌های با قدرت یونندگی بالا تولید می‌کند که به راحتی قابل آشکارسازی‌اند. واکنشهای شکافت تابع انرژی هستند، و برای بعضی از ایزوتوپهای شکافت پذیر انرژی آستانه وجود دارد که پایینتر از آن فرایند شکافت به وقوع نمی‌پیوندد.

۴. فعالسازی نوترونی: آشکارسازی آستانه‌ای. بسیاری از واکنشهای نوترونی ایزوتوبهای پرتوزا تولید می‌کنند. میزان پرتوزا بی حاصل از واکنشهای نوترون به مقدار پرتودهی کل نوترون بستگی دارد. با اندازه گیری فعالیت پرتوزا بی حاصل و منظور کردن زمان واپاشی میان پرتودهی و اندازه گیری، می‌توان پرتودهی کل نوترون را محاسبه کرد. وانگهی، چون بسیاری از این واکنشهای فعالسازی آستانه انرژی دارند، می‌توان از آنها برای تعیین توزیع انرژی نوترون نیز استفاده کرد. در جدولهای ۳.۹ و ۴.۹ فهرست موادی که معمولاً برای این منظور به کار می‌روند آمده است. این تکنیک مخصوصاً برای اندازه گیری ذر نوترون با آهنگهای بسیار زیاد، نظیر آنچه در حادثه بحرانیت رخ می‌دهد مفید است. (حادثه بحرانیت عبارت است از یک واکنش زنجیره‌ای کنترل نشده نصادفی که در آن در مدت زمان بسیار کوتاهی مقدار فوق العاده زیادی انرژی آزاد می‌شود.) برای

جدول ۳.۹ واکنشهای برگه‌های مختلف با نوترونهای گرمایی.

ماده برگه	هسته هدف	درصد فراوانی هدف*	واکنش هسته‌ای	هسته محصول	نیمه عمر محصول	سطح مقطع فعالسازی (بارن)
Ag	Ag-107	51.35	n, γ	Ag-108	2.3 m	44
Ag	Ag-109	48.65	n, γ	Ag-110	25 s	110
In-In-Al	In-115	95.77	n, γ	In-116 m	54 m	145
(طبیعی) U	U-235	.715	n, f	F.P.	T \sim 1.2	582
Dy-Al	Dy-164	28.18	n, γ	Dy-165	2.32 h	2100
V	V-51	99.76	n, γ	V-52	3.77 m	4.5
Mn-Cu	Mn-55	80.00	n, γ	Mn-56	2.56 h	13.4
Cu	Cu-63	69.1	n, γ	Cu-64	12.8 h	4.3
Cu	Cu-65	30.9	n, γ	Cu-66	5.1 m	1.8
Al	Al-27	100	n, γ	Al-28	2.3 m	0.21
Au,Au-Al	Au-197	100	n, γ	Au-198	2.7 d	96
Rh	Rh-103	100	n, γ	Rh-104 m	4.4 m	12
Rh	Rh-103	100	n, γ	Rh-104	44 sec	140
Co,Co-Al	Co-59	100	n, γ	Co-60	5.27 y	36.3
NaCl	Na-23	100	n, γ	Na-24	15 h	0.53
Lu-Al	Lu-175	97.5	n, γ	Lu-176 m	3.7 h	35
B-Al	B-10	19.6	n, α	Li-7	پایدار	4010
Eu-Al	Eu-151	47.77	n, γ	Eu-152	9.2 h	1400
Pb	Pb-208	52.3	n, γ	Pb-209	3.2 h	.06 mb
Nb	Nb-93	100	n, γ	Nb-94 m	6.6 m	1.0

* این اطلاعات برای آلیازها یا مواد منکب تنظیم نشده است. این جدول برای مفهودترین واکنشهای نوترون گرمایی گردآوری شده است.

جدول ۴.۹ واکنشهای آستانه‌ای برگه‌های مختلف.

آستانه ستانه	فعالسازی (MeV)	سطح مقطع مؤثر	نیمه عمر محصول	هرسته محصول	واکنش هسته‌ای	درصد فراوانی هدف*	هسته هدف ماده برگه
Ni	Ni-58	67.76	n,p	Co-58	71.3 d	.42	2.9
Fe	Fe-54	5.84	n,p	Mn-54	314 d	.61	~3
Fe	Fe-56	91.68	n,p	Mn-56	2.58 h	.110	7.5
Ti	Ti-46	7.95	n,p	Sc-46	84.1 d	.23	5.5
$S, (NH_4)_2SO_4$	S-32	95.018	n,p	P-32	14.3 d	.30	2.9
Mg	Mg-24	78.60	n,p	Na-24	15 h	.060	6.3
Al	Al-27	100.0	n, α	Na-24	15 h	.130	8.7
Zr	Zr-90	51.46	n,2n	Zr-89	3.3 d	1.6	14.0
In,In-Al	In-115	95.77	n,n'	In-115 m	4.5 h	0.2	1.0
NH_4I	I-127	100.0	n,2n	I-126	13.3 d	.98	11.0
V	V-51	99.76	n, α	Sc-48	44 h	.08 mb	11.5
Th	Th-232	100.0	n, f	Mo-99	66 h	.060	1.75
U (.415%)	U-238	.415	n, f	Mo-99	66 h	0.55	1.45
U (378 ppm)	U-238	.0378	n, f	Mo-99	66 h	0.55	1.45
Si-Al	Si-28	92.27	n,p	Al-28	2.3 m	.004	6.7

* این اطلاعات برای آلیاژها یا مواد منکب تنظیم نشده است. این جدول برای مفیدترین واکنشهای آستانه‌ای نوترونها گردآوری شده است.

اندازه گیری شارهای زیاد نوترون در فیزیک بهداشت، تعدادی آشکارساز آستانه‌ای با انرژیهای آستانه مختلف به صورت یک واحد بسته بندی شده مورد استفاده قرار می‌گیرند. پرتودهی با نوترونها موجب فعال شدن آشکارسازها می‌شود. چون فعالیت الفایی در آشکارسازهای آستانه‌ای به شار نوترونها بستگی دارد که انرژی شان از انرژی آستانه بیشتر است، آهنگهای نسبی شمارش آشکارسازهای آستانه‌ای، پس از پرتودهی، به عنوان معیار توزیع طیفی نوترونها به کار می‌رود، در حالی که فعالیت مطلق آشکارساز معیاری از پرتودهی است. از مواد مختلفی می‌توان به عنوان آشکارساز آستانه‌ای استفاده کرد. در یک نوع دزسنج جیبی بحرانیت (شکل ۲۹.۹) ترکیبی از برگه‌های اندیم، اندیم با روکش کادمیم، طلا، طلا با روکش کادمیم، گوگرد، و مس با روکش کادمیم به کار می‌رود. با مقایسه نتایج فعالیت در هر کدام از این برگه‌ها می‌توان طیف نوترون را به بازه‌های مختلف انرژی به صورت زیر تجزیه کرد:

۴۰ eV - انرژی گرمایی

۴۰ eV - ۲ eV

۲ eV - ۱۰ eV

۱۰ eV - ۱ MeV

۱ MeV - ۲۹ MeV

انرژیهای بالاتر از ۲۹ MeV

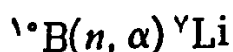


شکل ۲۹.۹ دزسنج جیبی بحرانیت برای اندازه‌گیری شارهای نوترونی. در داخل این دزسنج شش پرگاه مختلف وجود دارد که پرتو زایی القایی آنها، بعد از پرتو گیری از نوترونها، به انرژی و فراوانی نسبی نوترونها بستگی دارد.

از این رو، شارکل نوترون به شش گروه انرژی تقسیم می‌شود، و از این طریق یک راه حل نسبتاً دقیق برای محاسبه دز جذب شده به دست می‌آید. آشکارسازهای آستانه‌ای با پرتو گیری از یک باریکه مشخص نوترون، و اندازه‌گیری فعالیت القایی حاصل مدرج می‌شوند. (برای اندازه‌گیری پرتو دهی گامای ناشی از یک حادثه بحرانی، یک دزسنج گرمایان را نیز می‌توان اضافه کرد.)

شمارش نوترون با شمارگر تناسبی
شمارش در ناحیه تناسبی، اندازه‌گیری نوترونها را در حضور تابش گاما تسهیل می‌کند.

شمارگر نوترونی که برای این منظور بسیار می‌رسد از گاز BF_3 برای حصول واکنش (n, α) در بور B^{10} استفاده می‌کند



سطح مقطع بور ۱۵ برای این واکنش بسیار بالاست (۴۵۱۰ باره برای نوترونهای گرمایی) و در نتیجه یک محیط آشکارسازی بسیار حساس تولید می‌شود. ذرات آلفای حاصل از این واکنش در درون آشکارساز تولید می‌شوند، به دلیل اختلاف زیادی که میان تپهای خروجی حاصل از ذرات آلفا و یونهای Li و تپهای حاصل از پرتوهای گاما وجود دارد، تمامی تپهای حاصل از گیراندازی نوترون در B^{10} به استثنای تپهای آلفا و یونهای Li را به راحتی می‌توان به روش الکترونیکی جدا و از شمارش خارج کرد.

حساسیت آشکارساز نوترون BF_3 را می‌توان با استفاده از گاز BF_3 غنی شده از B^{10} افزایش داد. نسبت B^{10} در بور طبیعی در حدود ۸۹٪ است. اما می‌توان ایزوتوپهای B^{10} را به حدی افزایش داد که گاز BF_3 حاوی $B^{10} 96\%$ به راحتی در اختیار فروشنده‌گان قرار بگیرد. شمارگر BF_3 یک آشکارساز ساده و حساس برای نوترونهای گرمایی است و در فیزیک بهداشت برای اندازه‌گیری شار نوترون گرمایی به طور وسیع به کار می‌رود. وانگهای، چون 100 mrem در هفته با $685 \text{ نوترون گرمایی}$ بر سانتی‌متر مربع بر ثانیه در ۴۵ ساعت متناظر است، اندازه‌گیری آهنگ دز را می‌توان به راحتی به آهنگ شمارش یک شمارگر مدرج با شار نوترون تبدیل کرد.

سطح مقطع گیراندازی واکنش $\text{Li}^7(n, \alpha)^7\text{Be}$ و بنا بر این آهنگ شمارش هر آشکارساز BF_3 به انرژی نوترون بستگی دارد. یک شار نوترون گرمایی ϕ نوترون بر سانتی‌متر مربع بر ثانیه با توزیع انرژی ماسکول - بولتزمن را با یک شمارگر BF_3 که در مجموع شامل $N \text{ Atm}$ B^{10} است در نظر بگیرید. اگر جذب نوترون در دیواره شمارگر ناچیز و بازده ذاتی شمارش ۱۵۵٪ باشد، آهنگ شمارش از رابطه زیر به دست می‌آید

$$CR = N \int \phi(v) \sigma(v) dv \quad (11.9)$$

که در آن $\phi(v)$ شار نوترونها بی با سرعت v ، و $\sigma(v)$ سطح مقطع گیراندازی برای نوترونهای با همان سرعت است. با به کار بردن رابطه $\phi(v) = n(v) v$ که در آن $n(v)$ چگالی نوترونهای با سرعت $v \text{ cm/s}$ بر حسب نوترون بر سانتی‌متر مکعب است؛ و با استفاده از معادله (۵۳.۵) و قراردادن $\sigma(v) = \sigma_0(v/v_0)$ در معادله (۱۱.۹) داریم

$$CR = N \sigma_0 v_0 \int n(v) dv \quad (12.9)$$

$$CR = N \sigma_0 v_0 n \quad (13.9)$$

از معادله (۱۳.۹) معلوم می‌شود که آهنگ شمارش هر شمارگر BF_3 با چگالی کل

نوترونها در گستره اعتبار قانون $v/n = 1/1000 \text{ eV}$ (تا حدود 1000 eV) متناسب است. اگر میانگین سرعت نوترون (که باید با سرعت متناظر با میانگین انرژی نوترون اشتباہ شود) \bar{v} باشد، داریم

$$\phi = n\bar{v} \quad (14.9)$$

یا $n = \phi/\bar{v}$. با قراردادن این مقدار n در معادله (۱۳.۹) و حل آن بر حسب ϕ نتیجه می‌شود

$$\phi = \frac{\bar{v}}{v_0} \times \frac{CR}{N\sigma_0} \quad (15.9)$$

در توزیع ماکسول-بولتزمن داریم $v_0 = \sqrt{2\pi} = 2\sqrt{\pi} = 1128 \text{ cm/s}$. بنا بر این برای نوترونها گرمایی، رابطه شار و آهنگ شمارش به صورت زیراست

$$\phi = \frac{1128}{N\sigma_0} \times CR \quad (16.9)$$

۴.۹ مثال

آهنگ شمارش نوترونها گرمایی در یک اندازه‌گیری با شمارگر BF_3 که ابعاد داخلی آن 20 cm (بلندی) در 2 cm (قطر) است و با 10^6 cmHg غنی‌شده در فشار پر شده است، برابر $6 \times 10^{-4} \text{ mol}$ به دست آمده است. شار گرمایی آن چقدر است؟ حجم شمارگر برابر $\frac{4}{3}\pi r^3 l = 4283 \text{ cm}^3$ است. تعداد مول‌های BF_3 در این شمارگر برابر است با

$$m = \frac{PV}{RT} = \frac{20/76 \text{ atm} \times 0.062831}{0.00821 \text{ atm/mol K} \times 200 \text{ K}} = 672 \times 10^{-4} \text{ mol}$$

تعداد اتم‌های ^{10}B در شمارگر از رابطه زیر به دست می‌آید

$$N = \frac{10^6 \text{ اتم}}{\text{مولکول}} \times 6 \times 10^23 \times 672 \times 10^{-4} \text{ mol} \\ = 3.89 \times 10^{20} \text{ اتم}$$

از معادله (۱۶.۹) خواهیم داشت

$$\phi = \frac{1128}{3.89 \times 10^{20} \text{ atom} \times 4.01 \times 10^{-21} \text{ cm}^2/\text{atom}} \times 10 \frac{\text{شمارش}}{\text{s}} \\ = 7.2 \frac{\text{nootron}}{\text{cm}^2 \cdot \text{s}}$$

حساسیت هر آشکارساز تابش را می‌توان به صورت زیر تعریف کرد

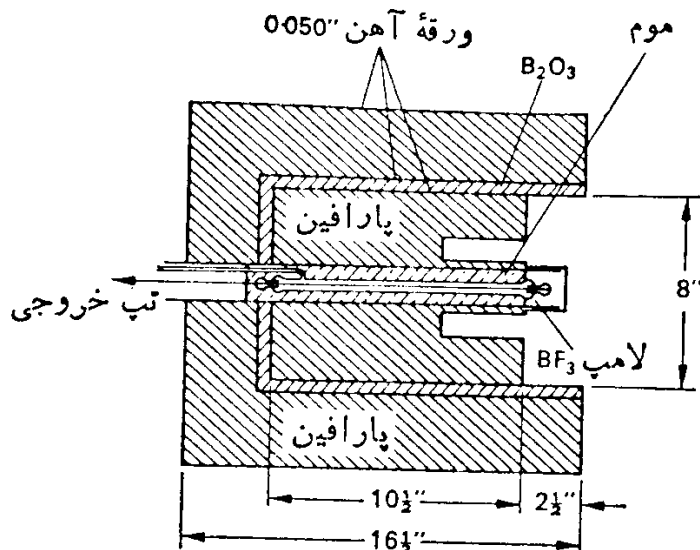
$$\frac{\text{آهنگ شمارش}}{\text{شار}} = \text{حساسیت} \quad (17.9)$$

حساسیت، S ، شمارگر BF_3 در این مثال به صورت زیر محاسبه می‌شود

$$S = \frac{CR}{\phi} = \frac{600 \text{ cpm}}{772 \text{ n/cm}^2 \cdot \text{s}} = 83 \text{ r}^3 \frac{\text{cpm}}{\text{n/cm}^2 \cdot \text{s}}$$

شمارگر طویل

شمارگر BF_3 اگر با پارافین یا کندساز دیگری احاطه شود، می‌تواند برای نوترونهای تند نیز قابل استفاده باشد. کندساز نوترونهای تند را آنقدر کند که B^{10} آنها را گیر اندازی کند. آهنگ شمارش شمارگر کندساز BF_3 در میدان نوترونهای تند با افزایش ضخامت کندساز زیاد می‌شود، و این عمل تا هنگامی که ضخامت پارافین به حدی برسد که کسر عمدای از نوترونهای گرمایی شده را جذب کند ادامه می‌یابد. فراتر از این ضخامت بهینه، آهنگ شمارش با افزایش بیشتر ضخامت کاهش می‌یابد. ضخامت دقیق مورد نیاز به انرژی نوترونها بستگی دارد. اگر ضخامت پارافین کندساز در حدود 6 cm باشد، به یک پاسخ تقریباً تخت در گسترهای از انرژی نوترون از حدود 10 keV تا بیشتر از 1 MeV منجر می‌شود. رویه بیرونی پارافین را می‌توان با ورقه نازکی از کادمیم پوشاند تا نوترونهای گرمایی را جذب کند و به نوترونهای تند اجازه بدهد که وارد پارافین شوند. تابش گیراندازی حاصل از جذب نوترونهای گرمایی در کادمیم، تپهای بسیار کوچکی در شمارگر تولید می‌کنند، ولی این تپهای آنقدر کوچک اند که در دستگاه ممیز جدا و از شمارش خارج خواهد شد. این شمارگر BF_3 را که در پارافین قرار دارد، به دلیل پاسخ طولانی مستقل از انرژی آن، شمارگر طویل می‌گویند، و در فیزیک بهداشت در گستره انسرژی از 10 keV تا 500 keV مفیدترین وسیله به شمار می‌رود. اندازه گیری نوترونهای با انرژیهای بیشتر به کمک شمارگر BF_3 مستلزم مقدار نسبتاً زیادی پارافین برای کند کردن نوترونهای است، و از این رو استفاده از آن در بسیاری کاربردهای فیزیک بهداشت غیر علمی است. یکی از این شمارگرها را که طبق گزارش از گستره 10 keV تا 5 MeV پاسخ نسبتاً یکنواختی دارد، در شکل ۳۰.۹ نشان داده ایم. پاسخ این شمارگر کاملاً جهتی است و طوری ساخته شده است که فقط نوترونهایی که ازوجه قدامی شمارگر می‌آیند اندازه گیری می‌شوند. لایه بیرونی پارافین که بعد از Br_{2}O_3 قرار دارد همانند یک حفاظ نوترونهایی را که از جهات خلفی می‌آیند حذف می‌کند. نوترونهای کم انرژی، بعد از گرمایی شدن، می‌توانند از طریق هشت حفره موجود در وجه قدامی به لامپ آشکارساز برسند. حساسیت این شمارگر تقریباً برابر ۱ شمارش در ثانیه به ازای هر نوترون در سانتی متر مربع است.



شکل ۳۰.۹ نمودار یک شمارگر طویل که پاسخ آن در گستره از 5 keV تا 10 MeV تقریباً یکنواخت است.

شمارگر پروتون پس زنی

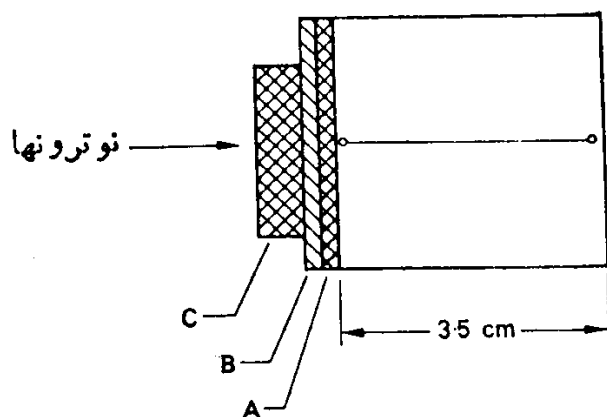
از هر شمارگر تناسبی که بتواند به پروتونهای پس زنی حاصل از برخورد نوترونهای تند با اتمهای هیدروژن پاسخ دهد می‌توان برای آشکارسازی نوترونهایی که انرژی آنها از 500 keV بیشتر باشد استفاده کرد. (پائینتر از این انرژی تپهای خروجی شمارگر خیلی ضعیف هستند و ثبت آنها مستلزم تقویت خیلی زیادی است.) چنین شمارگری را می‌توان به راحتی با استفاده از یک گاز هیدروژنی، مسانند متان، تهییه کرد. این شمارگر را با ورقه نازکی از کادمیم می‌پوشانند تا نوترونهای گرمایی را جذب و از تشکیل تپهای ناشی از دو نوترونی پس زنی که بعد از جذب نوترونهای گرمایی به وسیله هیدروژن تولید می‌شود، جلوگیری کند. مواد هیدروژنی هم ممکن است مثل پارافین یا پلی اتیلن جامد باشد و در دیواره شمارگر به کار رود. نوترونهای تند پروتونها را از این گونه جامدات خارج می‌کنند و پروتونها انرژی خود را در گاز شمارگر از دست می‌دهند. ماده هیدروژنی را وقتی که به عنوان چشممه پروتون به کار می‌رود، «تابشگر پروتون» می‌گویند. حساسیت شمارگر پروتون پس زنی در برابر نوترونهای تند خیلی کمتر از حساسیت شمارگر BF_3 در مقابله نوترونهای گرمایی است. این امر دو دلیل دارد: اول اینکه سطح مقطع هیدروژن برای پراکندگی نوترونهای تند خیلی کمتر از سطح مقطع گیراندازی B° بسیار نوترون کنداست، و دوم اینکه بخش بزرگی از توزیع انرژی پروتونها را پروتونهای کم انرژی تشکیل می‌دهد. برای نوترونهای تا انرژی حدود 10 MeV پراکندگی نوترون همسانگر داست. این گفته به این معنی است که انرژی پروتون پراکنده می‌تواند از صفر تا انرژی اولیه نوترون تغییر کند. بنابراین، تپهای حاصل از پروتونهایی که در جریان برخورد انرژی زیادی به آنها نمی‌رسد به خاطر پیش‌ولت معکوس تابش گاما شمارش نمی‌شوند. بالاتر از این آستانه، پاسخ شمارگر تناسبی پروتون پس زنی عمدهاً بستگی به سطح مقطع پراکندگی هیدروژن دارد که آن‌هم وابسته به انرژی است.

دزسنجی نوترون

دز معادل (DE) نوترونها، همان طور که در جدول ۵.۹ دیده می شود، شدیداً به انرژی نوترونها بستگی دارد. بنا بر این نمی توانیم به راحتی شار نوترون را به دز معادل تبدیل کنیم، مگر اینکه طیف توزیع انرژی نوترونها را بدانیم. البته توزیع انرژی نوترونها گرمایی خالص معلوم است، و بنا بر این شمار گر BF_3 را می توان مستقیماً بر حسب میلی رم در ساعت مدرج کرد. ولی برای نوترونهای پرانرژی نه شمار گر طویل کند شده با BF_3 ، با آن پاسخ «تخت» و مستقل از انرژی اش، و نه شمار گر ساده و تناسبی پروتون پس زنی، که پاسخ آن شدیداً به سطح مقطع پراکندگی وابسته است، برای دزسنجی نوترونها تناسب نیستند.

نوترونهای تندر: شمار گر هرست

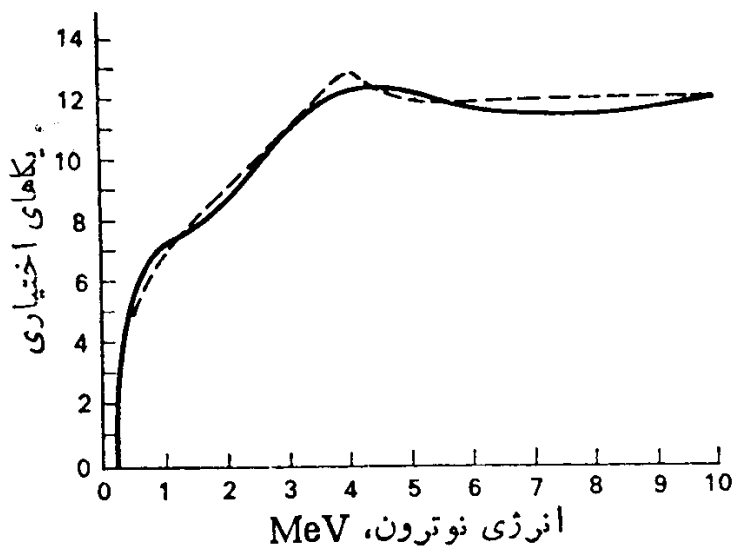
شمار گر تناسبی پروتون پس زنی را می توان با تغییراتی برای اندازه گیری آهنگ دز نوترونها تندر مورد استفاده قرارداد. با استفاده از ترکیبی از تا بشگرهای مختلف پروتون و گازهای پر کننده، آن طور که در شکل ساده ۳۱.۹ دیده می شود، توزیع انرژی پروتونها پس زنی که وارد قسمت گازی شمار گر تناسبی می شوند به گونه ای است که آهنگ شمارش حاصل با تغییرات دزقابل جذب در بافت بر حسب انرژی نوترون مناسب می شود. بنا بر این، آهنگ شمارش حاصل از شمار گر تناسبی را می توان بر حسب میلی راد در ساعت برای نوترونها تندر مدرج کرد. در شکل ۳۲.۹ بستگی دز به انرژی را با پاسخ دزسنج آهنگ شمارش مقایسه کرده ایم. دزسنجهای نوترونها تندر که نسبت به گاما حساس نیستند و



شکل ۳۱.۹ نمودار ساده ای از دزسنج آهنگ شمارش نوترونها تندر. (A) پارافین (13 mg/cm^2), (B) آلومینیم (29 mg/cm^2), (C) پارافین (100 mg/cm^2). برابر نسبت مساحتی پارافین ($a_B/a_C = 2.9$) است. فشار گاز هتان برابر 30 cm Hg است. پاسخ شمار گر کاملاً جهتی است و همان طور که در شکل نشان داده شده است باید به طرف باریکه نوترون تنظیم شود.

جدول ۵.۹ میانگین ضریب کیفیت و شار نوترونها که با دز (۱ mSv (۱۰۰ mrem) در ۴۰ ساعت کار در هفته متناظر است.

چگالی شار نوترون (cm ⁻² s ⁻¹)	\overline{QF}	انرژی نوترون (MeV)
۶۸۰	۲	۲۰۵×10^{-۳} (گرمایی)
۶۸۰	۲	۱×10^{-۷}
۵۶۰	۲	۱×10^{-۶}
۵۶۰	۲	۱×10^{-۵}
۵۸۰	۲	۱×10^{-۴}
۶۸۰	۲	۱×10^{-۳}
۷۰۰	۲۰۵	۱×10^{-۲}
۱۱۵	۲۰۵	۱×10^{-۱}
۲۷	۱۱	۵×10^{-۱}
۱۹	۱۱	۱
۲۰	۹	۲۰۵
۱۶	۸	۵
۱۷	۷	۷
۱۷	۶۰۵	۱۰
۱۲	۲۰۵	۱۴
۱۱	۸	۲۰
۱۰	۷	۴۰
۱۱	۵۰۵	۶۰
۱۲	۴	۱×10^۲
۱۳	۳۰۵	۲×10^۲
۱۱	۳۰۵	۳×10^۲
۱۰	۳۰۵	۴×10^۲



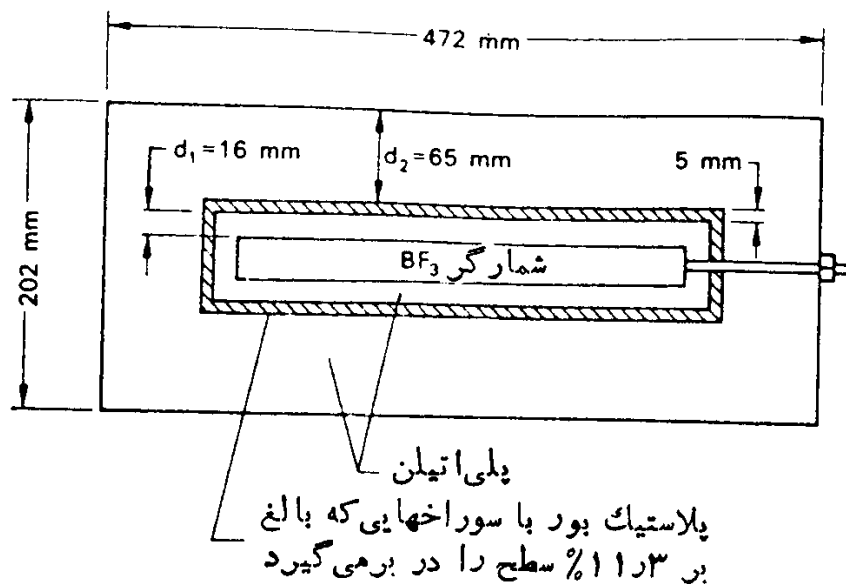
شکل ۳۲.۹ دا بستگی انرژی پاسخ دزسنج آهنگ شمارش هست برای نوترونهای تند. منحنی پررنگ رابطه میان آهنگ شمارش برای شار واحد و انرژی نوترون را نشان می‌دهد. منحنی خطچین آهنگ‌دز متناظر به شار واحد را بر حسب انرژی نوترون نمایش می‌دهد.

بر اساس این اصل طراحی شده‌اند در بازار یافت می‌شوند. این دزسنجها، به دلیل همین نوع طراحی، فقط برای اندازه‌گیری نوترونها در گستره انرژی از ۴ درجه تا ۱۴ MeV دارند. تمامی شمارش‌های ناشی از نوترونهای با انرژی کمتر از ۲ MeV به کمک دستگاه‌های ممیزی که برای تعیین پاسخ صحیح دز به کار می‌روند، حذف می‌شوند. پاسخ این دزسنجها نوترون تند، در بالاتر از ۱۴ MeV، با آهنگ دز جذب شده متناسب نیست.

اسباب اندازه‌گیری دز معادل نوترونهای گرمایی و تند

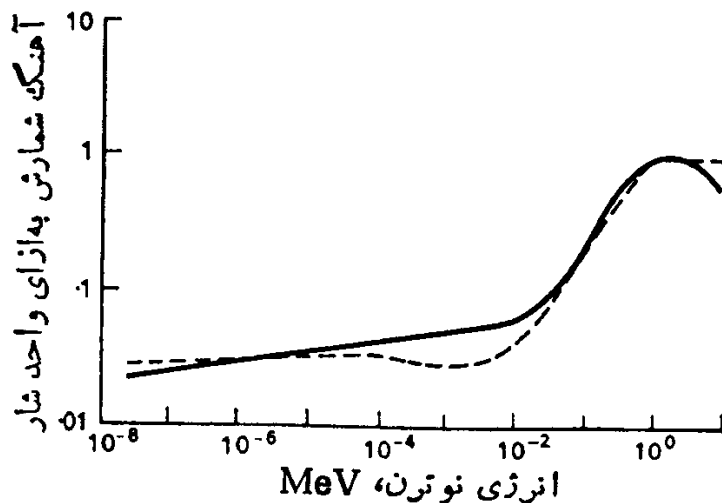
با پوشاندن یک شمارگر تناوبی BF_3 ، به وسیله دولایه استوانه‌ای از کندساز پلی‌اتیلن که با پلاستیکی از جنس بود از هم جدا شده‌اند (شکل ۳۳.۹)، می‌توان یک شمارگر نوترونی که آهنگ شمارش آن با دز معادل در گستره انرژی $25 \times 10^6 \text{ eV}$ تا 10 MeV متناسب است تهیه کرد. قاعده‌های استوانه‌ها از جنس خود استوانه هستند. طرح این شمارگر مبتنی بر این فرضهای ساده است که تمامی نوترونهایی که هنگام ورود به شمارگر نخستین بدخوردشان با لایه خارجی پلی‌اتیلن است در حفاظ پلاستیکی جذب می‌شوند و به مرحله آشکارسازی نمی‌رسند، و تمامی نوترونهایی که نخستین بدخوردشان با لایه داخلی پلی‌اتیلن است با احتمال k آشکارسازی می‌شوند. بر اساس این فرضهای احتمال تولید یک تپ در اثر نوترونی با انرژی E که عمود بر محور طولی شمارگر فرود می‌آید با معادله زیر داده می‌شود

$$P = k e^{-\Sigma(E)d_2} (1 - e^{-\Sigma(E)d_1}) \quad (18.9)$$

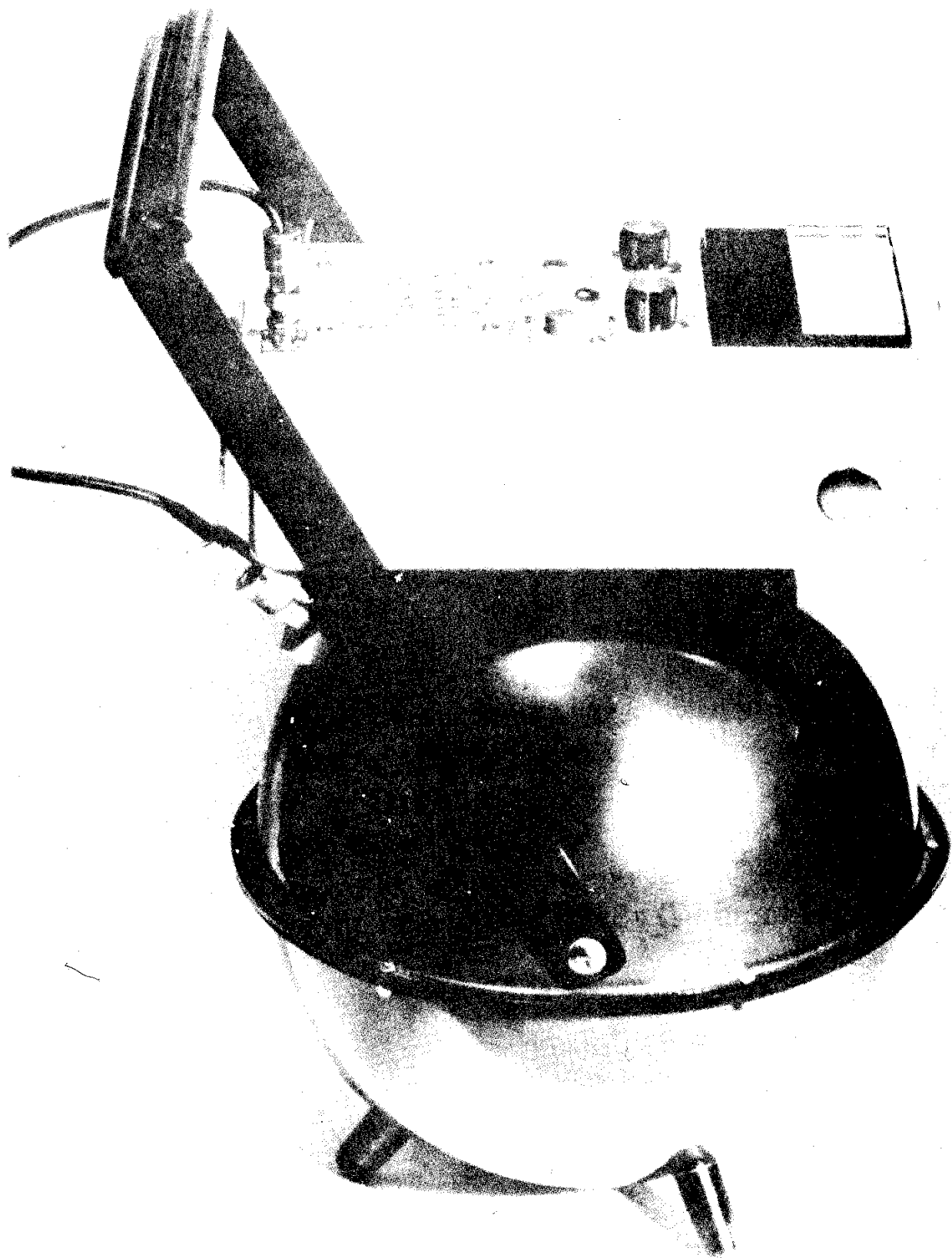


شکل ۳۴.۹ ساختمان شمارگر تعیین دز نوترونها. شمارگر BF_3 با مشخصات زیر در داخل پوشش پلی اتیلن قرارداده شده است: قطر خارجی برابر 30 mm ، طول مؤثر برابر 200 mm و طول کل برابر 300 mm ، این شمارگر با گاز BF_3 در فشار 400 mmHg پرس شده است و غنای ${}^10\text{B}$ در آن 94% است.

که در آن (E) سطح مقطع ماکروسکوپیک کل پراکندگی برای نوترون بسانرژی E و d_1 و d_2 ضخامت لایه‌های داخلی و خارجی کندازهای پلی اتیلن است. با تغییر d_1 و d_2 پاسخ انرژی تغییر می‌کند. به ازای $d_1 = 16\text{ mm}$ و $d_2 = 32\text{ mm}$ ، پاسخ شمارگر (در محدوده $15 \pm 1\text{ MeV}$) به منحنی دز وابسته به انرژی نوترون بر حسب رم به ازای هر نوترون در cm^2 (شکل ۳۴.۹) خوبی نزدیک می‌شود. یک نمونه تجاری که بر اساس این طرح ساخته شده است، حساسیتی برابر 12 cpm به ازای هر 120 cpm ($\mu\text{Sv/h}$) است.



شکل ۳۴.۹ منحنی پاسخ وابسته به انرژی شمارگر دز نوترون (خط پر) که در شکل ۳۴.۹ نشان داده شده است. منحنی خط‌چین نمودار دزمعادل به ازای واحد شار است. پاسخ ایده‌آل برابر ۶۷ شمارش در ثانیه به ازای هرمیلی رم در ساعت است.



شکل ۳۵.۹ سنجه کروی برای اندازه گیری دزمعادل نوترون.

و گسترهای برابر ($100\text{--}1000 \mu\text{Sv}$) ($100\text{--}1000 \text{mrem/h}$) مسنجه های تجاری اندازه گیری در نوترون (شکل ۳۵.۹) که می توانند آهنگهای دز

از $1 \mu\text{Sv}$ در ساعت (۱۰۰۰۰ mrem/h) تا 100 mSv در ساعت را اندازه بگیرند، یک آشکارساز نوترون گرمایی دارند که با کنندساز کروی یا نیم کروی پوشانده شده است. از یک بلور سوسوزن کوچک ($\text{LiI}(\text{Eu})^9$) (به ابعاد تقریباً $4 \text{ mm} \times 4 \text{ mm}$) که در مرکز کره قرار دارد، یا یک شمارگر BF_3^{10} در داخل کنندساز می‌توان به عنوان آشکارساز نوترونها استفاده کرد. امسا چون لامپ BF_3^{10} کمتر از بلور سوسوزن نسبت به پرتوهای گاما حساس است، آشکارساز BF_3^{10} متداول‌ترین آشکارسازی است که در سنجه‌های اندازه‌گیری دز معادل نوترون به کار می‌رود. پاسخ یک سنجه کروی دز معادل نوترون، وقni قطر کره 30 cm است، تقریباً با آهنگ دزناسی از نوترونهای با انرژی گرمایی تا انرژی حدود 15 MeV متناسب است. از این‌رو، این نوع سنجه دز معادل نوترون را می‌توان با نوترونها بی که انرژی آنها در این گستره قرار دارد مدرج کرد. کره‌هایی که قطرشان کمتر از 30 cm است، نسبت به نوترونهای با انرژی کمتر حساس‌ترند. چون پاسخ وابسته به انرژی دستگاه به ابعاد کنندساز کروی بستگی دارد، می‌توان توزیع انرژی یک میدان نوترونی را با انجام تعدادی اندازه‌گیری به کمک کره‌هایی در اندازه‌های مختلف مشخص کرد. کره‌هایی که برای این روش طیف نمایی نوترونها به کار می‌روند را عموماً «کره‌های بونر» می‌گویند. قطر این کره‌ها از 5 تا 30 cm تغییر می‌کند.

دزسنجه نوترونی آلبدو

با استفاده از فیلم رد هسته‌ای که در آن نوترون پرتویی را از یک مولکول درامولوسیون فیلم خارج می‌کند و پرتویون ردی در فیلم بر جای می‌گذارد، می‌توان دیدبانی کارکنان را در مقابل نوترونها تأمین کرد. اما عیب عمدۀ این تکنیک از امات آستانه انرژی نوترون است. پرتو نهایی پس‌زنی آنقدر انرژی ندارند که اثرهای قابل تشخیصی در فیلم تولید کنند، مگر آنکه انرژی نوترون از حدود $1/2 \text{ MeV}$ بیشتر باشد. این نقص را می‌توان با استفاده از دزسنجهای گرمالیان که حساسیت آنها بر اثر نوترونها پس پراکنده از بدن افزایش می‌یابد، بر طرف کرد. چون بدن انسان هیدروژن بسیار زیادی دارد، کسر عمدۀ ای از نوترونها تند با انرژی متوسط را می‌توان تا انرژیهای فوق گرمایی کند و پس پراکنده کرد، به گونه‌ای که بتوانند با ماده گرمالیان حساس در برابر نوترون برهم کنش کنند. دیدبان نوترونی از این نوع را دزسنجه نوترونی آلبدو می‌گویند. این نوع دزسنجه‌ای آلبدو، مخصوصاً در گستره انرژی نوترون از حدود 22 eV (انرژی قطع $\text{Cd}^{500 \text{ keV}}$) تا حدود 500 keV مغاید هستند.

چون آشکارساز گرمالیان (TLD) حساس به نوترون نسبت به تابش گاما نیز حساس است و بدان پاسخ می‌دهد، و چون نوترونها تقریباً همواره با تابش گاما همراه هستند، همراه با هر TLD حساس به نوترون یک TLD غیرحساس نسبت به نوترونها هم به کار می‌رود. گرمالیانی ناشی از گاماهای را می‌توان به صورت جداگانه تعیین و آن را از گرمالیانی کل آشکارساز حساس به نوترون کم کرد. برای تمیز میان گرمالیانی نوترونها و گاماهای در این

روش، از ماده LiF TLD^6 به عنوان آشکارساز حساس به نوترون و از LiF^7 به عنوان دزسنج غیرحساس به نوترون استفاده می‌شود. هردوی این مواد TLD پاسخ نسبتاً یکسانی در مقابل تابش گامدارند. به همین دلیل، برای بدست آوردن گرمالیانی خالص نوترونها، باید گرمالیانی گامای تراشه LiF^7 را از گرمالیانی تراشه LiF^6 کم کرد. با این روش گرمالیانی تفاضلی، می‌توان دز نوترونی (10 mrem) را در یک میدان گامای (200 mrem) 2 mSv اندازه‌گیری کرد.

دزسنجهای نوترونی نوع آلبود شدیداً وابسته به انرژی هستند، و پاسخ آنها با ضریبی در حدود 15 در گستره انرژی نوترونی از 1 keV تا 7 MeV تغییر می‌کند. به همین دلیل، این نوع دزسنجها را باید با چشمۀ نوترونی خاصی درجه‌بندی کرد که طیف توزیع انرژی آن را حد ممکن به توزیع انرژی نوترونها بی که باید دیدبانی شوند نزدیک باشد.

درجه‌بندی

وسایل سنجش و برآورد در فیزیک بهداشت با قرار گرفتن در معرض یک میدان تابش معلوم مدرج می‌شوند، و سپس نتیجه اندازه‌گیری موضوع مورد بررسی با میدان تابش معلوم مقایسه می‌شود. این میدانهای معلوم، با چشمۀ تابشی مدرجی تجهیز می‌شوند که درجه‌بندی آنها در آزمایشگاه ملی استاندارد انجام می‌شود. چون وسایل فیزیک بهداشت غالباً در شرایط متفاوتی به کار می‌روند، در هر درجه‌بندی کامل، علاوه بر درجه‌بندی تحت شرایطی که وسیله مورد نظر برای کار در آن ساخته شده است، باید پاسخ این وسیله به تمام تابشها و شرایطی که در عمل ممکن است برای آن پیش بینی شود در نظر گرفته شود. به دلیل وابستگی به انرژی، وابستگی به جهت، و تأثیر احتمالی تابش پراکنده بر کار وسیله، شرایطی که تحت آن وسیله مدرج می‌شود باید در گزارش مربوط به درجه‌بندی قید شود.

پرتوهای گاما

یکی از متداولترین چشمۀ برای مدرج کردن وسایل اندازه‌گیری پرتو گاما، رادیم (معمولایکی از نمکهای رادیم مثل RaBr) است که در حالت تعادل با دخترهسته‌هایش در یک کپسول پلاتین-ایریدیم سربسته قرار می‌گیرد. تابش گامای حاصل از این چشمۀ همان‌طور که در جدول ۶.۹ دیده می‌شود، چندان انرژی است و عددتاً از گذارهای $\text{RaB}(^{214}\text{Pb})$ به $\text{RaC}(^{214}\text{Bi})$ و به $\text{RaC}'(^{214}\text{Po})$ تولید می‌شود. چون نیمه عمر این گذارها به ترتیب ۱۹.۷ و ۲۶.۸ دقیقه است، شرط تعادل را تعادل میان رادیم و دخترهسته‌اش را دون تعیین می‌کند. چشمۀ رادیم در دفترملی استانداردها (در ایالات متحده) با مقایسه خروجی تابش گامای چشمۀ مجهول، تحت شرایط اندازه‌گیری استاندارد، با خروجی تابش گامای یک چشمۀ استاندارد مدرج می‌شوند.

بامعلوم بودن مقدار رادیم و ابعاد فیزیکی کپسول، می‌توان آهنگ پرتودهی گاما را در فوائل مختلف از چشم محسوبه کرد. آهنگ پرتودهی یک چشم رادیم که حاوی m میلی گرم رادیم در کپسولی به ضخامت d میلی متر باشد، در فاصله d سانتی متر از چشم از رابطه زیر به دست می‌آید

$$\dot{X} = \frac{24 \times 10^{-3} m e^{-\mu t}}{d^2} \text{ C/kg.h} \quad (19.9)$$

که در آن μ ضریب جذب خطی ماده کپسول است (μ برای پلاتین برابر $19/\text{mm}$ است). اگر پرتودهی بر حسب رونتگن بیان شود، آهنگ پرتودهی متناظر به صورت زیر خواهد بود

$$\dot{R} = \frac{91 m e^{-\mu t}}{d^2} \text{ R/h} \quad (19.9)$$

آهنگ پرتودهی تا بشی ۱ میلی گرم Ra^{226} در تعادل با دخترهسته‌ها یش در فاصله ۱ متری برابر (825 mR/h) $212 \mu\text{C/kg}$ است. فاصله از چشم برای هر آهنگ پرتودهی لازم دیگر، به کمک قانون عکس مجدد محسوبه می‌شود. از این رو اگر چشم‌های حاوی 100 mg رادیم در کپسولی از پلاتین به ضخامت 5 mm داشته باشیم، آهنگ پرتودهی در فاصله ۱ متری از آن برابر (825 mR/h) $212 \mu\text{C/kg}$ است در ساعت، روی مقیاس دستگاهی که حد اکثر (25 mR/h) $212 \mu\text{C/kg}$ در ساعت را می‌تواند اندازه بگیرد، آشکارساز را باید در فاصله‌ای که به صورت زیر محسوبه می‌شود قرارداد

$$\frac{I_1}{I_2} = \frac{d_2^2}{d_1^2}$$

$$\frac{212}{32} = \frac{d_2^2}{1}$$

$$d_2 = 2.6 \text{ m} \quad (20.9)$$

قانون عکس مجدد، که در آن بنا به فرض چشم رادیم یک چشم نقطه‌ای است، در فوائل که تقریباً ۱۵ برابر بزرگترین بعد خطی چشم محسوبه هستند به کار می‌رود. پراکندگی از کف، سقف، و دیوارهای اتاقی که در آن درجه بندی انجام می‌شود، به کاهشی در آهنگ دز تا بش منجر می‌شود که کندتر از کاهش پیش‌بینی شده توسط قانون عکس مجدد است. این نکته را می‌توان با اندازه گیری آهنگ دز پرتو گاما با یک اتاقک یونش یا یک شمارگر مدرج در فوائل مختلف بررسی کرد. اگر قانون عکس مجدد صادق باشد، نمودار لگاریتمی آهنگ

جدول ۶.۹ طیف تقریبی پرتوهای گاما رادیم و مخصوصاً لات واپاشی آن در حالت تعادل.

گذار	تعداد کوانتمها در هر تبدیل رادیم	فوتون / MeV
Ra \rightarrow Rn	۰۰۵۱۲	۰۰۱۸۴
Ra B \rightarrow Ra C	۰۰۱۱۵ ۰۰۲۵۸ ۰۰۴۵۰	۰۰۲۴۱ ۰۰۲۹۴ ۰۰۳۵۰
Ra C \rightarrow RaC'	۰۰۶۵۸ ۰۰۶۵ ۰۰۶۷ ۰۰۲۰۶ ۰۰۵۶۳ ۰۰۵۶۴ ۰۰۲۵۸ ۰۰۵۷۴	۰۰۶۰۷ ۰۰۷۶۶ ۰۰۹۳۳ ۱۰۱۲۰ ۱۰۲۳۸ ۱۰۳۷۹ ۱۰۷۶۱ ۲۰۱۹۸
	کل = ۰۰۴۳	$\bar{E} = ۰۰۷$

دز بر حسب لگاریتم فاصله (یا آهنگ دز بر حسب فاصله روی کاغذ لگاریتمی) به صورت خطراستی باشیب ۲ — خواهد بود. شیب کمتر از این مقدار، بر وجود مقادیر زیادی تابش پراکنده دلات خواهد داشت.

برای درجه بندی وسایل اندازه گیری پرتو گاما، غیر از رادیم از چشمها دیگری نیز می‌توان استفاده کرد که در میان آنها ^{60}Co و ^{137}Cs بیشتر متداول اند. فعالیت ویژه این چشمها باید خیلی زیاد باشد تا چشم به اندازه کافی (از لحاظ ابعاد فیزیکی) کوچک شود، به گونه‌ای که بتوان آن را «نقطه» در نظر گرفت. قدرت اسمی چشمها ^{60}Co و ^{137}Cs

به ترتیب برابر $10^{-3} \mu\text{C/kg}$ در ساعت به ازای هر 132R/h MBq و $10^{-3} \mu\text{C/kg}$ در ساعت به ازای هر 133R/h MBq به ازای هر Ci) در فاصله ۱ متری است. اما چون این چشمه‌ها نیز باید در کپسول سربسته باشند، برای محاسبه تضعیف تابش در کپسول باید نوع کپسول مشخص باشد. هنگام استفاده از این چشمه، خروجی تابش بایک وسیله قبلاً مدرج شده اندازه‌گیری شود. باید توجه داشت که چون هردوی این ایزوتوبهای پرتوزا نیمه عمر نسبتاً کوتاهی دارند (۳۵ سال برای ^{132}Cs و ۶۰ سال برای ^{137}Cs)، باید در اندازه‌گیری‌های مربوط به چشمه اصلی یا محاسبات مربوط به واپاشی ماده پرتوزا، ضرایب تصحیح لازم اعمال شود.

پرتوهای بتا

مشخصه‌های پاسخ‌دز در اکثر وسائل اندازه‌گیری قابل حمل پرتوهای بتا شدیداً وابسته به انرژی هستند. در نتیجه، معمولاً این گونه وسائل تنها برای آشکارسازی تابش بتا به کار می‌روند نه برای اندازه‌گیری آهنگ دز آنها. بنا بر این، چنین وسائلی عموماً برای اندازه‌گیری دز پرتو بتا مدرج نمی‌شوند. اگر آهنگ دز پرتو بتا مورد نظر باشد، باید از یک چشمۀ بی‌نها یت ضخیم با فعالیت ویژه مشخص استفاده کرد. آهنگ دز سطحی که برای بر نصف آهنگ دز محیط بی‌نها یت بزرگ با همان فعالیت ویژه است، به راحتی محاسبه می‌شود. چشمۀ پرتو بتایی که اغلب برای درجه بندی آهنگ دز به کار می‌رود، یک تیغۀ بی‌نها یت ضخیم (به ضخامت حدود ۵ mm) از اورانیم فلزی است، که آهنگ دز پرتو بتا در سطح آن برابر $(240 \text{ mrad/h}) / (240 \text{ mGy/h})$ است.

پرتوهای آلفا

وسائل بررسی قابل حملی که برای اندازه‌گیری آلفا بدکار می‌روند معمولاً نتیجه اندازه‌گیری را بر حسب یکاهای آهنگ شمارش به دست می‌دهند. چشمۀ‌های درجه بندی این وسائل اکثر آقرصهای فلزی بی‌هستند که مقدار معینی ایزوتوب پرتوزا آلفا گسیل روی سطحشان آب کاری کرده‌اند. این چشمۀ‌هارا که فهرست شان در جدول ۷.۹ آمده است می‌توان از بازار یا آزمایشگاه‌های استاندارد ملی تهیه کرد.

نوترونها

ممولاً برای نوترون‌های تند از چشمۀ‌های درجه بندی که محتوی را، Po-Be، Ra-Be، و Pu-Be هستند استفاده می‌شود. در جدول ۵.۵ بهره نوترونی تقریبی هر یک از این چشمۀ‌ها آمده است. آهنگ دقیق نوترون‌های تند خارج شونده را معمولاً عرضه کنندگان چشمۀ بر حسب نوترون در ثانیه معین می‌کنند. برای مقایسه متقابل چشمۀ‌ها، می‌توان از شمارگر طویل

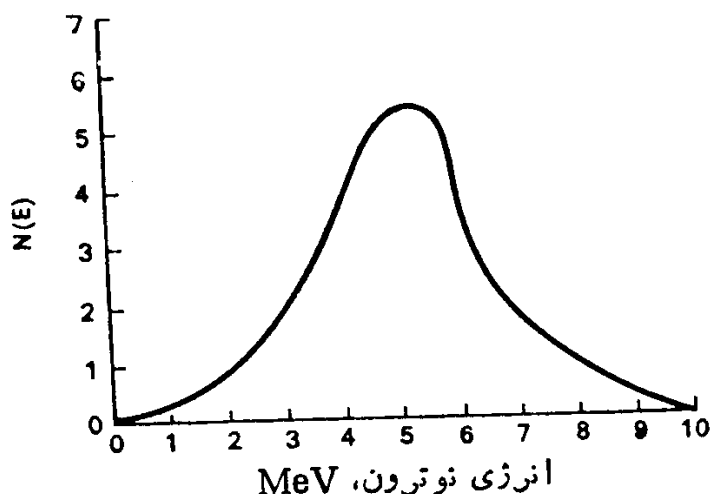
جدول ۷.۹ چشمه‌های استاندارد برای درجه‌بندی سنجش افزار پرتوهای آلفا.

نوکلئید پرتوزا	انرژی آلفا (MeV)	نیمه عمر
^{235}U	۴۶-۴۳۷ ر	$7.1 \times 10^8 \text{ y}$
^{239}Pu	۵۱۶-۵۱۱ ر	$2.44 \times 10^4 \text{ y}$
^{210}Po	۵ ر	۱۳۸۰۴ d
^{241}Am	۵۱۱-۵۱۶ ر	۴۳۴ y

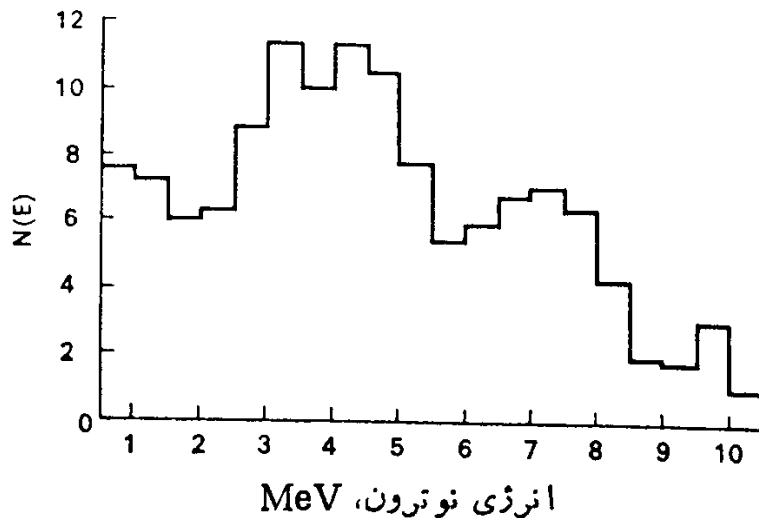
هانسون و مک‌کیبن با دقت $\pm 5\%$ در صد استفاده کرد. شار نوترون در فاصله d از چشم، با فرض اینکه چشم « نقطه‌ای » باشد، از رابطه زیر محاسبه می‌شود

$$\phi = \frac{N/\text{نوترون}}{\text{cm}^2 \cdot \text{s}} = \frac{N/\text{نوترون}}{4\pi d^2 \text{ cm}^2} \quad (21.9)$$

تمامی چشم‌های نوترون؛ نوترونهای تند تولید می‌کنند. برای سه چشم و اکتشی (α, n) که در بالا به آنها اشاره شد، انرژی نوترونها در گستره از $1/2 \text{ MeV}$ تا 10 MeV قرار دارد و میانگین انرژی آنها در حدود $4-5 \text{ MeV}$ است (شکلهای ۲۱.۵ و ۳۶.۹، و ۳۷.۹). در مواردی که برای درجه‌بندی وسیله اندازه‌گیری دز معادل نوترون از چشم نوترون تند استفاده می‌شود، باید طیف انرژی نوترون در نظر گرفته شود. به عنوان مثال،



شکل ۳۶.۹ طیف انرژی نوترونهای ناشی از $\text{Ra-Be}(\alpha, n)$. طیف نوترون با اندازه‌گیری طول ردها در اموالوسیون هسته‌ای تعیین شده است.



شکل ۳۷.۹ طیف انرژی نوترونهای ناشی از (α, n) Pu-Be . برای اندازه‌گیری انرژی از امولوسیونهای هسته‌ای استفاده شده است.

چشمۀ نوترون Pu-Be را در نظر می‌گیریم (شکل ۳۷.۹)، و شار متضاظر با کار تعیین می‌کنیم. توزیع طیفی این مورد در جدول ۸.۹ آمده است. با استفاده از این داده‌ها و مقادیر مناسب QF برای انرژی‌های مختلف نوترون، شار معادل دز دست می‌آوریم. اگر نوترونهای تک انرژی مورد نظر باشند، باید یکی از چشمۀ‌های (γ, n) جدول ۸.۵ را مورد استفاده قرار داد. در صورتی که برای درجه بندی استفاده از نوترونهای گرمایی لازم باشد، نوترونهای تند گسیل شده از چشمۀ نوترون باید گرمایی شوند. این کار با قراردادن چشمۀ در داخل پارافین به راحتی عملی می‌شود. اما، باید تأکید کرد که تمامی نوترونهای تند گرمایی نمی‌شوند. باریکۀ نوترونی که از کندرساز پیرون می‌آید چندان انرژی است، و کندرساز فقط بخش کم انرژی طیف نوترونی را به طرف انرژی‌های گرمایی سوق می‌دهد. اگر کندرساز خیلی نازک باشد باریکۀ نوترون سرشار از نوترونهای تند خواهد بود؛ اما اگر کندرساز خیلی ضخیم باشد نسبت نوترونهای گرمایی به نوترونهای تند افزایش و در عوض شدت باریکۀ نوترون کاهش می‌یابد. ضخامت مناسب پارافین برای بیشینه‌سازی شدت نوترونهای گرمایی از هر چشمۀ درجه بندی در حدود ۱۰ cm است. با این ضخامت، شار گرمایی در فاصله ۲ متری چشمۀ تقریباً ۴۵٪ شار نوترونهای تندی است که بدون کندرساز پارافینی به دست می‌آید. هرگاه نسبت تقریباً ثابتی از نوترونهای گرمایی به نوترونهای تند مور نظر باشد ضخامت کندرساز پارافین باید بیشتر از ۱۰ cm باشد.

نسبت دقیق نوترونهای گرمایی به نوترونهای تند را می‌توان با استفاده از نوترونها برای فعال کردن یک برگه طلای ساده و یک برگه طلا با پوشش کادمیم تعیین کرد. به دلیل قطع ناگهانی جذب کادمیم در حدود ۴۵ eV، فعالیت القایی در برگه با پوشش کادمیم فقط

جدول ۸.۹ داده‌های لازم برای محاسبه آهنگ دز معادل جهت نوترون‌های Pu-Be

بازه انرژی E_i	میانگین انرژی \bar{E}_i	نوترون‌ها E_i در کسر نوترونها f_i	$\bar{E}_i \times f_i$	شار ϕ متناظر $25\mu\text{Sv}/\text{h}$	$\phi_i \times f_i$
0-0.5	0.25	0.038	0.0095	82	3.12
0.5-1	0.75	0.049	0.0368	23	1.13
1-1.5	1.25	0.045	0.0563	19	0.86
1.5-2	1.75	0.042	0.0735	19	0.80
2-2.5	2.25	0.046	0.1035	20	0.92
2.5-3	2.75	0.062	0.1705	20	1.24
3-3.5	3.25	0.077	0.2503	18	1.39
3.5-4	3.75	0.083	0.3113	18	1.49
4-4.5	4.25	0.082	0.3485	17	1.39
4.5-5	4.75	0.076	0.3610	17	1.29
5-5.5	5.25	0.057	0.2993	16	0.91
5.5-6	5.75	0.042	0.2415	16	0.67
6-6.5	6.25	0.042	0.2625	17	0.71
6.5-7	6.75	0.052	0.3510	17	0.89
7-7.5	7.25	0.054	0.3915	17	0.93
7.5-8	7.75	0.051	0.3953	17	0.84
8-8.5	8.25	0.038	0.3135	17	0.64
8.5-9	8.75	0.017	0.1488	17	0.29
9-9.5	9.25	0.018	0.1665	17	0.30
9.5-10	9.75	0.022	0.2145	17	0.37
10-10.5	10.25	0.007	0.0718	17	0.11
		1.000	4.5774	$\Sigma = 20.29$	

$$25\frac{\mu\text{Sv}}{\text{h}} \left(25\frac{\text{mrem}}{\text{h}} \right) = \text{شار متناظر} = \frac{\sum \phi_i f_i}{\sum f_i} = 20 \frac{\text{نوترون}}{\text{cm}^2/\text{s}}$$

$$\frac{\sum E_i f_i}{\sum f_i} = 46 \text{ MeV} = \text{میانگین انرژی نوترون}$$

ناشی از نوترون‌هایی است که انرژی آنها بیشتر از 4 eV است، در حالی که این فعالیت در برگه بدون پوشش، ناشی از نوترون‌های گرمایی و نوترون‌های تند هردو است. نسبت کادمیم، که به صورت زیر تعریف می‌شود

$$\text{فعالیت برگه بدون پوشش} = \frac{\text{فعالیت برگه با پوشش}}{\text{فعالیت برگه با پوشش}} \quad (22.9)$$

معیاری از خلوص میدان نوترون گرمایی است. شار گرمایی را می‌توان با استفاده از اندازه‌گیریهای فعالیت برگه طلا با کمک معادله (۲۰.۵) محاسبه کرد.

دقت

دقت لازم برای وسایل فیزیک بهداشت بستگی به این دارد که تا چه حد کمیت مورد اندازه‌گیری به مقدار مجاز قانونی آن کمیت یا به بیشینه مقادیری که ICRP توصیه کرده است نزدیک است. هنگامی که اندازه‌گیریها درسطح 1×10^{-5} مقدار بیشینه مجاز یا کمتر انجام می‌شود، معمولاً دقت ± 200 درصد قابل قبول است. بدلیل محافظه‌کاری فوق العاده زیادی که در توصیه‌های ICRP به کار رفته است، معمولاً دقت ± 35 درصد برای مقادیر نزدیک به سطوح مجاز بیشینه پذیرفته می‌شود. برای مقادیر خیلی بیشتر از بیشینه‌ها، دقت وسایل نباید خیلی بدتر از ± 35 درصد باشد، زیرا معالجات پزشکی افراد بیش پرتو گرفته شدیداً تحت تأثیر دز دریافتی (وهبچنین علائم و نشانه‌های کلینیکی) آنهاست. در این بحث، باید وسایل فیزیک بهداشت از وسایل اندازه‌گیری تابش که برای درجه‌بندی ماشینهای مولدت تابش در پرتوشناسی پزشکی به کار می‌روند کاملاً متمایز باشند. دقت این وسایل برای تابش‌های مورد اندازه‌گیری، باید در حدود ± 35 درصد یا بهتر باشد.

آمار شمارش

توزیعها

تبديلهای پرتوزا و سایر واکنشهای هسته‌ای به صورت کثره‌ای به وقوع می‌پیوندد، و بنا بر این از لحاظ کمی باید بر اساس قواعد آماری آنها را مورد بررسی قرارداد. توزیع نمونه‌ای یک جمعیت از رویدادهایی را که به صورت کثره‌ای اتفاق می‌افتد توزیع دو جمله‌ای می‌گویند، و مقدار آن از بسط دو جمله‌ای به دست می‌آید

$$(p+q)^n = p^n + np^{n-1}q + \frac{n(n-1)}{2!}p^{n-2}q^2 \quad (23.9)$$

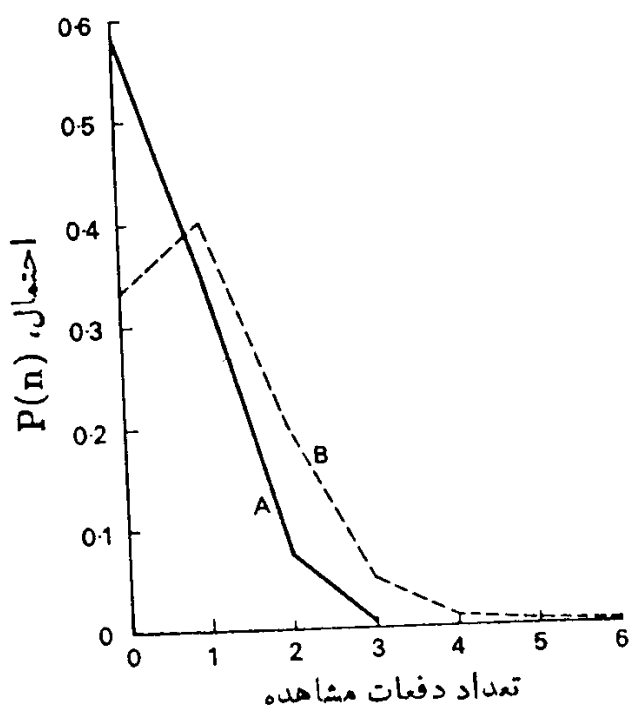
$$+ \frac{n(n-1)(n-2)}{3!}p^{n-3}q^3 + \dots$$

که در آن p احتمال میانگین تحقق یک رویداد، q احتمال میانگین عدم تحقق همان رویداد است، به طوری که $p+q=1$ ، و n تعداد شانس‌های تحقق رویداد است. احتمال دقیق تحقق n رویداد با اولین جمله بسط دو جمله‌ای، و احتمال تحقق $1-n$ رویداد با دومین جمله به دست می‌آید و بهمین ترتیب تا به آخر. به عنوان مثال، احتمال مشاهده ۳ بار ۱ در سه قام ریزی متوالی، که در آن احتمال میانگین مشاهده ۱ برابر $1/6$ است، از جمله اول بسط $(\frac{1}{6} + \frac{5}{6})^3$ به دست می‌آید

$$\begin{aligned}
 & (1/6 + 5/6)^3 = (1/6)^3 + 3(1/6)^2(5/6) + \frac{3 \times 2}{2!} (1/6)(5/6)^2 \\
 & + \frac{3 \times 2 \times 1}{3!} (5/6)^3 \\
 & = 1/216 + 15/216 + 75/216 + 125/216 = 1
 \end{aligned}$$

همین طور، احتمال مشاهده دو بار ۱، یک بار ۱، و عدم مشاهده ۱ به ترتیب از جملات دوم و سوم و چهارم و برابر $15/216$ ، $1/216$ ، $75/216$ ، $125/216$ به دست می‌آید. نمودار این احتمالات (شکل ۳۸.۹) نشان می‌دهد که توزیع آنها بسیار نامتقارن است. اگر همین محاسبات را برای تعیین احتمال مشاهده شش ۱، پنج ۱، چهار ۱، سه ۱، دو ۱، یک ۱، و عدم مشاهده ۱ در ۶ بار تاس ریزی انجام دهیم، یعنی $(1/6 + 5/6)^6$ ، منحنی B در شکل ۳۸.۹ به دست می‌آید. از مقایسه دو منحنی A و B معلوم می‌شود که منحنی B متقارن‌تر است، یعنی با افزایش n توزیع نمایش توزیع نیز حول خط مرکزی متقارن‌تر می‌شود. در حالتی که n بی‌نهایت شود، منحنی بهنجاد و ناقوسی شکل به دست می‌آید. اگر $n \geq 35$ باشد، در عمل تفاوت منحنی توزیع نمونه‌ای دو جمله‌ای از منحنی بهنجار قابل تشخیص نیست. توزیع بهنجار که از رابطه زیر به دست می‌آید

$$p(n) = \frac{1}{\sigma \sqrt{2\pi}} e^{-(n-\bar{n})^2/\sigma^2} \quad (24.9)$$



شکل ۳۸.۹ نمودار احتمال مشاهده خال ۱ درسه دفعه تاس ریزی متوالی (منحنی A)، و نمودار احتمال مشاهده خال ۱ درشش دفعه تاس ریزی متوالی (منحنی B).

ودر آن (p) احتمال یافتن n مقدار میانگین، و σ انحراف معیار (یا خطای معیار) است، باید با دو پارامتر مقدار میانگین و انحراف معیار جور در بیااید. در حالت $1 \ll p$ که در آن وقوع رویداد بسیار نامحتمل است، توزیع دو جمله‌ای به توزیع پواسون نزدیک می‌شود. چون واپاشی پرتوزای یک اتوم خاص رویدادی کاملاً غیر محتمل است (به عنوان مثال، در P_{32} با نیمه عمر $14\text{ ر}^{\circ}\text{C}$ روز، احتمال واپاشی هر اتوم خاصی با ثابت واپاشی $S/8 = 10^{-7} \times 6.5$ به دست می‌آید)، فرایندهای پرتوزایی با آمار پواسون توصیف می‌شوند. طبق توزیع پواسون، احتمال دقیق تحقق n رویداد در واحد زمان، با فرض اینکه آهنگ میانگین واقعی \bar{n} باشد، از جمله $(1 + n)^{-n} e^{-\bar{n}}$ بسط زیر به دست می‌آید

$$e^{-\bar{n}} \times e^{\bar{n}} = 1 \quad (25.9)$$

که با بسط سری $e^{\bar{n}}$ به صورت زیر درمی‌آید

$$e^{\bar{n}} \left(1 + \frac{\bar{n}}{1!} + \frac{\bar{n}^2}{2!} + \frac{\bar{n}^3}{3!} + \dots \right) \quad (26.9)$$

پس جمله عمومی توزیع پواسون چنین می‌شود

$$p(n) = \frac{(\bar{n})^n \times e^{-\bar{n}}}{n!} \quad (27.9)$$

برای مثال، اگر فعالیتی برابر $(0.5 \mu\text{Ci})_{\text{Bq}}$ در دست باشد، تعداد میانگین تبدیلهای در هر ثانیه برابر 37 است. احتمال مشاهده دقیق 37 تبدیل در 1 ثانیه از معادله (27.9) به صورت زیر محاسبه می‌شود

$$p(37) = \frac{37^{37} \times e^{-37}}{37!}$$

و با استفاده از تقریب استرلینگ برای محاسبه $37!$ داریم

$$n! = (2\pi n)^{1/2} \times \left(\frac{n}{e}\right)^n \quad (28.9)$$

به این ترتیب، مقدار $(37)p$ را برای $n=37$ به دست می‌آوریم. از این رو، نتیجه می‌گیریم که در تعدادی از اندازه‌گیریهای این فعالیت، باید گستره وسیعی از شمارشها حول میانگین واقعی 37 به دست آید. این توزیع مشاهدات از روی انحراف معیار توزیع شمارشها به دست می‌آید. در تعداد زیادی از اندازه‌گیریهای، مثل حالت توزیع بهنجار، تمام مشاهدات در فاصله بعلاوه و منهای یک انحراف معیار از مقدار میانگین، 96% در فاصله بین بعلاوه و منهای دو انحراف معیار، و به همین ترتیب قرار می‌گیرند. انحراف معیار σ به صورت

یک پارامتر در توزیع بهنجار، معادله (۲۴.۹)، دیده می‌شود. توزیع پواسون، معادله (۲۷.۹)، فقط یک پارامتر دارد که آن هم مقدار میانگین است. انحراف معیار توزیع پواسون برابر است با جذر میانگین شمارشها در هر فاصله اندازه‌گیری

$$\sigma = \sqrt{n} \quad (29.9)$$

هنگامی که رویدادهای چون واپاشی پرتوza یا سایر رویدادهای هسته‌ای را شمارش می‌کنیم، «بزرگی» نمونه را طول دلخواهی از زمان تعیین می‌کند که در آن این اندازه‌گیری انجام می‌شود. n در معادله (۲۹.۹) برابر با تعداد کل رویدادهایی است که در طول زمان مشاهده روی می‌دهند، و از این رو، آهنگ میانگین همین بازه زمانی است. بنا بر این، اگر ۱۰۰۰۰ شمارش را در یک بازه شمارش ۱۵ دقیقه‌ای مشاهده کنیم، انحراف معیار مشاهده برابر $\sqrt{10000} = 100$ شماره در ۱۵ دقیقه خواهد بود. این اندازه‌گیری یک مقدار میانگین ۱۰۰۰۰ شمارش را برای بازه اندازه‌گیری ۱۵ دقیقه‌ای نشان می‌دهد. یکی از ویژگیهای عمده توزیع پواسون در عمل این است که وقتی $n \geq 25$ باشد، این توزیع از توزیع بهنجار همین میانگین و انحراف معیار برابر با جذر میانگین غیر قابل تشخیص است. تحت این شرایط کلیه آزمونهای آماری معتبر در توزیع بهنجار، نظری آزمون F ، معیار خی به توان ۲ (χ^2)، و آزمون نسبت واریانس (که آزمون F نیز نامیده می‌شود) را می‌توان برای توزیعهای پواسون نیز به کار برد. با آنکه تمامی این آزمونها در اندازه‌گیری‌های پرتوزایی به کار می‌روند اما بررسی کامل آنها از گنجایش این کتاب خارج است. تفصیل و کاربرد این آزمونها را می‌توان در مراجع پیشنهادی پایان این فصل مطالعه کرد.

در مثال بالا که در آن ۱۰۰۰۰ شمارش در خلال ۱۵ دقیقه شمارش ثبت شده است، آهنگ شمارش میانگین بر حسب شمارش در دقیقه و انحراف معیار آهنگ میانگین از رابطه زیر به دست می‌آید

$$r \pm \sigma_r = \frac{n}{t} \pm \sqrt{\frac{n}{t}} \quad (30.9)$$

و چون

$$\sigma_r = \sqrt{\frac{n}{t}} = \sqrt{\left(\frac{n}{t} \cdot \frac{1}{t}\right)} = \sqrt{\left(r \cdot \frac{1}{t}\right)}$$

داریم

$$r \pm \sigma_r = r \pm \sqrt{\frac{r}{t}} \quad (31.9)$$

که مقدار عددی 10000 ± 1000 را به دست می‌دهد. اگر فعالیت در بازه ۱ دقیقه‌ای

اندازه‌گیری شود و ۱۰۰۰ شمارش به دست آید، نتیجه برابر $\sqrt{1000} = 1000 \pm 1000$ باشد.

خطای محتمل نسبی که به صورت زیر تعریف می‌شود

$$\sigma_n = \frac{\sqrt{n}}{n} \text{ خطای محتمل نسبی} \quad (32.9)$$

در شمارش ۱ دقیقه‌ای برابر ۳۲٪ و در شمارش ۱۵ دقیقه‌ای فقط برابر ۱٪ خواهد بود.

بنا بر این میزان دقت هر اندازه‌گیری شمارشی معین به مقدار کل شمارش بستگی دارد.

در اندازه‌گیریها پرتوزایی معمولاً باشدشمارش زمینه نیز منظور شود. از این‌رو،

در این اندازه‌گیریها آهنگ شمارش خالص عبارت است از اختلاف میان آهنگ شمارش

ناخالص (به انضمام آهنگ شمارش زمینه) و آهنگ شمارش زمینه مورد نظر. هریک از این

آهنگ‌های شمارش، انحراف معیار مر بوط به خود را دارد. انحراف معیار آهنگ شمارش

خالص برابر است با

$$\sigma_n = \sqrt{(\sigma_g^2 + \sigma_{bg}^2)} = \sqrt{\left(\frac{r_g}{t_g} + \frac{r_{bg}}{t_{bg}}\right)} \quad (33.9)$$

که در آن، σ_g انحراف معیار آهنگ شمارش ناخالص، σ_{bg} انحراف معیار آهنگ شمارش زمینه، r_g آهنگ شمارش ناخالص، r_{bg} آهنگ شمارش زمینه، t_g زمان اندازه‌گیری شمارش ناخالص، و t_{bg} زمان اندازه‌گیری شمارش زمینه است.

مثال ۵.۹

اگر شمارش ناخالص یک نمونه به مدت ۵ دقیقه برابر ۵۱۰ شمارش ۱ ساعتی زمینه برابر ۲۴۰۰ شمارش باشد، آهنگ شمارش خالص نمونه و انحراف معیار آهنگ شمارش خالص نمونه چقدر است؟

حل:

$$r_n = \frac{510 \text{ شمارش}}{5 \text{ دقیقه}} - \frac{2400 \text{ شمارش}}{60 \text{ دقیقه}} = 102 \text{ cpm} - 40 \text{ cpm}$$

$$= 62 \text{ cpm}$$

$$\sigma_n = \sqrt{\left(\frac{102}{5} + \frac{40}{60}\right)} = 4 \text{ cpm}$$

$$62 \pm 4 \text{ cpm}$$

انحراف معیار، معیار پراکندگی رویدادهای کترهای حول مقدار میانگین است. اگر

تعداد خیلی زیادی آزمایش تکراری انجام می‌دادیم، چنانکه در بالا اشاره شد، ۶۸٪ از مشاهدات در فاصله بین 1 ± 1 انحراف معیار از مقدار میانگین قرار می‌گرفتند. به همین دلیل، می‌توان گفت که حد اطمینان یک انحراف معیار ۶۸٪ است. به طور مشابه، حد اطمینان دو انحراف معیار برابر ۹۶٪ است. اگر داده‌های موجود در فاصله بین دو انحراف معیار از مقدار میانگین را گزارش کنیم، با احتمال ۹۶٪ اطمینان داریم که مقدار درست بین حدود مفروض قرار می‌گیرد. در جدول زیر، چندین حد اطمینان همراه با تعداد انحراف معیارهای متناظر با آنها آمده است:

حد اطمینان	تعداد انحراف معیار
۵۵٪	۶۷۴۵
۶۸٪	۱۰
۹۰٪	۱۶۴۵
۹۵٪	۱۹۶۰
۹۶٪	۲۰
۹۹٪	۲۵۷۵

۶.۹ مثال

در یک اندازه‌گیری مقدماتی که در مدت زمان کوتاهی انجام شده، آهنگشمارش ناخالص برابر 55 cpm به دست آمده است. آهنگشمارش زمینه در طی شمارش ۱ ساعت برابر 25 cpm است. برای اینکه با اطمینان ۹۶٪ آهنگشمارش خالص اندازه‌گیری شده در فاصله ۱۰٪ از آهنگشمارش واقعی قرار گیرد، چه مدت زمانی نمونه باید شمارش شود؟

حل: آهنگشمارش خالص بزاورده شده 30 cpm و 10% آن برابر با 3 cpm است. چون حد اطمینان باید 96% باشد، خطای مجاز $\pm 3 \text{ cpm}$ بالغ بر دو انحراف معیار خواهد بود. بنابراین، یک انحراف معیار برابر 5 cpm خواهد شد. با استفاده از این مقدار و قراردادن آن وسایر مقادیر معلوم در معادله (33.9) به این نتیجه می‌رسیم

$$t_e = \sqrt{\left(\frac{55}{1} + \frac{25}{60} \right)}$$

$$t_e = 30.1 \text{ min}$$

اختلاف بین میانگینها

در اندازه‌گیریهای شمارش تقریباً همواره اختلاف میان دو آهنگ شمارش مورد نظر ماست، به عنوان مثال، اختلاف میان آهنگ شمارش نمونه و زمینه یا اختلاف میان آهنگ شمارش‌های خالص و نمونه را می‌توان ذکر کرد. اگر این اختلاف خیلی زیاد باشد ما به طور مشهودی می‌دانیم که یک اختلاف واقعی میان دونمونه وجود دارد. اما اگر این اختلاف کم باشد، آنگاه به این دلیل که واباشی پرتوزا یک فرایند کترهای است که در آن ما می‌دانیم که ۶۹٪ اندازه‌گیریها میان مقدار واقعی و علاوه و منهای دوانحراف معیار قرار می‌گیرند، ما نمی‌توانیم به طور شهودی نتیجه‌گیری کنیم که اختلاف مشاهده شده صرفاً ناشی از خطاهای نمونه‌گیری کترهای است، و دو اندازه‌گیری در واقع دونمونه از یک جمعیت هستند یا نه. برای کمک به نتیجه‌گیری، از آزمون آماری هدفدار مبتنی بر فرضیه هفتر استفاده می‌کنیم. در این فرضیه فرض می‌شود که هیچ اختلافی میان دو اندازه‌گیری وجود ندارد. برای این اساس، ما احتمال یافتن اختلاف میان دو آهنگ شمارش میانگین را برای با یا بزرگتر از آنچه در واقع مشاهده می‌شود محاسبه می‌کنیم. به علاوه، ما به طور دلخواه حدی برای این احتمال در نظر می‌گیریم. اگر احتمال محاسبه شده دستیابی تصادفی به اختلاف اندازه‌گیری شده بزرگتر از این حد باشد، نتیجه می‌گیریم که بین دو آهنگ شمارش اختلافی وجود ندارد، و دو نمونه از یک جمعیت انتخاب شده‌اند. ولی اگر احتمال یافتن اختلاف اندازه‌گیری شده در میان نمونه‌های یک جمعیت از مقدار محاسبه شده کمتر باشد، فرضیه صفر را رد می‌کنیم و می‌گوییم که اختلاف میان دو میانگین از لحاظ آماری بامعنی است؛ یعنی نمونه‌ها در واقع باهم فرق دارند. دو حداختیاری بامعنی بودن که در محاسبات آماری به طور وسیع به کار می‌روند عبارت اند از ۱٪ و ۵٪. این گفته به این معنی است که اگر ما حد ۱٪ را اختیار کنیم، احتمال دستیابی کترهای به اختلافی میان دونمونه از یک جمعیت به همان اندازه اختلافی که در اندازه‌گیریهای دونمونه مشاهده می‌شود از ۱٪ بیشتر باشد، فرضیه صفر را می‌پذیریم و می‌گوییم که هیچ اختلافی بین دونمونه وجود ندارد. اما اگر احتمال محاسبه شده برابر ۱٪ یا کمتر باشد، معلوم می‌شود که اختلاف در اینجا بامعنی است. باید تأکید کرد که حد یاسطح بامعنی بودن کاملاً اختیاری است، و شخص آزمایشگر آن را تعیین می‌کند. آزمایشگر ناچار نیست که خود را به سطح ۱٪ یا ۵٪ محدود کند، در صورت لزوم می‌تواند سطح ۱۰٪ یا هر سطح مناسب دیگری را به کار ببرد. اما اگر به جای ۱٪ یا ۵٪ از سطح ۱۰٪ استفاده کند، احتمال اینکه یک اختلاف ظاهری را که واقعیت ندارد بپذیرد بیشتر می‌شود. بنابراین، هنگام خواندن و تعبیر کردن داده‌های تجربی، دانستن سطح احتمالی که آزمایشگر به عنوان محکی برای بامعنی بودن از آن استفاده کرده است مهم است.

تعیین بامعنی بودن اختلاف میان میانگینها مبتنی بر این واقعیت است که در یک جمعیت با توزیع بهنجار نه تنها میانگینهای نمونه‌های جمعیت به صورت بهنجار حول میانگینهای واقعی توزیع شده‌اند، بلکه توزیع اختلاف میان میانگینها نیز بهنجار است. اگر بخواهیم تعداد خیلی زیادی نمونه مکرر از یک جمعیت را رسم کنیم، میانگین هر نمونه را حساب

می‌کنیم، میانگین نمونه دوم M_2 را از میانگین نمونه اول M_1 کم اختلافات آنها را رسم می‌کنیم، در این صورت منحنی بهنگاری حول میانگین صفر به دست می‌آوریم که انحراف معیار آن خطای معیار اختلاف میان میانگینهای نامیده می‌شود. برای برآورد خطای معیار اختلاف میانگینهای دونمونه، از معادله (۳۳.۹) که شکل کلیتر آن به صورت زیر است استفاده می‌کنیم

$$\sigma_{\text{diff}} = \sqrt{(\sigma_{M_1}^2 + \sigma_{M_2}^2)} \quad (34.9)$$

که در آن σ_M مجدول خطای معیار مقدار میانگین است. در اندازه‌گیریهای شمارش، این خطای معیار میانگین با معادله (۳۱.۹) که خطای معیار آهنگ شمارش میانگین را به دست می‌دهد، داده می‌شود

$$\sigma_M = \sqrt{\frac{r}{t}} \quad (35.9)$$

با استفاده از آزمون t معلوم می‌شود که اختلاف میان دو مقدار میانگین اندازه‌گیری شده، بر حسب خطای معیار اختلاف میان میانگینهای، چقدر با صفر تفاوت دارد

$$t = \frac{|M_1 - M_2|}{\sigma_{\text{diff}}} = \frac{|M_1 - M_2|}{\sqrt{r_1/t_1 + r_2/t_2}} \quad (36.9)$$

مثال ۷.۹

نمونه‌ای از یک آب آشامیدنی برای مدت ۱۰ دقیقه شمارش شده و ۵۳۰ شمارش به دست آمده است. آهنگ زمینه، در یک شمارش ۳۰ دقیقه‌ای، برابر ۵۰ cpm بوده است. آیا در سطح اطمینان ۹۵٪ می‌توان فعالیتی به این آب نسبت داد؟ حل:

$$M_1 = \frac{530 \text{ شمارش}}{10 \text{ دقیقه}} = 53 \text{ cpm} \quad t_1 = 10 \text{ min}$$

$$M_2 = 50 \text{ cpm} \quad t_2 = 30 \text{ min}$$

$$t = \frac{53 - 50}{\sqrt{(53/10 + 50/30)}} = 1.13$$

این نتیجه نشان می‌دهد که اختلاف اندازه‌گیری شده به اندازه ۱.۱۳ را انحراف معیار با صفر اختلاف دارد. از جدول مساحت زیر منحنی بهنگار معلوم می‌شود که ۱.۱۳ را انحراف معیار شامل ۳۷٪ مساحت در هر طرف مقدار میانگین است، یعنی ۷۴٪ مساحت بین ۱.۱۳ را \pm

انحراف معیار قرارداده است. این نتیجه را این طور تعبیر می‌کنیم که اگر دونمونه از یک جمعیت باشند با احتمال ۲۶ درصد انتظار می‌رود که با اختلافی برابر ۱۱۳ انحراف معیار یا بزرگتر رو به رو شویم. بنابراین، اختلاف بین دونمونه با معنی نیست. برای اینکه اختلاف در سطح اطمینان ۹۵٪ با معنی باشد، اختلاف میان دومیانگین باید به قدری بزرگ باشد که فقط در ۵ درصد موارد مشاهده شود.

بینه‌سازی زمان شمارش

به منظور کمینه‌سازی عدم قطعیت آماری آهنگ شمارش خالص، می‌توان زمان موجود برای تعیین آهنگ شمارش خالص یک نمونه را به زمان شمارش زمینه و زمان شمارش نمونه تقسیم کرد. انحراف معیار آهنگ شمارش خالص از معادله (۳۳.۹) به دست می‌آید

$$\sigma_n = \sqrt{\left(\frac{r_g}{t_g} + \frac{r_{bg}}{t_{bg}} \right)} \quad [۳۳.۹]$$

که با مجذور کردن آن داریم

$$\sigma_n^2 = \frac{r_g}{t_g} + \frac{r_{bg}}{t_{bg}} \quad (۳۷.۹)$$

و با مشتق‌گیری از رابطه بالاً نسبت به t خواهیم داشت

$$2\sigma_n d\sigma_n = -r_g t_g^{-2} dt_g - r_{bg} t_{bg}^{-2} dt_{bg} \quad (۳۸.۹)$$

برای اینکه t کمینه شود، فرار می‌دهیم $0 =$

$$0 = \frac{r_g}{t_g^2} dt_g - \frac{r_{bg}}{t_{bg}^2} dt_{bg} \quad (۳۹.۹)$$

از آن حاصل می‌شود

$$\frac{r_g}{t_g^2} dt_g = -\frac{r_{bg}}{t_{bg}^2} dt_{bg} \quad (۴۰.۹)$$

چون زمان شمارش کل t ثابت است، داریم

$$t = t_g + t_{bg} \quad (۴۱.۹)$$

$$dt_g + dt_{bg} = 0 \quad (42.9)$$

با مرتب کردن معادله (۴۰.۹) و استفاده از معادله (۴۲.۹) نتیجه می شود

$$\frac{r_g/t_g}{-r_{bg}/t_{bg}} = \frac{dt_{bg}}{dt_g} = \frac{dt_{bg}}{-dt_{bg}} = -1 \quad (43.9)$$

که به تقسیم بهینه زمان شمارش کل بین زمان شمارش نمونه و زمان شمارش زمینه منجر می شود

$$\frac{t_g}{t - t_g} = \sqrt{\frac{r_g}{r_{bg}}} \quad (44.9)$$

۸.۹ مثال

مجموع زمان شمارش نمونه و زمان شمارش زمینه برابر ۱ ساعت است. اندازه گیریهای مقدماتی نشان می دهد که زمینه در حدود ۱۵ شمارش در دقیقه و آهنگ شمارش نمونه در حدود ۲۲ cpm است. برای اینکه خطای آماری شمارش به حداقل برسد، اندازه گیری نمونه و زمینه چه مدت باید به طول انجامد؟

حل: با استفاده از معادله (۴۲.۹) داریم

$$\frac{t_g}{60 - t_g} = \sqrt{\frac{22}{15}}$$

$$t_g = 32 \text{ min}$$

$$t_{bg} = 60 - t_g = 27 \text{ min}$$

میانگینهای وزنی

غالباً چندین نمونه مختلف از یک محل یا یک مجموعه انتخاب می شود، و در این صورت مقداری که به مجموعه نسبت داده می شود، میانگین چندین نمونه است. به عنوان مثال، چگالی میانگین فعالیت در یک دریاچه یا رودخانه را می توان با استفاده از تعدادی نمونه که از آن گرفته می شود تعیین کرد. ولی این روش از لحاظ آماری فقط در صورتی که تمامی اندازه گیریها با درجه یکسانی از دقت نسبی انجام شده باشند معتبر خواهد بود. اگر دقت اندازه گیریها متفاوت باشد، برای رسیدن به بهترین برآورد از میانگین واقعی، باید به

اندازه‌گیریهای دقیقتر وزن بیشتری نسبت بددهیم. درمثال زیر، روش تعیین میانگین وزنی توضیع داده می‌شود.

مثال ۹.۹

برای تعیین فعالیت یک استخر، ۴ نمونه از آن برداشته شد، و آهنگهای شمارش در لیتر این نمونه‌ها به صورت ۱۰۵ ± ۱۵ ، ۹۵ ± ۲۳ ، ۱۱۸ ± ۱۲ و ۹۴ ± ۶ به دست آمدند. میانگین و انحراف معیار مربوط به این داده‌ها برابر ۱۰۳ ± ۱۱ است. خطای معیار میانگین از رابطه زیر برابر ۵ ± ۶ به دست می‌آید

$$\sigma_M = \frac{\sigma}{\sqrt{n-1}} \quad (45.9)$$

که در آن، σ انحراف معیار توزیع و n تعداد نمونه‌هاست. طبق این محاسبه، بهترین تخمین آهنگ شمارش میانگین برابر ۱۰۳ ± ۶ است. اما باید توجه داشت که میزان دقت این اندازه‌گیریهای چهارگانه فوق العاده متفاوت است، و از ۲% برای اولی تا ۱۵% برای آخری تغییر می‌کند. در محاسبات بالا برای به دست آوردن میانگین اهمیت یکسانی به تمام این مقادیر داده شده است. اما به دلیل اختلاف فوق العاده زیاد در دقتشا، به مقدار اول باید وزن بیشتری نسبت به مقدار آخر داده شود. این عمل موزون‌سازی به صورت زیر انجام می‌شود:

ضریب وزن را به صورت زیر تعریف می‌کنیم

$$w_i = \frac{1}{\sigma_i^2} \quad (46.9)$$

در این صورت میانگین وزنی از رابطه زیر به دست می‌آید

$$M_w = \frac{\sum w_i M_i}{\sum w_i} \quad (47.9)$$

و خطای معیار میانگین وزنی برابر با رابطه زیر داده می‌شود

$$\sigma_{M_w} = \sqrt{\frac{1}{w_1 + w_2 + \dots + w_n}} \quad (48.9)$$

داده‌های این مثال را در جدول صفحه بعد می‌آوریم:

$M_i \pm \sigma_i$	σ_i^2	$w_i = 1/\sigma_i^2$	$w_i \times M_i$
95 ± 3	9	0.1111	10.56
105 ± 10	100	0.0100	1.05
94 ± 6	36	0.0278	2.61
118 ± 12	144	0.0070	0.82
		$\sum w_i = 0.1559$	$\sum w_i M_i = 15.04$
			$M_w = \frac{15.04}{0.1559} = 96.5$
			$\sigma_{Mw} = \sqrt{\frac{1}{0.1559}} = 2.54$

بنابراین، بهترین برآورد میانگین واقعی برابر 96.5 ± 2.54 است.

مسائل

- اگر فعالیت میانگین یک نمونه استاندارد برابر ۱۰۰۰ cpm باشد،
 - احتمال مشاهده دقیقاً ۴۰۰ شمارش در دقیقه چقدر است؟
 - احتمال اندازه گیری ۴۱۵-۳۹۵ شمارش در دقیقه چقدر است؟
- شمارش یک نمونه در ۱۵ دقیقه برابر ۵۶۵، و شمارش زمینه در ۱۵ دقیقه برابر ۳۹۰ است.
 - انحراف معیار آهنگهای شمارش ناخالص زمینه چقدر است؟
 - انحراف معیار آهنگ شمارش ناخالص چقدر است؟
 - حدود اطمینان ۹۵٪ و ۹۹٪ در آهنگ شمارش ناخالص چقدر است؟
- آهنگ شمارش زمینه در یک شمارش ۵ دقیقه‌ای برابر ۳۵ cpm است. در شمارش ۵ دقیقه‌ای یک نمونه، شمارش ناخالص برابر ۱۷۵ بدست آمده است.
 - در حد اطمینان ۹۵٪ آیا فعالیتی در نمونه وجود دارد؟
 - آیا در حد اطمینان ۹۵٪ فعالیتی در نمونه وجود دارد؟
- با استفاده از یک نمونه با طول عمر بلند دواندازه گیری برای آزمایش طرز کار یک شمارگر معین انجام شده است. نتیجه آزمون در اندازه گیری اول ۱۰۲۱۵ شمارش در ۱۵ دقیقه و در اندازه گیری دوم ۴۹۹۵ شمارش در ۵ دقیقه بوده است. آیا طرز کار شمارگر رضایت‌بخش است؟

۵. در شمارش یک دقیقه‌ای یک فعالیت ناخالص ۳۵ شمارش به دست آمده است. اگر زمینه ۱۵۶۰ شمارش در ۴۰ دقیقه باشد، برای اینکه آهنگ شمارش در حد اطمینان ۹۵ در محدوده $15 \pm$ درصد فعالیت واقعی قرار داشته باشد، نمونه چه مدت زمانی باید شمارش شود؟

۶. آهنگ شمارش میانگین نمونه‌ای که برای مدت ۱۵ دقیقه شمارش شده است برابر 32 cpm ، و آهنگ شمارش زمینه در یک شمارش ۱۵ دقیقه‌ای برابر 15 cpm است.

(الف) در حد اطمینان ۹۵٪ آهنگ شمارش خالص چقدر است؟

(ب) خطای محتمل (نسبی) در فاصله $1 \pm$ انحراف معیار از آهنگ شمارش خالص چقدر است؟

۷. آهنگ شمارش ناخالص نمونه‌ای (برمبنای یک شمارش دو دقیقه‌ای) برابر 10 cpm برآورده است. آهنگ شمارش زمینه در یک شمارش ۱ ساعتی برابر 35 cpm است. اگر بخواهیم با حد اطمینان ۹۵٪ آهنگ شمارش خالص در فاصله بین 15 ± 5 درصد آهنگ شمارش خالص واقعی قرار داشته باشد، چه مدت زمانی این نمونه باید شمارش شود؟

۸. (الف) شمارش ناخالص ۱ دقیقه‌ای نمونه‌ای برابر 100 cpm و شمارش زمینه در طول ۱ دقیقه برابر 50 است. آهنگ شمارش خالص این نمونه در حد اطمینان ۹۵٪ چقدر است؟

(ب) اگر نمونه وزینه هر کدام برای ۱۵ دقیقه شمارش شوند و به ترتیب آهنگهای شمارش 100 و 50 cpm را به دست پدهند، آهنگ شمارش خالص در حد اطمینان ۹۵٪ چقدر است؟

۹. آهنگ شمارش متوسط یک شمارگر حفاظگذاری شده و با شمارش زمینه کم برابر 2 cpm است. احتمال آنکه این شمارگر در شمارش ۱ دقیقه‌ای شمارش‌های زیر را ثبت کند چقدر است؟

(الف) ۲ شمارش

(ب) ۴ شمارش

(ج) صفر شمارش

۱۰. یک نمونه از آب رودخانه در نزدیکی لوله تخلیه پسماندهای یک آزمایشگاه پرتوزا، و نمونه دیگری در بالای محل تخلیه برداشته شده است. این دو نمونه برای ۱۵ دقیقه شمارش می‌شوند و به ترتیب 225 و 210 cpm به دست می‌دهند. در حد اطمینان ۹۹٪، آب پایین رودخانه پرتوزاتر است یا آب بالای رودخانه؟

۱۱. آهنگ شمارش میانگین واقعی یک نمونه استاندارد برابر 50 cpm است.

(الف) احتمال مشاهده دقیقاً 50 شمارش در ۱ دقیقه چیست؟

(ب) احتمال مشاهده $43\text{--}47$ شمارش در ۱ دقیقه چقدر است؟

(ج) احتمال مشاهده بیشتر از 57 شمارش در ۱ دقیقه چقدر است؟

۱۲. یک انافق یونش دریچه‌ای به ضخامت 2 mg/cm^2 دارد. هر گاه چشمۀ 21° Po با فعالیت ($370\text{ Bq}/\mu\text{Ci}$) در فاصلۀ ۱ سانتی‌متری جلوی این دریچه طوری قرار بگیرد که هندسه شمارش شامل 25% باشد، جریان یونشی اشباع را حساب کنید.

۱۳. یک انافق یونش بادیواره «هوا» و پرازه‌ها به حجم 100 cm^3 ، هنگامی که در میدان پرتوایکس می‌گیرد، جریان اشباعی به شدت $A = 10^{-12}\text{ A}$ تولید می‌کند. اگر دما 27° C و فشار جو 740 mmHg باشد، آهنگ پرتوده‌ی تابش چقدر است؟

۱۴. (الف) چه مقاومتی به طور متواالی با انافق یونش مسئله ۱۳ قرار بگیرد تا فلتانازی برای 10 mV ایجاد کنند؟

(ب) اگر ظرفیت انافق $F = 250\text{ }\mu\text{m}^3$ باشد، ثابت زمانی مدار آشکارساز چقدر است؟

(ج) چقدر طول می‌کشد تا این سنجه 99% جریان اشباع را اندازه بگیرد؟

۱۵. ظرفیت یک دزسنج جیبی $F = 5\text{ }\mu\text{m}^3$ و حجم حساس آن 15 cm^3 است. مقدار و لتنازه باردار کننده چقدر باشد تا این دزسنج بتواند در گستره $(5-515\mu\text{C/kg})/200\text{ mR}$ به کار رود؟ هنگامی که دزسنج مقدار 200 mR را اندازه می‌گیرد، لتناز دوسر آن باید نصف و لتناز باردار کننده باشد.

۱۶. ظرفیت یک لامپ گایگر $F = 25\text{ }\mu\text{m}^3$ و زمان لازم برای گردآوری تمام یونهای مثبت $S = 10^{-4} \times 221$ است. برای اینکه تپهای خروجی تیز باشند، باید ثابت زمانی مدار آشکارساز به $S = 50\text{ }\mu\text{m}^3$ محدود شود.

(الف) مقدار مقاومت متواالی چقدر است؟

(ب) اگر در هر تپ گایگر تعداد 10^8 زوج یون تولید شود، حد بالای تپ و لتناز خروجی چقدر است؟

۱۷. زمان تفکیک یک شمارگر گایگر $S = 250\text{ }\mu\text{s}$ است. اگر آهنگ شمارش 30000 cpm باشد، چه کسری از شمارشها بر اثر زمان مسرگ شمارگر ناشمرده می‌ماند؟

۱۸. این واقعیت که تکثیر گازی در شمارگر تناسبی خیلی کمتر از شمارگر گایگر است، به این معنی است که حساسیت ورودی تقویت کننده تپ مورد استفاده در شمارگر تناسبی باشد کمتر از حساسیت ورودی تقویت کننده تپ مورد استفاده در شمارگر گایگر باشد. حساسیت ورودی تقویت کننده‌ای را که در یک شمارگر تناسبی گازی بدون دریچه نیمکره به قطر 2 اینچ به کار می‌رود حساب کنید. ظرفیت شمارگر $F = 20\text{ }\mu\text{m}^3$ است و تقویت گاز در آن $B = 10^{34} \times 5$ بالغ می‌شود. فرض کنید که تپ خروجی در حد نصف ارتفاع بیشینه اش «سرچین» می‌شود.

۱۹. مطلوب است حساسیت یک آشکارساز نوترون گرمایی به حجم 50 cm^3 که با گاز BF_3 درصد غنی شده با فشار کل 70 cmHg پرشده است.

۲۰. اگر لامپ BF_3 مسئله ۱۳ به عنوان انافق یونش جریان به کار رود، جریان اشباعی ناشی از شمارگرمایی 10^9 نوترون در s/cm^2 چقدر است؟

۳۹۰. چقدر طول می‌کشد که حساسیت آشکارساز BF_3 در مسئله ۱۹ به اندازه ۱۵٪ کاهش یا بد؟
۳۹۱. حساسیت یک اتاق کیونکه با فشار 760 mmHg از گاز CH_4 پرشده است، در برابر نوترونهای 1 MeV و 10 MeV (بر حسب آمپر نوترون در s/cm^2) چقدر است؟ حجم اتاق 500 cm^3 است.
۳۹۲. یک چشم CO_{60} با فعالیت $(27 \text{ mCi}) 1000 \text{ MBq}$ ناپدید شده است. یک وسیله بررسی که حساسیت آن در برابر تابش بالاتر از زمینه برابر $(0.05 \text{ mR/h}) 13 \mu\text{C/kg}$ در ساعت است، درجه فاصله‌ای از این چشم می‌تواند آن را آشکارسازی کند؟
۳۹۳. شار نوترون گرمایی ناشی از یک چشم استاندارد نوترون کند Cf-252 ، با تابش دهی به یک برگه طلا به قطر ۱ سانتی‌متر و به ضخامت 13 cm در 5 hr به مدت ۷ روز و در فاصله 100 cm از این چشم، تعیین می‌شود. برگه طلا بلا فاصله پس از پایان دوره پرتو گیری، اندازه گیری می‌شود و فعالیت آن برابر $(27 \text{ nCi}) 100 \text{ Bq}$ به دست می‌آید. شار گرمایی در نقطه‌ای که برگه تابش می‌گیرد چقدر است؟ سطح مقطع فعالسازی طلا برابر 9.85 barn است.
۳۹۴. یک شمارگر نوترون گرمایی به قطر ۱ سانتی‌متر و طول ۱۵ سانتی‌متر با گاز BF_3 در فشار جو و دمای 20°C پرشده است. هنگامی که شمارگر در شار نوترون گرمایی $(E_{mp} = 0.25 \text{ eV}) 1000 \text{ nR}$ نوترون بر سانتی‌متر مربع در ثانیه قرار می‌گیرد، آهنگ شمارش آن چقدر است؟

حفظت در برابر تابش خارجی

اصول پایه

عمل حفاظت در برابر تابش جنبه خاصی از کنترل خطرات بهداشت محیط است که با استفاده از امکانات فنی انجام می‌شود. در محیط صنعتی، معمولاً سعی می‌شود که کانون خطر را به کلی از میان بردارند، همان‌طور که ابتدا به جای بنزن از کربن تراکلرید و سپس به جای کربن تراکلرید از تریکلر و اتیلن به عنوان حلال در روغن-زدایی از قطعات ماشینی استفاده کردند. اگر حذف کانون خطر عملی نباشد، سعی می‌کنند آن را محصور کنند و بدین ترتیب از آسیب‌رسانی آن به انسانها جلوگیری می‌شود. اگر هیچیک از این دو راه حل عملی نبود، آن وقت انسانها را می‌منزوی می‌کنند و آنها را از خطر دور نگه می‌دارند. چگونگی کاربرد دقیق این اصول کلی، در مرور حفاظت در برابر تابش، به تک تک موارد حفاظتی بستگی پیدا می‌کند. در کار حفاظت در برابر تابش، آسانتر این است که مسئله را به دو بخش تقسیم کنیم: حفاظت در برابر تابش خارجی؛ و حفاظت در برابر آلودگی شخصی ناشی از ورود ماده پرتوزا به داخل بدن همراه با تنفس، غذا، و یا در اثر تماس.

فنون حفاظت در برابر تابش خارجی

تابش خارجی عبارت است از تابشی که از ماشینهای پرتو γ و دیگر دستگاهها بی که مشخصاً

برای تولید تابش طراحی شده‌اند، یا از دستگاه‌هایی مانند میکروسکوپ الکترونی که تو لید پرتو X از اثرات جانبی آنهاست، و همچنین از ایزوتوبهای پرتوزا سرچشمہ می‌گیرد. اگر خنثی‌سازی و از بین بردن چشمہ تابش عملی نباشد، آنگاه با به کار بردن همزمان یکی دو روش از فنون سه‌گانه زیرمی‌توان پرتوگیری افراد را در برابر تابش خارجی تحت کنترل درآورد:

۱. به‌حداقل رساندن زمان پرتوگیری،
۲. به‌حداکثر رساندن فاصله از چشمہ تابش،
۳. حفاظت‌گذاری پیرامون چشمہ تابش.

زمان

اگرچه بسیاری از اثرات زیست‌شناسی تابش به‌آهنگ دز بستگی دارد، ولی در موارد مربوط به کنترل محیط می‌توان رابطه مقابل زیر را معتبر دانست

$$\text{دز کل} = \text{زمان پرتوگیری} \times \text{آهنگ دز}$$

برای مقادیری از دز کل که بزرگی آنها از مرتبه مقدار RPG یا دو برابر آن است، هیچگونه اطلاعات آزمایشگاهی یا کلینیکی که این فرض را نقض کند وجود ندارد. بنا بر این، اگر لازم باشد که در میدان تابش نسبتاً شدید کار کنیم، مانند وقتی که یک سیکلوترون پرتوزا شده در ارجذب نوترون را تعییر، ویا وقتی که یک چشمہ پرتونگاری را دستکاری می‌کنیم، با محدود کردن زمان پرتوگیری می‌توان کار مورد نظر را طبق موازین اینمی تابش انجام داد، به‌طوری که حاصل ضرب آهنگ دز در زمان پرتوگیری از مقدار دزمجاز بیشینه تجاوز نکند. برای مثال، در مورد شخصی که حرفاش پرتونگاری است و باید ۵ روز در هفته در میدان تابش (۴۸ min) می‌توان از پرتوگیری بیش از حد مجاز جلوگیری کرد. در این صورت، کل دز روزانه او فقط در حدود (۲۰ mSv) (۲۰ mrem/h) می‌باشد، یا باید یک پرتونگار دیگر استخدام کرد یا اینکه با تغییر طرح عملیات باید شدت میدان تابش را کاهش داد.

فاصله

بدیهی است که با افزایش فاصله از یک چشمہ تابش، میزان پرتوگیری تابشی کاهش می‌یابد. این نکته، هنگامی که به صورت کمی بیان شود، به ابزار نیرومندی در خدمت اینمی تابش مبدل می‌شود. در زیر، چشمہ تابشی را به شکل نقطه‌ای، خطی، و صفحه‌ای در نظر می‌گیریم. و میزان دز حاصل از آنها را بر حسب فاصله محاسبه می‌کنیم. برای یک چشمہ نقطه‌ای، تغییرات آهنگ دز بر حسب فاصله به صورت ساده قانون

عکس مجدور، معادله (۲۰.۹)، داده می‌شود. به عنوان نمونه، قدرت چشمۀ کپالت ۵ که در هر فروپاشی یک فوتون ۱۷ MeV و یک فوتون ۳۱ MeV از خود گسیل می‌کند، تقریباً از معادله (۱۷.۶) بدست می‌آید

$$\Gamma = ۳۶ \times ۱۰^{-۹} \sum f_i E_i \frac{(C/kg)m^2}{MBq.h}$$

$$= ۹ \times ۱۰^{-۹} \left(\frac{(C/kg)m^2}{MBq.h} \right) (۱۳ \frac{R.m^2}{Ci.h})$$

برای یک چشمۀ آهنگۀ پرتودهی در فاصله ۱ متری در حدود ۳۷ MBq (۱۰۰ mCi) از ۳۳۵ $\mu C/kg.h$ (۱۳۰ mR/h) است. اگر پرتو نگاری بخواهد هر روزه ۱ ساعت با این چشمۀ کار کند، آهنگۀ ذیبیشنیه اش نباید از $20 mSv/h$ ($20 mrem/h$) تجاوز کند. این محدودیت را با استفاده از ابزار کارتیاس از دور که طول آن طبق محاسبۀ قانون عکس مجدور، معادله (۲۰.۹)، دستکم ۲۵ m می‌توان مراحت کرد.

اگر بخواهیم عمل پرتو نگاری را در یک انتهای اتساق که به این کار اختصاص دارد انجام دهیم، یا باید مانعی نرده‌ای در مقابل چشمۀ قرار دهیم که در خارج از آن آهنگۀ ذیبیشنیه آهنگۀ مجاز هفتگی تجاوز نکند، یا اگر این کار بعمل محدودیت فضای امکان نداشته باشد باید حفاظتی در برابر آن قرار دهیم. در صورتی که از مانع نرده‌ای استفاده شود، فاصله آن تا چشمۀ باید چنان باشد که آهنگۀ ذی از مقدار زیر پیشتر نشود

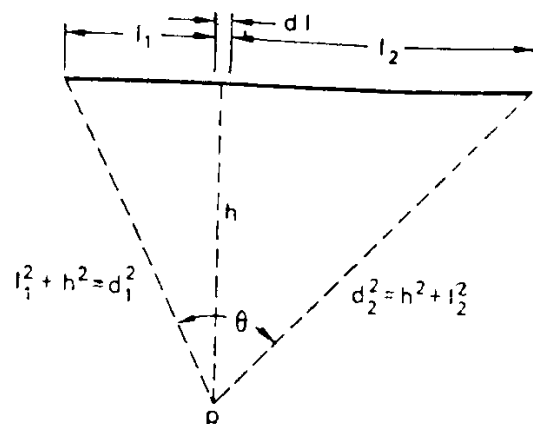
$$\frac{1 mSv/W}{40 h/W} = ۰.۲۵ mSv/h (۰.۲۵ mrem/h)$$

با استفاده از قانون عکس مجدور، این فاصله برابر $7.2 m$ بدست می‌آید.

در مورد یک چشمۀ تابش خطی، مانند لوله حامل پسماند مایعی آلوude، محاسبۀ تغییرات آهنگۀ ذی بر حسب فاصله از لحاظ ریاضی پیچیدگی بیشتری دارد. اگر تراکم خطی فعالیت چشمۀ کاما گسیلی به قدرت Γ برابر با C_i مگابکرل یا میلی کوری در واحد طول باشد، آهنگۀ ذی در نقطه p که به فاصله h از طول بی‌نهایت کوچک d قرار دارد (شکل ۱.۱۰)، عبارت است از

$$dD_p = \frac{\Gamma \times C_i \times dl}{l^2 + h^2} \quad (1.10)$$

و آهنگۀ ذیناشی از فعالیت کل طول لوله چنین می‌شود

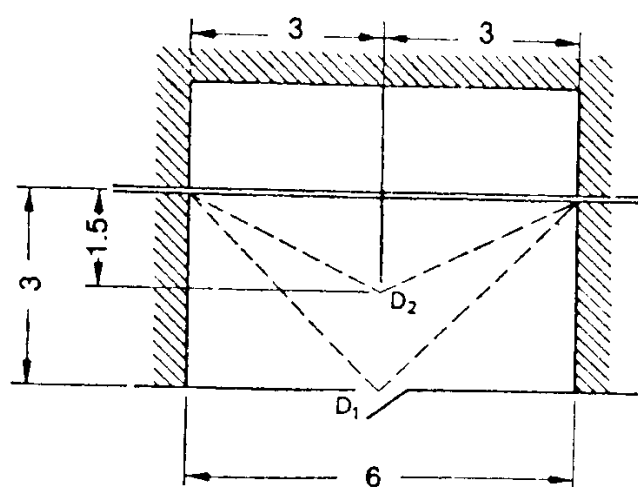


شکل ۱۰.۱۰ نمایش هندسی یک چشمۀ خطی، با فعالیت C_1 میلی‌کوری در واحد طول، برای محاسبه آنکه ذگاما در یک نقطه به فاصلۀ h از چشم.

$$\begin{aligned}
 D_p &= \Gamma C_1 \int_0^{l_1} \frac{dl}{l^2 + h^2} + \Gamma C_1 \int_0^{l_2} \frac{dl}{l^2 + h^2} \\
 &= \frac{\Gamma C_1}{h} \left(\tan^{-1} \frac{l_1}{h} + \tan^{-1} \frac{l_2}{h} \right) \\
 &= \frac{\Gamma \times C_1 \times \theta}{h}
 \end{aligned} \tag{۲.۱۰}$$

مثال ۱۰.۱۰

یک جریان آب خنک کننده که از لولۀ بساد یکی می‌گذرد، دارای فعالیت پرتو زایی ^{24}Na است و در اتاقی به پهنه‌ای 6 m^2 در معرض دید قرار می‌گیرد. درب اتاق در وسط دیوار عتمتی و در فاصلۀ 3 m از لولۀ قرار دارد (شکل ۲۰.۱۰). در صورتی که تراکم خطی فعالیت برابر 100 MBq/m باشد،



شکل ۲۰.۱۰ طرح اتاق مربوط به مثال ۱۰.۱۰

(الف) آهنگ دزمعادل را در محل درب اتاق (\dot{H}_1) پیدا کنید.
حل: برای ^{24}Na ، طبق جدول ۳.۶، در فاصله ۱ متری داریم

$$\Gamma = ۱۵۲۸ \times 10^{-8} \text{ X/h.MBq}$$

آهنگ پرتودهی در فاصله ۳ m از لوله، عبارت است از

$$\begin{aligned}\dot{X}_1 &= \frac{2\Gamma C_1}{h} \tan^{-1} \frac{l}{h} \\ &= \frac{2 \times 1528 \times 10^{-8} \times 100}{3} \tan^{-1} \frac{3}{3}\end{aligned}$$

$$= 853 \times 10^{-7} \times \frac{\pi}{4} = 67 \times 10^{-7} \text{ X/h}$$

هر واحد X پرتودهی به ذکری در هوا منجر می‌شود. چون ضریب کیفیت پرتو گاما بر ابریک است، به ازای هر گری یک سیورت خواهیم داشت. بنابراین، آهنگ دزمعادل در محل درب اتاق چنین است

$$\begin{aligned}\dot{H}_1 &= 67 \times 10^{-7} \text{ X/h} \times ۳۴ \text{ Gy/X} \times 1 \text{ Sv/Gy} \\ &= 0.23 \times 10^{-3} \text{ Sv/h} \\ &= 0.023 \text{ mSv/h} (2.3 \text{ mrem/h})\end{aligned}$$

(ب) آهنگ دزمعادل در نقطه D_2 یا نقطه وسط فاصله بین درب و لوله، که به فاصله ۱۵ m از لوله قرار دارد، چقدر است؟
نسبت بین دو آهنگ دزمعادل، \dot{H}_1 در فاصله ۱۵ m و \dot{H}_2 در فاصله ۳ m از لوله، عبارت است از

$$\begin{aligned}\frac{\dot{H}_1}{\dot{H}_2} &= \frac{2\Gamma C_1/h_1 \times \theta_1}{2\Gamma C_1/h_2 \times \theta_2} \\ \frac{\dot{H}_1}{\dot{H}_2} &= \frac{h_2}{h_1} \times \frac{\theta_1}{\theta_2} \quad (3.10)\end{aligned}$$

در این مثال، داریم

$$\theta_2 = 2 \tan^{-1} \frac{3}{15} = 1.4\pi \text{ rad} \quad \text{و} \quad \theta_1 = 2 \tan^{-1} \frac{3}{3} = \frac{\pi}{2} \text{ rad}$$

پس از قراردادن مقادیر معلوم در معادله (۳.۱۰)، حاصل می‌شود

$$\frac{۰۵۰۲۳}{\dot{H}_2} = \frac{۱۵}{۳} \times \frac{\pi/۲}{۱۴\pi}$$

$$\dot{H}_2 = ۰۱۲۸ \text{ mSv/h} (۱۲۸ \text{ mrem/h})$$

متخصصان فیزیک بهداشت در بسیاری از موارد به این نتیجه می‌رسند که داشتن یک رابطه کمی میان آهنگ دز و فاصله از یک چشم نابش صفحه‌ای بسیار مقید است. فرض می‌کنیم که چشم‌های نازک به شعاع ۲ متر و تراکم سطحی C_a مگا بکرل بر متر مربع از یک گسیلنده گاما که قدرت آن در فاصله ۱ متری $\Gamma X/\text{h} \cdot \text{MBq}$ است، در اختیار داشته باشیم (شکل ۳.۱۰). در این صورت، چون پرتو دهی X متناظر با $1 \text{ Sv/Gy} \times ۳۴ \text{ Gy}$ دز در هواست و همچنین چون در مورد نابش گاما داریم $1 \text{ QF} = 1$ ، آهنگ دز معادل در نقطه p که روی محور مرکزی صفحه چشم و به فاصله h از صفحه قرار دارد، عبارت است از

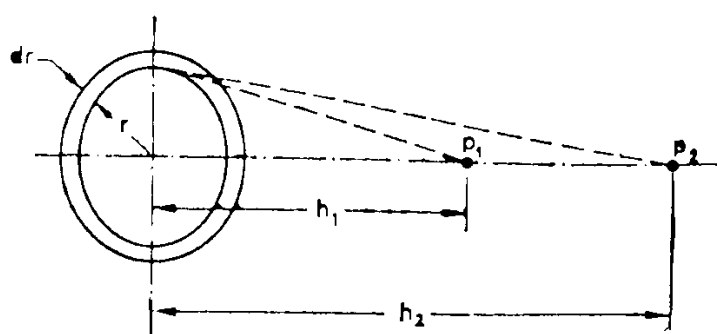
$$\dot{H} = \int_0^R \frac{\Gamma \frac{X \cdot \text{m}^2}{\text{MBq} \cdot \text{h}} \times ۳۴ \text{ Gy/X} \times ۱ \text{ Sv/Gy} \times C_a \text{ MBq/m}^2 \times ۲\pi r dr}{r^2 + h^2} \\ = ۳۴\pi \times \Gamma \times C_a \times \ln \frac{R^2 + h^2}{h^2} \text{ Sv/h} \quad (۴.۱۰)$$

چنانچه فعالیت بر حسب کوری Γ در ۱ متری بر حسب رونتگن بر کوری در ساعت داده شود، چون پرتو دهی R متناظر با دز معادل 1 rem است، آهنگ دز معادل چنین می‌شود

$$\dot{H} = \pi \times \Gamma \frac{R \cdot \text{m}^2}{\text{Ci} \cdot \text{h}} \times C_a \text{ Ci/m}^2 \times \ln \frac{R^2 + h^2}{h^2} \quad (۵.۱۰)$$

نسبت آهنگ دز معادل در فاصله h_1 به آهنگ دز معادل در هر فاصله دیگر، h_2 ، چنین خواهد شد

$$\frac{\dot{H}_1}{\dot{H}_2} = \frac{\ln[(R^2 + h_1^2)/h_1^2]}{\ln[(R^2 + h_2^2)/h_2^2]} \quad (۶.۱۰)$$



شکل ۳.۱۰ نمایش هندسی یک چشم صفحه‌ای برای محاسبه تغییرات آهنگ دز بر حسب فاصله از چشم.

مثال ۲۰۱۰

مقدار 50 MBq از محلول $^{24}\text{NaCl}$ روی سطح قرصی به قطر 50 cm پخش شده است. آهنگ پرتوهای گاما در نقاطی به ارتفاع (الف) 30 cm ، (ب) 1 m از صفحه چقدر است؟

حل: (الف) با توجه به جدول ۳.۶، ثابت گسیل ویژه پرتو گاما برای ^{24}Na در 1 m چشمی عبارت است از $h = 1.28 \times 10^{-8} \text{ X/MBq.h}$. تراکم سطحی در این مسئله عبارت است از $C_a = 50 \text{ MBq/m}^3 = 25465 \text{ MBq/m}^3$. پس از قراردادن مقادیر معلوم در معادله (۴.۱۰)، حاصل می‌شود

$$\dot{H} = 34\pi \times 1.28 \times 10^{-8} \times 25465 \times \ln \frac{0.25^2 + 0.32^2}{0.32^2}$$

$$= 1.84 \times 10^{-4} \text{ Sv/h}$$

$$= 0.184 \text{ mSv/h} (18.4 \text{ mrem/h})$$

(ب) همچنین با قراردادن مقادیر معلوم در معادله (۴.۱۰)، بدست خواهد آمد

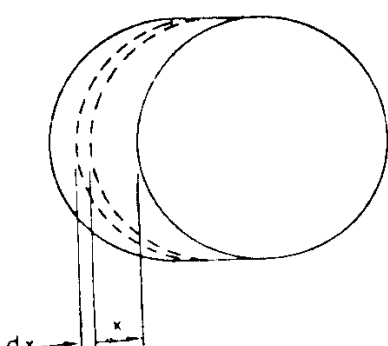
$$\frac{\dot{H}_2}{\dot{H}_1} = \frac{\ln[(0.25^2 + 0.32^2)/0.32]}{\ln[(0.25^2 + 1^2)/1]}$$

$$H_2 = 0.21 \text{ mSv/h} (21 \text{ mrem/h})$$

آهنگ پرتودهی یک چشمۀ ضخیم، که شامل توزیع یکنواختی از ایز و توب گسیلنده گاماست، با استفاده از فعالیت سطحی مؤثر و پس از درنظر گرفتن جذب در خود چشمۀ قابل تخمین است. تیغه بزرگی به ضخامت t و با فعالیت یکنواخت $C_a \text{ MBq/m}^3$ را مطابق شکل ۴.۱۰ در نظر می‌گیریم. ضرب جذاب خطی تیغه μ است. فعالیت ناشی از پرتوزایی لایه dx که در عمق x قراردارد، در سطح تیغه عبارت است از

$$d(C_a) = C_a \cdot dx \cdot e^{-\mu x} \quad (4.10)$$

با انتگرال گرفتن از این معادله در کل ضخامت تیغه، فعالیت سطحی مؤثر چنین می‌شود



شکل ۴.۱۰ نمایش هندسی شرایط فیزیکی در محاسبۀ معادله (۴.۱۰).

$$C_a = \int_0^t C_v e^{-\mu x} dx = \frac{C_v}{\mu} (1 - e^{-\mu t}) \quad (8.10)$$

پس از قرار دادن معادله (۸.۱۰) در معادله (۴.۱۰)، حاصل می‌شود

$$\dot{H} = ۳۴ \pi \Gamma \frac{C_v}{\mu} (1 - e^{-\mu t}) \ln \frac{R^2 + h^2}{h^2} \text{ Sv/h} \quad (9.10)$$

هنگامی که فعالیت بر حسب کوری و Γ در ۱ متری بر حسب رونتگن بر کوری در ساعت بیان شود، معادله بالا به صورت زیر درمی‌آید

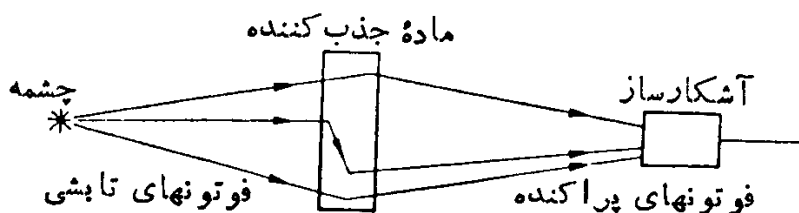
$$\dot{H} = \pi \Gamma \frac{C_v}{\mu} (1 - e^{-\mu t}) \ln \frac{R^2 + h^2}{h^2} \text{ rem/h} \quad (10.10)$$

حفظ گذاری

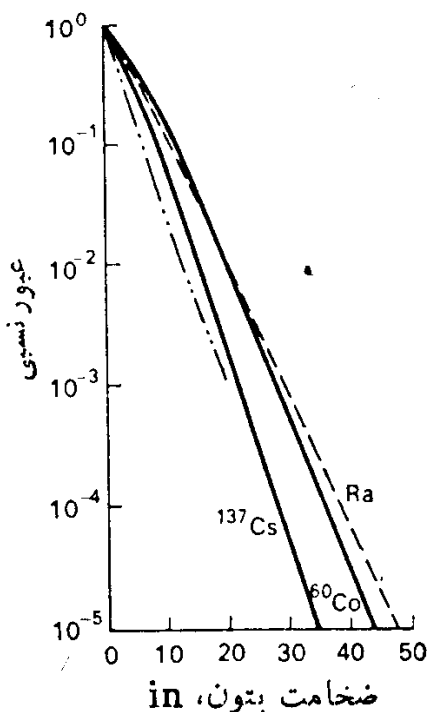
در فصل ۵ دیدیم که در شرایط هندسی خوب، تضعیف باریکه‌ای از پرتوهای گاما را می‌توان از معادله زیر به دست آورد

$$I = I_0 e^{-\mu t} \quad [19.5]$$

اما در شرایط هندسی بد، یعنی در حالتی که با باریکه‌ای گسترده و یا با جذب کننده‌ای خیلی ضخیم کار می‌کنیم، معادله (۱۹.۵) ضخامت حفاظت را کمتر از مقدار لازم برآورد می‌کند. زیرا در محاسبه این معادله فرض شده است که هر فوتونی که با حفاظ برهم کنش کند از باریکه خارج خواهد شد، و در نتیجه به آشکارساز نمی‌رسد تا شمارش شود. در شرایط هندسی بد (شکل ۵.۱۵)، دیگر چنین فرضی معتبر نیست. در این حالت، ممکن است تعداد قابل توجهی از فوتونها پس از پراکندگی به آشکارساز برسند. به عبارت دیگر، ممکن است فوتونها بی‌که در اثر پراکندگی از باریکه خارج شده بودند، در برخورد دوم و پراکندگی مجدد به درون باریکه باز گردند و به آشکارساز برسند. این اثر را می‌توان به کمک نمودارهای تضعیف شکل ۵.۱۶، برای باریکه نازک و باریکه پهن حاصل از چشمۀ $C_0 = 6^\circ$ در حفاظ بتون، به روشنی نشان داد. شکل ۵.۱۶ نشان می‌دهد که در شرایط هندسی خوب، برای اینکه ۱۰٪



شکل ۵.۱۵ جذب گاما در شرایط «هندسی بد» که تأثیر فوتونهای پراکنده را بر آشکارساز نشان می‌دهد.



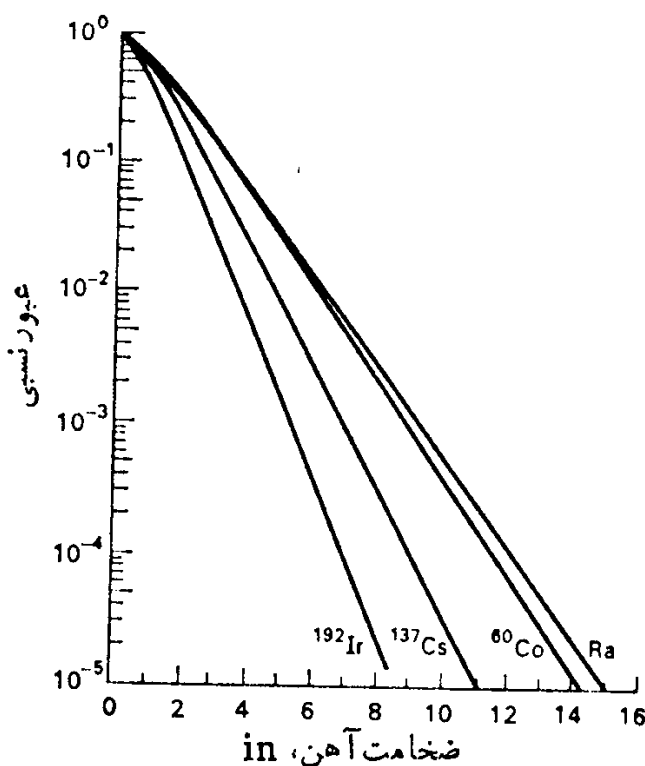
شکل ۶.۱۰ عبور نسبی پرتوهای گاما می‌حاصل از ^{60}Co , ^{137}Cs و Ra (در حال تعادل با محصولات واپاشی) از بتون. منحنی خط - نقطه عبور پرتوهای ^{60}Co را در شرایط هندسی خوب نشان می‌دهد. منحنیهای دیگر به عبور باریکه‌های پهن مربوط می‌شوند.

زیر پرتوهای گاما می‌تابشی عبور داده شود، ضخامت حفاظت بتونی باید در حدود $in \approx 7$ باشد. اما از سوی دیگر، اگر باریکه پهن باشد، چنین ضخامتی حدود ۲۵٪ از پرتوهای تابشی را از خود عبور خواهد داد. برای اینکه فقط ۱۵٪ از پرتوهای باریکه پهن عبور داده شود، لازم است که ضخامت بتون به حدود $in \approx 11$ برسد. هنگام طراحی حفاظت برای یک باریکه پهن تابشی، در صورت در دسترس داشتن اطلاعات تجربی، باید از این گونه اطلاعات در طرح حفاظت‌گذاری استفاده کرد. منحنیهای تضعیف برای باریکه‌های پهن ناشی از چشممهای رادیم، ^{60}Co , ^{137}Cs در حفاظتهاي بتونی، آهنی، و سربی را در شکلهای 6.10 , 7.10 , و 8.10 نشان داده‌ایم. هنگامی که اطلاعات تجربی مربوط به باریکه‌های پهن در دسترس نباشد، ضخامت حفاظت در شرایط هندسی بدد را می‌توان با تعدیل معادله (19.5) ، از طریق استفاده از ضریب تولید و انباشت B ، برآورد کرد

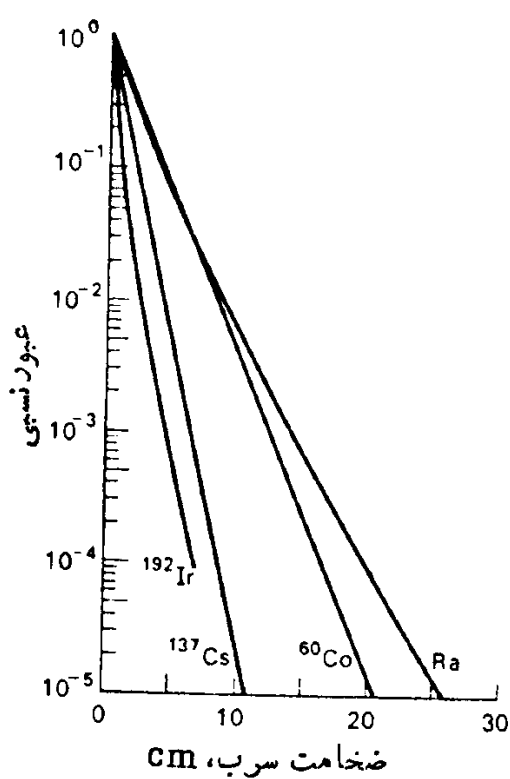
$$I = B \times I_0 e^{-\mu x} \quad (11.10)$$

ضریب تولید و انباشت را که همواره بزرگتر از ۱ است، می‌توان به صورت نسبت شدت مجموع پرتوهای اولیه و پراکنده در هر نقطه از باریکه به شدت پرتوهای اولیه در همان نقطه، تعریف کرد. ضریب تولید و انباشت را هم در مورد شار تابشی و هم در مورد دز تابشی می‌شود به کار برد. ضرایب تولید و انباشت را برای انزویهای مختلف پرتوگاما و برای اجسام مختلف جذب کننده محاسبه کرده‌اند.^۱ برخی از این مقادیر در شکلهای 9.10 و 10.10 نموده شده‌اند.

1. H. Goldstein and J. E. Wilkins, *Calculation of the Penetration of Gamma Rays*, U.S.A.E.C., NYO-3075, 1954.

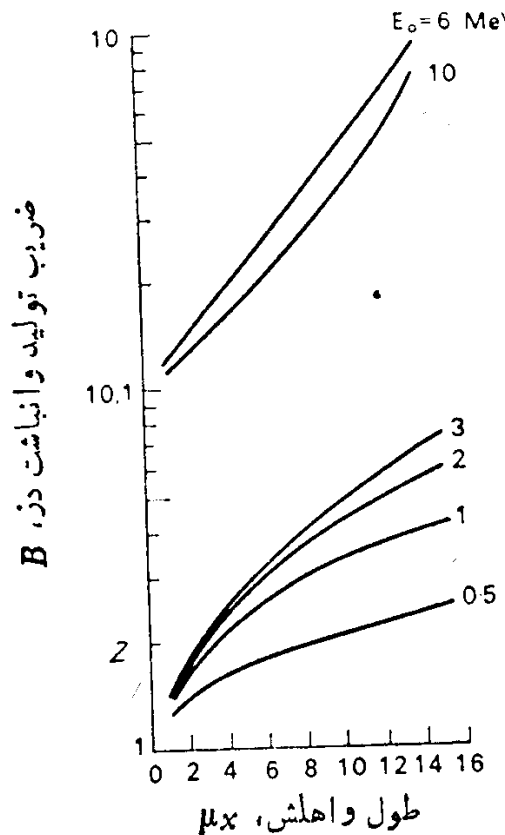


شکل ۷.۱۵ تضعیف باریکه‌های پهن پرتوهای گاماًی ناشی از ^{192}Ir , ^{137}Cs , ^{60}Co و رادیم در حفاظت آهنی.

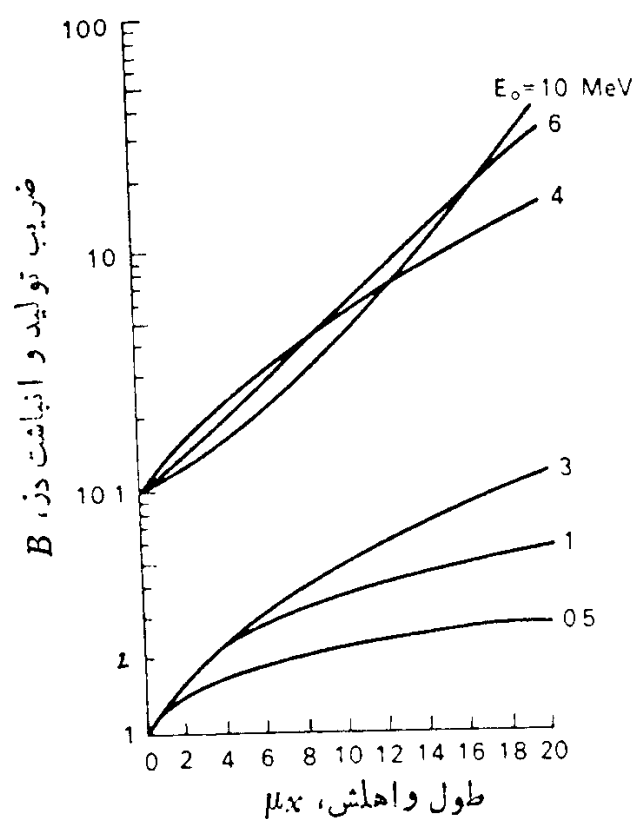


شکل ۸.۱۵ تضعیف باریکه‌های پهن پرتوهای گاماًی ناشی از ^{192}Ir , ^{137}Cs , ^{60}Co و رادیم در حفاظت سربی.

در این منحنیها، ضخامت حفاظت بر حسب طول واهلش مشخص شده است. یکای طول واهلش برابر با ضخامتی از حفاظت است که شدت یک باریکه نازک را به $1/e$ شدت اولیه‌اش کاهش می‌دهد. بنابراین، مقدار عددی یکای طول واهلش برابر با عکس ضرب



شکل ۹.۱۵ ضریب تولید و انباشت دز در سرب برای یک چشمۀ صفحه‌ای تکرار استای پرتو گاما با انرژی E_0 .



شکل ۹.۱۶ ضریب تولید و انباشت دز در سرب برای یک چشمۀ نقطه‌ای همسان‌کرد پرتو گاما با انرژی E_0 .

جذب می‌شود. کاربرد ضریب تولید و انباشت را، در تعیین ضخامت حفاظت، با مثالهای زیر نشان داده‌ایم.

مثال ۳.۱۵

می‌خواهیم که چشمۀ‌ای از ^{137}Cs با فعالیت $(1 \text{ Ci}) 10^4 \text{ MBq}$ را، هنگامی که مورد استفاده قرار نمی‌گیرد، در یک محفظۀ سربی کروی انبار کنیم. ضخامت سرب چقدر باید باشد تا آهنگ دز معادل در فاصلۀ ۱ متری چشمۀ از $(2.5 \mu\text{Sv/h}) (2.5 \text{ mrem/h})$ تجاوز نکند؟ فرض کنید که چشمۀ آنقدر کوچک است که می‌توان آن را «نقطه» در نظر گرفت.

حل: جدول ۳.۶ گسیل ویژۀ پرتو گامای حاصل از ^{137}Cs را در ۱ متری برای آهنگ پرتودهی چشمۀ بدون حفاظ در ۱ متری عبارت است از

$$\begin{aligned} \dot{X} &= 3.7 \times 10^4 \text{ MBq} \times 2.3 \times 10^{-9} \frac{\text{X} \cdot \text{m}^2}{\text{MBq} \cdot \text{h}} / (1 \text{ m})^2 \\ &= 8.5 \times 10^{-5} \text{ X/h} (0.33 \text{ R/h}) \end{aligned}$$

چون در امور مربوط به حفاظت در برابر تابش، پرتوودهی X را به صورت دز معادل $2.89 \times 10^{-3} \text{ Sv/h}$ در نظر می‌گیرند، مقدار $2.89 \times 10^{-5} \text{ Sv/h}$ متناظر با $2.89 \mu\text{Sv/h}$ یا 2.89 mrem/h خواهد شد. اگر تولید و انباشت در نظر گرفته نشود، ضخامت لازم برای سرب از معادله (19.05) و با استفاده از ضریب تضعیف پرتوهای گاما می‌باشد 1.66 MeV در سرب (بنا بر جدول 2.05 cm^{-1} داریم $1.66 = \mu$) به دست می‌آید.

$$I = I_0 e^{-\mu t}$$

$$2.5 = 2.89 \times e^{-1.66 t}$$

$$t = 3.84 \text{ cm}$$

در اینجا چون افزایش ضخامت ناشی از تولید و انباشت را در نظر نگرفته‌ایم، ضخامت حفاظت کمتر از حد لازم برآورد شده است.

در شکل‌های 9.10 و 10.10 ملاحظه می‌شود که ضریب تولید و انباشت به ضخامت حفاظت بستگی دارد. چون ضخامت حفاظت را هنوز نمی‌دانیم، معادله (11.10) دو مجهول دارد که یکی ضریب تولید و انباشت B و دیگری ضخامت حفاظت t است. در تعیین ضخامت مناسب برای حفاظت، ضخامتی را برآورد می‌کنیم، و آنگاه مقدار برآورد شده را در معادله (11.10) می‌گذاریم تا معلوم شود که این مقدار آهنگ دز را به میزان لازم کاهش خواهد داد یا نه. حداقل ضخامت حفاظت را با فرض تضعیف باریکه نازک حساب می‌کنیم و آنگاه ضخامتی معادل یک نیم-لایه (1HVL)، به خاطر تولید و انباشت، بدان می‌افزاییم. ضخامت نیم-لایه سرب برای پرتوهای گاما می‌باشد 1.66 cm .

$$\text{HVL} = \frac{0.693}{1.66} \text{ cm}^{-1} = 0.59 \text{ cm}$$

بنا بر این، ضخامت برآورد شده حفاظت عبارت است از $4.43 \text{ cm} + 0.59 = 4.82 \text{ cm}$ که معادل $4.43 \times 1.66 + 0.59 = 5.55 \text{ cm}$ یا برابر طول واهلش است. ضریب تولید و انباشت دز را با استفاده از درونیابی شکل 9.10 ، برای پرتوهای گاما می‌باشد 1.66 cm و برای حفاظتی سربی با این ضخامت، برابر 1.2 cm به دست می‌آوریم. پس از قراردادن این مقادیر B و t در معادله (9.10) ، حاصل می‌شود

$$I = 2.89 \times 1.2 \times e^{-1.66 \times 4.43}$$

$$= 25.2 \mu\text{Sv/h} (25.2 \text{ mrem/h})$$

این کاهش آهنگ دز پرتو گاما که در این محاسبه به دست می‌آید، درست در همان حدود مقدار مطلوب 2.5 mR/h است. بنا بر این، با این مقدار 4.43 cm که در بالا حساب شد،

می‌توان حدود ضخامت حفاظ را بدسترسی برآورد کرد. در این مثال، با استفاده از روش آزمون و خطای مقدار درست ضخامت را پس از یکبار آزمایش به دست آوردهیم. اگر در این محاسبه، با توجه به ضخامت برآورد شده حفاظ، آهنگ دزنابش نزدیک به مقدار مورد نظر به دست نمی‌آمد، باید از طریق آزمون و خطای آنقدر به برآورد ضخامت ادامه می‌دادیم تا ضخامتی که آهنگ دزنابش می‌داند حاصل می‌شد.

مثال ۴.۱۵

یک محفظه انبارنده سربی کروی شکل طراحی کنید که بتواند آهنگ پرتودهی ناشی از ۱ کوری ^{24}Na را، در ۱ متری چشم، به 10 mR/h کاهش دهد.
حل: در فرودپاشی هراتم ^{24}Na ، دو پرتوگاما به طور پیاپی گسیل می‌شوند: یکی با انرژی 275 MeV و دیگری با انرژی 37 MeV . آهنگ دزنابش از هر یک از این فوتونها، در فاصله ۱ متری، عبارت است از

$$\Gamma_{275} = 132 \text{ R} \cdot \text{m/Ci} \cdot \text{h}$$

و

$$\Gamma_{37} = 137 \text{ R} \cdot \text{m/Ci} \cdot \text{h}$$

در شرایط هندسی خوب، برای کاهش آهنگ پرتودهی فوتونهای انرژی بالاتر به میزان 10 mR/h ، با استفاده از ضریب تضعیف کل 1325 cm^{-1} ، خواهیم داشت

$$I/I_0 = 10/1320 = e^{-0.4756}$$

$$t = 1325 \text{ cm}$$

مقدار نیم-لایه سرب برای فوتونهای با این انرژی عبارت است از 46 cm . حال به اندازه نصف یک HVL یا 73 cm به ضخامت محاسبه شده در بالامی افزاییم، و آنگاه تضعیف پرتوگاما 275 MeV را حساب می‌کنیم

$$I = 1320 \times e^{-0.4756 \times 10.98}$$

$$= 714 \text{ mR/h}$$

تضعیف پرتوهای گاما 37 MeV ، با همان ضخامت از سرب، چنین می‌شود

$$I = 657 \times e^{-0.621 \times 10.98}$$

$$= 572 \text{ mR/h}$$

و آهنگ پر تودهی کل در فاصله ۱ متری از چشم، از جمع آهنگهای پر تودهی ناشی از دو نوع فوتون به دست می‌آید که عبارت است از 0.786 mR/h .
 محاسبه بالا بر پایه شرایط هندسی خوب به عمل آمد. اکنون تولید و انباشت در حفاظ را نیز ذر نظر می‌گیریم. در اینجا، فقط فوتونهای با انرژی بالاتر را در نظر می‌گیریم و نصف نیم - لایه دیگر ($1/2 \text{ HVL}$) را به ضخامت حفاظ اضافه می‌کنیم، که در این صورت ضخامت می‌شود 11.71 cm . چون طول واهلش برای گاماهای 2.75 MeV در سرب برابر 21 cm است، ضخامت حفاظ مورد نظر معادل عرض برابر طول واهلش می‌شود.
 با توجه به شکل ۹.۱۵، ضریب تولید و انباشت در حدود 13 r^0 به دست می‌آید. بدین ترتیب، تضعیف این حفاظ، طبق معادله (۱۱.۱۵)، چنین می‌شود

$$I = 1320 \times 3 \times 13 \times e^{-0.475 \times 11.71}$$

$$= 153 \text{ mR/h}$$

این آهنگ پر تودهی بیش از حد مجاز است، و از این رو باید بر ضخامت حفاظ افزوده شود. چنانچه به اندازه یک HVL دیگر بر حفاظ بیفزاییم، ضخامت 13.17 cm یا 13.42 cm برابر طول واهلش می‌شود. ضریب تولید و انباشت با این ضخامت برابر 3 ، و آهنگ پر تودهی فوتونهای با انرژی بالاتر برابر 0.5 mR/h خواهد شد. برای فوتونهای با انرژی پایینتر که طول واهلش آنها در سرب برابر 16.1 cm است، ضخامت حفاظ معادل 18.1 cm طول واهلش، و ضریب تولید و انباشت دز برابر 3 می‌شود. پس از قراردادن این مقادیر در معادله (۱۱.۱۵)، آهنگ پر تودهی فوتونهای 13.7 mR/h برابر 7 mR/h خواهد شد. بنابراین، آهنگ پر تودهی کل، در فاصله 1 m چشم حفاظگذاری شده Na^{24} ، برابر 9.2 mR/h بوده است می‌آید. چون در بسیاری از موارد عملی می‌توان این مقدار را معادل مقدار مجاز 10 mR/h در نظر گرفت، ضخامت لازم برای حفاظ مساوی 13.17 cm می‌شود. از آنجاکه این حفاظ را در هر جایی از فاصله بین چشم و محل پرتوگیری دز تضعیف شده می‌توان قرارداد، و از آنجاکه حجم سرب مصرف شده، در ساختن کره‌ای توخالی با دیوارهای به ضخامت معین، با افزایش شعاع کره به صورت زیر افزایش می‌یابد

$$\frac{4}{3}\pi(r_0^3 - r_i^3) = \text{حجم دیواره کره}$$

شعاع داخلی کره (r_i) را، با توجه به فضای لازم برای ابعاد فیزیکی چشم، تا حد ممکن کوچک می‌گیرند. سپس، شعاع خارجی کره (r_0) را از جمع شعاع داخلی و ضخامت حفاظ به دست می‌آورند.

حفاظت‌گذاری در برابر پرتوهای X

حفظه‌گذاری در پرتوهای X به دو صورت قابل بررسی است: حفاظت‌گذاری چشم، و حفاظت‌گذاری ساختمانی. حفاظت‌گذاری چشم، معمولاً به صورت محفظه‌ای سربی که لامپ مولد پرتو X در داخل آن قرار دارد، توسط کارخانه سازنده دستگاههای پرتو X رعایت می‌شود. مقررات ایمنی پیشنهادی کمیته ملی حفاظت در برابر تابش، دونوع محفظه حفاظتی زیر را برای دستگاههای پرتو X پزشکی مشخص کرده است^۱:

۱. محفظه تشخیصی: محفظه‌ای است که تابش نشتمان شده از آن، هنگامی که لامپ مولد پرتو X با حداکثر پتانسیل و حداکثر شدت جریان پیوسته کار می‌کند، در فاصله ۱ متری هدف از $100 \text{ mR} (30 \mu\text{C/kg})$ در ساعت تجاوز نمی‌کند.

۲. محفظه دهانی:

(الف) برای مولدهایی که حداکثر ولتاژشان از 500 kV کمتر است، محفظه‌ای است که تابش نشتمان شده از آن، هنگامی که لامپ مولد پرتو X با حداکثر پتانسیل و حداکثر شدت جریان پیوسته کار می‌کند، در فاصله ۱ متری هدف از $1 \text{ R} (3000 \mu\text{C/kg})$ در ساعت تجاوز نمی‌کند.

(ب) برای مولدهایی که حداکثر ولتاژشان 500 kV یا بیشتر است، محفظه‌ای است که تابش نشتمان شده از آن، هنگامی که لامپ مولد پرتو X با حداکثر پتانسیل و حداکثر شدت جریان پیوسته کار می‌کند، در فاصله ۱ متری هدف از $1 \text{ R} (3000 \mu\text{C/kg})$ در ساعت یا از ۱۵٪ آهنگ پرتو دهی باریکه مفید (هر کدام که بزرگتر است) تجاوز نمی‌کند.

برای مولدهای پرتو X غیرپزشکی، اتفاق محافظه مولدهای محفظه‌ای است که لامپ پرتو X یا لامپ و دیگر قسمتهای آن (نظیر مبدل و غیره) را در بر می‌گیرد و چنان ساخته می‌شود که تابش نشتمان شده از آن، در فاصله ۱ متری هدف، هیچگاه از 1 R در ساعت تجاوز نمی‌کند. منظور از تابش نشتمان شده در اینجا تمام پرتوهای خارج شده از محفظه، بجز باریکه مفید، است.

طراحی حفاظت ساختمانی به منظور حفاظت در برابر باریکه مفید X، تابش نشتمان شده، و پرتوهای پراکنده انجام می‌شود. حفاظت ساختمانی، فضای محل استقرار جسم پرتو غیرنده را همراه با لامپ مولد پرتو X (و همچنین اتفاق حفاظتی آن) در بر می‌گیرد. حفاظت‌گذاری ساختمانی ممکن است اشكال مختلفی داشته باشد. برای نمونه، حفاظت ساختمانی دستگاهی که یک پرتو-زیست‌شناس برای پرتو دهی به موجودات زنده کوچک به کار می‌برد، ممکن

۱. گزارش شماره ۴۹، NCRP، واشنگتن، دی. سی.، (۱۹۷۶) تحت عنوان، *Structural Shielding Design and Evaluation for Medical Use of x-rays and Gamma Rays of Energies up to 10 MeV.*

است به صورت جعبه‌ای با آستر سربی باشد. یا، در مورد اتفاقی که یک انسان بیمار را در داخل آن پر تودرمانی می‌کنند، حفاظ ساختمانی ممکن است به صورت پوششی باشد که کل اتفاق را فرامی‌گیرد. در هر مورد، حفاظ ساختمانی به‌این منظور طراحی می‌شود که انسانها بی‌راکه در خارج از یک محوطه باشد تا بشی بالا، به‌کار استغال دارند حفاظت کنند. عوامل تعیین‌کننده خصوصیات حفاظ ساختمانی در هر واحدی که با پرتو سروکار داشته باشد، به قرار زیرند:

۱. کیلو ولتاژ بیشینه‌ای که لامپ مولد پرتو X را به کار می‌اندازد.
۲. میلی آمپر بیشینه‌ای جریان حاصل از بار یکه پرتو X .
۳. حجم کار (W)، که معیاری است از میزان استفاده از ماشین پرتو X بر حسب یکای مناسب. در طراحی حفاظه‌های پرتو X ، معمولاً حجم کار را بر حسب میلی آمپر - دقیقه در هر هفته بیان می‌کنند.
۴. ضریب کار برد (U)، که عبارت است از کسری از حجم کار که در طی آن، بار یکه مفید X درجهت مورد بررسی قرار می‌گیرد.
۵. ضریب اشغال (T)، که عبارت است از عاملی که باید در حجم کار ضرب شود تا میزان یا نوع اشغال را در ناحیه مورد بررسی تصحیح کند. هنگامی که اطلاعات مربوط به اشغال به اندازه کافی در دسترس نباشد، مقادیر جدول ۱۰۱۰ را می‌توان در طراحی حفاظها به عنوان راهنمای عمل مورد استفاده قرار داد.

در بحثی که به دنبال می‌آید و همچنین در مثالهای مربوط به طراحی حفاظها، برای تعیین پر توده‌ی از یکای رونتگن استفاده شده است نه از یکای جدیدتر X یا C/kg . در اینجا جنبه‌های عملی کار را در نظر داشته‌ایم، زیرا اطلاعات لازم برای حفاظها که تاکنون منتشر شده‌اند (۱۹۸۳) همه بر پایه یکای قدیمی رونتگن بیان شده‌اند. می‌دانیم $R = 2 \times 10^{-4} C/kg$ است، پس هر گاه که لازم باشد از دستگاه جدید استفاده کنیم، می‌توانیم یکای قدیمی را به یکای جدید تبدیل کنیم.

با بر توصیه ICRP، بیشینه دز مجاز در پرتوگیری شغلی برابر $50 mSv(5000 mrem)$ در سال است. اگر این مقدار را به‌طور یکنواخت روی 50 هفته تقسیم کنیم، بیشینه دز مجاز برابر $(100 mrem/mSv)$ در هفته می‌شود. چون ضریب کیفیت پرتوهای X برابر 1 است و هر واحد X یا C/kg 1 هم مساوی $34 Gy$ دز در هواست، بیشینه دز مجاز شغلی معادل پرتوگیری $30 \mu C/kg$ می‌شود. در حفاظ‌گذاری مناطق تحت کنترل، از این مقدار $(100 mrem/mSv)$ در هفته یا بیشینه پرتوگیری مجاز، به عنوان مبنای طرح استفاده می‌شود. مطابق توصیه ICRP (در نمره شماره ۲۶)، دز معادل برای فردی که به خاطر حرفاش در معرض تابش نیست، نباید از $(500 mrem/mSv)$ در سال تجاوز کند. از این‌رو، مبنای طرح در حفاظ‌گذاری مناطق بدون کنترل برابر $(10 mrem/\mu C/kg)$ در هفته اختیار می‌شود.

جدول ۹.۱۵ ضرایب اشغال.

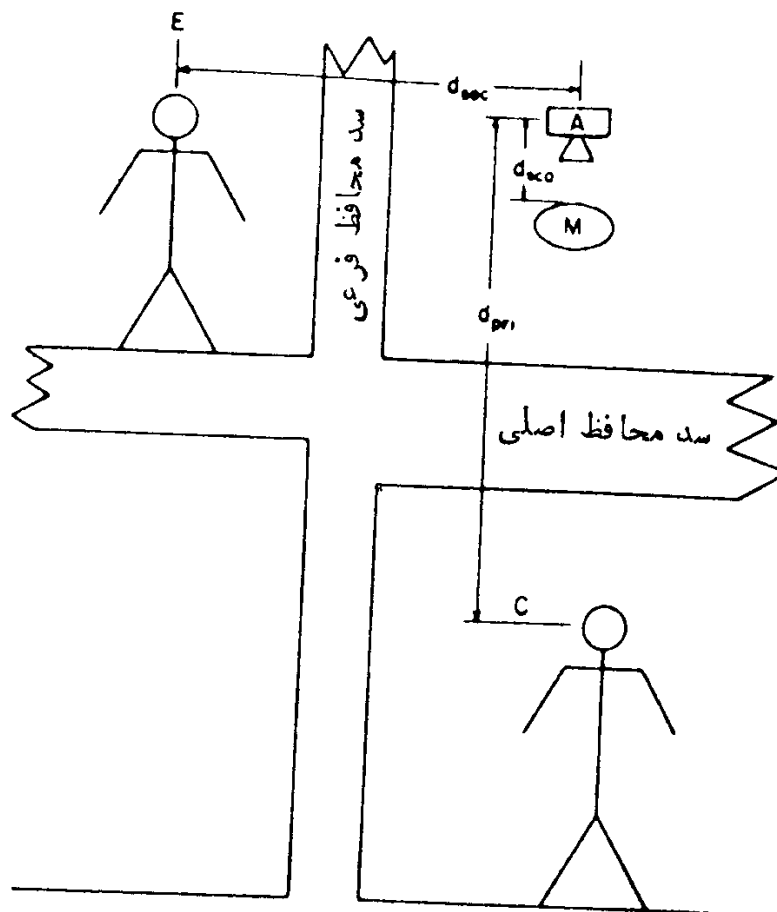
<p>فضای تحت کنترل، اتاقهای بیماران، اتاقهای کار، تاریک خانه‌ها، راهروهایی که می‌توان در آنها میز کار گذاشت، اتاقهای انتظار، اتاقهای استراحت کارکنانی که در معرض تابش قرار می‌گیرند، محوطه‌های بازی کودکان، محلهای موجودات جاندار، فضای اشغال شده در ساختمانهای مجاور.</p>	<p>اشغال تمام وقت $T = 1$</p>
<p>راهروهایی که نمی‌توان در آنها میز کار گذاشت، اتاقهای همگانی، اتاقهای استراحتی که کارکنان قسمت تابش معمولاً از آنها استفاده نمی‌کنند، آسانسورهایی که آسانسورچی دارند، محوطه‌های پارکینگ بدون کنترل.</p>	<p>اشغال پاره وقت $T = 1/4$</p>
<p>پلکانها، آسانسورهای خودکار، نواحی خارجی که فقط برای آمدوشد اتومبیلهای و پیاده‌ها از آنها استفاده می‌شود، پستوهایی که به عنوان اتاق کار قابل استفاده نیستند، توالت‌هایی که کارکنان قسمت تابش معمولاً از آنها استفاده نمی‌کنند.</p>	<p>اشغال گهگاهی $T = 1/16$</p>

برخی عوامل فیزیکی تعیین کننده خصوصیات حفاظتها لازم در برآور باریکه‌های پرتو X را در شکل ۱۱.۱۰ نشان داده‌ایم. در این شکل، از لامپ مولد پرتو X که در محفظه‌ای در A قرار دارد، یک باریکه موازی پرتو X به سوی بیمار M (یا جسمی که قرار است پرتو نگاری شود) فرستاده می‌شود. باریکه، پس از عبور از بدن بیمار و پیش از آنکه شخص ایستاده در محل C را زیر پرتو دهی بگیرد، در سد محافظ اصلی به میزانی قابل قبول تضعیف می‌شود. پرتوهای نشست یافته و پرتوهای پراکنده هم، پیش از آنکه به نقطه E برسند و در آنجا احتمالاً شخصی را زیر پرتو دهی بگیرند، در سد محافظ فرعی به میزانی قابل قبول تضعیف می‌شوند.

۹. سد محافظ اصلی

آهنگ پرتو گیری بیشینه، در هر نقطه اشغالی به فاصله d متر از هدف لامپ پرتو X، عبارت است از

$$\dot{X}_m = \frac{P}{T} (R/W) \quad (12.10)$$



شکل ۱۱.۱۵ دید عمودی از یک اتاق تابش و نواحی اطراف. فوایدی که از لحاظ محاسبات حفاظت‌گذاری مهم‌اند مشخص شده‌اند. A چشمۀ تابش است، M بیمار تحت تابش را نشان می‌دهد، و E و C مواضعی هستند که ممکن است محل حضور انسانها بی دیگر باشند.

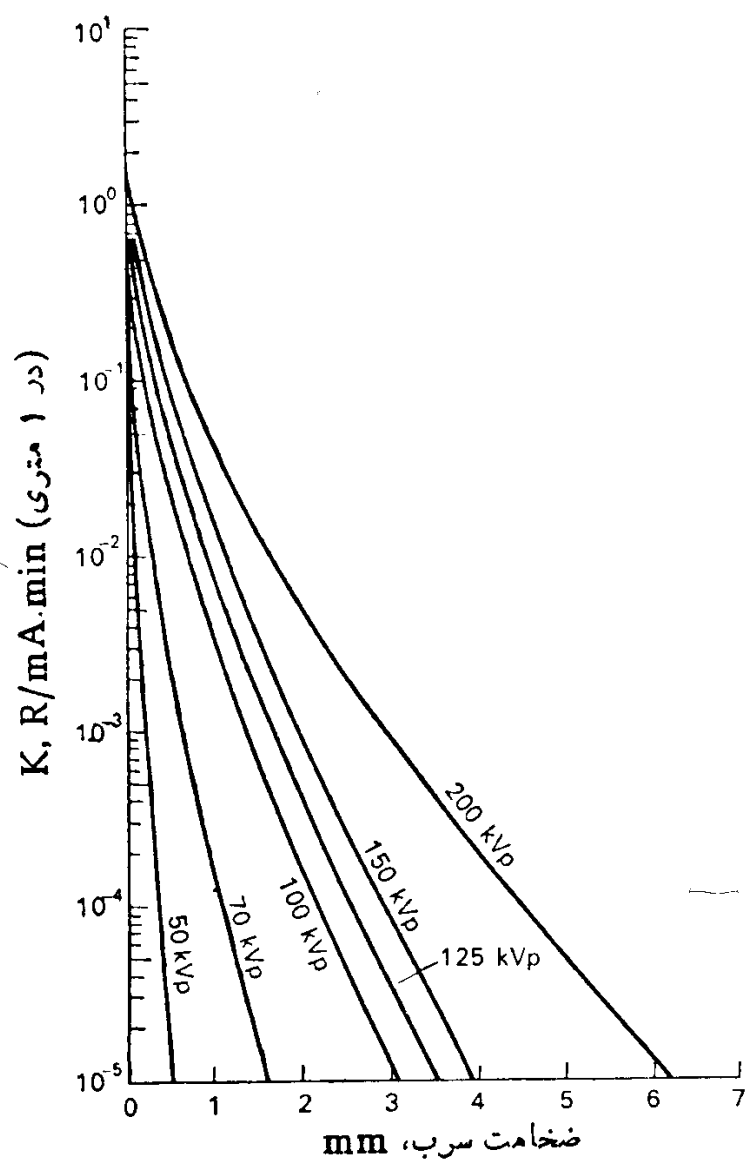
که در آن P بیشینۀ پرتوگیری مجاز در هفته (برابر $R/W = 1$) برای نواحی تحت کنترل $W/R = 0.1$ برای نواحی بدون کنترل) و T ضریب اشغال است. با استفاده از قانون عکس مجذور، آهنگ پرتودهی این میدان تابش در ۱ متری هدف، چنین به دست می‌آید

$$\dot{X}_1 = d^* \times \dot{X}_m = \frac{d^* P}{T} (R/W) \quad (13.10)$$

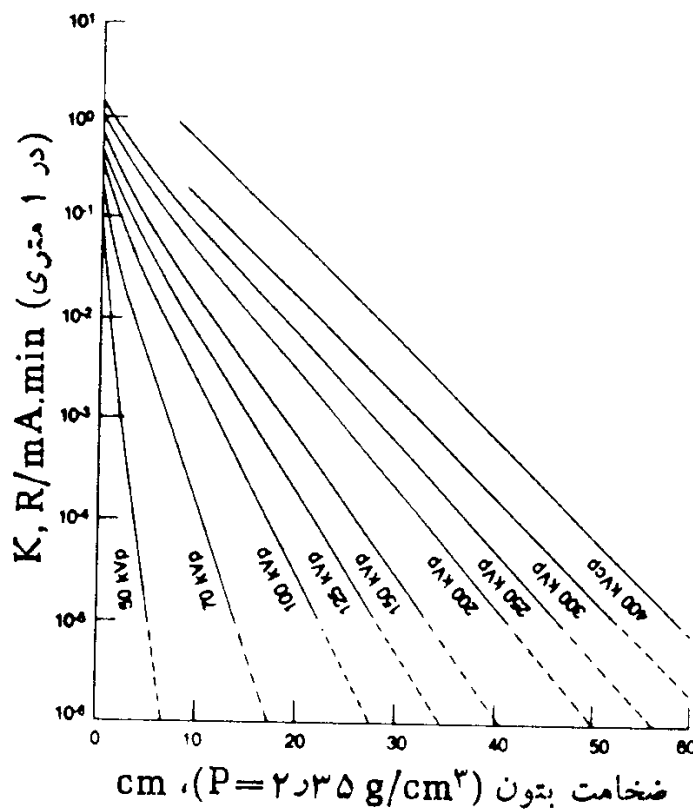
این پرتودهی از حجم کار WU $\text{mA} \cdot \text{min}/\text{W}$ حاصل می‌شود. اکنون، نسبت زیر را تعریف می‌کنیم

$$K = \frac{\dot{X}_1}{WU} = \frac{d^* P}{WUT} \left(\frac{R/\text{mA} \cdot \text{min}}{\text{W}} \right) \quad (14.10)$$

و مقدار آن را برای باریکه‌های پهن پرتوهای X ، که با انرژیهای مختلف از ضخامت‌های مختلف حفاظتها را سربی یا بتونی عبور می‌کنند، تعیین می‌کنیم. نتایج چنین اندازه‌گیریها بی را در شکل‌های ۱۲۰.۱۰ تا ۱۶.۱۵ نشان داده‌ایم. آزمایش نشان داده است که عبور پرتوهای X از حفاظتها کلفت، عمدتاً به پر انرژیترین فوتونهای موجود در باریکه بستگی دارد؛ و در مورد باریکه‌ای با یک حداقل طول موج معین، میزان عبور به کیفیت باریکه (مثلث، با مقدار نیم - لایه باریکه) بستگی چندانی ندارد. بدین ترتیب، اطلاعات عبور پرتوها در شکل‌های ۱۲۰.۱۰ تا ۱۶.۱۵ را در طراحی حفاظ برای هر نوع تابش X که انرژی اش



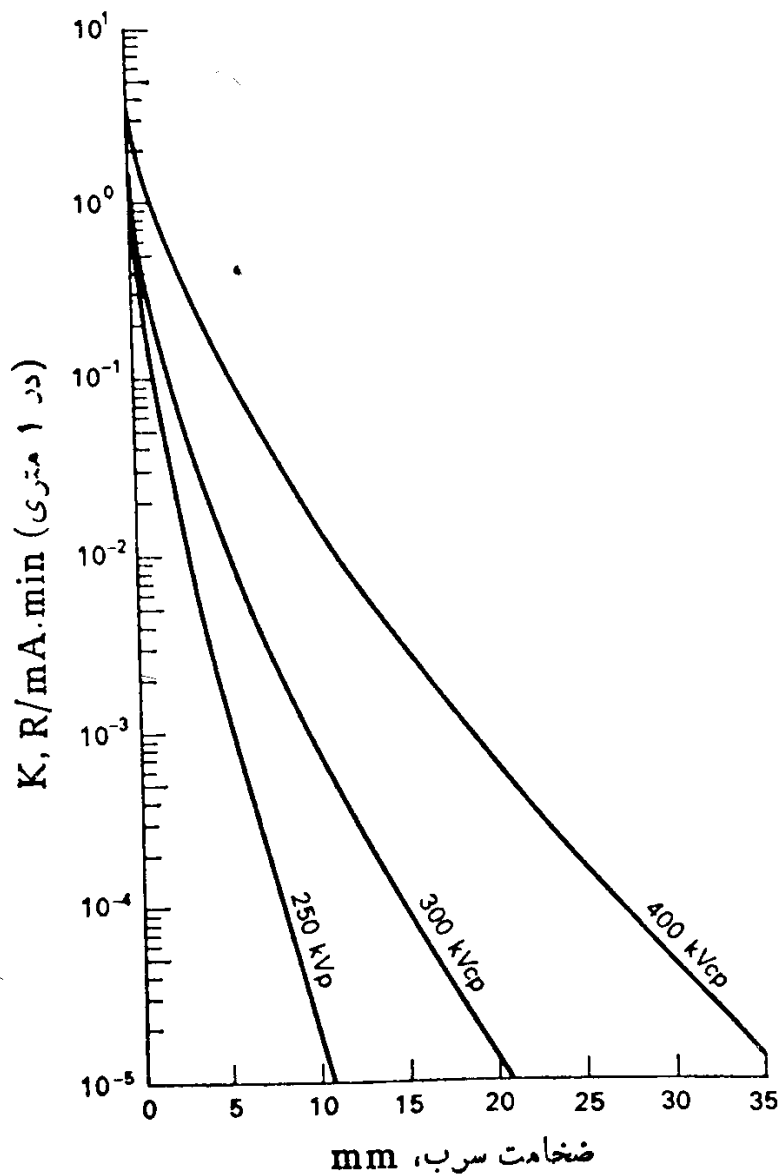
شکل ۱۲۰.۱۰ تضعیف باریکه پهن پرتو X در سرب. حداکثر پتانسیلهای تولید پرتو X ، $50-200$ kV در این اندازه‌گیریها، زاویه بین باریکه الکترونها و محور باریکه پرتوهای X برابر 90° گرفته شده است. در پتانسیلهای ۵۰، ۷۰، ۱۰۰، ۱۵۰، و ۲۰۰ کیلو ولت، پرتوهای X از صافی 5 mm Al عبور کرده‌اند. در پتانسیلهای ۱۵۰ و ۲۰۰ کیلو ولت، پرتوهای X از صافی 3 mm Al عبور کرده‌اند.



شکل ۱۳.۱۵ تضعیف پرتوهای X حاصل از پتانسیلهای ۵۰ تا ۳۰۰ کیلوولت (ولتاژ قله‌ای) و پتانسیل ۴۰۰ کیلوولت (ولتاژ ثابت) در بتن. در این اندازه‌گیریها، زاویه بین باریکه الکترونها و محور باریکه پرتوهای X برای 90° اختیار شده است. منحنیهای $50-300 \text{ kV}$ برای شکل موج تپشی رسم شده‌اند. صافیهای عبارت اند از، 1 mm Al برای 1 mm Al ، 50 kV برای 1.5 mm Al ، 70 kV برای 2 mm Al ، 100 kV برای 3 mm Al و 400 kV برای 125 ، 150 ، 200 ، 250 و 300 کیلوولت. منحنی 3 mm Cu از برآوردهای اطلاعات حاصل از یک مولد ولتاژ ثابت و صافی داخلی تقریباً معادل با 3 mm Cu به دست آمده است.

در گستره بیشینه پتانسیل نموده شده قرار گیرد، می‌توان به کار برد. در طراحی سد محافظه اصلی، مقدار K را با استفاده از معادله (۱۴.۱۵) محاسبه می‌کنند و سپس ضخامت لازم برای سد را از روی تقاطع خط افقی K با منحنی مربوط به انرژی پرتو X می‌خوانند.

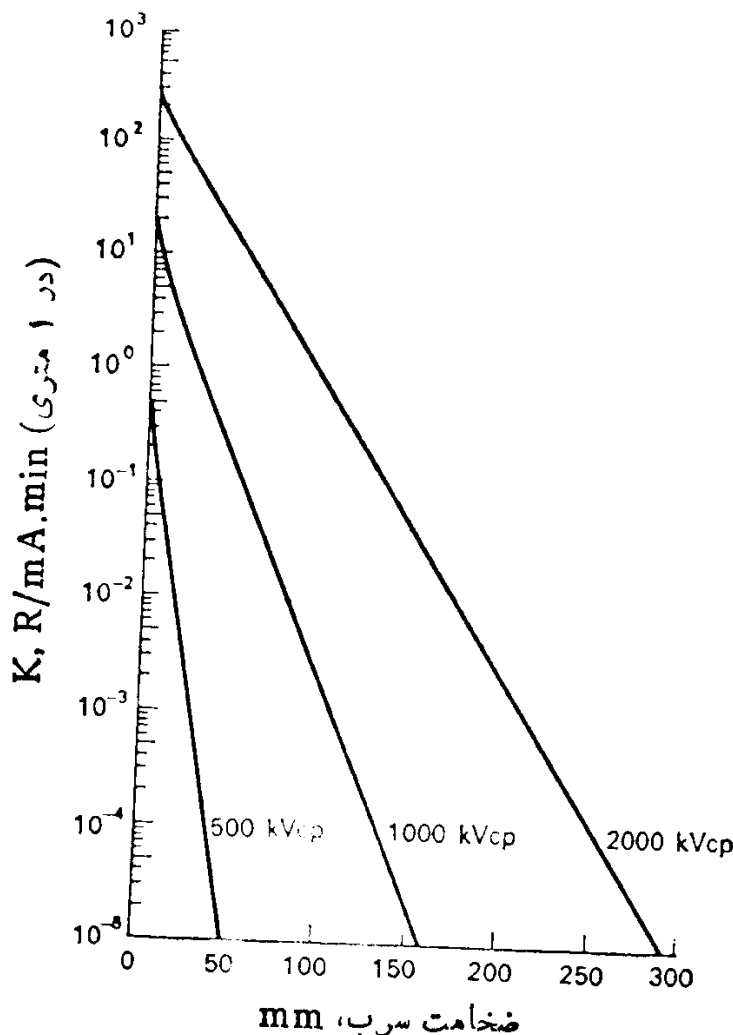
اگر مقدار K بر حسب $\mu\text{C/kg}\cdot\text{mA}\cdot\text{min}$ در دست باشد، منحنیهای شکل‌های ۱۴.۱۵ تا ۱۶ هنگامی قابل استفاده خواهند بود که مقدار K در 258 ضرب شود. برای نمونه، مقدار $K = 3.88 \times 10^{-5} \mu\text{C/kg}\cdot\text{mA}\cdot\text{min}$ باید به صورت $K = 258 \times 3.88 \times 10^{-5} = 1 \times 10^{-2} \text{ R}/\text{mA}\cdot\text{min}$ درآید.



شکل ۱۴.۱۰ تضعیف پرتوهای X حاصل از پتانسیلهای $250 - 400 \text{ kV}$ در سرب. اندازه گیریها در شرایطی انجام شده‌اند که زاویه بین محور باریکه الکترونها و باریکه پرتوهای X برای 90° بود. منحنی 250 kV_p از شکل موج تپشی و با استفاده از صافی 3 mm Al به دست آمده است. منحنی‌های مربوط به 300 و 400 kV_{cp} از درونیابی اطلاعات حاصل از یک مولد ولتاژ ثابت، و صافی داخلی 3 mm Cu به دست آمده‌اند.

مثال ۵.۱۰

می‌خواهیم منطقه‌ای تحت کنترل را، از اثرات باریکه مفیدی از پرتو X با پتانسیل 250 kV_p که از تأسیساتی درمانی به حجم کار $20000 \text{ mA} \cdot \text{min}$ در هفته ناشی می‌شود، محافظت کنیم. منطقه تحت کنترل به اندازه 2.5 m از هدف ماشین مولد پرتوها فاصله دارد، ضریب اشغال مساوی 1 و ضریب کاربرد برابر $2/1$ است. ضخامت بتن لازم در این حفاظت‌گذاری حساب کنید.

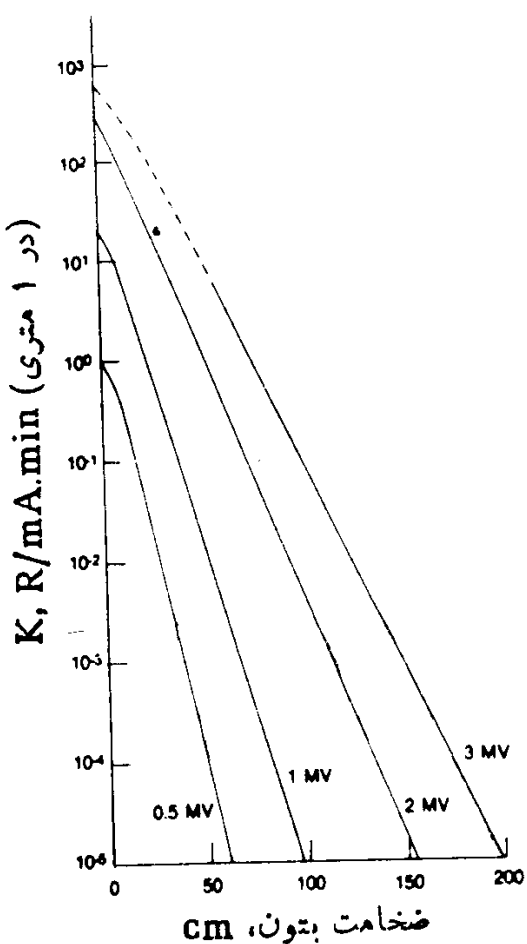


شکل ۱۵.۱۰ تضعیف باریکه پهن پرتوهای χ حاصل از پتانسیلهای ثابت ۵۰۰ تا ۲۰۰۰ kV در حفاظت سربی. اندازه گیریها در شرایطی انجام شدند که زاویه بین باریکه الکترونها و محور باریکه پرتوهای χ برای صفر بود. منحنیهای ۵۰۰ و ۱۰۰۰ kV_{cp} با استفاده از صافیهای W ۲۸ mm Cu، ۲۸ mm Pb و ۲۱ mm آب به دست آمده‌اند. برای منحنی ۲۰۰۰ kV_{cp} ۲۰۰۰ صافی داخلی معادل ۶۸ mm Pb بوده است.

حل: برای یک منطقه تحت کنترل، بیشینه پرتوگیری هفتگی نباید از $R(30\mu C/kg)$ تجاوز کند. اگر این مقدار P و دیگر عوامل معلوم را در معادله (۱۲.۱۰) قرار دهیم حاصل می‌شود

$$K = \frac{(2.5 m)^2 \times 0.1 R}{20000 mA \cdot min \times 0.5 \times 1} = 6.25 \times 10^{-5} \frac{R \cdot m^2}{mA \cdot min}$$

(داهنمایی: $(R/mA \cdot min) = R \cdot m^2 / mA \cdot min$) در شکل ۱۳.۱۰ ۲۵۰ kV_p با توجه به منحنی ۲۹ cm ضخامت بتن لازم برابر



شکل ۱۶.۱۵ تضعیف پرتوهای X حاصل از پتانسیلهای ۰.۵ تا ۳ MV (ولتاژ ثابت) در بتن. اندازه گیریها در شرایط زاویه 0° بین باریکه الکترونها و محور باریکه پرتوهای X، و پتانسیل ثابت انجام شده‌اند. منحنی‌های ۰.۵ و ۱ MV با استفاده از صافی‌های ۲۱ mm Cu، ۲۸ mm Pb، ۱۸ mm برج، و ۶۸ mm Pb معادل ۳ MV بوده است.

به دست می‌آید. مطابق شکل ۱۶.۱۵، ضخامت حفاظتسر بی که اثر تضعیفی اش به همان میزان باشد، با توجه به منحنی 250 kV_p ، برابر با ۸۲۵ mm خواهد شد.

۴. سد محافظ فرعی

سد محافظ فرعی، حفاظت در برابر پرتوهای پراکنده و پرتوهای نشت یا فته را بر عهده دارد. برای طراحی سد محافظ فرعی، به طور جداگانه ضخامت حفاظت لازم را برای هر کدام از این دو مؤلفه حساب می‌کنیم. اگر ضخامت‌های لازم برای این دو مورد تقریباً یکسان باشند، صرفاً یک مقدار (نیم - لایه HVL از جدول ۲۰.۱۵) دیگر را به ضخامت بزرگتر اضافه می‌کنیم. اگر اختلاف بین این دو مساوی ضخامت یکدهم - مقدار (TVL از جدول ۲۰.۱۵) یا بیشتر

جدول ۳.۱۰ مقادیر نیم-لایه و یکدهم-لایه.

مادة تضعييف كننده

(kV) ولتاژ حداکثر	سرب (mm)		بتن (cm)		آهن (cm)	
	HVL	TVL	HVL	TVL	HVL	TVL
50	0.06	0.17	0.43	1.5		
70	0.17	0.52	0.84	2.8		
100	0.27	0.88	1.6	5.3		
125	0.28	0.93	2.0	6.6		
150	0.30	0.99	2.24	7.4		
200	0.52	1.7	2.5	8.4		
250	0.88	2.9	2.8	9.4		
300	1.47	4.8	3.1	10.4		
400	2.5	8.3	3.3	10.9		
500	3.6	11.9	3.6	11.7		
1,000	7.9	26	4.4	14.7		
2,000	12.5	42	6.4	21		
3,000	14.5	48.5	7.4	24.5		
4,000	16	53	8.8	29.2	2.7	9.1
6,000	16.9	56	10.4	34.5	3.0	9.9
8,000	16.9	56	11.4	37.8	3.1	10.3
10,000	16.6	55	11.9	39.6	3.2	10.5
Cs -137	6.5	21.6	4.8	15.7	1.6	5.3
Co -60	12	40	6.2	20.6	2.1	6.9
Ra	16.6	55	6.9	23.4	2.2	7.4

این مقادیر تقریبی در شرایط پاریکه پهنه و تضعييف زیاد حاصل شده‌اند. در تضعييف کم، این مقادير خييلي كمتر خواهند شد.

باشد، انتخاب ضخامت بزرگتر برای حفاظت کفايت خواهد گرد. شدت پرتوهای پراکننده، به زاوية پراکننده، انرژی پاریکه پرتوهای اوليه، و بزرگی سطح پراکننده بستگی دارد. جدول ۳.۱۰ نسبت بین شدت پرتوهای پراکننده و شدت تابش فرودی را، در فاصله ۱ متری ماده پراکننده و برای سطح پراکننده (یا بزرگی میدان) 400 cm^2 ، به دست می‌دهد. براساس این فرض که شدت پرتوهای پراکننده به نسبت ممکوس با محدود فاصله از ماده پراکننده و به نسبت مستقيمه با بزرگی سطح پراکننده تغيير می‌کند، پرتوهای پراکننده، X_s ، چنین به دست می‌آيد

$$X_s = \frac{\alpha \times \dot{X}_u}{(d_{sec})^2} \times \frac{F}{400} \times t \quad (15.10)$$

که در آن α نسبت پرتوهای پراکننده به پرتوهای فرودی (جدول ۳.۱۰)، \dot{X}_u آهنگ پرتوهای تابش فرودی بر ماده پراکننده، d_{sec} فاصله نقطه مورد نظر از ماده پراکننده، F بزرگی میدان پراکننده (cm^2), و t مدت زمان پرتوهای است.

جدول ۳۰۱۵ نسبت شدت پرتوهای پراکنده به شدت پرتوهای فرودی (الف).

چشم	زاویه پراکندگی (از محور پرتو مرکزی)					
	30	45	60	90	120	135
پرتوهای X						
(ب) 50 kV	0.0005	0.0002	0.00025	0.00035	0.0008	0.0010
(ب) 70 kV	0.00065	0.00035	0.00035	0.0005	0.0010	0.0013
(ب) 100 kV	0.0015	0.0012	0.0012	0.0013	0.0020	0.0022
(ب) 125 kV	0.0018	0.0015	0.0015	0.0015	0.0023	0.0025
(ب) 150 kV	0.0020	0.0016	0.0016	0.0016	0.0024	0.0026
(ب) 200 kV	0.0024	0.0020	0.0019	0.0019	0.0027	0.0028
(ب) 250 kV	0.0025	0.0021	0.0019	0.0019	0.0027	0.0028
(ب) 300 kV	0.0026	0.0022	0.0020	0.0019	0.0026	0.0028
4 MV	—	0.0027	—	—	—	—
6 MV	0.007	0.0018	0.0011	0.0006	—	0.0004
پرتوهای گاما						
¹³⁷ Cs (د)	0.0065	0.0050	0.0041	0.0028	—	0.0019
⁶⁰ Co	0.0060	0.0036	0.0023	0.0009	—	0.0006

(الف) اندازه‌گیری پرتوهای پراکنده در ۱ متری آدمک و در شرایطی انجام شده که مساحت میدان در سطح آدمک برابر 400 cm^2 بوده است. شدت پرتوهای فرودی در ۱ متری چشم و در من کن میدان، اما بدون حضور آدمک، اندازه‌گیری شده است.

(ب) پراکندگی متوسط برای باریکه‌ها بیکه که بهمن کن و لبه سطح مقطع آدمک برخوردی کنند، در نظر گرفته شده است. ولتاژهای ذکر شده، حداکثر بتانسیل تپشی را در لامپهای مول نشان می‌دهند.

(ج) از آدمک استوانه‌ای استفاده شده است.

(د) این اطلاعات در شرایطی به دست آمد که تیغه‌ای به طور مایل در مقابله با ریکنده من کنی قرار داده شده بود. در صورت استفاده از آدمک استوانه‌ای، مقادیر کمتری به دست می‌آیند.

اگر هنگامی که شدت جریان باریکه الکترونها برابر با 1 mA است آهنگ پرتو دهی را در ۱ متری هدف با X_n نشان دهیم (X_n را آهنگ پرتو دهی بهنجاد می‌گویند)، همچنین اگر فاصله ماده پراکنده را از هدف مولد پرتوها d_{sca} بگیریم، و ضریب تضعیف پرتوهای پراکنده در سد را نیز با B_{sx} نمایش دهیم، در این صورت پرتو دهی هفتگی P ، وقتی که شدت جریان باریکه الکترونها I آمپر در μs ثانیه باشد، چنین خواهد شد

$$P = B_{sx} + X_s = B_{sx} \times \frac{a \times X_n \times I \times t}{(d_{sca})^2 \times (d_{sec})^2} \times \frac{F}{400} \quad (16.10)$$

چون می‌دانیم $It = WT$ و برای پرتوهای پراکنده داریم $I = U = U_0 K_{ux}$ ، در این صورت، اگر از معادله (۱۶.۱۰) حاصل ضرب $B_{sx} \times X_n$ را به دست آوریم و آن را با K_{ux} نشان دهیم، خواهیم داشت

$$K_{ux} = \frac{P}{aWT} \times (d_{sca})^2 \times (d_{sec})^2 \times \frac{400}{F} \quad (17.10)$$

در طراحی سدهای محافظه‌فرعی، فرضهای محتاطانه و سهولت بخش زیر را می‌پذیریم:

۱. انرژی پرتوهای پراکنده، هنگامی که پرتوهای X در پتانسیل 500 kV یا کمتر تولید شده باشند، با انرژی باریکه مفید برابر است.
۲. در مورد باریکه پرتوهای X تولید شده در ولتاژهای بیشتر از 500 kV ، انرژی پرتوها پس از آنکه پراکنده می‌شوند به انرژی باریکه 500 kV کاهش می‌یابد؛ و آنگک پرتودهی در ۱ متری ماده پراکنده برابر است با 1.5% آنگک پرتودهی باریکه مفید در نقطه پراکندگی.

این فرضهای سهولت بخش برپایه این واقعیت وضع شده‌اند که در انرژیهای متضطر با ولتاژ 500 kV یا کمتر، افت فوتونها در برهم کنش پراکنده‌گی نسبتاً کم است؛ در حالی که افت انرژی پرتوهای X با انرژی بالاتر، در پراکنده‌گی 90° چنان است که انرژی‌شان تقریباً معادل با توزیع انرژی پرتوهای X حاصل از پتانسیل 500 kV می‌شود. از این‌رو، برای پرتوهایی که حداقل انرژی‌شان 500 keV است، از منحنیهای عبور متضطر با کیلوولتاژهای مربوط استفاده می‌شود. اما، در طراحی حفاظت در برابر پرتوهای پراکنده حاصل از تابشها بایی که انرژی‌شان بیشتر از 500 keV است، از منحنیهای عبور متضطر با 500 kV استفاده می‌شود. اما، همراه با افزایش کیلوولتاژ یک ماشین پرتو X ، برشدت باریکه خروجی آن نیز افزوده می‌شود. برای آنکه این اثر را نیز در نظر بگیرند، در عبارت K_{ux} عامل f را که بزرگی آن به کیلوولتاژ بستگی دارد، وارد می‌کنند. با توجه به این ملاحظات، معادله (۱۷.۱۰) به صورت زیر درمی‌آید

$$K_{ux} = \frac{P \times (d_{sca})^2 \times (d_{sec})^2 \times 400}{a \times W \times T \times F \times f} \text{ R/mA}\cdot\text{min} \quad (18.10) \quad (\text{در هفته})$$

در فاصله ۱ متری ماده پراکنده، مقادیر f به قرار زیرند:

kV	۵۰۰ (یا کمتر)	۱۰۰۰	۲۰۰۰	۳۰۰۰
f	۱	۲۰	۳۰۰	۷۰۰

مثال ۱۸.۱۰

برای محافظت از یک منطقه بدون کنترل، ضیغامت حفاظت لازم را در برابر پرتوهای پراکنده ناشی از یک ماشین پرتو درمانی X که حداقل ولتاژ آن 250 kV_p است، حساب کنید.

حجم کار هفتگی برابر $20000 \text{ mA} \cdot \text{min}$ ، فاصله هدف تا سطح پوست برابر 50 cm ،
حداکثر سطح تحت درمان برابر $20 \text{ cm} \times 20 \text{ cm}$ ، فاصله منطقه بدون کنترل از بیمار
برابر 3 m ، و ضریب اشغال منطقه بدون کنترل برابر ۱ است.

حل: چون هدف حفاظت از منطقه‌ای بدون کنترل است، بیشینه پرتو گیری هفتگی
عبارت است از $R(3\mu\text{C/kg}) = P$. مقادیر معلوم دیگر که باید در معادله (18.10)
قرار داده شوند، عبارت‌اند از

$$(19.01) d_{\text{sca}} = 0.5 \text{ m}, d_{\text{sec}} = 3 \text{ m}, a = 0.0019$$

$$W = 20000 \text{ mA} \cdot \text{min}, T = 1, F = 400 \text{ cm}^2, f = 1$$

پس از قراردادن این مقادیر در معادله (18.10) ، مقدار K_{ux} به دست می‌آید. با معلوم بودن
مقدار K_{ux} ، می‌توان ضخامت حفاظت لازم را با استفاده از شکل‌های 13.10 و 14.10 ،
به ترتیب برای حفاظتهاي بتنی و سربی، تعیین کرد

$$K_{\text{ux}} = \frac{0.0019 \times 0.5 \times (3)^2 \times 400}{0.0019 \times 20000 \times 400 \times 1} = 5.92 \times 10^{-4}$$

با توجه به منحنی V_p در شکل 13.10 ، ضخامت سد لازم برابر 30 cm بتن
به دست می‌آید. منحنی V_p در شکل 14.10 نشان می‌دهد که در صورت استفاده از
سرب به عنوان حفاظت، ضخامت لازم برابر با 6 mm Pb خواهد شد.

از آنجاکه محفظه‌هاي حفاظتی لامپهای پرتو X، پرتوهای نشتی را در فاصله ۱ متری
به مقدار ثابت و معینی محدود می‌کنند، چنانچه انرژی پرتوهای نشتی را بدانیم، به آسانی
می‌توان ضخامت سد لازم را در هر فاصله‌ای تعیین کرد. پرتوهای نشتی را به آسانی
از محفظه از صافی رد می‌شوند، عمدتاً تک - انرژی‌اند و از این‌رو، مقدار نیم - لایه آنها
 فقط به کیلوولتاز دوسر لامپ بستگی دارد.

در مورد لامپهای پرتو X مستقر در محفظه حفاظتی نوع تشخیصی، هنگامی که لامپ
با حداقل ولتاژ و شدت جریان کار می‌کند، بیشینه پرتودهی نشتی در فاصله ۱ متری به
 $R(3\mu\text{C/kg}) = 1.0$ در ساعت محدود می‌شود. اگر ماشین پرتو X در هر هفتاه ۷ دقیقه کار
کند، پرتودهی نشتی در هر هفتاه، در فاصله d متری هدف، عبارت است از

$$(19.01) X_L = \frac{1.0}{d^2} \times \frac{t}{60}$$

در طراحی حفاظتها، حجم کار WUT را برابر با حاصلضرب شدت جریان باریکه الکترونی
در زمان «روشن بودن» ماشین در هفتاه (It) در نظر می‌گیرند. چون برای پرتوهای نشتی
 $U = 1$ است، معادله (19.01) را می‌توان چنین نوشت

$$X_L = \frac{0.1}{d^2} \times \frac{WT}{60I} \quad (20.10)$$

اگر بیشینه پرتودهی هفتگی را با P ، و میزان تضعیف پرتوهای نشتی در سد حفاظتی را با عامل B_{Lx} نشان دهیم، خصوصیات حفاظت را از معادله زیر می‌توان به دست آورد

$$P = B_{Lx} \times X_L = B_{Lx} \times \frac{WT}{d^2 \times 600I} \quad (21.10)$$

و از اینجا، مقدار تضعیف لازم چنین به دست می‌آید

$$B_{Lx} = \frac{P \times d^2 \times 600I}{WT} \quad (22.10)$$

در مورد لامپهای پرتو X مستقر در محفظه حفاظتی نوع درمانی، در صورتی که ولتاژ کار از 500 kV تجاوز نکند، بیشینه نشت در ۱ متری هدف به 1 R در ساعت محدود می‌شود. بنابراین، معادله تضعیف سد همانند معادله (۲۲.۱۰) خواهد شد

$$B_{Lx} = \frac{P \times d^2 \times 60I}{WT} \quad (23.10)$$

در مواردی که پتانسیل کار از 500 kV بیشتر است، اتفاق حفاظتی نوع درمانی پرتوهای نشتی را در ۱ متری به 1.0% شدت باریکه مفید، محدود نگه می‌دارد. از این رو، تضعیف لازم در سد محافظ فرعی چنین به دست می‌آید

$$B_{Lx} = \frac{1000P \times d^2}{X_n \times WT} \quad (24.10)$$

که در آن X_n آهنگ پرتوگیری بهنجار است.
تعداد نیم - لایهای لازم، برای رسیدن به تضعیف مورد نظر، از معادله زیر محاسبه می‌شود

$$B_{Lx} = 1/2^n \quad (25.10)$$

و ضخامت سد مورد نظر هم به کمک جدول ۲۰.۱۰، که مقادیر نیم - لایه بتن و سرب را برای انرژیهای مختلف پرتو X به دست می‌دهد، قابل محاسبه خواهد بود.

۷.۱۵ مثال

ضخامت سد فرعی لازم در برابر ماشین پرتو درمانی X ، مثال ۲۰.۱۵ را حساب کنید. این ماشین با پتانسیل 250 kV_p و جریان 20 mA کار می‌کند، و حجم کار هفتگی آن برابر

۲۰۰۰۰ mA·min است. فاصله منطقه بدون کنترل از ماشین پرتو X برابر 3 m و ضریب اشغال برابر ۱ است.

حل: برای منطقه بدون کنترل، $R = ۵۰۱ \text{ cm}^2 \times ۶۰ \times ۲۰$ در هفته است. با قراردادن تمام مقادیر معلوم در معادله (۲۳.۱۰)، برای یک محفظه حفاظتی درمانی که پتانسیل لامپ آن ۵۰۰kV یا کمتر است، داریم

$$B_{LX} = \frac{۵۰۱ \times ۳۲ \times ۶۰ \times ۲۰}{۲۰۰۰۰} = ۵۴ \times ۱۰^{-۳}$$

تعداد نیم - لایه‌ایی که پرتوها را تا این حد تضعیف می‌کنند، از معادله (۲۵.۱۰) به دست می‌آید

$$54 \times 10^{-3} = 1/n$$

$$n = 753$$

با توجه به جدول ۲۰.۱۰، مقدار نیم - لایه (HVL) برای پرتوهای 250kV برابر 28 cm بتن می‌شود. بدین ترتیب، ضخامت حفاظت لازم در برابر پرتوهای نشتی عبارت است از

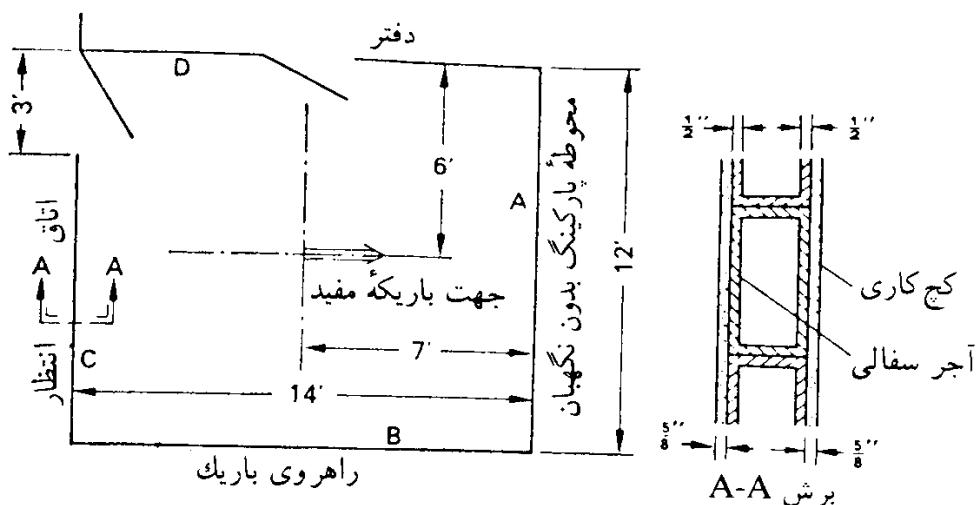
$$753 \text{ HVL} \times 28 \text{ cm} / \text{HVL} = 211 \text{ cm}$$

در مثال ۱۰.۶، ضخامت حفاظت لازم در برابر پرتوهای پراکنده برابر 30 cm بتن به دست آمده بود. اختلاف بین این دو ضخامت برابر 8 cm است. از جدول ۲۰.۱۰ معلوم می‌شود که مقدار یکدهم - لایه (TVL) بتن برای پرتوهای X با پتانسیل 250kV برابر 49 cm است. از آنجاکه اختلاف ضخامت‌های لازم برای پرتوهای نشتی و پراکنده کمتر از مقدار یکدهم - لایه است، ضخامت سد فرعی نهایی به میزان یک نیم - لایه بیشتر از سد کلفت تر خواهد شد

$$30 \text{ cm} + 28 \text{ cm} = 58 \text{ cm}$$

مثال ۱۰.۱۰

اتاق شکل ۱۰.۱۷ برای مقاصد پرتوشناسی تشخیصی به کار می‌رود. ارتفاع اتاق، از کف تا سقف، برابر ۹ فوت و ۷ اینچ (292 cm) است. اتاق بالایی، دفتر دیگری است که از لحاظ پرتوشناسی تحت کنترل نیست. اتاق پرتو X در طبقه همکف ساختمان قرار دارد؛ یعنی در زیر آن فضای قابل اشغالی نیست. سقف و کف اتاق با ضخامت 5 in (12.7 cm) از بتن ساخته شده‌اند، و دیوار A هم از بتن و ضخامت آن برابر 4 in (10.2 cm) است.



شکل ۱۷۰۱۵ طرح نمایش اتاق پرتوهای تشخیصی X، مثال ۱۰.۸.

دیوارهای B، C، و D، همان‌طور که در برش A-A نموده شده است، با گچ‌کاری و آجر سفالی پوشیده شده‌اند. حداکثر ولتاژ و جریان ماشین مولد پرتو X عبارت‌اند از 125 kV_p و 125 mA . از این ماشین، در هفته، ۵ ساعت به عنوان فلوئوروسکوپ (دستگاه پرتونما) با جریان 200 mA ، و ۲ دقیقه به عنوان ماشین پرتوزنگاری با جریان 200 mA استفاده می‌شود. متوسط فاصله پوست بدن از هدف 5 m است. مقدار حفاظت لازم را برای سقف و دیوار B محاسبه کنید.

حل:

محاسبه سد اصلی

در کار پرتوزنگاری، پرتوهای X فقط به طرف دیوار A گسیل می‌شوند. بدین ترتیب، فقط همین دیوار باید سد اصلی باشد، همه دیوارهای دیگر سد فرعی‌اند. در حین کار با دستگاه پرتونما، باریکه مفید همواره باصفحه مشاهده دستگاه برخورد می‌کند که این صفحه باشیشة سربی حفاظت‌گذاری شده است. در این صورت، هیچگونه حفاظت اصلی دیگری لازم نیست. بنابراین، اگر تنها کار پرتوزنگاری را در نظر بگیریم، حجم کار عبارت است از

$$W = 2 \text{ min}/w \times 200 \text{ mA} = 400 \text{ mA} \cdot \text{min}/w$$

برای محوطه پارکینگ، ضریب کاربرد $U = 1$ و ضریب اشغال $T = 1/4$ است. فاصله هدف لامپ مولد پرتو X تا دیوار برابر ۷ فوت (2.13 m)، و بیشینه پرتودهی مجاز در هفته به یک منطقه بدون کنترل برابر $(3\mu\text{C}/\text{kg})(1\text{R})$ است. پس از قراردادن این مقادیر در معادله (۱۰.۱۰)، حاصل می‌شود

$$K = \frac{(2.13)^2 \times 0.01}{400 \times 1 \times 1/4} = 4.54 \times 10^{-4} \text{ R/mA} \cdot \text{min} \quad (\text{در ۱ متری})$$

با توجه به شکل ۱۷۰۱۵ و با استفاده از مبنای 125 kV_p ، معلوم می‌شود که ضخامت حفاظت

لازم برای سطح سریع با ضخامت دیوار فقط 15 cm است، بنابراین 2.010 معلوم می‌شود که برای پرتوهای 125 kV ، مقدار نیم - لایه برای 25 cm بتن یا 28 mm سرب است. چون 25 cm بتن مساوی $HVL = 275$ است، ضخامت سریع 275 برای 28 mm ، یعنی 77 mm به دست خواهد آمد.

محاسبه سد فرعی

(الف) سقف: پرتوهای نشتی. فرض می‌کنیم که لامپ مولد پرتو X ، در ارتفاع 5 ft (۱.۵ m) از کف اتاق، در فاصله میان کف و سقف، قرار داشته باشد. در طراحی حفاظتها، هنگامی که نابش از نواحی پایینتر از کف سرچشم می‌گیرد، آهنگ دز در ارتفاع 3 ft بالاتر از کف را به عنوان معیار ایمنی در نظر می‌گیرند. بدین ترتیب، در این مورد فاصله بین هدف ماشین مولد از نقطه‌ای که می‌خواهیم مورد محافظت قرار دهیم، جمعاً برای 25 m (۸ ft) است. تضعیف لازم برای پرتوهای نشتی از معادله زیر قابل محاسبه است

$$P = B_{Lx} \times X_L \quad (26.10)$$

پس از قراردادن پرتو گیری هفتگی پرتوهای نشت یافته X_L ، از معادله (۱۹.۱۰)، ضریب تضعیف B_{Lx} چنین به دست می‌آید

$$B_{Lx} = \frac{P}{X_L} = \frac{0.1 \times 600}{d^2/t} \quad (27.10)$$

چون ماشین مولد در هر هفته به مدت 302 دقیقه «روشن» است، ضریب تضعیف لازم برای آنکه پرتو گیری هفتگی ناشی از پرتوهای نشت یافته در 5 m متري به $(3\mu\text{C/kg})R$ کاهش یابد، عبارت است از

$$B_{Lx} = \frac{0.1 \times 600 \times (25)^2}{302} = 124$$

و تعداد نیم - لایه‌های لازم برای این تضعیف چنین خواهد شد

$$0.124 = 1/2^n$$

$$n = 3$$

بنابر جدول ۲.۰۱۰، برای پرتوهای 125 kV مقدار $HVL = 25\text{ cm}$ برای 25 cm بتن است. پس، ضخامت لازم برای حفاظ بتنی برای $25\text{ cm} = 6\text{ cm}$ خواهد شد.

(ب) سقف: پرتوهای پراکنده. برای محاسبه ضخامت حفاظ، به منظور تضعیف پرتوهای پراکنده تا $(3\mu\text{C/kg})R$ در هفته، از معادله (۱۷.۱۰) استفاده می‌کنیم. نخست، باید حجم کار را به دست آورد

$$W = 5 \text{ h/w} \times 60 \text{ min/h} \times 35 \text{ mA} + 2 \text{ min/w} \times 200 \text{ mA}$$

$$= 1450 \text{ mA} \cdot \text{min/w}$$

دیگر مقادیر معلوم در معادله (۱۷.۱۰) عبارت اند از

$$a = 0.0015 \text{ (از جدول ۳.۱۰)}, \quad T = 1, \quad d_{\text{sca}} = 0.5 \text{ m},$$

$$d_{\text{sec}} = 2.5 \text{ m}, \quad F = 400 \text{ cm}^2$$

$$K_{\text{ux}} = \frac{0.01}{0.0015 \times 1450} \times (0.5)^2 \times (2.5)^2 \times \frac{400}{400} = 7.2 \times 10^{-3}$$

با توجه به منحنی V_p در شکل ۱۳.۱۰ معلوم می‌شود که ضخامت حفاظ متناظر با $(\text{در } 1 \text{ متری}) K = 7.2 \times 10^{-3} \text{ R/mA} \cdot \text{min}$ عبارت است از 9 cm بتن.

اختلاف ضخامت سدهای لازم در برابر پرتوهای نشتی و پراکنده، برابر با 3 cm بتن است. چون این اختلاف از مقدار یکدهم - لایه (9 cm) عرض بتن، جدول ۲.۱۰) کمتر است، برای تعیین ضخامت حفاظ لازم، مقدار یک نیم - لایه (4.5 cm) به سد کلفت تر می‌افزاییم و سد مورد لزوم را که برابر 11 cm بتن است به دست می‌آوریم. بدین ترتیب معلوم می‌شود که هیچگونه حفاظ گذاری اضافی لازم نیست، زیرا ضخامت سقف از قبل برابر با 12.7 cm بتن بوده است.

(ج) دیوار B : پرتوهای نشتی. ضریب تضعیف دیوار B را می‌توان با استفاده از معادله (۲۷.۱۰) و مقادیر $1.8 \text{ m} = d$, $6/3.28 = t = 3.2 \text{ min}$ به دست آورد. اما، چون ضریب اشغال برای راهروی بسیاریک برابر $1/4$ است، باید این ضریب تضعیف را در ۴ ضرب کرد. از این‌رو، داریم

$$B_{Lx} = \frac{4 \times 0.01 \times 600 \times (1.8)^2}{3.2} = 0.257$$

برای حصول به این درجه از تضعیف، تعداد نیم - لایه‌های لازم عبارت است از

$$0.257 = 1/2^n$$

$$n = 2$$

از آنجا که برای پرتوهای 125 kV مقدار HVL برابر 2.5 cm بتن است، ضخامت سد لازم مساوی $4 \text{ cm} = 2 \times 2.5 = 2 \text{ cm}$ بتن می‌شود.

(د) دیوار B : پرتوهای پراکنده. اگر مقادیر معلوم

$$P = ۰.۱ R, \quad W = ۱۴۵۰ \text{ mA} \cdot \text{min} / \text{W} \quad (\text{در } ۱ \text{ متری}),$$

$$a = ۰.۰۰۱۵ \quad (\text{از جدول } ۳.۱۰), \quad T = ۱/۴, \quad d_{\text{sca}} = ۰.۵ \text{ m},$$

$$d_{\text{sec}} = ۱.۸ \text{ m}, \quad F = ۴۰۰ \text{ cm}^2$$

را در معادله (۱۵.۱۰) قرار دهیم، حاصل می‌شود

$$K_{\text{ux}} = \frac{۰.۱}{۰.۰۰۱۵ \times ۱۴۵۰ \times ۱/۴} \times (۰.۵)^2 \times (۱.۸)^2 \times \frac{۴۰۰}{۴۰۰}$$

$$= ۱.۵ \times ۱۰^{-۲} \text{ R/mA} \cdot \text{min} \quad (\text{در } ۱ \text{ متری})$$

با توجه به منحنی V_p در شکل ۱۳.۱۰ ملاحظه می‌شود که این مقدار K از حفاظی بتنی به ضخامت ۷.۳ cm حاصل می‌شود.

چون اختلاف ضخامت بین سدهای لازم در برابر پرتوهای نشتی و پراکنده برابر ۳.۳ cm بتن است، و این مقدار هم از یکدهم - لایه (۶ cm) عرض بتن، جدول ۲.۱۵ کمتر است، مقدار یک نیم - لایه بتن (۲.۵ cm) به سد کلفت ترا اضافه می‌کنیم و بدین ترتیب، کل ضخامت لازم را برای سد فرعی برابر $۹.۳ \text{ cm} = ۷.۳ \text{ cm} + ۲.۰ \text{ cm}$ بتن به دست می‌آوریم.

همان طور که در شکل ۱۷.۱۵ نشان داده شده است، دیوار از آجرهای سفالی توخالی و چگی درست شده است. ضخامت معادل بتن را برای این دیوار، با استفاده از چگالی مصالح متداول ساختمانی از جدول ۴.۱۰، به ترتیب زیر محاسبه می‌کنیم

جدول ۴.۱۰ چگالی مصالح ساختمانی (مصالح تجاری).

چگالی نمونه متوسط (g/cm³)	گستره چگالی (g/cm³)	مصالح
۱.۹	۱.۶-۲.۵	آجر
۲.۶۳	۲.۶۰-۲.۷۰	سنگ خارا (گرانیت)
۲.۳۰	۱.۸۷-۲.۶۹	سنگ آهک
۲.۷۰	۲.۴۷-۲.۸۶	سنگ مرمر
۱.۵۴	-	سنگ چک
۲.۲۰	۱.۹۰-۲.۶۹	سنگ ماسه
۲.۳۵	۲.۲۵-۲.۴۰	بتن سیلیسی
۱.۹	۱.۶-۲.۵	سفال

بتن (ضخامت \times چگالی) = دیوار (ضخامت \times چگالی)

$$1054 \text{ g/cm}^3 \times 2 \times \frac{5}{8} \text{ in} + 109 \text{ g/cm}^3 \times 2 \times \frac{1}{2} \text{ in} = 235 \text{ g/cm}^3 \times 1 \text{ in}$$

$$(بتن) 1 \text{ cm} = 463 \text{ in} = 1$$

ضخامت سد لازم برای حفاظت برابر 9.3 cm بتن، یا ضخامت معادل آن از مصالح دیگر، است. چون در این ساختمان دیواری به ضخامت معادل 1 cm بتن وجود دارد، به 2.5 cm بتن اضافی که معادل با 2 in برابر HVL است، نیازخواهیم داشت. مقدار 125 kV برابر 28 mm (جدول ۲.۱۰) است. لایسه سرب برای پرتوهای 125 kV برابر $73 \text{ mm Pb}/HVL = 0.73 \text{ mm Pb}$ است. ضخامت ورقه سربی که باید به دیوار گنج کاری شده اضافه شود، عبارت است از

$$2.6 \text{ HVL} \times 0.73 \text{ mm Pb} = 0.73 \text{ mm Pb}$$

جدول ۵.۱۰ فهرستی از ورقه های سربی تجاری را نشان می دهد. درمثال بالا، عمل از ورقه تجاری اندکی بیشتر از ضخامت محاسبه شده استفاده خواهد شد (چون ضخامت محاسبه شده عمل ادار باز اریافت نمی شود). هنگامی که دیوارهای اتاقی را در برابر پرتوهای \times حفاظت گذاری می کنیم، ارتفاع پوشش سربی دستکم باید به 7 ft (2.13 cm) برسد.

حفاظت گذاری در برابر پرتوهای بتا

هنگام طراحی حفاظت در برابر میدانهای شدید پرتوهای بتا لازم است که به دو عامل توجه داشته باشیم: پرتوهای بتا، و تابش ترمی ناشی از جذب در خود چشم و جذب در حفاظت. به همین دلیل، حفاظت در برابر بتا از دو قسمت تشکیل می شود: جسمی با عدد اتمی پایین (که تولید تابش ترمی در آن حداقل ممکن باشد) و با ضخامت کافی برای متوقف کردن تمام پرتوهای بتا، و به دنبال آن جسمی با عدد اتمی بالا و ضخامت کافی برای تضعیف شدت تابش ترمی به سطحی قابل قبول.

مثال ۹.۱۰

می خواهیم $50 \text{ میلی متر مکعب محلول محتوی} (10 \text{ Ci}) 10^4 \text{ MBq}$ از ^{90}Sr در حال تعادل با 7 cm^3 (بدون در نظر گرفتن ظرف) را در آزمایشگاهی نگهداری کنیم. متخصص فیزیک بهداشت توصیه می کند که آهنگ دزمعادل، در 1 متری چشم ، نباید از مقدار (10 mrem/h) (10 mSv/h) تجاوز کند. برای نگهداری این چشم، ظرف و حفاظتی طراحی کنید تا مقررات ایمنی تابش در آزمایشگاه رعایت شود.

جدول ۵.۱۰ ورقه‌های سربی تجاری.

ضخامت mm	ضخامت in	وزن اسمی	
		#/ft ²	kg/m ²
۰۷۹	۱/۳۲	۲	۱۰
۱۰۰	۵/۱۲۸	۲۱/۲	۱۲
۱۱۹	۳/۶۴	۳	۱۵
۱۵۸	۱/۱۶	۴	۲۰
۱۹۸	۵/۶۴	۵	۲۴
۲۳۸	۳/۳۲	۶	۲۹
۲۵۱	۱/۸	۸	۳۹
۴۷۶	۳/۱۶	۱۲	۵۹
۶۳۵	۱/۴	۱۶	۷۸
۸۵۰	۱/۳	۲۰	۹۸
۱۰۱	۲/۵	۲۴	۱۱۷
۱۲۵	۱/۲	۳۰	۱۴۶
۱۶۹	۲/۳	۴۰	۱۹۵
۲۵۴	۱	۶۰	۲۹۳✓

حل: بیشینه انرژی و میانگین انرژی پرتوهای بنای ناشی از ^{90}Sr و ^{90}Y به قرار زیرند:

	E_{\max}, MeV	\bar{E}, MeV
^{90}Sr	۰۵۴	۰۱۹
^{90}Y	۲۲۷	۰۹۳

لازم است که حفاظ بنای آنچنان کلفت باشد که پرتوهای بنای ^{90}Y با انرژی 227 MeV را بایستاند. با توجه به شکل ۴.۵، برد بنای 227 MeV برابر 227 g/cm^2 است، برای نگهداری این محلول پرتوزا، یک بطری از جنس پلی اتیلن با گرانی ویژه ۹۵۰ را

به عنوان ظرف، در نظر می‌گیریم. در این صورت، ضخامت بدنه بطری چنین خواهد شد

$$E = \frac{111 \text{ g/cm}^2}{995 \text{ g/cm}^2} = 1.16 \text{ cm}$$

تابش ترمی در این مورد اهمیت ویژه‌ای می‌یابد، زیرا ^{90}Sr و ^{90}Y گسیلندهای خالص بنا هستند و از همین‌رو، در شرایط عادی هیچ پرتوگامایی وجود ندارد که مستلزم حفاظت‌گذاری باشد. آهنگ دز پرتوهای ناشی از تابش ترمی را، در ۱ متری چشم، به کمک معادله (۱۱.۵) می‌توان برآورد کرد

$$f = 3.5 \times 10^{-4} Z \times E_{\max}$$

در مثال اخیر، بخش بزرگی از انرژی پرتوهای بنا در آب جذب خواهد شد. اگر در معادله (۱۱.۵)، Z را با عدد اتمی متوسط آب یکسان بگیریم

$$Z_w = \frac{2}{18} \times 1 + \frac{16}{18} \times 8 = 7.22$$

و E_{\max} را برابر 227 MeV قرار دهیم، f یا کسری از انرژی پرتوهای بنا ناشی از ^{90}Y که به تابش ترمی تبدیل می‌شود، برابر $3.723 \times 10^{-3} \times 7.22 \times 10^{-4}$ خواهد شد. آهنگ انرژی گسیل یافته از طریق بناهای ناشی از ^{90}Y چنین است

$$E_\beta = 3.7 \times 10^{11} \text{ Bq} \times 1 \frac{\text{tps}}{\text{Bq}} \times 0.93 \frac{\text{MeV}}{d} = 3.44 \times 10^{11} \frac{\text{MeV}}{\text{s}}$$

چنانچه منشأ گسیل تابش ترمی را به صورت نقطه‌ای در مرکز چشم بنا تصور کنیم، آهنگ دز در فاصله ۱ متری این نقطه چنین می‌شود

$$\dot{D} = \frac{f \times E \text{ MeV/s} \times 1.6 \times 10^{-12} \text{ J/MeV} \times \mu_e \text{ m}^{-1} \times 10^2 \text{ s/h}}{1.293 \text{ kg/m}^3 \times 4\pi (1 \text{ m})^2 \times 1 \frac{\text{J}}{\text{kg}} / \text{Gy} \times 10^{-3} \text{ Gy/mSv}} \quad (28.10)$$

که در آن μ_e ضریب جذب انرژی از فوتونهای تابش ترمی است. در امور مربوطه به حفاظت در برابر تابش، برای محاسبه آهنگ دز تابش ترمی، انرژی فوتونها را برابر بیشینه انرژی پرتوهای بنا در نظر می‌گیرند. با قرار دادن مقدار $1.5 \times 10^{-3} \text{ m}^{-1}$ (از روی شکل ۱۸.۵)، آهنگ دز تابش ترمی برای بناهای ناشی از ^{90}Y ، در ۱ متری چشم، برابر (21 mrem/h) می‌باشد. به دست می‌آید. به همین ترتیب، آهنگ دز تابش برای بناهای ^{90}Sr برابر (13 mrem/h) می‌شود.

اگر ضخامت حفاظ پیرامون ظرف محتوی محلول پرتوزا 1 cm در نظر بگیریم، با استفاده از معادله (19.5) و مقادیر $1\text{ cm}^{-1} = \mu$ برای ضریب جذب خطی کل سرب در جذب پرتوهای 227 MeV ناشی از γ^{90} و $1\text{ cm}^{-1} = \mu$ برای پرتوهای Sr^{90} ناشی از 90 Sr ، می‌توان تضعیف آهنگ دز تابش ترمی را محاسبه کرد. به علاوه، می‌دانیم که کل آهنگ دز ناشی از γ^{90} و Sr^{90} در خارج حفاظ نباید از 10 mSv/h (10 mrem/h) حاصل می‌شود.

$$I_Y = 0.21e^{-0.51x}$$

$$I_{Sr} = 0.013e^{-1.5x}$$

$$I_Y + I_{Sr} = 0.1$$

که از حل آن، خواهیم داشت $x = 175\text{ cm} = 2$ (حفاظ سربی).

در این مورد لزومی ندارد که ضریب تولید و انباست را در نظر بگیریم، زیرا در محاسبه ضخامت حفاظ فرض شده است که انرژی تمام فوتونهای تابش ترمی، با بیشینه انرژی ذرات بنای مولد پرتو X برابر است. از آنجا که این انرژی حد بالای انرژی تابش ترمی است، و از آنجا که انرژی بخش بزرگی از تابش ترمی خیلی کمتر از این انرژی حد بالاست، در محاسبه بالا ضخامت حفاظ لازم به طور مبالغه‌آمیزی برآورد شده است. این برآورد مبالغه‌آمیز تقریباً در همان حدودی است که ضریب تولید و انباست را جبران می‌کند، و در نتیجه لازم نیست ضریب تولید و انباست در نظر گرفته شود. بنابراین، محفظه محلول پرتوزا مشکل است از یک بطری پلی‌اتیلن به ضخامت 16 cm که در داخل یک ظرف سربی که ضخامت تمام سطوح آن 175 cm است قرارداد. اما چنین محفظه‌ای خیلی سنگین خواهد بود، که البته راه چاره‌ای برای آن وجود دارد. کل مقدار سرب مصرف شده در حفاظ مناسب با محدود قطر محفظه افزایش می‌یابد؛ از این‌رو، حتی اندک کاهشی در قطرمی تواند وزن محفظه را به طور چشمگیری کاهش دهد. در صورتی که وزن محفظه مشکلی ایجاد کند، از طریق تقلیل ضخامت بطری پلی‌اتیلن می‌توان تا حدی از وزن آن کاست. چنانچه ضخامت بطری از 16 cm به 5 cm کاهش یابد، تمام بناهای Sr^{90} به علاوه قسمت اعظم بناهای γ^{90} متوقف خواهد شد. علاوه بر این، انرژی آن بناهای از چشم γ^{90} که عبوری کنند، به طور چشمگیری کاهش خواهد یافت. بدین ترتیب، تابش ترمی ناشی از این بناهای عبوری، سهم بسیار کوچکی در آهنگ دز پرتوهای خارج از حفاظ سربی خواهد داشت.

حفاظ‌گذاری در برابر نوترونها

حفاظ‌گذاری در برابر نوترونها، بر پایه کندسازی نوترونها تند و جذب کردن نوترونها

گرمایی استوار است. در فصل ۵ دیدیم که تضعیف و جذب نوترونها در پی یک رشته فرایندهای پیچیده تحقق می‌یابد. اما، به رغم این پیچیدگیها، حفاظهای لازم پیرامون چشممهای نوترون را می‌توان با استفاده از سطح مقطع حذف برآورد کرد. (برای نوترونها بی‌که انرژی شان حد اکثر تا 30 MeV باشد، سطح مقطع حذف در حدود سه‌چهارم سطح مقطع کل است). در طراحی حفاظ در برابر نوترونها، باید توجه داشت که جذب نوترون ممکن است به پر توزایی القایی و همچنین به تولید پرتوهای گاما بینجامد.

مثال ۱۰.۱۰

برای یک چشم نوترونی Pu-Be با فعالیت $5 \text{ Ci} \times 10^4 \text{ MBq}$ که در هر ثانیه 5×10^6 نوترون گسیل می‌کند، حفاظی طراحی کنید که آهنگ دز در سطح خارجی آن از $15 \mu\text{Sv/h}$ (۱۵ mrem/h) تجاوز نکند. انرژی میانگین نوترونهای تولید شده در این چشم برابر 4 MeV است.

حل: حفاظی از آب در نظر می‌گیریم، و شعاع کمینه آن را در مورد حفاظ کروی حساب می‌کنیم. می‌دانیم که گیراندازی نوترون در هیدروژن منجر به تولید پرتو گاما می‌شود. برای آنکه ذمربوط به گاماها ناشی از گیراندازی نوترون را نیز در نظر بگیریم، حفاظ را چنان طراحی می‌کنیم که بیشینه دز نوترونهای تند در خارج از آن برابر سطح مقطع کل نوترونهای 4 MeV باشد که متناظر است با شارتند $S = n/\text{cm}^2 \cdot \text{s}$ (جدول ۵.۹). از $1 \times 10^6 \mu\text{Sv/h}$ (۱ mrem/h) سطح مقطع کل نوترونهای 4 MeV برای هیدروژن و اکسیژن، به ترتیب، عبارت اند از 1×10^{22} و 1×10^{21} بارن. چون در هر سانتی‌متر مکعب آب $10^{22} \times 10^{24}$ اتم هیدروژن و $10^{22} \times 3 \times 10^{25}$ اتم اکسیژن وجود دارد، ضریب جذب خطی آب چنین می‌شود

$$\sum = \frac{3}{4} (10^{22} \times 10^{24} \text{ cm}^2/\text{atom} \times 10^{24} \text{ atom/cm}^3)$$

$$+ (10^{22} \times 10^{24} \text{ cm}^2/\text{atom} \times 3 \times 10^{25} \text{ atom/cm}^3)$$

$$= 1.38 \text{ cm}^{-1}$$

که مقدار نیم - لایه متناظر با آن مساوی 1 cm می‌شود. چشم Pu-Be را می‌توان یک چشم نقطه‌ای نوترون پنداشت که شار نوترونی در فاصله‌ای از آن، هم به علت پاشیدگی عکس مجدد رفاسله و هم به علت تضعیف در اثر آب، کاهش می‌یابد. اگر شدت چشم را S نوترون در ثانیه، مقدار نیم - لایه را T سانتی‌متر، تعداد نیم - لایه‌ها را n ، و ضریب تولید و انباست را B بگیریم، شار نوترونهای تند پس از عبور از ضخامت $nT \text{ cm}$ چنین خواهد شد

$$\phi = \frac{BS}{4\pi(nT)^2} \times \frac{1}{2^n} \text{n/cm}^2 \cdot \text{s} \quad (29.10)$$

در مورد چشم‌های نوترونی که فعالیتشان از مرتبه چندکوری باشد، ضخامت حفاظ نسبتاً زیاد است، و دزنایی از تولید و انباش نوترونهای پراکنده قابل توجه خواهد شد. در یک حفاظ هیدروژنی که ضخامتش دستکم ۲۰ cm باشد، ضریب تولید و انباش دزن در حدود ۵ می‌شود. با قراردادن مقادیر $T = ۵ \text{ cm}$, $\phi = ۶ \text{ n/cm}^2 \cdot \text{s}$, $B = ۵$ در معادله (29.10) , مقدار n تقریباً برابر 758 HVL به دست می‌آید که متناظر است با 39 cm . شار نوترونهای گرمایی خارج شده از سطح یک حفاظ کرومی از آب را می‌توان به کمک معادله (52.05) برآورد کرد

$$\phi_{th} = \frac{n_0}{\pi R D} e^{-R/L}$$

از آنجا که شعاع حفاظ محاسبه شده در بالا خیلی بزرگتر از طول پخش نوترونهای تند (575 cm) است، در این محاسبات می‌توان فرض کرد که همه نوترونهای تند گرمایی می‌شوند، و نوترونهای گرمایی از مرکز چشم به طرف خارج در حال پخش‌اند. پس از قراردادن مقادیر در معادله (52.05) , حاصل می‌شود

$$\phi_{th} = \frac{5 \times 10^6 \text{ n/s}}{4\pi \times 39 \text{ cm} \times 0.16 \text{ cm}} e^{-29/2588} = 508 \text{ n/cm}^2 \cdot \text{s}$$

این شار نوترونهای گرمایی، در مقایسه با بیشینه شار گرمایی مجاز $(680 \text{ n/cm}^2 \cdot \text{s})$, آنچنان کوچک است که در عمل می‌شود از آن صرفنظر کرد.

گیراندزی یک نوترون گرمایی در یک اتم هیدروژن، به گسیل یک فوتون گاما می‌کند. چون شار نوترونهای خارج شده از سطح حفاظ (در مجموع) برابر $508 \text{ n/cm}^2 \cdot \text{s}$ است، تعداد کل نوترونهای خارج شده از کره‌ای به شعاع 39 cm برابر $39 \times 10^5 \text{ n/s}$ یا تقریباً معادل 42 pCi/cm^2 از نوترونهای چشم خواهد شد. 6.97% باقیمانده نوترونهای چشم در حفاظ آبی جذب می‌شوند، و بدین ترتیب، میانگین «فعالیت ویژه» فوتونهای 26 MeV عبارت است از

$$\frac{49 \times 10^6 / \text{s}}{\frac{4}{3} \pi (39 \text{ cm})^3} = 1957 \text{ Bq/cm}^3 (5053 \text{ pCi/cm}^3)$$

آنچه در سطح کره‌ای که به طور یکنواخت محتوی گسیلندهای گاما باشد، بنا بر معادلات (40.6) و (45.6) چنین می‌شود

$$D = \frac{1}{2} \times CT \times \frac{4\pi}{\mu} (1 - e^{-\mu r}) \quad (40.10)$$

پس از قراردادن مقادیر $\Gamma = ۲۷ \text{ mGy/h} \cdot \text{MBq}$ ($10^4 \text{ mrad/h} \cdot \text{mCi}$)، $\mu = ۰.۵۶ \text{ cm}^{-1}$ برای فوتونهای 26 MeV در آب، و $r = ۳9 \text{ cm}$ متری، خواهیم داشت

$$\dot{D} = \frac{1}{2} \times 19.7 \times 10^{-6} \times 27 \times \frac{4\pi}{4 \times 10^{-2}} (1 - e^{-0.56 \times 39}) \\ = 6 \times 10^{-3} \text{ mGy/h} (0.56 \text{ mrad/h})$$

بدین ترتیب، آهنگ دزنای از نوترونها و پرتوهای گاما در سطح حفاظت برابر $16 \mu\text{Sv/h}$ (یا $15 \mu\text{Sv/h}$) می‌شود، که به رقم مورد نظر (15 mrem/h) نزدیک است. آهنگ دزنای گاما از دو راه قابل کاهش است: با از طریق حل کردن ماده‌ای با عدد اتمی بالا (مثل BaCl_2) در آب، ضریب جذب پرتو گاما را در آب افزایش می‌دهیم؛ یا اینکه آهنگ تو لید پرتوهای گاما را در آب کاهش می‌دهیم. از این دو راه حل، راه دوم آسانتر است. زیرا صرفاً با حل کردن ترکیبی ازبور (B) در آب، به آسانی می‌توان به این هدف رسید. اتم بسیار نوترون‌های گرمابی را با سطح مقطع 755 barn گیرمی اندازد، و در اثر آن واکنش $(n, \gamma) \rightarrow {}^7\text{Li} + {}^4\text{He}$ حاصل می‌شود. در 93% از موارد گیراندازی، گامای 48 MeV گسیل می‌شود. برای این گونه کاربردها، یا ازبوراکس (سدیم ترابورات، $\text{Na}_2\text{B}_4\text{O}_7 \cdot 10\text{H}_2\text{O}$) و یا از اسید بوریک (H_3BO_3) که هردو ارزان و در آب هم خیلی زیاد قابل حل اند، می‌توان استفاده کرد. اگر هدف فرونشانی تابش گاما باشد، کاربرد اسید بوریک بر بوراکس ترجیح دارد، زیرا سدیم موجود در بوراکس سطح مقطع نسبتاً بالای دارد و با مقطعی معادل 505 mb در واکنش ${}^{24}\text{Na}(n, \gamma) {}^{23}\text{Na}$ شرکت می‌کند. در نتیجه این واکنش، یک فوتون گامای 96 MeV و یک هسته پرتوزای ${}^{24}\text{Na}$ حاصل می‌شود. این هسته پرتوزا در هر فروپاشی، یک ذره بتای 139 MeV و همچنین دو فوتون گاما با انرژیهای 37 MeV و 275 MeV از خود گسیل می‌کند. انحلال پذیری اسید بوریک در آب، در دمای اتاق، برابر 1 g/l است. وزن مولکولی H_3BO_3 برابر 84 g/mol است. تراکم اتمهای بور در محلول اشباع شده اسید بوریک چنین به دست می‌آید

$$\text{مولکول/mol} \times 1 \text{ atom/mol} \times 10^{-23} \text{ atoms/mol} \times 10^{-31} \text{ g/atom} \\ = 6.02 \times 10^{23} \text{ g/mol}$$

$$= 6.02 \times 10^{23} \text{ g/mol}$$

چنانچه نسبت سطح مقطعهای ماکروسکوپیک هیدروژن و بور را، در گیراندازی نوترونها

گرمایی، در نظر بگیریم، داریم

$$\frac{\sum H}{\sum B} = \frac{0.13 \text{ cm}^{-1}}{0.42 \text{ cm}^{-1}} = 0.31$$

شار پرتوهای گاما می 2.26 MeV ناشی از گیراندازی نوترون در هیدروژن، و درنتیجه آهنگ دز گاما، به همین نسبت کاهش خواهد یافت و به

$$0.31 \times 10^{-3} \text{ mGy/h} (0.18 \text{ mrad/h})$$

خواهد رسید. آهنگ دز گاماها حاصل از گیراندازی نوترون در B^{10} را، با استفاده از معادله (۳۰.۱۰) و قراردادن مقادیر

$$C = 0.69 \times 10^{-7} \text{ MBq/cm}^3 (3.4 \times 10^{-7} \text{ mCi/cm}^3)$$

برای فعالیت و بیشتر فوتونها، و ضریب $0.097 \text{ cm}^{-1} = \mu$ برای جذب فوتونها در آب، و 0.48 MeV

$$\Gamma = 0.62 \text{ mGy.cm}^2/\text{MBq.h} (2300 \text{ mrad.cm}^2/\text{mCi.h})$$

می توان محاسبه کرد که مقدار آن در حدود 0.077 mrad/h (0.077 mGy/h) به دست می آید. بدین ترتیب، اگر آب حفاظت را از اسید بوریک اشباع سازیم، آهنگ دز معادل برای انواع پرتوها چنین خواهد شد

$$1.0 \mu\text{Sv/h} (1 \text{ mrem/h}) = \text{آهنگ دز ناشی از نوترونهای تند}$$

$$0.18 \mu\text{Sv/h} (0.18 \text{ mrem/h}) = \text{آهنگ دز گاما ناشی از گیراندازی نوترون در هیدروژن}$$

$$0.08 \mu\text{Sv/h} (0.08 \text{ mrem/h}) = \text{آهنگ دز گاما ناشی از گیراندازی نوترون در بور}$$

$$1.26 \mu\text{Sv/h} (1.26 \text{ mrem/h}) = \text{آهنگ دز کل}$$

مسائل

۱. یک چشمۀ نوترونی Po-Be در هر ثانیه 1.0×10^{-2} نوترون، با انرژی متوسط 4 MeV گسیل می کند. می خواهیم این چشمۀ را در حفاظتی از پارافین، با ضخامت کافی، قرار دهیم تا شار نوترونهای تند در سطح آن به $1.0 \text{ n/cm}^2 \cdot \text{s}$ کاهش یابد. در اینجا، فرض می شود که پارافین اساساً مشکل است از CH_4 و چگالی آن برابر 0.89 g/cm^3 است.

(الف) حداقل ضخامت حفاظت پارافین چقدر است؟

(ب) اگر طول کندشدگی را 6 cm ، طول پخش گرمایی را 3 cm ، و ضریب پخش 0.381 cm^{-1} بگیریم، شار نوترونهای گرمایی نشت یافته از سطح حفاظت چقدر خواهد شد؟

(ج) آهنگ دز پرتوهای گاما می ناشی از گیراندازی نوترون در هیدروژن، در سطح حفاظت پارافین چقدر است؟

۳. یک ماشین درمانی پرتو X با ولتاژ 250 kV و جریان 20 mA کار می کند. آهنگ پرتو دهی در فاصله 100 سانتی متری (هدف تا پوست) برابر 20 R/min است. حجم کار در هفتاه برابر $10000 \text{ mA} \cdot \text{min}$ است. لامپ مولد پرتوهای X در جهت قائم و رو به پایین نصب شده است. در فاصله 4 متری هدف، یک اتاق انتظار بدون کنترل قرار دارد. اگر ضخامت دیوار اتاق که از سفال و گچ (به چگالی 2.35 g/cm^3) ساخته شده است، برابر 2 in باشد، ضخامت پوشش سربی لازم که باید به دیوار افزوده شود چقدر است؟

۴. یک دستگاه پرتو درمانی CO_6 با فعالیت $(2000 \text{ Ci}) \times 10^{13} \text{ Bq}$ را می خواهیم در اتاقی بتنی در زیرزمین یک بیمارستان چنان نصب کنیم که فاصله چشمها از دیوارهای شمالی و غربی که ضخامت هر کدام 30 in است، برابر 4 m باشد. در آنسوی دیوار شمالی، یک اتاق کاملاً اشغال شده تحت کنترل قرار دارد. پشت دیوار غربی، محوطه پارکینگ عمومی است. قرار است که جهت بار یکه مفید به طرف دیوار شمالی باشد، و حداقل h_5 در هر هفته در کار پرتو درمانی مورد استفاده باشد. جهت بار یکه، در هر هفته به مدت h_1 ، به طرف دیوار غربی قرار می گیرد. در صورتی که فقط پرتوهای بار یکه اصلی در نظر گرفته شوند، برای هر یک از دیوارها، چقدر حفاظت اضافی لازم خواهد شد؟

۵. پرتو - شیمیدانی می خواهد یک شیشه کوچک محتوی محلول CO_6 با فعالیت $(\sim 50 \text{ mCi}) \times 10^9 \text{ Bq}$ را از نقطه‌ای به نقطه دیگر منتقل کند. مدت زمان لازم برای این انتقال برابر 3 min برآورد شده است. برای آنکه دز پرتو گیری این شخص در هیچ انتقال شیشه از 6 mrad Gy تجاوز نکند، حداقل طول انبر لازم برای حمل و نقل این شیشه چقدر باید باشد؟

۶. برای مشاهده ایزوتوپی که پرتوهای گاما می 1 MeV گسیل می کند، می خواهیم بسا استفاده از یک ظرف شیشه‌ای مکعب مستطیلی محتوی محلول اشباع شده KI پنجره‌ای بسازیم. به فرض آنکه شرایط هندسی خوب، ضخامت محلول 10 cm ، و دیوارهای ظرف شیشه‌ای از لحاظ خواص تضعیف معادل 1 mm سرب باشند، ضریب تضعیف چقدر خواهد شد؟ محلول اشباع شده KI را می توان با افزودن 30 گرم KI به 21 ml آب به دست آورد که در این صورت، 30 ml محلول در دمای 25°C حاصل می شود. سطح مقطع تضعیف کل برای پرتوهای گاما می 1 MeV در عناصر موجود در محلول عبارت اند از:

$$K = 4 \text{ b} \quad H = 0.2 \text{ b}$$

$$I = 1.2 \text{ b} \quad O = 1.7 \text{ b}$$

۷. ورقه‌های سربی از آلیاژی ساخته می شوند که $\text{Sn} : \text{Pb} = 87 : 12$ و $\text{Cu} : \text{Zn} = 1 : 1$ دارند. گرانی ویژه آلیاژ برابر 150 R است. اگر ضریب تضعیف جرمی این

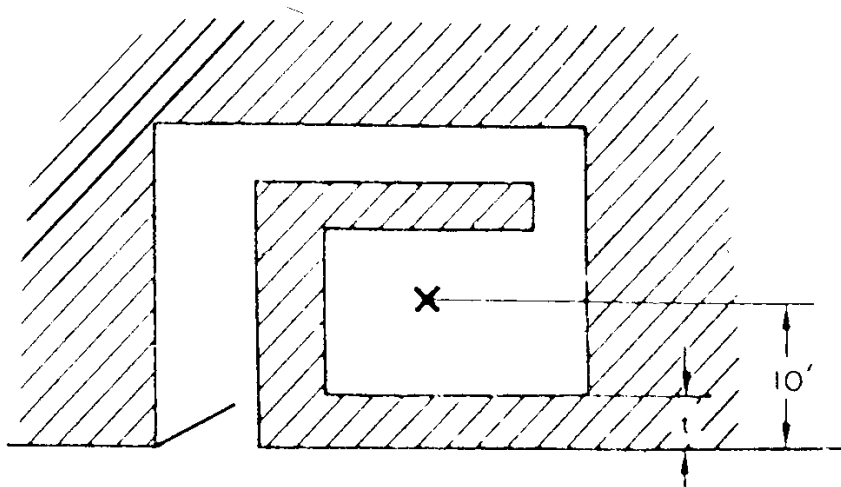
سه عنصر برای پرتوهای X با طول موج 598 Å ، به ترتیب برابر با 355 eV ، 117 eV و $325 \text{ cm}^2/\text{g}$ و گرانی ویژه آنها به ترتیب برابر با 1153 ، 753 و 898 باشد.

(الف) ضرایب جذب خطی و جرمی ورقه سربی را به دست آورید؟

(ب) برای آنکه شدت پرتوهای گاما می حاصل از ^{52}Co را با ضرایب 25 تضعیف کنیم، چه ضخامتی از این ورقهای سربی لازم خواهد شد؟

۷. یک سرنگ مخصوص زیرپوست کسه به وسیله آن محلول Sr^{90} تزریق می شود، مخزنی شیشه ای به ضخامت 1.5 mm دارد. چگالی این شیشه برابر 2.5 g/cm^3 است. برای حفاظت در برابر ذرات بتا، این سرنگ را در پوششی از لوسيت قرار می دهند. چگالی لوسيت 1.2 g/cm^3 است. برای آنکه هیچ ذره بتایی از پوشش لوسيت خارج نشود، ضخامت پوشش چند میلی متر باید باشد؟

۸. اتاق مخصوص نگهداری یک چشم ^{137}Cs با فعالیت $(2000 \text{ Ci}) \times 10^{13} \text{ Bq}$ به شکل زیر است



ضخامت دیوار بتونی را چنان محاسبه کنید که آهنگ پر توده در سطوح خارجی آن، از $(25 \text{ mR}) / (\mu\text{Ci/kg})$ در ساعت تجاوز نکند.

۹. برای آنکه با استفاده از یک جفت دستکش بتوانیم دستهایمان را در برابر تابش ^{32}P محافظت کنیم، حداقل چگالی - ضخامت آن چقدر باید باشد؟

۱۰. یک چشم رادیوم محتوی 50 mg Ra ، با پوسته ای به ضخامت 5 mm از Pt ، به صورت کپسول درآمده است. هنگامی که این چشم را در یک محفظه سربی قرار می دهیم، آهنگ پر توده آن در 1 m در 1 mR (21 mR) می دهیم، ^{137}Cs استفاده کنیم، چند ساعت می شود. چنانچه بخواهیم از همین محافظه برای نگهداری 50 MBq از این عنصر را برای مدت 4 h می توان در آن نگهداری کرد، بدون آنکه پر توده در 50 سانتی متری از $(40 \text{ mR}) / (\mu\text{Ci/kg})$ تجاوز کند؟

۱۱. برای اشتغال در میدان تابش، بیشینه دز معادل برابر با $(300 \text{ mrem}) / (\text{mSv})$ مقرر شده است. حداقل زمان کار در یک میدان تابش مشکل از سه نوع پرتو، به شرح زیر،

چقدر است: پرتوهای گاما با آهنگ (۲۰ mR/h) در ساعت، نوترونهای تند با آهنگ (۵ mrad/h) در ساعت، نوترونهای گرمایی با آهنگ (۴۰ μGy/h) در ساعت؟

۱۲. قطعه‌ای که در فاصله ۲ متری از یک دریچه آلوده به ^{137}Cs قرار گرفته است، نیاز به تعمیر دارد. آهنگ پرتودهی در ۳۵ سانتی‌متری دریچه برابر 500 R/h نیاز به تعمیر دارد. اگر مدت زمان تعمیر ۴ ساعت برآورد شده باشد، برای $^{137}\text{Cs}/\text{kg.h}$ است. محدودسازی دز معادل شخص تعمیرکار به $1 \text{ mSv}(100 \text{ mrem})$ ، به چه ضخامتی از حفاظ سربی نیاز خواهیم داشت؟

۱۳. یک چشم « نقطه‌ای » ^{60}Co با فعالیت 270 MBq را، با استفاده از 10 cm Pb حفاظ‌گذاری کرده‌ایم. آهنگ پرتودهی را، در فاصله 125 m از چشم، حساب کنید.

۱۴. یکی از پیچهای نصب شده در محفظه یک رآکتور شل شده است. جنس این پیچ از فولاد زنگ نزن است. می‌خواهیم، به کمک مجموعه‌ای از انبرهایی که از راه دور به کار گرفته می‌شوند، این پیچ را برای وارسی و مطالعه از جا درآوریم. این پیچ به مدت ۹۰۰ روز در شار متوسط نوترونها گرمایی $10^{12} \text{ n/cm}^2 \cdot \text{s}$ روز داشته است، و ۲۱ روز پس از خاموش شدن رآکتور از جا درآورده می‌شود. در صورتی که وزن پیچ 200 g و ترکیب وزنی آن به شرح زیر باشد، آهنگ دز پرتوهای گاما این را در ۱ متری حساب کنید.

عنصر	Fe	Ni	Mn	C
درصد	% ۸۰	% ۱۹	% ۵	% ۵

۱۵. سطحی دایره‌ای شکل به قطر 1 m ، به طور تصادفی با ^{131}I با فعالیت $270 \mu\text{Ci}$ آلوده شده است. حداقل آهنگ دز معادل، در ۱ متری بالای سطح آلوده، چقدر است؟

۱۶. یک محفظه سربی کروی طراحی کنید که آهنگ دز ناشی از یک چشم ^{24}Na با فعالیت 135 Ci (10^{10} Bq) را، در فاصله ۱ متری، به $100 \mu\text{Gy/h}$ تضعیف کند. (ابعاد فیزیکی چشم آنچنان کوچک است که می‌شود آن را « نقطه‌ای » پنداشت).

۱۷. برای کاهش شدت یک باریکه موازی از پرتوهای X به انرژی 10 MeV ، از شدت 10^4 mW/cm^2 به شدت متناظر با $2.5 \times 10^{-3} \text{ cSv/h}$ ($2.5 \times 10^{-3} \text{ Sv/h}$) سانسیبورت در ساعت)، به چه ضخامتی از بتون استاندارد نیازمندیم؟

۱۸. یک چشم نوترونی Ra-Be، به ازای هر گرم رادیم، در حدود $10^7 \times 10^2 \times 10^2 \text{ mrem/h}$ نوترون تند (با انرژی متوسط 2 MeV) گسیل می‌کند. چه کسری از دز معادل ناشی از چشم بدون حفاظ، مر بوط به نوترونهاست؟

۱۹. بنابر مقررات تراابری، بسته‌ای از ماده پرتوزا، هنگامی قابل حمل است که بیشینه آهنگ دز معادل در سطح بسته برابر (200 mrem/h)، و در فاصله ۱ متری سطح برابر (10 mrem/h) باشد. برای دور ریزی محلول پسمانده ^{137}Cs ، آن را با سیمان مخلوط می‌کنیم. به منظور حمل این مخلوط به محل دفن آن، مخلوط را در محفظه‌های استوانه‌ای از جنس پلی اتیلن، به قطر 30 cm و حجم $1,250 \text{ ml}$ قالب‌گیری می‌کنیم. بیشینه فعالیت ویژه بتون حاصل، چقدر می‌تواند باشد؟

۲۰. در یک آزمایشگاه پرتو-دارویی، وظيفة یکی از کارکنان این است که ۵ روز در هفته و هر روز به مدت ۱ ساعت، با چشم‌های $[125]$ با فعالیت (135 mCi)، $^{5000} \text{ MBq}$ ^{198}Au با فعالیت (108 mCi)، $^{4000} \text{ MBq}$ ^{24}Na ، و $^{2000} \text{ MBq}$ (54 mCi) با فعالیت $^{1 mrem}$ در طور همزمان کار کند. دوره اشتغال به این کار، محدودیت زمانی ندارد. متوسط دز معادل برای این شخص، در ۷ ساعت با قیمانده از هر روز برابر (1 mrem) 1 mSv است. بدن این شخص هنگام کار با این چشم‌ها، در فاصله 75 cm از چشم‌ها قرار می‌گیرد، و از ارکار چنان است که دستان وی به آنسوی حفاظ وارد نمی‌شود.

(الف) قدرت چشم، در هر یک از این چشم‌ها چقدر است؟

(ب) اگر بخواهیم دز معادل هفتگی او، مطابق رهنمود ALARA، در محدوده $1/10$ بیشینه دز مجاز قرار گیرد، ضریخت حفاظ سری لازم چقدر است؟

۲۱. برای یک چشم « نقطه‌ای » ^{90}Sr با فعالیت (27 Ci) $\times 10^{11} \text{ Bq}$ ، حفاظی کروی طراحی کنید که آهنگ دز معادل در سطح آن از (200 mrem) 2 mSv در ساعت تجاوز نکند. آهنگ دز معادل در فاصله ۱ متری چشم حفاظدار چقدر است؟

حفظه در برابر تابش داخلی

خطه تابش داخلی

تابش داخلی زمانی ایجاد می‌شود که بدن از داخل یا از خارج با یک ماده ایزوتوپ پرتوزا آغشته شده باشد. از این‌رو، حفاظت در برابر تابش داخلی با جلوگیری از آلودگی یا آغشتنگی مواد پرتوزا یا کمینه‌سازی آن، در تماس با سطح بدن و یا در داخل بدن افراد سروکاردارد. این مسئله را می‌توان با طرح برنامه‌ای درجهت کنترل آلودگی محیط‌زیست در حد مجاز و در پایینترین سطح ممکن حل کرد. نگه داشتن آلودگی محیط‌زیست در پایینترین سطح ممکن از لحاظ حفاظت در برابر تابش داخلی بسیار مهم است. پرتوگیری از تابش خارجی ناشی از تابشی است که از چشم‌های بیرون از بدن گسیل می‌شود. در این مورد هیچگونه تماس مستقیمی با چشمۀ تابش وجود ندارد و هنگامی که شخص ناحیه تابش را ترک می‌کند یا چشمۀ تابش از آن ناحیه دور می‌شود، پرتوگیری نیز متوقف می‌شود. از آنجا که تابش خارجی ممکن است نسبتاً با سهولت و دقت اندازه‌گیری شود، خطرات واقعی یا احتمالی را می‌توان با اطمینان بسیار زیادی تخمین زد. از سوی دیگر، در مورد آلودگی چون مواد پرتوزا روی بدن یا داخل بدن رسوب می‌کند، شخص آلوده حتی بعد از ترک ناحیه آلوده نیز همچنان در معرض پرتوگیری خواهد بود. به علاوه، ایزوتوپهای پرتوزا ممکن است در داخل بدن به طور سیستماتیک ثبیت شوند. در این صورت خارج کردن فوری آنها (در موارد ممکن) نسبتاً با اشکال توأم است. در این موارد، برای